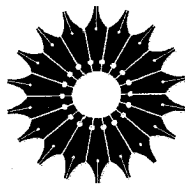




# دینامیک شاردها

ویلیام هیوز  
جان برایتون

ترجمه علی پذیرنده



مجموعه کتابهای شوم

# دینامیک شاره‌ها

ویلیام هیوز، جان برایتون

ترجمه علی پذیرنده

مرکز نشر دانشگاهی

بسم الله الرحمن الرحيم

## فهرست

صفحه	عنوان	صفحه	عنوان
۲۴	۷-۲ خلاصه	۱	پیشگفتار
۲۵	مسائل حل شده		
۳۲	مسائل تکمیلی	۳	۱ مقدمه
۳۸	نمادگذاریهای فصل ۲	۳	۱-۱ شماره چیست؟
		۴	۲-۱ مدل ریاضی
۳۹	۳ مدلهای ریاضی حرکت شماره	۵	۳-۱ تعریفها
۳۹	۱-۳ مقدمه و روش	۹	۴-۱ طبقه‌بندیهای فیزیکی و انواع جریانها
۴۰	۲-۳ معادلات انتگرالی	۱۲	۵-۱ حرکت شماره چگونه توصیف می‌شود؟
۵۰	۳-۳ معادلات دیفرانسیل	۱۲	۶-۱ یکاها در مکانیک شماره‌ها
	۴-۳ سینماتیک و رابطه‌های آهنگ تنش-کرنش در شماره‌ها	۱۳	مسائل تکمیلی
۵۶	شماره‌ها	۱۴	سوالات فکری
۶۱	۵-۳ معادلات ناویر-استوکس		
۶۳	۶-۳ معادله انرژی	۱۶	۲ استاتیک شماره‌ها
	۷-۳ رابطه‌های بین تکانه، انرژی، ترمودینامیک، و	۱۶	۱-۲ فشار
۶۶	معادله برنولی	۱۸	۲-۲ معادلات دیفرانسیل استاتیک شماره‌ها
۶۹	۸-۳ خلاصه، کاربردها و مسائل	۱۹	۳-۲ فشارسنجی
۷۲	مراجع	۲۰	۴-۲ نیروهای شماره‌ای وارد بر اجسام غوطه‌ور
۷۲	مسائل حل شده	۲۲	۵-۲ شتاب‌گیری شماره‌ها در نبود تنش برشی
۸۷	مسائل تکمیلی	۲۴	۶-۲ کشش سطحی

صفحه	عنوان	صفحه	عنوان
۱۸۰	۹-۶ نظریه هوا بر	۹۲	نمادگذاریهای فصل ۳
۱۸۵	مراجع		
۱۸۵	مسائل حل شده	۹۴	۴ تحلیل ابعادی و تشابه
۱۹۲	مسائل تکمیلی	۹۴	۱-۴ تشابه در دینامیک شاره‌ها
۱۹۶	نمادگذاریهای فصل ۶	۹۵	۲-۴ پارامترهای جریان تراکم‌ناپذیر
		۹۷	۳-۴ پارامترهای جریان تراکم‌پذیر
۱۹۷	۷ جریان تراکم‌پذیر یک‌بعدی		۴-۴ پارامترهای دیگر مورد استفاده در فرایند انتقال
۱۹۷	۱-۷ مقدمه	۹۹	گرما از طریق همرفت آزاد در شاره‌ها
۲۰۰	۲-۷ جریان تک‌آنتروپی	۹۹	مراجع
۲۰۵	۳-۷ موجهای ضربه‌ای قائم	۹۹	مسائل حل شده
۲۰۷	۴-۷ جریان بی‌دررو با سطح مقطع ثابت (خط فانو)	۱۰۵	مسائل تکمیلی
	۵-۷ جریان بی‌اصطکاک و با سطح مقطع ثابت	۱۰۸	نمادگذاریهای فصل ۴
۲۱۲	همراه با گرمایش و سرمایش		
۲۱۳	۶-۷ جریان تکدما با اصطکاک	۱۱۰	۵ جریان لایه مرزی و جریان در لوله‌ها و مجراها
۲۱۴	۷-۷ جریان تراکم‌ناپذیر برای عددهای ماخ پایین	۱۱۰	۱-۵ مقدمه
۲۱۴	۸-۷ لوله موج ضربه‌ای	۱۱۴	۲-۵ جریانهای بیرونی-لایه‌های مرزی
۲۱۷	مراجع	۱۲۶	۳-۵ جریانهای بیرونی-برآ و پسا
۲۱۸	مسائل حل شده	۱۲۹	۴-۵ جریان درونی
۲۲۵	مسائل تکمیلی	۱۳۵	۵-۵ ویژگیهای گرمایی جریان گران‌رو
۲۳۰	نمادگذاریهای فصل ۷	۱۳۷	۶-۵ خلاصه
		۱۳۸	مراجع
۲۳۱	۸ دینامیک گازی جریان تراکم‌پذیر دو‌بعدی	۱۳۸	مسائل حل شده
۲۳۱	۱-۸ معادلات جریان تراکم‌پذیر بی‌اصطکاک	۱۵۰	مسائل تکمیلی
۲۳۳	۲-۸ نظریه موج ضربه‌ای-انبساط	۱۵۸	نمادگذاریهای فصل ۵
۲۴۴	۳-۸ اختلالهای کوچک و نظریه خطی شده		
۲۴۷	۴-۸ روش مشخصه‌ها	۱۶۰	۶ جریان پتانسیل شماره تراکم‌ناپذیر
۲۵۴	۵-۸ هواپیماهای فراصوتی	۱۶۰	۱-۶ نظریه جریان پتانسیل
۲۵۴	مراجع	۱۶۳	۲-۶ قضیه برنولی
۲۵۵	مسائل حل شده	۱۶۴	۳-۶ قضیه گردابه کلون و حرکت گردابه
۲۶۰	مسائل تکمیلی	۱۶۵	۴-۶ پتانسیل سرعت و تابع جریان
۲۶۴	نمادگذاری فصل ۸	۱۶۷	۵-۶ طرحهای ساده جریان
		۱۷۱	۶-۶ پتانسیل مختلط
۲۶۶	۹ جریان متلاطم تراکم‌ناپذیر	۱۷۴	۷-۶ پتانسیل مختلط برای تعدادی از جریانهای ساده
۲۶۶	۱-۹ مقدمه	۱۷۷	۸-۶ گردش و قضیه جوکفسکی



صفحه	عنوان	صفحه	عنوان
۳۲۰	مسائل حل شده	۲۶۷	۲-۹ معادلات سرعت میانگین
۳۲۳	مسائل تکمیلی	۲۶۸	۳-۹ راهکار آماری
۳۲۴	نمادگذاری فصل ۱۱	۲۷۱	۴-۹ نظریه‌های پدیده‌شناسی
۳۲۷	۱۲ شماره‌های نانیوتونی	۲۷۲	۵-۹ همبستگیهای تلاطم
۳۲۷	۱-۱۲ مقدمه	۲۷۳	۶-۹ تلاطم همسانگرد
۳۲۸	۲-۱۲ مشخصه‌ها و طبقه‌بندی شماره‌های نانیوتونی	۲۷۷	۷-۹ تلاطم دیواره
۳۳۳	۳-۱۲ جریان لایه‌ای درون لوله‌ها	۲۸۰	۸-۹ تلاطم آزاد
۳۳۶	۴-۱۲ روش تعمیم‌یافته برای جریان درون لوله	۲۸۱	۹-۹ پیشرفتهای اخیر
۳۳۸	مراجع	۲۸۱	۱۰-۹ خلاصه
۳۳۹	مسائل حل شده	۲۸۱	مراجع
۳۴۰	مسائل تکمیلی	۲۸۱	مسائل تکمیلی
۳۴۰	نمادگذاری فصل ۱۲	۲۸۲	نمادگذاری فصل ۹
۳۴۲	۱۳ موجها و پایداری	۲۸۴	۱۰ جریان لایه‌ای مرزی ابرصوتی
۳۴۲	۱-۱۳ مقدمه	۲۸۴	۱-۱۰ مقدمه
۳۴۳	۲-۱۳ نمایش موجهای رونده و فازور	۲۸۵	۲-۱۰ معادلات لایه‌ای مرزی
۳۴۶	۳-۱۳ سرعت فاز و سرعت گروه	۲۸۹	۳-۱۰ لایه‌ای مرزی لایه‌ای ابرصوتی
۳۴۷	۴-۱۳ پاشندگی و تضعیف	۲۹۱	۴-۱۰ لایه‌ای مرزی متلاطم ابرصوتی
۳۴۸	۵-۱۳ موجهای ساکن	۲۹۳	۵-۱۰ گرمایش آترو دینامیکی
۳۴۹	۶-۱۳ محاسبه معادله پاشندگی برای موج صوتی	۲۹۵	۶-۱۰ خلاصه و بحث
۳۵۳	۷-۱۳ موج صوتی بازتابیده از دیواره ساکن	۲۹۵	مراجع
۳۵۴	۸-۱۳ موجهای برشی در شاربه گران‌رو	۲۹۵	نمادگذاری فصل ۱۰
۳۵۶	۹-۱۳ موجهای سطحی روی آب	۲۹۸	۱۱ مغناطوهیدرو دینامیک
۳۵۸	۱۰-۱۳ چند نکته نهایی درباره موجها	۲۹۸	۱-۱۱ مقدمه
۳۵۹	۱۱-۱۳ نظریه پایداری	۲۹۸	۲-۱۱ الکترو دینامیک محیطهای متحرک
۳۶۰	۱۲-۱۳ پایداری جت مایع	۳۰۲	۳-۱۱ نیروی محرکه الکتریکی (EMF) القاوی و ولتاژ نهایی
۳۶۳	۱۳-۱۳ پایداری جریان بین استوانه‌های چرخان	۳۰۳	۴-۱۱ نیروی حجمی الکترومغناطیسی
۳۶۵	۱۴-۱۳ پایداری فصل مشترک بین شماره‌ها	۳۰۴	۵-۱۱ مفاهیم اصلی جریان MHD
۳۶۷	۱۵-۱۳ نکته‌های پایانی	۳۰۷	۶-۱۱ جریان تراکم‌ناپذیر گران‌رو MHD
۳۶۷	مراجع	۳۱۰	۷-۱۱ انواع موجها در MHD
۳۶۷	مسائل حل شده	۳۱۶	۸-۱۱ جریان تراکم‌پذیر-جریان کانال مغناطوگاز دینامیکی
۳۷۴	مسائل تکمیلی	۳۲۰	مراجع
۳۷۵	نمادگذاری فصل ۱۳		

صفحه	عنوان	صفحه	عنوان
۴۰۵	پیوست و اتحادهای برداری	۳۷۷	پیوست الف بعضی از خواص شماره‌ها
۴۰۶	پیوست ز روشهای اندازه‌گیری جریان	۳۸۳	پیوست ب یکاها و بُعدها
۴۰۹	پاسخ مسائل انتخابی	۳۸۸	پیوست ج تعدادی از معادلات اصلی در دستگاههای مختصات متفاوت
۴۱۵	واژه‌نامه	۳۹۷	پیوست د جداول پارامترها برای جریان تراکم‌پذیر
۴۱۶	نمایه	۴۰۳	پیوست ه تانسورهای دکارتی

## پیشگفتار

وقتی به اطراف خود می‌نگریم، بیشتر اجسام را جامد می‌بینیم، اما هنگامی که به اقیانوسها، جو و فضای بیرونی می‌اندیشیم، درمی‌یابیم که بخش عمده سطح زمین و کل جهان به حالت شاره است.

علی‌رغم علاقه دانشمندان به ماهیت جهان (که بیشتر آن گاز است)، توجه مهندسان به ابزارهای معطوف است که با شاره کار می‌کنند. در واقع، مشکل است بتوان ماشین، دستگاه، و یا ابزارهای یافت که به نوعی محتوی شاره نباشد و یا مکانیک شاره‌ها در طراحی آن به‌کار نرفته باشد. بمبها، هواکشها، دمنده‌ها، موتورهای جت، موشکها، و توربینهای گازی اساساً ماشینهای شاره‌ای هستند. هواپیماها و کشتیها از میان شاره‌ها حرکت می‌کنند. حرکت جو و هوا تابع قانون دینامیک شاره‌هاست. همه ماشینها را باید روغن‌کاری کرد، و روغن شاره است. حتی لامپهای خلأ برای کارکرد خود به گاز الکترونی متکی‌اند. از مفاهیم بنیادی دینامیک شاره‌ها، بدون توجه به پیچیدگی و غامضی دستگاه، می‌توان استفاده کرد.

دینامیک شاره‌ها جایگاه مهمی در علوم و مهندسی جدید دارد. این موضوع یکی از پایه‌های علم هوانوردی و فضاوردی، مهندسی مکانیک، هواشناسی، مهندسی دریایی، مهندسی عمران، مهندسی محیط زیست، و در حقیقت پایه هر رشته علمی یا مهندسی است.

از این کتاب می‌توان به‌عنوان متنی مستقل و یا تکمیلی برای دروس مقدماتی دینامیک شاره‌ها در دوره کارشناسی استفاده کرد. اما، یکی از جنبه‌های منحصر به فرد این کتاب محتوای گسترده موضوعات مکانیک شاره‌های آن است. این کتاب شامل موضوعاتی است که می‌توان آن را به‌عنوان مرجع یا متنی تکمیلی برای دروس دوره متوسطه یا دوره کارشناسی به‌کار برد.

چند فصل اول این کتاب در اصل برای دانشجویان سالهای اول نوشته شده است، که بیشتر بر روی مفاهیم اساسی حرکت شاره تأکید دارد. در سه فصل اول استنتاج معادلات پایستگی به هر دو شکل انتگرالی و دیفرانسیلی را بررسی می‌کنیم. مثالهای زیادی در کتاب برای انتقال ایده‌های مهم حجم کنترل، معادله برنولی و حرکت کلی شاره آورده شده است. خلاصه‌ای از معادلات مهم و بحث کلی روشهای حل مسئله را، که برای دانشجویان جدید سودمند است، در فصل ۳ آورده‌ایم.

سطح علمی این کتاب از فصلی به فصل دیگر تغییر می‌کند. فصلهای ۱ تا ۵ و فصل ۷ در سطح معرفی مکانیک شاره‌ها برای دوره کارشناسی است. فصلهای ۶ و ۸ به آئرو دینامیک جریانها فروصوتی و فراصوتی می‌پردازد و پیشرفته‌تر از سطح دوره کارشناسی است.

بخش پایانی کتاب با موضوعاتی سروکار دارد که در حال حاضر مورد توجه پژوهشگران است. این فصلها طوری نوشته شده‌اند که افراد ناآشنا به این رشته‌های خاص آشنایی خوبی درباره مدلهای ریاضی، ساده‌سازیهها و روشهای روزآمد به‌دست می‌آورند. اگر خواننده به مطالعه عمیقتری علاقه‌مند باشد، می‌تواند به مراجع موجود در فصلها رجوع کند. اینها همراه با این کتاب می‌توانند مبنای خوبی برای برنامه مطالعاتی شخصی باشند.

در این نوع کتابها، موضوعات و کاربردهای به‌کار رفته کاملاً محدود است و بسیاری از زمینه‌های مورد علاقه فعلی را شامل نمی‌شود. به‌عنوان مثال، کاربرد ماشینهای شاره‌ای و زمینه در حال رشد دینامیک شاره‌های محاسباتی (CFD) در این کتاب گنجانده نشده است. اما، به‌نظر می‌رسد که بر روی جنبه‌های فیزیکی و بیان ریاضی دینامیک شاره‌ها، متناسب با کتابی در سطح مقدماتی، تأکید شده است. درک کامل مطالب این کتاب خواننده را به ادبیات موجود در انواع موضوعهای خاص رهنمون می‌سازد.

تغییرات زیادی در ویرایش سوم اعمال، و موضوعات زیادی اضافه شده است تا آن را متنی روزآمد و قابل استفاده کند. فصلی کاملاً جدید درباره حرکت موج و پایداری افزوده شده است. از نمادگذاری فازور مختلط برای توصیف رفتار موج، کاربرد آن در امواج صوتی، امواج برشی و امواج سطحی استفاده گسترده‌ای شده است. بدین ترتیب، طبیعتاً مفهوم پایداری شاره از رفتار رشد امواج نتیجه می‌شود. ضمناً به مثالهای زیادی درباره تجربیات روزمره اشاره شده است.

ویلیام اف. هیوز

جان آ. برایتون



## مقدمه

### ۱-۱- شاره چیست؟

دینامیک، مطالعه حرکت ماده، را می‌توان به دو بخش دینامیک اجسام جامد و دینامیک اجسام غیرجامد تقسیم کرد. بخش دوم را معمولاً به دو دسته بندی کلی کشسانی (اجسام جامد کشسان) و مکانیک شاره‌ها تقسیم می‌کنند. از آنجا که بخش بزرگی از کره زمین را شاره تشکیل می‌دهد، بدیهی است که مهندسان و دانشمندان باید اطلاعاتی درباره شاره‌ها داشته باشند. قبل از هر چیز، شاره چیست؟ تفاوت شاره با میله‌ای فولادی که آن را ماده جامد کشسان می‌نامیم، چیست؟

به شکل ساده، شاره را می‌توان ماده‌ای دانست که در مقابل نیروی برشی یا تنش، بدون جابه‌جایی، همچون در جسم جامد، نمی‌تواند مقاومت کند. شاره‌ها را معمولاً به گازها یا مایعات تقسیم می‌کنند. مایع دارای نیروهای بین مولکولی است که باعث نگه‌داشتن آن می‌شوند، به طوری که دارای حجم است ولی شکل معینی ندارد. هنگامی که مایعی را به درون ظرفی می‌ریزیم، به اندازه حجم خود بدون توجه به شکل ظرف، آن را پر می‌کند. تراکم‌پذیری مایعات کم است و چگالی آنها برحسب دما یا فشار اندکی تغییر می‌کند. از سوی دیگر، گاز حاوی مولکولهای در حال حرکت است که با برخورد به یکدیگر آن را پخش می‌کنند. گاز شکل خاصی ندارد و در هر ظرفی که قرار گیرد شکل آن را به خود می‌گیرد. برای هر جرم یا سیستم گازی معین، فشار، دما و حجم گاز تابع رابطه‌ای خاص به نام معادله حالت است.

شاره، با توجه به کاربردهای فراوان مکانیک شاره‌ها، یکی از حیاتی‌ترین و بنیادی‌ترین شاخه‌های پژوهش در مطالعات علمی کاربردی و مهندسی است. جریان شاره‌ها در لوله‌ها و کانالها برای مهندسان عمران دارای اهمیت است. مطالعه ماشین‌آلات شاره‌ها نظیر پمپها، کمپرسورها، مبدل‌های حرارتی، موتورهای جت و موشک و نظایر آنها بیانگر اهمیت مکانیک شاره‌ها نزد مهندسان مکانیک است. آترو دینامیک، جریان هوا بر روی اجسام،

دارای اهمیت بنیادی برای مهندسان هوا-فضا در طراحی هواپیماها، گلوله‌ها و موشکهاست. در هواشناسی، آب‌شناسی و اقیانوس‌شناسی مطالعه شاره‌ها اساس کار است، زیرا جو و اقیانوس هر دو شاره هستند. امروزه در مهندسی جدید، در بسیاری از رشته‌های تحصیلی، مکانیک شاره‌ها را همراه با مکانیک کلاسیک آموزش می‌دهند. به‌عنوان مثال، مکانیک شاره‌ها و نظریه الکترومغناطیس تحت عنوان علم مغناطو هیدرو دینامیک آموزش داده می‌شود. دانش مغناطو هیدرو دینامیک در انواع جدید دستگاه‌های تبدیل انرژی و مطالعه پدیده‌های ستاره‌ای و یون‌سپهر، اهمیت فراوان دارد. اکنون، در می‌یابیم که برای مهندسان و دانشمندان امروزی آشنایی با مکانیک شاره‌ها بسیار ضروری است و روشن است که مکانیک شاره‌ها و کاربردهای آن موضوع گسترده‌ای در رشته‌های تخصصی است. آنچه در این کتاب آمده است اراة اغلب ایده‌های بنیادی همراه با بسیاری از کاربردهای آنهاست. پس از تسلط بر این مبانی، مطالعه کتابهای پیشرفته‌تر و منابع تحقیقاتی درک و دانش خواننده را از جنبه‌های تخصصی مکانیک شاره‌ها بالا خواهد برد. اما، لازم است قبل از ورود به موضوعات پیشرفته‌تر، در درک مبانی آن قدر تسلط یافت که با گذشت زمان فراموش نشود و بتوان همیشه بر آنها تکیه کرد.

اکنون، موضوع مکانیک شاره‌ها را با اراة مقدمه‌ای بر ایده‌های بنیادی و بهره‌گیری از فرمولبندی ریاضی آغاز می‌کنیم و آن را تا نظریه‌های جدید ابرصوتی و مغناطو هیدرو دینامیک تعمیم می‌دهیم.

## ۱-۲ مدل ریاضی

در مکانیک اجسام جامد صلب، معمولاً سؤال می‌شود که مکان ذره در فضا نسبت به زمان چیست؟ با دانستن جواب این سؤال، تمام سؤالات دیگر نظیر سرعت و شتاب را می‌توان جواب داد. اگر موقعیت بردار  $\mathbf{r}$  مکان ذره را نشان دهد، آن‌گاه پارامتر مهمی است. سرعت و شتاب به‌سادگی عبارت‌اند از  $d\mathbf{r}(t)/dt$  و  $d^2\mathbf{r}(t^2)/d^2$ .

اما، در مطالعه شاره با ذره سروکار نداریم، بلکه با پیوستار در ارتباط هستیم. در واقع، مجبور به ردیابی تک‌تک ذرات یا حتی قطره‌های کوچک شاره نیستیم. به‌جای آن، راحت‌تر است سؤال کنیم که: در نقطه‌ای از فضا (نسبت به یک دستگاه مختصات ثابت اختیاری)، سرعت، شتاب و خواص ترمودینامیکی ذره نسبت به زمان چیست؟ با گذشت زمان، شاره در هر نقطه از فضا دائماً با شاره جدید دیگری مبادله می‌شود، به‌گونه‌ای که نمی‌توان هر یک از ذرات شاره را ردیابی کرد، بلکه سرنوشت شاره را در نقطه‌ای از فضا بدون توجه به مقدار جزئی شاره موجود در هر زمان خاص می‌توان ردیابی کرد. چنین بیانی از شاره را تعریف اویلر می‌نامند، برخلاف تعریف لاگرانژ که هر یک از ذرات را، مانند دینامیک اجسام جامد، ردیابی می‌کند. این مسائل را به‌طور کامل در فصل ۳ بررسی خواهیم کرد.

در بالا، به واژه پیوستار اشاره کردیم. این واژه از نظر شاره به چه معناست؟ فرض کنیم که فاصله بین ذرات شاره (یا مولکولها)، یا به بیان دقیقتر، مسافت آزاد میانگین بسیار کوچک است. منظور از «بسیار کوچک» در مقایسه با ابعاد فیزیکی است که در مسائل مکانیک شاره‌ها به‌کار می‌رود. در آئرو دینامیک، ضخامت یک بال چند مرتبه بزرگتر از مسافت آزاد میانگین ذرات هوای گذرنده از روی سطح بال هواپیماست. بنابراین، فرض می‌کنیم که تمام عملیات محدودکننده ریاضی در حد معقولی در نظر گرفته می‌شوند و هر حجم شاره را می‌توان به‌طور پیوسته به حجمهای کوچکتر و کوچکتر تقسیم کرد تا آنجا که مشخصه پیوستاری شاره حفظ شود. روشن است که سرانجام، این تقسیم کردنها متوقف خواهد شد، اما تا آنجا ادامه می‌دهیم که با حفظ مشخصه شاره به مرز میکروسکوپی برسیم.

اما، اگر چنین شرایطی فراهم نباشد، همچون در گازهای بسیار رقیق که مسافت آزاد میانگین آنها از مرتبه ابعاد فیزیکی مسئله است، آن‌گاه فرض پیوستاری نقص می‌شود و باید از روشهای میکروسکوپی همچون نظریه جریانهای مولکولهای آزاد استفاده کرد. در اینجا نظریه گازهای بسیار رقیق را در نظر نمی‌گیریم بلکه توجه خود را به پیوستار همگن و همسانگردی معطوف می‌کنیم که با روشهای ماکروسکوپی قابل بررسی باشند.

تعداد متغیرهای اصلی در مکانیک شاره‌ها ۵ تا است، که شامل سه مؤلفه سرعت و دو خاصیت ترمودینامیکی است. هر یک از دو خاصیت ترمودینامیکی همچون فشار، دما، چگالی، آنتالپی، آنتروپی و غیره کافی است تا حالت شاره و بنابراین بقیه خواص شاره را تعیین کند. میدان جریان شاره با مشخص شدن بردار سرعت  $\mathbf{V}$  و دو خاصیت ترمودینامیکی برحسب مکان و زمان به‌دست می‌آید. بنابراین، به پنج معادله مستقل نیاز است. این معادلات معمولاً سه مؤلفه معادله حرکت، یک معادله پیوستگی و یک معادله انرژی هستند. غالباً معادله حالت را نیز برای امکان نوشتن

معادله انرژی برحسب سه متغیر (دما، چگالی و فشار) به جای فقط دو متغیر وارد می‌کنند. در این حالت، شش متغیر و شش معادله در اختیار داریم. در جریان متلاطم، مجهولات بیشتری با همان تعداد معادلات، ظاهر می‌شوند، که مانع فرمولبندی کامل نظری مسأله خواهد شد. در شارۀ تراکم‌ناپذیر به معادله انرژی نیاز نیست، زیرا چگالی را متغیری معلوم فرض می‌کنند و برای بیان کامل جریان شارۀ، تنها به فشار و سرعت نیاز خواهد بود. بدین ترتیب، دما جدا می‌شود، اما در صورت نیاز به این پارامتر، از معادله انرژی برای به دست آوردن آن باید استفاده کرد.

### ۳-۱ تعریفها

جریان شارۀها را می‌توان به روشهای مختلف طبقه‌بندی کرد. در اینجا، چند نوع مختلف شارۀ و رابطه آنها با تجربیات و مشاهدات روزمره را بررسی می‌کنیم. نخست، به تعریف چند اصطلاح می‌پردازیم تا به زبان مشترکی برای بیان جریان شارۀ دست یابیم. در آینده تعریفهای دقیقتری خواهیم داشت، اما در حال حاضر به چند تعریف ساده و تا اندازه‌ای آموزنده می‌پردازیم.

**فشار:** فشار در شارۀ ساکن (ایستا) به صورت نیروی فشاری عمود بر واحد سطح (تنش عمودی)، که بر روی سطح غوطه‌ور در درون شارۀ وارد شده است، تعریف می‌شود. فشار را می‌توان با نیروی وارد بر یک وجه مکعب واحد (مکعبی به ابعاد واحد)، که در درون شارۀ غوطه‌ور شده است، اندازه‌گیری کرد. تصور ما این است که این مکعب باعث اختلال شارۀ نمی‌شود، بنابراین فشار واقعی در هر نقطه در درون شارۀ معادل با نیروی وارد بر یک وجه مکعب تقسیم بر مساحت آن وجه خواهد بود، که در حد، سطح به سوی بینهایت کوچک می‌گراید. فشار در هر نقطه در درون شارۀ ساکن همسانگرد است، یعنی نیروی وارد بر تمام وجه‌های مکعب، بدون توجه به جهت‌گیری مکعب در فضا، یکسان است. چنین فشاری همسانگرد را فشار هیدروستاتیکی می‌گویند. این فشاری است که در ترمودینامیک (قانون گازها) به کار می‌رود و یکی از خواص ترمودینامیکی است. اگر فشار از نقطه‌ای به نقطه دیگر در درون شارۀ تغییر کند، نیروی فشاری خالص بر هر حجم ثابت شارۀ وارد می‌شود و با نیروی حجمی، همچون گرانش، یابد خنثی شود، در غیر این صورت، شارۀ به حرکت در خواهد آمد و نیروی فشاری مزبور در شارۀ شتاب به وجود می‌آورد.

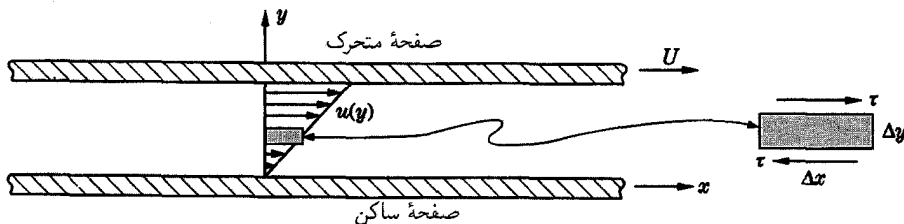
در وضعیت دینامیکی (هنگامی که شارۀ جابه‌جا می‌شود)، نه تنها نیروهای فشار در شارۀ به وجود خواهد آمد، بلکه نیروهای برشی یا تنشی نیز ایجاد خواهد شد. اما، فشار هنوز همسانگرد است و به همان صورت تعریف می‌شود، اما باید به شکل تنش عمودی بر سطحی اندازه‌گیری شود که همراه شارۀ به طور موضعی حرکت خواهد کرد. گاهی در تعریف فشار در گازهای متحرک به مشکل برمی‌خوریم، زیرا تنشهای عمود بر وجه مکعب در تمام جهتها یکسان نیستند. البته، هنوز می‌توان فشار هیدروستاتیکی همسانگرد داشت، ولی نیروهای کوچک دیگری در جهتهای خاص، به علت اثرهای گرانروی شارۀ، ایجاد می‌شوند. این مفاهیم را در دو فصل آینده با جزئیات بیشتر بحث خواهیم کرد.

**گرانروی، اصطکاک و جریان ایده‌آل:** تمام شارۀها گرانروی دارند که باعث اصطکاک می‌شود. اهمیت این اصطکاک در شرایط فیزیکی به نوع شارۀ و پیکربندی فیزیکی یا الگوی جریان بستگی دارد. اگر اصطکاک چشم‌پوشیدنی باشد، جریان را ایده‌آل می‌گویند. اصطکاک ممکن است ناشی از گرانروی یا تلاطم جریان شارۀ باشد.

به طور کلی، گرانروی معیار مقاومت شارۀ در مقابل برش در شارۀ متحرک است (به یاد داریم که شارۀ ساکن نمی‌تواند در مقابل برش، همچون جامد، مقاومت کند). دو صفحه موازی بزرگ همچون شکل ۱-۱ را در نظر می‌گیریم که در حال حرکت نسبی پایا هستند. سرعت شارۀ در فاصله صفحات دارای نیمرخ خطی است (البته، به شرطی که در طول این صفحات در جهت حرکت گرادیان فشار وجود نداشته باشد). هیچ لغزشی در بین شارۀ و صفحات وجود ندارد، یعنی در فصل مشترک بین شارۀ و جامد سرعت شارۀ همان سرعت جامد است. اگر حجم کوچکی از شارۀ را مانند شکل ۱-۱ در نظر بگیریم، تنش برشی  $\tau$  در بالا را (که در این حالت مقدار عددی آن برابر تنش برشی در پایین است) می‌توان به صورت زیر نوشت

$$\tau = \mu \frac{\partial u}{\partial y} \quad (1-1)$$

که  $\mu$  گرانروی، ثابت تناسب بین تنش برشی و گرادیان سرعت است. یکاهای  $\mu$  در دستگاه یکاهای انگلیسی برابر  $\text{lb.f.s/ft}^2$  و در دستگاه SI برابر



شکل ۱-۱ حرکت شاره بین دو صفحه موازی برای نمایش گرانروی. سرعت  $u$  در طول مجرا خطی، در پایین صفر، و در بالا  $U$  است. تنش برشی را در سمت راست می‌توان دید.

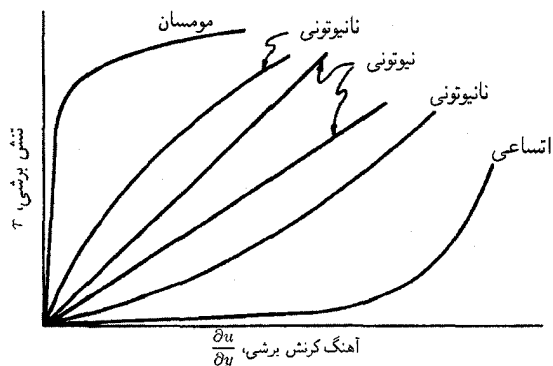
$\text{N.s/cm}^2$  است. غالباً گرانروی را با یکای پواز نیز اندازه‌گیری می‌کنند. یک پواز برابر  $1 \text{ dyne.s/cm}^2$  است. نسبت گرانروی به چگالی جرمی  $\rho$  را گرانروی سینماتیک می‌گویند و با  $\nu$  نشان می‌دهند.

گرانروی مایع تابع دماست و با افزایش دما کاهش می‌یابد (همان‌گونه که برای روشن شدن خودرو در هوای سرد به استارت بیشتری نیاز است)، اما گرانروی گازها با افزایش دما افزایش می‌یابد. گرانروی شاره‌ها نیز به فشار بستگی دارد، اما در مسائل مهندسی این وابستگی در مقایسه با تغییرات دما از اهمیت کمتری برخوردار است.

چنین رابطه ساده‌ای بین تنش برشی و گرادیان سرعت معروف به رابطه نیوتونی است. به‌طور کلی، شاره‌هایی را که از این رابطه پیروی می‌کنند شاره نیوتونی می‌نامند. (رابطه کلی‌تر شاره نیوتونی را که شامل گرادیانهای سرعت در سه بعد است، بعداً ارائه خواهیم کرد).

هر چند رابطه خطی نیوتونی تقریبی است ولی با کمال تعجب می‌بینیم که برای شاره‌های مختلف نتیجه خوبی به دست می‌دهد. اما برای بعضی از مواد، تنش برشی نه تنها تابع گرادیان سرعت (آهنگ کرنش برشی) بلکه تابع نیروی کرنش معمولی نیز است. چنین موادی را گرانروی کشسان می‌نامند. حتی شاره‌های گرانروی ساده که تنش برشی آنها فقط به گرادیان سرعت بستگی دارد، ممکن است نیوتونی نباشند و در واقع رابطه غیرخطی پیچیده‌ای بین تنش برشی و آهنگ کرنش وجود دارد. اگر رابطه آهنگ تنش-کرنش شاره به کار اولیه یا کرنش وارده بستگی داشته باشد، شاره را تیکسوتروپیک می‌نامند (مانند مرکب چاپگر).

یکی دیگر از انواع شاره‌ها، شاره‌ای است که رفتار مومسان دارد و با تنش تسلیم ظاهری مشخص می‌شود، یعنی شاره تا نقطه تسلیم دارای رفتار جامد است؛ سپس رفتار آن همانند شاره گرانرو می‌شود. بعضی از گریسها و روغنهای خمیری دارای چنین رفتاری هستند. در مقابل این نوع شاره‌های مومسان، شاره‌های اتساعی هستند که در آهنگهای کرنش پایین با گرانروی کم به آسانی جاری می‌شوند، اما با افزایش آهنگ کرنش به صورت جامد درمی‌آیند (چنین مواردی را ماسه روان می‌نامند). شکل ۱-۲ رفتار شاره‌های مختلف را به صورت نمودار نشان می‌دهد.



شکل ۱-۲ انواع مختلف شاره‌های گرانرو و مومسان.



آب، هوا و گازها اساساً نیوتونی‌اند، اما در مکانیک شاره‌ها بررسی شاره‌هایی که گران‌روکشسان یا نانیوتونی هستند، از اهمیت زیادی برخوردارند، هر چند هنوز به‌خوبی شناخته نشده‌اند و پی به ارزش آنها برده نشده است.

بدین ترتیب، اصطکاک یا تنشهای درونی را می‌توان با گران‌روی در شاره ایجاد کرد. وانگهی، تلاطم ممکن است باعث ایجاد تنشهای برشی در شاره شود. در بخش بعد دربارهٔ تلاطم بحث خواهیم کرد.

اگر شاره‌ای گران‌روی نداشته باشد و به‌طور متلاطم جریان نیابد، آن را شارهٔ ایده‌آل، و یا به‌طور صحیحتر جریان مورد نظر را ایده‌آل می‌گویند. بدین ترتیب، جریان ایده‌آل دارای اصطکاک درونی نیست و بنابراین اتلاف یا افت درونی ندارد. در واقع هیچ شاره‌ای ایده‌آل واقعی نیست، اما بعضی از شاره‌ها، حداقل در نواحی خاصی از جریان و تحت شرایط خاص نزدیک به حالت ایده‌آل می‌شوند و آنها را برای تحلیل به‌صورت ایده‌آل در نظر می‌گیرند. به‌عنوان مثال، جریان هوا بر روی اجسام (آئروپینامیک)، به‌جز در لایه‌ای نازک در مجاورت بال یا سطح که لایهٔ مرزی نامیده می‌شود، جریانی ایده‌آل است. همان‌گونه که خواهیم دید، جریانهایی واقعی شاره را بهتر است به نواحی مختلف تقسیم کرد و هر یک را ایده‌آل، گران‌روی یا متلاطم در نظر گرفت.

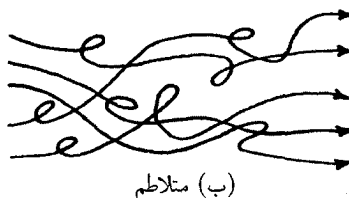
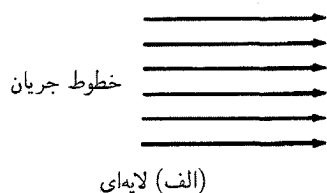
**جریان لایه‌ای و جریان متلاطم:** اصطلاحات جریان لایه‌ای و جریان کاملاً گران‌رو را به‌طور مترادف به کار می‌برند و به معنی آن است که شاره، بر خلاف جریان متلاطم که دارای مؤلفه‌های سرعتی با تغییرات تلاطمی کاتوره‌ای و تأثیرگذار بر روی مقادیر میانگین است، به طور ورقه‌ای یا لایه‌ای جریان دارد (شکل ۱-۳). جریان باریک رنگ یا جوهری که به درون جریانی لایه‌ای تزریق می‌شود، نوار جریان باریکی به‌وجود می‌آورد که همیشه حاوی همان ذرات شاره است. اما، در جریان متلاطم خط رنگ به سرعت به هم می‌ریزد و در حین جاری شدن شاره با آن آمیخته می‌شود؛ در این حالت، خطوط و ابرهای فراوانی را می‌بینیم که، با جاری شدن شاره، به‌سرعت گسترده و پخش می‌شوند. خروج مایع غلیظ از دهانهٔ بطری مثالی واضح از جریان لایه‌ای است.

چه چیزی نوع جریان لایه‌ای یا متلاطم را مشخص می‌کند؟ در هر شارهٔ مفروض سرعت و شکل یا اندازهٔ مجرا نوع جریان را مشخص می‌کنند. جریان شاره با افزایش سرعت در حین فرایند انتقال از لایه‌ای به متلاطم تغییر می‌کند. در طبیعت، هر دو نوع جریان وجود دارد، اما به نظر می‌رسد جریان متلاطم پیشامدی عادی‌تر است.

مثال ساده‌ای از این انتقال را می‌توان در بالا رفتن دود سیگار یا دودکش مشاهده کرد. دود تا مسافتی به شکل لایه‌ای بالا می‌رود و سپس به‌طور ناگهانی در هم‌برهم می‌شود و به‌صورت متلاطم در می‌آید و ستون دود به سرعت پهن و پخش می‌شود. تلاطم شاره به عمل پخش دود کمک می‌کند و باعث می‌شود جریانی آشفته شکل بگیرد.

اثرهای گران‌روی هنوز در جریان متلاطم وجود دارد، اما معمولاً تحت تأثیر تنشهای برشی تلاطمی حاکم قرار می‌گیرد.

**کشش سطحی:** اصطلاح کشش سطحی معمولاً برای مشخص کردن تنش ظاهری در لایهٔ سطحی مایع به‌کار می‌رود. این لایه شبیه پوسته‌ای تنیده عمل می‌کند و باعث ایجاد اختلاف فشار در سطح خمیدهٔ مایع می‌شود (که فصل مشترک هوا-مایع است). در واقع، کشش سطحی، انرژی مربوط به هر نوع فصل مشترک شاره-شاره است و متداولترین نوع آن هوا-مایع خواهد بود. چون سطح مایع شبیه پوسته عمل می‌کند، از آنجا می‌فهمیم که چرا سطح مایع در درون لولهٔ موئین مقعر است، و چرا قطرات باران کم و بیش کروی هستند.



شکل ۱-۳ جریان لایه‌ای و متلاطم. خطها مسیر ذرات را نشان می‌دهند.

در امتداد سطح مشترک شاره، اختلاف فشار  $\Delta p$  باکشش سطحی  $T$  (نیرو بر واحد سطح) خنثی می‌شود، در هر نقطه از سطح مشترک، خمیدگی سطح با دو شعاع  $R_1$  و  $R_2$  مشخص می‌شود (در هر دو صفحه متعامد، هر دو بر سطح عمودند) نتیجه عبارت است از  $\Delta p = T \left( \frac{1}{R_1} + \frac{1}{R_2} \right)$ . به کمک روابط هندسی معمول می‌توان شعاعهای خمیدگی را برحسب معادله سطح بیان کرد.

جریان تراکم‌پذیر و تراکم‌ناپذیر: شاره‌ها را معمولاً به دو گروه تقسیم می‌کنند — گازها و مایعات. گازها تراکم‌پذیرند و چگالی آنها به آسانی برحسب دما و فشار تغییر می‌کند. از سوی دیگر، مایعات به سختی متراکم می‌شوند و در بیشتر مسائل آنها را تراکم‌ناپذیر می‌پندارند. تنها در شرایطی چون انتشار صوت در مایعات به فرض تراکم‌پذیری مایعات نیاز است.

چگالی شاره یکی از خاصیت‌های ترمودینامیکی است که به حالت شاره بستگی دارد چگالی ( $\rho$ ) را بهتر است برحسب تابع فشار و دما بیان کرد. چنین رابطه‌ای که ممکن است جنبه پدیده‌شناسی داشته، یا با توجه به خواص میکروسکوپی به دست آمده باشد، معروف به معادله حالت است. برای گازهای کامل معادله حالت را می‌توان به صورت  $p = \rho RT$  بیان کرد که  $R$  ثابت عمومی گازهاست. معادلات پیچیده‌تری برای گازهای واقعی به کار می‌رود که رفتار آنها متفاوت از رفتار گازهای کامل است. وابستگی چگالی مایع به دما، درست مانند جامد، با ضریب انبساط بیان می‌شود و وابستگی فشاری آن به صورت زیر نوشته می‌شود

$$dp = \beta \frac{d\rho}{\rho} \quad (2-1)$$

که  $\beta$  ضریب تراکم حجمی است. ضریب تراکم حجمی آب،  $3 \times 10^5$  psi است، به گونه‌ای که برای تغییر جزئی در چگالی به فشار بسیار زیادی نیاز است. (برای تراکم بی‌درروی هوای جو  $\beta$  حدود ۲۰ psi است.) بدین ترتیب، برای بیشتر کاربردها، مایعات را تراکم‌ناپذیر در نظر می‌گیرند. در واقع، تحت شرایط خاص همراه با تغییرات جزئی فشار، گازها را می‌توان تراکم‌ناپذیر در نظر گرفت. (حالت آئرو دینامیک فروسوتی که در اعداد ماخ پایین، هوا را تراکم‌ناپذیر فرض می‌کنند.)

جریان‌های فروسوتی و فراصوتی: در جریان‌های تراکم‌پذیر تفاوت فاحشی بین جریان‌هایی که سرعت‌های کمتر از صوت دارند (جریان فروسوتی) و جریان‌هایی که سرعت‌های بالاتر از صوت دارند (جریان فراصوتی) وجود دارد. (سرعت صوت در هوا در شرایط متعارف ۳۳۰ m/s است.) تفاوت‌های بین جریان‌های فروسوتی و فراصوتی را بعداً یادآور خواهیم شد ولی باید به یاد داشته باشیم که موج ضربه‌ای زمانی ایجاد می‌شود که سرعت فراصوتی باشد. عدد ماخ  $M$  معیاری از سرعت نسبی است و عبارت است از سرعت شاره به سرعت موضعی صوت

$$M = \frac{V}{a} \quad (3-1)$$

که  $V$  سرعت شاره و  $a$  سرعت موضعی صوت است. هنگامی که  $M < 1$ ، جریان فروسوتی و هنگامی که  $M > 1$ ، جریان فراصوتی داریم. برای جریان‌های موجود در پیرامون اجسام که  $M$  کوچکتر از ۳ است، جریان را می‌توان تقریباً تراکم‌ناپذیر در نظر گرفت. جریان گذر صوتی زمانی ایجاد می‌شود که بر روی قسمتی از بدنه (مثلاً هواپیما یا موشک) شاره با سرعت  $M < 1$  جریان یابد و در قسمت دیگر همان جسم شاره با سرعت  $M > 1$  جریان داشته باشد، بنابراین در نقطه‌ای بر روی بدنه، خواهیم داشت  $M = 1$ . چگونه ممکن است بر روی یک جسم و در یک زمان  $M > 1$  و  $M < 1$  باشد؟ پاسخ این است که سرعت صوت و سرعت شاره بر روی جسم تغییر می‌کند. به طور کلی، دما بر روی جسم تغییر می‌کند و در نتیجه سرعت صوت باید تغییر کند.

جریان پایا: منظور از جریان پایا این است که مؤلفه‌های سرعت و خواص ترمودینامیکی در هر نقطه از فضا نسبت به زمان تغییر نکند، در واقع اگر تک‌تک ذرات شاره را تعقیب کنیم، می‌بینیم که خواص و سرعت آنها در سرتاسر جریان تغییر می‌کند. اما، این موضوع مهم نیست. در مکانیک شاره‌ها همیشه این سؤال مطرح می‌شود؛ در هر نقطه از فضای شاره بدون توجه به اینکه چه ذره‌ای در هر لحظه در کجا قرار دارد، چه فرایندی رخ می‌دهد؟ با این تصور، جریان پایا بدین معنی است که هیچ تغییری در هر نقطه نسبت به زمان رخ نمی‌دهد. تصویر متحرک و یا لحظه‌ای نشان می‌دهد

که همه چیز مثل هم است. نکته مهم درک این واقعیت است که شاره ممکن است در یک نقطه از فضای جریان، حتی شتاب داشته باشد. ذره شاره نیز ممکن است در امتداد جریان حرکت کند اما در هر نقطه معین از فضا رفتار ذره درست شبیه ذره دیگری است که در آن مکان بوده است.

**انواع یا گروههای جریان:** درباره تعریفهای اصلی به‌کار رفته در جریان شاره‌ها قبلاً بحث کرده‌ایم. اکنون، می‌خواهیم ببینیم چه نوع جریانهایی در شرایط فیزیکی واقعی وجود دارند و سپس آنها را طبقه‌بندی کنیم. خواهیم دید که این طبقه‌بندی می‌تواند شامل جریان لایه‌ای تراکم‌ناپذیر، جریان فراصوتی ایده‌آل تراکم‌پذیر، جریان لایه‌ای تراکم‌پذیر، جریان متلاطم تراکم‌ناپذیر و جز آن باشد.

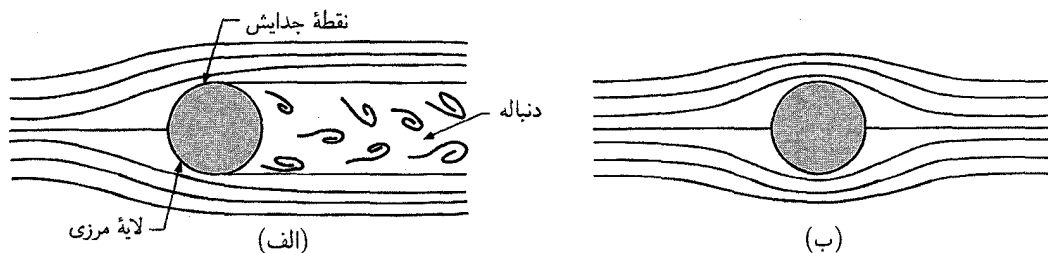
## ۴-۱ طبقه‌بندی‌های فیزیکی و انواع جریانها

راههای فراوانی برای طبقه‌بندی جریان شاره‌ها — بر پایه ساختار جریان که در بالا اشاره شد، یا پایه وضعیت فیزیکی یا پیکربندی شاره وجود دارد — اکنون به بعضی از این طبقه‌بندیها اشاره می‌کنیم.

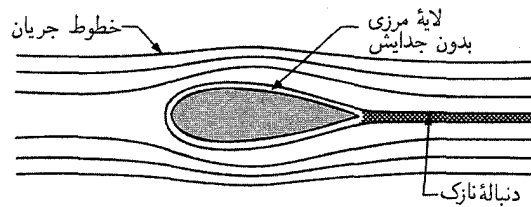
اصولاً دو نوع پیکربندی شاره یا موقعیت مکانی جریان وجود دارد، جریان درونی و جریان بیرونی. منظور از جریان درونی، جریان در درون لوله، کانال و نظایر آن است، به‌گونه‌ای که جریان در درون سازه محصور است. جریان بیرونی جریان شاره بر روی اجسام، همچون در آئرودینامیک است. اکنون به بررسی کاملتر این جریانها می‌پردازیم.

**جریان بیرونی:** ناحیه جریان را در اطراف هر جسم می‌توان به سه قسمت تقسیم کرد. جریان در فاصله‌های دور از جسم اساساً ایده‌آل و بدون اصطکاک است. در نزدیکی جسم، جریان لایه برشی ایجاد می‌کند (زیرا سرعت جریان نسبت به سطح جسم باید صفر باشد)، که در این حالت نقش گران‌روی یا تلاطم اهمیت می‌یابد. این لایه گران‌رو، را لایه مرزی می‌نامند. لایه مرزی ممکن است دارای جریان لایه‌ای یا متلاطم باشد. در پشت جسم دنباله‌ای در شاره (ناحیه سوم کاملاً مشخص) به‌وجود می‌آید که معمولاً ناحیه‌ای با شدت تلاطم بالا و فشار پایین [ از این رو، پسای (پس‌کشی) ناشی از این دنباله] است. شکل ۴-۱ جریان موجود بر روی استوانه را همراه با دنباله نشان می‌دهد. این دنباله به‌علت جداشدن لایه مرزی از سطح جسم ایجاد می‌شود. در واقع، ناحیه جریان ایده‌آل موجود در پشت جسم و در خارج از دنباله و خود ناحیه دنباله، به‌وسیله لایه برشی مشخص شده است (شکل ۴-۱ الف).

لایه مرزی به وجود آمده به‌علت گران‌روی شاره، عامل ایجاد دنباله است. اگر شاره هیچ‌گونه گران‌روی نمی‌داشت، به‌گونه‌ای که به مفهوم مطلق بدون اصطکاک بود، آن‌گاه جدایش و دنباله وجود نداشت. اگر دنباله به‌وجود نیاید، شکل جریان شاره (که ایده‌آل است) از سر تا پشت استوانه متقارن خواهد بود و فشار در جلو و پشت استوانه یکسان است و هیچ‌گونه پسایی بر روی جسمی که وارد شاره می‌شود، به‌وجود نمی‌آید. عدم وجود پسای، مغایر با شواهد تجربی است و می‌دانیم که تمام شاره‌ها دارای اصطکاک درونی هستند. در روزهای نخستین پیدایش علم مکانیک شاره‌ها، تصور می‌شد گران‌روی ناچیز است و جریان از نظر ریاضی در همه جا ایده‌آل است و بنابراین پسایی که نظریه پیش‌بینی می‌کرد، وجود ندارد (شکل ۴-۱ ب)). از آنجا که این نتیجه‌گیری مغایر با تجربه بود آن را پارادوکس دالامبر نامیدند. این موضوع تا زمانی که پراتل (یک آلمانی



شکل ۴-۱ الف) لایه مرزی و جدایش شاره بر روی استوانه. ب) جریان ایده‌آل در صورت عدم جدایش.



شکل ۵-۱ خطوط جریان اطراف جسم. باریک شدن انتهای جسم مانع جدایش لایه مرزی می‌شود.

متخصص در دینامیک شاره‌ها) مفهوم واقعی لایه مرزی را در اوایل قرن بیستم ارائه کرد، به قوت خود باقی ماند تا اینکه در این زمان آشکار شد که هیچ‌گونه پارادوکسی وجود ندارد، بلکه هر مقدار جزئی گران‌روی باعث ایجاد دنباله، و سپس پسا می‌شود.

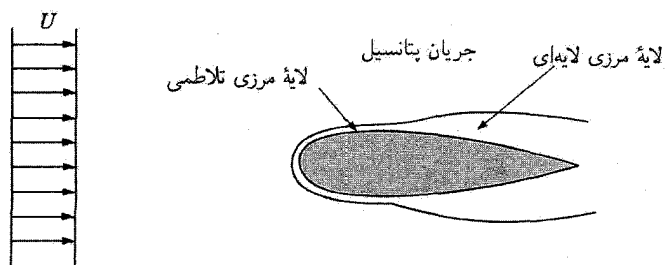
اگر جسمی آئرودینامیکی باشد (شکل ۵-۱)، یعنی لبه فرار آن به تدریج به صورت پربندهای صاف درآید، هیچ‌گونه جدایش به وجود نخواهد آمد و لایه مرزی جسم را در بر می‌گیرد. آئرودینامیکی بودن پسا (پس‌کشی) را کاملاً کاهش می‌دهد و بیشتر اجسام آئرودینامیک (بالهای هواپیما و...) از این نوع‌اند. در چنین حالتی جریان در اطراف جسم به جز در لایه مرزی و دنباله نازک ایده‌آل است. همان‌گونه که خواهیم دید، در این حالت لایه مرزی نسبتاً باریک است و شکل جریان، به جز برای محاسبه پسای اصطکاکی، با جریانی ایده‌آل بیان می‌شود. در آئرودینامیک فروسوتی، نیروی برآ (بالابر) با جریان ایده‌آل پتانسیل، و پسا اساساً به وسیله لایه مرزی تعیین می‌شود.

لایه مرزی برحسب پارامترهای شاره ممکن است لایه‌ای یا متلاطم باشد. در بیشتر حالت‌های علمی، لایه مرزی در طول جسم از جریان آرام به متلاطم تبدیل می‌شود. گذار به جریان متلاطم معمولاً جدایش را به تأخیر می‌اندازد، اما برای جسمهای نسبتاً آئرودینامیکی جدایش ممکن است مشخص نباشد و لایه مرزی متلاطم همچون شکل ۶-۱، وارد ناحیه دنباله شده باشد.

اگر سرعت جریان کم باشد، آن‌گاه تغییرات چگالی جزئی است و جریان را می‌توان تراکم‌ناپذیر در نظر گرفت. (این مفهوم را در فصل ۷ توضیح خواهیم داد.) پس جریان مطابق شکل ۵-۱ یا ۶-۱ است.

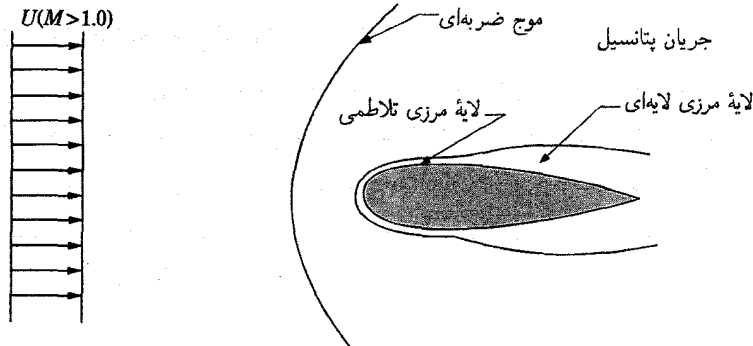
اگر سرعت شاره تا آنجا افزایش یابد که عدد ماخ بزرگتر از ۳ ره بشود، آن‌گاه تغییرات چگالی مهم خواهد شد، اما شکل کلی جریان مطابق شکل‌های قبل است. به هر حال، هنگامی که عدد ماخ بزرگتر از ۱ شود، موج ضربه‌ای به وجود می‌آید و جریان همانند شکل ۷-۱ می‌شود. اگر عدد ماخ باز هم افزایش یابد و بیشتر از ۶ شود، آن‌گاه تجزیه و یونش رخ می‌دهد.

جریان درونی: جریان شاره در درون لوله‌ها، کانالها، شیپوره‌ها و ماشین‌آلات حاوی شاره‌ها، به وسیله دیوارها محصور می‌شود و معمولاً جریان درونی نامیده می‌شود. این جریان را در قسمت اصلی مجرا برای گازها تقریباً ایده‌آل در نظر می‌گیرند، اما با وجود این بر روی دیواره‌ها لایه‌ای مرزی (معمولاً متلاطم) به وجود می‌آید. لایه مرزی در هر دو نوع جریان متلاطم و گران‌رو در پایین دست جریان ضخیمتر می‌شود و سرانجام تمام مجرا یا لوله را فرا می‌گیرد.

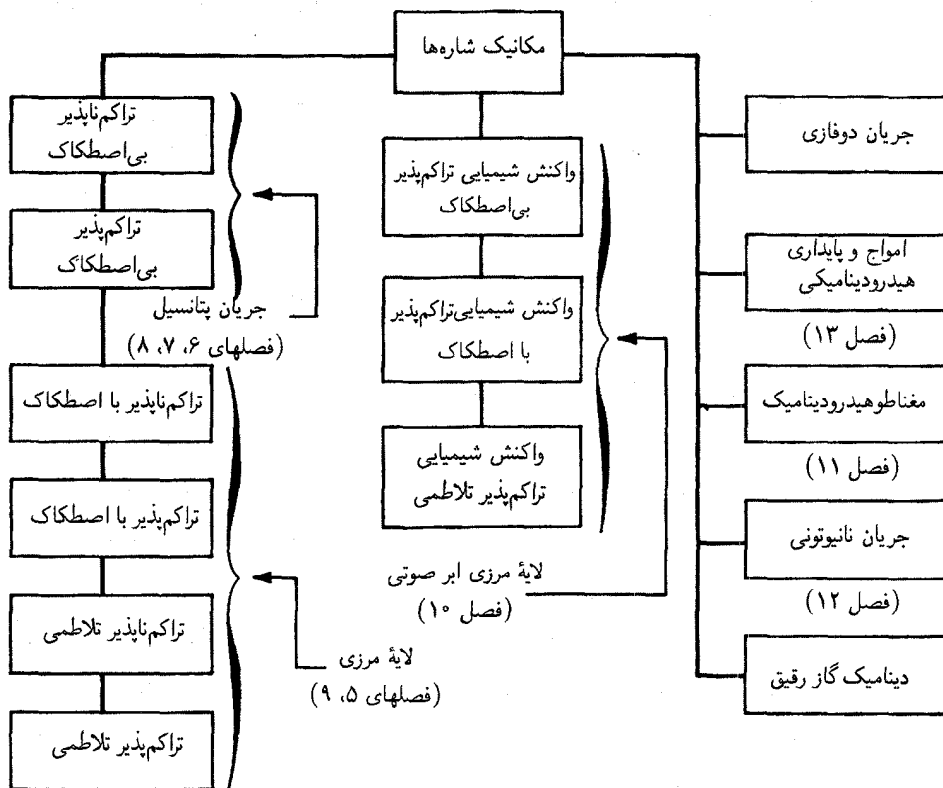


شکل ۶-۱ جریان فروسوتی، با انتقال لایه مرزی بدون جدایش. در ضخامت لایه مرزی اغراق شده است.





شکل ۱-۷: جریان فراصوتی در اطراف جسم.



شکل ۸-۱: تقسیم‌بندی نمونه‌وار مکانیک شاره‌ها.

اکنون، می‌توان جریان را برحسب نوع آن طبقه‌بندی کرد. شکل ۸-۱، از سمت چپ به راست، ساده‌ترین تا پیچیده‌ترین نوع جریان را نشان می‌دهد. این نوع تقسیم‌بندی کاملاً اختیاری است و انواع مختلف جریانهایی را نشان می‌دهد که معمولاً با روشهای ریاضی خاص مشخص می‌شوند. روش دیگر طبقه‌بندی جریان که درک آن تا اندازه‌ای ساده‌تر است، به موقعیت فیزیکی جریان مربوط می‌شود. در این کتاب سعی شده است که، به جای تقسیم‌بندی کتاب بر حسب کاربردهای مختلف، نتایج هر فصل را به کاربردهای عملی آن مربوط کنیم. در اغلب کتابهای درسی آمیزه‌ای از این تقسیم‌بندیها وجود دارد. این کتاب را می‌توانستیم به همان شکل، مثلاً توربوماشینها، جریان در کانالهای باز، آئرو دینامیک، امواج و آکوستیک فصل‌بندی کنیم. بسیاری از این کاربردها در سراسر این کتاب بحث خواهد شد و در قالب مسائل حل شده خواهد آمد.

## ۱-۵ حرکت شاره چگونه توصیف می شود؟

برای بیان حرکت شاره معمولاً این سؤال مطرح می شود: خواص ترمودینامیکی و مکانیکی شاره چیست؟ بردار سرعت و شتاب شاره در هر مکان خاص در فضا و در هر زمان خاص چیست؟ معمولاً سعی نمی شود که تک تک ذرات شاره را ردیابی کنند. این روش مبتنی بر تعیین موقعیت نقطه در فضا بر روی دستگاه مختصات، درست شبیه تعیین مختصات بر روی نقشه، است. بدین ترتیب، می توان آنچه را که در آن نقطه نسبت به زمان رخ می دهد، بیان کرد. ذرات مختلف شاره ممکن است به طور پیوسته از یک نقطه گذر کنند، اما اگر تمام ذرات همین عمل را انجام دهند و دارای یک خاصیت باشند، می گوئیم که جریان در آن نقطه پایاست. (ذرات شاره ممکن است هر یک دارای سرعت و شتاب معینی باشند، اما این کمیتهای در جریان پایا ثابت هستند.)

در مکانیک شارهها معمولاً از مختصات فضایی که معرف «مؤلفه های میدان» یا مکان  $\mathbf{r}$  در فضا است، استفاده می کنند. مشتقهای مؤلفه نسبت به زمان نظیر  $dx/dt$  بی معنی هستند. بدین ترتیب، مسئله اصلی در مکانیک شارهها یافتن مؤلفه سرعت (و خواص دیگر) برحسب تابع مکان  $\mathbf{r}$  و زمان  $t$  است. چنین دستگاه مختصاتی معروف به دستگاه اویلری است که به نام ریاضی دان معروف قرن ۱۸، ل. اویلر، نام گذاری شده است.

این نوع دستگاه مختصات بر خلاف دستگاه مختصات لاگرانژی است که در مکانیک اجسام صلب (و گاهی در مکانیک شارهها برای مقاصد خاصی) به کار می رود. این دستگاه، مکان ذره را با  $\mathbf{r}(t)$  نشان می دهد. این مختصات مکان نقطه را برحسب زمان مشخص می کند. سرعت و شتاب به ترتیب عبارتند از  $dx/dt$  و  $d^2\mathbf{r}/dt^2$ .

روشن است که در دستگاه مختصات اویلری مشتق  $\mathbf{r}$  بی معنی است و برای بیان سرعت و شتاب باید از روش خاصی استفاده کرد. این روش را در فصل ۳ بررسی خواهیم کرد. باید به خاطر داشت که سرعت و شتاب بردار هستند و، صرف نظر از چگونگی نمایش آنها، در هر دو دستگاه مختصات اویلری و لاگرانژی یکسان هستند.

این نکته که شاره در «جریان پایا» دارای شتاب است، برای دانشجویان مبتدی گاهی گیج کننده خواهد بود. باید به یاد داشت که جریان پایا به رویدادهایی اشاره دارد که در نقطه ثابتی در فضا (نسبت به زمان) رخ می دهد. اگر کسی سوار بر ذره شاره متحرکی باشد، تغییرات شاره را نسبت به زمان، حتی در جریان پایا نیز مشاهده می کند. به طور خلاصه، در جریان پایا ذرات دارای رفتار و خواص یکسان در حین عبور از هر موقعیت مفروض در میدان جریان (یعنی از هر نقطه مفروض در فضا) هستند.

## ۱-۶ یکاها در مکانیک شارهها

در این کتاب قانونهای مکانیک شارهها را به شکل معادلات ریاضی بیان خواهیم کرد. این معادلات به یکاهای به کار رفته بستگی ندارند. در حال حاضر، در سراسر دنیا دو دسته یکا به طور گسترده به کار می رود: سیستم مهندسی انگلیسی و سیستم متریک بین المللی SI. سیستم SI در اغلب کشورهای دنیا پذیرفته شده و جایگزین سیستم انگلیسی شده است، اما در بسیاری از کشورها هنوز از سیستم انگلیسی استفاده می شود و ممکن است تا چندین سال نیز ادامه یابد. در هر حال، آشنایی با هر دو سیستم ضروری است. در پیوست بحث کاملتری درباره یکاها ارائه کرده ایم، اما در زیر مقدمه کوتاهی در این باره آورده ایم.

در هر سیستم یکاهای مفروض، با دو روش می توان مجموعه یکاهای سازگار با مکانیک شارهها را به دست آورد. با استفاده از ابعاد اصلی  $M, L, T$  و  $\theta$  (جرم، طول، زمان و دما) یا  $F, L, T, \theta$  (نیرو، طول، زمان و دما) می توان ابعاد دیگر را برحسب این ابعاد اصلی به کمک تعریفها و قانونهای مختلف بیان کرد. (اگر پدیده های الکتریکی مورد نظر باشند باید بعد الکتریکی دلخواه دیگری، مثلاً بار الکتریکی را انتخاب کرد.)

انتخاب هر یک از ابعاد اصلی  $M, L, T, \theta$  یا  $F, L, T, \theta$  اختیاری است، اما باید به دقت از قانون حرکت نیوتونی  $\mathbf{F} = m\mathbf{a}$  پیروی کنند. به طور مثال، اگر یکای نیرو را پوند نیرو (lbf) انتخاب کنیم، آن گاه یکای جرم، مقدار ماده ای است که با اعمال نیروی یک پوند نیرو (lbf) شتابی برابر  $1 \text{ ft/s}^2$  به دست می دهد. این یکای جرم را اسلاگ می گویند. در سیستم SI، یکای نیرو نیوتون (N) و یکای جرم متناظر کیلوگرم (kg) است. شتابی که یک نیوتون (N) به یک کیلوگرم (kg) می دهد برابر با یک متر بر مجذور ثانیه ( $\text{m/s}^2$ ) است.

یک اسلاگ در میدان گرانشی زمین شتابی برابر  $g \text{ ft/s}^2$  شتاب ایجاد می‌کند (که  $g$  شتاب مربوط به گرانی است). بنابراین، نیروی گرانشی (بر روی سطح زمین در سطح تراز دریا) وارد بر یک اسلاگ برابر  $32.174 \text{ lbf}$  است. یک اسلاگ در سطح زمین  $32.174$  پوند وزن دارد. جرم یک کیلوگرم در سطح زمین تحت نیروی  $g$  نیوتون قرار دارد که  $g$  در سطح تراز دریا برابر  $9.807 \text{ m/s}^2$  است.

با روشهای دیگری مستقل از قانون نیوتون می‌توان جرم و نیرو را مرتبط کرد. یک پوند جرم ( $\text{lb}_m$ ) مقدار جرمی است که اگر در سطح اسمی زمین آویزان شود با نیرویی برابر یک پوند نیرو ( $\text{lb}_f$ ) به طرف زمین جذب می‌شود. به همین ترتیب در یکاهای SI یک کیلوگرم ( $\text{kg}$ ) جرم مقدار ماده‌ای است که با نیروی یک کیلوگرم نیرو ( $\text{kg}_f$ ) جذب می‌شود. برای اینکه شرایط قانون دوم نیوتون و همگنی ابعادی برقرار باشد، باید ضریب تبدیل  $g_c$  به صورت  $F = ma/g_c$  به کار رود ( $F$  برحسب  $\text{lb}_f$  و  $m$  بر حسب  $\text{lb}_m$  یا  $F$  برحسب  $\text{kg}_f$  و  $m$  برحسب  $\text{kg}_m$  است) که  $g_c$  از لحاظ عددی برابر مقدار  $g$  در سطح اسمی زمین در کنار دریا است. بنابراین

$$g_c = 32.174 \frac{\text{lb}_m \text{ ft}}{\text{lb}_f \text{ s}^2} \quad \text{در یکاهای انگلیسی}$$

$$g_c = 9.807 \frac{\text{kg}_m \text{ m}}{\text{kg}_f \text{ s}^2} \quad \text{در یکاهای SI}$$

در این کتاب از هر دو سیستم مهندسی انگلیسی و SI استفاده می‌شود، که در جدول زیر آمده است. لازم به یادآوری است که اگر مجبور به استفاده از یکایی شدیم که جرم برحسب  $\text{lb}_m$  و نیرو برحسب  $\text{lb}_f$  باشد باید از ضریب تبدیل  $g_c$  در تمام معادلات دینامیکی استفاده کنیم. این نوع دستگاه یکاها اغلب در ابتدا گیج‌کننده است، اما با بیان جرم برحسب اسلاگ و کیلوگرم از ضریب تبدیل  $g_c$  پرهیز می‌کنیم و به هیچ وجه در روابط ظاهر نمی‌شود. در به‌کارگیری از سیستم یکاها در این کتاب مقدار  $g$  معمولاً همان شتاب گرانی موضعی است. تبدیل یک  $\text{lb}_m$  به اسلاگ به‌طور ساده برابر  $32.174$  پوند جرمی است، به‌گونه‌ای که مقدار عددی  $g_c$  ضریب تبدیل است.

بعد	یکای مهندسی انگلیسی	یکای بین‌المللی
نیرو	پوند (lb)	نیوتون (N)
جرم	اسلاگ (slug)	کیلوگرم (kg)
زمان	ثانیه (s)	ثانیه (s)
طول	فوت (ft)	متر (m)
فشار	$\text{lb/ft}^2$	پاسکال ( $\text{N/m}^2 = \text{Pa}$ )
سرعت	$\text{ft/s}$	$\text{m/s}$
شتاب	$\text{ft/s}^2$	$\text{m/s}^2$
گران‌روی	$\text{lb.s/ft}^2$	$\text{N.s/m}^2 = \text{pa.s}$
دمای مطلق	درجه رانکین ( $^{\circ}\text{R}$ )	درجه کلوین (K)
چگالی	اسلاگ بر فوت مکعب ( $\text{slug/ft}^3$ )	$\text{kg/m}^3$
وزن مخصوص	پوند بر فوت مکعب ( $\text{lb/ft}^3$ )	$\text{N/m}^3$

۱-۱ کمی شربت یا سوپ را در بشقابی بریزید. مقدار کمی شیر بر روی شربت بریزید و آن دو را مخلوط کنید. چه اتفاقی می افتد؟ گران روی به اندازه‌ای زیاد است که آمیختگی ناشی از بهم زدن لایه‌ای و نسبتاً کند است. آمیختگی تلاطمی بسیار سریعتر از آمیختگی لایه‌ای است. چرا؟ بخش مولکولی در شربت غلیظ نیز رخ می دهد که در مقایسه با اثر آمیختگی بی اهمیت تلقی می شود.

۲-۱ بالا رفتن دود سیگار را تماشا کنید. نخست، حرکت دود لایه‌ای است ولی ناگهان متلاطم می شود. با حرکت روبه بالای دود جریان ناپایدار می شود و به صورت متلاطم در می آید.

۳-۱ شیر آب را باز کنید و جریان را به گونه‌ای تنظیم کنید که ریزش بسیار ضعیف لایه‌ای داشته باشید، چه اتفاقی ممکن است در چند سانتی متری رخ دهد. جریان مجدداً ناپایدار و متلاطم می شود.

۴-۱ در مثال بالا آهنگ جریان آب را افزایش دهید: چه اتفاقی می افتد؟ جریان آب در درون لوله متلاطم می شود و در حین خروج از شیر متلاطم است.

۵-۱ سیستمی از یک ابر کم ارتفاع را در یک روز بادی به ویژه در هوای ابری و باران شدید در نظر بگیرید. آیا جریان متلاطم است؟ آیا جریان متفاوت از جریان آب در شیر است؟

۶-۱ از یک سیگار روشن یا یک پیپ ستونی از دود خارج می شود. مدادی را به طور افقی در درون جریان دود نگه دارید. با مشاهده دود بر روی مداد جریان دود در دو طرف سیگار از هم جدا می شوند. با دمیدن بر سیگار و یا پیپ ستون دود غلیظی ایجاد می شود که برای انجام آزمایش بهتر است.

۷-۱ در آزمایش قبلی چرا دود بالا می رود؟

## سوالات فکری

۸-۱ وزن جسمی به جرم یک اسلاگ در روی زمین چقدر است؟

جواب:  $۳۲.۲ \text{ lb}$

۹-۱ یک وزنه  $۱ \text{ lb}_m$  در روی زمین چقدر وزن دارد؟

جواب:  $۱ \text{ lb}$

۱۰-۱ نیروی گرانشی سطح ماه  $\frac{1}{6}$  نیروی گرانشی کره زمین است. یک پوند جرم روی سطح ماه چقدر وزن دارد؟

جواب:  $۱.۶ \text{ lb}$

۱۱-۱ وزن جسم را گاهی بر حسب کیلوگرم ( $\text{kgf}$ ) می دهند. یک کیلوگرم جرم در سطح زمین چقدر وزن دارد؟

جواب:  $۱ \text{ kg}$

۱۲-۱ نیوتون، مقیاس خاصی برای اندازه گیری وزن است. جسمی با وزن یک نیوتون را در نظر بگیرید. این جسم در مقیاس استاندارد چقدر وزن دارد؟

جواب:  $۰.۱۰۳ \text{ kg}$

۱۳-۱ یک حباب کروی صابون در هوا معلق است. فشار هوا در درون حباب چگونه است؟ اگر قطر حباب  $D$ ، کشش سطحی مؤثر لایه حباب  $T$  باشد، فشار درون حباب چقدر است؟

جواب:  $\Delta p = 4T/D$  (افزایش فشار بر فشار جو)

## سؤالات فکری ۱۵

۱-۱۴ میز هوا یک سطح تخت بزرگی است که برای نگه داشتن اجسام سنگین بر روی لایه نازک هوا و حرکت بی اصطکاک آنها به کار می رود. هوا به درون حفره های خالی نزدیک هم در سطح میز دمیده می شود. صفحه ای سنگین به مساحت یک متر مربع را که در فاصله  $1\text{mm}$  بالای سطح میز بر روی بالشک هوا معلق است، در نظر بگیرید. برای به حرکت درآوردن این صفحه با سرعت  $1\text{m/s}$  به طور افقی چه نیرویی لازم است؟  
 $\mu = 2.18 \times 10^{-5} \text{N}^2/\text{m}^2$

جواب:  $2.18 \times 10^{-2} \text{N}$

۱-۱۵ مسئله بالا را با روغن موتور با گرانروی  $\mu = 10^{-3} \text{Ns/m}^2$  تکرار کنید. خواص اصطکاکی هوا را با روغن مقایسه کنید. جواب را به پوند تبدیل و مقایسه کنید.

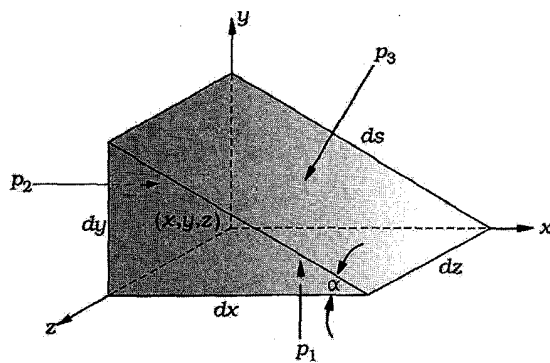
## استاتیک شاره‌ها

### ۱-۲ فشار

قبل از شروع به بررسی واقعی دینامیک شاره‌ها، بهتر است درباره استاتیک شاره‌ها بحث کنیم؛ زیرا این موضوع کاربردهای روزمره مسائل واقعی مهندسی را بدون درگیر شدن با مفاهیم پیچیده بیان می‌کند. مفهوم فشار اهمیت ویژه‌ای در استاتیک شاره‌ها دارد. به عنوان مثال، فشار در تعیین نیروی وارد بر سد از طرف حجم آب، یا به طور کلی در تعیین نیروی وارد بر اجسام غوطه‌ور اهمیت دارد. در سالهای اخیر در کاوشهای گسترده در عمق اقیانوسها، بازیافت اجسام در نواحی دوردست زیرآبی و اطمینان از نجات غواصان، توجه زیادی به این بخش از دینامیک شاره‌ها شده است. فشار را به صورت تنش یا نیرو بر واحد سطح تعریف می‌کنند.

$$p \equiv \lim_{\Delta A \rightarrow 0} \frac{\Delta F}{\Delta A} = \frac{dF}{dA} \quad (1-2)$$

هنگامی که فرض می‌کنیم سطح شاره واقعی به سوی صفر می‌گراید، این مشکل ایجاد می‌شود که دیگر با پیوستار سروکار نخواهیم داشت. بنابراین، تناقضی بین فرض پیوستاری و تعریف عمومی مشتق و کمیت‌های دیفرانسیلی وجود دارد. این مشکل یا تناقض در نحوه ایجاد معادلات دیفرانسیل مکانیک شاره‌ها به چشم می‌خورد، اما آن را، با فرض پیوستار بودن شاره تا هر اندازه ماکروسکوپی مورد نظر می‌توان حل کرد. اکنون، ظرفی حاوی مایع ساکن را در نظر می‌گیریم. اگر مرزی خیالی را در اطراف قسمت کوچکی از حجم کلی در نظر بگیریم، نیروی خالص وارد بر توده شاره باید صفر باشد، زیرا این حجم معیار شتابی ندارد. در اینجا مطابق شکل ۱-۲، حجم کوچکی را انتخاب می‌کنیم. چون حرکت نسبی در این شاره وجود ندارد، تنش برشی در تمام نقاط صفر است. تنها نیروهای سطحی وارد بر جزء شاره عمود هستند



شکل ۱-۲ تعادل نیروهای فشار وارد بر حجم کوچک شاره.

(فشار). فقط نیروی حجمی ناشی از میدان گرانشی زمین وجود دارد که در جهت منفی  $y$  بر شاره وارد می‌شود. از این رو، با جمع نیروها در جهت  $x$ ، داریم

$$p_2 dy dz - p_3 dz ds \sin \alpha = 0$$

که  $ds \sin \alpha = dy$  و بنابراین،  $p_2 = p_3$ . در جهت  $y$ ، داریم<sup>۱</sup>

$$p_1 dx dz - p_3 dz ds \cos \alpha - \frac{1}{\gamma} \rho g dx dy dz = 0$$

که  $\rho$  چگالی جرمی شاره و  $ds \cos \alpha = dx$ ، که نتیجه می‌دهد

$$p_1 - p_3 - \frac{1}{\gamma} \rho g dy = 0$$

چون جمله سوم، در مقایسه با دو جمله اول، کوچک است، داریم

$$p_1 = p_2 = p_3$$

چون حجم معیار را می‌توان با هر جهت‌گیری انتخاب کرد، و زاویه  $\alpha$  نیز اختیاری است، بنابراین فشار در هر نقطه شاره ساکن در تمام جهتها یکسان است، یعنی همسانگرد است.

در یکاهای مهندسی انگلیسی، فشار برحسب  $\text{lbf/ft}^2$  یا  $\text{lbf/in.}^2$  (یا psi) داده می‌شود. در سیستم SI فشار برحسب  $\text{N/m}^2$  یا پاسکال (Pa) است. یک پاسکال برابر  $1 \text{ N/m}^2$  است. چون یک پاسکال مقدار کوچکی است به همین خاطر فشار را معمولاً برحسب kPa یا MPa بیان می‌کنند، برای «احساس» کلی بزرگی فشار در سیستم SI خاطر نشان می‌سازیم که یک اتمسفر (۱۴.۷ psi) تقریباً برابر  $101000 \text{ Pa}$ ،  $101 \text{ kPa}$  و یا  $1.01 \text{ MPa}$  است.

فشار بیشتر از فشار جو را فشار نسبی می‌نامند. در بسیاری از مسائل فقط اختلاف فشار اهمیت دارد و استفاده از فشار نسبی مناسب‌تر است. اما، به‌علت استفاده از فشار مطلق، مثلاً در معادلات قانون گازهای ایده‌آل، به این نکته باید توجه داشت. در یکاهای انگلیسی، فشار  $\text{lbf/in.}^2$  را به‌صورت psia برای فشار مطلق، و psig برای فشار نسبی می‌نویسند.

۱. در این کتاب اسلاگ را به‌عنوان واحد جرم در سیستم انگلیسی، و kg را به‌عنوان واحد جرم در سیستم SI به‌کار برده‌ایم. بنابراین یکای  $\rho$  برابر  $\text{slug/ft}^3$  یا  $\text{kg/m}^3$  و یکای وزن مخصوص ( $\gamma$ ) برابر با  $\text{lbf/ft}^3$  یا  $\text{N/m}^3$  است.  $\gamma = pg$ . معمولاً از نوشتن  $f$  معرف نیرو به‌صورت شاخص پایین در  $\text{lbf}$  صرف‌نظر می‌کنیم چون lb همه‌جا برای نیرو به‌کار می‌رود. برای بحث بیشتر دربارهٔ یکاها و ابعاد، خواننده می‌تواند به پیوست ب مراجعه کند.

## ۲-۲ معادلات دیفرانسیل استاتیک شاره‌ها

تعادل را به صورت حالتی تعریف می‌کنیم که هریک از ذرات شاره یا در حالت سکون‌اند و یا نسبت به ذرات دیگر هیچ حرکت نسبی ندارند. اختلاف اساسی بین این دو حالت این است که در اولی سیستم کلی شاره دارای شتاب نیست و در دومی شاره می‌تواند شتاب داشته باشد. در اینجا، هر دو حالت را بررسی خواهیم کرد.

دو نوع نیرو برای بررسی وجود دارند: (۱) نیروهای حجمی، که نیروهای وارد بر ذرات شاره در فاصله دور هستند (مثلاً نیروی گرانی، میدان مغناطیسی) و (۲) نیروهای سطحی، که نیروهای ناشی از تماس مستقیم بین ذرات شاره یا بین ذرات و دیواره‌های جامدند (نیروهای ناشی از فشار یا نیروی تماسی، یعنی تنش برشی).

دوباره، به ظرف حاوی شاره در حال سکون برمی‌گردیم. اما این بار، ذرهٔ بینهایت کوچک و مکعبی شاره را در داخل ظرف، مطابق شکل ۲-۲، انتخاب می‌کنیم. فرض می‌کنیم که نیروی گرانی در جهت منفی  $z$  اثر می‌کند.

می‌توان فرض کرد که فشار وارد بر هریک از وجوه مکعب مقدار ثابتی است، زیرا می‌توان نشان داد که تمام تغییرات از مرتبهٔ دوم هستند و در نتیجهٔ نهایی تأثیری ندارند. از جمع نیروها در جهتهای مختلف، داریم

$$p \, dydz - \left( p + \frac{\partial p}{\partial x} dx \right) dydz = 0 \quad \text{در جهت } x$$

$$p \, dx dz - \left( p + \frac{\partial p}{\partial y} dy \right) dx dz = 0 \quad \text{در جهت } y$$

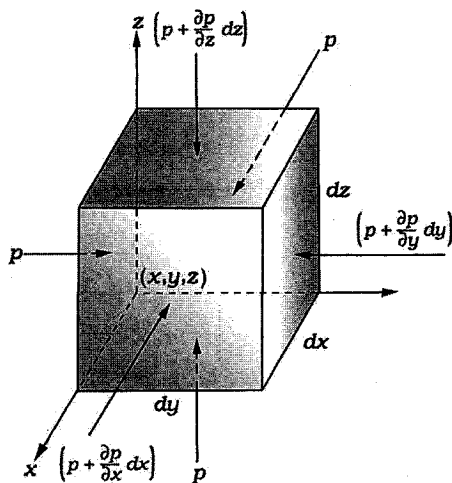
$$p \, dx dy - \left( p + \frac{\partial p}{\partial z} dz \right) dx dy - \rho g \, dx dy dz = 0 \quad \text{در جهت } z$$

پس از ساده کردن خواهیم داشت

$$\frac{\partial p}{\partial z} = 0, \quad \frac{\partial p}{\partial y} = 0, \quad \frac{\partial p}{\partial x} = -\rho g \quad (2-2)$$

از معادلات (۲-۲) نتیجه می‌شود

$$\frac{dp}{dz} = -\rho g \quad (3-2)$$



شکل ۲-۲



که رابطه مهمی در استاتیک شاره‌هاست. اگر چگالی جرمی شاره ثابت باشد، با انتگرال‌گیری از معادله (۳-۲) بین دو ارتفاع  $z_1$  و  $z_2$  خواهیم داشت

$$\int_{p_1}^{p_2} dp = -\rho g \int_{z_1}^{z_2} dz$$

$$p_2 - p_1 = -\rho g(z_2 - z_1) \quad (4-2)$$

که تغییر فشار بر حسب ارتفاع را برای شاره‌ای بیان می‌کند که در حال تعادل استاتیکی است. معادله (۳-۲) را می‌توان با در نظر گرفتن نیروهای وارد بر استوانه دایره‌ای قائم، که محور آن عمود بر سطح زمین است، به‌طور ساده و مستقل به‌دست آورد.

معادله (۴-۲) برای شاره تراکم‌ناپذیر معتبر است. اکنون، تغییرات فشار را در شاره‌های تراکم‌پذیر در نظر می‌گیریم. معادله (۳-۲) را برای گاز کامل به‌صورت زیر می‌توان نوشت

$$dp = -\frac{pg}{RT} dz$$

که  $R$  ثابت عمومی گازها و  $T$  دمای مطلق است. با انتگرال‌گیری از معادله بالا برای جو تک‌دما، خواهیم داشت

$$\ln \frac{p}{p_1} = -\frac{g}{RT}(z - z_1)$$

$$p = p_1 e^{-(g/RT)(z-z_1)} \quad (5-2)$$

که  $p_1$  فشار گاز در ارتفاع  $z_1$  است. در  $z_1 = 0$  فشار جو در سطح زمین  $p_1$  است و دیده می‌شود که در دمای ثابت فشار به‌طور نمایی کاهش می‌یابد. اما واقعیت این است که دما با ارتفاع کاهش می‌یابد، گرچه در شرایط غیرمعمول ممکن است تا ارتفاع کمی از سطح زمین افزایش یابد که اصطلاحاً دگرگونی دما نامیده می‌شود.

### ۳-۲ فشارسنجی

فشارسنج وسیله‌ای است که با استفاده از جابه‌جایی ستونهای شاره، اختلاف فشار را تعیین می‌کند. معادله (۴-۲) اختلاف فشار و ارتفاع ستونهای شاره را به هم مرتبط می‌کند. این معادله را می‌توان به‌صورت زیر نوشت

$$p_2 - p_1 = \gamma h = \rho g h \quad (6-2)$$

$$h = -(z_2 - z_1) \quad (7-2)$$

شکل ۳-۲ فشارسنج U شکلی را برای اندازه‌گیری اختلاف فشار نشان می‌دهد. اختلاف دو فشار  $p_A$  و  $p_B$  را می‌توان به‌صورت زیر تعیین کرد. فشار در نقطه  $a$  عبارت است از

$$p_a = h_1 \gamma_{\text{آب}} + (h_3 - h_1) \gamma_{\text{هوا}} + p_A \quad \text{یا}$$

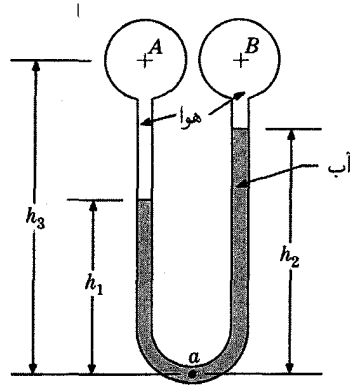
$$p_a = h_2 \gamma_{\text{آب}} + (h_3 - h_2) \gamma_{\text{هوا}} + p_B \quad (8-2)$$

از تفریق دو رابطه داریم

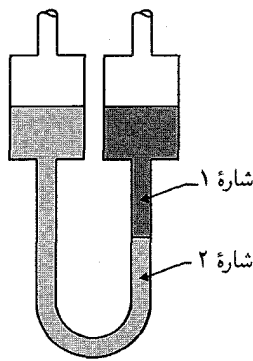
$$p_A - p_B = (h_2 - h_1)(\gamma_{\text{آب}} - \gamma_{\text{هوا}}) \quad (9-2)$$

وزن مخصوص هوا در مقایسه با آب بسیار کم است، و به این معناست که اختلاف فشار هوا برابر با اختلاف ارتفاع ستونها ضرب در وزن مخصوص آب است.

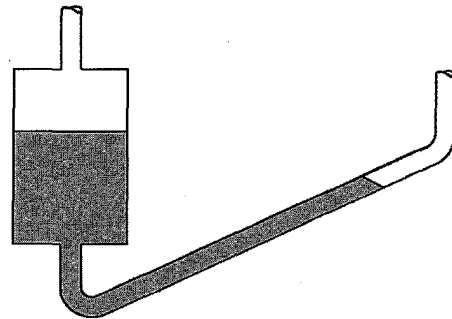
$$p_A - p_B = (h_2 - h_1) \gamma_{\text{آب}} \quad (10-2)$$



شکل ۳-۲ فشارسنج U شکل.



شکل ۵-۲ فشارسنج دوشاره‌ای.



شکل ۴-۲ فشارسنج مایل.

فشارسنجها برحسب نوع استفاده دارای شکلهای مختلف و شاره‌های متفاوت هستند. به‌عنوان مثال، برای بهبود در دقت اندازه‌گیری، به‌جای فشارسنج قائم، می‌توان از فشارسنج مایل همچون شکل ۴-۲، یا فشارسنجهای دوشاره‌ای همچون شکل ۵-۲ استفاده کرد. روش ارتباط اختلاف فشارها با تغییر شکل ستونهای شاره در این دو فشارسنج اساساً شبیه فشارسنج U شکل است.

## ۴-۲ نیروهای شاره‌ای وارد بر اجسام غوطه‌ور

نیروی کل وارد بر جسم را می‌توان از جمع برداری نیروهای دیفرانسیلی وارد بر سطح به‌دست آورد،

$$\mathbf{F} = \int_A d\mathbf{F} \quad (۱۱-۲)$$

که

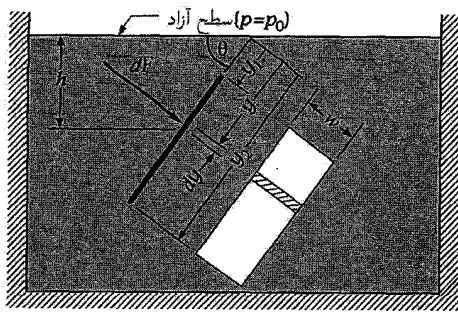
$$d\mathbf{F} = p d\mathbf{A}$$

و

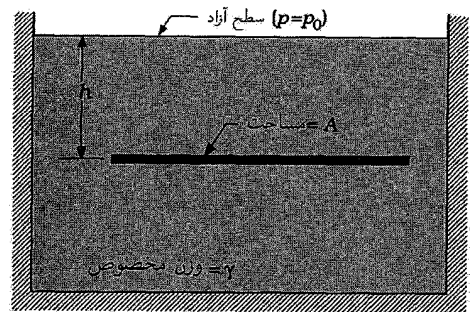
$$p = p_0 + \gamma h \quad (۱۲-۲)$$

که  $p_0$  فشار در سطح آزاد،  $h$  ارتفاع (عمق) از زیر سطح آزاد است.

این معادلات برای تعیین نیروهای وارد بر سطوح غوطه‌ور لازم‌اند. درکاربردهای خاص آنچه که لازم است داشتن عمق  $h$  و مساحت دیفرانسیلی



شکل ۷-۲ صفحه مایل غوطه‌ور.



شکل ۶-۲ صفحه افقی غوطه‌ور.

$dA$  برحسب متغیر انتگرال‌گیری یکسان است. همچنین، پیش از انتگرال‌گیری معادله، آن را باید به صورت اسکالر (زده‌ای) نوشت. اکنون، چند حالت خاص را در نظر می‌گیریم.

**سطح تخت افقی:** سطح افقی تختی را به فاصله  $h$  در زیر سطح مایعی همچون شکل ۶-۲ در نظر می‌گیریم. نیروی وارد بر سطح (از یک طرف) عبارت است از

$$F = \int_A dF = \int_A (p_0 + \gamma h) dA = (p_0 + \gamma h) A \quad (۱۳-۲)$$

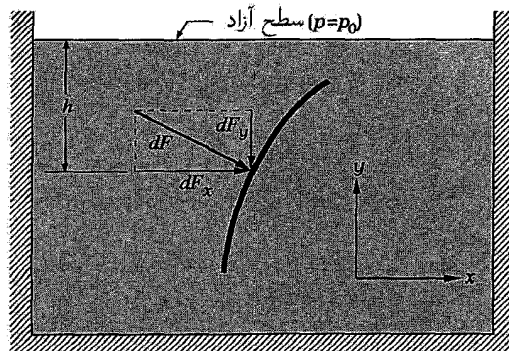
**سطح تخت مایل:** مطابق شکل ۷-۲، سطح مایل غوطه‌وری را در نظر می‌گیریم. در این حالت، نیروی وارد بر صفحه (عمود بر صفحه) عبارت است از

$$\begin{aligned} F &= \int_A dF = \int_A (p_0 + \gamma h) dA = p_0 A + \gamma \int_{y_1}^{y_2} w y \sin \theta dy \\ &= p_0 A + \frac{1}{2} \gamma w \sin \theta (y_2^2 - y_1^2) \end{aligned} \quad (۱۴-۲)$$

**سطح خمیده:** در سطح خمیده‌ای همچون شکل ۸-۲ مؤلفه‌های نیرو عبارت‌اند از

$$F_x = \int_A (p_0 + \gamma A) dA_x \quad (۱۵-۲)$$

$$F_y = \int_A (p_0 + \gamma h) dA_y \quad (۱۶-۲)$$



شکل ۸-۲

انتگرال‌گیری از این معادلات ممکن است همیشه مناسبترین روش برای تعیین نیروهای وارد بر اجسام غوطه‌ور نباشند. به‌عنوان مثال، مؤلفه عمودی نیروی وارد بر هر سطح غوطه‌ور برابر است با وزن (یا معادل وزن) شاره موجود بر روی سطح به اضافه نیروی ناشی از فشار وارد بر سطح آزاد مایع، و مؤلفه افقی نیرو را می‌توان با در نظر گرفتن سطح عمودی تختی تعیین کرد که تصویر سطح موردنظر است.

نیروی شناوری: بنا بر اصل ارشمیدس هر جسم غوطه‌ور تحت تأثیر نیروی بالارونده‌ای قرار می‌گیرد که مساوی وزن شاره جابه‌جا شده است. از این رو، این نیرو (نیروی شناوری) برابر با حجم جسم غوطه‌ور ضرب در وزن مخصوص شاره خواهد بود.

درک این نکته مهم است که نیروی شناوری را می‌توان از جمع تمام مؤلفه‌های عمودی فشار در سطح وارد بر سطح جسم غوطه‌ور محاسبه کرد

$$F_B = \int_A p dA_y \quad (۱۷-۲)$$

و همان‌گونه که اشاره شد، برابر است با

$$F_B = \gamma \times \text{حجم} \quad (۱۸-۲)$$

## ۵-۲ شتاب‌گیری شاره‌ها در نبود تنش برشی

در بخشهای پیشین شاره‌ها را ساکن در نظر می‌گرفتیم. اکنون، شاره‌هایی را بررسی می‌کنیم که دارای شتاب ثابت (نسبت به زمان) هستند، اما هریک از ذرات شاره نسبت به ذره مجاورش حرکتی ندارد، به‌گونه‌ای که شاره به‌صورت جسمی صلب حرکت می‌کند. به‌عنوان مثال، ظرف حاوی مایعی را در نظر می‌گیریم که دارای شتاب ثابت رو به بالا و به طرف راست  $a$ ، همچون شکل ۹-۲ است. با استفاده از همان روش بخش ۲-۲ به‌آسانی می‌توان نشان داد که قانون نیوتون برای ذره بینهایت کوچک موجود در درون ظرف به‌صورت زیر در می‌آید

$$\frac{\partial p}{\partial x} = -\rho a_x, \quad \frac{\partial p}{\partial y} = -(\rho a_y + \gamma)$$

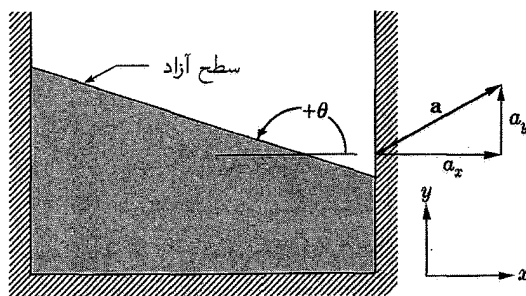
پس از انتگرال‌گیری، داریم

$$p = -[\rho a_x x + (\rho a_y + \gamma)y] + C \quad (۱۹-۲ الف)$$

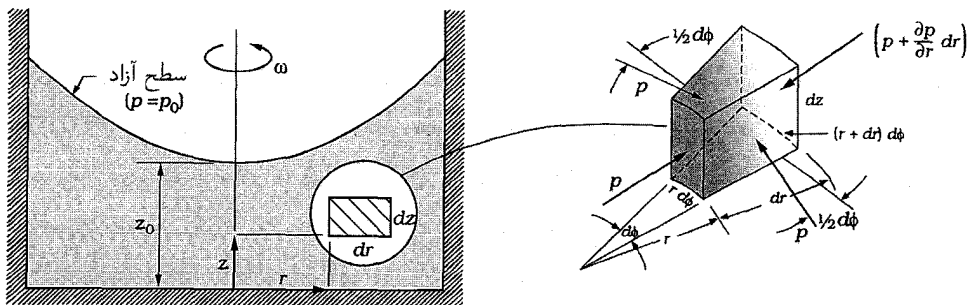
شکل سطح آزاد مایع با شرط  $p = p_0$  تعیین می‌شود که به‌صورت سطح تخت در می‌آید. سطوح فشار ثابت صفحاتی موازی هستند که شیب آنها نسبت به صفحه افقی از رابطه زیر به‌دست می‌آید

$$\theta = \tan^{-1} a_x / (a_y + g) \quad (۱۹-۲ ب)$$

که  $\theta$  در شکل ۹-۲ مشخص شده است.



شکل ۹-۲ ظرف حاوی شاره شتابدار. جهت گرانی در جهت منفی  $y$  است، به‌گونه‌ای که  $a_x$  و  $a_y$  به‌ترتیب موازی و عمود بر سطح زمین هستند. اگر  $a_x$  و  $a_y$  مثبت باشند، آن‌گاه شیب سطح منفی خواهد بود (مطابق شکل).



شکل ۲-۱۰ ظرف حاوی مایع چرخان. نیروی گرانی در جهت منفی  $z$  است.

مثال دیگر که با آن مواجه می‌شویم، ذراتی با شتاب ثابت هستند که درون شاره‌ای با چرخش یکنواخت و بدون حرکت نسبی بخشهای مختلف آن قرار دارند. فرض می‌کنیم که  $\omega$  سرعت زاویه‌ای ثابت و  $\rho$  چگالی مایع ثابت است. دستگاه مختصات قطبی  $r$  و  $z$  را مطابق شکل ۲-۱۰ انتخاب می‌کنیم.  $\phi$  مختصه زاویه‌ای است. شتاب مرکزگرای ذره در شعاع  $r$  و در جهت  $r$  برابر با  $-\omega^2 r$  است. با استفاده از قانون نیوتون در جهت  $z$ ، داریم

$$-\rho g r dr d\phi dz + p r dr d\phi - \left( p + \frac{\partial p}{\partial z} dz \right) r dr d\phi = 0 \quad \text{یا} \quad \frac{\partial p}{\partial z} = -\rho g$$

در جهت  $r$ ، با فرض  $\sin \frac{1}{2} d\phi \approx \frac{1}{2} d\phi$ ، داریم

$$p dz r d\phi - \left( p + \frac{\partial p}{\partial r} dr \right) dz (r + dr) d\phi + 2p dz dr \left( \frac{1}{2} d\phi \right) = -\rho dz r d\phi dr \omega^2 r$$

که با حذف جمله‌های مرتبه بالا، می‌توان نوشت

$$\frac{\partial p}{\partial r} = \rho \omega^2 r \quad (20-2)$$

می‌دانیم که  $p = p(r, z)$  و

$$dp = \frac{\partial p}{\partial r} dr + \frac{\partial p}{\partial z} dz$$

با قراردادن معادل عبارتهای  $\partial p / \partial r$  و  $\partial p / \partial z$  خواهیم داشت

$$dp = \rho \omega^2 r dr - \rho g dz$$

پس از انتگرال‌گیری، داریم

$$p = \frac{1}{2} \rho \omega^2 r^2 - \rho g z + C \quad (21-2)$$

در  $r = 0$  و  $z = -z_0$ ، داریم  $p = p_0$ . بدین ترتیب، معادله (۲۱-۲) به صورت زیر می‌شود

$$p - p_0 = \frac{1}{2} \rho \omega^2 r^2 + \rho g (z_0 - z) \quad (22-2)$$

در سطح آزاد که  $p = p_0$ ، داریم

$$z = z_0 + \frac{1}{2} \omega^2 r^2 / \rho g \quad (23-2)$$

که سهمی دورانی است.

باید توجه داشت که برای  $z$  ثابت،  $p$  با افزایش  $r^2$  افزایش می‌یابد. دستگاه و پمپهای مرکزگریز بر پایه این اصل کار می‌کنند. با دوران شدید مایع موجود در ظرف سر بسته اختلاف فشار زیادی بین مرکز و محیط ایجاد می‌شود.

## ۲-۶ کشش سطحی

اگر سطح مشترک دو شاره آمیخته‌نشدنی خمیدگی داشته باشد، اختلاف فشار بین دو سطح در محل فصل مشترک پایدار می‌ماند. علت آن، رفتار فصل مشترک به صورت غشایی است که تاو آن با کشش سطحی مشخص می‌شود. این کشش سطحی  $T$ ، که برحسب  $N/m$  یا  $lb_f/ft$  اندازه‌گیری می‌شود، خاصیتی از دو شاره در حال تماس است. غالباً با سطح مشترک مایع-هوا سروکار داریم، اما این مفهوم برای هر دو نوع شاره‌ای به‌کار می‌رود. کشش سطحی  $T$  را برای ترکیب شاره‌های مختلف در جدولهای مرجع می‌توان یافت.

اگر سطح مشترک خمیده‌ای را در نظر بگیریم، اختلاف فشار  $\Delta p$  در فصل مشترک بین دو شاره عبارت است از

$$\Delta p = T \left( \frac{1}{R_1} + \frac{1}{R_2} \right) \quad (2-24)$$

که  $R_1$  و  $R_2$  شعاعهای خمیدگی (در نقطه تلاقی) برای هر دو خط متعامد رسم شده بر روی سطح است. این در نقطه تلاقی جمع  $\frac{1}{R_1} + \frac{1}{R_2}$  برای هر دو خط مشابه یکسان است.  $\Delta p$  مقدار اختلاف فشار در هر نقطه تلاقی با  $R_1$  و  $R_2$  معلوم است. مثلاً، در هر نقطه موجود بر روی سطح کره اختلاف فشار  $\Delta p = T \left( \frac{1}{R_1} + \frac{1}{R_2} \right) = \frac{2T}{R}$  زیرا شعاع حجم در همه جا  $R$  است.

حبابهای صابون معلق در هوا مثالهایی از سطوح کروی هستند که فشار درونی آن بیشتر از فشار جو بیرونی است؛ کشش سطحی لایه نازک حباب صابون این اختلاف فشار را جبران می‌کند. سقوط آزاد قطرات ریز آب شکل تقریباً کروی دارند، زیرا کشش سطحی شکل قطره را حفظ می‌کند. (اگر چه مقاومت هوا تا اندازه‌ای باعث اعوجاج می‌شود).

## ۲-۷ خلاصه

در این فصل درباره نیروهای وارد بر شاره‌هایی بحث کرده‌ایم که (۱) در حالت تعادل ایستا (شاره ساکن) و (۲) دارای شتاب ثابت بودند. در هر دو حالت عدم وجود حرکت نسبی بین ذرات شاره باعث صفر شدن تنشهای مماسی در همه جا می‌شود. بنابراین تنها نیروهایی که بر ذرات شاره وارد می‌شوند ناشی از (۱) فشار تنش سطحی عمودی و (۲) نیروی گرانی (نیروی حجمی یکنواخت جسم) است.

نشان دادیم که فشار در هر نقطه از شاره در حالت تعادل ایستا در تمام جهتها یکسان است. از این رو، فشار تابع اسکالر مختصات فضا و زمان است.

برای شاره در حال تعادل ایستا، تغییرات فشار برحسب ارتفاع از رابطه زیر تعیین می‌شود

$$\frac{dp}{dz} = -\gamma = -\rho g$$

و برای شاره تراکم‌ناپذیر، داریم

$$p_2 - p_1 = -\gamma(z_2 - z_1)$$

که برای تعیین فشار از طریق فشارسنجهای مختلف سودمند خواهد بود.

نیروهای وارد بر سطوح غوطه‌ور را می‌توان با انتگرال‌گیری فشار در مساحت سطح روی تمام سطح برای مؤلفه‌های اسکالر معادله بردار به‌دست آورد:

$$F_x = \int_A p dA_x, \quad F_y = \int_A p dA_y$$

که  $p = p_0 + \gamma h$ . بنابراین در کاربرد این معادلات برای مسئله‌ای خاص، تنها نکته‌ای که می‌ماند ارتباط دادن مساحت‌های جزئی و عمق زیر سطح  $h$  به متغیر انتگرال‌گیری متداول و مناسب است.

نیروی شناوری را به دو روش می‌توان تعیین کرد: (۱) انتگرال‌گیری مؤلفه عمودی فشار ضربدر مساحت روی سطح جسم غوطه‌ور یا (۲) حجم شاره جابه‌جاشده ضربدر وزن مخصوص شاره.

برای شارهای که دارای شتاب ثابت است اما حرکت نسبی بین ذرات خود ندارد، قانون نیوتون برای ذره بینهایت کوچک شار به صورت زیر نوشته می شود

$$\frac{\partial p}{\partial x} = -\rho a_x, \quad \frac{\partial p}{\partial y} = -(\rho a_y + \gamma)$$

که  $a_x$  و  $a_y$  به ترتیب مؤلفه های بردار شتاب موازی و عمود بر سطح زمین اند.

### مسائل حل شده

۱-۲ فشارسنج جیوه ای شکل ۱۱-۲ به ورودی و خروجی پمپ آبی (سمت چپ به ورودی و سمت راست به خروجی) وصل است. با این فرض که ورودی و خروجی در ارتفاع یکسان هستند، افزایش فشار در پمپ آب را تعیین کنید. فشار در نقطه  $a$  را با استفاده از ارتفاع ستون سمت چپ به صورت زیر محاسبه می کنیم

$$p_a = p_{\text{ورودی}} + h_3 \gamma_{\text{آب}} + h_2 \gamma_{\text{جیوه}} + h_1 \gamma_{\text{جیوه}}$$

و سمت راست را با استفاده از رابطه زیر به دست می آوریم

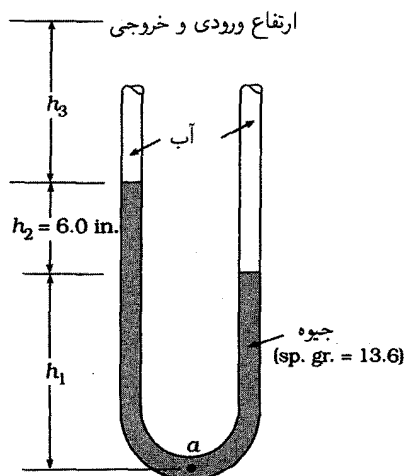
$$p_a = p_{\text{خروجی}} + h_3 \gamma_{\text{آب}} + h_2 \gamma_{\text{آب}} + h_1 \gamma_{\text{جیوه}}$$

با تفریق رابطه های بالا، رابطه زیر به دست می آید

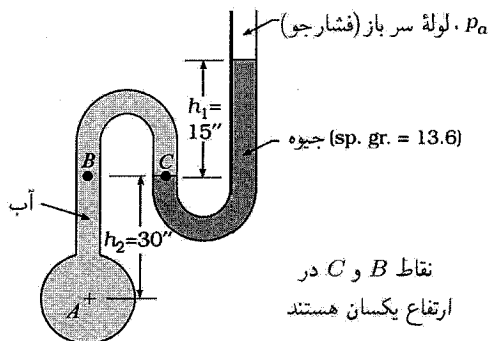
$$\begin{aligned} p_{\text{خروجی}} - p_{\text{ورودی}} &= h_2 (\gamma_{\text{جیوه}} - \gamma_{\text{آب}}) \\ &= \frac{6}{12} [62.4(13.6 - 1)] = 393 \text{ psf} \end{aligned}$$

وزن مخصوص آب  $62.4 \text{ lb}_f/\text{ft}^3$  و وزن مخصوص جیوه  $13.6 \text{ lb}_f/\text{ft}^3$  است.

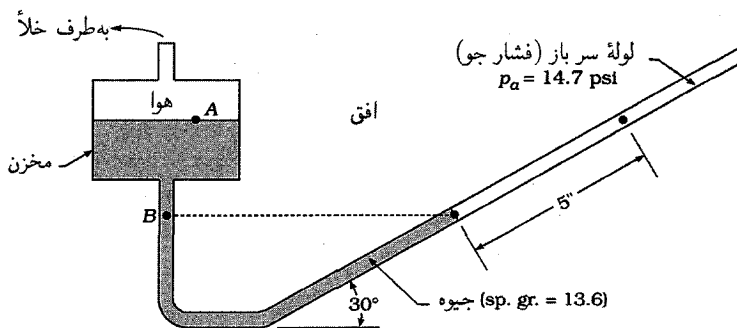
۲-۲ در شکل ۱۲-۲ فشار نسبی را در نقطه  $A$  با فشارسنج تعیین کنید. فشار مطلق در نقاط  $C$  و  $B$  یکسان است. فشار مطلق در نقطه  $B$  برابر



شکل ۱۱-۲



شکل ۱۲-۲



شکل ۱۳-۲

است با  $p_B = \gamma_1 h_1 + P_a$  پس داریم

$$P_A = (p_a + \gamma_1 h_1) \gamma_2 h_2$$

برای راحتی وزن مخصوص جیوه و آب را به ترتیب با  $\gamma_1$  و  $\gamma_2$  مشخص کرده‌ایم. بنابر تعریف فشار نسبی، می‌توان نوشت

$$\begin{aligned} p_A \text{ پیمانه‌ای} &= P_A - p_a = \gamma_1 h_1 + \gamma_2 h_2 \\ &= 62.4(13.6) \left( \frac{15}{12} \right) + 62.4 \left( \frac{30}{12} \right) \\ &= 1216 \text{ psf} = 8.45 \text{ psi} \end{aligned}$$

۳-۲ در فشارسنج مایل شکل ۱۳-۲ فشار را در نقطه A تعیین کنید.

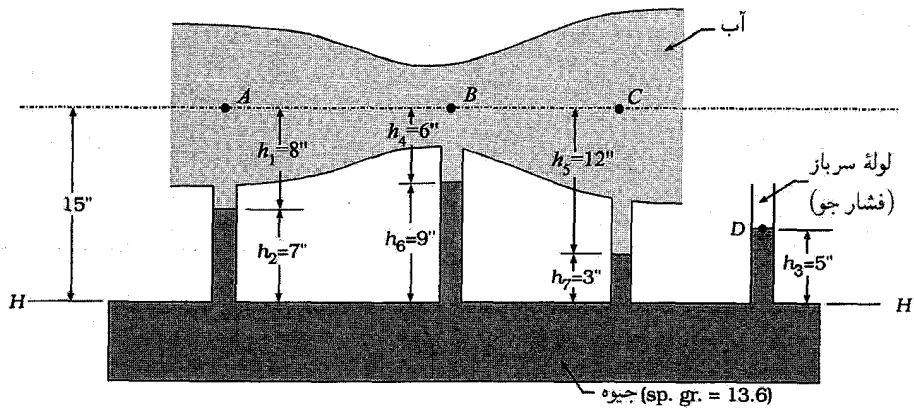
$$p_B = p_A + \gamma h$$

$p_B$  فشار جو است به گونه‌ای که

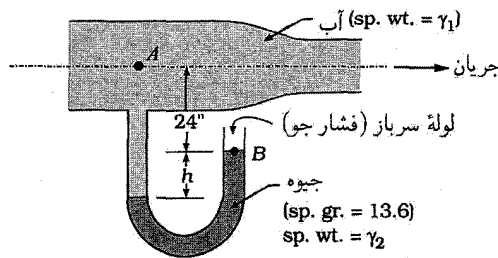
$$p_A = p_a - \gamma h = 14.7 - 62.4(13.6) \left( \frac{2.5}{12} \right) \left( \frac{1}{144} \right) = 13.47 \text{ psi}$$

توجه کنید که سطح جیوه در لوله مایل پایین‌تر از سطح جیوه در مخزن است، زیرا مخزن به پمپ خلأ وصل است.





شکل ۱۴-۲



شکل ۱۵-۲

۴-۲ در شکل ۱۴-۲ فشار پیمانه‌ای را در نقاط A و B و C لوله پراز آب جاری به دست آورید. با توجه به وزن مخصوص آب  $\gamma_1$  و وزن مخصوص جیوه  $\gamma_2$  از نقطه D نسبت به سطح HH شروع می‌کنیم و سپس فشار نقاط دیگر را به دست می‌آوریم

$$p_A = p_a + \gamma_2 h_2 - \gamma_1 h_1 - \gamma_2 h_2$$

اما، داریم  $p = p_a$  ، بنابراین

$$p_{A \text{ نسبی}} = \frac{62.4(13.6)}{1728}(5) - \frac{62.4}{1728}(8) - \frac{62.4(13.6)}{1728}(7) = -1.28 \text{ psi}$$

(عدد ۱۷۲۸ ضریب تبدیل وزن مخصوص از  $\text{lb}_f/\text{in}^3$  به  $\text{lb}_f/\text{ft}^3$  است.) با همین روش فشار را در B و C تعیین می‌کنیم

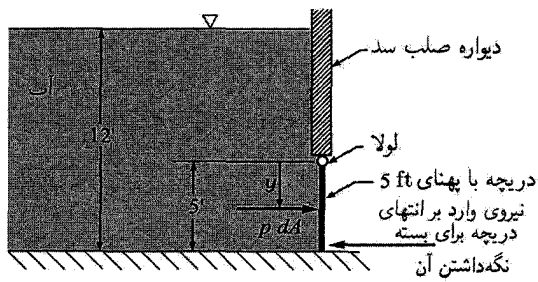
$$p_{B \text{ نسبی}} = \gamma_2 h_2 - \gamma_1 h_4 - \gamma_2 h_6 = -2.17 \text{ psi}$$

$$p_{C \text{ نسبی}} = \gamma_2 h_2 - \gamma_1 h_5 - \gamma_2 h_7 = 0.55 \text{ psi}$$

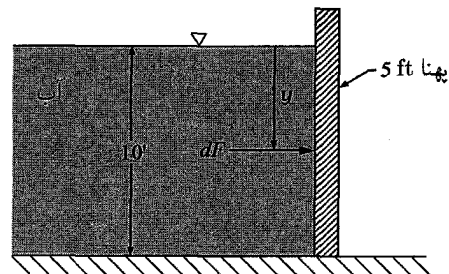
۵-۲ آب در شیوره باریکی مطابق شکل ۱۵-۲ جریان دارد. اگر فشارسنج فشار نسبی را در نقطه A برابر با ۵ psi نشان دهد، ارتفاع h را تعیین کنید. برای محاسبه فشار در نقطه A از طریق فشار نقطه B، داریم

$$p_A = p_a + \gamma_2 h - \gamma_1 (h + 24)$$

$$p_{A \text{ پیمانه‌ای}} = 5 = \frac{62.4(13.6h)}{1728} - \frac{62.4}{1728}(h + 24)$$



شکل ۱۷-۲



شکل ۱۶-۲

که، خواهیم داشت

$$h = 12.9 \text{ in.} = 12.9 \times 2.54 = 32.77 \text{ cm}$$

۶-۲ نیروی کل وارد شده از طرف آب پشت سد در شکل ۱۶-۲ را تعیین کنید. پهنا ۵ فوت و عمق آب ۱۰ فوت است. برای به دست آوردن نیروی کل از نیروی فشار روی دیواره سد انتگرال می‌گیریم

$$F = \int_A dF = \int_A p \, dA = \int_0^{10} \gamma y \, dy = \left. \frac{\gamma y^2}{2} \right|_0^{10} = 15600 \text{ lbf}$$

فشار جو بر روی سطح آب را در نظر نمی‌گیریم، زیرا این فشار با فشار هوایی که در پشت سد است خنثی می‌شود.

۷-۲ نیروی کل لازم برای جلوگیری از باز شدن دریچه سد شکل ۱۷-۲ را تعیین کنید. پهنا ۵ فوت است. برای اینکه در باز نشود گشتاور کل وارد بر محور در به خاطر تعادل ایستا باید صفر باشد. با در نظر گرفتن گشتاورها داریم

$$\Delta F - \int_A y p \, dA = 0$$

بنابراین

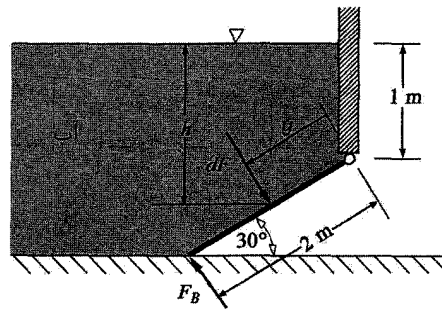
$$\Delta F = \int_0^5 y \gamma (7 + y) \Delta y = 5(62.4) \left[ \frac{y^2}{2} + \frac{y^3}{3} \right]_0^5$$

$$F = 8050 \text{ lbf} \text{ و}$$

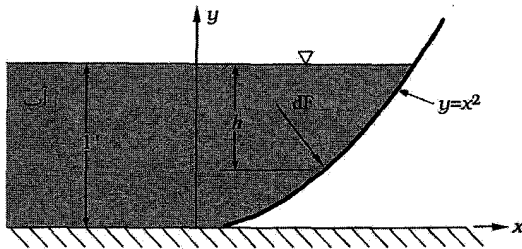
۸-۲ نیروی کل فشار آب وارد بر سطح مایل موجود در شکل ۱۸-۲ را به دست آورید. سطح با پهنا ۳ متر در بالا لولا شده است. نیروی کل وارد بر دریچه عمود بر دریچه است و با انتگرال‌گیری فشار روی سطح به دست می‌آید.

$$\begin{aligned} F &= \int_A dF = \int_A p \, dA = \int_A \gamma h \, dA = \int_0^2 \gamma (1 + y \sin 30^\circ) (3 \, dy) \\ &= 3(9810) \left[ 1y + \frac{1}{4}y^2 \right]_0^2 = 8783 \times 10^4 \text{ N} \end{aligned}$$

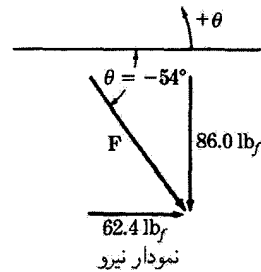
چون فشار جو بر سطح سمت راست دریچه وارد می‌شود، آن را در محاسبات در نظر نمی‌گیرند. پس از تجزیه نیروی کل به دو مؤلفه  $x$  و  $y$ ، محل مناسب نیروی برآیند را می‌توان طوری تعیین کرد که معادل کل نیروی فشار در تعیین واکنش لولا و لبه پایین صفحه باشد. در مسئله ۹-۲ نیروی واکنش لبه پایین صفحه را محاسبه می‌کنیم. پس از این محاسبات، یافتن مکان نیروی برآیند بسیار ساده است.



شکل ۱۸-۲



شکل ۱۹-۲



۹-۲ مطلوب است محاسبه نیروی واکنش سطح زیرین بر نقطه انتهایی درجه مسئله ۸-۲. مکان تک-نیروی  $F$  را که معادل کل نیروی فشار آب است، به دست آورید.

جمع گشتاورها پیرامون لولا (محور دوران) باید صفر باشد. چون فشار منحصراً عمود بر سطح درجه وارد می‌شود، نیروهای واکنش در لولا و ته ظرف عمود بر صفحه خواهد بود، البته، چنانچه از وزن صفحه صرف نظر کنیم با ناچیز شمردن وزن صفحه، جمع گشتاورها پیرامون محور لولا را می‌توان به صورت زیر به دست آورد

$$F_B \times 2 = \int_A y dF = \int_A y(\gamma h) dA$$

$$= \gamma \int_0^2 y(1 + y \sin 30^\circ)(2 dy) = 2(9810) \left[ \frac{1}{2} y^2 + \frac{y^3}{6} \right] = 9,81 \times 10^4 \text{ N.m}$$

$$F_B = 4,905 \times 10^4$$

اگر نیروی برآیند معادل فشار  $F$  در نقطه  $y = y_0$  قرار گیرد، آن‌گاه  $F_{y_0} = F_B(2)$ ، و خواهیم داشت

$$y_0 = \frac{2F_B}{F} = \frac{2(4,905 \times 10^4)}{8,83 \times 10^4} = 1,11 \text{ m}$$

۱۰-۲ مطلوب است تعیین نیروی فشار وارد بر سطح خمیده شکل ۱۹-۲. پهنای صفحه خمیده ۲ فوت است.

معادله عمومی نیروی آب وارد بر سطح صفحه را می‌توان به شکل  $\mathbf{F} = \int_A d\mathbf{F}$  نوشت، ولی این معادله را قبل از انتگرال‌گیری باید به صورت اسکالر در آورد. بنابراین،

$$F_x = \int_A dF_x = \int_A p dA_x = \int_A (\gamma h) 2 dy$$

با قرار دادن  $h$  برحسب  $y$ ، خواهیم داشت

$$F_x = 2\gamma \int_0^1 (1-y) dy = 2(62.4) \left[ y - \frac{y^2}{2} \right]_0^1 = 62.4 \text{ lbf}$$

همین‌گونه، می‌توان  $F_y$  را به‌دست آورد، اما باید به یاد داشت که  $F_y$  در جهت مثبت  $y$  است و نیروی فشار رو به پایین و در جهت منفی  $y$  وارد می‌شود. بنابراین

$$F_y = \int_A dF_y = - \int_A p dA_y = -2\gamma \int_0^1 (1-y) dx$$

با نوشتن  $y$  برحسب  $x$ ، می‌توان به‌طور صریح انتگرال گرفت

$$F_y = -2\gamma \int_0^1 (1-x^2) dx = -86.4 \text{ lbf}$$

علامت منفی بیانگر این است که  $F_y$  رو به پایین وارد می‌شود. مقدار کل نیروی فشار عبارت است از

$$|\mathbf{F}| = (F_x^2 + F_y^2)^{1/2} = 106.4 \text{ lbf}$$

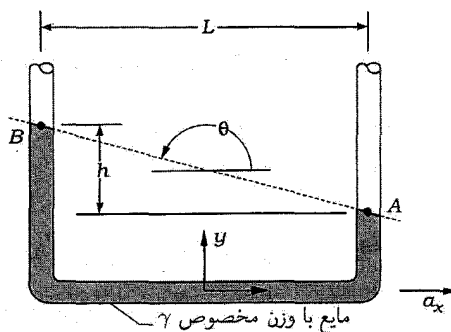
جهت آن از رابطه  $\tan \theta = \frac{F_y}{F_x} = -1.38$  یا  $\theta = -54^\circ$  به‌دست می‌آید.

زاویه  $\theta$  مقدار مایل بودن  $\mathbf{F}$  را نسبت به افق نشان می‌دهد. همان‌گونه که در شکل ۲-۱۹ مشخص شده زاویه  $\theta$  منفی است و بنابراین نیروی برآیند رو به پایین وارد می‌شود.

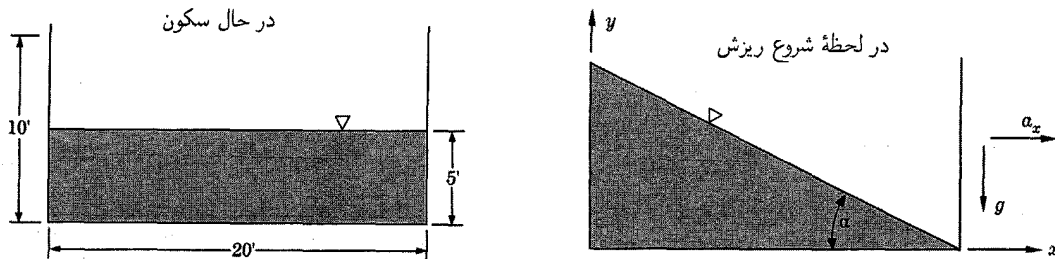
۲-۱۱ برای اندازه‌گیری شتاب حرکت خودرو می‌توان از شتاب‌سنج U شکلی مطابق شکل ۲-۲۰ استفاده کرد. شتاب‌سنج به‌گونه‌ای بر روی خودرو نصب می‌شود که لوله‌های آن به‌طور قائم قرار می‌گیرند. قسمتی از لوله U شکل از مایعی با وزن مخصوص  $\gamma$  پر شده است. در شرایط شتاب ثابت  $a_x$  سطح مایع مطابق شکل قرار می‌گیرد. رابطه‌ای بین پارامترهای دستگاه و شتاب به‌دست آورید. رفتار شاره در لوله درست مانند رفتار آن در ظرفی به پهنای  $L$  است. در این حالت زاویه  $\theta$  با معادله (۲-۱۹) از رابطه زیر به‌دست می‌آید

$$\tan \theta = \frac{-h}{L} = \frac{-a_x}{g}$$

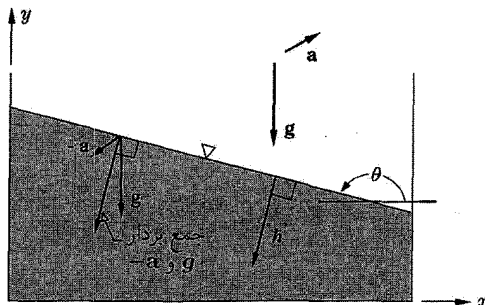
و به آسانی می‌توان شتاب را از رابطه  $a_x = \frac{gh}{L}$  به‌دست آورد.



شکل ۲-۲۰



شکل ۲۱-۲



شکل ۲۲-۲

۱۲-۲ در حالتی که ارتفاع آب در محفظه ساکن ۵ فوت است. مقدار  $a_x$  برای سرریز آب از دیواره پستی محفظه شکل ۲۱-۲ چقدر است؟ با افزایش  $a_x$  ارتفاع آب در جداره پستی محفظه بالا می‌رود. با رسیدن آب به لبه بالایی محفظه، آب دقیقاً ۵ فوت بالا رفته است و آب در لبه مقابل ۵ فوت پایین آمده است. بنابراین، در آغاز سرریز، داریم  $\tan \alpha = 10/20 = a_x/g$ ، به گونه‌ای که  $a_x = g/2 = 16.1 \text{ ft/s}^2$ ، یادآور می‌شویم که برای سادگی، زاویه  $\alpha$  را برابر با زاویه  $\theta$  معادله (۲-۱۹) ولی با علامت منفی در نظر گرفته‌ایم.

۱۳-۲ نشان دهید هنگامی که محفظه‌ای حاوی مایع با شتاب ثابت  $a$  در میدان گرانشی  $g$  حرکت می‌کند توزیع فشار در محفظه مانند حالتی است که محفظه در حالت سکون در میدان گرانشی خیالی  $(g - a)$  قرار دارد. این بدان معنی است که شتاب گرانی در جهت منفی  $y$  وارد می‌شود، شدت میدان خیالی برابر  $\sqrt{(a_y + g)^2 + a_x^2 + a_z^2}$  است و جمع بردار  $g$  و منفی  $a$  را در شکل ۲۲-۲ نشان داده‌ایم. اگر محفظه در میدان گرانشی آزادانه رها شود، آنگاه فشار نسبی مایع درون آن در همه جا صفر خواهد بود. این موضوع را توضیح دهید.

معادله (۲-۱۹ الف) نشان می‌دهد که سطحهای فشار ثابت در شاره صفحه‌های مستوی هستند. با این فرض که تغییراتی در جهت  $z$  وجود ندارد و شتاب در جهت منفی  $y$  وارد شود، تغییرات فشار عمود بر صفحه‌های فشار ثابت را می‌توان با استفاده از قاعده دیفرانسیل‌گیری متغیر عمود بر سطح ثابت نوشت

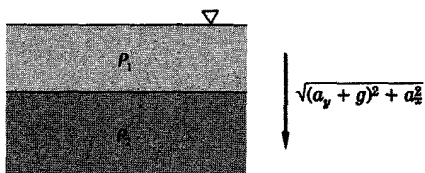
$$\frac{dp}{dh} = \left[ \left( \frac{\partial p}{\partial x} \right)^2 + \left( \frac{\partial p}{\partial y} \right)^2 \right]^{1/2}$$

با انجام محاسبات، به نتیجه زیر می‌رسیم

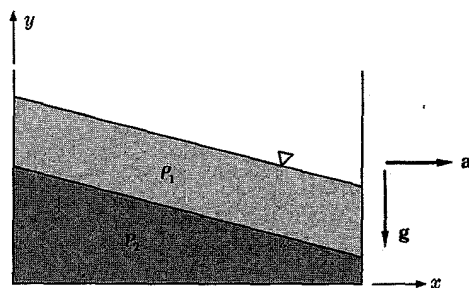
$$\frac{dp}{dh} = \rho \sqrt{(a_y + g)^2 + a_x^2}$$

با تعمیم محاسبات در سه بعد (و نیروی گرانی در جهت منفی  $y$ )، خواهیم داشت

$$\frac{dp}{dh} = \rho \sqrt{(a_y + g)^2 + a_x^2 + a_z^2}$$



شکل ۲۴-۲



شکل ۲۳-۲

با انتگرال‌گیری از رابطه بالا، داریم

$$p = p_0 + \rho h \sqrt{(a_y + g)^2 + a_x^2 + a_z^2}$$

سطح آزاد و صفحه‌های فشار ثابت آنچنان مایل قرار دارند که عمود بر بردار  $(g - a)$  هستند و این موضوع از معادله (۲-۱۹) به خوبی روشن است.

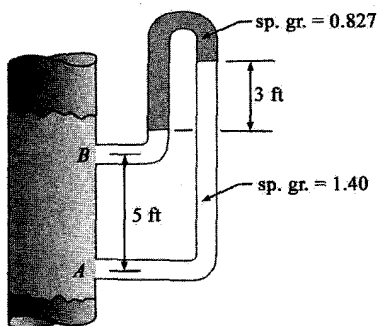
۲-۱۴ درباره رفتار دو شاره آمیخته‌نشده با چگالی جرمی متفاوت که در محفظه شکل ۲۳-۲ با شتاب ثابت در حرکت است بحث کنید. نیروی گرانی در جهت منفی و بردار شتاب  $a$  فقط دارای مؤلفه‌های  $x$  و  $y$  است.

از مسئله ۲-۱۳ درمی‌یابیم که رفتار سیستم به‌گونه‌ای است که گویا شدت میدان گرانشی برابر  $(g - a)$  است. چون سطحهای فشار ثابت تخت هستند، این مسئله را به سیستم ساده‌ای همچون شکل ۲۴-۲ می‌توان تبدیل کرد و میدان گرانشی هم‌ارزی را برای آن در نظر گرفت و با آن به صورت مسئله استاتیکی ساده‌ای درست نظیر فشارسنج دو شاره‌ای برخورد کرد. به جای آن، معادله تعادل (۲-۹ الف) را می‌توانستیم حل کنیم و همان نتیجه‌ها را به دست آوریم. شیب سطح آزاد و فصل مشترک عیناً نظیر تک‌مایع است.

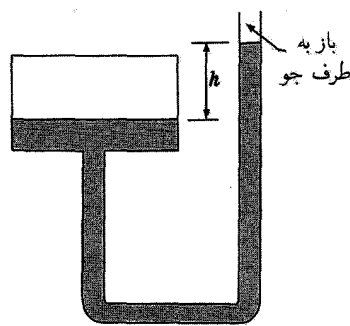
## مسائل تکمیلی

۲-۱۵ فشار در سطح مایع ظرف شکل ۲-۲۵ به میزان  $4 \text{ psi}$  ر<sup>۰</sup> بیش از فشار جو است. اگر مایع درون ظرف (الف) آب و (ب) جیوه باشد، ارتفاع  $h$  را تعیین کنید.

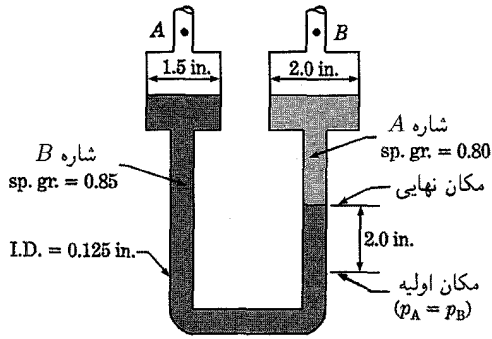
۲-۱۶ اختلاف فشار بین نقاط  $A$  و  $B$  جریان مایع در لوله عمودی شکل ۲-۲۶ را تعیین کنید.



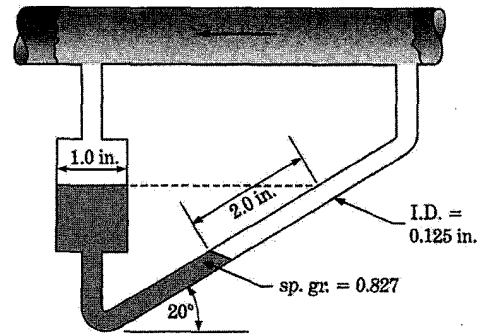
شکل ۲۶-۲



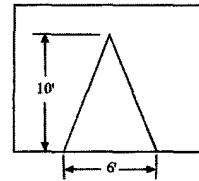
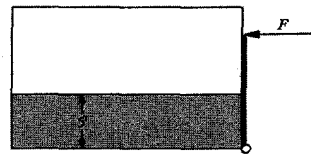
شکل ۲۵-۲



شکل ۲۸-۲



شکل ۲۷-۲



شکل ۲۹-۲

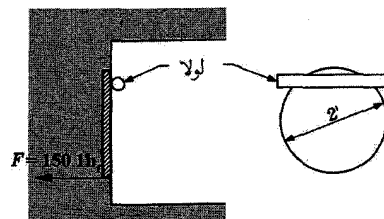
۱۷-۲ در مسأله ۲-۱۶، اگر جریان مایع به جای عمودی افقی می‌بود، فشارسنج چه فشاری را نشان می‌داد؟ نقاط  $A$  و  $B$  در ارتفاع یکسان قرار دارند، اما فشارسنج در همان امتداد قبلی است.

۱۸-۲ برای اندازه‌گیری اختلاف فشار هوا در لوله موجود در شکل ۲۷-۲ بین دو نقطه مشخص شده از فشارسنج مایل استفاده شده است. اختلاف فشار برحسب psi برای شرایط مفروض در این شکل چقدر است؟

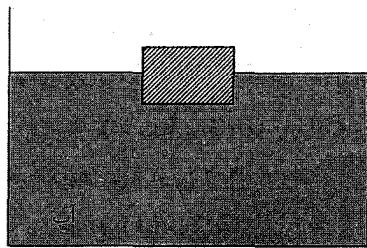
۱۹-۲ فشارسنج‌های دو شماره‌ای همچون شکل ۲۸-۲ می‌توانند اختلاف فشار اندک را با دقت بیشتری در مقایسه با فشارسنج‌های تک‌شاره‌ای اندازه‌گیری کنند. اختلاف فشار  $p_A - p_B$  (psi) را برای اختلاف  $2^\circ$  اینچی در مرز مشترک دو شماره به دست آورید.

۲۰-۲ نیمی از ظرف شکل ۲۹-۲ پر از آب است و به جو راه دارد. دری مثالی شکل به ته ظرف لولا شده است و با نیروی  $F$  محکم بسته شده است. نیروی  $F$  را به دست آورید.

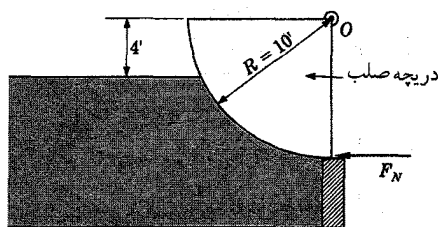
۲۱-۲ با توجه به شکل ۲-۳۰ غواصی می‌خواهد بداند همراه با محفظه تا چه عمقی می‌تواند در آب فرورود و در عین حال بتواند در آن را باز کند. با فرض اینکه فشار درون محفظه برابر با فشار جو است و بیشترین نیرویی که غواص می‌تواند اعمال کند  $150 \text{ lbf}$  است، عمق بیشینه را محاسبه کنید.



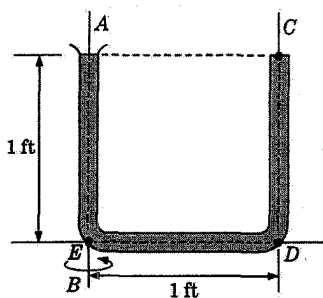
شکل ۳۰-۲



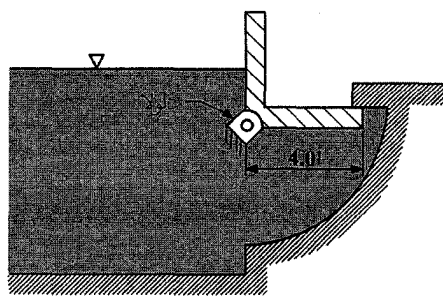
شکل ۳۲-۲



شکل ۳۱-۲



شکل ۳۴-۲



شکل ۳۳-۲

۲۲-۲ در شکل ۳۱-۲ نیروی وارد بر نقطه  $O$  واقع بر دریچه صلب ربع استوانه‌ای را به دست آورد. طول دریچه  $30$  فوت و وزن آن قابل چشم‌پوشی است. نیروی  $F_N$  وارد بر انتهای دریچه را محاسبه کنید.

۲۳-۲ در ظرف آب شکل ۳۲-۲ جسمی با گرانی ویژه  $0.5$  بر روی آب شناور است. اگر به ظرف و مایع شتاب بالارونده  $10 \text{ ft/s}^2$  داده شود، مکان جسم نسبت به سطح آب چه خواهد بود؟

۲۴-۲ با بالا آمدن آب در ظرف چپ دریچه مستطیلی شکل ۳۳-۲ دریچه به طور خودکار باز می‌شود. ارتفاع آب در بالای لولا چقدر باید باشد تا چنین اتفاقی رخ دهد؟

۲۵-۲ لوله U شکلی مطابق شکل ۳۴-۲ حول خط  $AB$  دوران می‌کند. سرعت زاویه‌ای برابر یک دور در ثانیه است. فشار را در  $C$ ،  $D$  و  $E$  تعیین کنید. انتهای لوله در  $C$  بسته است.

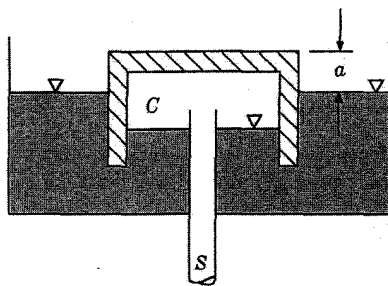
۲۶-۲ نوعی فشارسنج نسبتاً جدید به صورت یک قوطی وارونه با دیواره‌های قائم ضخیم در حالت شناور بر روی مایع مطابق شکل ۳۵-۲ پیشنهاد شده است، که حساستر از فشارسنج U شکل برای اندازه‌گیری فشار است. در این فشارسنج جیوه‌ای فشاری که باید اندازه‌گیری شود توسط لوله  $S$  به اتاقک بسته  $C$  مرتبط است. قوطی وارونه در محفظه آبی که از بالا با جو ارتباط دارد شناور است. فاصله سطح آب تا بالای قوطی  $a$  معیاری از فشار است. حساسیت این فشارسنج چقدر است، به عبارت دیگر تغییر  $a$  نسبت به تغییر فشار چقدر است؟

۲۷-۲ دو مسئله ۸-۲ و ۹-۲ را با در نظر گرفتن وزن دریچه حل کنید. دریچه قطعه‌ای فولادی به ضخامت  $\frac{1}{4}$  اینچ است.

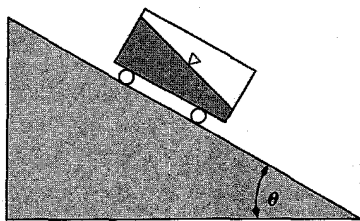
۲۸-۲ مسائل ۷-۲ و ۸-۲ را با فرض اینکه در هر حالت آب به عمق ۲ فوت در طرف راست دریچه وجود دارد، حل کنید.

۲۹-۲ در مسئله ۷-۲ بردار برآیند نیروی وارد بر دریچه را در نتیجه فشار آب به دست آورید. این تک نیرویی است که می‌تواند جایگزین نیروی آب باشد و توسط نیروهای عکس‌العمل لولا و  $F$  تعیین می‌شود.





شکل ۳۵-۲



شکل ۳۶-۲

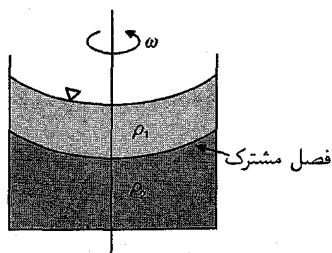
۳۵-۲ گاری حاوی آب شکل ۳۶-۲ بر روی سطح تخت شیب‌داری به طرف پایین در حرکت است. شیب سطح آزاد را به دست آورید. در این محاسبه از اصطکاک چرخها و مقاومت هوا صرف نظر می‌کنیم.

۳۱-۲ استوانه قائم پر از آب نفوذناپذیری با سرعت زاویه‌ای  $\omega$  حول محور استوانه می‌چرخد. توزیع فشار در استوانه چگونه است؟ سوراخ کوچکی در مرکز استوانه وجود دارد که فشار روی مایع برابر با فشار جو است.

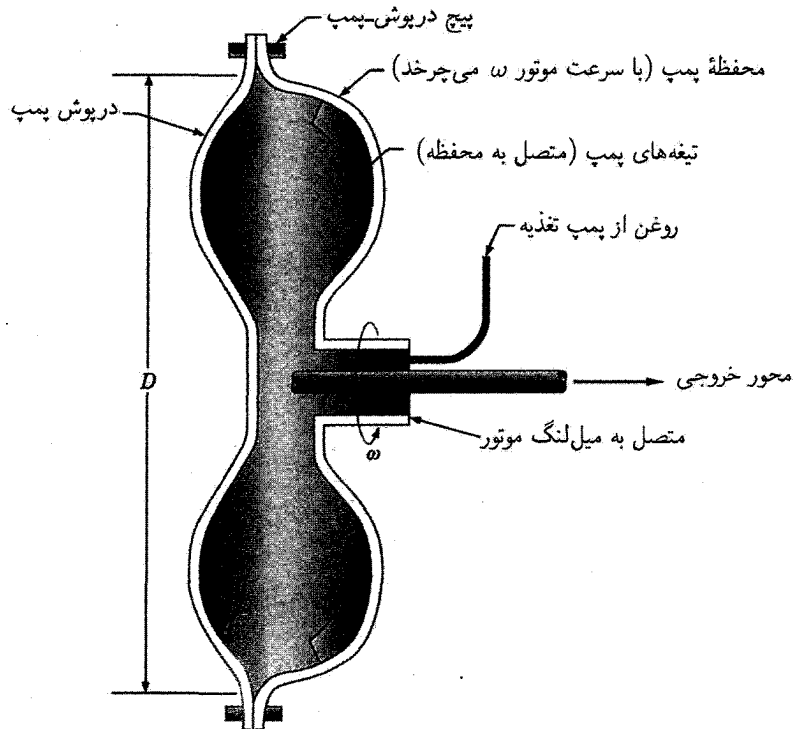
۳۲-۲ در مسئله ۳۱-۲ استوانه در میدان گرانش صفر می‌چرخد. در این حالت توزیع فشار آب چگونه است؟

۳۳-۲ در میدان گرانش صفر، مخزن سوخت موشکی که حاوی سوخت مایع با چگالی  $\rho$  است با شتاب ثابت  $a$  حرکت می‌کند. توزیع فشار در مخزن چگونه است؟ آیا شکل مخزن بر آن تأثیر دارد؟ توضیح دهید.

۳۴-۲ مخزنی استوانه‌ای حاوی دو مایع آمیخته‌نشدنی با چگالیهای  $\rho_1$  و  $\rho_2$  که  $\rho_2 > \rho_1$  است مطابق شکل ۳۷-۲ با سرعت زاویه‌ای  $\omega$  می‌چرخد. توزیع فشار، شکل فصل مشترک مایعها، و شکل سطح آزاد مایع را مشخص کنید.



شکل ۳۷-۲



شکل ۲-۳۸

۳۵-۲ آیا شکل لوله U شکل تأثیری بر جواب مسئله ۲-۱۱ دارد؟ از نظر عملکرد پارامترها چقدر اهمیت دارند؟

۳۶-۲ در مسئله ۲-۱۲ با افزایش  $a_{xx}$  چه پدیده‌ای رخ می‌دهد. آیا با افزایش  $a_{xx}$  تمام محفظه تخلیه می‌شود؟

۳۷-۲ بالنی پر از گاز هلیوم (که از هوا سبکتر است) درون خودروی قرار دارد. اگر تمام پنجره‌های خودرو بسته باشد و خودرو با شتاب ثابت حرکت کند توزیع فشار هوا در خودرو چگونه است؟ آیا بالن به طرف جلو یا عقب خم می‌شود؟ اگر بالن از هوا پر شده باشد و از سقف خودرو آویزان شود جواب سؤالات بالا چگونه است؟ توضیح دهید.

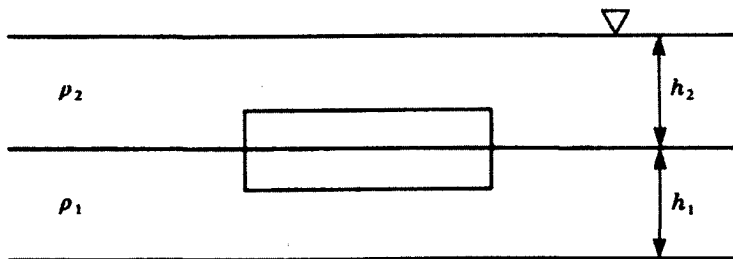
۳۸-۲ یکی از مسائلی که در برابر طراحان تبدیل گشتاور بوئیک دینافلو مطرح است تعیین تنش کششی بیشینه در پیچهایی است که درپوش پمپ را به محفظه آن، همچون شکل ۲-۳۸، متصل می‌کنند.

کارکرد دستگاه دینافلو به شرح زیر است: میل‌لنگ موتور به محفظه پمپ جفت شده است و آن را با سرعت موتور  $\omega$  می‌چرخاند. محفظه پمپ و درپوش آن واحدی نفوذناپذیر در مقابل روغن را تشکیل می‌دهند، مجموعه آب‌بندی‌شده‌ای که در پیرامون محور خروجی تعبیه شده است و با سرعتی برابر یا کمتر از سرعت محفظه پمپ می‌چرخد، این محفظه را پر از روغن، در فشار ثابت «تغذیه»، به وسیله پمپ تغذیه کمکی نگه می‌دارند. برای تمام مقاصد عملی، این پمپ از طریق مرکز دوران خود روغن را به محفظه پمپ می‌رساند.

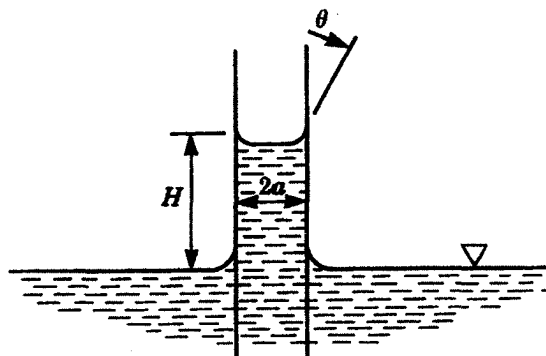
تیغه‌های شعاعی، یا پره‌های پمپ که روغن را به استاتور و توربین می‌رسانند (در شکل دیده نمی‌شوند)، در درون محفظه پمپ قرار دارند و به محور خروجی متصل شده‌اند.

تنش کششی مورد انتظار در پیچ درپوش پمپ چقدر است؟ قطر محفظه پمپ  $D$  فوت و سرعت زاویه‌ای آن  $\omega$  رادیان در ثانیه است.

۳۹-۲ منشوری قائم با چگالی  $\rho$  در فصل مشترک دو مایع آمیخته‌نشدنی با چگالی‌های  $\rho_1$  و  $\rho_2$  همچون شکل ۲-۳۹ شناور است. برحسب



شکل ۲-۳۹



شکل ۲-۴۰

پارامترهای مربوط پیدا کنید:

الف) عمقی را که منشور در مایع زیرین شناور است.

ب) شرایطی را که منشور در سطح مایع بالایی شناور می ماند.

ج) شرایطی را که منشور به کف مایع زیرین فرو می رود.

۲-۴۰ لوله شیشه‌ای نازکی به شعاع  $a$  به درون سطح آزاد مایع خاصی (شکل ۲-۴۰) فرو رفته است. دیده می شود که مایع تا ارتفاع  $H$  در لوله بالا می آید. اندازه زاویه  $\theta$  به خاصیت «ترشوندگی» شیشه توسط مایع بستگی دارد و پارامتر ثابتی است که فقط به جنس لوله مایع (این پارامتر را می توان از روی داده های جدول بندی شده به دست آورد) بستگی دارد. اگر  $\theta$  همان گونه که دیده می شود، مثبت باشد، می گویند که مایع لوله را تر کرده است. اگر  $\theta$  منفی باشد، یعنی تحدب مایع رو به بالا باشد، می گویند که مایع لوله را تر نمی کند. برای وضعیت ترنکننده آیا مایع در لوله پایین می رود یا بالا؟ سطح آزاد مایع در لوله دارای شکل کروی است. برای مقدار مثبت  $\theta$ ، فصل مشترک هوا و مایع و  $a$  شتاب، رابطه ای برای  $H$  به دست آورید. بالا رفتن مایع در لوله باریک را اصطلاحاً مویستگی می نامند و عامل نفوذ مایع از محیطهای متخلخل است. راهنمایی: شعاع سطح کروی چقدر است؟ جواب  $H = 2T \cos \theta / \rho g a$ .

۲-۴۱ کوشش کنید که سوزن خیاطی را بر روی سطح کاسه آب شناور نگه دارید. با دقت این کار را می توان انجام داد. توضیح دهید چرا سوزن در آب فرو نمی رود. (اثرهای کشش سطحی). ارتفاع آب را در نزدیکی سوزن رسم کنید و علت شکل آن را توضیح دهید. آیا آب سوزن را تر می کند؟ آیا  $\theta$  مثبت است یا منفی (شکل ۲-۴۰). را ببینید.

## نمادگذاریهای فصل ۲

$$a = \text{شتاب}$$

$$F = \text{نیرو}$$

$$g = \text{شتاب گرانشی زمین}$$

$$h = \text{ارتفاع مایع (شاره)}$$

$$p = \text{فشار}$$

$$R = \text{ثابت گاز}$$

$$T = \text{دما، کشش سطحی}$$

$$\gamma = \text{وزن مخصوص} = \rho g$$

$$\rho = \text{چگالی}$$

$$\omega = \text{سرعت زاویه‌ای}$$

## مدلهای ریاضی حرکت شاره

### ۱-۳ مقدمه و روش

در این فصل شکل ریاضی مدل حرکت شاره را به دست خواهیم آورد. باید به خاطر داشت که این مدلها صرفاً تقریبهایی برای جریان واقعی شاره‌اند و درک محدودیتهای آنها و استفاده مناسب از معادلات این فصل کاملاً ضروری است. این مدلهای ریاضی را به دقت به دست می‌آوریم و بر روی مفاهیم فیزیکی آنها تأکید خواهیم کرد.

شماره واقعی از مولکولهای تشکیل شده است که بین آنها فضای خالی وجود دارد. اما به طور کلی، در موقع ایجاد مدلهای ریاضی، بهتر است که فرض شود شاره محیطی پیوسته — پیوستار — است. در مدلسازی هم همین راهکار را دنبال خواهیم کرد، در انجام چنین کاری بلافاصله ساختار واقعی شاره را به صورت انتزاعی در نظر می‌گیریم و مدلی برای نمایش خود شاره معرفی می‌کنیم. لازم به یادآوری است در حالی که اغلب جریان شاره‌ها را پیوسته در نظر می‌گیرند، اما در مدلهای ریاضی رفتار آماری تک تک مولکولهای شاره منظور می‌شود که برای مطالعه رفتار گازهای رقیق نیز لازم است. مثالهایی درباره راهکار حرکت ذره‌ای شاره را می‌توان در کتابهای چپمن و کولینگ و نیز کرتیس و پرد در مرجعهای ۴ و ۵ یافت.

در این فصل ابتدا معادلات اصلی شاره را به شکل انتگرالی برای حجم معیاری دلخواه به دست می‌آوریم و سپس معادلات دیفرانسیل جریان شاره را با کاربرد معادلات انتگرالی برای جزء حجمی استخراج می‌کنیم. همان‌گونه که در فصل ۱ اشاره شد، در جریان شاره پنج متغیر اصلی وجود دارد: سه مؤلفه سرعت، و دو خاصیت ترمودینامیکی. بنابراین پنج معادله اصلی داریم که جریان را توصیف می‌کند و شامل سه معادله مربوط به مؤلفه‌های تکانه، معادله پیوستگی و معادله انرژی است. به طور کلی معادله انرژی در جریان تراکم‌ناپذیر منفرد می‌شود، زیرا چگالی ثابت است. در جریان متلاطم، شرایط تا اندازه‌ای پیچیده‌تر است و معمولاً نمی‌توان مجموعه معادلات بسته‌ای را به دست آورد. بحث معادلات اصلی جریان

متلاطم را تا فصل ۹ بررسی نخواهیم کرد. معادلات اساسی خاصی همچون معادلهٔ حالت را ممکن است به کار ببریم تا خواص ترمودینامیکی بیشتری وارد معادلات شوند.

### ۲-۳ معادلات انتگرالی

در مطالعهٔ حرکت شاره، چهار قانون اصلی را در نظر می‌گیریم:

(الف) پایستگی جرم

(ب) قانون دوم نیوتون

(ج) پایستگی انرژی (قانون اول ترمودینامیک)

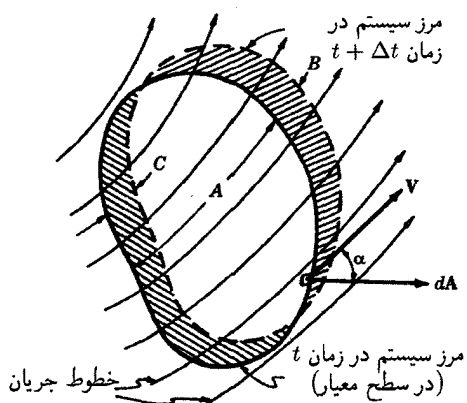
(د) قانون دوم ترمودینامیک

این قانونها برای مقدار ثابتی ماده (سیستم) اعمال می‌شود که ماهیت خود را تحت شرایط مختلف حفظ می‌کند. در حقیقت، این قانونها را نمی‌توان به‌طور معنی‌داری به‌کار برد، مگر اینکه سیستم مورد نظر مشخص باشد.

تعیین شناسایی شاره و پیروی از مقادیر ثابت ماده در تحلیل حرکت شاره‌ها معمولاً کار ساده‌ای نیست. به‌جای آن، معمولاً دیدگاه نظری میدان و شناسایی ناحیه یا حجم ثابت معینی در فضا به‌نام حجم کنترل پذیرفته می‌شود. اما، این چهار قانون اصلی برای حجمهای ثابت به‌کار نمی‌روند، بلکه برای مقادیر ثابت ماده استفاده می‌شوند. بنابراین، وظیفهٔ اصلی ما به دست آوردن معادلاتی است که برای حجمهای معیار حاصل از روابط شناخته شده به‌کار می‌روند. بدین ترتیب، این پرسش مطرح می‌شود که خواص شاره در درون حجم معیار ثابت در هر زمان مفروض، بدون توجه به این حقیقت که شاره در این حجم معیار به‌طور پیوسته تغییر می‌کند، چیست؟

اکنون، معادلات انتگرالی حرکت شاره را به‌دست می‌آوریم. در اینجا، به استخراج کامل این معادلات می‌پردازیم تا خواننده بهتر به نحوهٔ کاربرد آنها در وضعیتهای فیزیکی مختلف پی‌ببرد. در روشهای استخراج معادلات حجم معیار از طریق قانونهای اصلی شناخته شده از الگویی اصلی پیروی می‌شود که با اصلاحات اندکی برای کمیت‌های فیزیکی مختلف قابل تعمیم است. پس از به‌دست آوردن معادلات، آنها را می‌توان در حل مسائل فیزیکی که در حرکت شاره رخ می‌دهد به‌کار برد.

**پایستگی جرم:** اکنون، توجه خود را و به میدان جریانی معطوف می‌کنیم که با خطوط جریان شکل ۱-۳ مشخص شده است و مقدار خاصی ماده در زمان  $t$ ، محصور در میان خط پر، در نظر می‌گیریم. در لحظهٔ  $t + \Delta t$  مرز سیستم به مکان تازه‌ای انتقال می‌یابد که با خط چین مشخص شده است.



شکل ۱-۳ حرکت ماده از درون حجم معیار.

با در نظر گرفتن ناحیه‌های  $A$ ،  $B$ ، و  $C$ ، سیستمی داریم که در زمان  $t$  ناحیه  $A$  و در زمان  $t + \Delta t$  ناحیه‌های  $B$  و  $C$  را اشغال می‌کند. فرض می‌کنیم که  $m$  جرم ماده در ناحیه‌های مختلف باشد و در زمانهای مختلف با شاخصهای مناسب مشخص شده باشد.

$$m_A(t) = m_A(t + \Delta t) - m_C(t + \Delta t) + m_B(t + \Delta t)$$

پس از بازاریابی رابطه بالا و تقسیم بر  $\Delta t$ ، داریم

$$\frac{m_A(t + \Delta t) - m_A(t)}{\Delta t} = \frac{m_C(t + \Delta t) - m_B(t + \Delta t)}{\Delta t}$$

با حدگیری به صورت  $\Delta t \rightarrow 0$ . طرف چپ این رابطه به صورت زیر در می‌آید

$$\lim_{\Delta t \rightarrow 0} \frac{m_A(t + \Delta t) - m_A(t)}{\Delta t} = \frac{\partial}{\partial t}(m)_{C.V.} = \frac{\partial}{\partial t} \int_{C.V.} \rho d\mathcal{V}$$

که  $\rho$  چگالی جرمی،  $\mathcal{V}$  حجم، و C.V. نشانگر حجم معیار ثابت در فضا است که با سطح معیار (C.S.) کراندار شده است. طرف راست معادله عبارت است از

$$\lim_{\Delta t \rightarrow 0} \left\{ \frac{m_C(t + \Delta t)}{\Delta t} - \frac{m_B(t + \Delta t)}{\Delta t} \right\} = \dot{m}_{in} - \dot{m}_{out}$$

که به صورت زیر در می‌آید

$$\dot{m}_{in} - \dot{m}_{out} = - \int_A \rho V \cos \alpha dA = \int_{C.S.} \rho \mathbf{V} \cdot d\mathbf{A}$$

که  $\dot{m}_{in}$  و  $\dot{m}_{out}$  نشانگر آهنگ جریان جرمی ورودی و خروجی حجم معیار، و  $\mathbf{V}$  بردار سرعت است.  $v$  مقدار بردار سرعت،  $\alpha$  زاویه بین بردار سرعت و خط عمود بر سطح است. بدین ترتیب، معادله پیوستگی برای حجم معیار به شکل زیر در می‌آید

$$\int_{C.S.} \rho \mathbf{V} \cdot d\mathbf{A} = - \frac{\partial}{\partial t} \int_{C.V.} \rho d\mathcal{V} \quad (۱-۳)$$

معادله (۱-۳) شکل انتگرالی معادله پیوستگی است و از نظر فیزیکی به این معناست که آهنگ خالص جریان جرم خروجی از سطح معیار برابر با آهنگ زمانی کاهش جرم در درون حجم معیار است. معادله (۱-۳) را با ساده‌سازیهایی کلی در نظر می‌گیریم و سپس مثالهای خاصی را حل می‌کنیم.

چون حجم معیار ثابت است طرف راست معادله (۱-۳) برای جریان پایا صفر می‌شود  $\left( \frac{\partial \rho}{\partial t} = 0 \right)$  که رابطه زیر به دست می‌آید

$$\int_{C.S.} \rho \mathbf{V} \cdot d\mathbf{A} = 0 \quad (۲-۳)$$

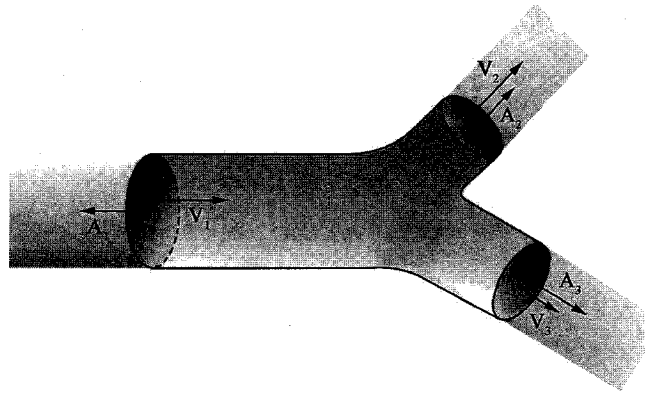
برای جریان شاره تراکم‌ناپذیر، داریم

$$\int_{C.S.} \mathbf{V} \cdot d\mathbf{A} = 0$$

در جریان پایای شکل ۲-۳، شار وارد قسمت ۱ می‌شود و از قسمتهای ۲ و ۳ خارج خواهد شد، بنابراین

$$\int_{C.S.} \rho \mathbf{V} \cdot d\mathbf{A} = 0$$

$$\int_{A_r} \rho \mathbf{V} \cdot d\mathbf{A} + \int_{A_r} \rho \mathbf{V} \cdot d\mathbf{A} + \int_{A_1} \rho \mathbf{V} \cdot d\mathbf{A} = 0$$



شکل ۳-۲ پیوستگی در جریان چندشاخه.

با این فرض که سرعت عمود بر همه سطحهایی است که شماره از آنها عبور می‌کند، داریم

$$\int_{A_2} \rho_2 V_2 dA + \int_{A_3} \rho_3 V_3 dA - \int_{A_1} \rho_1 dA = 0$$

اگر چگالیها و سرعتها در ناحیه‌های مربوط به خود یکنواخت باشند، خواهیم داشت

$$\rho_2 V_2 A_2 + \rho_3 V_3 A_3 - \rho_1 V_1 A_1 = 0 \quad (3-3)$$

برای تک لوله بدون خروجی سوم این معادله به صورت زیر درمی‌آید

$$\rho_2 A_2 V_2 = \rho_1 A_1 V_1 \quad (4-3)$$

فرضهای منظور شده در ایجاد معادله (۴-۳) عبارت‌اند از (الف) جریان پایا، (ب) سرعتها عمود بر سطحها هستند، (ج) سرعت و چگالی در ناحیه‌های مربوط به خود ثابت هستند و (د) هر حجم معیار دارای یک ورودی و یک خروجی است.

تکانه: اکنون، معادله تکانه را برای حجم معیار به دست می‌آوریم. این معادله یکی از مهمترین رابطه‌های ریاضی در حرکت شاره است. با این معادله می‌توان مسائل شامل نیروهای شاره وارد بر سطحهای صلب و شماره‌های دیگر همچون نیروی وارد بر زانویی، نیروی رانش موتور جت، نیروهای برآ و (بالابر) پسای (پس‌کشی) وارد بر بالهای هواپیما و بسیاری دیگر را بررسی کرد.

نیروی خالص  $F$  که بر ذره یا مجموعه‌ای از ذرات با جرم ثابت وارد می‌شود، از قانون دوم نیوتون به دست می‌آید

$$F = \frac{dM}{dt} \quad (5-3)$$

که  $M$  تکانه خطی کل مجموعه ذرات است. اگر فرض کنیم که نیروی وارده در طول زمان  $\Delta t$  ثابت باشد، می‌توان نوشت

$$F \Delta t = \Delta M \quad (6-3)$$

طرف راست معادله (۶-۳) با مراجعه به شکل ۳-۱ عبارت است از

$$\Delta M = M_A(t + \Delta t) - M_C(t + \Delta t) + M_B(t + \Delta t) - M_A(t)$$



پس از بازآرایی این رابطه و تقسیم آن بر  $\Delta t$ ، داریم

$$\frac{\Delta M}{\Delta t} = \frac{M_A(t + \Delta t) - M_A(t)}{\Delta t} + \frac{M_B(t + \Delta t) - M_C(t + \Delta t)}{\Delta t} \quad (۷-۳)$$

با تعیین مقدار حدی معادله (۷-۳) زمانی که  $\Delta t \rightarrow 0$ ، جمله اول طرف راست به صورت زیر در می آید

$$\lim_{\Delta t \rightarrow 0} \frac{M_A(t + \Delta t) - M(t)}{\Delta t} = \frac{\partial}{\partial t} (M)_{C.V.} = \frac{\partial}{\partial t} \int_{C.V.} \rho \mathbf{V} d\mathcal{V}$$

و جمله دوم

$$\begin{aligned} \lim_{\Delta t \rightarrow 0} \left[ \frac{M_B(t + \Delta t) - M_C(t + \Delta t)}{\Delta t} \right] &= \lim_{\Delta t \rightarrow 0} \left\{ \frac{\left[ \sum_B \Delta M(t + \Delta t) \right]_B}{\Delta t} - \frac{\left[ \sum_C \Delta M(t + \Delta t) \right]_C}{\Delta t} \right\} \\ &= \sum_B \Delta \dot{M} - \sum_C \Delta \dot{M} = \left[ \sum \Delta \dot{m} \mathbf{V} \right]_{out} - \left[ \sum \Delta \dot{m} \mathbf{V} \right]_{in} \\ &= \int_{C.S.} \mathbf{V} \rho \mathbf{V} \cdot d\mathbf{A} \end{aligned}$$

که  $\sum_B \Delta M(t + \Delta t)$  تکانه مربوط به جرمی است که از مرز ناحیه  $B$  در زمان  $\Delta t$  گذشته است.  $\sum_B \Delta \dot{m}$  آهنگ زمانی عبور تکانه از سطح به درون ناحیه  $B$  در زمان  $t$  است. بنابراین، معادله (۶-۳) به صورت زیر نوشته می شود

$$\mathbf{F} = \frac{\partial}{\partial t} \int_{C.V.} \mathcal{V} \rho d\mathbf{V} + \int_{C.S.} \mathbf{V} \rho \mathbf{V} \cdot d\mathbf{A} \quad (۸-۳)$$

نیروی کل  $\mathbf{F}$  از نیروی کل سطح  $\mathbf{F}_s$  (فشار و نیروی برشی) و نیروی حجمی  $\mathbf{B}$  به عنوان نیروی واحد حجم تشکیل شده است. معادله تکانه برای حجم معیار به صورت زیر نوشته می شود

$$\mathbf{F}_s + \int_{C.V.} \mathbf{B} d\mathcal{V} = \frac{\partial}{\partial t} \int_{C.V.} \mathbf{V} \rho d\mathcal{V} + \int_{C.S.} \mathbf{V} \rho \mathbf{V} \cdot d\mathbf{A} \quad (۹-۳)$$

لازم به تأکید است این معادله وقتی معتبر است که محورها بدون شتاب حرکت کنند، زیرا شکل معمول قوانین نیوتون تحت این شرایط صادق است.<sup>۱</sup> در حالت جریان پایا و نیروهای حجمی قابل چشمپوشی معادله (۹-۳) به صورت زیر نوشته می شود

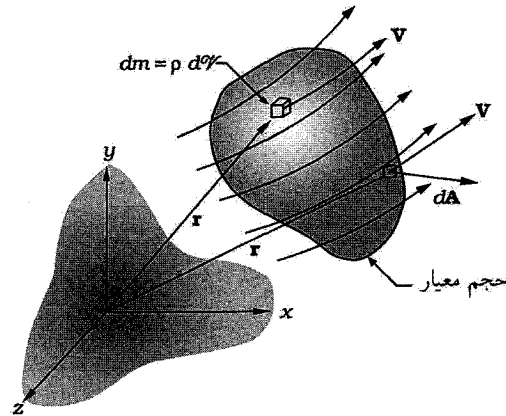
$$\mathbf{F}_s = \int_{C.S.} \mathbf{V} \rho \mathbf{V} \cdot d\mathbf{A} \quad (۱۰-۳)$$

وانگهی، اگر فرض کنیم که چگالی و سرعت در تمام ناحیه‌هایی که شماره از سطح معیار عبور می کند یکنواخت است، برای ورودی ۱ و خروجی ۲ می توان نوشت

$$\sum \mathbf{F}_x = \dot{m}(V_{x_2} - V_{x_1}), \quad \sum \mathbf{F}_y = \dot{m}(V_{y_2} - V_{y_1}), \quad \sum \mathbf{F}_z = \dot{m}(V_{z_2} - V_{z_1})$$

تکانه زاویه‌ای: به جای استخراج دقیق معادله تکانه زاویه‌ای، فقط به نوشتن معادله و بحث بر روی مفهوم فیزیکی آن بسنده می کنیم. برای اطلاع از طریقه به دست آوردن می توانید به مرجع ۱۱ و ۱۳ مراجعه کنید.

۱. در حالتی که حجم معیار شتابدار ولی بدون چرخش است، جمله‌ای مانند  $-m\ddot{\mathbf{R}}$  به طرف چپ معادله (۹-۳) اضافه می شود که  $m$  جرم کل در حجم معیار، و  $\ddot{\mathbf{R}}$  شتاب نسبت به چارچوب مرجع لخت است. طریقه به دست آمدن معادله کامل آن در [۱۳] آمده است.



شکل ۳-۳ تکانه زاویه‌ای در حجم معیار.

دوباره، معادله تکانه خطی (۹-۳) را می‌نویسیم

$$\mathbf{F}_s + \int_{C.V.} \mathbf{B} dV = \frac{\partial}{\partial t} \int_{C.V.} \mathbf{V} \rho dV + \int_{C.S.} \mathbf{V} \rho \mathbf{V} \cdot d\mathbf{A}$$

سپس معادله (۹-۳) را به صورت حاصل ضرب برداری هر یک از جمله‌ها در بردار مکان  $\mathbf{r}$  می‌نویسیم

$$\int_{C.S.} \mathbf{r} \times d\mathbf{F}_s + \int_{C.V.} \mathbf{r} \times \mathbf{B} dV = \frac{\partial}{\partial t} \int_{C.V.} \mathbf{r} \times \mathbf{V} \rho dV + \int_{C.S.} \mathbf{r} \times \mathbf{V} \rho \mathbf{V} \cdot d\mathbf{A} \quad (۱۱-۳)$$

که معادله تکانه زاویه‌ای است. اکنون، به تفسیر فیزیکی هر یک از جمله‌ها می‌پردازیم. با مراجعه به شکل ۳-۳ تأکید می‌شود که  $\mathbf{V}$  سرعت مطلق نسبت به دستگاه مختصات ثابتی است که در آن حجم معیار نیز ساکن است.

عبارت انتگرالده جمله اول  $\mathbf{r} \times d\mathbf{F}_s$  گشتاور حول مبدأ مربوط به نیروی  $d\mathbf{F}_s$  در سطح معیار را به دست می‌دهد. انتگرالده جمله دوم گشتاور حول مبدأ مربوط به نیروی حجمی وارد بر جزء حجمی بی‌نهایت کوچک  $dV$  است. انتگرالده جمله سوم تکانه زاویه‌ای جزء جرمی بی‌نهایت کوچک  $\rho dV$  است. با انجام انتگرال‌گیری تکانه زاویه‌ای جرم کل درون حجم معیار به دست می‌آید. آخرین جمله آهنگ گذار تکانه زاویه‌ای از میان سطح معیار است.

در کاربرد معادله (۱۱-۳) از شکل مؤلفه اسکالر استفاده می‌شود. به عنوان مثال، اگر معادله را برای محور  $z$ ، همچون شکل ۳-۴، بنویسیم (برای جریان پایا و نیروهای حجمی ناچیز)، داریم

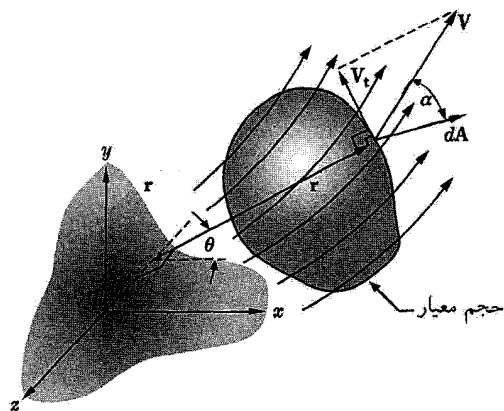
$$T_z = \int_{C.S.} (\mathbf{r} \times \mathbf{V})_z (\rho \mathbf{V} \cdot d\mathbf{A}) \quad (۱۲-۳)$$

که  $T_z$  گشتاور خالص وارد بر حجم معیار حول محور  $z$  است

$$(\mathbf{r} \times \mathbf{V})_z = rV_t, \quad \rho \mathbf{V} \cdot d\mathbf{A} = \rho V \cos \alpha dA$$

که  $V_t$  مؤلفه بردار سرعت عمود بر محور  $z$  و  $\mathbf{r}$  و  $\alpha$  زاویه بین بردار سرعت و سطح  $dA$  است. آن‌گاه

$$T_z = \int_{C.S.} \rho r V_t V \cos \alpha dA \quad (۱۳-۳)$$



شکل ۳-۴ تکانه زاویه‌ای حول محور z.

فرض می‌کنیم که جریان کل به حجم معیار در سطح  $A_2$  وارد می‌شود و آن را در سطح  $A_z$  ترک می‌کند که بر روی هر یک از  $V$ ،  $\cos \alpha$  و  $V$  یکنواخت هستند. بنابر تعریف، مقدار میانگین  $rV_{t_2}$  بر روی سطح  $A_2$  و مقدار میانگین بر روی سطح  $A_1$  است.

$$r_2 V_{t_2} = \frac{1}{A_2} \int_{A_2} r V_t dA, \quad r_1 V_{t_1} = \frac{1}{A_1} \int_{A_1} r V_t dA$$

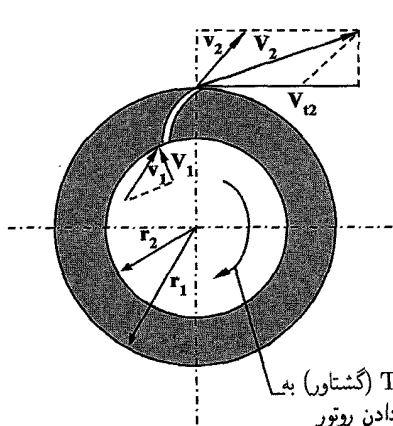
با توجه به معادله پیوستگی، برای  $Q$  آهنگ جریان حجمی، داریم

$$\rho_1 A_1 V_1 \cos \alpha_1 = \rho_2 V_2 A_2 \cos \alpha_2 = \rho_1 Q_1$$

آن‌گاه معادله (۳-۱۳) به صورت زیر درمی‌آید

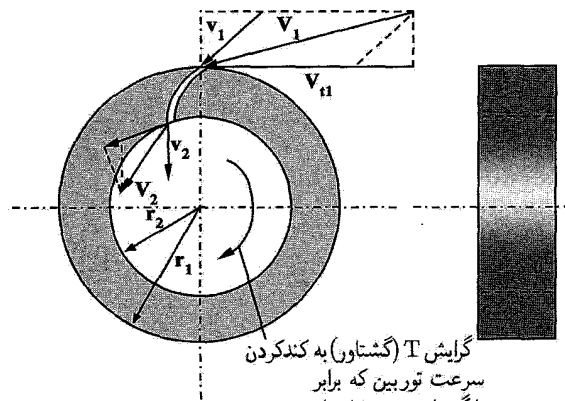
$$T_z = \rho_1 Q_1 (r_2 V_{t_2} - r_1 V_{t_1}) \quad (۳-۱۴)$$

معادله (۳-۱۴) در روتور توربوماشینها به کار می‌رود، زیرا جریان مطلق در داخل روتور چرخه‌ای است و با تقریب خوبی می‌توان  $\rho$ ،  $V$  و  $\cos \alpha$  را در ورودی ۱ و خروجی ۲ یکنواخت در نظر گرفت (شکل‌های ۳-۵ و ۳-۶ را ببینید). در این شکلها  $v$  مربوط به روتور (سرعت نسبی) و  $V$  سرعت نسبت به زمین (سرعت مطلق) است. برای روشن شدن موضوع فقط یک پره توربین را نشان داده‌ایم.



گرایش T (گشتاور) به شتاب دادن روتور

شکل ۳-۶ نمودار سرعت برای گرداننده توربین با جریان شعاعی.



گرایش T (گشتاور) به کند کردن سرعت توربین که برابر با گشتاور روی شاره است

شکل ۳-۵ نمودار سرعت برای پره‌ای با جریان شعاعی.

اگر از اصطکاک یا تاقان و نیروی پسای شاره بر روی جدارهٔ خارجی روتور و تنشهای برشی شاره در ۱ و ۲ صرف نظر کنیم، آنگاه گشتاور خارجی  $T$  بر روی محور روتور برابر با برآیند گشتاور خارجی در دو طرف دستگاه خواهد بود.  $T$  برای توربین ساعتگرد، و برای کمپرسور پادساعتگرد است. بنابراین، برای توربین، داریم

$$T = \rho_1 Q_1 (r_1 V_{t1} - r_2 V_{t2}) \quad (۱۵-۳)$$

و برای پروانهٔ کمپرسور یا پمپ ( $V_{t1}$  معمولاً صفر است)، خواهیم داشت

$$T = \rho_1 Q_1 (r_2 V_{t2} - r_1 V_{t1}) \quad (۱۶-۳)$$

توربوماشینهای بالا دستگاههایی با جریان شعاعی اند، یعنی جریان درون روتور در جهت شعاعی یا عمود بر محور دوران است. توربوماشینها می‌توانند دارای جریان شعاعی (جریان موازی با محور دوران) یا جریان آمیخته (جریان میانی بین جریان محوری و شعاعی) باشند.

انرژی: بیان ریاضی قانون اول ترمودینامیک<sup>۱</sup> عبارت است از

$$Q - W = \Delta E \quad (۱۷-۳)$$

که

$$Q = \text{گرمای داده شده به دستگاه،}$$

$$W = \text{کار انجام گرفته توسط دستگاه، و}$$

$$\Delta E = \text{تغییر انرژی دستگاه است.}$$

همان‌گونه که در بخشهای قبلی اشاره شده، قویاً تأکید می‌شود که این قانون برای سیستم به کار می‌رود. بنابراین، مانند گذشته باید رابطه‌های ریاضی را برای حجم معیار تعیین کنیم.

گرما و کار در معادلهٔ (۱۷-۳) شامل برهم‌کنش دستگاه با دستگاههای دیگر است، اما انرژی وابسته به جرم سیستم است و معمولاً به سه قسمت تقسیم می‌شود

$$E = U + \frac{1}{2} m V^2 + mgz$$

که  $U$  = انرژی ورودی مربوط به رفتار اتمها و مولکولهای دستگاه

$$= \frac{1}{2} m V^2 \quad \text{انرژی جنبشی، و}$$

$$mgz = \text{انرژی پتانسیل مربوط به مکان دستگاه در میدان گرانشی زمین است.}$$

معادلهٔ (۱۷-۳) را بر مبنای واحد جرم می‌نویسیم

$$q - w = \Delta e \quad (۱۸-۳)$$

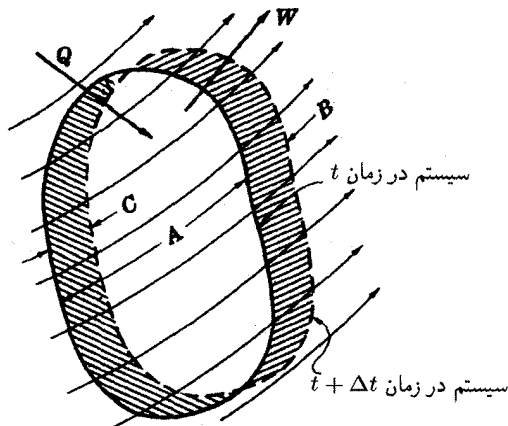
که

$$q = \frac{Q}{m}, \quad w = \frac{W}{m}, \quad e = \frac{E}{m}$$

اکنون، این سیستم را مطابق شکل ۷-۳ در زمان  $t$  در نظر می‌گیریم. پس از مدت زمان کوتاه  $t + \Delta t$ ، این سیستم به مکان دیگری انتقال یافته است. معادلهٔ انرژی سیستم برای این تغییر عبارت است از

$$Q - W = E_f - E_i$$

۱. تعریف کار و گرما را می‌توان در مرجعهای ۷ و ۱۵ یافت.



شکل ۳-۷ حجم معیار برای موازنه انرژی.

که انرژی نهایی و  $E_i$  انرژی اولیه سیستم است. از تقسیم این رابطه بر  $\Delta t$ ، داریم

$$\frac{Q}{\Delta t} - \frac{W}{\Delta t} = \frac{E_f - E_i}{\Delta t} \quad (۱۹-۳)$$

اکنون، طرف راست معادله را محاسبه می‌کنیم:

$$\begin{aligned} \frac{E_f - E_i}{\Delta t} &= \frac{E_A(t + \Delta t) - E_C(t + \Delta t) + E_B(t + \Delta t) - E_A(t)}{\Delta t} \\ &= \frac{E_A(t + \Delta t) - E_A(t)}{\Delta t} + \frac{E_B(t + \Delta t) - E_C(t + \Delta t)}{\Delta t} \end{aligned}$$

وقتی  $\Delta t \rightarrow 0$ ، اولین جمله طرف راست به صورت زیر درمی‌آید

$$\begin{aligned} \lim_{\Delta t \rightarrow 0} \frac{E_A(t + \Delta t) - E_A(t)}{\Delta t} &= \frac{\partial}{\partial t}(E)_{C.V.} = \frac{\partial}{\partial t} \int edm \\ &= \frac{\partial}{\partial t} \int_{C.V.} \rho p dV \end{aligned}$$

و آخرین جمله به صورت زیر می‌شود

$$\frac{E_B(t + \Delta t) - E_C(t + \Delta t)}{\Delta t} = \frac{(\sum \Delta me)_B |_{t+\Delta t}}{\Delta t} = \frac{(\sum \Delta me)_C |_{t+\Delta t}}{\Delta t}$$

که مجموع آن عبارت است از جرم عبور کرده از سطح؛  $\Delta m$  جرم نمونه‌وار، و  $e$  انرژی ذخیره شده در جرم  $\Delta m$  است. در حد وقتی  $\Delta t \rightarrow 0$  معادله آخر به شکل زیر در می‌آید

$$\lim_{\Delta t \rightarrow 0} \frac{E_B(t + \Delta t) + E_C(t + \Delta t)}{\Delta t} = \int_{out} ed\dot{m} - \int_{int} ed\dot{m} = \int_{C.S.} \rho \mathbf{V} \cdot d\mathbf{A}$$

بنابراین، داریم

$$\lim_{\Delta t \rightarrow 0} \frac{E_f - E_i}{\Delta t} = \frac{\partial}{\partial t} \int_{C.V.} \rho p dV + \int_{C.S.} \rho \mathbf{F} d\mathbf{A}$$

کار انجام شده در مرز سیستم با محیط خارج ممکن است در نتیجه تنشهای عمودی و یا مماسی انجام گیرد. کار انجام شده در مرز ناشی از تنشهای عمودی (فشار هیدروستاتیک) را کار جریان شاره می‌نامند. این کاری است که روی جزء جرم  $(\Delta m)_B$  انجام می‌گیرد. مثلاً در جابه‌جایی

شماره در خروج از ناحیه  $A$  در زمان  $\Delta t$  کار برابر با  $pdA\Delta x$  است. اما  $dA\Delta x$  حجم جزء جرم  $\Delta m$  است و می‌توان آن را به صورت  $\frac{(\Delta m)_B}{\rho}$  نوشت: بنابراین، کار جریان شماره برای هر دو حالت جریان خروجی و ورودی عبارت است از

$$\begin{aligned} \left(\frac{dW}{dt}\right)_{\text{کار جریان شماره}} &= \lim_{\Delta t \rightarrow 0} \left(\frac{\Delta W}{\Delta t}\right)_{\text{کار جریان شماره}} \\ &= \lim_{\Delta t \rightarrow 0} \left[ \frac{\sum (p/\rho)(\Delta m)_B|_{t+\Delta t}}{\Delta t} - \frac{\sum (p/\rho)(\Delta m)_C|_{t+\Delta t}}{\Delta t} \right] \\ &= \int_{C.S.} (p/\rho)\rho \mathbf{V} \cdot d\mathbf{A} \end{aligned}$$

معادله انرژی به صورت زیر نوشته می‌شود

$$\frac{dQ}{dt} - \frac{dW_s}{dt} = \frac{\partial}{\partial t} \int_{C.V.} e \rho d\mathcal{V} + \int_{C.S.} (e + p/\rho)\rho \mathbf{V} \cdot d\mathbf{A} \quad (20-3)$$

که

$$e = u + \frac{1}{2}V^2 + gz$$

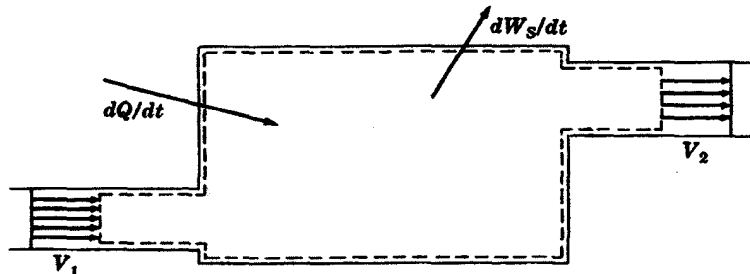
و  $\frac{dW_s}{dt}$  آهنگ انجام کار برای تمام انواع کار بجز کار جریان شماره است. معادله (۲۰-۳) بیان‌کننده آهنگ دمای اضافه شده به سیستم منهای کار انجام شده به وسیله سیستم (بجز کار جریان شماره) است که برابر با آهنگ تغییر انرژی ذخیره شده در حجم معیار به اضافه آهنگ خالص جریان انرژی ذخیره شده و کار جریان شماره خارج شده از حجم معیار می‌شود.

اکنون، جریان پایای یک بعدی سیستم موجود در شکل ۳-۸ را در نظر می‌گیریم. کار نیروی برشی انجام شده روی مقطع محور دوار را کار محور می‌نامند. کارهای انجام شده بر روی همه قسمت‌های دیگر مرز برابر صفر است، زیرا سرعت یا صفر است و یا عمود بر نیروی برشی خواهد بود. بنابراین، از معادله (۲۰-۳) نتیجه می‌شود

$$\frac{dQ}{dt} - \frac{dW_s}{dt} = \int_{A_1+A_2} \left( \frac{p}{\rho} + u + \frac{1}{2}V^2 + gz \right) \rho V dA$$

چون جریان یک بعدی است  $p, u, V$  در مقطع  $A_1, A_2$  یکنواخت‌اند، اگر علاوه بر این شرایط از تغییرات  $z$  بر روی سطحها صرف‌نظر کنیم، داریم

$$\frac{dQ}{dt} - \frac{dW_s}{dt} = \left( \frac{p_2}{\rho_2} + u_2 + \frac{1}{2}V_2^2 + gz_2 \right) \rho_2 A_2 V_2 - \left( \frac{p_1}{\rho_1} + u_1 + \frac{1}{2}V_1^2 + gz_1 \right) \rho_1 A_1 V_1$$



شکل ۳-۸ سیستم جریان پایا با مبادله کار و گرما.

از معادلهٔ پیوستگی برای جریان پایای یک بعدی نتیجه می‌شود

$$\rho_1 A_1 V_1 = \rho_2 A_2 V_2 = \frac{dm}{dt} = \text{آهنگ جریان جرم}$$

که با نشان دادن در معادلهٔ انرژی، خواهیم داشت

$$\frac{dQ}{dt} - \frac{dW_S}{dt} = \left[ \left( \frac{p_2}{\rho_2} - \frac{p_1}{\rho_1} \right) + (u_2 - u_1) + \frac{V_2^2 - V_1^2}{2} + g(z_2 + z_1) \right] \frac{dm}{dt} \quad (۲۱-۳)$$

با نوشتن معادلهٔ (۲۱-۳) برای هر واحد حجم جریان شاره، معادله به صورت زیر درمی‌آید

$$q - w_S = \left( \frac{p_2}{\rho_2} - \frac{p_1}{\rho_1} \right) + (u_2 - u_1) + \frac{V_2^2 - V_1^2}{2} + g(z_2 - z_1) \quad (۲۲-۳ \text{ الف})$$

این معادله موازنهٔ ترمودینامیکی جریان انرژی پایا در یک بعد است.

این معادله را می‌توان برحسب آنتالیپی ویژه  $h$  که  $h = p/\rho + u$  نوشت

$$q - w_S = (h_2 - h_1) + \frac{V_2^2 - V_1^2}{2} + g(z_2 - z_1)$$

با فرض تراکم‌ناپذیری جریان شاره و با آرایشی معادلهٔ (۲۲-۳ الف) می‌رسیم به

$$-w_S = \frac{p_2 - p_1}{\rho} + \frac{V_2^2 - V_1^2}{2} + g(z_2 - z_1) + (u_2 - u_1 - q)$$

در اغلب جریانهای واقعی، تمام کمیت‌های معادلهٔ پیشین، بجز انرژی درونی و انتقال گرما را می‌توان مستقیماً اندازه‌گیری کرد. به طور مثال، این موضوع به‌ویژه برای جریان مایعات در لوله‌ها صدق می‌کند. بنابراین، روش متداول چنین تعریف می‌شود

$$gH_L = u_2 - u_1 - q$$

به‌گونه‌ای که

$$-w_S = \frac{p_2 - p_1}{\rho} + \frac{V_2^2 - V_1^2}{2} + g(z_2 - z_1) + gH_L \quad (۲۲-۳ \text{ ب})$$

که  $H_L$  را «اتلاف» یا «افت هد» می‌گویند و بیانگر تبدیل انرژی مکانیکی به انرژی گرمایی است. با برقراری جریان در درون پمپ یا لوله، شاره دچار تغییر شکل برشی می‌شود زیرا شاره در تماس با سطح جامد نمی‌لغزد. تنشهای برشی در نتیجهٔ این تغییر شکلها در شارهٔ گران‌رو شکل می‌گیرند. دما بیشتر از دمای جریان بی‌اصطکاک می‌شود. افزایش دما موجب افزایش  $u_2 - u_1$  و گرمای انتقالی به محیط اطراف خواهد شد.

برای جریان بی‌اصطکاک شارهٔ تراکم‌ناپذیر با کار محوری صفر، معادلهٔ (۲۲-۳ ب) به صورت زیر نوشته می‌شود، زیرا  $H_L$  صفر است

$$\frac{p_2 - p_1}{\rho} + \frac{V_2^2 - V_1^2}{2} + g(z_2 - z_1) = 0 \quad (۲۲-۳ \text{ ج})$$

اکنون، این معادله را با معادلهٔ برنولی که بعداً آن را از معادلهٔ تکانه به دست خواهیم آورد، مقایسه می‌کنیم. در واقع، از مقایسهٔ معادلهٔ (۲۲-۳ الف) با اولین انتگرال معادلهٔ حرکت برای شاره تراکم‌ناپذیر می‌توان ثابت کرد که  $(u_2 - u_1 - q)$  جمله افت هد است. این معادله شبیه معادله (۲۲-۳ ب) یعنی معادلهٔ تعمیم یافتهٔ برنولی است که مستقیماً از معادلهٔ تکانهٔ بررسی شده در بخش ۳-۳ به دست آمده است. دانستن این نکته بسیار مهم

است که معادله (۳-۲۲ب)، و نه معادله (۳-۲۲الف)، منحصرأ از معادلهٔ تکانه به‌دست آمده است. معادله (۳-۲۲الف) معادلهٔ کلی انرژی برای جریان شاره تراکم‌پذیر است، اما وقتی می‌گوییم جریان تراکم‌ناپذیر است و مقدار انرژی  $(q - u_1 - u_2)$  انرژی تلف‌شدهٔ جریان بی‌اصطکاک است؛ تمام اطلاعات ترمودینامیکی واقعی را حذف کرده‌ایم و فقط موازنهٔ انرژی مکانیکی اضافه بر معادلهٔ حرکت را در اختیار داریم. برای جریان تراکم‌ناپذیر بی‌اصطکاک معادله (۳-۲۲ج) شبیه معادلهٔ برنولی معمولی است و قسمت دیگر معادله (۳-۲۲ب) در حالت  $H_L = 0$ ، قانون اول است. یعنی،  $q - \Delta u = 0$  برای واحد جرم شارهٔ جاری همان قانون اول ترمودینامیک و مستقل از معادله (۳-۲۲ج) است.

معادلهٔ کلی انرژی (۳-۲۲الف) شامل قانون اول ترمودینامیک و موازنهٔ انرژی مکانیکی است. باید به‌خاطر داشت که موازنهٔ انرژی مکانیکی (برابری آهنگ افزایش انرژی جنبشی و انرژی پتانسیل به آهنگ کار ناشی از نیروهای انتقالی) را می‌توان از معادلهٔ تکانهٔ به‌دست آورد و مستقل از موازنهٔ ترمودینامیکی معروف به قانون اول است.

قانون دوم ترمودینامیک: روش تعیین قانون دوم ترمودینامیک برای هر حجم معیار مشابه روشی است که در قانونهای اصلی دیگر به‌کار می‌رود. به‌جای استخراج کامل معادله، فقط نتیجه‌ها داده خواهند شد. برای به‌دست آوردن تفصیلی معادله می‌توان به مرجعهای ۸ و ۱۰ مراجعه کرد.

$$dS - \frac{dQ}{T} \geq 0 \quad \text{قانون دوم برای سیستم عبارت است از}$$

(که  $S$  آنترپی سیستم است). این رابطه نشان می‌دهد که تغییر آنترپی منهای مقدار گرمای انتقال‌یافته به سیستم تقسیم بر دما برابر یا بزرگتر از صفر است. با استفاده از روشهای بخشهای قبل شکل معیار قانون دوم به‌صورت زیر به‌دست می‌آید

$$\frac{\partial}{\partial t} \int_{C.V.} sp dV + \int_{C.S.} sp \mathbf{V} \cdot d\mathbf{A} - \int_{C.S.} \frac{q}{T} \cdot d\mathbf{A} \geq 0 \quad (۳-۲۳)$$

که  $q$  بردار شار گرمایی، آهنگ انتقال گرما بر واحد سطح،  $s$  آنترپی ویژه، یعنی آنترپی واحد جرم است. اگر فرض کنیم که جریان شاره پایا و بی‌دررو است و فقط یک ورودی و یک خروجی دارد (شکل ۳-۸). آنگاه معادله (۳-۲۳) به شکل زیر نوشته می‌شود.

$$s_2 - s_1 \geq 0$$

اگر فرایند برگشت‌پذیر فرض شود، آنگاه

$$s_2 - s_1 = 0$$

که می‌گویند فرایند تک‌آنترپی است.

آنترپی خاصیتی است که به خاصیت‌های دیگر مربوط می‌شود. قانون دوم جایگاه ویژه‌ای در بررسی جریان‌ها دارد.

### ۳-۳ معادلات دیفرانسیل

در بخش قبل با استفاده از قانونهای اصلی، معادلات انتگرالی قابل استفاده در حجم معیار را به‌دست آوردیم. اکنون، با استفاده از قانونهای اصلی معادلات دیفرانسیلی دینامیک شاره‌ها را به‌دست می‌آوریم. برای این‌کار چند روش وجود دارد که سه روش مختلف متداولتر است. نخست، با استفاده از حساب برداری، رابطه‌های دیفرانسیلی را از طریق رابطه‌های انتگرالی به‌دست می‌آوریم. در این روش به هیچ استدلال فیزیکی دیگری نیاز نیست و از ریاضیات محض و خشک استفاده می‌شود. در روش دوم، با استفاده از رابطه‌های انتگرالی برای جزء حجم و گریادن حجم به سوی صفر، رابطه‌های دیفرانسیلی را به‌دست می‌آوریم. در روش سوم، معادلات اصلی را مستقیماً برای جزء حجم به کار می‌بریم و برای این‌کار، رابطه‌های انتگرالی اصلی را برای جزء حجمی به‌دست می‌آوریم.

برای تشریح این روشها، معادلهٔ دیفرانسیلی پیوستگی را با روش اول، معادلهٔ تکانه را با روش دوم و معادلهٔ انرژی را با روش سوم به‌دست می‌آوریم.



نکته مهمی که باید به خاطر داشت این است که مؤلفه‌هایی که برای مکان و زمان به کار می‌روند، مشخص‌کننده مکان تک‌تک ذرات نیستند. سؤال این است که خواص و سرعت ذرات برحسب مکان و زمان کدام‌اند؟ به‌عنوان مثال، در دستگاه مختصات دکارتی، داریم  $\mathbf{V} = \mathbf{V}(\mathbf{r}, t)$  یا  $\mathbf{V} = \mathbf{V}(x, y, z, t)$ . چنین مختصاتی را مختصات اویلری در مقابل مختصات لاگرانژی می‌نامند که در خصوص دینامیک اجسام صلب به‌کار می‌رود. در مختصات لاگرانژی شتاب  $\mathbf{r}$  و  $\mathbf{r}$  نشانگر مکان ذره یا محل نقطه‌ای ثابت در جسم جامد است. در مکانیک شاره‌ها می‌توان از مختصات لاگرانژی استفاده کرد ولی مفید نیست و منحصرأ از مختصات اویلری استفاده می‌شود. از این‌رو، روشن است که در دستگاه اویلری  $\mathbf{r}$  معرف شتاب نیست زیرا چنین کمیتی بی‌معنی است، چون فقط کمیت ثابت در فضا است و روشن است که مشتق آن بی‌معنی خواهد بود. با جریان یافتن شاره، ذرات از هر نقطه مورد نظری می‌گذرند و دارای شتاب هستند که می‌توان آن را برحسب سرعت شاره نوشت. رابطه‌های مربوط در زیر به‌دست می‌آیند.

### ۱-۳-۳ پیوستگی (پایستگی جرم)

از معادله (۱-۳) شروع کنیم

$$\int_{C.S.} (\rho \mathbf{V} \cdot d\mathbf{A}) = -\frac{\partial}{\partial t} \int_{C.V.} \rho d\mathcal{V} \quad (۱-۳)$$

و با استفاده از قضیه گاوس، طرف چپ معادله را به انتگرال حجمی تبدیل می‌کنیم. در این صورت، معادله (۱-۳) به شکل زیر درمی‌آید

$$\int_{C.V.} \nabla(\rho \mathbf{V}) d\mathcal{V} + \frac{\partial}{\partial t} \int_{C.V.} \rho d\mathcal{V} = \int_{C.V.} [\nabla \cdot (\rho \mathbf{V}) + \partial \rho / \partial t] d\mathcal{V} = 0 \quad (۲۴-۳)$$

چون حجم معیار اختیاری است انتگرالده باید صفر باشد. در این صورت، شکل دیفرانسیلی معادله پیوستگی عبارت است از

$$\frac{\partial \rho}{\partial t} + \nabla \cdot (\rho \mathbf{V}) = 0 \quad (۲۵-۳)$$

که می‌توانستیم آن را مستقیماً با استفاده از معادله (۱-۳) برای حجم معیار به دست آوریم.

در جریان پایا،  $\partial \rho / \partial t = 0$  و داریم

$$\nabla \cdot (\rho \mathbf{V}) = 0 \quad (۲۶-۳)$$

و برای جریان شاره تراکم‌ناپذیر، داریم

$$\nabla \cdot \mathbf{V} = 0 \quad (۲۷-۳)$$

معادله پیوستگی در دستگاه مختصات به‌صورت زیر است

$$\frac{\partial \rho}{\partial t} + \frac{\partial}{\partial x}(\rho u) + \frac{\partial}{\partial y}(\rho v) + \frac{\partial}{\partial z}(\rho w) = 0 \quad (۲۸-۳)$$

که برای جریان شاره تراکم‌ناپذیر به شکل زیر نوشته می‌شود

$$\frac{\partial u}{\partial x} + \frac{\partial v}{\partial y} + \frac{\partial w}{\partial z} = 0 \quad (۲۹-۳)$$

معادله پیوستگی در تانسور دکارتی به‌صورت زیر است

$$\frac{\partial \rho}{\partial t} + \frac{\partial}{\partial x_i}(\rho u_i) = 0 \quad (۳۰-۳)$$

تانسور دکارتی به اختصار در پیوسته ه آمده است:

## ۳-۳-۲ معادلهٔ تکانه

معادلهٔ تکانه را با استفاده از شکل انتگرالی معادلهٔ پیوستگی برای جزء حجم به دست می‌آوریم. مکعبی کوچک را در نظر می‌گیریم، بنابراین نتایج فقط در دستگاه مختصات دکارتی معتبرند. شکل برداری کلی معادله در بهترین وضع با روش ریاضی صوری به دست می‌آید. ولی در اینجا فقط نتایج را ارائه می‌کنیم. البته معادلات برای هر دستگاه مختصاتی (استوانه‌ای، کروی و جز آن) همچون دستگاه دکارتی قابل حصول است منتها باید جزء حجم مناسب دستگاه مختصات را در ابتدا انتخاب کرد.

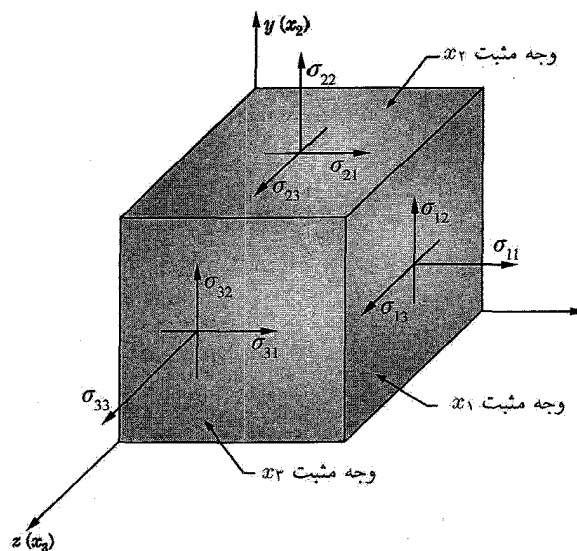
قبل از به دست آوردن معادله، نخست مفهوم تانسور تنش را مرور خواهیم کرد. در بررسی موازنهٔ تکانه تنشهای برشی و عمود (شامل فشار) را باید به حساب بیاوریم. (پس از به دست آوردن معادله، این تنشهای برشی و عمودی را مرتبط با مؤلفه‌های سرعت می‌کنیم و شکل نهایی معادلهٔ تکانه را به دست می‌آوریم).

شمارهٔ مکعبی شکل ۳-۹ را در نظر بگیرید. تنشها با  $\sigma_{ij}$  مشخص می‌شوند. شاخص پایین اول مشخص‌کنندهٔ وجهی است که تنش به آن وارد می‌شود: شاخص پایین دوم جهت اعمال تنش در وجه مثبت را نشان می‌دهد. در وجه منفی تنشها از نظر مقدار برابر، ولی در جهت مخالف با تنشهای وجه مثبت‌اند. (وجه به صورت صفحهٔ عمود بر محور شاخص پایین مشخص شده است. به عنوان مثال، وجه ۱ عمود بر محور  $x_1$  یا  $x_1$  است). وجههای مثبت و منفی را در شکل ۳-۹ نشان داده‌ایم. تنشها ممکن است در دورن شاره تغییر و در نتیجهٔ گرادیان آنها به وجود آید. اما، آرایهٔ تنشها  $\sigma_{ij}$  (به تعداد ۹ تا) ممکن است در هر نقطه از فضا بر حسب  $\mathbf{r}$  و  $t$  وجود داشته باشد. تانسور تنش به صورت زیر نوشته می‌شود

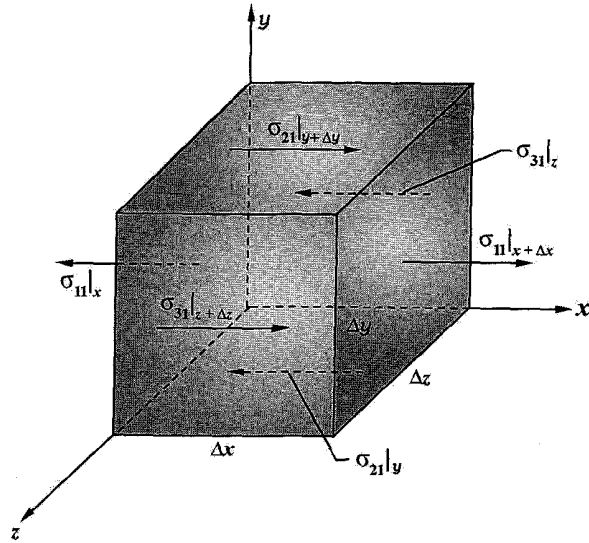
$$\sigma_{ij} = \begin{bmatrix} \sigma_{11} & \sigma_{12} & \sigma_{13} \\ \sigma_{21} & \sigma_{22} & \sigma_{23} \\ \sigma_{31} & \sigma_{32} & \sigma_{33} \end{bmatrix} \quad (3-3)$$

تانسور تنش باید متقارن باشد، یعنی  $\sigma_{ij} = \sigma_{ji}$ ، در غیر این صورت اگر جزء حجم را فشرده کنیم، بدیهی است حجم ریزتر می‌شود و در این حالت با سرعت زاویه‌ای بسیار زیادی می‌چرخد. بنابراین، شش مؤلفهٔ مستقل تانسور تنش وجود دارد.

اکنون، معادلهٔ انتگرالی تکانه (۳-۹) را برای جزء مکعبی، که تنشهای موجود در آن نیروی خارجی  $\mathbf{F}_s$  را تشکیل می‌دهند، به کار می‌بریم. با رجوع به شکل ۳-۱۰ می‌توان معادلهٔ موازنهٔ تکانه را در جهت  $x$  نوشت



شکل ۳-۹ تنشها در نقطه‌ای از فضا. وجههای مثبت نشان داده شده‌اند. سمت مخالف وجه منفی است. تنشها در وجههای منفی برابر، و در جهت مخالف با وجههای مثبت‌اند.



شکل ۳-۱۰ مکعبی برای استنتاج معادلهٔ تکانه. تنشها را فقط در جهت  $x$  نشان داده‌ایم.

$$\begin{aligned} & (\sigma_{11}|_{x+\Delta x} - \sigma_{11}|_x) \Delta y \Delta z + (\sigma_{21}|_{y+\Delta y} - \sigma_{21}|_y) \Delta x \Delta y \\ & + (\sigma_{31}|_{z+\Delta z} - \sigma_{31}|_z) \Delta x \Delta y + B_x \Delta x \Delta y \Delta z = \frac{\partial}{\partial t} (\rho u) \Delta x \Delta y \Delta z \\ & + \Delta y \Delta z (\rho u^2|_{x+\Delta x} - \rho u^2|_x) + \Delta x \Delta y (\rho uv|_{y+\Delta y} - \rho uv|_y) \\ & + \Delta x \Delta y (\rho uw|_{z+\Delta z} - \rho uw|_z) \end{aligned}$$

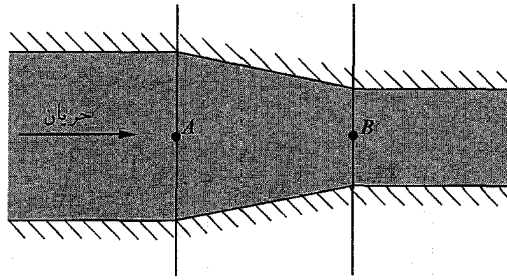
اگر این معادله را بر  $\Delta x \Delta y \Delta z$  تقسیم کنیم و  $\Delta x$ ،  $\Delta y$ ،  $\Delta z$  به‌سوی صفر میل دهیم، در ترکیب با معادلهٔ پیوستگی (۳-۲۸) رابطهٔ زیر به‌دست می‌آید. (با همین روش مؤلفه‌های  $y$  و  $z$  به‌دست می‌آیند)

$$\begin{aligned} \rho \frac{Du}{Dt} &= \rho \left( \frac{\partial u}{\partial t} + u \frac{\partial u}{\partial x} + v \frac{\partial u}{\partial y} + w \frac{\partial u}{\partial z} \right) = \frac{\partial \sigma_{11}}{\partial x} + \frac{\partial \sigma_{12}}{\partial y} + \frac{\partial \sigma_{13}}{\partial z} + B_x \\ \rho \frac{Dv}{Dt} &= \rho \left( \frac{\partial v}{\partial t} + u \frac{\partial v}{\partial x} + v \frac{\partial v}{\partial y} + w \frac{\partial v}{\partial z} \right) = \frac{\partial \sigma_{21}}{\partial x} + \frac{\partial \sigma_{22}}{\partial y} + \frac{\partial \sigma_{23}}{\partial z} + B_y \\ \rho \frac{Dw}{Dt} &= \rho \left( \frac{\partial w}{\partial t} + u \frac{\partial w}{\partial x} + v \frac{\partial w}{\partial y} + w \frac{\partial w}{\partial z} \right) = \frac{\partial \sigma_{31}}{\partial x} + \frac{\partial \sigma_{32}}{\partial y} + \frac{\partial \sigma_{33}}{\partial z} + B_z \end{aligned} \quad (۳۲-۳)$$

و با نمادگذاری تانسور دکارتی، داریم

$$\rho \frac{Du_i}{Dt} = \rho \left( \frac{\partial u_i}{\partial t} + u_j \frac{\partial u_i}{\partial x_j} \right) = \frac{\partial \sigma_{ij}}{\partial x_j} + B_i \quad (۳۳-۳)$$

جمله‌های طرف چپ، شتاب هستند. جملهٔ  $\partial/\partial t$  جملهٔ ناپایایی است و تغییر زمانی در نقطه‌ای ثابت از فضا را نشان می‌دهد. جمله‌های طرف چپ، بجز  $\frac{\partial}{\partial t}$ ، را شتابهای همرفت می‌نامند و دلیل وجود آنها کار در مختصات اولبری است. عملگر  $D/Dt$  را مشتق کامل می‌گویند. به‌طور کلی، عملگری برداری است و در نتیجه، مؤلفه‌های  $\frac{D}{Dt}$  که بر روی بردار عمل می‌کنند، شبیه عملگر  $D/Dt$  که بر روی مؤلفه‌های اسکالر بردار بجز در دستگاه مختصات دکارتی، عمل می‌کنند، نیستند. معادلات (۳۲-۳) را می‌توان به



شکل ۱۱-۳ مجرای همگرا.

شکل برداری معتبر در تمام دستگاه‌های مختصات تعمیم داد. در این حالت شتاب برابر است با  $\rho DV/Dt$  که

$$\frac{D\mathbf{V}}{Dt} = \frac{\partial \mathbf{V}}{\partial t} + (\mathbf{V} \cdot \nabla) \mathbf{V} = \frac{\partial \mathbf{V}}{\partial t} + \nabla \left( \frac{1}{2} V^2 \right) - \mathbf{V} \times (\nabla \times \mathbf{V})$$

عملگر برداری  $DV/Dt$  در دستگاه‌های مختصات مختلف در پیوست پ داده شده است. در تعیین جمله همرفت یعنی  $(\mathbf{V} \cdot \nabla) \mathbf{V}$  باید دقت کرد. هر چند این جمله مکرراً به کار می‌رود ولی آن را فقط در دستگاه مختصات دکارتی می‌توان بسط داد (و واقعاً فرمولبندی برداری مناسبی نیست). عبارتی هم‌ارز ولی رابطه برداری بهتر و مناسبتری برای شتاب همرفت،  $(\mathbf{V} \cdot \nabla) \mathbf{V} - \nabla \left( \frac{1}{2} V^2 \right)$  است که قابل بسط به مؤلفه‌ها در هر دستگاه مختصات است.

عملگر مشتق کامل را می‌توان برای کمیت‌های اسکالر همچون دما به کار برد. مفهوم فیزیکی این نتیجه [که خود اسکالر (زده‌ای) است] نشانگر آهنگ تغییر آن کمیت نسبت به زمان است که ناظر همراه با شاره در هر مکان در فضا و در هر لحظه زمانی اندازه‌گیری می‌کند.

برای بیان مفهوم فیزیکی شتاب همرفت، شاره‌ای را در نظر بگیرید که در مجرای همگرا همچون شکل ۱۱-۳ جریان می‌یابد. سرعت در نقطه  $B$  بیشتر از نقطه  $A$  است. زیرا سطح در  $B$  کوچکتر است. بنابراین، ذرات شاره در حرکت از  $A$  به  $B$  شتاب می‌گیرند، زیرا سطح جریان تغییر می‌کند (شتاب همرفت). وانگهی، اگر آهنگ تغییر زمانی جرم شاره را اعمال کنیم (مثلاً، آهنگ جریان جرم شاره در یک لحظه خاص ۳ پوند در ثانیه و ۵ ثانیه بعد ۴ پوند در ثانیه باشد)، آن‌گاه هر یک از نقاط جریان تحت تأثیر افزایش سرعت یا شتاب موضعی قرار می‌گیرد. بنابراین، شتاب موضعی رخ می‌دهد. زیرا جریان ناپایاست و شتاب همرفت به وجود می‌آید، زیرا سطح تغییر می‌کند. نکته مهم این است که شتاب، بردار است و بیان آن در مختصات اویلری یا لاگرانژی تغییری در مقدار آن ندارد. به بیانی دیگر، در هر نقطه از فضا در هر زمان مفروض، شاره در آن نقطه دارای سرعت و شتاب، بزرگی و جهت خاصی است. از این رو،  $DV/Dt = \ddot{\mathbf{r}}$ ، که مختصه لاگرانژی است و  $D/Dt$  برحسب مختصات اویلری بیان می‌شود. در بیشتر حالتها، جریانهای پایا را باید بررسی کرد. یعنی، در بیشتر مکانها شتاب موضعی صفر است و شتاب ذره تنها ناشی از اثرهای همرفت است.

### ۳-۳-۳ معادله تکانه برای جریان بی‌اصطکاک

در جریان بی‌اصطکاک تنشهای برشی وجود ندارند و تنشهای عمودی فقط به صورت فشار همسانگردند. چون تنشهای عمودی  $(\sigma_{11}, \sigma_{22}, \sigma_{33})$  و  $\sigma_{33}$  را، اگر از نوع کششی باشند، به صورت مثبت تعریف کرده‌ایم، می‌توان نوشت

$$\sigma_{11} = \sigma_{22} = \sigma_{33} = -p$$

بدین ترتیب، معادلات حرکت در دستگاه دکارتی عبارت‌اند از

$$\rho \left( \frac{\partial u_i}{\partial t} + u_j \frac{\partial u_i}{\partial x_j} \right) = -\frac{\partial p}{\partial x_i} + B_i \quad (۳۴-۳)$$

و در شکل مؤلفه‌ای عبارت‌اند از

$$\begin{aligned} \rho \left( \frac{\partial u}{\partial t} + u \frac{\partial u}{\partial x} + v \frac{\partial u}{\partial y} + w \frac{\partial u}{\partial z} \right) &= -\frac{\partial p}{\partial x} + B_x \\ \rho \left( \frac{\partial v}{\partial t} + u \frac{\partial v}{\partial x} + v \frac{\partial v}{\partial y} + w \frac{\partial v}{\partial z} \right) &= -\frac{\partial p}{\partial y} + B_y \\ \rho \left( \frac{\partial w}{\partial t} + u \frac{\partial w}{\partial x} + v \frac{\partial w}{\partial y} + w \frac{\partial w}{\partial z} \right) &= -\frac{\partial p}{\partial z} + B_z \end{aligned} \quad (۳۵-۳)$$

این معادلات معروف به معادلات اویلر برای جریانهای بی‌اصطکاک‌اند. اگر جریان تراکم‌ناپذیر باشد، چگالی ثابت است و سه معادلهٔ اویلر به‌اضافهٔ معادلهٔ پیوستگی تشکیل چهار معادله برحسب چهار مجهول  $u, v, w$  و  $p$  را می‌دهد. حل این دستگاه معادلات غالباً دشوار است، زیرا جمله‌های شتاب همرفت، معادلات را غیرخطی می‌کند. شکل کلی برداری معادلات اویلر عبارت‌اند از

$$\frac{D\mathbf{V}}{Dt} = \frac{\partial \mathbf{V}}{\partial t} + (\mathbf{V} \cdot \nabla) \mathbf{V} = \rho \left[ \frac{\partial \mathbf{V}}{\partial t} + \nabla \left( \frac{1}{2} V^2 \right) - \mathbf{V} \times (\nabla \times \mathbf{V}) \right] = -\nabla p + \mathbf{B} \quad (۳۶-۳)$$

نخستین انتگرال مهم معادلهٔ حرکت را می‌توان با انتگرال‌گیری (۳۶-۳) بین دو نقطهٔ خط جریان انجام داد. فرض می‌کنیم که  $ds$  جزء طول در امتداد خط جریان است. در این صورت، داریم

$$\rho \left[ \frac{\partial \nabla}{\partial t} \cdot ds + \nabla \left( \frac{V^2}{2} \right) \cdot ds - \mathbf{V} \times (\nabla \times \mathbf{V}) \cdot ds \right] = -(\nabla p + \rho \nabla \psi) \cdot ds \quad (۳۷-۳)$$

چون  $\mathbf{V}$  موازی با  $ds$  است، جملهٔ  $\mathbf{V} \times (\nabla \times \mathbf{V})$  عمود بر  $ds$  است و

$$\mathbf{V} \times (\nabla \times \mathbf{V}) \cdot ds = 0$$

بنابراین، جریان بی‌اصطکاک را به‌صورت زیر به‌دست می‌آوریم

$$\int_1^2 \frac{\partial \mathbf{V}}{\partial t} \cdot ds + \frac{V_2^2 - V_1^2}{2} + \int_1^2 \frac{dp}{\rho} + \psi_2 - \psi_1 = 0 \quad (۳۸-۳)$$

این معادله را معمولاً برای حالت پایا می‌نویسند و پتانسیل گرانشی  $\psi$  برابر  $g_z$  است (که  $z$  ارتفاع از یک سطح مرجع است). بنابراین، نیروی گرانش با  $-\rho g \hat{z}$  است) که  $\hat{z}$  بردار یکه در راستای عمودی است. در این حالت معادلهٔ (۳۸-۳) به‌صورت رابطهٔ زیر درمی‌آید

$$\frac{V_2^2 - V_1^2}{2} + \int_1^2 \frac{dp}{\rho} + g(z_2 - z_1) = 0 \quad (۳۹-۳)$$

که معادلهٔ تعمیم‌یافتهٔ برنولی یا اویلر نامیده می‌شود. برای جریان تراکم‌ناپذیر، داریم

$$\frac{V_2^2 - V_1^2}{2} + \frac{p_2 - p_1}{\rho} + g(z_2 - z_1) = 0 \quad (۴۰-۳)$$

که معادلهٔ برنولی، یعنی شکل انتگرالی بسیار مهم معادلهٔ حرکت است. باید به‌خاطر داشت که معادلهٔ (۴۰-۳) بر اساس جریان پایا، بی‌اصطکاک، تراکم‌ناپذیر، که نیروی گرانش تنها نیروی حجمی است بنا نهاده شده است. این معادله در سرتاسر خط جریان برقرار است.

وقتی بخواهیم از معادله (۳-۳۷) بین هر دو نقطه میدان جریان (بین دو خط مختلف جریان) انتگرال بگیریم، یا اگر  $\nabla \times \mathbf{V} = 0$ ، به معادله برنولی یا اوایلر می‌رسیم. این جمله را به‌عنوان دوران شاره می‌شناسند و اگر  $\Delta \times \mathbf{V} = 0$ ، جریان را غیر دورانی می‌گویند. معیار غیردورانی بودن را در فصل ۶ بررسی خواهیم کرد.

نکته جالب این است که معادله (۳-۴۰) نظیر معادله (۳-۲۲ج) از رابطه‌ها و ملاحظات انرژی به‌دست آمده است. از مقایسه معادله (۳-۴۰) با (۳-۲۲ب) و (۳-۲۲ج) دیده می‌شود که  $(u_2 - u_1 - q)$  باید جمله اتلاف باشد و در حقیقت، می‌توان (۳-۲۲ب) و (۳-۲۲ج) را از معادله تکانه به‌دست آورد. معادله (۳-۲۲ب)، از جمله  $w_s$  را از انتگرال‌گیری شکل تعمیم‌یافته معادله (۳-۳۶)، با در نظر گرفتن جمله‌های گران روی (مولد  $H_L$ ) و این فرض که  $\mathbf{B}$  دارای بخش ناپایستار (مولد  $w_S$ ) است، به‌دست می‌آید. شکل تعمیم‌یافته معادله تکانه را به‌وسیله معادله (۳-۵۴) در بخش ۳-۵، همزمان با بحث معادلات ناویه-استوکس، ارائه می‌کنیم: انتگرال‌گیری را در اینجا انجام نخواهیم داد، زیرا استفاده از راهکار انتگرالی برای ایجاد (۳-۲۲ب) انجام کار را بسیار ساده‌تر می‌کند.

اکنون به جریان اصطکاکی برمی‌گردیم، اما نخست آهنگ تنش و آهنگ کرنش را در شاره‌ها توضیح می‌دهیم.

### ۳-۴ سینماتیک و رابطه‌های آهنگ تنش-کرنش در شاره‌ها

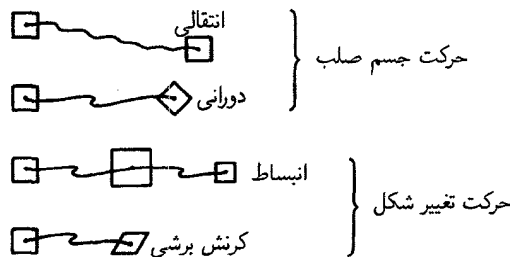
اگر بخواهیم بحث خود را به شاره‌های گران‌رو تعمیم دهیم. لازم است درباره آهنگ تغییر تنش و کرنش بحث مفصل‌تری بکنیم. نخست، حرکت سیستم کوچکی حاوی شاره با شکل دلخواه، مثلاً یک مکعب، را در نظر می‌گیریم. حرکت مکعب ممکن است دو نوع باشد. حرکت جسم صلب و حرکت تغییر شکل. حرکت جسم صلب خود نیز ممکن است به حرکت انتقالی و دوران تقسیم شود. معمولاً این حرکت را با بررسی رد مکان مرکز جرم سیستم و دوران سیستم توصیف می‌کنیم. وقتی سیستم حرکت جسم صلب داشته باشد، ممکن است تغییر شکل دهد. تغییر شکل سیستم شاره را می‌توان با انبساط (آهنگ انبساط حجمی یا تراکم) و آهنگ کرنش برشی سیستم مشخص کرد. این حالتها را در شکل ۳-۱۲ نشان داده‌ایم. اکنون رابطه‌های کتی برای تمام این مقادیر را می‌توان برحسب بردار سرعت  $\mathbf{V}$  (یا  $u_i$ ) و مشتقهای آنها در زیر نشان داد.

#### ۳-۴-۱ انتقال

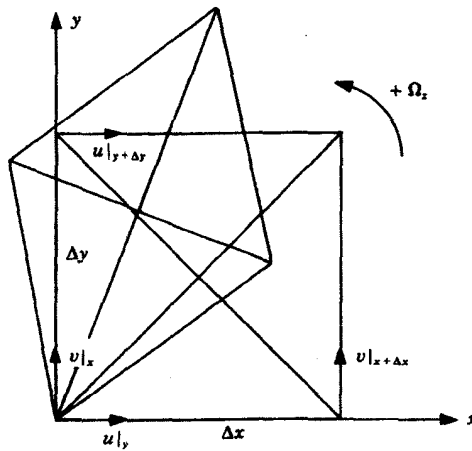
آهنگ انتقال به سادگی با بردار سرعت  $\mathbf{V}$  مشخص می‌شود و متناظر است با سرعت مرکز جرم جزء شاره وقتی این جزء شاره به‌سوی صفر میل می‌کند.

#### ۳-۴-۲ دوران

آهنگ دوران (سرعت زاویه‌ای) خاصیتی فیزیکی است که در هر نقطه تعریف می‌شود. سیستم شاره متناهی دارای سرعت زاویه‌ای میانگین است و با بینهایت کوچک شدن سیستم (در حد بردار سرعت زاویه‌ای  $\Omega$  دقیقاً تعریف می‌شود.  $\Omega$  دقیقاً برابر  $\frac{1}{2}(\nabla \times \mathbf{V})$  است. این رابطه را می‌توان به آسانی با آزمایش دوران در ۲ بعد مشاهده کرد. مربعی را در صفحه  $xy$  شکل ۳-۱۳ در نظر بگیرید. خطوط قطری را که تحت دوران عمودی باقی



شکل ۳-۱۲ انواع حرکت که در موقع برهم‌نهد، سینماتیک جزء کوچکی از شاره را به‌طور کامل توصیف می‌کنند. شکل مکعب اختیاری است. هر چند شکل ۲ بعدی است ولی حرکت ۳ بعدی است.



شکل ۳-۱۳ نمایش مکعب دورانی و برشی در صفحه  $xy$ .

می‌مانند رسم می‌کنیم و با میانگین‌گیری سرعت زاویه‌ای اضلاع،  $\Omega_z$  را برای جزء حجم به دست می‌آوریم. سرعت زاویه‌ای ضلع  $\Delta x$  برابر است با

$$(v|_{x+\Delta x} - v|_x) / \Delta x$$

و سرعت زاویه‌ای ضلع  $\Delta y$

$$-(u|_{y+\Delta y} - u|_y) / \Delta y$$

با میانگین‌گیری این دو رابطه سرعت زاویه‌ای مربع به دست خواهد آمد و در حد وقتی  $\Delta x$  و  $\Delta y$  به سوی صفر می‌گیرند، داریم

$$\Omega_z = \frac{1}{2} \left( \frac{\partial v}{\partial x} - \frac{\partial u}{\partial y} \right) \quad (۴۱-۳)$$

و همین‌گونه

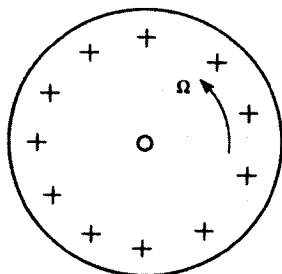
$$\Omega_x = \frac{1}{2} \left( \frac{\partial w}{\partial y} - \frac{\partial v}{\partial z} \right), \quad \Omega_y = \frac{1}{2} \left( \frac{\partial u}{\partial z} - \frac{\partial w}{\partial x} \right)$$

این مؤلفه‌های دکارتی  $\Omega$  را به عنوان مؤلفه‌های تاو سرعت می‌شناسیم، به‌گونه‌ای که

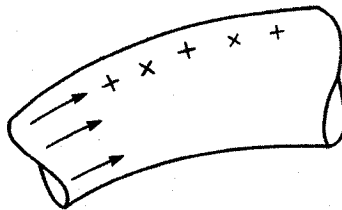
$$\Omega = \frac{1}{2} (\nabla \times \mathbf{V}) = \frac{1}{2} \omega \quad (۴۲-۳)$$

تاو بردار سرعت را سرعت گردش (  $\omega = \nabla \cdot \mathbf{V}$  ) می‌گویند، که نقش مهمی در مکانیک شاره‌ها دارد.

حرکت دورانی در هر جریان شاره خاص ممکن است رخ دهد یا ندهد. معمولاً اثرهای گران روی یا اصطکاک در شاره ایجاد سرعت گردشی می‌کند. جریان شاره‌ای که سرعت زاویه‌ای  $\Omega$  (و سرعت گردشی  $\omega$ ) در آن صفر است، جریانی غیردورانی است و همان‌گونه که در فصل ۶ خواهیم دید مشخصه جریان آئرودینامیک است. مثال ساده جریان غیردورانی جریان گردشی است که در مکانیک شاره‌ها معروف به گرادیه پتانسیل است. راهی ساده برای نمایش «گردشی» این است که جسم کوچکی نظیر برگ را روی سطح آب آزاد رها کنیم. مشاهده می‌کنیم که جسم ضمن حرکت همراه جریان دوران می‌کند. گردشی که موقع تخلیه آب از ظرفشویی یا وان ایجاد می‌شود غیردورانی است و جسم سبک شناور بر روی آب نمی‌چرخد، بلکه ضمن دور زدن همراه آب موازی با خود باقی می‌ماند (جسم شناور بر روی مسیری دایره‌ای حرکت انتقالی بی‌دوران دارد). سنجه‌های گردشی را غالباً از اجسام سخت کوچک شناور صلیبی شکل می‌سازند تا با آنها بتوان دوران را مشاهده کرد. علت انتخاب جسم صلیبی شکل، به‌جای میله کوچک، این است که سرعت زاویه‌ای میانگین دو خط عمود جسم صلیبی شکل باید اندازه‌گیری شود تا سرعت زاویه‌ای



(الف) جریان غیردورانی در گردش خروج از سوراخ جسم ضمن حرکت در مسیر دایره‌ای، حول خود دوران نمی‌کند.



(ب) جریان دورانی شاره‌گران‌رو در یک لوله.

شکل ۳-۱۴ (الف) جریان غیردورانی در گردش خروج از سوراخ. جسم ضمن حرکت در مسیر دایره‌ای، حول خود دوران نمی‌کند. (ب) جریان دورانی در شاره‌گران‌رو در یک لوله.

جزء کوچک مشخص شود. بنابراین، برای اندازه‌گیری جسم مناسب است. به عنوان مثال، در جریان برشی دورانی شاره‌گران‌رو، میله‌ای سبک فوراً خود را با خطوط جریان همراستا می‌کند و دوران نمی‌کند، در حالی که جسم صلیبی شکل حول محور خود دوران می‌کند (شکل ۳-۱۴).

### ۳-۴-۳ تغییر شکل کرنش برشی

با توجه به جزء مربعی، شکل ۳-۱۳، می‌بینیم که آهنگ کرنش برشی در صفحه  $xy$  یعنی  $\gamma_{xy}$  آهنگی است که دو ضلع مربع را به هم نزدیک می‌کند و به آسانی می‌توان نوشت

$$\gamma_{xy} = \left( \frac{\partial u}{\partial y} + \frac{\partial v}{\partial x} \right) \quad (۴۳-۳)$$

با همین استدلال برای ابعاد دیگر، می‌نویسیم

$$\gamma_{xz} = \left( \frac{\partial u}{\partial y} + \frac{\partial w}{\partial x} \right), \quad \gamma_{yz} = \left( \frac{\partial v}{\partial z} + \frac{\partial w}{\partial y} \right)$$

یا با نمادگذاری تانسور دکارتی، داریم

$$\gamma_{ij} = \left( \frac{\partial u_i}{\partial x_j} + \frac{\partial u_j}{\partial x_i} \right) = \gamma_{ji} \quad (۴۴-۳)$$

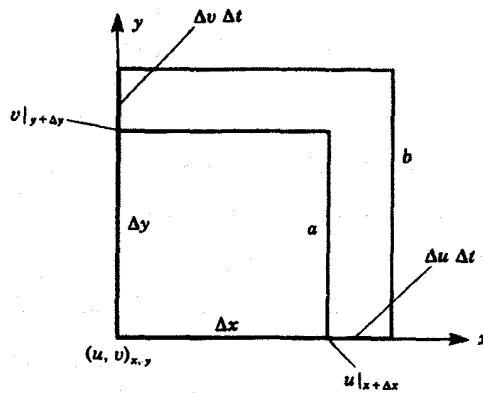
که دیده می‌شود متقارن هستند زیرا با تغییر  $i$  و  $j$  معادله تغییر نمی‌کند. آهنگ کرنش برشی را نمی‌توان به آسانی به صورت برداری نوشت. باید توجه داشت که رابطه‌های قبلی فقط در مختصات دکارتی معتبرند و هنگام استفاده آنها در دستگاه‌های دیگر باید محتاط بود. مؤلفه‌ها در دستگاه‌های دیگر در پیوست ج آمده‌اند.

### ۳-۴-۴ اتساع

اتساع بیانگر آهنگ انبساط یا انقباض سیستم کوچکی از شاره است. با توجه به شکل ۳-۱۵ می‌توان اتساع را برحسب سرعت بیان کرد. مربعی را به ابعاد  $\Delta x \times \Delta y$  در نظر بگیرید که تصویر مکعب کوچکی به ابعاد  $\Delta x$ ،  $\Delta y$ ،  $\Delta z$  در صفحه  $xy$  است (که در شکل ۳-۱۵ به صورت  $a$  مشخص شده است). پس از زمان  $\Delta t$  مربع از  $a$  به  $b$  انبساط می‌یابد. شکلهای مشابهی برای صفحه‌های دیگر می‌توان رسم کرد. افزایش حجم مکعب در زمان  $\Delta t$  برابر است با

$$\Delta u \Delta t \Delta y \Delta z + \Delta v \Delta t \Delta x \Delta z + \Delta w \Delta t \Delta x \Delta y$$





شکل ۳-۱۵ انبساط مکعب نشانگر اتساع است.

از تقسیم آن بر  $\Delta x \Delta y \Delta z \Delta t$  و گرفتن حد، رابطه آهنگ افزایش حجم (بر واحد حجم شماره) به دست می‌آید

$$\phi = \frac{\partial u}{\partial x} + \frac{\partial v}{\partial y} + \frac{\partial w}{\partial z} = \frac{\partial u_i}{\partial x_i} \quad (۴۵-۳)$$

که شکل برداری آن به صورت زیر است

$$\phi = \nabla \cdot \mathbf{V} \quad (۴۶-۳)$$

مقدار عددی اتساع مستقل از دستگاه مختصات به کار رفته است.<sup>۱</sup>

### ۳-۴-۵ رابطه‌های آهنگ تنش-کرنش در شماره‌ها

در شماره‌ها تانسور گرادبان سرعت به صورت  $\partial u_i / \partial x_j$  نوشته می‌شود. بخش متقارن این تانسور را تانسور آهنگ کرنش، و بخش نامتقارن آن را تانسور دوران می‌گویند که به  $\nabla \times \mathbf{V}$  مربوط می‌شود. تانسور آهنگ کرنش را با  $e_{ij}$  و تانسور دوران را با  $\Omega_{ij}$  نشان می‌دهند. تانسور گرادبان سرعت را می‌توان به صورت زیر نوشت

$$\frac{\partial u_i}{\partial x_j} = e_{ij} + \Omega_{ij} \quad (۴۷-۳)$$

جمله‌های تانسور دوران مربوط به سرعت زاویه‌ای ( $\Omega_i$ ) ذره شاره بینهایت کوچک عبارت‌اند از

$$\Omega_1 = \Omega_{23} = -\Omega_{32}, \quad \Omega_2 = \Omega_{31} = -\Omega_{13}, \quad \Omega_3 = \Omega_{12} = -\Omega_{21} \quad (۴۸-۳)$$

که  $\Omega_1, \Omega_2, \Omega_3$  و مؤلفه‌های تانسور سرعت زاویه‌ای  $\Omega$  (بردار محوری) هستند.  $\Omega_{ij}$  مؤلفه‌های تانسور دورانی نامتقارن ( $\Omega_{ij} = -\Omega_{ji}$ ) متناظر هستند. به کمک رابطه‌های ریاضی می‌توان نشان داد که در مقابل هر بردار محوری تانسوری نامتقارن وجود دارد.

رابطه مهم زیر را به صورت برداری می‌نویسیم

۱. از نظر ریاضی  $\phi$  اولین مقدار ناوردای تانسور آهنگ کرنش است.

$$\Omega = \frac{1}{r} \nabla \times \mathbf{V} = \frac{1}{r} \omega \quad (۴۹-۳)$$

سرعت زاویه‌ای فیزیکی شاره برابر نصف تاو بردار سرعت است.

مؤلفه‌های قطری (عمودی) تانسور آهنگ کرنش را می‌توان مستقیماً با آهنگهای واقعی کرنش عمودی مشخص کرد. اما، جمله‌های غیرقطری (مؤلفه‌های آهنگ برشی)  $e_{ij}$  که در آن  $i \neq j$ ، برابر با نصف آهنگ واقعی مؤلفه‌های کرنش برشی هستند، که با  $\gamma_{ij}$  مشخص می‌شوند. به ضریب  $\frac{1}{2}$  برای تبدیل  $e_{ij}$  به تانسوری واقعی نیاز است. این تانسورها را می‌توان به صورت  $e_{ii} = \gamma_{ii}$  و  $e_{ij} = \frac{1}{2} \gamma_{ij}$  نوشت که  $i \neq j$ . مؤلفه‌های دکارتی تانسور آهنگ کرنش و تانسور دوران را در معادلات زیر آورده‌ایم. (فهرست کامل آنها در [۶] آمده است).

$$\begin{aligned} e_{xx} &= \frac{\partial u}{\partial x}; & e_{xy} &= e_{yx} = \frac{1}{2} \left( \frac{\partial u}{\partial y} + \frac{\partial v}{\partial x} \right) \\ e_{yy} &= \frac{\partial v}{\partial y}; & e_{yz} &= e_{zy} = \frac{1}{2} \left( \frac{\partial v}{\partial z} + \frac{\partial w}{\partial y} \right) \\ e_{zz} &= \frac{\partial w}{\partial z}; & e_{xz} &= e_{zx} = \frac{1}{2} \left( \frac{\partial w}{\partial x} + \frac{\partial u}{\partial z} \right) \end{aligned} \quad (۵۰-۳)$$

$$\begin{aligned} \Omega_x &= \Omega_{zy} = -\Omega_{yz} = \frac{1}{2} \left( \frac{\partial w}{\partial y} - \frac{\partial v}{\partial z} \right) = \frac{1}{2} \omega_x \\ \Omega_y &= \Omega_{xz} = -\Omega_{zx} = \frac{1}{2} \left( \frac{\partial u}{\partial z} - \frac{\partial w}{\partial x} \right) = \frac{1}{2} \omega_y \\ \Omega_z &= \Omega_{yx} = -\Omega_{xy} = \frac{1}{2} \left( \frac{\partial v}{\partial x} - \frac{\partial u}{\partial y} \right) = \frac{1}{2} \omega_z \end{aligned}$$

با نوشتن آن به صورت نمادگذاری تانسور دکارتی کامل که ۱، ۲ و ۳ به ترتیب متناظر با،  $x$ ،  $y$  و  $z$  هستند،  $\partial u_i / \partial x_j$  به صورت  $e_{ij} + \Omega_{ij}$  نوشته می‌شود.

جمع مؤلفه‌های قطری  $\phi$  است که می‌توان آن را به صورت اثر ماتریس  $\partial u_i / \partial x_j$  تشخیص داد.

$$\begin{aligned} \begin{bmatrix} \frac{\partial u_1}{\partial x_1} & \frac{\partial u_1}{\partial x_2} & \frac{\partial u_1}{\partial x_3} \\ \frac{\partial u_2}{\partial x_1} & \frac{\partial u_2}{\partial x_2} & \frac{\partial u_2}{\partial x_3} \\ \frac{\partial u_3}{\partial x_1} & \frac{\partial u_3}{\partial x_2} & \frac{\partial u_3}{\partial x_3} \end{bmatrix} &= \begin{bmatrix} \frac{\partial u_1}{\partial x_1} & \circ & \circ \\ \circ & \frac{\partial u_2}{\partial x_2} & \circ \\ \circ & \circ & \frac{\partial u_3}{\partial x_3} \end{bmatrix} \\ &+ \begin{bmatrix} \circ & \frac{1}{2} \left( \frac{\partial u_1}{\partial x_2} + \frac{\partial u_2}{\partial x_1} \right) & \frac{1}{2} \left( \frac{\partial u_1}{\partial x_3} + \frac{\partial u_3}{\partial x_1} \right) \\ \frac{1}{2} \left( \frac{\partial u_2}{\partial x_1} + \frac{\partial u_1}{\partial x_2} \right) & \circ & \frac{1}{2} \left( \frac{\partial u_2}{\partial x_3} + \frac{\partial u_3}{\partial x_2} \right) \\ \frac{1}{2} \left( \frac{\partial u_3}{\partial x_1} + \frac{\partial u_1}{\partial x_3} \right) & \frac{1}{2} \left( \frac{\partial u_3}{\partial x_2} + \frac{\partial u_2}{\partial x_3} \right) & \circ \end{bmatrix} \\ &+ \begin{bmatrix} \circ & \frac{1}{2} \left( \frac{\partial u_1}{\partial x_2} + \frac{\partial u_2}{\partial x_1} \right) & \frac{1}{2} \left( \frac{\partial u_1}{\partial x_3} - \frac{\partial u_3}{\partial x_1} \right) \\ -\frac{1}{2} \left( \frac{\partial u_1}{\partial x_2} - \frac{\partial u_2}{\partial x_1} \right) & \circ & \frac{1}{2} \left( \frac{\partial u_2}{\partial x_3} - \frac{\partial u_3}{\partial x_2} \right) \\ -\frac{1}{2} \left( \frac{\partial u_1}{\partial x_3} - \frac{\partial u_3}{\partial x_1} \right) & -\frac{1}{2} \left( \frac{\partial u_2}{\partial x_3} - \frac{\partial u_3}{\partial x_2} \right) & \circ \end{bmatrix} \quad (۵۱-۳) \end{aligned}$$

اکنون، بنابر تعریف، برای شارۀ نیوتونی تانسور تنش و تانسور آهنگ کرنش ارتباط خطی دارند. کلیترین رابطه (در نمادگذاری مختصات تانسور دکارتی) به صورت زیر نوشته می‌شود

$$\sigma_{ij} = -p\delta_{ij} + \sigma'_{ij} = -p\delta_{ij} + 2\mu e_{ij} + \delta_{ij}\lambda\phi \quad (52-3)$$

که  $\sigma'_{ij}$  تانسور تنش انحرافی است و اختلاف بین تانسور تنش کلی و فشار همسانگرد  $p$  را نشان می‌دهد. فشار مکانیکی  $p$  به صورت  $p = -\frac{1}{3}(\sigma_{11} + \sigma_{22} + \sigma_{33}) = -\frac{1}{3}\sigma_{ii}$  تعریف می‌شود، که تانسور تنش ناورد است. مؤلفه‌های عمودی تانسور تنش انحرافی  $\sigma'_{11}, \sigma'_{22}, \sigma'_{33}$  اختلاف بین تنشهای عمودی واقعی  $\sigma_{11}, \sigma_{22}, \sigma_{33}$  و میانگین آنها را نشان می‌دهند. این مؤلفه‌های عمودی  $\sigma'_{ij}$ ، که معیار ناهمسانگردی تانسور تنش‌اند، فقط در شارۀ متحرک وجود دارند و معمولاً صرف‌نظرکردنی هستند. لازم به یادآوری است که فشار مکانیکی  $p$ ، که در اینجا تعریف شده، همیشه نمی‌تواند با فشار ترمودینامیکی مشخص شود، اما اختلاف آنها از دیدگاه مهندسی قابل بحث نیست.  $\phi$  انبساط شاره است که به صورت  $\nabla \cdot \mathbf{V}$  (یا  $\partial u_k / \partial x_k$ ) تعریف می‌شود و مقدار آن برای شارۀ تراکم‌ناپذیر صفر است.  $\delta_{ij}$  دلتای کرونیگر است.  $\lambda$  ضریب دوم گران روی است. ضریب دوم دیگر گران روی به صورت  $\zeta = \lambda + \frac{2}{3}\mu$  تعریف می‌شود که برای گاز تک‌اتمى صفر است. معادله (۵۲-۳) را می‌توان به صورت زیر نوشت

$$\sigma_{ij} = -p\delta_{ij} + \mu \left( \frac{\partial u_i}{\partial x_j} + \frac{\partial u_j}{\partial x_i} - \frac{2}{3}\delta_{ij} \frac{\partial u_k}{\partial x_k} \right) + \zeta \delta_{ij} \frac{\partial u_k}{\partial x_k} \quad (53-3)$$

برای آشنایی با روش کامل به دست آوردن این معادله مرجعهای مربوط را ببینید.

اکنون این معادله را می‌توان در معادله تکانه قرار داد تا معادله کامل حرکت برای شارۀ گران روی به دست آید. این معادلات را معادلات حرکت ناویه-استوکس می‌گویند.

### ۳-۵ معادلات ناویه-استوکس

معادلات ناویه-استوکس معادلات کامل حرکت برای شارۀ گران روی هستند. با استفاده از معادلات (۵۳-۳) و (۳۳-۳) معادله زیر به دست می‌آید

$$\rho \left( \frac{\partial u_i}{\partial t} + u_j \frac{\partial u_i}{\partial x_j} \right) = -\frac{\partial p}{\partial x_i} + B_i + \frac{\partial}{\partial x_j} \left[ \mu \left( \frac{\partial u_i}{\partial x_j} + \frac{\partial u_j}{\partial x_i} - \frac{2}{3}\delta_{ij} \frac{\partial u_k}{\partial x_k} \right) \right] + \frac{\partial}{\partial x_i} \left( \zeta \frac{\partial u_k}{\partial x_k} \right) \quad (54-3)$$

مشتقهای گران روی را معمولاً می‌توان با خطایی جزئی از معادله حذف کرد. برای شارۀ تراکم‌ناپذیر ( $\nabla \cdot \mathbf{V} = 0$ ) این معادلات به معادله زیر تبدیل می‌شوند

$$\rho \frac{D\mathbf{V}}{Dt} = -\nabla p + \mathbf{B} + \mu \nabla^2 \mathbf{V} \quad (55-3)$$

که معادله بسیار مهمی است و برای متخصصان دینامیک شارها کاملاً شناخته شده است. برای نیروی حجمی گرانشی، می‌توان به جای  $\mathbf{B}$  از  $-\rho \nabla \psi$  استفاده کرد. مهمترین نکته‌ای که باید به خاطر داشت این است که  $D/Dt$  و  $\nabla^2$  عملگرهایی برداری هستند که نمی‌توان آنها را برای مؤلفه‌های سرعت، بجز در مختصات دکارتی، به کار برد. به جای آن ابتدا باید عملگرها عمل کنند و بعد مؤلفه‌ها نوشته شوند. مؤلفه‌های این معادله در مختصات مختلف در پیوست ج و مرجع ۶ داده شده‌اند: جمله  $\nabla^2 \mathbf{V}$  را، اگر به صورت  $\nabla^2 \mathbf{V} = \nabla(\nabla \cdot \mathbf{V}) - \nabla \times (\nabla \times \mathbf{V})$  نوشته شود. می‌توان به طور صریح محاسبه کرد.

هر چند معادله (۵۵-۳) ساده به نظر می‌رسد، ولی حل آن به علت حضور جمله‌های غیر خطی در طرف چپ مشکل است و در حقیقت یکی از چالشهای اصلی در مکانیک شارهاست.

اکنون، معادلات کامل ناویه-استوکس را با معادلات اولیری برای جریان بی‌اصطکاک می‌توان مقایسه کرد. اختلاف در جمله‌های اضافی مربوط به گران روی است. اگر شارۀ تراکم‌ناپذیر باشد، تمام مشتقات به شکل  $\partial u_i / \partial x_j$  ( $i \neq j$ ) هستند. بنابراین برای شارۀ تراکم‌ناپذیر، حتی اگر  $\mu$  صفر

نباشد، به شرطی که مشتقهای  $\partial u_i / \partial x_j$  کوچک باشند و معادلات (ناویه-استوکس) به صورت ساده معادلات اویلر درآیند، از جمله‌های گران‌روی می‌توان صرف‌نظر کرد.

بنابراین، اگر گران‌روی اندک باشد، یا مشتق سرعتها نسبت به جهت، بجز جهت سرعت، کوچک باشد، معادلات ناویه-استوکس به معادلات اویلر تبدیل می‌شوند، تقریب اخیر در مکانیک شاره‌ها بسیار مهم است. فرض می‌شود که برای بسیاری از جریانها دو ناحیه وجود دارد: یکی نزدیک به سطح جسم جامد، که جمله‌های گران‌روی اهمیت می‌یابند (و باید از معادلات ناویه-استوکس استفاده کرد)، و دیگری ناحیه دور از سطح، که از معادلات اویلر با تقریب خوب استفاده می‌شود. این دو ناحیه مشخص موضوع دو فصل بعد، یعنی «جریان لایه مرزی» (فصل ۵) و «جریان پتانسیل» (فصل ۶) هستند. روش برخورد با این موضوعها، به علت شکل‌های مختلف معادلات آنها، کاملاً متفاوت است.

گاهی از شکل‌های دیگر معادله حرکت، به ویژه برای جریان تراکم‌ناپذیر که  $\rho$  ثابت فرض می‌شود، استفاده می‌شود. برای جریان تراکم‌ناپذیر معادله برداری حرکت همراه با معادله پیوستگی چهار معادله با چهار مجهول را تشکیل می‌دهند: سه مؤلفه سرعت و یک معادله فشار. به عنوان روش جایگزین برای حل به اصطلاح متغیرهای اولیه  $\mathbf{V}$  و  $p$ ، متغیرهای دیگری برای توصیف میدان جریان ممکن است ارائه شوند، که به کمک آنها می‌توان  $\mathbf{V}$  و  $p$  را به دست آورد.

نکته جالب، معادله حرکت بر حسب سرعت گردش  $\omega$  است. اگر تاو تمام جمله‌ها را در معادله برداری (۳-۵۵) به دست آوریم (با قرار دادن  $\mathbf{B} = -\rho \nabla \psi$ ) و با دانستن این موضوع که تاو گرادبان هر اسکالری (نرده‌ای) صفر است (به گونه‌ای که جمله‌های فشار و نیروی حجمی صفر می‌شوند) درمی‌یابیم که

$$\frac{\partial \omega}{\partial t} - \nabla \times (\mathbf{V} \times \omega) = \nu \nabla^2 \omega \quad (۵۶-۳)$$

که  $\nu$  گران‌روی سینماتیک ( $\mu/\rho$ ) است. با بسط و استفاده از معادله پیوستگی  $\nabla \cdot \mathbf{V} = 0$  و این حقیقت که  $\nabla \cdot \omega = \nabla \cdot (\nabla \times \mathbf{V}) = 0$  (چون دیورژانس تاو هر بردار باید صفر باشد) داریم

$$\frac{\partial \omega}{\partial t} - (\omega \cdot \nabla) \mathbf{V} + (\mathbf{V} \cdot \nabla) \omega = \nu \nabla^2 \omega \quad (۵۷-۳)$$

و بنابر تعریف عملگر  $D/Dt$ ، که به صورت  $\frac{\partial}{\partial t} + (\mathbf{V} \cdot \nabla)$  نوشته می‌شود، خواهیم داشت

$$\frac{D\omega}{Dt} = (\omega \cdot \nabla) \mathbf{V} + \nu \nabla^2 \omega \quad (۵۸-۳)$$

این معادله را همراه با معادله پیوستگی، برای توصیف میدان سرعت جریان شاره گران‌روی تراکم‌ناپذیر، می‌توان به کار برد (فشار را می‌توان از معادله اولیه حرکت تعیین کرد).

از نظر فیزیکی، این معادله نشان می‌دهد که چگونه گردش در شاره متحرک انتقال می‌یابد. اولین جمله طرف راست، جمله انتقالی و جمله دوم جمله پخش است که به  $\nu$  (گران‌روی سینماتیکی) بستگی دارد و پخشندگی گران‌رو نامیده می‌شود. اگر  $\nu$  صفر فرض شود (همچون در جریان ناگران‌رو که اثرهای گران‌روی ناچیز است) این معادله نشان می‌دهد که گردش در درون شاره پخش نمی‌شود و در واقع میدان گردش در درون شاره «بی حرکت» می‌شود. همچون میدان مغناطیسی و الکتریکی، میدان برداری گردش را نیز می‌توان با خط‌های میدان مشخص کرد. خط‌های میدان جهت بردار گردش را در هر یک از نقطه‌ها نشان می‌دهد و فاصله بین خط‌های میدان نشان‌دهنده شدت گردش است. اگر گردش متوقف شود، این خط‌ها به مولکولهای شاره متصل می‌شوند و با آنها حرکت می‌کنند. این موضوع را می‌توان این چنین بیان کرد که خط‌های شاره بر خط‌های گردش منطبق‌اند. خط شاره خطی است که از زنجیره مولکولهای شاره تشکیل شده است و ماهیت خود را، حتی اگر جابه‌جا شود و یا تاب بردارد، حفظ می‌کند. قضیه‌های بسیاری را از این مفهوم فیزیکی می‌توان به دست آورد؛ برای جزئیات بیشتر می‌توانید به فصل ۶ مراجعه کنید. در جریان دوبعدی،  $\nabla \cdot \omega = 0$  (زیرا  $\omega$  بر  $\mathbf{V}$  عمود است) و این معادله به صورت زیر درمی‌آید

$$\frac{D\omega}{Dt} = \nu \nabla^2 \omega \quad (۵۹-۳)$$

در جریان دوبعدی شماره گران روی تراکم ناپذیر، تابع جریانی را می توان تعریف کرد. مفهوم فیزیکی تابع جریان را در فصل ۶ بحث می کنیم، اما کاربرد آن در حل معادلات حرکت شماره گران رو را در اینجا بررسی خواهیم کرد. تابع جریان تابعی اسکالر (زده ای) است که به صورت زیر تعریف می شود

$$u = -\frac{\partial \psi}{\partial y}; \quad v = \frac{\partial \psi}{\partial x}$$

( $\psi$  نمادی است که برای هر دو پارامتر تابع جریان و پتانسیل گرانش به کار می رود.)

این تعریف ذاتاً در تابع پیوستگی  $\frac{\partial u}{\partial x} + \frac{\partial v}{\partial y} = 0$  صدق می کند، و مشخصه تابع جریان راهی برای بیان جریان شماره تراکم ناپذیر دوبعدی است. با قرار دادن تعریف قبل در معادله گردشاری معادله زیر برای جریان دوبعدی به دست می آید

$$\frac{\partial}{\partial t}(\nabla^2 \psi) - \frac{\partial \psi}{\partial y} \frac{\partial}{\partial x}(\nabla^2 \psi) + \frac{\partial \psi}{\partial x} \frac{\partial}{\partial y}(\nabla^2 \psi) + \nu \nabla^4 \psi = 0 \quad (۶۰-۳)$$

این معادله این امتیاز را دارد که به عنوان معادله منفرد اسکالر جریان شماره (به جای معادله برداری) را توصیف می کند؛ اما غالباً فرمولبندی شرایط مرزی بسیار دشوار است.

این معادلات را در اینجا دنبال نخواهیم کرد. اما یادآوری می کنیم که فرمولبندی گردشاری و تابع جریان غالباً برای تحلیل عددی جریان شماره مناسب است.

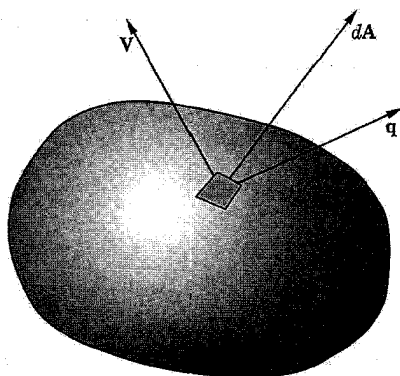
### ۳-۶ معادله انرژی

نخست، معادله انرژی را با در نظر گرفتن موازنه آن در حجم معیار به دست می آوریم و سپس شکل دیفرانسیلی آن را با روش صرفاً ریاضی پیدا می کنیم. این عملیات را مانند روش انتگرالی پیش گفته در این فصل آغاز می کنیم، اما اکنون حجم معیاری را بدون توجه به حرکت سیستم در نظر می گیریم. حجم معیار شکل ۳-۱۶ را در نظر بگیرید.

فرض می کنیم که در نقطه ای بر روی سطح،  $\mathbf{V}$  بردار سرعت و  $\mathbf{q}$  آهنگ شار گرمایی است.  $\mathbf{q}$  پارامتری برداری است که آهنگ شار گرمایی از طریق رسانش و تابش را نشان می دهد. آهنگ جریان گرمایی کل به درون حجم معیار  $dQ/dt$  عبارت است از

$$-\int_{C.S.} \mathbf{q} \cdot d\mathbf{A} = -\int_{C.S.} q_i dA_i$$

دوباره، کار انجام شده به وسیله شماره موجود در حجم معیار را می توان به دو قسمت تقسیم کرد: کار برگشت پذیر، که توسط فشار در سطح معیار انجام می شود، و کار برگشت ناپذیر، که به وسیله تنشهای برشی بر روی این سطح انجام خواهد شد. آهنگ کار کل انجام شده به وسیله شماره در حجم



شکل ۳-۱۶ حجم معیار برای موازنه انرژی.

معیار برحسب تانسور تنش (به شکل تانسور دکارتی) عبارت است از

$$\frac{dW}{dt} = - \int_{C.S.} u_i \sigma_{ji} dA_j$$

اکنون، می‌توان گفت که آهنگ خالص افزایش انرژی کل (شامل انرژی جنبشی، انرژی درونی و انرژی پتانسیل) در حجم معیار برابر است با آهنگ جریانهای گرمایی به درون حجم معیار به اضافه آهنگ تولید گرمای درونی منهای آهنگ انجام کار شاره بر روی محیط اطراف خود. در نتیجه، داریم

$$\frac{\partial}{\partial t} \int_{C.V.} \rho e dV + \int_{C.S.} \rho e u_i dA_i = - \int_{C.S.} q_i dA_i + \int_{C.S.} u_i \sigma_{ij} dA_j + \int_{C.V.} q''' dV$$

باید به یاد داشت که  $e$  انرژی کل واحد جرم از رابطه  $e = \frac{V^2}{2} + u + \psi$  به دست می‌آید، که  $\psi$  پتانسیل گرانشی است که قبلاً در به دست آوردن انتگرال با  $gz$  مشخص شده بود.  $q'''$  آهنگ تولید گرمای درونی در واحد حجم است. تانسور تنش را می‌توان به دو بخش فشاری و نیروی برشی به صورت زیر تقسیم کرد:

$$\sigma_{ij} = -p\delta_{ij} + \sigma'_{ij}$$

با استفاده از قضیه گاوس، معادله انرژی به صورت زیر درمی‌آید

$$\int_{C.V.} \left[ \frac{\partial}{\partial t}(\rho e) + \frac{\partial}{\partial x_i}(\rho e u_i) + \frac{\partial}{\partial x_i} q_i + q''' + \frac{\partial}{\partial x_i}(p u_i) - \frac{\partial}{\partial x_i}(u_j \sigma'_{ij}) \right] dV = 0$$

چون حجم اختیاری است، انتگرالده خود باید صفر باشد، با بسط جمله‌ها و ترکیب آنها با معادله پیوستگی، داریم

$$\rho \frac{De}{Dt} = - \frac{\partial}{\partial x_i} q_i - p \frac{\partial u_i}{\partial x_i} - u_i \frac{\partial p}{\partial x_i} + u_i \frac{\partial \sigma'_{ji}}{\partial x_j} + \Phi + q''' \quad (۶۱-۳)$$

که  $\Phi = \sigma_{ij} \partial u_j / \partial x_i$  تابع اتلاف است<sup>۱</sup> و بیانگر آهنگی است که تنشهای انحرافی بر روی شاره کار برگشت‌ناپذیر انجام می‌دهند. این تابع را برحسب  $u_i$  در پیوست (ج) آورده‌ایم. در اینجا، مشتق کامل بر روی کمیت اسکالر عمل می‌کند و نباید نگران خاصیت‌های برداری آن، همچون در معادله حرکت، باشیم. شکلهای  $D/Dt$  را در دستگاههای مختصات مختلف در پیوست ج آورده‌ایم. از نظر فیزیکی، مشتق، آهنگ تغییر خاصیت یا پارامتری است که ناظر سوار بر جریان شاره آن را می‌بیند. اگر، به جای در نظر گرفتن حجم معیار، مجبور به بررسی ذره ثابت به خصوص شاره به خصوصی بودیم،  $\partial/\partial t$  را به جای آن به کار می‌بردیم. شکل  $D/Dt$  به این علت به وجود می‌آید که واقعاً موازنه را بلافاصله بر روی سیستم شاره (در حجم معیار)، اما در مختصات اویلری می‌نویسیم.

این معادله مفید است، اما معادله تکانه در آن پنهان است و باید آن را از این معادله جدا کرد تا ساده شود. در طرف چپ معادله، آهنگهای افزایش انرژی جنبشی و پتانسیل قرار دارند و در طرف راست معادله، جمله‌های سوم و چهارم شامل آهنگهایی هستند که تحت آنها تنشها (شامل فشار) کار انجام می‌دهند. با انجام ضرب داخلی  $\mathbf{V}$  در معادله حرکت (۳-۳۳) و با فرض اینکه نیروی حجمی  $B_i = -\rho \frac{\partial \psi}{\partial x_i}$  نیروی گرانشی پایستار است، داریم

$$\rho u_i \frac{Du_i}{Dt} = \rho \frac{D}{Dt} \left( \frac{V^2}{2} \right) = -u_i \frac{\partial p}{\partial x_i} + u_i \frac{\partial \sigma'_{ij}}{\partial x_j} - \rho u_i \frac{\partial \psi}{\partial x_i} \quad (۶۲-۳)$$

که معادله انرژی مکانیکی است. چون  $\psi$  نسبت به زمان ثابت است، می‌توان  $\rho \frac{\partial \psi}{\partial t}$  را چون صفر است به طرف چپ معادله افزود، بنابراین

$$\rho \frac{D}{Dt} \left( \frac{V^2}{2} + \psi \right) = -u_i \frac{\partial p}{\partial x_i} + u_i \frac{\partial \sigma'_{ij}}{\partial x_j}$$

۱. گاهی جمله اتلاف را به صورت  $\mu \Phi$  می‌نویسند، آن‌گاه  $\Phi$  با ضریب  $\mu$  با آنچه داریم متفاوت است.

از کم کردن آن از معادله انرژی (۳-۶۱)، خواهیم داشت

$$\rho \frac{Du}{Dt} = -p \frac{\partial u_i}{\partial x_i} - \frac{\partial q_i}{\partial x_i} + \Phi + q''' \quad (۳-۶۳)$$

که شکل نهایی معادله انرژی است. در اینجا،  $u$  انرژی درونی در واحد جرم است. ساده‌سازیهای متفاوتی را می‌توان اعمال کرد. اکنون، قانون فوریه رسانش گرمایی، یعنی  $\mathbf{q} = -\kappa \nabla T$  را معرفی می‌کنیم و با فرض گاز کامل ( $du = c_v dT$ ) و رسانندگی گرمایی ثابت و همچنین  $\nabla \cdot \nabla T = \nabla^2 T$  و  $\partial u_i / \partial x_i = \nabla \cdot \mathbf{V}$  سرانجام می‌توان نوشت

$$\rho c_v \frac{DT}{Dt} = -p \nabla \cdot \mathbf{V} + \kappa \nabla^2 T - \nabla \cdot \mathbf{q}_r + q''' + \Phi \quad (۳-۶۴)$$

که بردار شار گرمایی تابش است. لازم به یادآوری است که  $c_v$  ممکن است تابع دما باشد و در آن صورت در خارج از مشتق (و نه درون آن) قرار می‌گیرد.

معادله (۳-۶۴) را می‌توان به شکلهای دیگری نوشت. اگر آنتالپی ویژه  $h = u + p/\rho$  را معرفی کنیم، معادله (۳-۶۴) را به صورت زیر

$$\rho \frac{Dh}{Dt} = \frac{Dp}{Dt} + \kappa \nabla^2 T - \nabla \cdot \mathbf{q}_r + q''' + \Phi \quad (۳-۶۵)$$

می‌توان نوشت

$$\rho c_p \frac{DT}{Dt} = \frac{Dp}{Dt} + \kappa \nabla^2 T - \nabla \cdot \mathbf{q}_r + q''' + \Phi \quad (۳-۶۶)$$

برای گاز کامل، خواهیم داشت

باید توجه داشت که  $c_p$  و  $c_v$  خارج از مشتق هستند (حتی اگر  $c_p$  و  $c_v$  تابع دما باشند). این موضوع از تعریف  $c_p$  و  $c_v$  نتیجه می‌شود.

باید به خاطر داشته باشیم که شماره تراکم‌ناپذیر گاز کامل نیست و هر دو پارامتر  $h$  و  $u$  تابع  $T$  و  $p$  هستند. بدین ترتیب، بهتر است با معادله (۳-۶۳) شروع کنیم و  $\nabla \cdot \mathbf{V} = 0$  را در معادله وارد کنیم.  $c_p$  و  $c_v$  برای بیشتر مایعات نزدیک به هم هستند (به استثنای فلزات مایع) و با دقت قابل قبولی که غالباً کافی است  $u$  تابع ضعیف  $p$  در مایعات است، به‌گونه‌ای که  $du \approx c_v dT \approx c_p dT$ ، برای مایعات معادله مناسب زیر به دست می‌آید

$$\rho c_v \frac{DT}{Dt} = \kappa \nabla^2 T - \nabla \cdot \mathbf{q}_r + q''' + \Phi \quad (۳-۶۷)$$

اگر به دقت بیشتری نیاز باشد، از جدول خواص ترمودینامیکی برای محاسبه  $u$  یا  $h$  در معادلات (۳-۶۳) یا (۳-۶۵) باید استفاده کرد. هر یک از این معادلات معتبر هستند و انتخاب  $u$  یا  $h$  به شرایط بستگی دارد.

گاهی استفاده از معادله کلی (۳-۶۱)، به‌ویژه برای شماره‌های بی‌اصطکاک، سودمند است. برای شماره‌های بی‌اصطکاک که  $\sigma'_{ij} = 0$ ، معادله (۳-۶۱) (با قرار دادن  $\psi = gz$ )، استفاده از قانون فوریه، و وارد کردن آنتالپی) به صورت زیر درمی‌آید

$$\rho \frac{D}{Dt} \left( \frac{V^2}{2} + gz + h \right) = \frac{\partial p}{\partial t} + \kappa \nabla^2 T - \nabla \cdot \mathbf{q}_r + q'''$$

$$\rho \frac{D}{Dt} \left( \frac{V^2}{2} + gz + u \right) = -p \nabla \cdot \mathbf{V} - \mathbf{V} \cdot \nabla p + \kappa \nabla^2 T - \nabla \cdot \mathbf{q}_r + q''' \quad (۳-۶۸)$$

معمولاً  $\mathbf{q}_r$  صرف نظرکردنی است و  $q'''$  غالباً صفر است، مگر برای مواردی که خواصی چون مقاومت گرمایی وجود داشته باشد. در معادله دینامیک شماره‌ها به‌ندرت باید  $\mathbf{q}_r$  و  $q'''$  را منظور کرد، ولی به‌منظور کامل بودن معادله این دو را گنجانده‌ایم.

دوباره برای مقایسه به معادلات (۳-۲۲ب)، (۳-۲۲ج) و (۳-۴۰) مراجعه می‌کنیم. معادله (۳-۲۲ب) معادله واقعی انرژی است. اما می‌دانیم که چون معادله کلی انرژی [(۳-۶۱) یا (۳-۶۸)] جمله‌ای تکانه‌ای به صورت پنهان دارد، معادله (۳-۲۲ج) معادله انرژی مکانیکی است و در واقع شبیه معادله برنولی یعنی، معادله (۳-۴۰) خواهد بود.

## ۳-۶-۱ قانون دوم ترمودینامیک و تولید آنتروپی

با وارد کردن مفهوم آهنگ تولید آنتروپی در واحد حجم ( $\theta$ ) معادله (۳-۲۳) را می‌توان به تساوی تبدیل کرد. با وارد کردن بردار شار گرمایی  $\mathbf{q}$  رابطه زیر به دست می‌آید

$$\int_{C.V.} \theta dv - \int_{C.S.} \frac{\mathbf{q}}{T} \cdot d\mathbf{A} = \frac{\partial}{\partial t} \int_{C.V.} \rho s dV + \int_{C.S.} \rho s \mathbf{V} \cdot d\mathbf{A} \quad (۳-۶۹)$$

با استفاده از قانون گاوس و معادله پیوستگی، به دست می‌آوریم

$$\theta - \nabla \cdot (\mathbf{q}/T) = \rho \frac{Ds}{Dt} \quad (۳-۷۰)$$

با وارد کردن معادله انرژی و استفاده از رابطه اصلی ترمودینامیکی، خواهیم داشت

$$\rho \frac{Du}{Dt} = \rho T \frac{Ds}{Dt} - p \nabla \cdot \mathbf{V} \quad (۳-۷۱)$$

که شکل مختصات اویلری رابطه زیر است

$$du = T ds - p d\left(\frac{1}{\rho}\right)$$

معادله (۳-۷۰) را می‌توان به صورت زیر نوشت (از تابش صرف نظر، و فرض می‌کنیم که قانون فوریه برقرار است)

$$\theta = \frac{\Phi}{T} + \frac{\mathbf{q} \cdot \mathbf{q}}{\kappa T^2} = \frac{\Phi}{T} + \kappa \left(\frac{\nabla T}{T}\right)^2 \quad (۳-۷۲)$$

که آهنگ تولید آنتروپی دو فرایند برگشت‌ناپذیری جریانهای گرمایی و اتلاف انرژی گران‌رو را نشان می‌دهد.

## ۳-۷ رابطه‌های بین تکانه، انرژی، ترمودینامیک، و معادله برنولی

در بخش ۳-۲، در موقع استنتاج معادله عمومی انرژی، یادآور شدیم که این معادله شامل دو موازنه مستقل انرژی است. موازنه قانون اول ترمودینامیک بین کار، گرما و انرژی درونی، و موازنه انرژی مکانیکی محض جداگانه.

اکنون، این رابطه انرژی مکانیکی را مستقیماً از معادله حرکت می‌توان به دست آورد. این موازنه نشان می‌دهد که آهنگ افزایش انرژی جنبشی و پتانسیل در شاره برابر آهنگ کار نیروهای خارجی بر شاره است، که شامل هیچ‌گونه اطلاعات ترمودینامیکی نیست. این موازنه انرژی مکانیکی را در حالت کلی به عنوان معادله برنولی تعمیم یافته می‌شناسند. این معادله را می‌توان به انتگرال‌گیری از معادله حرکت برای حرکت ناپایا (معادله ناویه-استوکس) در طول خط جریان به دست آورد، برای سادگی، فرض می‌کنیم که گران‌روی ثابت است. افزون بر آن، نیروی حجمی ناشی از گران‌رو را با  $-\rho \nabla \psi$  برای واحد حجم نشان می‌دهیم. در شکل برداری، داریم

$$\rho \left[ \frac{\partial \mathbf{V}}{\partial t} + \nabla \left( \frac{V^2}{2} \right) - \mathbf{V} \times (\nabla \times \mathbf{V}) \right] = -\nabla p + \psi \nabla^2 \mathbf{V} - \rho \nabla \psi$$

اکنون، در طول خط جریان جزء طول  $ds$  را در نظر می‌گیریم. از تقسیم این معادله بر  $\rho$ ، معادله‌ای بر پایه واحد جرم به دست می‌آید. از ضرب برداری داخلی  $ds$  با معادله حرکت و انتگرال‌گیری بین دو نقطه ۱ و ۲ در دو راستای جریان در خط جریان، خواهیم داشت

$$\int_1^2 \frac{\partial \mathbf{V}}{\partial t} \cdot ds + \int_1^2 \nabla \left( \frac{V^2}{2} \right) \cdot ds - \int_1^2 [\mathbf{V} \times (\nabla \times \mathbf{V}) \cdot ds] = - \int_1^2 \left( \frac{\nabla p}{\rho} \right) \cdot ds - \int_1^2 \nabla \psi \cdot ds + \int_1^2 \frac{\mu}{\rho} \nabla^2 \mathbf{V} \cdot ds$$



جملهٔ  $\mathbf{V} \times (\nabla \times \mathbf{V})$  عمود بر خط جریان است، بنابراین ضرب داخلی آن با  $ds$  صفر می‌شود. هر چند اثبات این موضوع خارج از حوزهٔ کار ماست، ولی جملهٔ گران روی، کار انجام شده در واحد جرم جریان شماره را توسط نیروهای اصطکاک نشان می‌دهد، که باعث تأخیر حرکت شماره از نقطهٔ ۱ به نقطهٔ ۲ می‌شود. بنابراین، معادله را می‌توان برای واحد جرم به صورت زیر نوشت

$$\int_1^2 \frac{\partial \mathbf{V}}{\partial t} \cdot ds + \frac{V_2^2 - V_1^2}{2} + \int_1^2 \frac{dp}{\rho} + (\psi_2 - \psi_1) + w_f = 0 \quad (۷۳-۳)$$

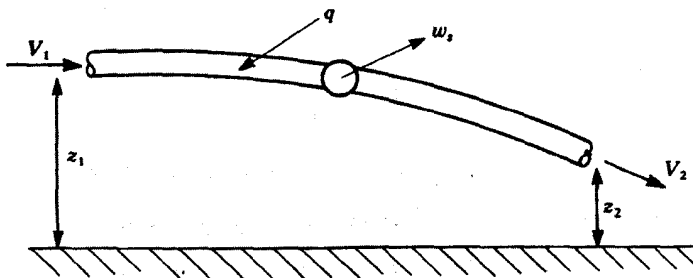
که  $w_f$  کار انجام شده توسط نیروهای اصطکاک تأخیری است که در حرکت شماره از ۱ به ۲ رخ می‌دهد.

اگر جریان را درون لوله یا مجرای در نظر بگیریم که دستگاهی درون آن قرار دارد، معادله را می‌توان برای حالت کلی گسترش داد. این دستگاه ممکن است از طریق محوری (از میان لوله) به چشمهٔ توان خارجی یا چاه، مثلاً توربین، پمپ یا چرخ پایی متصل شده باشد. یا قسمتی از این لوله را می‌توان تصور کرد که، شبیه تسمهٔ پیوستهٔ متحرک از روی سوراخ لوله، می‌تواند حرکت کند. این تسمه می‌تواند شماره را به حرکت درآورد یا توسط شماره به حرکت درآید. این کار انتقال یافته به شماره یا از شماره به دیواره را در سرتاسر لوله با  $w_s$  برای واحد جرم شماره نشان می‌دهیم و آن را به عنوان کار محور می‌شناسیم. بنابر قرارداد، اگر کار توسط شماره جاری انجام شود،  $w_s$  مثبت است و اگر بر روی شماره کار انجام گیرد، منفی است. کار محور  $w_s$  را نباید با  $w_f$  اشتباه گرفت:  $w_s$  بیانگر کاری است که از مرز حجم معیار (لوله) می‌گذرد، در حالی که  $w_f$  کار انجام شده به وسیلهٔ نیروهای اصطکاک در درون لوله است.

معادلهٔ (۷۳-۳) را می‌توان برای هر یک از خط‌های جریان در میان لوله یا مجرا یا محفظهٔ دستگاه با در نظر گرفتن آهنگ جریان جرمی به عنوان تابع وزن میانگین‌گیری کرد، یا اگر خواص شماره در سطح مقطع جریان یکنواخت باشد، (مانند جریان متلاطم)، معادلهٔ (۷۳-۳) برای جریان حجمی لوله، همچون شکل ۳-۱۷، کاملاً معتبر است. با انتگرال‌گیری از معادلهٔ حرکت شماره از درون دستگاه موجود در لوله، نیروهای (برشی و فشار) وارد شده از طریق اجزای دستگاه به صورت نیروهای حجمی ناپایستار موضعی در شماره ظاهر خواهند شد که به معادلهٔ حرکت اضافه می‌شوند. در اینجا نیز انتگرال‌گیری صریح آسان نیست، زیرا خط‌های جریان در حین عبور شماره از میان دستگاه یکپارچگی خود را از دست می‌دهند. با در نظر گرفتن کار انجام شده توسط این نیروها و همچنین کار نیروی محور که از طریق بدنهٔ لوله انتقال می‌یابد، معادله‌ای به دست می‌آید که معادلهٔ تعمیم‌یافتهٔ برنولی نام دارد. این معادله را به جریان پایا و جریانی که دارای سرعت و خواص یکنواخت در طول لوله است، محدود می‌کنیم. افزون بر آن، پتانسیل گرانشی را با تابع  $\psi = -gz$  بیان می‌کنیم، که  $z$  ارتفاع از سطحی دلخواه است

$$\frac{V_2^2 - V_1^2}{2} + \int_1^2 \frac{dp}{\rho} + g(z_2 - z_1) + w_s + w_f = 0 \quad (۷۴-۳)$$

توان مربوط به  $w_s$  برابر  $\dot{m}w_s$  است که  $\dot{m}$  آهنگ جریان جرم شماره است.  $w_f$  همیشه کمیتی مثبت است ولی  $w_s$  ممکن است منفی یا مثبت باشد؛ مثلاً برای توربین مثبت و برای پمپ منفی است.



شکل ۳-۱۷ جریان درون لوله.  $w_s$  و  $q$  کار محور و گرمای داده شده به واحد جرم شماره جاری است.  $z$  ارتفاع بالای خط مرجع دلخواه است.

معمولاً  $w_f$  را به عنوان افت هد برحسب هد هم‌ارز شاره در حال عبور بیان می‌کنند.  $w_f = gH_L$  که  $H_L$  افت هد (برحسب بعد طول) است. به عنوان مثالی خاص، لوله‌ای با سطح مقطع یکنواخت را در نظر می‌گیریم که جریان شاره‌ای با چگالی ثابت از آن عبور می‌کند (بنابر پیوستگی،  $V_1 = V_2$ ) و در ارتفاع ثابت  $z_1 = z_2 = 0 = w_s$  است. در این حالت،  $H_L$  افت فشار ناشی از اثرهای اصطکاک را نشان می‌دهد. فشارسنج تقاضلی که حاوی شاره جاری است، ارتفاع را در نقطه ۲ نشان می‌دهد که به اندازه  $H_L$  پایینتر از نقطه ۱ است. بدین ترتیب معادله (۳-۷۴) را به صورت زیر می‌توان نوشت

$$+w_s = - \int_1^2 \frac{dp}{\rho} + \frac{V_1^2 - V_2^2}{2} + g(z_1 - z_2) - gH_L \quad (۳-۷۵)$$

برای شاره تراکم‌ناپذیر، داریم

$$+w_s = \frac{p_1 - p_2}{\rho} + \frac{V_1^2 - V_2^2}{2} + g(z_1 - z_2) - gH_L \quad (۳-۷۶)$$

برای توربین،  $(p_2/\rho + V_2^2/2 + gz_2) > (p_1/\rho + V_1^2/2 + gz_1)$  و  $w_s$  عدد مثبتی است؛ بنابراین، می‌بینیم که افت هد، توان خروجی توربین را برای شرایط مفروض در ورودی و خروجی لوله کاهش می‌دهد. برای پمپ،  $(p_2/\rho + V_2^2/2 + gz_2) < (p_1/\rho + V_1^2/2 + gz_1)$  و  $w_s$  منفی است؛ بنابراین، وجود افت هد به توان ورودی پمپ بیشتری برای شرایط مفروض در ورودی و خروجی لوله نیاز دارد.

معادله انرژی کل (۳-۲۲) ظاهراً بسیار شبیه (۳-۷۵) است و تحت همان شرایط به دست آمده است. در حالی که هر یک از این معادلات رابطه‌ای خاص را برای  $w_s$  به دست می‌دهد، باید هر یک از این دو را تحت شرایط مناسب به کار گرفت. در حالی که استفاده از معادله انرژی کل به دانستن اطلاعاتی در خصوص  $q$  و  $\Delta u$  نیاز دارد، معادله تعمیم یافته برنولی نیازمند مشخصات  $H_L$  است. افزون بر آن، معادله انرژی دارای جمله  $p_2/\rho_2 - p_1/\rho_1$  (برای هر دو جریان تراکم‌پذیر و تراکم‌ناپذیر) و معادله برنولی دارای جمله  $\int_1^2 \frac{dp}{\rho}$  است. معمولاً این دو جمله یکسان نیستند. رابطه بین دو معادله، بنابر تعریف، به شکل زیر است

$$\frac{p_2}{\rho_2} - \frac{p_1}{\rho_1} = \int_1^2 d\left(\frac{p}{\rho}\right) = \int_1^2 \frac{dp}{\rho} + \int_1^2 pd\left(\frac{1}{\rho}\right)$$

با نشان دادن این عبارت، به جای  $p_2/\rho_2 - p_1/\rho_1$  در معادله انرژی (۳-۷۲ الف)، داریم

$$-w_s = \int_1^2 \frac{dp}{\rho} + \frac{V_2^2 - V_1^2}{2} + g(z_2 - z_1) + \int_1^2 pd\left(\frac{1}{\rho}\right) + (u_1 - u_2) - q \quad (۳-۷۷)$$

این معادله بر اساس واحد جرم (یعنی سیستم شاره جاری) نوشته شده است. نسبت به ناظری که «همراه شاره حرکت می‌کند»، قانون اول ترمودینامیک برای «سیستم» موجود بین حالت‌های ۱ و ۲ به شکل زیر است:

$$q - w = u_2 - u_1 \quad (۳-۷۸)$$

که  $w$  کل کار انجام شده به وسیله سیستم بر محیط اطراف است که شامل کار برگشت‌پذیر زیر

$$\int_1^2 pd\left(\frac{1}{\rho}\right)$$

و کار برگشت‌ناپذیر  $-w_f$  است.  $w_f$  دقیقاً همان تابعی است که در معادله برنولی تعریف شد و باید، با توجه به قانون دوم ترمودینامیک، عددی مثبت باشد. یعنی  $w_f +$  کار انجام شده بر «روی» سیستم به وسیله نیروهای اصطکاک است، که در اصل همان نقش گرمای اضافه شده به سیستم را دارد و از نظر ترمودینامیکی اتلاف انرژی است. از جمع این دو معادله، معادله (۳-۷۸) به شکل زیر درمی‌آید

$$w_f = (u_2 - u_1) + \int_1^2 pd\left(\frac{1}{\rho}\right) - q$$

اکنون، با کم کردن این معادله از معادله انرژی (۳-۷۷)، معادله تعمیم‌یافته برنولی (۳-۷۴) به دست می‌آید. همچنین، چون  $w_f = qH_L$ ، در می‌یابیم که  $gH_L$  باید برابر باشد با

$$(u_2 - u_1) + \int_1^2 p \left( \frac{1}{\rho} \right) - q$$

در شارۀ تراکم‌ناپذیر (با  $\rho$  ثابت)، این معادله به صورت ساده‌تر زیر درمی‌آید

$$gH_L = (u_2 - u_1) - q$$

می‌بینیم که معادله تعمیم‌یافته برنولی و معادله انرژی کل هم‌ارزند. معادله انرژی شامل اطلاعات ترمودینامیکی است که برحسب کار برگشت‌ناپذیر هم‌ارز در معادله تعمیم‌یافته برنولی بیان می‌شود. به بیان دیگر، معادله انرژی شامل مجموع دو موازنۀ انرژی مستقل است، یکی مکانیکی و دیگری ترمودینامیکی. اما معادله برنولی، موازنۀ انرژی مکانیکی محض را نشان می‌دهد. هر یک از این معادلات ممکن است، بسته به شرایط، مناسب‌تر باشند. معادله برنولی برای جریان شارۀ تراکم‌ناپذیر مناسب‌تر، و معادله انرژی کل غالباً برای شاره‌های تراکم‌پذیر در موتورهای گرمایی، که تغییر آنتالپی دارای اهمیت است، سودمندتر خواهد بود.

در فصلهای ۴ و ۵ خواهیم دید که چگونه افت هد در موقعیتهای عملی محاسبه می‌شود.

### ۳-۸ خلاصه، کاربردها و مسائل

به دست آوردن معادلات این فصل طولانی و خسته‌کننده است. این معادلات را نمی‌توان «رابطه‌های پیش پا افتاده» تلقی کرد. راهکار کاتوره‌ای انتخاب معادلات و عددگذاری در آنها و امید به اینکه جوابها مطلوب باشند، ممکن است به فاجعه منجر شود. درک معنای معادلات و محدودیتها یا مرزهای شکلهای خاص معادلات بسیار مهم است.

شیوۀ این فصل شروع از قانونهای اصلی، نوشتن معادلات سیستم متناظر، به دست آوردن معادلات انتگرال حجم معیار، به دست آوردن معادلات دیفرانسیل و سپس ساده کردن معادلات و یا به شکل عملی درآوردن معادلات بوده است. خلاصۀ آن را در جدول زیر آورده‌ایم:

قانونهای اصلی	معادلات سیستم	معادلات انتگرال (حجم معیار)	یا معادلات دیفرانسیل
۱. پیوستگی	۱. $\frac{d}{dt}(m) = 0$	۱. معادله (۱-۳)	۱. معادله (۳-۲۵)
۲. تکانه خطی	۲. $\frac{d}{dt}(m\mathbf{V}) = \mathbf{F}$	۲. معادله (۳-۹)	۲. معادله (۳-۳۲)، (۳-۳۴)، (۳-۵۴)
۳. تکانه زاویه‌ای	۳. $\frac{d}{dt}(m\mathbf{r} \times \mathbf{V}) = \mathbf{r} \times \mathbf{F}$	۳. معادله (۳-۱۱)	۳.
۴. انرژی	۴. $\frac{d}{dt}(E) = \frac{dQ}{dt} - \frac{dW}{dt}$	۴. معادله (۳-۲۰)	۴. معادله (۳-۶۴)، (۳-۶۵)
۵. قانون دوم ترمودینامیک	۵. $dS - \frac{dQ}{T} \geq 0$	۵. معادله (۳-۲۳)	۵. معادله (۳-۶۹)، (۳-۷۲)

### ۳-۸-۱ معادلات انتگرالی

هر چهار معادله انتگرالی برای حجم معیار به شکل زیرند

$$\text{اثرهای خارجی} = \frac{\partial}{\partial t} \int_{C.V.} \xi \rho dV + \int_{C.S.} \xi \rho \mathbf{V} \cdot d\mathbf{A} \quad (۳-۷۹)$$

ξ	اثرهای خارجی	قانون اصلی
۱	۰	پیوستگی
$\mathbf{V}$	$\mathbf{F}_s + \int_{C.V.} \mathbf{B} d\mathcal{V}$	تکانه خطی
$\mathbf{r} \times \mathbf{V}$	$\int_{C.S.} \mathbf{r} \times d\mathbf{F}_s + \int_{C.V.} \mathbf{r} \times \mathbf{B} d\mathcal{V}$	تکانه زاویه‌ای
$e$	$\frac{dQ}{dt} - \frac{dW}{dt}$	انرژی

با خلاصه کردن آنها به این شکل می‌بینیم که شباهتهایی در این معادلات وجود دارد. همچنین، با نگاهی به گذشته، مشاهده می‌کنیم که اصولاً روشهای به‌دست آوردن معادلات حجم معیار یکسان هستند.

### ۳-۸-۲ شکلهای ویژه معادلات انتگرالی

۱. پیوستگی — جریان پایای یک‌بعدی:

$$\rho_1 A_1 V_1 = \rho_2 A_2 V_2 \quad [۴-۳]$$

۲. تکانه — جریان شاره پایای یک‌بعدی با چگالی و سرعت یکنواخت در ناحیه‌های ورودی و خروجی:

$$F_x = \dot{m}(V_{2x} - V_{1x}), \quad F_y = \dot{m}(V_{2y} - V_{1y}), \quad F_z = \dot{m}(V_{2z} - V_{1z})$$

۳. تکانه زاویه‌ای — سرعت یکنواخت در  $A_1$  و  $A_2$ ، جریان پایای روتور:

$$T_z = \rho_1 Q_1 (r_2 V_{t2} - r_1 V_{t1}) \quad [۱۴-۳]$$

۴. انرژی — جریان پایای یک‌بعدی:

$$q - w_s = (p_2/\rho_2 - p_1/\rho_1) + (u_2 - u_1) + (V_2^2 - V_1^2)/2 + g(z_2 - z_1) \quad [۲۲-۳] \text{ الف}$$

۵. معادلهٔ تعمیم‌یافتهٔ برنولی:

$$w_s = - \int_1^2 \frac{dp}{\rho} + \frac{V_1^2 - V_2^2}{2} + g(z_1 - z_2) - gH_L \quad [۷۵-۳]$$

### ۳-۸-۳ معادلات دیفرانسیل

۱. پیوستگی:

$$\frac{\partial \rho}{\partial t} + \nabla \cdot (\rho \mathbf{V}) = 0 \quad [۲۵-۳]$$

که برای جریان ساده تراکم‌ناپذیر عبارت است از

$$\nabla \cdot \mathbf{V} = 0 \quad [۲۷-۳]$$

۲. تکانه:

$$\rho \left( \frac{\partial u_i}{\partial t} + u_i \frac{\partial u_i}{\partial x_j} \right) = - \frac{\partial p}{\partial x_i} + B_i + \frac{\partial}{\partial x_j} \left[ \mu \left( \frac{\partial u_i}{\partial x_j} + \frac{\partial u_j}{\partial x_i} - \frac{2}{3} \delta_{ij} \frac{\partial u_k}{\partial x_k} \right) \right] + \frac{\partial}{\partial x_i} \left( \zeta \frac{\partial u_k}{\partial x_k} \right) \quad [۵۴-۳]$$

برای چگالی و گرانروی ثابت معادلهٔ تکانه برابر است با

$$\rho \frac{DV}{Dt} = -\nabla p + \mathbf{B} + \mu \psi \nabla^2 \mathbf{V} \quad [55-3]$$

۳. معادلهٔ انرژی:

$$\rho c_v \frac{DT}{Dt} = -p \nabla \cdot \mathbf{V} + \kappa \nabla^2 T - \nabla \cdot \mathbf{q}_r + \Phi + q''' \quad [64-3]$$

برای معادلات تفصیلی در دستگاههای مختصات دیگر پیوست و مرجع ۶ را ببینید.

### ۳-۸-۴ راهکار حل مسائل

در این فصل بعضی از معادلات مهم و کلی مکانیک شاره‌ها را به دست آوردیم. پس از اینکه خواننده درک درستی از این معادلات پیدا کرد، گام بعدی استفاده از این معادلات در حل مسائل فیزیکی است. در حالی که هیچ چیزی نمی‌تواند جای تجربه را در حل مسائل بگیرد ذکر چند راهنمایی کلی در اینجا مفید است.

اکنون، چند روش ممکن در حل مسائل فیزیکی واقعی را در نظر بگیرید. به‌طور کلی سه راه وجود دارد:

۱. معادلات انتگرالی-اثرهای کلی

۲. معادلات دیفرانسیلی-توزیعها

۳. کار را با قانونهای اصلی آغاز می‌کنیم و معادلاتی را به دست می‌آوریم که مناسب وضعیت ویژه هستند.

معادلات انتگرالی معمولاً برای تعیین اثرهای کلی مناسب‌اند؛ به‌عنوان مثال، نیروی کل وارده از طرف شاره‌های جاری به جدارهٔ لوله یا پروانهٔ روتور. معادلات دیفرانسیلی معمولاً هنگامی که شرایط توزیع‌پذیری مورد نظر است، مناسب‌اند؛ مثلاً، توزیع (میدان) سرعت و فشار در اطراف جسمی آئرودینامیک. امکان دستیابی به این معادلات را با استفاده از قانونهای اصلی برای هر مسئلهٔ ویژه نباید نادیده گرفت (هر چند این معادلات را می‌توان همیشه از معادلات انتگرالی یا دیفرانسیلی اصلی تحت مفروضات مناسب به‌دست آورد). این روش، به‌ویژه در ایجاد معادلات لایهٔ مرزی بسیار مناسب است.

معادلات این فصل ابزارهایی هستند که در حل مسائل فیزیکی واقعی (یا شاید برای درک بهتر ماهیت مسئله) به کار می‌روند. نقطهٔ شروع، حل مسائل فیزیکی است و جواب مسئله هرگز (یا به‌ندرت) می‌تواند وضعیت فیزیکی واقعی را تشریح کند، بلکه تقریبی است که میزان دقت آن به دقت مدل ریاضی بستگی دارد. مثلاً، شیوهٔ حل مسئله می‌تواند به‌شرح زیر باشد:

۱. مسئلهٔ فیزیکی خاص

۲. ارائهٔ مدل فیزیکی - مسئلهٔ فیزیکی واقعی را با ارائهٔ مسئله‌ای جدید ولی ساده آغاز می‌کنیم. مثلاً، فرض کنید که در جریان یک، بعدی و پایا، شماره تابع معادلهٔ حالت گازهای کامل است و جزء آن، بنابراین، فرضها مدل را می‌سازند.

۳. مدل ریاضی - معادلات مربوط به مدل فیزیکی را انتخاب می‌کنیم.

۴. حل - هر چند راه‌حلهای دقیق ساده برای بسیاری از مسائل عملی واقعی در مکانیک شاره‌ها وجود دارد، بیشتر مسائل در مکانیک شاره‌ها از نظر ریاضی بسیار مشکل‌اند. راه‌حلهای مسائل معمولاً تحت تأثیر فرضهای ساده‌سازی، برای حل‌پذیر کردن معادلات یا توسل به تحلیل عددی، قرار می‌گیرند. در ادامهٔ بحث این کتاب، به طبقه‌بندیهای مختلف جریان شاره می‌پردازیم که بر اساس پیش‌فرضهایی مدل شده‌اند.

۵. آزمایش - گام پایانی، تعیین درستی مدل توسط آزمایش است. این گام در مکانیک شاره‌ها بسیار مهم است. آزمایش به بهبود مدل می‌انجامد.

1. Batchelor, G. K., *An Introduction to Fluid Dynamics*, Cambridge, 1967.
2. Bird, R. B., Stewart, W. E., and Lightfoot, E. N., *Transport Phenomena*, John Wiley, 1960.
3. Brenkert, K. Jr., *Elementary Theoretical Fluid Mechanics*, John Wiley, 1960.
4. Chapman, S., and Cowling, T. G., *The Mathematical Theory of Non-Uniform Gases*, Cambridge University Press, 1961.
5. Curtiss, C. F., and Bird, R. B., *Molecular Theory of Gases and Liquids*, John Wiley, 1954.
6. Hughes, W. F., and Gaylord, E. W., *Basic Equations of Engineering Science*, Schaum's Outline Series, McGraw-Hill, 1964.
7. Keenan, J. H., *Thermodynamics*, John Wiley, 1941.
8. Landau, L. D., and Lifshitz, E. M., *Fluid Mechanics*, Addison-Wesley, 1959.
9. Pai, S. I., *Viscous Flow Theory*, Vols. I and II, Van Nostrand, 1956.
10. Reynolds, W. C., *Thermodynamics*, McGraw-Hill, 1965.
11. Sabersky, R. H., Acosta, A. J., and Hauptmann, E. G., *Fluid Flow*, 3rd ed., Macmillan Co., 1971.
12. Schlichting, H., *Boundary Layer Theory*, 7th ed., McGraw-Hill, 1986.
13. Shames, I. H., *Mechanics of Fluids*, McGraw-Hill, 1962.
14. Sommerfeld, A., *Dynamics of Deformable Media*, Academic Press, 1950.
15. Van Wylen, G. J., and Sonntag, R. E., *Fundamentals of Classical Thermodynamics*, 3rd ed., John Wiley, 1985.
16. White, F. M., *Viscous Fluid Flow*, McGraw-Hill, 1974.

## مسائل حل شده

۱-۳ جریان شاره تراکم‌پذیر جاری از میان لوله‌ای خمیده را مطابق شکل ۱۸-۳ در نظر بگیرید. نیروی شاره وارد بر دیواره لوله را بین مقاطعهای ۱ و ۲ تعیین کنید.

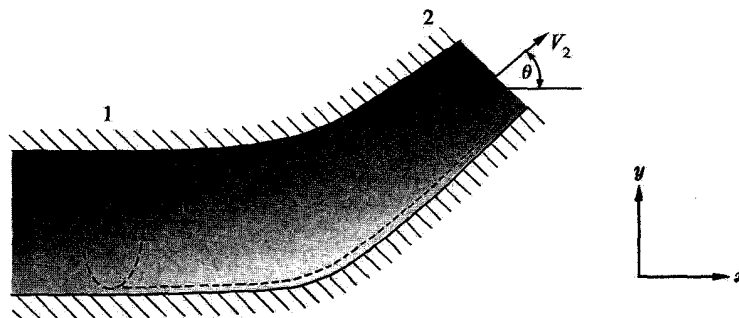
نخست، حجم معیار شاره را که با نقطه چین مشخص شده است، انتخاب می‌کنیم. معادله (۹-۳) برای جریان پایا عبارت است از

$$F_s + \int_{C.V.} \mathbf{b} dV = \int_{C.S.} \mathbf{v} \rho \mathbf{V} \cdot d\mathbf{A}$$

فرض می‌کنیم که سرعتها و فشارها در دو مقطع  $A_1$  و  $A_2$  یکنواخت هستند. نیروهای سطحی در جهتهای  $x$  و  $y$  به ترتیب عبارت‌اند از

$$F_{sx} = p_1 A_1 - p_2 A_2 \cos \theta + F_{px}$$

$$F_{sy} = -p_2 A_2 \sin \theta + F_{py}$$



شکل ۱۸-۳

که  $\rho$  فشار (شاره) و  $F_{px}$  و  $F_{py}$  نیروهای مجهول دیواره لوله بر شاره‌اند، تنها نیروی حجمی مربوط به گرانش، و برابر وزن شاره بین مقطعهای ۱ و ۲ است. در بسیاری از مسائل، از وزن در مقابل نیروهای دیگر می‌توان چشم پوشید، به‌ویژه برای گازها، که در اینجا ناچیز است. جمله‌های تکانه شاره به‌صورت زیر درمی‌آیند

$$\int_{C.S.} V_x \rho \mathbf{V} \cdot d\mathbf{A} = \rho_2 A_2 V_2^2 \cos \theta - \rho_1 A_1 V_1^2$$

$$\int_{C.S.} V_y \rho \mathbf{V} \cdot d\mathbf{A} = \rho_2 A_2 V_2^2 \sin \theta$$

آن‌گاه، معادلات به‌صورت زیر نوشته می‌شوند

$$F_{px} = p_2 A_2 \cos \theta - p_1 A_1 + \rho_2 A_2 V_2^2 \cos \theta - \rho_1 A_1 V_1^2$$

$$F_{py} = p_2 A_2 \sin \theta + \rho_2 A_2 V_2^2 \sin \theta$$

مؤلفه‌های نیروی شاره بر دیواره لوله،  $R_x$  و  $R_y$ ، در جهت مخالف  $F_{px}$  و  $F_{py}$  هستند و بنابراین، داریم

$$R_x = p_1 A_1 - p_2 A_2 \cos \theta - \rho_1 A_1 V_1 (V_1 - V_2 \cos \theta)$$

$$R_y = -p_2 A_2 \sin \theta - \rho_2 A_2 V_2^2 \sin \theta$$

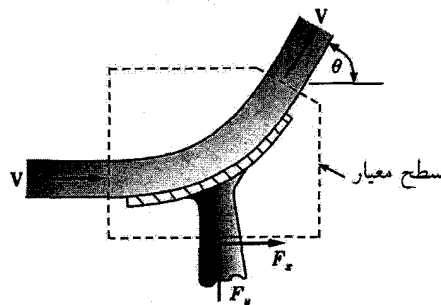
۲-۳ جریان پایای جت آبی را که بر پره‌ای ثابت فرود می‌آید، در نظر بگیرید (شکل ۳-۱۹). نیروی لازم را برای اینکه پره در سر جای خود نگه داشته شود، تعیین کنید. فرض کنید که جت آب کاملاً بر روی سطح پره جریان می‌یابد و شکل و مقطع آن در طول مسیر ثابت می‌ماند، آن‌گاه می‌توان معادله تکانه را برای حجم معیار شکل ۳-۱۹ نوشت.

سطح کل جت آب در معرض فشار جو به‌اضافه نیروی اضافی آب در تماس با پره قرار می‌گیرد. این نیروی اضافی دقیقاً برابر نیروی لازم برای چرخاندن آب در روی پره است. اعمال فشار جو بر جت آب با فشار جو در جهت مخالف خنثی می‌شود. بنابراین، داریم

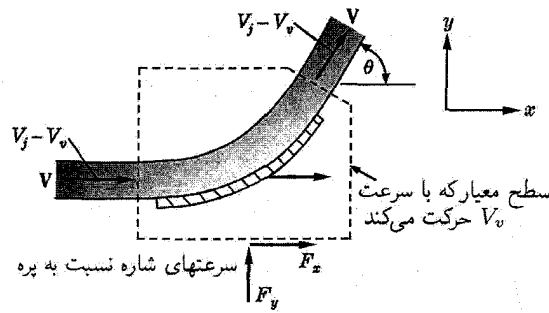
$$F_x = \rho A V^2 \cos \theta - \rho A V^2, \quad F_y = \rho A V^2 \sin \theta$$

که برابر نیروی لازم برای نگه‌داری پره در جای خود است.

۳-۳ در مسئله ۲-۳ دیدیم که پره با سرعت  $V_0$  در جهت مثبت  $x$  حرکت می‌کند که این سرعت کمتر از سرعت جت آب،  $V_j$ ، است. شکل ۳-۲۰ حرکت پره را نشان می‌دهد. نیروی لازم وارد بر پره را برای اینکه سرعت پره ثابت بماند و شتاب نگیرد، تعیین کنید.



شکل ۳-۱۹



شکل ۳-۲۰

نخست، معادلهٔ تکانه را در دستگاه مختصات مرجع ساکن نسبت به پره می‌نویسیم. بنابراین، تمام سرعتها نسبت به پره محاسبه می‌شوند. سرعت شاره نسبت به پره هنگام ورود به حجم معیار برابر  $V_j - V_v$  است. اگر از اصطکاک صرف‌نظر کنیم. معادلهٔ برنولی، سرعت خروج آب را نسبت به پره همان سرعت قبلی  $V_j - V_v$  در زاویهٔ  $\theta$  به‌دست می‌دهد. چون سرعت همان سرعت قبلی است، سطح مقطع  $A$  نیز باید یکسان باشد. از معادلهٔ تکانه، داریم

$$F_x = \rho A(V_j - V_v)^2 \cos \theta - \rho A(V_j - V_v)^2, \quad F_y = \rho A(V_j - V_v)^2 \sin \theta$$

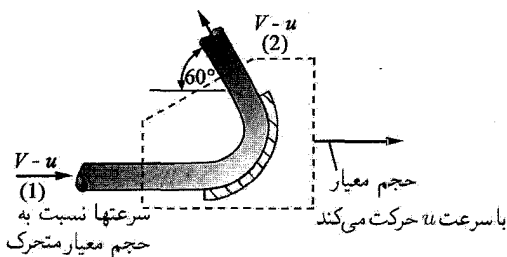
که نیروهای خالص لازم را برای جلوگیری از شتاب گرفتن پره به‌دست می‌دهد. چون پره در حال تعادل است، نیروهای وارده از طرف شاره به پره باید  $-F_x$  و  $-F_y$  باشند و نیروهای عکس‌العمل پره به شاره  $F_x$  و  $F_y$  هستند.

راه دیگر، سطح معیار را درست بر روی سطح درونی پره انتخاب می‌کنیم که در این حالت شامل شاره نیز می‌شود. روش تحلیل کاملاً مانند قبل است، اما نیروی وارد بر شاره (توسط پره) را به‌سرعت به‌صورت  $F_x$  و  $F_y$  به‌دست می‌آوریم.

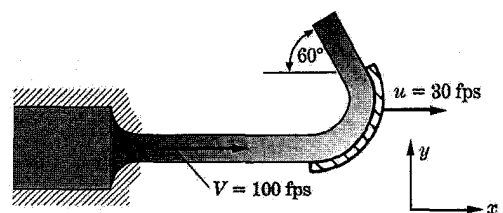
۳-۴ پره‌ای مطابق شکل ۳-۲۱ با سرعت ثابت  $u = 30 \text{ fps}$  حرکت می‌کند و سرعت جت آب در شیپوره برابر  $V = 100 \text{ fps}$  است. مساحت شیپوره  $4 \text{ ft}^2$  است. نیروی کل وارد بر پره را به‌دست آورید.

حجم معیار را دور پره مطابق شکل ۳-۲۲ در نظر بگیرید. سرعتها نسبت به حجم معیار برابر  $V - u = 100 - 30 = 70 \text{ ft/s}$  در جهت ورودی به پره و خروجی با سرعت  $V - u = 70 \text{ ft/s}$  در جهت مشخص شده است. بنابراین، نیروی وارد بر شاره از معادلهٔ تکانهٔ جریان پایا تعیین می‌شود. در جهت  $x$ ، داریم

$$F_x = \dot{m}(V_{2x} - V_{1x})$$



شکل ۳-۲۲



شکل ۳-۲۱



که آهنگ جریان جرمی،  $\dot{m}$ ، نسبت به سطح معیار برابر است با

$$\dot{m} = \rho A(V - u) = \rho A(100 - 30)$$

مؤلفه‌های  $x$  سرعت ورودی و خروجی از حجم معیار عبارت‌اند از

$$V_{1x} = V - u \text{ و } V_{2x} = -(V - u) \cos 60^\circ$$

با نشان دادن سرعتها در معادلهٔ تکانه، خواهیم داشت

$$\begin{aligned} F_x &= \rho A(V - u)[-(V - u) \cos 60^\circ - (V - u)] \\ &= -\rho A(V - u)^2 (\cos 60^\circ + 1) = -(62.4/32.2)(0.4)(100 - 30)^2 (\cos 60^\circ + 1) \end{aligned}$$

$$F_x = 569 \text{ lbf}$$

نیروی وارد بر شاره یا نیروی وارد بر پره

$$F_y = \dot{m}(V_{2y} - V_{1y})$$

در جهت  $y$  داریم

سرعتهای ورودی و خروجی در جهت  $y$  عبارت‌اند از

$$V_{1y} = 0, V_{2y} = (V - u) \sin 60^\circ$$

با نشان دادن این سرعتها در معادلهٔ تکانه، خواهیم داشت

$$\begin{aligned} F_y &= \rho A(V - u)[(V - u) \sin 60^\circ - 0] \\ &= \rho A(V - u)^2 \sin 60^\circ = (62.4/32.2)(100 - 30)^2 \sin 60^\circ = 329 \text{ lbf} \end{aligned}$$

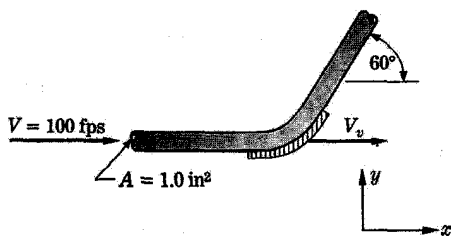
یا نیروی وارد بر پره  $F_y = -329 \text{ lbf}$ .

مقدار نیروی وارد بر پره برابر است با

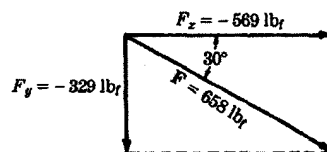
$$|\mathbf{F}| = (F_x^2 + F_y^2)^{1/2} = [(569)^2 + (-329)^2]^{1/2} = 655 \text{ lbf}$$

جهت نیروی وارد  $\theta = -30^\circ$  یا  $\tan \theta = -\frac{329}{569} = -0.578$  است علامت منفی نشان می‌دهد که نیروی وارد رو به پایین است. سرانجام، نیروهای وارد بر پره مطابق شکل ۳-۲۳ هستند.

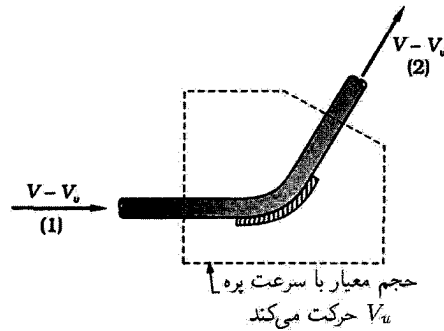
۳-۵ جت آبی با سرعت  $100 \text{ ft/s}$  به پره‌ای متحرک با سرعت  $40 \text{ ft/s}$  مطابق شکل ۳-۲۴ برخورد می‌کند. مطلوب است تعیین (الف) توان انتقال یافته به پره (ب) سرعت مطلق آب خروجی از پره



شکل ۲۴-۳



شکل ۲۳-۳



شکل ۲۵-۳

(الف) توان انتقال یافته به پره برابر است با حاصل ضرب نیرو در جهت حرکت پره و سرعت پره. بنابراین

$$\text{توان} = F_x V_v$$

نیروی شاره بر پره را می‌توان از معادلهٔ تکانهٔ برای حجم معیار که سرعت حرکت آن برابر سرعت پره است، به دست آورد (شکل ۲۵-۳). معادلهٔ تکانه برای حجم معیار عبارت است از

$$F_x = \dot{m}(V_{2x} - V_{1x})$$

نیروی وارد بر شاره،  $F_x$ ، همان‌گونه که در مسئلهٔ ۳-۳ گفته شد، نیروی وارد شده بر پره از طرف عوامل خارجی است.

آهنگ جریان جرمی نسبت به سطح معیار برابر است با  $\dot{m} = \rho A(V - V_v)$ . سرعتها در جهت  $x$  ورودی و خروجی حجم معیار عبارتند از

$$V_{2x} = (V - V_v) \cos 60^\circ \quad \text{و} \quad V_{1x} = V - V_v$$

با نشان دادن در معادلهٔ تکانه، داریم

$$\begin{aligned} F_x &= \rho A(V - V_v)[(V - V_v) \cos 60^\circ - (V - V_v)] = \rho A(V - V_v)^2 (\cos 60^\circ - 1) \\ &= (62.4/32.2)(100/12 - 40/12)^2 (\cos 60^\circ - 1) = -6.48 \text{ lbf} \end{aligned}$$

که نیروی وارد بر شاره است و

$$F_x = 6.48 \text{ lbf} \text{ نیروی وارد بر پره:}$$

بنابراین، توان برابر است با

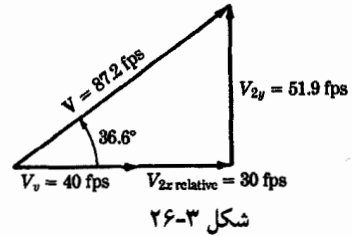
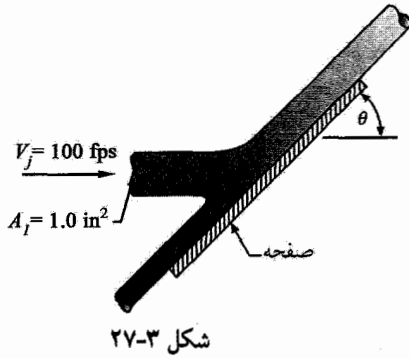
$$6.48(40) = 259 \text{ ft} \cdot \text{lbf/s} = 0.472 \text{ اسب بخار}$$

(ب) سرعت خروج شاره از پره از جمع سرعت‌های شاره نسبت به پره ( $V_{rel}$ ) و سرعت پره به دست می‌آید. بنابراین، سرعت مطلق شاره‌ای که از پره خارج می‌شود، در جهت  $x$  برابر است با

$$V_{2x} = V_{2rel} + V_v = (100 - 40) \cos 60^\circ + 40 = 70 \text{ fps}$$

و سرعت خروج شاره از پره در جهت  $y$  برابر است با

$$V_{2y} = (100 - 40) \sin 60^\circ = 51.9 \text{ fps}$$



سرعت مطلق شاره خروجی از پره برابر است با

$$|V_2| = (V_{2x}^2 + V_{2y}^2)^{1/2} = [(V_0)^2 + (51.9)^2]^{1/2} = 87.2 \text{ fps}$$

جهت خروج شاره از پره با

$$\tan \theta = \frac{51.9}{40} = 1.2975, \Rightarrow \theta = 52.41^\circ$$

داده می‌شود. نمودار بردار سرعت شاره خروجی از پره را در شکل ۲۶-۳ نشان داده‌ایم

۶-۳ نیروی جت آبی وارد بر صفحه‌ی مایل را برحسب زاویه‌ی  $\theta$ ، مطابق شکل ۲۷-۳ تعیین کنید.

حجم معیار موجود در شکل ۲۸-۳ را در نظر بگیرید که شاره از مقطع ۱ وارد و از مقطعیهای ۲ و ۳ خارج می‌شود. آهنگ جریان جرم شاره‌ی ورودی به حجم معیار برابر است با آهنگ جرم شاره خروجی از حجم معیار. بنابراین، داریم

$$A_1 V_j = A_2 V_2 + A_3 V_3, \text{ یا } \rho A_1 V_j = \rho A_2 V_2 + \rho A_3 V_3$$

معادله‌ی برنولی را در طول خط بین مقاطع ۱ و ۲ و بین مقاطع ۱ و ۳ می‌نویسیم

$$p_1/\rho + \frac{1}{2} V_j^2 = p_2/\rho + \frac{1}{2} V_2^2$$

و

$$p_1/\rho + \frac{1}{2} V_j^2 = p_3/\rho + \frac{1}{2} V_3^2$$

که از تمام تغییرات ارتفاع صرف‌نظر کرده‌ایم. اگر فرض کنیم که فشارها در مقاطع ۱، ۲ و ۳ برابر فشار جو باشد، آنگاه از معادله‌ی برنولی نتیجه می‌شود

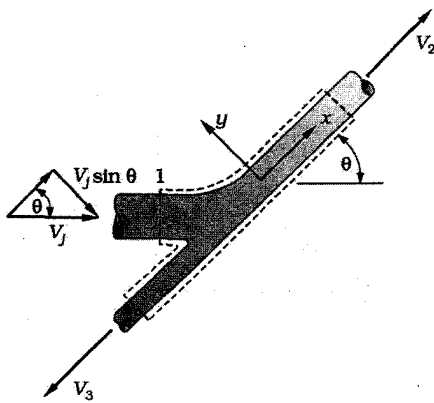
$$V_j = V_2 = V_3$$

با بهره‌گیری از اینکه سرعتها برابرند، از معادله‌ی پیوستگی، داریم

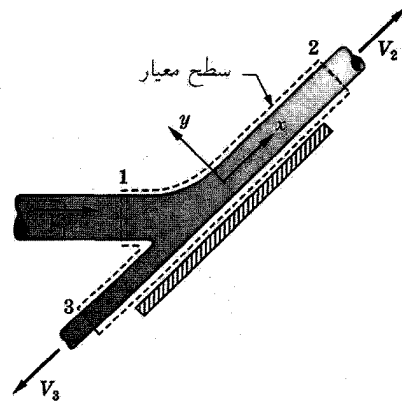
$$A_1 = A_2 + A_3$$

اکنون، معادله‌ی تکانه‌ی جریان پایای شاره را در جهت  $x$  در صفحه می‌نویسیم. از تنشهای برشی شاره در تماس با صفحه صرف‌نظر می‌کنیم. با مراجعه به شکل ۲۹-۳ برای  $F_x$  نیروی وارد از طرف صفحه به شاره داریم

$$F_x = 0 = \rho A_2 V_2^2 - \rho A_3 V_3^2 - \rho A_1 V_j^2 \cos \theta$$



شکل ۲۹-۳



شکل ۲۸-۳

که به شکل ساده  $A_1 \cos \theta = A_2 - A_3$  درمی‌آید. از جمع این معادله با رابطه‌ای که از پیوستگی به دست آمد می‌توان به رابطه زیر رسید

$$A_3 = \frac{1}{2}(1 - \cos \theta)A_1 \quad \text{و} \quad A_2 = \frac{1}{2}(1 + \cos \theta)$$

گام بعدی، نوشتن معادلهٔ تکانه در جهت  $y$  عمود بر صفحه است، بردار  $F_y$ ، مؤلفهٔ  $y$  نیروی وارد بر صفحهٔ شاره است

$$F_y = \rho A_1 V_j^2 \sin \theta$$

که جواب عددی آن به صورت زیر به دست می‌آید

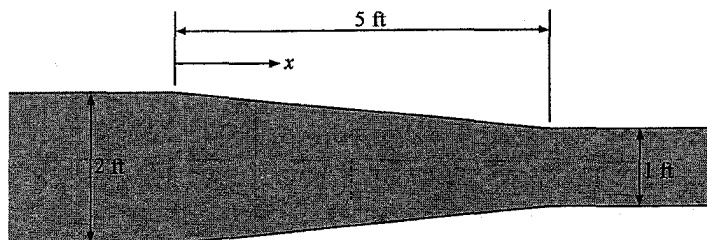
$$F_y = (62.4/32.2) \frac{1}{144} (100)^2 \sin \theta = 135 \sin \theta \text{ lbf}$$

۷-۳ مجرای دوبعدی همگرای شکل ۳-۳ دارای مقطع متغیر خطی است. آهنگ جریان شاره تراکم‌ناپذیر برابر مقدار ثابت  $Q = 10 \text{ ft}^3/\text{s}$  در واحد پهنای مجراست. شتاب برحسب فاصله  $x$  چقدر است؟ شتاب در نقطه‌ای به فاصلهٔ یک فوت از شروع مقطع همگرا چقدر است؟ فرض کنید که جریان شاره شبه یک بعدی است و از تغییرات مقطع صرف‌نظر می‌شود. در این صورت، با توجه به پیوستگی، برای آهنگ جریان  $Q$ ، داریم

$$Q = uA = u(2 - x/5)$$

که  $u$  سرعت شاره در مجرا تابع  $x$  است و از رابطهٔ بالا تعریف می‌شود، زیرا  $Q$  ثابت است. در این صورت، شتاب از رابطهٔ زیر به دست می‌آید

$$a_x = \frac{\partial u}{\partial t} + u \frac{\partial u}{\partial x}$$



شکل ۳۰-۳

ولی چون جریان شاره پایاست. نتیجه می شود که  $\partial u / \partial t = 0$  و با دیفرانسیل گیری می توان  $\partial u / \partial x$  را که به سادگی  $\frac{du}{dx}$  است، به دست آورد، چون  $u$  فقط تابع  $x$  است. بنابراین

$$a_x = u \frac{du}{dx} = \left( \frac{5Q}{10-x} \right) \left[ \frac{5Q}{(10-x)^2} \right] = \frac{(5 \times 10)^2}{(10-x)^3} = \frac{2500}{(10-x)^3} \text{ ft/s}^2$$

$a_x = 3,43 \text{ ft/s}^2$ ,  $x = 1 \text{ ft}$  در  $x$  برحسب فوت است.

۸-۳ در مسئله ۷-۳ فرض می کنیم که جریان ناپایاست و با آهنگ  $2 \text{ ft}^3/\text{s}^2$  (در واحد پهنای مجرا) افزایش می یابد. در این حالت، شتاب در زمانی که به  $Q = 10 \text{ ft}^3/\text{s}$  بر واحد فوت پهنای مجرا برسد، چقدر است؟

مانند مسئله ۷-۳ شتاب با رابطه  $a_x = \partial u / \partial t + u(\partial u / \partial x)$  داده می شود و  $u(\partial u / \partial x)$  مانند مسئله قبل است. اما در این حالت  $\partial u / \partial t \neq 0$ . آهنگ شاره از رابطه زیر به دست می آید

$$\frac{\partial Q}{\partial t} = \frac{\partial u}{\partial t} \left( 2 - \frac{x}{5} \right) = 2 \text{ ft}^3/\text{s}^2/\text{ft}$$

بنابراین، در  $x = 1 \text{ ft}$ ، داریم  $\partial u / \partial t = 10/10 - x = 1,11 \text{ ft/s}^2$  و مقدار  $a_x$  از جمع  $\partial u / \partial t$  و  $u(\partial u / \partial x)$  در نقطه  $x = 1 \text{ ft}$  به دست می آید.

$$a_x = 1,11 + 3,43 = 4,54 \text{ ft/s}^2$$

۹-۳ موتور جت شکل ۳-۳۱ به صورت درجا بر روی سکو (پایه) بی آزمایش می شود. سرعت ورودی هوا  $500 \text{ ft/s}$  و گازهای مانده و تولیدی با سرعت  $3500 \text{ fps}$  از لوله خارج می شوند.

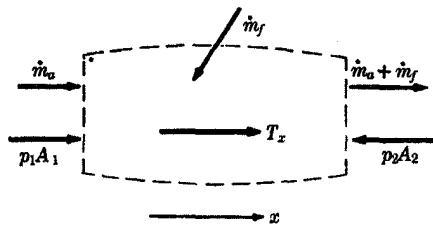
در ورودی و گازهای مانده در خروجی در فشار جو قرار دارند. نسبت سوخت به هوا  $1/50$  است و سطح مقطع ورودی و خروجی هر دو ۲ فوت مربع است. چگالی هوای ورودی  $0,0024 \frac{\text{slug}}{\text{ft}^3}$  است. نیروی  $T_x$  لازم برای ثابت نگه داشتن موتور جت را تعیین کنید.

حجم معیاری مطابق شکل را در اطراف شاره در درون موتور بین مقاطع ۱ و ۲ در نظر بگیرید (شکل ۳-۳۲). معادله تکانه جریان پایای شاره عبارت است از

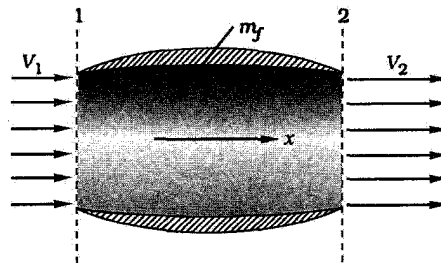
$$F_x = (\dot{m}_a + \dot{m}_f)V_{2x} - \dot{m}_a V_{1x}$$

که  $F_x$  نیروی کل خارجی وارد شده به موتور است و شامل نیروهای فشار و جمع نیروی عکس العمل سکو  $T_x$  نیز است.  $\dot{m}_a$  آهنگ جریان جرمی و  $\dot{m}_f$  جریان جرم سوخت است. بنابر اصل پیوستگی،  $\dot{m}_a$  باید در ورودی و خروجی یکسان باشد. فرض می کنیم که تکانه سوخت وقتی وارد موتور می شود در جهت  $x$  ناچیز است. در این صورت، می توان نوشت

$$p_1 A_1 - p_2 A_2 + T_x = (\dot{m}_a + \dot{m}_f)V_{2x} - \dot{m}_a V_{1x}$$



شکل ۳-۳۲



شکل ۳-۳۱

اما چون سطح مقطع ورودی و خروجی یک اندازه‌اند، و فرض کرده‌ایم که

$$p_1 = p_2 = 1 \text{Atm}$$

بنابراین، رابطه به صورت زیر درمی‌آید

$$T_x = (\dot{m}_f + \dot{m}_a)V_{2x} - \dot{m}_a V_{1x} = \left( \frac{\dot{m}_f}{\dot{m}_a} + 1 \right) \dot{m}_a V_{2x} - \dot{m}_a V_{1x}$$

فرض می‌کنیم که هوای ورودی در شرایط متعارف  $\rho_1 = 0.0024 \text{slug/ft}^3$ ، بنابراین آهنگ جریان جرمی هوا

$$\dot{m}_a = \rho_1 A_1 V_1 = 0.0024 \times 2 \times 500 = 2.40 \text{slug/s}$$

و مقدار  $T_x$  برابر است با

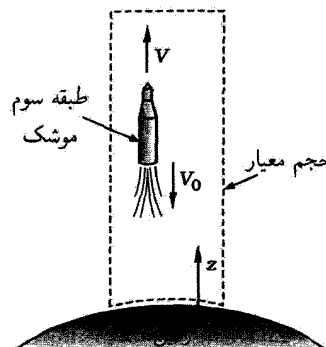
$$T_x = \left( \frac{1}{0.5} + 1 \right) (2.40) \times (3500) - (2.4) \times (500) = 7300 \text{lb}_f$$

بدین ترتیب، رانش وارد بر موتور در حالتی که بر روی سکوی قرار دارد، برابر  $T_x$  و در جهت عکس آن است.

۳-۱۰ موشکی سه طبقه را به منظور کاوش فضایی در نظر می‌گیریم. دو طبقه اول موشک باعث دور شدن موشک تا چنان مسافتی از زمین می‌شود که از جاذبه گرانشی زمین و مقاومت اصطکاکی که در خلال این پیمایش می‌توان چشم پوشید. طبقه سوم این موشک وقتی از موشک جدا می‌شود که به ارتفاع بیشینه خود از زمین رسیده باشد، که البته در آن زمان سرعتش نسبت به زمین صفر خواهد بود. موتور موشک نهایی به گونه‌ای طراحی شده است که سرعت جت خروجی نسبت به موشک در مقدار ثابت  $V_0 \text{ft/s}$  حفظ می‌شود. سرعت نهایی طبقه سوم موشک برحسب پارامترهای مربوط چقدر است؟

در شکل ۳-۳ حجم معیاری را به شکل استوانه به گونه‌ای در نظر می‌گیریم که از زمین تا بالای طبقه سوم موشک را می‌پوشاند. این حجم معیار شامل طبقه سوم موشک، سوخت آن و تمام موادی است که از طبقه سوم خارج می‌شود. در این صورت، تکانه موشک به اضافه سوخت و تمام موادی که از موشک خارج می‌شود، ثابت می‌ماند. هیچ نیروی خارجی به موشک وارد نمی‌شود. اگر  $M$  جرم موشک طبقه سوم و  $m$  جرم لحظه‌ای سوخت موشک باشد، جرم سوخت موشک با آهنگ  $dm/dt$  تغییر می‌کند و علامت منفی آن به علت کاهش جرم سوخت است. اگر  $V$  سرعت موشک باشد، آنگاه مؤلفه  $z$  تکانه موشک به اضافه سوخت مانده در موشک در زمان  $t$  برابر  $(M + m)V$  است و مؤلفه تکانه سوخت خروجی از انتگرال  $\int_0^t -dm/dt(V - V_0)dt$  به دست می‌آید. موازنه تکانه‌ها به صورت زیر است

$$\frac{d}{dt} [(M + m)V] - \frac{dm}{dt}(V - V_0) = (M + m) \frac{dV}{dt} + V_0 \frac{dm}{dt} = 0$$



شکل ۳-۳

که  $V$  سرعت مطلق موشک در جهت  $z$  است. اما،  $m \neq m_0 + (dm/dt)t$ ، بلکه  $m_0$  جرم اولیه سوخت در زمان  $t = 0$  و مقارن با زمانی است که طبقه سوم روشن می شود؛  $dm/dt$  را ثابت فرض می کنیم و به صورت ساده  $\dot{m}$  می نویسیم. بنابراین

$$(M + m + \dot{m}t) \frac{dV}{dt} + V \cdot \dot{m} = 0$$

این معادله را می توان از  $V = 0$  در زمان  $t = 0$  تا  $V = V_f$  وقتی که سوخت تمام می شود ( $m = 0$ ) انتگرال گیری کرد.  $V_f$  سرعت نهایی موشک طبقه سوم است. سرانجام، سوخت در زمان  $t = m_0 / -\dot{m}$  تمام می شود. یادآور می شویم که  $\dot{m}$  منفی است.

$$V_f = V_0 \ln \frac{M + m_0}{M} \quad \text{و} \quad \int_0^{V_f} dV = - \int_0^{-m_0/\dot{m}} \frac{V_0 \dot{m}}{M + m_0 + \dot{m}t} dt$$

۱۱-۳ لایه مرزی دوبعدی ساده آب را بر روی صفحه ای تخت همچون شکل ۳-۳۴ در نظر بگیرید. سرعت در لایه حمله، یکنواخت و برابر  $U$  است. توزیع سرعت در پایین دست جریان در لایه فرار را در شکل نشان داده ایم. نیروی برشی شماره را بر روی صفحه با استفاده از روش حجم معیار به دست آورید.

مطابق شکل، حجم معیاری مستطیلی را انتخاب می کنیم. می توان نوشت

$$\mathbf{F} = \int_{C.S.} (\rho \mathbf{V}) \mathbf{V} \cdot d\mathbf{A}$$

که  $\mathbf{F}$  نیروی کل وارد بر شماره است. اما فرض می کنیم که فشار در سرتاسر جریان یکنواخت است و اگر معادله تکانه را در جهت موازی صفحه (جهت  $x$ ) بنویسیم،  $F_x$  نیروی برشی وارد شده از سوی صفحه بر شماره است. شماره در طول سطح از ۲ به ۳ با سرعتی کم، عمود بر صفحه، و دارای مؤلفه سرعتی موازی صفحه که تقریباً  $U$  است، جریان دارد. در این حالت،  $F_x$  بر واحد پهنای صفحه برابر است با

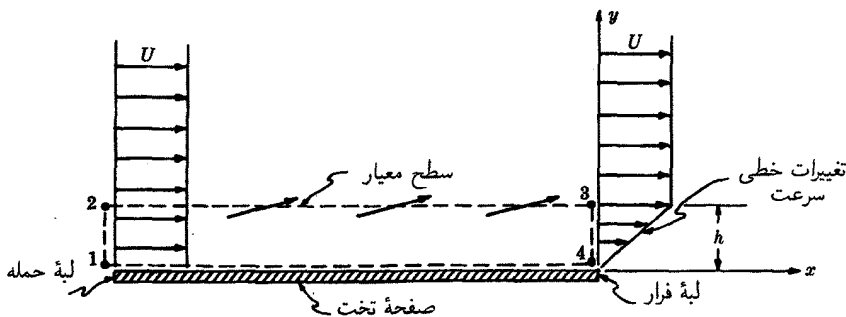
$$F_x = \underbrace{-\rho U^2 h}_{1-2} + \underbrace{\int_0^h (\rho U^2 y^2 / h^2) dy}_{3-4} + \underbrace{\dot{m}U}_{2-3}$$

که  $\dot{m}$  آهنگ جریان جرمی در واحد پهنای در سطح ۲ به ۳، و برابر است با

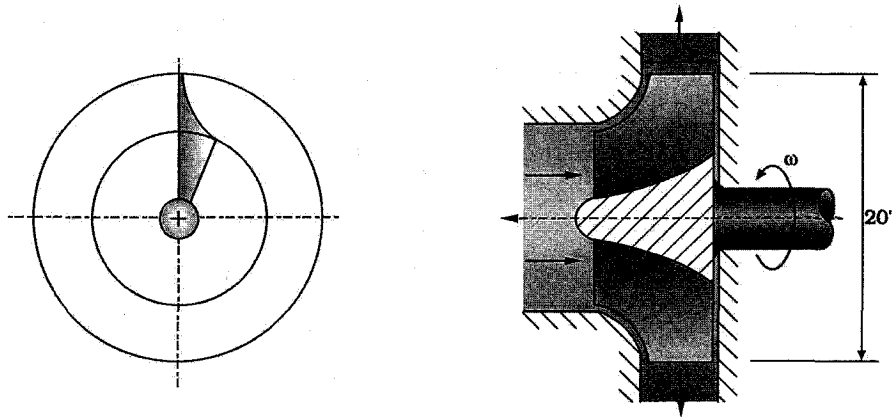
$$\dot{m} = \rho U h - \rho U h / 2 = \rho U h / 2$$

بنابراین

$$F_x = -\rho U^2 h + \rho U^2 h / 3 + \rho U^2 h / 2 = -\rho U^2 h / 6$$



شکل ۳-۳۴



شکل ۳-۳۵

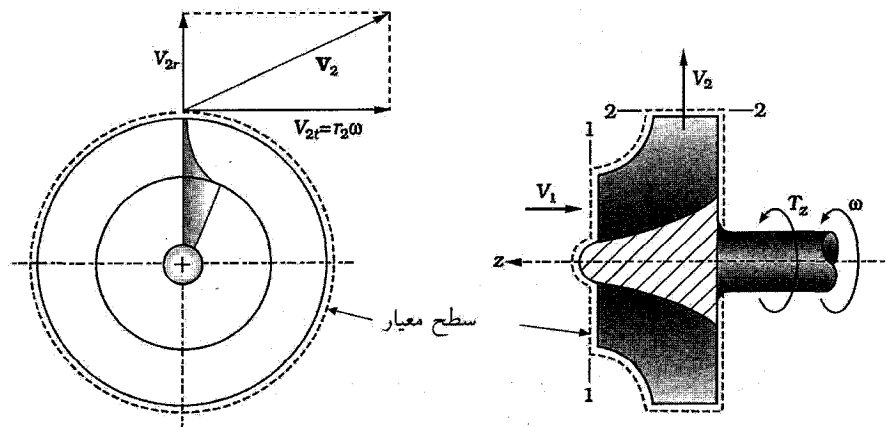
این حقیقت که  $F_x$  منفی است، نشان می‌دهد که نیروی کندکننده و واردشده بر شار در جهت منفی  $x$  است. نیروی شار بر صفحه برابر  $F_x$  و در جهت مخالف آن است.

۱۲-۳ پمپ آب گریز از مرکزی مطابق شکل ۳-۳۵ آب را با آهنگ  $1 \text{ ft}^3/\text{s}$  می‌مکد. آب در جهت محور با پروانه برخورد می‌کند. شعاع پروانه  $10^\circ$  اینچ است و پره‌ها یک اینچ ارتفاع دارند و در جهت شعاعی هستند. توان ورودی به روتور را که با سرعت  $1000 \text{ rpm}$  می‌چرخد، تعیین کنید. توان ورودی برابر حاصل ضرب گشتاور محور  $T$  در سرعت زاویه‌ای  $\omega$  روتور است. توان برابر  $T\omega$  است. با دانستن سرعت زاویه‌ای، گشتاور را می‌توان از معادلهٔ تکانهٔ زاویه‌ای جریان پایا به دست آورد. گشتاور حول محور دوران از رابطهٔ زیر به دست می‌آید

$$T_z = \int_{\text{C.S.}} (\mathbf{r} \times \mathbf{V}) \rho \mathbf{V} \cdot d\mathbf{A}$$

که سطح معیار را حول پروانه در نظر گرفته‌ایم (شکل ۳-۳۶)، به گونه‌ای که گشتاور موجود در معادله گشتاوری است که محور محرک بر روتور وارد می‌کند. با فرض یکنواخت بودن سرعت در سطحهای ورودی و خروجی، می‌توان نوشت

$$T_z = \rho_1 Q_1 (r_2 V_{t2} - r_1 V_{t1})$$



شکل ۳-۳۶



که  $\rho_1 Q_1 = \dot{m}$  آهنگ جرم شاره است. چون جریان در ورودی پروانه در جهت محور است، مؤلفه مماسی سرعت  $V_{t1}$  صفر است. بنابراین فقط به تعیین مؤلفه مماسی سرعت در خروجی نیاز است. با این فرض که هیچ‌گونه نشتی در خروجی پروانه نداریم، یعنی شاره دقیقاً سطح پره‌ها را می‌پیماید، آن‌گاه سرعت مماسی در خروجی برابر است با

$$v_{t2} = r_2 \omega = \left(\frac{1^\circ}{12}\right) \left(1000 \times \frac{2\pi}{60}\right) = 87.3 \text{ ft/s}$$

و برای گشتاور داریم

$$T_z = \left(\frac{62.4}{32.2}\right) (1.0) \left(\frac{1^\circ}{12}\right) (87.3) = 141 \text{ lb}_f \cdot \text{ft}$$

توان لازم  $14800 \text{ ft} \cdot \text{lb}_f / \text{s} = \left(1000 \times \frac{2\pi}{60}\right) 141$  یا ۲۷ اسب بخار است.

۳-۱۳ آب از میان لوله‌ای افقی از طریق شکاف  $1/8$  اینچی، همچون شکل ۳-۳۷، به خارج جریان دارد. آهنگ کل جریان  $1 \text{ ft}^3 / \text{s}$  است. سرعت جریان به‌طور خطی از مقداری بیشینه در یک انتهای شکاف تا مقدار صفر در انتهای دیگر تغییر می‌کند. تکانه حول محور لوله عمودی ناشی از خروج آب از شکاف را تعیین کنید.

نخست، تابع توزیع سرعت را تعیین می‌کنیم. اگر  $u_{\max}$  سرعت بیشینه در ورودی باشد (شکل ۳-۳۷) سرعت در هر نقطه از لوله عبارت است از

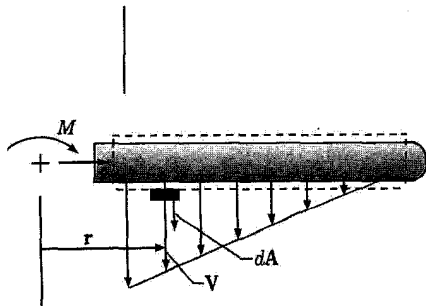
$$u = u_{\max} \left(1 - \frac{x}{\delta}\right)$$

مقدار  $u_{\max}$  را می‌توان از معادله پیوستگی به‌دست آورد. آهنگ کل شاره  $Q$  از انتگرال‌گیری زیر به‌دست می‌آید

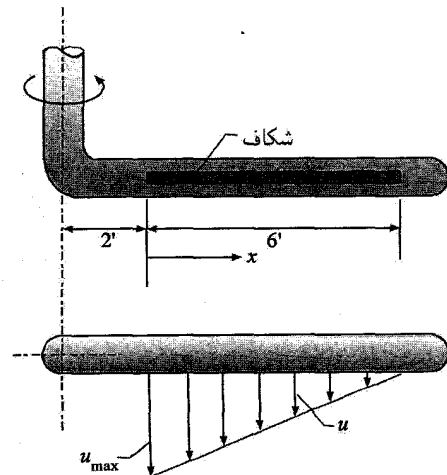
$$Q = \int_A u dA = \int_0^\delta u_{\max} \left(1 - \frac{x}{\delta}\right) \left(\frac{1}{8} / 12\right) dx = 1$$

و،  $u_{\max} = 32 \text{ ft/s}$ . گشتاور نیروی عکس‌العمل لوله را به لوله افقی را می‌توان با در نظر گرفتن حجم معیار، همچون شکل ۳-۳۸، تعیین کرد. چون  $\mathbf{r}$  عمود بر  $\mathbf{V}$  و  $d\mathbf{A}$  موازی با  $\mathbf{V}$  است  $M$  گشتاور وارد بر لوله را به صورت زیر به‌دست می‌آید

$$M = \int_{\text{C.S.}} (\mathbf{r} \times \mathbf{V}) \rho \mathbf{V} \cdot d\mathbf{A} = \int_{\text{C.S.}} (ru) \rho u dA$$



شکل ۳-۳۸



شکل ۳-۳۷

و چون  $r = 2 + x$  و  $u = 32(1 - \frac{x}{6})$  داریم

$$M = (32)^2 \rho \int_0^6 (2+x)(1-x/6)^2 (\frac{1}{8}/12) dx$$

با توجه به اینکه  $\rho = 62.4/32.2 \text{ slug/ft}^2$  خواهیم داشت

$$M = 145 \text{ lb}_f \cdot \text{ft}$$

این گشتاور حول محور لوله رابط است که در تعیین تنشها اهمیت دارد. همچون شکل ۳-۳۸، علامت تکانه مثبت است. گشتاور وارد بر لوله رابط عمودی توسط لوله افقی برابر  $M$  و علامت آن مخالف است.

۳-۱۴ تصویر از بالای چمن آب‌پاش خودکاری را در شکل ۳-۳۹ نشان داده‌ایم. آب‌پاش دارای دو بازوی مجهز به شیبوره‌های  $90^\circ$  درجه است که حول محور لوله در صفحه افقی می‌چرخند. آهنگ جریان آب از هر لوله با سطح خروجی  $A$  برابر  $Q$  است. سرعت مطلق خروج آب از شیبوره را به دست آورید. اگر (الف) آب‌پاش اصطکاک نداشته باشد (ب) آب‌پاش دارای اصطکاک ثابتی باشد که گشتاور آن  $(T_f)$  در حرکت آب‌پاش اثر می‌گذارد.

حجم معیاری استوانه‌ای را انتخاب کنید. معادله تکانه زاویه‌ای (۳-۱۴) را می‌توان در نقطه محوری  $O$  نوشت. (جریان آب از زیر محور بدون هیچ‌گونه سرعت زاویه‌ای وارد دستگاه می‌شود).

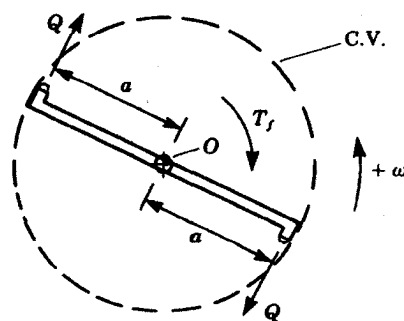
$$T = 2\rho Q a V_t$$

$V_t$  سرعت مطلق مماسی (یعنی نسبت به حجم معیار ساکن) بر سطح حجم معیار است. و  $Q$  آهنگ جریان عبوری از سطح حجم معیار است.  $Q$  دارای مقدار یکسان نسبت به بازوی متحرک یا نسبت به حجم معیار است. ضریب  $2$  به علت وجود دو شیبوره ظاهر می‌شود. سرعت محیطی شیبوره  $a\omega$  است، بنابراین سرعت مطلق  $V_t$  را می‌توان به صورت زیر نوشت

$$T = 2\rho a Q (a\omega - V) \quad \text{بنابراین} \quad V_t = (a\omega - \frac{Q}{A})$$

که  $V = \frac{Q}{A}$  سرعت نسبی آب خروجی از شیبوره نسبت به خود شیبوره است. برای حالت (الف)  $T = 0$  و بنابراین  $V_t = 0$ ، و در نتیجه

$$a\omega = \frac{Q}{A} = V$$



شکل ۳-۳۹

مفهوم فیزیکی این عبارت این است که آب با سرعت صفر نسبت به زمین از لوله آب پاش خارج می شود و به زمین می ریزد و فقط دایره ای خیس در زیر آب پاش ایجاد می کند.  $\omega$  از رابطه زیر به دست می آید

$$\omega = \frac{V}{a} = \frac{Q}{aA}$$

در حالت (ب)،  $-T_f = 2\rho Qa(a\omega - V)$ ، علامت منفی به این علت ظاهر می شود که  $T_f$  گشتاور کندکننده است و از این رو،  $\omega$  از رابطه زیر به دست می آید

$$\omega = \left( \frac{V}{a} - \frac{T_f}{2\rho Qa^2} \right)$$

سرعت مطلق جت آب برابر است با  $(T_f/2\rho Qa)$ -. اگر  $T_f$  افزایش یابد که آب پاش را متوقف کند، آن گاه  $\omega = 0$  و  $T_f = 2\rho Q^2 a/A$ . در این صورت، سرعت مطلق جت آب به مقدار بیشینه خود می رسد و البته برابر است با  $V = \frac{Q}{A}$  برای آب پاشی سطحی دایره ای بر روی زمین باید گشتاوری اصطکاکی به روتور وارد شود. بحث جالب این موضوع را در مسئله ۶-۳۵ ببینید.

۳-۱۵ جهش هیدرولیکی پدیده جالبی است که در طبیعت رخ می دهد. این پدیده ناشی از ناپیوستگی ناگهانی در عمق مایع جاری است. در رودهای دارای جذر و مد ممکن است جهش در جریانهای آب ساکن یا متحرک رخ دهد. این جهش را به سادگی می توان در آزمایشگاه ایجاد کرد. بشقاب غذایی را به طور افقی زیر شیر آب نگاه دارید و این پدیده را مشاهده کنید. شیر آب را باز کنید تا آب به وسط بشقاب بریزد. آب به سرعت در تمام جهتها در لایه ای نازک جریان می یابد و یکباره قبل از رسیدن به لبه بشقاب ضخامت آن در لبه بشقاب زیاد می شود. رابطه بین ضخامت جریان آب بالارو و پایین رو را برحسب پارامترهای مناسب در شکل ۳-۴۰ به دست آورید.

حجم معیاری به عمق  $W$  عمود بر صفحه کاغذ را در نظر بگیرید. جهش نسبت به آن ساکن است. فرض کنید که سرعتهای  $V_1$  و  $V_2$  در مجرا یکتواخت اند. با این فرض که حجم معیار بسیار نازک است، از نیروهای اصطکاکی وارد به ته می توان صرف نظر کرد. با توجه به اصل پیوستگی، می توان نوشت

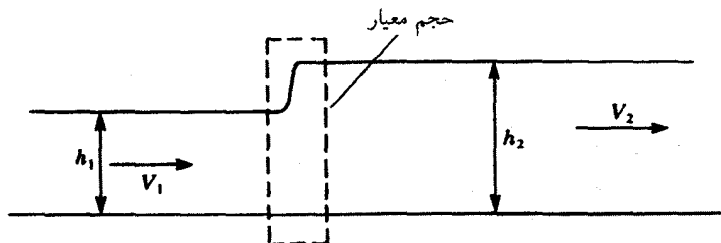
$$\rho h_1 V_1 = \rho h_2 V_2 = Q$$

و با توجه به معادله تکانه (با در نظر گرفتن نیروی فشار هیدروستاتیکی وارد بر هر یک از وجهها)، داریم

$$\frac{\rho g h_1^2}{2} - \frac{\rho g h_2^2}{2} = \rho V_2^2 h_2 - \rho V_1^2 h_1$$

با ترکیب این دو معادله، خواهیم داشت

$$(h_1 - h_2) \left( h_1 + h_2 - \frac{2h_1 V_1^2}{gh_2} \right) = 0$$



شکل ۳-۴۰

اگر پرانتز اول صفر باشد، آنگاه  $h_1 = h_2$ ، که متناظر با جریان یکنواخت است، ولی اگر پرانتز دوم را برابر صفر قرار دهیم،  $h_2$  را برحسب  $h_1$  و آهنگ جریان  $Q$  را به صورت زیر می‌توان نوشت

$$\frac{h_2}{h_1} = -\frac{1}{2} + \sqrt{\frac{1}{4} + \frac{2Q^2}{w^2 g h_1^3}}$$

با در نظر گرفتن انرژی و قانون دوم ترمودینامیک می‌توان نشان داد که  $V_2 < V_1$  و  $h_2 > h_1$ ، زیرا به علت وجود اصطکاک در جهش انرژی تلف می‌شود.

نکته جالب این است که با گزایدن  $h_1$  به  $h_2$  جهش به صورت موج سطحی کوچک درمی‌آید. در شرایط حدی، از معادلات بالا درمی‌یابیم که  $V_2 = V_1 = \sqrt{gh}$ ، که  $h \approx h_1 \approx h_2$ .

۳-۱۶ سطح آب در مخزنی تا ارتفاع  $h$  بالاتر از توربین قرار دارد (شکل ۳-۴۱). آب از طریق لوله‌ای به قطر  $D$  جریان می‌یابد و از طریق توربین به درون رودخانه تخلیه می‌شود. لوله تخلیه هم‌سطح توربین است. توان تولیدی بیشینه توسط توربین را به دست آورید. از تمام اتلاف‌های انرژی صرف‌نظر می‌کنیم.

معادله تعمیم یافته برنولی را برای شاره تراکم‌ناپذیر بین نقطه‌های ۱ و ۲ می‌نویسیم و فرض می‌کنیم که سطح آب ثابت و سرعت شاره در نقطه ۱ ناچیز است؛ از اتلافها نیز صرف‌نظر می‌کنیم.

$$w_s = \frac{p_1 - p_2}{\rho} + \frac{V_1^2 - V_2^2}{2} + g(z_1 - z_2)$$

با قرار دادن  $p_1 = p_2 = 0$  و  $V_1 = 0$ ،  $z_1 = h$ ،  $z_2 = 0$  نتیجه می‌شود

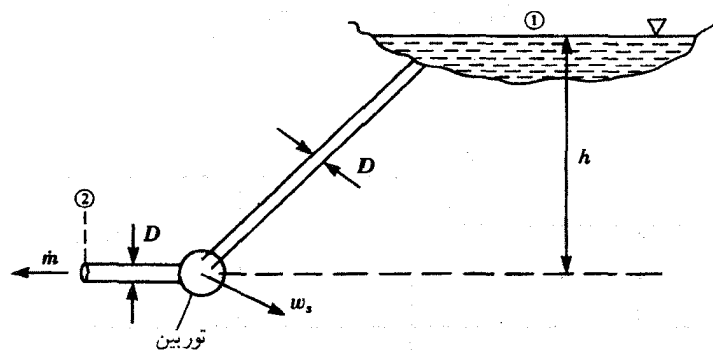
$$w_s = -\frac{V_2^2}{2} + gh$$

و توان خروجی برابر است با

$$\dot{m}w_s = \rho V_2 A w_s = \rho V_2 \pi D^2 w_s / 4 = T w$$

که  $T$  گشتاور (چرخشی) خروجی توربین و  $w$  سرعت زاویه‌ای است. آن‌گاه، می‌توان نوشت

$$\text{توان خروجی} = \dot{m}w_s = \frac{\rho V_2 \pi D^2 w_s}{4} = \frac{\rho V_2 \pi D^2}{4} \left( gh - \frac{V_2^2}{2} \right)$$



شکل ۳-۴۱

دو مقدار برای  $V_2$  وجود دارد که توان خروجی صفر است،  $V_2 = \sqrt{2gh}$ ،  $V_2 = 0$ . در حالت  $V_2 = 0$  گشتاور (چرخشی) به توربین وارد می شود ولی جریان نداریم و روشن است که محور متوقف شده است و مانع چرخش توربین می شود ( $\omega = 0$ ). در  $V_2 = \sqrt{2gh}$  توربین آزادانه می چرخد ولی گشتاور وارد نمی کند. توان بیشینه را می توان با مقداری از  $V_2$  که رابطه بالا را بیشینه می کند، به دست آورد و سپس با نشان دادن آن در معادله توان بیشینه به دست می آید.

$$\frac{d}{dV_2}(\text{توان}) = \frac{\rho\pi D^2}{4} \left( gh - \frac{3V_2^2}{2} \right) = 0 \quad V_2|_{\text{توان بیشینه}} = \sqrt{2gh/3}$$

و توان بیشینه از رابطه زیر به دست می آید

$$P_{\max} = \frac{\rho\pi D^2}{4} \left( \frac{2gh}{3} \right)^{3/2}$$

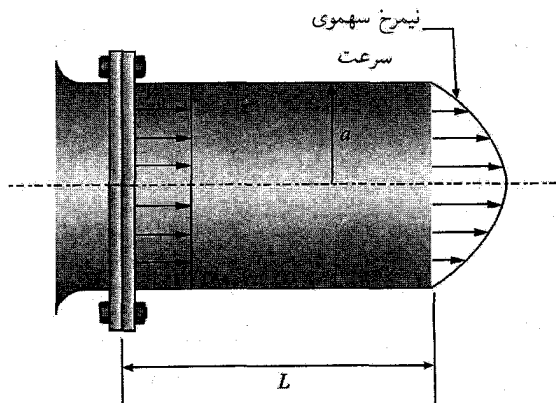
### مسائل تکمیلی

۱۷-۳ یکی از راههای ایجاد خلأ استفاده از تخلیه آب از طریق ونتوری و اتصال گلوگاه آن به محفظه تخلیه همچون شکل ۳-۲۲ است. چه مقدار آب باید از ونتوری تخلیه شود تا خلأیی برابر ۲۰ اینچ جیوه ایجاد کند؟

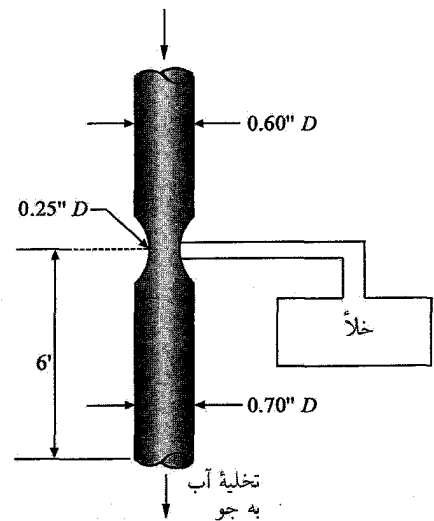
۱۸-۳ لوله ای استوانه ای به شعاع  $a$  ft و طول  $L$  ft به وسیله فلانچ و پیچ، همچون شکل ۳-۲۳، به دهانه خروجی صافی مخزن مایعی متصل شده است. سرعت خروج مایع در مقطع اتصال یکنواخت و مقدار آن  $V$  است. در دهانه خروجی که مایع به جو تخلیه می شود، به علت وجود اصطکاک در لوله، توزیع سرعت شاره به صورت سهمی است. چه نیرویی باید توسط پیچها تأمین شود تا لوله در محل خود محکم بماند؟

۱۹-۳ در مسئله ۳-۱۱، اگر تنش برشی (ناشی از اصطکاک گرانروی) بر دیواره  $\tau$  lb.in<sup>-2</sup> باشد، فشار جریان بالادست بر فلانچ چقدر است؟

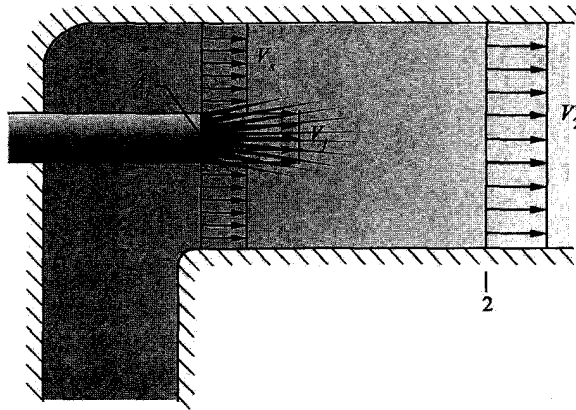
۲۰-۳ اگر صفحه با سرعت  $V_p$  (که کمتر از سرعت جت آب است) در همان جهت جت آب حرکت کند، نیروی جت آب در صفحه مایل مسئله ۳-۶ چقدر خواهد شد؟



شکل ۳-۲۳



شکل ۳-۲۲



شکل ۳-۴۴

۳-۲۱ کشتی‌ای با سرعت ثابت ۲۵ m/h به وسیله نیروی پیشرانش جت هیدرولیکی رانده می‌شود نیروی پسای کل ۳۰۰۰ lb است. قطر مقطع خروجی جت در شیوره خروجی ۲ فوت است. سرعت مطلق جت شاره را تعیین کنید.

۳-۲۲ پمپ جت آب شکل ۳-۴۴ دارای سطح مقطع  $A_z = 0.5 \text{ ft}^2$  و سرعت جت آب  $V_z = 90 \text{ ft/s}$  است. این آب وارد جریان آب دومی می‌شود که سرعت آن  $V_s = 10 \text{ ft/s}$  و در لوله‌ای با سطح مقطع ثابت  $A = 0.6 \text{ ft}^2$  جریان دارد. در مقطع ۲ آب به‌گونه‌ای آمیخته شده است که سرعت یکنواخت است. از نیروی برشی دیواره صرف‌نظر می‌کنیم. فشار را در مقطع ۲ تعیین کنید. فشار در شیوره ۱ psi است.

۳-۲۳ شارهای با جریان پایا در لوله‌ای استوانه‌ای جریان دارد. نیمرخ سرعت به شکل سهموی است که در جداره لوله صفر است و در خط مرکزی به مقدار بیشینه  $V_c$  می‌رسد. مؤلفه‌های سرعت شعاعی و محیطی صفر هستند.

۱. رابطه‌هایی را برای موارد زیر برحسب  $V_c$  و پارامترهای مناسب دیگر برای شاره گذرنده از میان هر لوله‌ای با مقطع مفروض به‌دست آورید.

(الف) مقدار شاره جاری

(ب) تکانه محوری شاره

(ج) انرژی جنبشی شاره

۲. برای شارهای با چگالی ثابت، خطای استفاده از این رابطه‌ها را برحسب درصد بیابید.

(الف)  $\rho V_c^2 A$  برای تکانه

(ب)  $\rho A V_c^3 / 2$  برای انرژی جنبشی

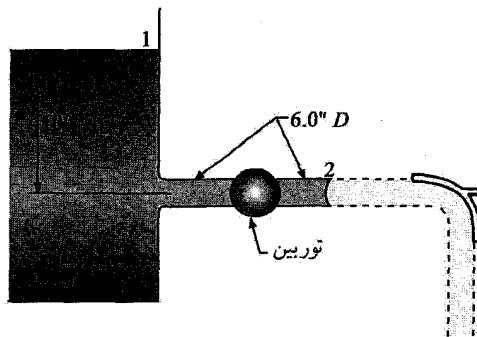
که  $\rho$  چگالی شاره،  $A$  سطح مقطع لوله و  $V$  آهنگ جرمی جریان تقسیم بر  $\rho A$  است.

نیمرخ سرعت از معادله  $u = V_c [1 - (r/R)^2]$  به‌دست می‌آید که  $R$  شعاع لوله است.

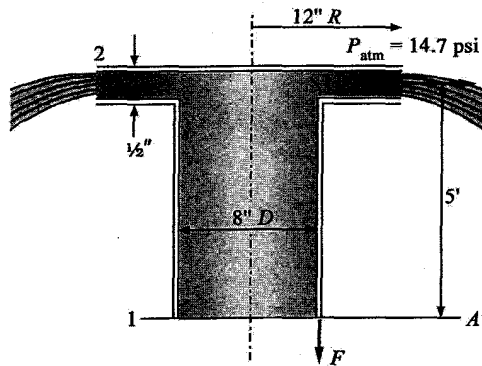
۳-۲۴ آب از مخزنی بزرگ وارد لوله می‌شود و در موقع خروج از لوله به یک تیغه منحرک‌کننده  $90^\circ$ ، همچون شکل ۳-۴۵، برخورد می‌کند. اگر نیروی رانش افقی ۲۰۰ lb بر تیغه منحرک‌کننده وارد شود، توان توربین برحسب اسب‌بخار چقدر است؟

۳-۲۵ آب به‌طور پایا از میان لوله‌ای قائم بالا می‌رود و وارد ناحیه حلقوی بین صفحه‌های گرد می‌شود (شکل ۳-۴۶). سپس، به‌طور شعاعی به شکل ورقه آزاد آب از فاصله صفحه‌ها خارج می‌شود. (الف) اگر از نیروی اصطکاک به‌طور کلی صرف‌نظر کنیم، جریان آب از لوله چقدر است؟ فشار در  $A$  برابر ۲۴۷ psi است. (ب) نیرو را در جداره لوله در مقطع  $A$  تعیین کنید. از وزن لوله صرف‌نظر کنید.

۳-۲۶ واتنی با سرعت  $V = 100 \text{ ft/s}$  در سطح زمین تحت تأثیر نیروی ثابت  $F = 1000 \text{ lb}$  حرکت می‌کند. در زمان  $t = 0$  بار وانته از



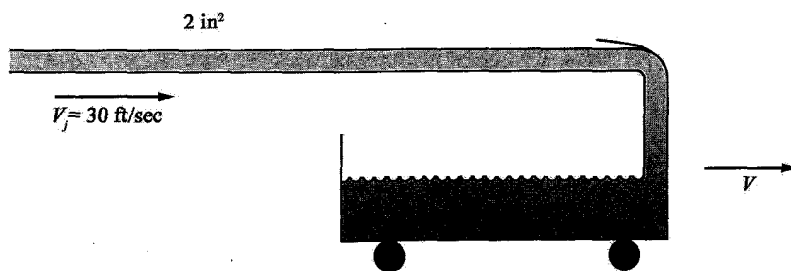
شکل ۴۵-۳



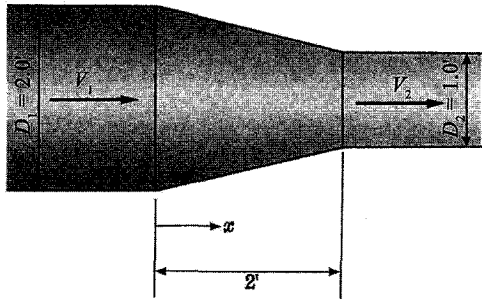
شکل ۴۶-۳

سوراخی در کف وانت بیرون می‌ریزد. با فرض اینکه بار وانت با آهنگ  $10 \text{ lb/s}$  و به طور قائم بیرون می‌ریزد و وانت تحت تأثیر نیروی ثابت  $F$  حرکت می‌کند، سرعت وانت را پس از  $20$  ثانیه به دست آورید. جرم اولیه بار  $2000 \text{ lb}$  است.

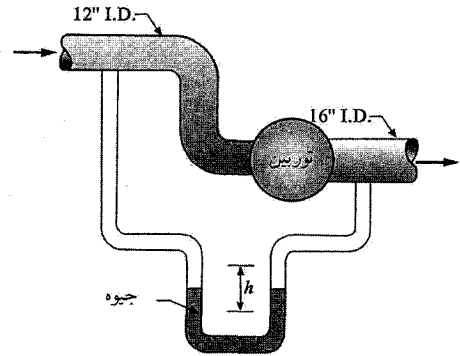
۲۷-۳ مخزن آبی به شکل واگن (شکل ۴۷-۳) در مسیری اصطکاک تختی به وسیله جت آب حرکت می‌کند، جت آب دارای سرعت افقی  $30 \text{ ft/s}$  است. سطح مقطع جت آب  $2$  اینچ مربع است. جت آب از واگن سبقت می‌گیرد، به انتهای آن برخورد می‌کند و به درون واگن می‌ریزد. هیچ آبی به بیرون نمی‌ریزد. در زمان  $t = 0$  سرعت واگن  $V = 10 \text{ ft/s}$  و جرم واگن و آب درون آن  $100 \text{ lb}$  است. زمان لازم برای اینکه واگن بتوان شتاب بگیرد و سرعت آن از  $10 \text{ ft/s}$  به  $20 \text{ ft/s}$  برسد را به دست آورید. فرض کنید در تمام مدت جت آب واگن را تعقیب می‌کند و به درون آن می‌ریزد.



شکل ۴۷-۳



شکل ۴۹-۳



شکل ۴۸-۳

۳-۲۸ هنگامی که آب به طور پایا در درون توربین موجود در شکل ۳-۴۸ جریان دارد، توربین ۷۵ اسب بخار توان تولید می‌کند. آهنگ جریان آب  $1200 \text{ lb/s}$  است. قطر درونی لوله ورودی به توربین  $12''$  و قطر درونی لوله خروجی  $16''$  است. بقیه لوله‌کشیها را نشان نداده‌ایم و فشار ورودی و خروجی مشخص نیست. تغییر در ارتفاع لوله‌ها نیز مشخص نشده است. فشارسنج متصل به لوله ورودی و خروجی حاوی جیوه است. ارتفاع  $h$  بین ستونهای جیوه تحت شرایط جریان پایا چقدر است و در کدام ستون ارتفاع جیوه بالاتر می‌رود؟

۳-۲۹ لوله‌ای مطابق شکل ۳-۴۹ دارای قسمت همگراست. در زمان خاصی سرعت آب ورودی  $V_1 = 30 \text{ ft/s}$  است و با آهنگ  $2 \text{ ft/s}^2$  تغییر می‌کند. گرادینان فشار  $(dp/dx)$  را در  $x = 1 \text{ ft}$  و زمانی که  $V_1 = 30 \text{ ft/s}$  است تعیین کنید. فرض کنید که سرعت در هر مقطعی یکنواخت است.

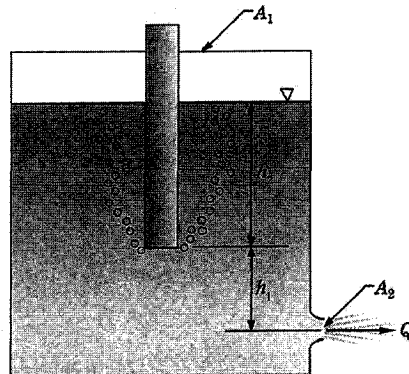
۳-۳۰ معادله تکانه را برحسب تنشها در مختصات استوانه‌ای با استفاده از شکل انتگرالی برای جزء حجم مناسب به دست آورید.

۳-۳۱ مسئله ۳-۳۰ را در مختصات کروی تکرار کنید.

۳-۳۲ جزئیات به دست آوردن معادله انرژی را بنویسید.

۳-۳۳ در مسئله ۳-۸، اگر به جای افزایش آهنگ جریان شاره، کاهش آهنگ جریان داشته باشیم، شتاب را به دست آورید.

۳-۳۴ استوانه سر بسته‌ای دارای لوله‌ای مرتبط با جواست و به اندازه  $h_2$  به درون محفظه شماره تراکم ناپذیر فرو رفته است (شکل ۳-۵۰). شماره از طریق شیپوره‌ای به مقطع  $A_2$  در فاصله  $h_1$  از انتهای لوله تخلیه می‌شود. اگر سطح مقطع استوانه  $A_1$  باشد آهنگ جریان  $Q$  را برحسب زمان به دست آورید.

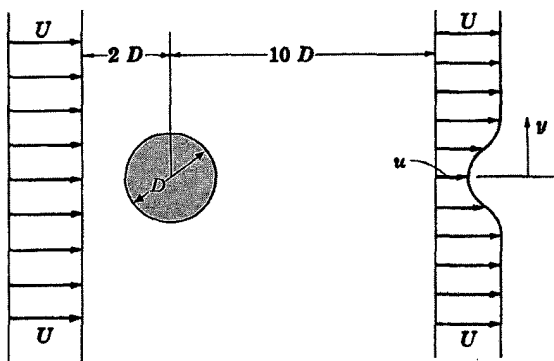


شکل ۵۰-۳



داده‌های سرعت در فاصله  
 ۱° برابر قطر در پایین دست جریان:

$y/D$	$u/U$
0	0.5
0.5	0.6
1.0	0.8
1.5	0.9
2.0	1.0



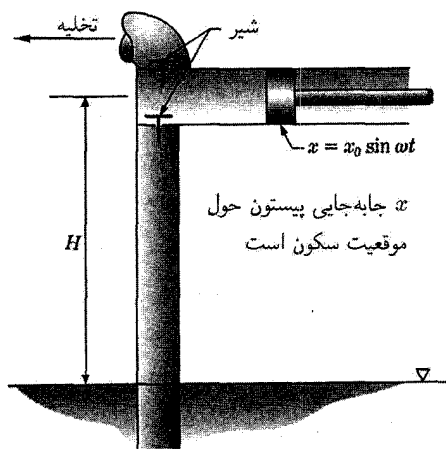
شکل ۵۱-۳

۳۵-۳ مسئله ۱۱-۳ را با انتخاب حجم معیاری که سطح بالایی آن روی خط جریان قرار می‌گیرد، دوباره حل کنید.

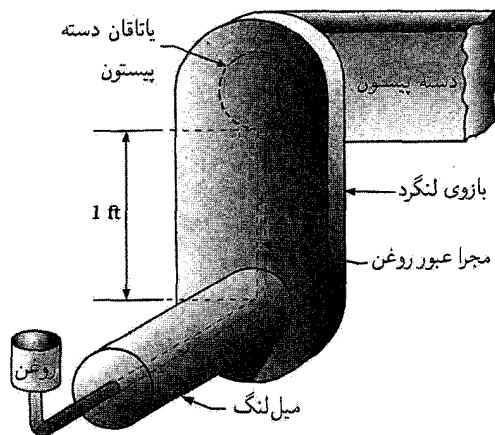
۳۶-۳ استوانه‌ای در جریان یکنواخت شاره تراکم‌ناپذیری با چگالی  $\rho$  (شکل ۵۱-۳) قرار دارد. نیمرخ سرعتها را در بالادست و پایین دست جریان، همچون در شکل، اندازه گرفته‌اند. نیروی پسای وارد بر استوانه در واحد طول را به دست آورید. راهنمایی: حجم بزرگ اطراف استوانه را به عنوان حجم معیار در نظر بگیرید.

۳۷-۳ یاتاقان دسته پیستونی به روغن کاری نیاز دارد. این کار با روغن مخصوصی با وزن مخصوص ۸ انجام می‌شود. روغن باید از مرکز میل لنگ در فشار جو تزریق شود. روغن از طریق سوراخ باریکی به یاتاقان دسته پیستون می‌رسد. سرعت دورانی (rpm) کمینه میل لنگ چقدر باید باشد تا فشار روغن در یاتاقان دسته پیستون موقعی که بازوی لنگ در موقعیت قائم قرار دارد، همچون شکل ۳-۵۲، مثبت باشد؟

۳۸-۳ پمپ آبی مطابق شکل ۳-۵۳ آب را از مخزنی به ارتفاع  $H$  می‌رساند. حرکت پیستون پمپ سینوسی است. در سرعت‌های بسیار بالا معلوم شده است که جلو پیستون حباب ایجاد می‌شود و باعث برگشت آب به مخزن خواهد شد. این پدیده‌ای ناخواسته است و پمپ به راه‌اندازی دوباره نیاز خواهد داشت. بسامد بیشینه پیستون چقدر باید باشد تا در موقعیت نقطه مرگ پایین کاویتاسیون ایجاد نشود. کاویتاسیون در شرایطی رخ می‌دهد که فشار شماره به مقدار صفر مطلق می‌رسد، یا دست کم به این حد می‌گراید. این بسامد بیشینه مقداری حدی است و اگر بسامد از این حد فراتر رود، فشار بر روی سطح پیستون افت پیدا می‌کند و به زیر صفر مطلق می‌رسد؛ بسامد نتیجه آن کاویتاسیون و جدایش شماره است.



شکل ۵۳-۳



شکل ۵۲-۳

## نمادگذاریهای فصل ۳

سطح	=	$A$
بردار شتاب	=	$a$
بردار نیروی حجمی در واحد حجم	=	$\mathbf{B}$
مشتق کامل یا مادی	=	$D/D_t$
انرژی کل واحد جرم ( $e = u + V^2/2 + gz$ )	=	$e$
تانسور آهنگ تنش	=	$e_{ij}$
انرژی کل	=	$E$
شتاب گرانی موضعی	=	$g$
افت هد	=	$H_L$
جرم	=	$m$
شار جرمی	=	$\dot{m}$
بردار تکانه	=	$\mathbf{M}$
فشار	=	$p$
انتقال گرمای واحد جرم شماره سیال	=	$q$
بردار شار گرما (آهنگ جهت‌دار انتقال گرمای واحد سطح)	=	$\mathbf{q}$
بردار شار گرمای تابشی	=	$\mathbf{q}_r$
آهنگ تولید گرمای درونی واحد حجم	=	$g'''$
گرمای کل انتقالی به سیستم، آهنگ جریان حجمی	=	$Q$
مؤلفه شعاعی	=	$r$
آنتروپی واحد جرم	=	$s$
آنتروپی سیستم	=	$S$
زمان	=	$t$
دمای مطلق	=	$T$
گشتاور حول محور $z$	=	$T_z$
سرعت در جهت $x$ ، انرژی درونی واحد جرم	=	$u$
سرعت در جهت $x_i$ ( $i = 1, 2, 3$ )	=	$u_i$
انرژی درونی دستگاه، سرعت جریان آزاد	=	$U$
سرعت در جهت $y$	=	$v$
بردار سرعت	=	$\mathbf{V}$
سرعت مماسی	=	$V_t$
حجم	=	$\mathcal{V}$
سرعت در جهت $z$	=	$w$
کار انجام‌شده توسط سیستم	=	$W$
کار انجام‌شده توسط محور به وسیله واحد جرم جریان شاره	=	$w_s$
کار انجام‌شده به وسیله واحد جرم جریان شاره	=	$w$
مختصه‌های $x_1$ و $x_2$ و $x_3$	=	$x_i$
مختصه‌های مربوط به $(x_3, x_2, x_1)$	=	$x, y, z$

$$\alpha = \text{زاویهٔ بین عمود بر سطح و بردار سرعت}$$

$$\gamma_{ij} = \text{تانسور آهنگ تنش برشی}$$

$$\delta_{ij} = \text{دلتهای کرونکر} \begin{cases} 1 & i = j \\ 0 & i \neq j \end{cases}$$

$$\theta = \text{آهنگ تولید آنتروپی واحد حجم}$$

$$\kappa = \text{رسانش گرمایی}$$

$$\mu = \text{گرانروی}$$

$$\nu = \text{گرانروی جنبشی}$$

$$\rho = \text{چگالی (جرمی)}$$

$$\sigma_{ij} = \text{تانسور تنش، } \sigma'_{ij} = \text{تانسور تنش انحرافی}$$

$$\Phi = \text{تابع اتلاف}$$

$$\psi = \text{پتانسیل گرانشی، تابع جریان}$$

$$\omega = \text{بردار سرعت گردشاری}$$

$$\Omega = \text{بردار سرعت زاویه‌ای}$$

$$\Omega'_{ij} = \text{تانسور دورانی}$$

## تحلیل ابعادی و تشابه

### ۴-۱ تشابه در دینامیک شاره‌ها

نتایج بسیار مهمی از مباحث ابعادی را می‌توان در مکانیک شاره‌ها به دست آورد. پارامترهای مربوط به هر وضعیت فیزیکی را می‌توان با گروه‌های مستقل بی‌بعد که جریان شاره را مشخص می‌کنند، ادغام کرد. این پارامترهای بی‌بعد به دقت تعریف و در دینامیک شاره‌ها نامگذاری شده‌اند. این پارامترهای بی‌بعد را، که II نامیده می‌شوند، می‌توان با روش تحلیل ابعادی یا مستقیماً از معادلات دیفرانسیل حاکم، که نتیجه آن بی‌بعد کردن رابطه‌هاست، به دست آورد.

مسئله مربوط به جریان شاره مانند جریان موجود بر روی اجسام جامد را در نظر بگیرید. طرح و خواص جریان شاره از روی شکل هندسی جسم و پارامترهای شاره مربوط تعیین می‌شوند. می‌گوییم دو شاره مشابه‌اند اگر از نظر هندسی شبیه هم باشند و تمام پارامترهای بی‌بعد مربوط آنها برای هر دو شاره یکسان باشد. مدلی (نظیر تونل باد) و نمونه کوچک شده‌ای را در نظر می‌گیریم. چگونه می‌توان اندازه‌گیریهایی انجام شده بر روی این مدل را به نمونه کوچک شده مربوط کرد؟ جواب این است که با روشهای تشابه، یعنی با یکسان‌سازی شکل هندسی و II‌های یکسان برای هر دو می‌توان این کار را انجام داد.

مفهوم جریان مشابه و رابطه مدل-نمونه کوچک شده را می‌توان با بررسی شکل بی‌بعد معادلات حاکم درک کرد. روشن است که اگر تمام معادلات دیفرانسیل مربوطه بی‌بعد نوشته شوند، اندازه جسم، اگر شکل آن از نظر هندسی متشابه باشد، اهمیت ندارد. پارامترهای بی‌بعد (که به صورت ضریبهای بی‌بعد در معادلات دیفرانسیل ظاهر می‌شوند) باید برای هر دو جریان یکسان باشند. این پارامترها به خواص شاره و ابعاد فیزیکی مشخصه جسم (به عنوان مرجع) بستگی دارند. بنابراین در جریانهای مشابه، معادلات دیفرانسیل توصیف‌کننده برای مدل و نمونه کوچک شده یکسان

هستند. اندازه‌گیریها را می‌توان برای هر متغیر بی‌بعد مثلاً فشار بی‌بعد، بر روی مدل انجام داد. مقدار فشار بی‌بعد مناسب برای مدل و برای نمونه کوچک شده یکسان است، و با تبدیل کمیت‌ها به شکل بعددار، داده‌های گرفته شده از روی مدل را می‌توان مستقیماً برای نمونه کوچک شده به‌کار برد. به‌طور خلاصه، دو جریان را مشابه می‌گویند، اگر پارامترهای بی‌بعد متغیرها، صرف‌نظر از اندازه طرح جریان، یکسان باشند، به شرطی که شباهت هندسی آنها حفظ شده باشد.

در عمل، همیشه ممکن نیست که تمام پارامترهای بی‌بعد را برای مدل و نمونه کوچک شده در یک زمان یکسان کرد. در چنین حالتی باید مصالحه صورت گیرد، اما، در بیشتر جریانه‌های مهم شباهتهای کافی برای سودمند کردن این روش وجود دارد. غالباً فقط تعداد خاصی از پارامترهای بی‌بعد برای هر جریان مفروض مهم هستند و این واقعیت که تمام پارامترها را نمی‌توان یکسان کرد، اهمیتی ندارد.

در بخش بعد، معادلات دیفرانسیل اصلی مکانیک شاره‌ها را بررسی می‌کنیم و به ماهیت معادلات دیفرانسیل بی‌بعد پی خواهیم برد. اما نخست، از روش دیگری برای یافتن پارامترهای بی‌بعد برای هر مسئله مفروض، یعنی تحلیل ابعادی، استفاده می‌کنیم.

تحلیل ابعادی یا قضیه  $P_2$  بوکینگهام. روشی برای یافتن پارامترهای بی‌بعد مربوط، بدون اطلاع از معادلات دیفرانسیل مربوط، است. این روش مستلزم دانستن تمام متغیرهای مربوط در هر مسئله مفروض است. بنابراین، این متغیرها با هم ترکیب می‌شوند و به‌صورت چندین گروه بی‌بعد مستقل II در می‌آیند. روش نظام‌مند دستیابی به این IIها را در مسئله ۴-۸ آورده‌ایم. مزیت چنین روشی این است که به دانستن معادلات حاکم یا قانونهای این مسائل پیچیده نیاز نیست، اما باید تمام متغیرها را شناخت و فقط متغیرهای مربوط را وارد مسئله کرد. افزودن متغیرهای نامربوط یا حذف هر متغیر مربوط باعث بی‌اعتبار شدن تحلیل خواهد شد. این محدودیتها نسبتاً جدی‌اند و معمولاً بهتر است تحلیل را از معادلات دیفرانسیل حاکم شروع کنیم. در هر صورت، به محض یافتن پارامترها، داده‌های تجربی را می‌توان به‌دست آورد و به‌صورت پارامترهای بی‌بعد همبسته کرد. تعداد IIها برای هر مسئله مفروض ثابت است و معمولاً، اما نه همیشه، برابر است با تعداد کل متغیرها منهای تعداد ابعاد اصلی. در مکانیک، سه‌بعد اصلی وجود دارد که مستقل از هم هستند. گزینه واقعی اختیاری است، اما سه گزینه بسیار متداول عبارت‌اند از جرم، طول و زمان؛ البته، در جریان تراکم‌پذیر، دما نیز به‌عنوان متغیر وارد می‌شود، بنابراین چهار متغیر اصلی وجود دارند.

مجموعه IIهای اصلی را باید به‌گونه‌ای انتخاب کرد که مستقل باشند. در واقع، تعدادی از IIها را از ضرب یا تقسیم IIهای دیگر می‌توان به‌دست آورد، اما تعداد IIهای مستقل برای هر مسئله مفروض ثابت است. بنابراین، مجموعه‌ای یکتا از IIها برای هر مسئله وجود ندارد؛ اما در مکانیک شاره‌ها پارامترهای بی‌بعد خاصی وجود دارند که معمولاً بررسی می‌شوند و دارای اهمیت فیزیکی‌اند.

پس از یافتن مجموعه IIها، آنها را می‌توان به شکل تابع بیان کرد؛ یعنی هر یک از IIها را می‌توان به‌صورت تابع IIهای دیگر نوشت. این شکل تابعی را نمی‌توان با روش تحلیل ابعادی به‌دست آورد، بلکه آن را می‌توان فقط با حل کردن معادلات حاکم و یا به کمک آزمایش یافت. در کارهای تجربی، بهتر است که نتایج را به شکل بی‌بعد به‌صورت نمودارهای II بیان کرد. از این رو، همبستگی بین IIها را می‌توان تعیین کرد. گذشته از حذف مقیاس آزمایش به‌عنوان یک پارامتر، شکل بی‌بعد معادلات باعث کاهش تعداد متغیرها تا حداقل سه برابر می‌شود. تحلیل ابعادی ابزاری حیاتی در تمام آزمایشهای علمی و مهندسی‌ست.

## ۴-۲ پارامترهای جریان تراکم‌ناپذیر

در جریان تراکم‌ناپذیر برای بیان خواص جریان فقط به معادلات حرکت و پیوستگی نیاز است. در این معادلات چهار متغیر مستقل وجود دارند — سه مؤلفه سرعت و یک مؤلفه فشار — که در چهار معادله ظاهر می‌شوند. وانگهی، پارامترهای دیگری مانند خواص شاره، گرانروی و چگالی، و پتانسیل گرانشی وجود دارند که در فرمولبندی II وارد می‌شوند.

اگر متغیرهای بی‌بعد زیر را، به‌صورت مستقل و غیرمستقل، معرفی کنیم (که با ستاره مشخص شده‌اند)، این معادلات را می‌توان به شکل بی‌بعد و بهنجار شده نوشت

$$p^* = p/\rho V_0^2, \quad \mathbf{V}^* = \mathbf{V}/V_0, \quad t^* = t/t_0 = tV_0/L, \quad \mathbf{r}^* = \mathbf{r}/L, \quad \psi^* = \psi/gL \quad (1-4)$$

که شاخص پایین صفر مقدار مشخصه، و  $L$  بعد مشخصه را نشان می‌دهد. به عنوان مثال، اگر جریان خارجی را در پیرامون استوانه در نظر می‌گیریم،  $L$  قطر و  $V_0$  سرعت جریان آزاد می‌بود.  $\psi$  پتانسیل گرانشی است. معادله حرکت برحسب این متغیرها به شکل برداری زیر نوشته می‌شود

$$\frac{\partial \mathbf{V}^*}{\partial t^*} + \nabla^* (V^{*2}/2) - \mathbf{V}^* \times (\nabla^* \times \mathbf{V}^*) = -\nabla^* p^* + \frac{1}{\text{Re}} \nabla^{*2} \mathbf{V}^* - \frac{1}{F_r} \nabla^* \psi^* \quad (2-4)$$

و معادله پیوستگی عبارت است از

$$\nabla^* \cdot \mathbf{V}^* = 0 \quad (3-4)$$

در این رابطه  $\text{Re}$  عدد رینولدز  $\frac{\rho L V_0}{\mu}$  و  $F_r$  عدد فرود  $\frac{V_0^2}{gL}$  است، که  $\rho$  چگالی جرمی و  $\mu$  گرانروی مطلق یا دینامیکی است. هر دو عدد بی‌بعد هستند و بیانگر دو پارامتری هستند که باید مساوی هم قرار داده شوند تا تشابه به‌وجود آید. تعداد کل II‌های مربوط برای هر شکل هندسی مفروض دو عدد  $\text{Re}$  و  $F_r$  هستند، که همان دو متغیر مستقل بی‌بعد  $r^*$  و  $t^*$  (اگر مسئله مستقل از زمان باشد) و یک متغیر غیرمستقل بی‌بعد نظیر  $p^*$  یا  $\mathbf{V}^*$  خواهند بود. تعداد کل متغیرها و پارامترها ده عدد است (شامل مؤلفه  $\mathbf{r}$  و  $\mathbf{V}$  و پتانسیل گرانشی و گرانروی)، بنابراین تعداد کل II‌های مستقل هفت عدد خواهد بود. این حالتی است که معمولاً وجود دارد.  $\text{Re}$  و  $F_r$  همراه با  $t^*$  و سه مؤلفه  $\mathbf{r}^*$  و یک متغیر بی‌بعد غیرمستقل نظیر  $p^*$  یا یک مؤلفه  $\mathbf{V}^*$  تشکیل هفت متغیر را می‌دهند. با مشخص شدن این هفت II. پارامترهای دیگر را می‌توان از معادلات به‌دست آورد، زیرا آنها مستقل نیستند.

اکنون، معادلات (۲-۴) و (۳-۴) کاملاً بی‌بعد هستند، به‌گونه‌ای که جریان موجود بر روی اجسامی که اندازه‌های متفاوت دارند ولی از نظر هندسی متشابه هستند، اگر دو پارامتر مشخصه شاره، یعنی عدد رینولدز  $\text{Re}$  و عدد فرود  $F_r$  یکسان باشند، باید دارای جوابهای یکسان برحسب این متغیرهای بی‌بعد باشند.

این اعداد اهمیت فیزیکی دارند. عدد رینولدز معیار نسبت نیروی لختی به نیروی گرانروی است. وقتی عدد رینولدز کوچک است ( $\text{Re} \ll 1$ )، نیروهای گرانروی غالب و وقتی که  $\text{Re} \gg 1$  نیروهای لختی غالب خواهند بود. عدد فرود  $F_r$  معیار نسبت نیروی لختی به نیروی گرانشی است. با بررسی معادله (۲-۴) در می‌یابیم که وقتی هر دو عدد  $\text{Re}$  و  $F_r$  بسیار بزرگتر از ۱ هستند، نیروی لختی باید با نیروهای فشاری خشن شوند. در بسیاری از جریانها عدد فرود نسبتاً بزرگ، و نیروی گرانشی بی‌اهمیت است و فقط عدد رینولدز است که در مدل‌سازی اهمیت دارد. مدل‌سازی کشتیهای دریایی، با توجه به اهمیتی که موجهای گرانشی در این فرایند دارند، از این قاعده مستثنی است. بدبختانه، در مدل‌سازی جریان تراکم‌ناپذیر معمولاً فقط یکی از عددهای رینولدز یا فرود را می‌توان برای مدل و نمونه کوچک‌شده یکسان ساخت.

در مدل‌سازی می‌توان نوشت

$$\text{Re}_m = \left( \frac{\rho L V_0}{\mu} \right)_m = \left( \frac{\rho L V_0}{\mu} \right)_p = \text{Re}_p \quad (4-4)$$

که  $m$  و  $p$  به ترتیب بیانگر مدل و نمونه کوچک‌شده هستند، همچنین

$$F_{r_m} = \left( \frac{V_0^2}{gL} \right)_m = \left( \frac{V_0^2}{gL} \right)_p = F_{r_p} \quad (5-4)$$

اما این دو شرط را نمی‌توان همزمان برقرار کرد. در آئوردینامیک عدد رینولدز مهم است و شرط (۴-۴) بدون توجه به (۵-۴) برقرار است (زیرا نیروی گرانشی بی‌اهمیت، و  $F_r$  بسیار بزرگ است). اما، در مدل‌سازی کشتیها وضعیت پیچیده‌تر است و دو آزمایش باید انجام داد، یکی با عددهای رینولدز مساوی (برای تعیین پسای گرانروی) و دیگری با عددهای  $F_r$  مساوی (برای تعیین پسای موج گرانشی).

با توجه به قضیه  $P_i$  بوکینگهام، با داشتن  $\text{Re}$  و  $F_r$  می‌توان این متغیرهای بی‌بعد وابسته را به صورت تابعهای  $\text{Re}$ ،  $F_r$ ، و متغیرهای بی‌بعد مستقل نوشت.

به‌عنوان مثال،

$$p^* = f(\text{Re}, F_r, \mathbf{r}^*, t^*)$$

یا هر تابع پایای  $p^*$ ، همچون برآ، را می‌توان فقط به‌صورت تابع  $\text{Re}$  یا  $F_r$  محاسبه کرد و متغیر  $\mathbf{r}^*$  را از انتگرال خارج ساخت. بعداً خواهیم دید که برآ و (نیروی بالابر) پسای (پس‌کشی) بی‌بعد موجود بر روی جسم فقط تابع عدد رینولدز (البته، برای هر شکل هندسی مفروض) خواهد بود.

نکته مهم دیگر در اینجا، اثبات هم‌ارزی روش قضیه Pi بوکینگهام و روش بهنجارش معادله است. در روش اخیر، مجموعه پارامترهای مشخصه همچون  $\text{Re}$  و  $F_r$  به‌صورت ضریب در معادلات حاکم ظاهر می‌شوند. برای هر شکل هندسی مفروض می‌توان گفت که هر متغیر وابسته بی‌بعد فقط به این پارامترهای مشخصه و متغیرهای مستقل بی‌بعد بستگی دارد، که قبلاً در خصوص فشار نیز اشاره شد. از سوی دیگر، اگر کار را بدون معادله از صفر آغاز می‌کردیم و بدون اینکه سؤال کنیم برای هر جریان مفروض چه متغیرهایی در تعیین بعضی از ویژگیهای رفتار جریان بر روی جسم مهم و مناسب هستند، روشن است که تمام متغیرها و خواص مربوط جریان همچون  $t, \mathbf{r}, p, \mu, L, V, \rho$  را انتخاب، و آنها را به‌صورت مجموعه کمیت‌های بی‌بعد ترکیب می‌کردیم. حتی اگر بتوانیم تمام متغیرها و خواص مربوط را انتخاب کنیم، هنوز با مشکل ترکیب آنها با ساده‌ترین روش و سپس تفسیر فیزیکی آنها مواجه‌ایم. مثلاً دوباره سؤال می‌کنیم: توزیع فشار جریان پایا بر روی جسم چگونه است و به چه چیزی بستگی دارد؟ برای هر شکل مفروض، داریم

$$p = f(L, V, \mathbf{r}, \mu, \rho, g) \quad (۴-۶)$$

در اینجا، نه متغیر داریم که باید به شش متغیر بی‌بعد تبدیل شوند. این متغیرها عبارت‌اند از  $\text{Re}, F_r, \mathbf{r}^* \cdot \mathbf{r}^*$  و سه مؤلفه اسکالر-نهای) دارد که هر یک از آنها متغیر مستقلی است.  $F_r$  می‌تواند پارامتر مهمی در مسئله موردنظر نباشد.  $p^*$  فشار موجود بر روی فشار جریان آزاد است. اگر بخواهیم فشار مطلق را بدانیم، باید پارامتر دیگری را به‌صورت فشار  $p_0$  در جریان آزاد تعریف کنیم که نتیجه آن پارامتر بی‌بعد دیگری مانند  $p_0 / \rho V^2$  است. این معمولاً ضرورتی ندارد، زیرا اصولاً در مسائل آئرودینامیک به دانستن اضافه فشار نیاز است.

### ۳-۴ پارامترهای جریان تراکم‌پذیر

در جریان تراکم‌پذیر، پارامترهای دیگری وارد می‌شوند. افزون بر معادله حرکت و پیوستگی، به معادله انرژی و معادله حالت نیاز است. متغیرهای بی‌بعد زیر را، افزون بر متغیرهای قبلی، معرفی می‌کنیم

$$\rho^* = \frac{\rho}{\rho_0}, \quad T^* = \frac{T}{T_0}, \quad M_0 = \frac{V_0}{a_0}, \quad a_0 = \sqrt{kRT_0}, \quad \Phi^* = \frac{L\Phi}{V_0^2 \nu \rho_0} \quad (۴-۷)$$

در اینجا،  $a_0$  سرعت معمولی صوت،  $\Phi$  تابع گران‌روی،  $k$  نسبت گرماهای ویژه،  $R$  ثابت عمومی گازها،  $T$  دمای مطلق، و گران‌روی سینماتیکی  $\nu = \frac{\mu}{\rho}$  است.

بدین ترتیب، معادلات بی‌بعد به شکل زیر در می‌آیند

معادله پیوستگی:

$$\frac{\partial \rho^*}{\partial t^*} + \nabla^* \cdot (\rho^* \mathbf{V}^*) = 0 \quad (۴-۸)$$

معادله حرکت:

$$\rho^* \left[ \frac{\partial \mathbf{V}^*}{\partial t^*} + (\mathbf{V}^* \cdot \nabla^*) \mathbf{V}^* \right] = -\nabla^* p^* + \frac{1}{\text{Re}} \nabla^{*2} \mathbf{V}^* + \left( \frac{1}{\text{Re}'} + \frac{1}{3\text{Re}} \right) \nabla^* (\nabla^* \cdot \mathbf{V}^*) - \frac{\rho^*}{F_r} \nabla^* \psi^* \quad (۴-۹)$$

معادله انرژی:

$$\rho^* \frac{DT^*}{Dt^*} = \frac{k(k-1)M_0^2 \Phi^*}{Re} - p^* \nabla^* \cdot \mathbf{V}^* [k(k-1)M_0^2] + \frac{k}{Re P_r} \nabla^{*2} T^* \quad (10-4)$$

معادله حالت:

$$p^* = \frac{1}{k M_0^2} \rho^* T^* \quad (11-4)$$

افزون بر ضریبهای بی بعد  $Re$  و  $P_r$ ، که در تحلیل شاره‌های تراکم‌ناپذیر وجود دارند، سه گروه بی بعد جدید ظاهر می‌شود. این عددهای جدید عبارت‌اند از عدد ماخ  $M_0$ ، که نسبت سرعت مشخصه  $V_0$  به سرعت صوت  $a_0$  است، عدد پرتل  $P_r$ ، که نسبت گران‌روی سینماتیکی  $\nu$  به پخشندگی گرمایی  $\alpha$  و  $\kappa$ ، بنابراین

$$P_r = \frac{\nu}{\alpha} = \frac{\mu c_p}{\kappa} \quad \text{و} \quad M_0 = \frac{V_0}{a_0}$$

که  $\mu$  گران‌روی،  $c_p$  گرمای ویژه در فشار ثابت،  $\kappa$  رسانندگی گرمایی و  $\alpha$  پخشندگی گرمایی است که به صورت  $\kappa/\rho c_p$  تعریف می‌شود. عدد پرتل نقش مهمی در انتقال گرمایی همرفت دارد، زیرا از نظر فیزیکی حاصل ضرب  $Re P_r$  معیار نسبت انتقال گرما با روش همرفت به انتقال گرما به کمک رسانش است. برای بیشتر گازها،  $P_r$  از مرتبه واحد و برای مایعات  $P_r$  ممکن است از  $10^1$  تا  $10^4$  تغییر کند. اگر رسانش گرمایی در شاره اهمیت داشته باشد، مقدار  $Re$  باید کوچک باشد. معمولاً در طبیعت  $Re$  کاملاً بزرگ است، بسیار بزرگتر از واحد، بنابراین فرایند همرفت غالب است. اما در بعضی از شرایطی که اهمیت مهندسی دارد،  $Re$  ممکن است کوچکتر از واحد باشد و هر دو حالت انتقال گرما، یعنی رسانش و همرفت مهم شوند. به عنوان مثال، چنین حالتی در لایه نازک روغن در یاتاقان به وجود می‌آید.

بسیاری از ترکیبات دیگر متغیرها ممکن است گروه‌های بی بعد تشکیل دهند، ولی مستقل از آنهایی نیستند که اشاره شد. در بعضی از مسائل مهندسی بهتر است که گروه‌های بی بعد دیگر را ارائه کنیم. گاهی جمله  $\Phi^*$  را به صورت  $\kappa B_r / Re P_r \Phi^*$  می‌نویسند که  $B_r$  عدد برینکمن است و به صورت  $B_r = \mu V_0^2 / \kappa T_0$  تعریف می‌شود. نسبت  $E_c = B_r / p$  را گاهی عدد اکرت می‌گویند. روشن است که شکل  $\Pi$  مستقل نیست و می‌توان فقط یکی از پارامترهای  $M_0$ ،  $B_r$  یا  $E_c$  را، افزون بر  $Re$ ،  $P_r$  و  $k = \frac{c_p}{c_v}$  در معادله انرژی انتخاب کرد. عدد رینولدز دوم،  $Re'$  نیز وجود دارد که مبتنی بر ضریب دوم گران‌روی است، ولی فقط برای مسائل خاصی مانند تضعیف صوت و پاشندگی مهم است.

به طور خلاصه، جریان تراکم‌ناپذیر و تراکم‌پذیر را به صورت زیر مدل‌سازی می‌کنیم:

$Re$  مساوی: جریان گران‌رو و آئرو دینامیک فروصوتی.

$M_0$  و  $k$  مساوی: جریان تراکم‌پذیر پرسرعت و فراصوتی.

$Re$  و  $M_0$  مساوی: لایه مرزی تراکم‌پذیر.

$P_r$  مساوی: رسانش گرمایی.

$Re$ ،  $M_0$  و  $P_r$  مساوی: لایه مرزی تراکم‌پذیر با رسانش گرمایی.

$Re$  و  $F_r$  مساوی: مدل‌سازی کشتیها.

معمولاً فقط یک عدد را می‌توان در یک زمان برای مدل و نمونه کوچک شده یکسان در نظر گرفت، بنابراین برای مدل‌سازی اثرهای مختلف مورد نظر باید چندین آزمایش انجام شود؛ این گونه مدل‌سازیها ممکن است قدری پیچیده شوند و بیشتر از این در اینجا بحث نخواهند شد. اما غالباً دو پارامتر، مثلاً  $k$  و  $M_0$ ، را می‌توان هم‌زمان یکسان در نظر گرفت. اگر از هوا هم برای مدل و هم نمونه کوچک شده استفاده شود،  $k$  یکسان است و با مقیاس‌بندی مناسب  $M_0$  را نیز می‌توان یکسان کرد.



### ۴-۴ پارامترهای دیگر مورد استفاده در فرایند انتقال گرما از طریق همرفت آزاد در شارها

معادله حرکت به علت ورود یک عامل دیگر، یعنی اثرهای شناوری، پیچیده می‌شود. این اثرها، اگر گرادیان گرما و در نتیجه، گرادیان چگالی وجود داشته باشد، به همرفت آزاد می‌انجامد. در اینجا، فرض می‌کنیم که شماره اساساً تراکم‌ناپذیر است و ضریب دمای انبساط حجمی آن  $\beta$  است. معادله حرکت عبارت است از

$$\rho[\partial \mathbf{V} / \partial t + (\mathbf{V} \cdot \nabla) \mathbf{V}] = -\rho\beta g(T - T_0) + \mu \nabla^2 \mathbf{V} \quad (12-4)$$

که از اثرهای تراکم‌پذیری چشم‌پوشی شده است. در چنین مسائلی معمولاً سرعت مرجع وجود ندارد، و سرعت، زمان و دمای بی‌بعد جدیدی را به صورت زیر تعریف می‌کنیم؛

$$\mathbf{V}^\dagger = \mathbf{V}L\rho/\mu, \quad t^\dagger = t\mu/\rho L^2, \quad \Theta = (T - T_0)/(T_1 - T_0) \quad (13-4)$$

که  $T_1 - T_0$  اختلاف دمای مشخصه سیستم است، بنابراین معادله (۱۲-۴) به صورت زیر در می‌آید

$$\partial \mathbf{V}^\dagger / \partial t^\dagger + (\mathbf{V}^\dagger \cdot \nabla^*) \mathbf{V}^\dagger = -\nabla^{*2} \mathbf{V}^\dagger + \Theta \mathbf{G}_r \quad (14-4)$$

$G_r$  عدد گراشف است که به صورت زیر تعریف می‌شود

$$G_r = g\rho^2\beta(T_1 - T_0)L^3/\mu^2$$

در فرایند همرفت آزاد عدد رینولدز بی‌اهمیت است و وارد معادله نمی‌شود. در معادله انرژی معمولاً از اتلاف چشم‌پوشی می‌شود و اثرهای تراکم‌پذیری بی‌اهمیت هستند، بنابراین در شکل بی‌بعد، داریم

$$\frac{D\Theta}{Dt^\dagger} = \frac{1}{Pr} \nabla^{*2} \Theta \quad (15-4)$$

بنابراین، در همرفت آزاد فقط عددهای گراشف و پرنتل مهم هستند.

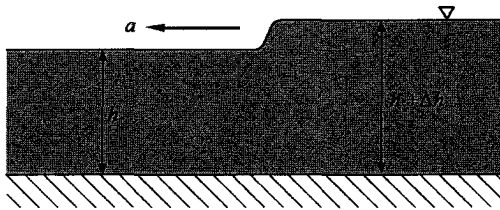
## مراجع

1. Birkhoff, G., *Hydrodynamics*, Dover Publications, 1955.
2. Bridgman, P. W., *Dimensional Analysis*, Yale University Press, 1931.
3. Buckingham, E., On Physically Similar Systems, *Physical Review*, Vol. 4, Ser. 2, p. 345, 1914.
4. Kline, S. J., *Similitude and Approximation Theory*, McGraw-Hill, 1965.
5. Langhoar, H. L., *Dimensional Analysis and the Theory of Modeling*, John Wiley, 1951.
6. Taylor, E. S., *Dimensional Analysis for Engineers*, Oxford, 1974.

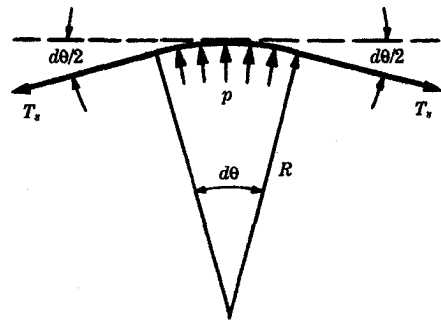
## مسائل حل‌شده

۱-۴ در جریان وابسته به زمان تراکم‌ناپذیری که با دوره تناوب  $\tau$  ناشی از جسم غوطه‌ور در شماره نوسان می‌کند، پارامترهای مشخصه جریان کدام‌اند؟ در جریان تراکم‌ناپذیر، فقط عدد رینولدز به صورت ضریب بی‌بعد ظاهر می‌شود. اگر معادله را برای دوره تناوب بی‌بعد  $\tau^* = \tau V_0 / L$  حل کنیم می‌توان نوشت

$$\tau^* = \frac{\tau V_0}{L} = f(\text{Re})$$



شکل ۲-۴



شکل ۱-۴

عدد بی بعد  $\frac{\tau V_0}{L}$  را به عنوان عدد استردهال می شناسند. چنین نوسانهایی در گردابه‌های کارمن در دنباله ایجاد می شود و در فصل ۵ بررسی خواهد شد.

۲-۴ چه پارامترهای جدیدی در مسائل شامل کشش سطحی وارد می شوند؟ معادلات حرکت برای جریان بدون کشش سطحی همانند معادلات حرکت دارای کشش سطحی است، اما شرایط مرزی متفاوت اند. در فصل مشترک مایع- هوا نیروی فشار باید با کشش سطحی خنثی شود و الزاماً همچون در سطح آزاد بدون کشش سطحی صفر نیست. اختلاف فشاری متناهی در طول فصل مشترک وجود دارد (اگر خمیده باشد) و با کشش سطحی خنثی می شود. حالتی دوبعدی را مطابق شکل ۱-۴ در نظر بگیرید. با توجه به تعادل، داریم

$$2T_s \left( \frac{d\theta}{2} \right) = pRd\theta$$

که  $R$  شعاع خمیدگی سطح و  $\theta \simeq \sin \theta$  برای  $\theta$  های کوچک است. بنابراین، با وارد کردن فشار و شعاع خمیدگی به صورت  $p^* = p = \rho_0 V_0^2$  و  $R^* = \frac{R}{L}$  می توان نوشت

$$T_s = p^* R^* (\rho_0 V_0^2 L)$$

کشش سطحی بی بعد  $T^*$  را به صورت زیر تعریف می کنیم

$$T_s^* = \frac{T_s}{\rho_0 V_0^2 L}$$

به گونه ای که

$$T_s^* = p^* R^*$$

پارامتر بی بعد  $\rho_0 V_0^2 L / T_s$  را عدد وبر می گویند.

۳-۴ در مایع کم عمقی اختلالهای سطحی کوچکی همچون شکل ۲-۴ انتشار می یابد. سرعت موج سطحی بی نهایت کوچک به چه عواملی بستگی دارد؟ گروههای بی بعد مربوط کدام اند؟

موجی مطابق شکل را در نظر بگیرید. اندازه سرعت  $a$  به ضخامت لایه  $h$  و مقدار شتاب گرانشی  $g$  بستگی دارد. تنها گروه بی بعد که می تواند تشکیل شود، عبارت است از

$$\Pi = \frac{a^2}{gh}$$

در اینجا، چون تعداد متغیرها سه تاست و تعداد یکه‌های اصلی (طول و زمان) دو تاست، فقط یک  $\Pi$  داریم، چون در این مسئله فقط یک  $\Pi$  وجود دارد، باید مقدار ثابتی داشته باشد.

$$\Pi = a^2/gh = \text{ثابت}$$

انفاقاً این عدد ثابت برابر واحد، و مقدار آن  $\sqrt{gh}$  است، اما این نتیجه را نمی‌توان از تحلیل ابعادی به دست آورد.

نکته دیگری که باید به یاد داشت این است که در اینجا چگالی شاره وارد نمی‌شود. اما، به این موضوع در ابتدا نمی‌توان پی برد و وارد کردن آن به  $\Pi$  های نامربوط و احتمالاً نتیجه‌های نادرست منجر می‌شود. این نکته همیشه مطرح است که، اگر با معادلات اصلی حاکم شروع نکنیم، چه متغیرهایی را می‌توان مربوط دانست.

مقایسه این نتیجه‌ها با نتیجه‌های مسئله ۳-۱۵، که به طور تحلیلی به دست آمدند، جالب خواهد بود.

۴-۴ هنگامی که دریچه لوله آبی را به طور ناگهانی می‌بندیم، موج ناشی از ضربه موج به وجود می‌آید. این گونه موجها فشارهای زیادی را به وجود می‌آورند که ممکن است به لوله آسیب برساند. با استفاده از تحلیل ابعادی فشار بیشینه ایجاد شده توسط این پدیده را تعیین کنید.

پارامترهای مربوط عبارت‌اند از: فشار بیشینه  $p_{\max}$ ، چگالی  $\rho$ ، سرعت جریان اولیه  $U_0$ ، مدول حجمی  $\beta$  (زیرا این موج باید به نوعی موج تراکمی باشد). در اینجا، دو نوع  $\Pi$  مستقل ممکن وجود دارد. با انتخاب آنها به صورت

$$\frac{U_0^2 \rho}{\beta} \quad \text{و} \quad \frac{p_{\max}}{\beta}$$

می‌توان نوشت:

$$p_{\max}/\beta = f(U_0^2 \rho/\beta)$$

با تحلیل ابعادی می‌توان تا اینجا پیش رفت. در واقع، در می‌یابیم که  $\frac{p_{\max}}{\beta} = \sqrt{\frac{U_0^2 \rho}{\beta}}$  بنابراین

$$p_{\max} = \sqrt{U_0^2 \rho \beta}$$

اما این رابطه را نمی‌توان بدون حل معادلات دیفرانسیل مربوط به دست آورد.

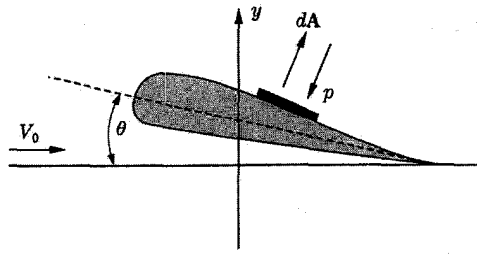
همچون مسئله قبل، سخنی درباره سرعت انتشار این موج ضربه قوی می‌توان گفت که سرعت موج  $a$  به چگالی  $\rho$  و مدول حجمی  $\beta$  بستگی دارد (اگر آن قدر خوش شانس باشیم که بتوانیم آن را به درستی حدس بزنیم)، بنابراین تنها  $\Pi$  که می‌تواند تشکیل شود  $a^2 \rho/\beta$  است و باید مقدار ثابتی داشته باشد. دوباره، اندازه سرعت واقعی  $\sqrt{\beta/\rho}$  است.

۵-۴ در آئرو دینامیک فروسوتی، چگونه می‌توان برآ را بر روی هواپر مدل کرد؟

برآی (نیروی بالابر) وارد بر جسم را می‌توان با انتگرال‌گیری از مؤلفه فشار عمود بر سطح جسم به دست آورد. فشار را می‌توان از معادله حرکت به دست آورد. در جریان پایا، فشار بی‌بعد به مکان جسم  $\mathbf{r}^*$  و عدد رینولدز بستگی دارد. اما، معمولاً بستگی آن به عدد رینولدز ضعیف است و اگر جریان آئرو دینامیکی باشد، همچون در هواپر واقعی، از وابستگی به عدد رینولدز می‌توان چشم‌پوشی کرد. برای هر شکل هندسی مفروض، از فشار می‌توان بر روی جسم انتگرال گرفت تا هنگام یافتن برآی  $L$ ، وابستگی  $\mathbf{r}^*$  حذف شود. اما حتی برای هر شکل هندسی مفروض، زاویه حمله  $\theta$  (زاویه نسبی برخورد جریان آزاد به جسم) بر روی برآ اثر می‌گذارد.

با مراجعه به شکل ۳-۴، نتیجه گیریم

$$L = - \int_A p \hat{y} \cdot d\mathbf{A}$$



شکل ۳-۴

که  $\hat{y}$  بردار واحد در جهت  $y$  است، و بنابراین

$$L^* = \frac{L}{\rho V_0^2 A_0} = - \int p^* \hat{y} \cdot dA^* = f(\theta)$$

که  $A_0$  سطح مشخصه هوا بر است و  $A^* = \frac{A}{A_0}$  بنابراین، برآ عبارت است از

$$L = C_L(\theta) \rho V_0^2 A_0 / 2$$

که  $C_L(\theta)$  را به عنوان ضریب برآ می‌شناسند، ضریب  $\theta$  به علت همرفتی وارد می‌شود، به گونه‌ای که  $\frac{\rho V_0^2}{2}$  را می‌توان به عنوان فشار دینامیکی تلقی کرد. معمولاً در آزمایشها، ضریب برآ را به صورت تابع  $\theta$  برای هر هوا بر مفروضی به دست می‌آورند.

۴-۶ در آئرو دینامیک فروصوتی پسا را چگونه مدل می‌کنند؟

معمولاً پسا از طریق اصطکاک پوستی ایجاد می‌شود؛ حتی اگر جسم آئرو دینامیکی نباشد، دنباله‌ای به وجود می‌آید و فشار پایین در دنباله بر اصطکاک پوستی (پسای گرانرو ناشی از لایه مرزی) غلبه می‌کند. در جریان موجود بر روی هوا بر، به علت تغییر زاویه مؤثر حمله که خود ناشی از فروزش است، پسای القایی نیز وجود دارد. برآ، که باید در زاویه‌های عمود بر جریان آزاد مؤثر موضعی باشد، مؤلفه‌ای در جهت اصلی جریان آزاد خواهد داشت (یعنی، در جهت خلاف حرکت جسم از میان شاره).

پسای القایی  $D$  را می‌توان برحسب انتگرال فشار فرمول‌بندی کرد و همچون برآ، می‌توان نوشت

$$D = C_D(\theta) \rho V_0^2 A_0 / 2$$

که  $C_D(\theta)$  ضریب پسا است.

اگر جسمهایی را در نظر بگیریم که آئرو دینامیکی نباشند و بخش عمده پسای آنها ناشی از پسای گرانرو و دنباله کم فشار باشد، جریان کاملاً تحت تأثیر عدد رینولدز خواهد بود (برخلاف برآ و پسای القایی)، و می‌توان گفت که اصطکاک پوستی انتگرال‌گیری شده و پسای دنباله باید تابع عدد رینولدز باشد (برای هر شکل هندسی مفروض). البته، هنوز وابستگی به زاویه برخورد را داریم، ولی فرض می‌کنیم که زاویه برخورد با تغییر عدد رینولدز ثابت می‌ماند. در واقع، زاویه برخورد متغیر مفیدی نخواهد بود، زیرا جسم آئرو دینامیکی نیست و زاویه برخورد اهمیت چندانی ندارد. زاویه برخورد متفاوت ناشی از شکل هندسی متفاوت است. بنابراین، پسا را می‌توان به شکل بی‌بعد زیر نوشت

$$D^* = \frac{D}{\rho V_0^2 A_0 / 2} = f(\text{Re}) = C_D(\text{Re})$$

بدین ترتیب: مفهوم ضریب پسا را حفظ می‌کنیم، ولی می‌گوییم که مقدار آن برای شکل هندسی مفروض ثابت نیست و به  $\text{Re}$  بستگی دارد. در حالت عمومی، می‌توان گفت که برای هر هوا بری با لایه مرزی جداکننده یا غیر از آن، داریم

$$C_D = f(\text{Re}, \theta)$$

۴-۷ افت فشار در لوله به اصطکاک دیواره بستگی دارد که خود به نوع جریان لایه‌ای یا متلاطم بستگی خواهد داشت. اگر جریان لایه‌ای باشد، اصطکاک دیواره به گرانروی بستگی دارد. اگر جریان متلاطم باشد، اصطکاک دیواره به عدد رینولدز و زبری دیواره بستگی خواهد داشت. چگونه می‌توان این افت فشار را مدل کرد؟

محاسبه افت فشار  $\Delta p$  در لوله‌ای به طول  $L$  باید بر اساس معادله حرکت باشد. بنابراین، افت فشار بی‌بعد در واحد طول لوله به عدد رینولدز و زبری لوله بستگی دارد که می‌توان آن را به صورت نسبت ارتفاع میانگین ناصافی سطح به قطر لوله، یعنی  $\frac{\epsilon}{D}$ ، نشان داد، از این رو

$$\frac{\Delta p^*}{L^*} = h(\text{Re}, \epsilon/D)$$

اگر طول بی‌بعد  $L^*$  را با  $\frac{L}{D}$  نشان دهیم، که  $D$  قطر لوله و  $h$  تابع  $\text{Re}$  و زبری لوله است، بر حسب فشار  $p$ ، داریم

$$\frac{\Delta p^*}{L^*} = \frac{\Delta p}{\rho V^2 L} \frac{D}{L} = h(\text{Re}, \epsilon/D)$$

اکنون افت هد  $H_L$  را از رابطه زیر می‌توان به دست آورد

$$H_L = \frac{\Delta p}{\rho g} = \frac{\Delta p^* V^2 L}{L^* D g}$$

از نظر فیزیکی  $H_L$  ارتفاع هم‌ارز دیفرانسیل جریان شاره‌ای است که افت فشار  $\Delta p$  را تولید می‌کند. یعنی، ستون شاره به ارتفاع  $H_L$  فشاری هیدروستاتیکی برابر  $\Delta p = \rho g H_L$  بی‌بعد عبارت است از

$$H_L^* = H_L \frac{D g}{V^2 L} = h(\text{Re}, \frac{\epsilon}{D}) = f/2$$

تابع  $h(\text{Re}, \frac{\epsilon}{D})$  را به صورت  $f/2$  می‌نویسند که  $f$  ضریب اصطکاک و عددی بی‌بعد است که به عدد رینولدز و همچنین زبری لوله، در جریان متلاطم، بستگی دارد.  $f$  را می‌توان بر حسب تنش برشی دیواره  $\tau_0$  به صورت زیر بیان کرد

$$f = \frac{8\tau_0}{\rho V^2}$$

سرانجام،

$$H_L = \frac{f L V^2}{D 2g}$$

داده‌های تجربی برای ضریبهای اصطکاک از اهمیت فراوانی در مسائل جریان لوله‌ها برخوردارند.

۴-۸ مسئله ۴-۷ را با استفاده از روش تفصیلی II بویکنگهام حل کنید. جریان شاره‌ای را در لوله در نظر بگیرید. پارامترهای مهم II را برای چنین جریانی تعیین کنید.

نخست، باید کمیتهای فیزیکی مهم را حدس بزنیم. فرض می‌کنیم که آنها عبارت‌انداز  $M$ ،  $L$  و  $T$ ، که به ترتیب بیانگر جرم، طول و زمان هستند.

کمیته فیزیک	$V$	$D$	$\rho$	$\mu$	$\epsilon$	$dp/dx$
بعد	$LT^{-1}$	$L$	$ML^{-3}$	$ML^{-1}T^{-1}$	$L$	$ML^{-2}T^{-2}$

که ارتفاع  $\epsilon$  میانگین زبری دیواره و  $dp/dx$  تغییر فشار در واحد طول در جهت جریان است.

شش کمیت فیزیکی شامل سه بعد اصلی داریم و بنابراین حداکثر سه جمله  $\Pi$  وجود خواهد داشت. اکنون، با در نظر گرفتن چهار کمیت فیزیکی در هر زمان، جمله‌های  $\Pi$  را تعیین می‌کنیم.

$$V^{x_1} D^{y_1} \rho^{z_1} \mu = (LT^{-1})^{x_1} L^{y_1} (ML^{-3})^{z_1} ML^{-1} T^{-1} = M^\circ L^\circ T^\circ$$

آن‌گاه

$$L \rightarrow x_1 + y_1 - 3z_1 - 1 = 0, \quad M \rightarrow z_1 + 1 = 0, \quad T \rightarrow -x_1 - 1 = 0$$

که از اینجا به دست می‌آید  $x_1 = -1, y_1 = -1, z_1 = -1$ ، بنابراین

$$\Pi_1 = \frac{\mu}{\rho V D} \quad \text{یا} \quad \Pi_1 = \frac{\rho V D}{\mu}$$

با همین روش می‌توان نوشت

$$V^{x_2} \rho^{y_2} D^{z_2} dp/dx = M^\circ L^\circ T^\circ \quad \text{و} \quad D^{x_3} \rho^{y_3} \mu^{z_3} \epsilon = M^\circ L^\circ T^\circ$$

که خواهیم داشت

$$\Pi_2 = \epsilon/D, \quad \Pi_3 = \frac{(dp/dx)D}{\rho V^2}$$

بدین ترتیب، داریم  $\Pi_3 = h(\Pi_1, \Pi_2)$  و

$$\frac{(dp/dx)D}{\rho V^2} = h(\rho V D/\mu, \epsilon/D) = h(\text{Re}, \epsilon/D)$$

که  $h$  بیانگر رابطه تابعی است.

رابطه تابعی بین این کمیتها را به طور تجربی تعیین می‌کنند. این نتیجه‌ها را به طور نموداری در فصل ۵ نشان داده‌ایم، که نمودار مودی یا استانتون نامیده می‌شود.

فایده کمیت‌های بی‌بعد را به راحتی می‌توان از این مثال دریافت. اگر بخواهیم هر یک از این پنج کمیت فیزیکی را مستقلاً تغییر دهیم، کار تجربی سنگینی باید انجام گیرد، در حالی که با کاهش آنها به سه کمیت بی‌بعد برنامه تجربی کاملی را در حد معقول می‌توان انجام داد.

معمولاً افت هد را در لوله‌ای به طول  $L$  به صورت  $H_L = \frac{\Delta p}{\rho g}$  می‌نویسند که  $\Delta p$  افت فشار در لوله است. بنابراین،  $\Delta p/L = dp/dx$ ، و می‌توان با استفاده از نتیجه‌های بالا نوشت

$$H_L^* = H_L \frac{Dg}{V^2 L} = \frac{(dp/dx)D}{\rho V^2} = f/2 = \text{تابعی از } (\text{Re} \text{ و } \epsilon/D)$$

که  $f$  ضریب اصطکاک است و با معادله بالا تعریف می‌شود. اکنون، افت هد را می‌توان برحسب  $f$  به صورت زیر بیان کرد

$$H_L = \left( \frac{fL}{D} \right) \left( \frac{V^2}{2g} \right)$$

۹-۴ هوابری به مساحت  $1 \text{ ft}^2$  برای تعیین برای  $L$  در تونل بادی آزمایش می‌شود. در زاویه حمله  $5^\circ$  با چگالی هوای استاندارد  $0.0024 \text{ slug/ft}^3$  و سرعت  $100 \text{ ft/s}$  میزان برآ برابر ۷ پوند است. ضریب برای  $C_L$  چقدر است؟ مقدار برای  $L_p$  نمونه کوچک شده‌ی بالی به مساحت  $100 \text{ ft}^2$  در سرعت باد  $100 \text{ m/h}$  با همان زاویه حمله  $5^\circ$  چقدر است؟

$C_L$  را می‌توان با استفاده از داده‌های مدل محاسبه کرد

$$C_L = \left( \frac{L}{A\rho V_0^2/2} \right)_m = \frac{\gamma_r}{1(0.70024)(100)^2/2} = 0.58$$

بنابراین،  $C_L$  برای این نمونه کوچک شده نیز همین مقدار است و برای  $L_p$  را به صورت زیر می‌توان یافت

$$L_p = \left( \frac{C_L A \rho V_0^2}{2} \right)_p = 0.58(100)(0.70024)(100 \times 88.60)^2/2 = 1500 \text{ lb}$$

۱۰-۴ درباره مدل‌سازی پمپ یا فن برای شماره تراکم‌ناپذیر بحث کنید. اصولاً مدل‌سازی برای هر ماشینی با جریان مرکزگزی یا محوری یکسان است. پارامترهای مهمی که عملکرد ماشین را بیان می‌کند عبارت‌اند از توان ورودی  $P$ ، هد  $H$  و بازده  $\eta$ . برای هر طرح هندسی مفروض، عملکرد با متغیرهای مربوط زیر مشخص می‌شود: چگالی شماره  $\rho$ ، سرعت زاویه‌ای روتور  $\omega$ ، قطر میانگین روتور  $D$ ، گرانروی شماره  $\mu$  و آهنگ جریان شماره  $Q$ .

$P$ ،  $gH$  و  $\eta$  مستقل نیستند، ولی تابع متغیرهای بالا هستند. بهتر است که به جای  $H$ ، از  $gH$  استفاده کنیم، زیرا حاصلضرب  $gH$  کار محور برای واحد جرم شماره را نشان می‌دهد و مستقل از  $g$  است. از این رو، می‌توان نوشت

$$P = f_1(\rho, \omega, D, Q, \mu)$$

$$\eta = f_2(\rho, \omega, D, Q, \mu)$$

$$gH = f_3(\rho, \omega, D, Q, \mu)$$

با استفاده از قضیه II بوکینگهام برای هر یک از معادلات، مجموعه II‌های مناسب را به صورت زیر می‌توان به دست آورد

$$P/\rho\omega^3 D^5 = f_4(Q/\omega D^3, \rho\omega D^2/\mu)$$

$$\eta = f_5(Q/\omega D^3, \rho\omega D^2/\mu)$$

$$gH/\omega^2 D^2 = f_6(Q/\omega D^3, \rho\omega D^2/\mu)$$

در اینجا نکته مهم این است که II‌ها ( $P/\rho\omega^3 D^5$ ،  $gH/\omega^2 D^2$  و  $\eta$ ) مستقل نیستند و با معلوم شدن II‌های دیگر، به دست می‌آیند. از داده‌های تجربی معلوم می‌شود که گرانروی و بنابراین  $\rho\omega D^2/\mu$  در تعیین عملکرد پمپ یا فن بی‌اهمیت است. از این رو، می‌توان از آن چشم‌پوشی کرد و سرانجام برای هر آرایه طراحی مفروض، خواهیم داشت

$$gH/\omega^2 D^2 = f_7(Q/\omega D^3), \quad P/\rho\omega^3 D^5 = f_8(Q/\omega D^3), \quad \eta = f_9(Q/\omega D^3)$$

معمولاً داده‌های تجربی را به صورت نمودار  $\pi$ ‌ها،  $gH/\omega^2 D^2$ ،  $P/\rho\omega^3 D^5$  و  $\eta$  برحسب  $Q/\omega D^3$  برای هر ماشین مفروض بیان می‌کنند.

## مسائل تکمیلی

۱۱-۴ مدل بالی فروصوتی را در تونل باد آزمایشگاهی می‌آزماییم و داده‌های زیر را به دست می‌آوریم

۸	۱۲	۱۴	۱۲	۱۰	۰	برآ (پوند)
۲۵°	۲۰°	۱۵°	۱۰°	۵°	۰°	زاویه حمله $\theta$

این آزمون در هوای استاندارد با سرعت  $100 \text{ ft/s}$  انجام می‌گیرد. فشار کل بال مدل  $1 \text{ ft}^2$  است. ضریب برای  $C_L$  را برحسب  $\theta$  رسم کنید. برای نمونه بال کوچک شده‌ای به مساحت  $100 \text{ ft}^2$ ، مقدار برآ در سرعت  $100 \text{ mi/h}$  و زاویه حمله  $5^\circ$  چقدر است؟

۱۲-۴ پرداخت کاری جدیدی برای داخل لوله‌های نفت به وجود آمده است. این پرداخت کاری را بر روی نمونه‌ای با قطر درونی  $12 \text{ in.}$  آزمایش می‌کنیم. آزمایش را با لوله  $10^\circ$  فوتی و آب (در دمای معمولی) با آهنگ جریانهای متفاوت انجام می‌دهیم. داده‌های زیر به دست می‌آید

افت فشار در لوله (فوت آب)	$0.11$	$0.78$	$2.8$	$15.3$
آهنگ جریان آب (gal/min)	۱۷۲	۴۷۵	۹۵۰	۷۸۶۰

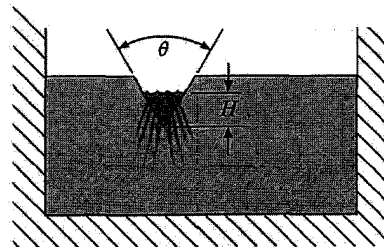
ضریب اصطکاک  $f$  (مسئله ۴-۷) را برحسب عدد رینولدز رسم کنید. برای لوله‌ای واقعی به قطر درونی  $12 \text{ in.}$ ، چه افت فشاری برحسب  $\text{psi}$  در هر مایل لوله با آهنگ جریان نفت خام  $5000 \text{ gal/min}$  رخ می‌دهد؟ افت فشار را برحسب فوت نفت خام و فوت آب تبدیل کنید.

۱۳-۴ مدل گنبدی نیم‌کروی را در تونل بادی برای تعیین برآ و ضریب برای  $C_L$  آزمایش می‌کنیم. گنبد واقعی در معرض وزش باد شدید  $10 \text{ m/h}$  در قطب شمال و در دمای  $40^\circ \text{F}$  قرار دارد. اگر قطر مدل یک فوت و قطر گنبد واقعی  $5^\circ$  فوت باشد و از هوای استاندارد استفاده شود، سرعت باد تونل چقدر خواهد بود؟ آیا سرعت مهم است؟ آیا می‌توان عدد رینولدز را در اینجا مدل کرد؟

۱۴-۴ مکانیسم فرود آئرو دینامیکی هواپیمایی کوچک را با مقیاس  $\frac{1}{3}$  برای تعیین پسا در تونل باد کوچکی مدل‌سازی کنیم. در این تونل باد از هوای استاندارد استفاده می‌شود. مساحت سطح جلویی مدل طراحی شده  $5^\circ$  فوت مربع است. اگر بخواهیم پسای وارد بر این نمونه کوچک شده را در سرعت پروازی  $100 \text{ m/h}$  تعیین کنیم، سرعت هوا در تونل چقدر باید باشد؟ پسای تونل باد، وقتی در سرعت مناسب کار می‌کند، برابر  $2^\circ$  پوند است. پسای وارد بر مکانیسم واقعی در سرعت پروازی چقدر است؟ ضریب  $C_D$  چقدر است؟

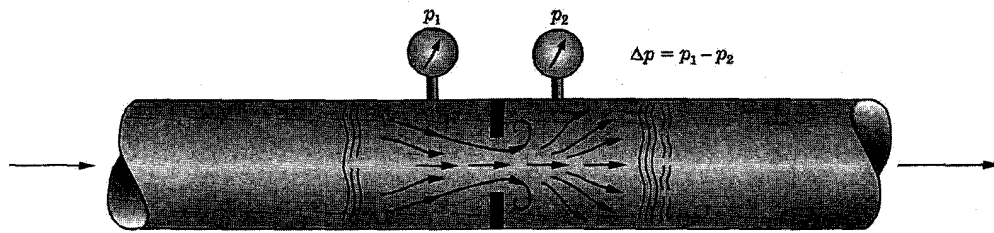
۱۵-۴ سرریز موجود در شکل ۴-۴ به صورت شکاف سد یا دریچه کانال باز برای اندازه‌گیری آهنگ جریان استفاده می‌شود. این شکاف ممکن است شکلهای مختلف داشته باشد. ارتفاع آب  $H$  در شکاف معیار آهنگ جریان آب است. برای شکاف مثلثی، همچون شکل، اگر عمق آب زیاد باشد و از اثرهای کشش سطحی و گرانروی صرف نظر شود، نشان دهید که نسبتاً آهنگ جریان آب  $Q$  را از رابطه  $Q = C\sqrt{g}H^{5/2}$  می‌توان تقریب زد که  $C$  عددی ثابت است. مقدار تجربی  $C$  برابر  $C = 0.44 \tan \frac{1}{4}\theta$  است.

۱۶-۴ جریان مایع از لوله را می‌توان به وسیله مدخل (اریفیس) تختی همچون شکل ۴-۵ اندازه‌گیری کرد. با قراردادن دو فشارسنج در دو طرف مدخل می‌توان افت فشار و از آنجا آهنگ جریان را محاسبه کرد. اگر فرض کنیم که آهنگ جریان، به  $\Delta p$  مدخل، چگالی شاره  $\rho$ ، قطر لوله  $D$  و قطر مدخل  $D_0$  بستگی دارد، نشان دهید که آهنگ جریان را می‌توان از رابطه  $Q = CD_0^2 \sqrt{2\Delta p/\rho}$  به دست آورد. آیا  $C$  کمیت ثابتی است؟ توضیح دهید.



شکل ۴-۴





شکل ۵-۴

۱۷-۴ در محاسبات اخترشناسی و کیهانشناسی که مساحتها و زمانها در مقایسه با یكاهای معمولی بسیار بزرگ هستند، گاهی ضرورت دارد از سیستم یكاهای مخصوصی استفاده شود.

برای این سیستم یكها، ثابتهای جهانی زیر را برای سادگی واحد می‌گیرند: سرعت نور  $c = 1$ ؛ جرم خورشید  $M = 1$ ؛ ثابت گرانشی نیوتونی  $K = 1$ .  $K$  به این صورت تعریف می‌شود: دو جرم طبق قانون گرانشی،  $F = KM_1M_2/r^2$ ، یکدیگر را جذب می‌کنند.  $F$  معمولاً برحسب دین، جرم برحسب گرم و  $r$  برحسب سانتیمتر داده می‌شود.

می‌خواهیم یكاهای اصلی  $M$ ،  $L$  و  $T$  را در این سیستم جدید، که ثابتهای جهانی برابر واحدند و این یكاهای جدید را به یكاهای گرم، سانتیمتر و جز آن مرتبط می‌کنند، به‌دست آوریم. یعنی یک یكای نجومی چند سانتیمتر است و یک یكای اخترشناسی چند ثانیه است. همین کار را برای جرم انجام دهید

$$\begin{aligned} \text{جرم خورشید} &= 1.98 \times 10^{33} \text{ g} \\ \text{سرعت نور} &= 3 \times 10^{10} \text{ cm/s} \\ \text{ثابت گرانش} &= 6.67 \times 10^{-8} \text{ g}^{-1} \text{ cm}^3 \text{ s}^{-2} \end{aligned}$$

توجه: دربارهٔ نیرو چی؟ آیا یكای نیرو هنوز در سیستم جدید دین خواهد بود؟

۱۸-۴ دربارهٔ مدل‌سازی پروانه بحث کنید. فرض کنید که نیروی رانش به قطر  $D$ ، چگالی شاره  $\rho$  و گرانروی  $\mu$ ، سرعت حرکت پروانه در شاره  $V$ ، و سرعت زاویه‌ای پروانه  $\omega$  بستگی دارد.

۱۹-۴ قطر پروانه کشتی‌ای به طول ۸۰۰ فوت برابر ۱۰ فوت و سرعت دورانی آن ۱۰۰ rpm است. اگر مدل کشتی‌ای به طول ۸ فوت را در منبع کشندگی آزمایش کنیم، دربارهٔ شرایط آزمون این پروانه، برای اینکه مدل‌سازی معناداری داشته باشیم، بحث کنید.

۲۰-۴ یک کشتی کوچکی به طول ۱۰۰ فوت به‌گونه‌ای طراحی شده است که با سرعت ۲۰ m/h در آبهای آزاد حرکت می‌کند. گرانروی سینماتیکی مایعی مناسب را برای آزمونهای تشابه با مدل ۵ فوتی به‌دست آورید.

۲۱-۴ توربینی را، با استفاده از روش مسئله ۴-۱۰ تحلیل کنید. نتیجه‌ها یکسان است، بجز اینکه در تفسیر جمله‌های عملکرد از توربین به‌جای پمپ، باید استفاده کرد.

۲۲-۴ پمپی با سرعت ۱۰۰۰ rpm هر ثانیه ۵ فوت مکعب را به ارتفاع ۲۰۰ فوت می‌رساند. توان لازم برای به کار انداختن پمپ ۲۰۰ hp است. کارایی پمپ را تعیین کنید. پمپی دیگر با شکل هندسی مشابه ولی با سه برابر قطر طراحی شده است که با ۵۰۰ rpm کار می‌کند. آهنگ جریان شاره، هد و توان را برای همان کارایی به‌دست آورید.

۲۳-۴ کتاب آشپزی نسبتاً معروفی جدول زیر را برای پخت بوقلمون پیشنهاد کرده است.

۲۵-۱۸	۱۶-۱۰	۱۰-۶	وزن بوقلمون (پوند)
۱۸-۱۵	۲۰-۱۸	۲۵-۲۰	$\frac{\min}{\text{lb}}$ زمان پخت برای هر پوند

با ملاحظات تحلیل بعدی می‌توانید این اطلاعات را از طریق تجربی به دست آورید. یعنی، فقط از این اطلاعات که یک بوقلمون ۶-۱۰ پوندی به ۲۵-۲۰ دقیقه زمان برای هر پوند وزن نیاز دارد تا پخته شود می‌توانید جدولی درست کنید و نتیجه‌ها را با برون‌یابی برای بوقلمونهای سنگین‌تر به دست آورید و جدول را کامل کنید.

راهنمایی: دو بوقلمون مشابه را در نظر بگیرید که هر دو در دمای اولیه  $T_0$  هستند و تا دمای  $T_c$  در اجاقی با دمای  $T_s$  پخته می‌شوند. دمای بی‌بعدی را به صورت  $\theta = T - R_0 / T_s - T_0$  و زمان بی‌بعد را به صورت  $\tau = \alpha t / L^2$  می‌توان تعریف کرد، که  $\alpha$  پخشندگی گرمایی بوقلمونها،  $L$  بعد مشخصه، مثلاً طول بوقلمون و  $t$  زمان است. نشان دهید که رابطه زیر برقرار است:

$$\text{ثابت} = \left( \text{وزن بوقلمون} \right)^{-\frac{1}{3}} \times (\text{زمان پخت})$$

۴-۲۴ در آزمونی برای تعیین نشستی گرما از دیواره فریزرهای خانگی از جعبه کاملاً عایق‌بندی شده‌ای به ابعاد  $4 \times 3 \times 3$  فوت استفاده شده است. این جعبه را در دمای اولیه  $70^\circ\text{F}$  در معرض تابش لامپی ال‌تھایی با جریان گرمایی ثابت قرار می‌دهیم. دمای بدنه خارجی جعبه در  $70^\circ\text{F}$  نگه‌داری می‌شود. افزایش دمای درون جعبه نسبت به خارج آن در جدول زیر داده شده است:

۱۰	۵	۳	۲	۱	۰.۵	۰	زمان (ساعت)
۴۸.۳	۴۲.۰	۳۵.۵	۳۰	۲۲.۵	۱۵.۹	۰	اختلاف دما ( $^\circ\text{F}$ )

(الف) منحنی تغییرات افزایش دما را برحسب زمان در گروه‌های بی‌بعد رسم کنید تا بتوان در موارد مشابه از آن استفاده کرد. یک گروه باید شامل دما باشد ولی نه زمان و گروه دیگر باید زمان داشته باشد و نه دما.

(ب) اختلاف دمایی را که انتظار دارید در پایان ۱۵ دقیقه دقیقاً تحت همان شرایط قبل از آزمون داشته باشد بجز آنکه ضخامت دیواره ۱.۵ برابر است، تعیین کنید.

$$\text{آهنگ جریان گرما از واحد سطح} = 609 \text{ BTU/h.ft}^2$$

$$\text{ضخامت عایق} = 2''$$

$$\text{رسانندگی عایق} = 0.209 \text{ BTU/ft.h}^\circ\text{F}$$

$$\text{ظرفیت گرمایی عایق} = 485 \text{ BTU/ft}^3 \cdot ^\circ\text{F}$$

## نمادگذاریهای فصل ۴

$$\text{سرعت صوت} = a$$

$$\text{عدد برینکمن} = Br = \mu V^2 / \kappa T_0$$

$$\text{ضریب پسا} = C_D$$

$$\text{ضریب برآ} = C_L$$

$$\text{گرمای ویژه در فشار ثابت} = c_p$$

$$\text{گرمای ویژه در حجم ثابت} = c_v$$

$$\text{نیروی پسا، قطر} = D$$

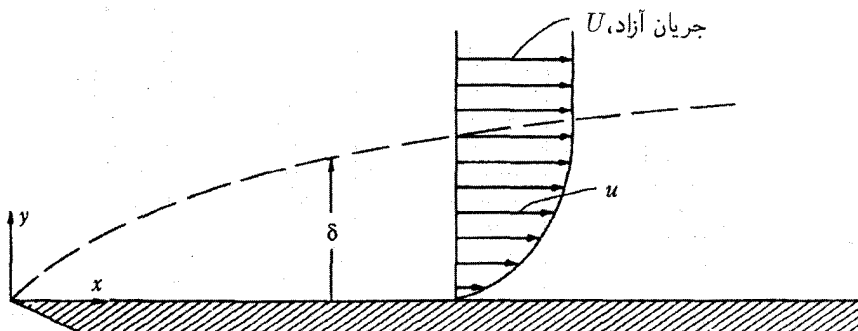
$B_r/P_r$	= عدد اکرت	$= E_c$
	ضریب اصطکاک	$= f$
$V_0^2/gL$	= عدد فرود	$= F_r$
$g\rho_0^2\beta(T_0 - T_\infty)L^3/\mu^2$	= عدد گراشهوف	$= G_r$
	شتاب ناشی از گرانی	$= g$
$c_p/c_v$	= نسبت گرمای ویژه	$= k$
	طول مشخصه، نیروی برآ	$= L$
$V/a$	= عدد ماخ	$= M$
$v/\alpha = \mu c_p/\kappa$	= عدد پرتل	$= P_r$
	فشار	$= p$
	ثابت گاز	$= R$
$LV_0/v$	= عدد رینولدز	$= Re$
	بردار مکان	$= \mathbf{r}$
	دمای مطلق	$= T$
	زمان	$= t$
	بردار سرعت	$= \mathbf{V}$
	مقدار جریان آزاد	$= ()_0$
	متغیر بی بعد	$= (*)$
	متغیر بی بعد	$= (\dagger)$
$\kappa/\rho c_p$	= پخشندگی گرمایی	$= \alpha$
	ضریب حجمی انبساط گرمایی، مدول حجمی	$= \beta$
	دمای بی بعد	$= \Theta$
	رسانندگی گرمایی	$= \kappa$
	گرانروی مطلق	$= \mu$
	گرانروی سینماتیکی	$= \nu$
	گروه بی بعد	$= \Pi$
	چگالی	$= \rho$
	تابع اتلاف	$= \Phi$
	پتانسیل گرانشی	$= \psi$

## جریان لایه مرزی و جریان در لوله‌ها و مجراها

### ۱-۵ مقدمه

در این فصل درباره بعضی از انواع جریانهای تراکم‌ناپذیر مهمی بحث خواهیم کرد که اثرهای گران‌روی آنها مهم‌اند. بعضی از وضعیتهای جریان را می‌توان به آسانی تحلیل کرد، و در حقیقت حل دقیق آنها به‌سادگی امکان‌پذیر است. این حالت برای جریانهای لایه‌ای گران‌رو در لوله و مجرا رخ می‌دهد. در چنین حالتی، اثرهای غیرخطی لختی وجود ندارد، و معادله حرکت به موازنه گرادیان فشار و نیروهای گران‌رو تبدیل می‌شود. اما، جریانهای دیگر شامل اثرهای لختی‌اند که معادله حرکت را غیرخطی می‌کنند و به‌دست آوردن جوابها معمولاً مستلزم استفاده از تقریب یا روشهای عددی است.

یکی از مهمترین پیشرفتها در مکانیک شاره‌ها مربوط به کارهای پرنتل در سال ۱۹۰۴ است. او پیشنهاد کرد که حرکت شاره در اطراف اجسام به دو ناحیه تقسیم می‌شود. ناحیه نازک در مجاورت جسم که اثرهای اصطکاکی مهم است، و ناحیه خارجی که از اثرهای اصطکاکی می‌توان صرف‌نظر کرد. این فصل عمدتاً شامل ناحیه‌ای می‌شود که اصطکاک مهم است (لایه مرزی)، در حالی که فصل ۶ با جریانهای بی‌اصطکاک (جریان پتانسیل) سروکار دارد. نیروهای اصطکاکی در شاره‌ها ناشی از گران‌روی و یا جریان متلاطم‌اند. جریان در هر آرایه جریانی مفروض با عدد رینولدز نسبتاً پایین معمولاً لایه‌ای است، و گران‌روی باعث ایجاد نیروهای اصطکاکی می‌شود، که این جریان را به‌عنوان جریان گران‌رو می‌شناسند؛ با افزایش عدد رینولدز، جریان از ناحیه گذرا می‌گذرد و سرانجام متلاطم می‌شود. در جریان متلاطم، افت‌وخیزهای تلاطمی باعث ایجاد نیروهای اصطکاکی می‌شوند که معمولاً بر اثرهای گران‌رو غلبه می‌کنند. در این فصل، جریان گران‌رو را بررسی خواهیم کرد و درباره رابطه‌های نیمه‌تجربی جریان متلاطم به‌ویژه در خصوص جریان لایه‌ای مرزی بحث خواهیم کرد.



شکل ۵-۱ توزیع سرعت در جریان لایه مرزی.

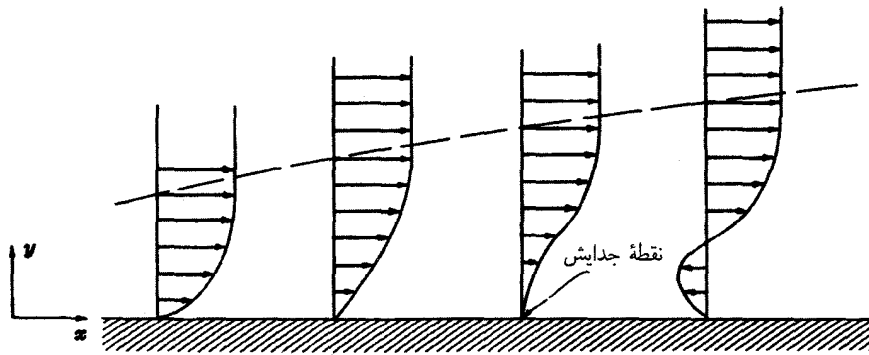
در این فصل به مشخصات اصلی جریان با اصطکاک توجه می‌کنیم و روشهای تعیین (۱) اندازه لایه مرزی، (۲) توزیع سرعت حاصل، (۳) توزیع فشار، و (۴) نیروی شاره وارد بر سطح جامد را بررسی خواهیم کرد.

در اینجا، بهتر است که موضوعهای اصلی را به جریانهای بیرونی و جریانهای درونی تقسیم بندی کنیم. جریانهای بیرونی در اطراف اجسام جامد، و جریانهای درونی در درون اجسامی همچون لوله‌ها و کانالها رخ می‌دهند. در حالی که معادلات دیفرانسیل بیان‌کننده این جریانها اساساً یکسان هستند، ولی شرایط مرزی آنها متفاوت‌اند، بنابراین جریانهای حاصل کاملاً متفاوت خواهند بود. نخست، درباره جریان لایه مرزی بحث می‌کنیم و سپس به جریان درونی (همچون جریان در لوله‌ها و کانالها) خواهیم پرداخت. بعداً خواهیم دید که معمولاً معادلات بیان‌کننده جریان لایه مرزی راه‌حلهای تحلیلی دقیقی ندارند و مستلزم روشهای تحلیلی سریهای توان دار یا روشهای تحلیل عددی هستند. اما، راه‌حلهای معمولاً می‌توان به صورت رابطه‌هایی تقریبی بسته ارائه کرد. از سوی دیگر، جریان درونی گران‌رو را می‌توان برای بسیاری از وضعیتها با رابطه‌هایی تحلیلی ساده دقیقاً بیان کرد. نخست، جریانهایی را که پیچیدگی کمتری دارند، بررسی می‌کنیم. یعنی، مطالعه را با جریانهای لایه‌ای آغاز می‌کنیم و سپس به جریانهای متلاطم می‌پردازیم. بخشی از این فصل به جریانهای متلاطم اختصاص دارد، ولی این موضوع را با عمق بیشتری در فصل ۹ بررسی خواهیم کرد. قبل از بررسی جزئیات این معادلات و جواب جریانهای لایه مرزی، به بحثی کلی درباره اهمیت مهندسی ویژگیهای فیزیکی لایه مرزی می‌پردازیم (شکل ۵-۱).

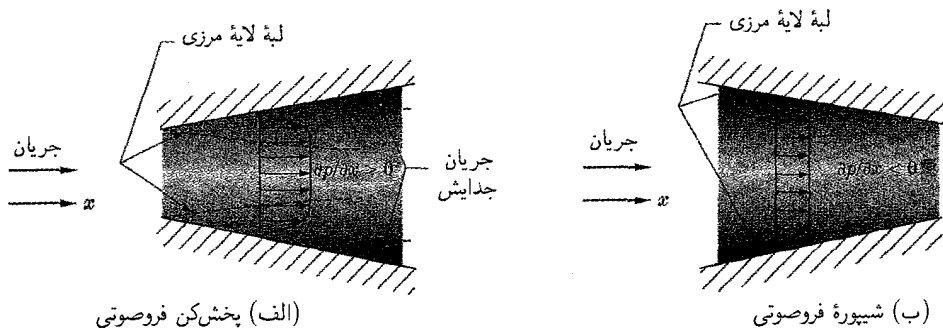
خط جداکننده دقیقی بین ناحیه جریان پتانسیل با اصطکاک ناچیز و لایه مرزی وجود ندارد، اما معمولاً لایه مرزی به ناحیه‌ای گفته می‌شود که سرعت شاره (موازی با سطح) کمتر از ۹۹٪ سرعت جریان آزادی است که با نظریه جریان پتانسیل بیان می‌شود. ضخامت لایه مرزی  $\delta$  از لبه حمله و در امتداد سطح (که شاره بر روی آن جریان دارد) افزایش می‌یابد. ضخامت لبه حمله بر روی صفحه تخت صفر است، اما در جلو جسم نوک‌پهنی همچون استوانه، حتی در نقطه سکون، شاره دارای ضخامت متناهی است.

جریان در درون لایه مرزی به صورت جریان لایه‌ای شروع می‌شود ولی با رشد لایه در امتداد سطح و در حین عبور از ناحیه گذار، اگر طول سطح به اندازه کافی زیاد باشد، جریان متلاطم خواهد شد. مرحله‌های متوالی لایه‌ای-گذار-متلاطم، اگر طول سطح به اندازه کافی زیاد باشد، در همه جریانها رخ می‌دهد. این واقعیت به لایه‌ای یا متلاطم بودن جریان آزاد بستگی ندارد، ولی با افزایش درجه تلاطم جریان آزاد، گذار از جریان لایه‌ای به متلاطم در لایه مرزی قبل از رسیدن به لبه حمله رخ می‌دهد.

حتی در جریانهایی که فشار در امتداد سطح تغییر می‌کند، همچون جریان موجود بر روی سطح خمیده، می‌توان نشان داد که تغییرات فشار عمود بر سطح در درون لایه مرزی ناچیز است. بنابراین، فرض می‌شود که توزیع فشار در لایه مرزی ناشی از گرادیان فشار جریان آزاد در خارج از لایه مرزی است. در بسیاری از مسائل، لایه مرزی به قدری نازک است که در حل مسئله، جریان پتانسیل را می‌توان بدون در نظر گرفتن لایه مرزی محاسبه کرد و جواب را برای به دست آوردن توزیع فشار در محاسبات لایه مرزی به کار برد. این راهکار را در آئرودینامیک برای یافتن جریان موجود بر روی جسمهای آئرودینامیکی همچون هواپرها به کار می‌برند (فصل ۶ را ببینید).



شکل ۲-۵ نیمرخهای سرعت برای جریان موجود بر روی صفحه تخت، که  $\frac{\partial p}{\partial x} > 0$ .



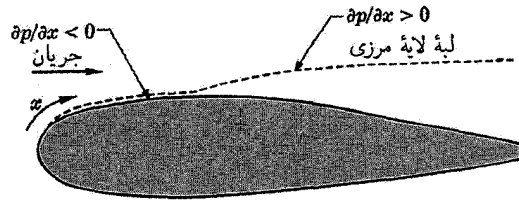
شکل ۳-۵ مقایسه جریانهای پخش‌کن و شیبوره.

شکل نیمرخ سرعت و آهنگ افزایش ضخامت لایه مرزی  $\delta$  به گرادیان فشار  $\partial p / \partial x$  بستگی دارد. به عنوان مثال، اگر فشار در جهت جریان افزایش یابد، ضخامت لایه مرزی به سرعت افزایش می‌یابد و نیمرخ سرعت به شکل ۲-۵ ظاهر خواهد شد. اگر این گرادیان فشار ناخواسته به اندازه کافی بزرگ باشد، آن‌گاه جدایش رخ می‌دهد و پس از آن ناحیه جریان معکوسی خواهیم داشت. (نقطه جدایش به صورت نقطه‌ای تعریف می‌شود که  $\left. \frac{\partial u}{\partial y} \right|_{y=0} = 0$ ) اگر فشار در جهت جریان کاهش یابد، ضخامت لایه مرزی به آهستگی افزایش خواهد یافت.  $u$  سرعت موازی با دیواره (در جهت  $x$ ) و  $y$  مؤلفه عمود بر دیوار است.

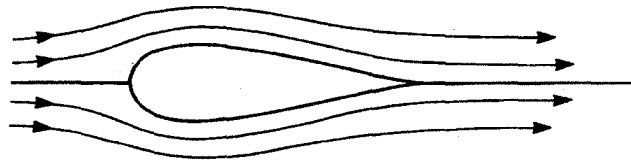
اثر گرادیان فشار در ایجاد جریانها در پخش‌کنها و شیبوره‌ها و پیرامون جسمهای مختلف بسیار مهم است. پخش‌کن موجود در شکل ۳-۵ دارای گرادیان فشار مثبت است. بنابراین، لایه مرزی به سرعت رشد می‌کند و اگر زاویه و اگرای پخش‌کن بسیار بزرگ باشد، جدایش رخ خواهد داد. این جدایش موجب تضعیف عملکرد پخش‌کن می‌شود، زیرا بازیابی فشار حاصل به اندازه پخش‌کنی که بدون جدایش کار می‌کند، نخواهد بود. در طراحی پخش‌کنها باید بین دو پارامتر طول و زاویه (برای بهترین عملکرد) مصالحه برقرار کرد. اگر زاویه و اگرایی خیلی بزرگ باشد، جدایش رخ می‌دهد، و اگر زاویه خیلی کوچک باشد، برای دستیابی به فشاری مفروض به طول بیشتری نیاز است، که این هم به افتهای اصطکاک زیادی خواهد انجامید.

شیبوره برخلاف پخش‌کن، شامل جریانی با فشار کاهنده در جهت جریان است (گرادیان فشار مطلوب). در نتیجه، لایه مرزی، همچون شکل ۳-۵ نسبتاً نازک باقی می‌ماند. جدایش در جریانهای شیبوره مشکلی به وجود نمی‌آورد و طراحی شیبوره‌ها قدری ساده‌تر است.

حل جریان پتانسیل برای جریانی که از روی جسم موجود در شکل ۳-۵ می‌گذرد، فشار کاهنده‌ای را در قسمت جلویی جسم و فشار افزایش‌دهنده‌ای را در نزدیکی عقب جسم پیش‌بینی می‌کند. دوباره، لایه مرزی نسبتاً نازکی در قسمت جلویی، و لایه مرزی ضخیمی همراه با جدایش



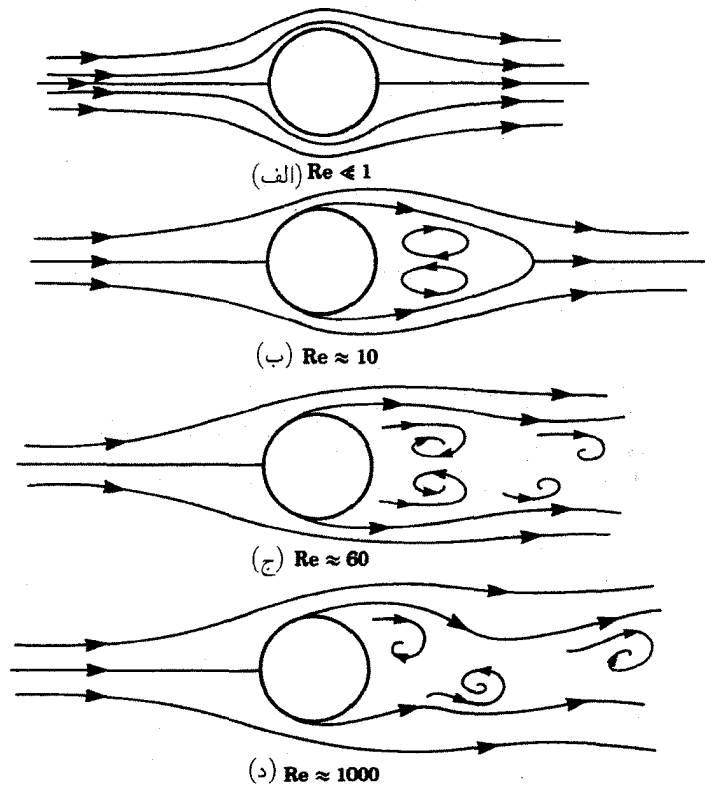
شکل ۴-۵ اثرگرادیان فشار جریان خارجی بر روی رشد لایه مرزی.



شکل ۵-۵ جریان آئرودینامیکی موجود بر روی جسمی به شکل قطره اشک.

احتمالی در قسمت عقب جسم رخ می‌دهد. اگر قسمت عقب جسم خیلی «نوک‌پهن» باشد، جدایش رخ می‌دهد، زیرا گرادیان فشار  $\partial p / \partial x$  بسیار زیاد می‌شود. اگر قسمت عقب جسم را همچون قطره اشک موجود در شکل ۵-۵ به‌طور ملایم آئرودینامیکی کنیم، می‌توان مانع جدایش شد. در نقطه جدایش، جریان از سطح جدا می‌شود و دنباله‌ای را به‌وجود می‌آورد. پس از نقطه جدایش، در امتداد سطح جهت جریان عکس می‌شود و باعث ایجاد گردابه‌ها یا گردابهایی در دنباله خواهد شد. ساختار دنباله به عدد رینولدز جریان آزاد وارد (براساس بعد مشخصه جسم) کاملاً بستگی دارد. در عددهای رینولدز بسیار پایین ( $Re \ll 1$ )، جریان را غالباً بسیار گران‌رو یا جریان خزنده می‌گویند و در واقع، مرز آن قدر ضخیم است که اثرهای گران‌روی در فاصله دور از جریان اصلی مشاهده می‌شود و اساساً ناحیه جریان پتانسیل وجود ندارد. در این شرایط، به‌هیچ‌وجه دنباله مشخصی ایجاد نمی‌شود [شکل ۵-۶(الف)]. اما، طرح جریان در جلو تا عقب جسم، متقارن نیست. چون پسا (نیروی پس‌کشی) بر روی جسم وارد می‌شود، موازنه تکانه ساده‌ای در حجم معیار پیرامون جسم این موضوع را ثابت می‌کند. با افزایش عدد رینولدز یک زوج گردابه محدود در دنباله ظاهر می‌شود [شکل ۵-۶(ب) و (د)]. سرانجام، با اعداد رینولدز بزرگتر، گردابه‌ها تشکیل می‌شوند و با رانده شدن متناوب از یک سو به سوی دیگر، جاده گردابه فون کارمن را به‌وجود می‌آورند. این‌گونه رفتار تناوبی، حتی در صورت وجود جریان اصلی پایا، ممکن است عجیب به نظر برسد، اما پدیده بسیار مهمی است. چنین حرکت تناوبی باعث ایجاد نیروی تناوبی بر جسم می‌شود، و اگر جفت‌شوندگی با سیستم مکانیکی خود جسم رخ دهد، ممکن است به نوسان خودپایدار بیانجامد. شرایط تشدید ممکن است فاجعه‌بار باشد.

مکان واقعی جدایش را، به علت برهم‌کنش دنباله و ناحیه جریان پتانسیل، به سختی می‌توان به‌طور تحلیلی محاسبه کرد. خود دنباله هر دو پارامتر طرح جریان پتانسیل در بالادست جریان و گرادیان فشار متناظر در امتداد سطح را تغییر می‌دهد. نقطه جدایش به گرادیان فشار در طول سطح و میزان تلاطم در لایه مرزی بستگی دارد. با افزایش میزان تلاطم، مکان نقطه جدایش به سوی عقب (یا لایه فرار) کشیده می‌شود. میزان تلاطم در لایه مرزی تحت تأثیر ناصافی سطح و میزان تلاطم موجود در جریان آزاد در خارج از لایه مرزی است. بعداً درباره اثر جدایش و لایه مرزی بر روی پسا بحث خواهیم کرد. در بسیاری از جریانها، لایه مرزی در کل جسم به‌قدری کوچک است که، چشم‌پوشی کامل از گران‌روی (یعنی، راه‌حل جریان پتانسیل) نتیجه‌های بسیار دقیقی برای توزیع فشار به‌دست می‌آید، برای مثال، این حالت در جریان موجود بر روی هواپرها آئرودینامیکی پیش می‌آید. اما، اگر عقب جسم نوک‌پهن باشد و دنباله‌ای قابل‌توجه به علت ضخیم شدن لایه مرزی یا جدایش به‌وجود آید، جواب جریان پتانسیل، بجز در قسمت جلویی جسم که لایه مرزی نازک است، نادرست خواهد بود.

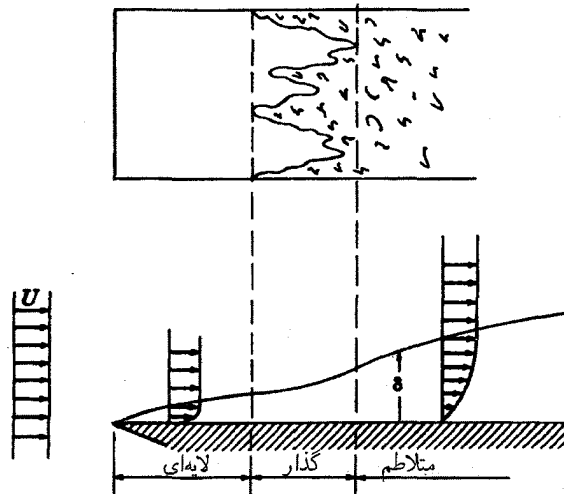


شکل ۶-۵ جریان موجود بر روی استوانه با عددهای رینولدز مختلف.

## ۲-۵ جریانهای بیرونی-لایه‌های مرزی

### ۱-۲-۵ جریان موجود بر روی صفحه تخت

به‌طور کلی، جریان موجود بر روی صفحه تخت مشخصه جریانهای بیرونی است. این جریان را در شکل ۷-۵ نشان داده‌ایم. ضخامت لایه مرزی



شکل ۷-۵ جریان لایه مرزی بر روی صفحه تخت.



در لبهٔ حمله صفر است و با فاصله گرفتن از سطح صفحه افزایش می‌یابد. بخش آغازین لایهٔ مرزی لایه‌ای است ولی در پی آن ناحیهٔ گذار وجود دارد که جریان از لایه‌ای به متلاطم تبدیل می‌شود. این ناحیهٔ گذار در حقیقت شامل ترکشهای تلاطم است که با پراکنده شدن در شاره سرانجام به ناحیهٔ کاملاً متلاطم، همچون شکل ۵-۷ (تصویر از بالا) تبدیل می‌شود. این ترکشهای تلاطمی مکانهای ثابتی ندارند و دائماً در حال حرکت‌اند. بنابراین، در حالی که جریان کاملاً لایه‌ای ممکن است پایا و دوبعدی باشد، ناحیهٔ گذار و ناحیه‌های کاملاً متلاطم ناپایا و سه‌بعدی‌اند.

حل دقیق معادلات مناسب بیان‌کنندهٔ جریان لایه‌ای مرزی آرام بسیار مشکل است و فقط چند مسئلهٔ ساده را به آسانی می‌توان حل کرد. حل معادلهٔ جریان موجود بر روی صفحهٔ تخت را نمی‌توان به شکل بسته بیان کرد، و برای حل آن به سریهای نامتناهی به نام راه‌حل بلاسیوس نیاز است.

چندین روش تقریبی برای حل جریان لایهٔ مرزی آرام ابداع شده است. در ادامه، یکی از روشهای بسیار مهم را که در حل انواع بسیاری از محاسبات لایهٔ مرزی به‌کار می‌رود، یعنی روش انتگرال-تکانه را بررسی خواهیم کرد.

سپس، نتیجه‌های اصلی راه‌حل بلاسیوس و روش انتگرال را برای صفحهٔ تخت بررسی و مقایسه خواهیم کرد.

### ۵-۲-۲ معادلهٔ تکانه انتگرال فون کارمن

همچون شکل ۵-۸، حجم معیاری را برای جریان موجود بر روی صفحه‌ای تخت در نظر بگیرید. معادلهٔ تکانه را برای این حجم معیار در جهت  $x$  می‌نویسیم، معادلهٔ (۳-۹) را ببینید. داریم

$$F_{s_x} = \int_{C.S.} \rho V_x \mathbf{V} \cdot d\mathbf{A}$$

نیروهای سطح عبارت‌اند از

$$F_{s_x} = pW\delta - \left( p + \frac{\partial p}{\partial x} dx \right) (\delta + d\delta)W - \tau_0 W dx + \left( p + \epsilon \frac{\partial p}{\partial x} dx \right) d\delta$$

که  $W$  پهنای صفحه،  $\delta$  ضخامت لایهٔ مرزی و  $\tau_0$  تنش برشی در دیواره است و به صورت  $\tau_0 = \mu \frac{\partial u}{\partial y} |_{y=0}$  تعریف می‌شود. با چشم‌پوشی از جمله‌های مرتبهٔ دوم و ساده‌سازی آن، داریم

$$F_{s_x} = \left[ -\delta \frac{\partial p}{\partial x} dx - \tau_0 dx \right] W$$

قبل از تعیین جمله‌های شار تکانه، شار جرمی را در نظر می‌گیریم. همچون شکل ۵-۶(ب)، شاری جرمی را در عرض هر سه وجه خواهیم داشت. بدین ترتیب، شار جرمی  $\dot{m}$  در عرض سطح بالا عبارت است از

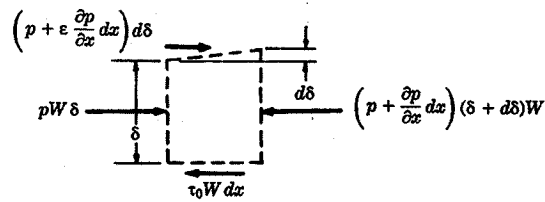
$$\begin{aligned} \dot{m} &= W \int_0^\delta \rho u dy - W \left[ \int_0^\delta \rho u dy + \frac{\partial}{\partial x} \left( \int_0^\delta \rho u dy \right) dx \right] \\ &= -W \frac{\partial}{\partial x} \left( \int_0^\delta \rho u dy \right) dx \end{aligned}$$

که  $u$  مؤلفهٔ سرعت در جهت  $x$  است. شار تکانهٔ شمارهٔ  $\dot{M}_x$  که از سطح بالا می‌گذرد، عبارت است از

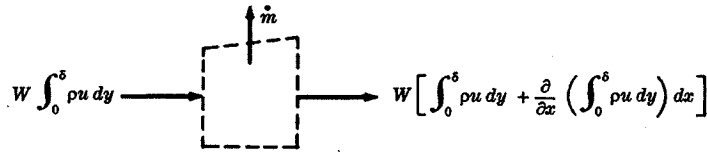
$$\dot{M}_x = \dot{m}U = -WU \frac{\partial}{\partial x} \left( \int_0^\delta \rho u dy \right) dx$$

که  $U$  سرعت جریان آزاد در جهت  $x$  است و شار تکانهٔ کلی عبارت است از

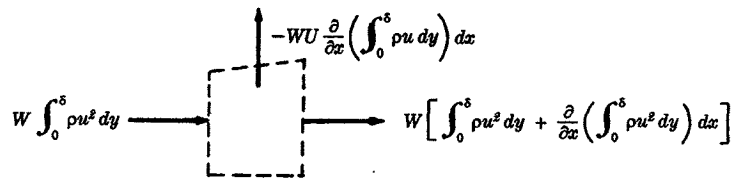
$$\begin{aligned} \int_{C.S.} \rho V_x \mathbf{V} \cdot d\mathbf{A} &= W \left[ \int_0^\delta \rho u^2 dy + \frac{\partial}{\partial x} \left( \int_0^\delta \rho u^2 dy \right) dx \right] \\ &\quad - WU \frac{\partial}{\partial x} \left( \int_0^\delta \rho u dy \right) dx - W \int_0^\delta \rho u^2 dy \end{aligned}$$



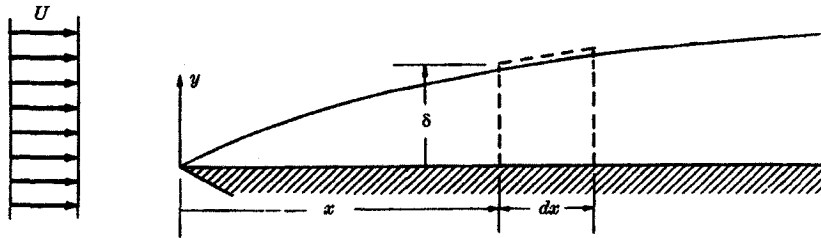
(الف) نیروهای وارد بر حجم معیار



(ب) شار جرمی



(ج) شار تکانه



شکل ۵-۸ ایجاد معادلات انتگرالی لایه مرزی.  $W$  پهنای صفحه در جهت  $z$  است.

بعد از ساده‌سازی، خواهیم داشت

$$\int_{C.S.} \rho V_x \mathbf{V} \cdot d\mathbf{A} = W \frac{\partial}{\partial x} \left[ \int_0^\delta \rho u(u - U) dy \right] dx - W \frac{\partial U}{\partial x} \int_0^\delta \rho u dy$$

به‌گونه‌ای که سرانجام، معادله کامل تکانه به صورت زیر در می‌آید

$$\tau_0 + \delta \frac{\partial p}{\partial x} = \frac{d}{dx} \int_0^\delta \rho u(U - u) dy - \frac{\partial U}{\partial x} \int_0^\delta \rho u dy \quad (1-5)$$

که برای هردو جریان لایه‌ای متلاطم، تراکم‌پذیر و تراکم‌ناپذیر به‌کار می‌رود.

استفاده از معادله برنولی، گرادیان فشار را می‌توان برحسب سرعت جریان آزاد  $U$  برای جریان تراکم‌ناپذیر بیان کرد. در امتداد خط جریان و

درست در خارج از لایه مرزی (با نادیده گرفتن اثرهای تغییر ارتفاع)، داریم

$$\frac{U^2}{2} + \frac{p}{\rho} = \text{const.}$$

$$U \frac{dU}{dx} + \frac{1}{\rho} \frac{dp}{dx} = 0$$

بعد از دیفرانسیل‌گیری، خواهیم داشت

پس از ترکیب با معادله (۱-۵)، معادله تکانه را به صورت زیر می‌توان نوشت

$$\rho \frac{d}{dx} \int_0^\delta (U-u)u dy + \rho \frac{dU}{dx} \int_0^\delta (U-u) dy = \tau_0 \quad (2-5)$$

خارج شدن  $\rho$  از مشتقها، تأکید بر این نکته است که این شکل فقط برای جریان تراکم‌ناپذیر معتبر است. اگر گردایان فشار خارجی صفر باشد (و بنابراین  $U$  ثابت باشد)، این معادله به شکل زیر در می‌آید

$$\tau_0 = \frac{d}{dx} \int_0^\delta \rho u(U-u) dy \quad (3-5)$$

حل معادلات (۱-۵) یا (۲-۵) مستلزم تعیین نیمرخ سرعت  $u(x, y)$  و ضخامت لایه مرزی  $\delta(x)$  است. با پیروی از روش فون کارمن عبارتی چندجمله‌ای را برای  $U$  در جریان لایه‌ای تراکم‌ناپذیر می‌توان فرض کرد. این فرض ایجاب می‌کند که نسبت  $\frac{u}{U}$  فقط تابع  $\frac{y}{\delta}$  است که در واقع معتبر خواهد بود. در این حالت، چند جمله‌ای را از هر مرتبه می‌توان در نظر گرفت و با توجه به شرایط مرزی برای  $u$  در  $y = 0$ ، با استفاده از  $\delta$  می‌توان ضریبها را به دست آورد.

به عنوان مثال، توزیع سرعت را به صورت چندجمله‌ای درجه سه به صورت زیر انتخاب می‌کنیم

$$u = a + by + cy^2 + dy^3$$

نتیجه عبارت است از

$$\frac{u}{U} = \frac{3}{2} \left( \frac{y}{\delta} \right) = \frac{1}{2} \left( \frac{y}{\delta} \right)^3 \quad (4-5)$$

ضریبهای چندجمله‌ای را با توجه به شرایط مرزی که در  $y = 0$ ،  $u = 0$ ،  $\partial u / \partial y = 0$  و در  $y = \delta$ ،  $u = U$ ،  $\partial u / \partial y = 0$  می‌توان تعیین کرد. وانگهی، با استفاده از معادله حرکت و اینکه در  $y = 0$ ،  $\partial^2 u / \partial y^2 = 0$ ، می‌توان این ضریبها را به طور کامل تعیین کرد. این شرایط تقریبی است، زیرا ضخامت لایه مرزی را، به جای  $0.99U$ ، به صورت  $u = U$  تعریف کرده‌ایم، اما این فرض با این تقریب چندجمله‌ای سازگار است. بدین ترتیب،  $\tau_0$  را به صورت زیر تعیین می‌کنیم

$$\tau_0 = \mu \left. \frac{\partial u}{\partial y} \right|_{y=0} = \frac{3}{2} \mu \left( \frac{U}{\delta} \right) \quad (5-5)$$

که  $\mu$  گرانروی شاره است. با نشان دادن توزیع سرعت معادله (۴-۵) در معادله (۵-۵) و انتگرال‌گیری، داریم

$$\frac{3}{2} \mu \left( \frac{U}{\delta} \right) = \frac{29}{280} \rho U^2 \frac{d\delta}{dx}$$

پس از جداسازی متغیرها و انتگرال‌گیری، خواهیم داشت

$$\delta/x = 4.64 / \sqrt{Ux/\nu} = 4.64 / \sqrt{\text{Re}_x} \quad (6-5)$$

که  $\nu$  گران روی سینماتیکی و  $Re_x$  عدد رینولدز بر پایه طول  $x$  است. اکنون، می‌توان معادلات (۵-۵) و (۶-۵) را ترکیب کرد، که در این صورت

$$\tau_o = 0.323 \rho U^2 / \sqrt{Re_x} \quad (7-5)$$

با تعریف ضریب اصطکاک پوستی  $C_f$  به صورت  $C_f = \tau_o / (\frac{1}{2} \rho U^2)$  مقدار تقریبی آن را به صورت زیر می‌توان تعیین کرد

$$C_f = 0.646 \sqrt{\nu/Ux} = 0.646 / \sqrt{Re_x} \quad (8-5)$$

مقدار میانگین  $\tau_o$ ، که با  $\bar{\tau}_o$  مشخص می‌شود، و  $\bar{C}_f$ ، یعنی مقدار میانگین  $C_f$  بر روی صفحه‌ای به طول  $L$  را به صورت زیر می‌توان تعریف کرد

$$\bar{\tau}_o = \frac{\int_0^L \tau_o dx}{L} = \frac{0.646 \rho U^2}{\sqrt{Re_L}} = 2\tau_o \Big|_{x=L} \quad (9-5)$$

$$\bar{C}_f = \frac{\bar{\tau}_o}{\frac{1}{2} \rho U^2} = \frac{1.292}{\sqrt{Re_L}} \quad (10-5)$$

مقادیر  $\tau_o$  و  $C_f$  مبتنی بر تقریب چند جمله‌ای درجه سه برای این نیمرخ سرعت هستند. در بخش بعد، مقدار دقیقتری برای  $C_f$  به دست می‌آوریم و این دو را مقایسه خواهیم کرد.

از همین روش می‌توان برای تعیین آهنگ رشد لایه مرزی در جریان متلاطم استفاده کرد. اما، در جریان متلاطم باید از توزیع تجربی سرعت و تنش برشی دیواره استفاده کنیم. بلاسیوس دریافت که برای سطحهای هموار رابطه زیر برقرار است

$$\tau_o = 0.225 \rho U^2 (\nu/U\delta)^{1/4}$$

از قانون توزیع سرعت توان دار که در زیر بحث خواهد شد، استفاده می‌کنیم که

$$\frac{u}{U} = \left(\frac{y}{\delta}\right)^{1/7}$$

با نشان دادن تنش برشی و توزیع سرعت بالا در معادله (۳-۵)، داریم

$$\frac{\delta}{x} = 0.376 \left(\frac{Ux}{\nu}\right)^{-1/5} = 0.376 (Re_x)^{-1/5} \quad (11-5)$$

که در اینجا فرض می‌شود جریان لایه مرزی از لبه حمله متلاطم است. تنش برشی بر حسب فاصله  $x$  از رابطه زیر به دست می‌آید

$$\tau_o = 0.286 \rho U^2 (\nu/Ux)^{1/5} = 0.286 \rho U^2 (Re_x)^{-1/5} \quad (12-5)$$

### ۳-۲-۵ معادلات لایه مرزی پرنتل و حل بلاسیوس

اگر جریان لایه‌ای تراکم ناپذیری را بر روی صفحه‌ای تخت با عدد رینولدز بزرگ در نظر بگیریم، معادله ناویه-استوکس به صورت ساده زیر در می‌آید

$$u \frac{\partial u}{\partial x} + v \frac{\partial u}{\partial y} = -\frac{1}{\rho} \frac{\partial p}{\partial x} + \nu \frac{\partial^2 u}{\partial y^2} \quad (13-5)$$

که

$$\frac{\partial p}{\partial y} \ll \frac{\partial p}{\partial x} \quad (14-5)$$

و  $u$  و  $v$  به ترتیب مؤلفه‌های  $x$  و  $y$  سرعت هستند و فرض می‌شود که جریان تراکم‌ناپذیر با گران‌روی ثابت است. این معادلات را می‌توان با تحلیل مرتبه بزرگی از معادلات ناویه-استوکس کامل به دست آورد. خواننده می‌تواند برای جزئیات بیشتر به مرجعهای مورد نظر مراجعه کند.

معمولاً این معادلات در دستگاه مختصات دکارتی حتی برای سطحهای خمیده (یعنی مقطع استوانه در جهت محور  $z$ ) معتبر است، مانند سطح هواپر در صورتی که ضخامت لایه مرزی  $\delta$  خیلی کوچکتر از شعاع خمیدگی باشد. غالباً این حالت در شرایط کاربردی پیش می‌آید. در اینجا، درباره تعمیم آن به جریان لایه مرزی دوبعدی بحث نخواهیم کرد. این موضوع نسبتاً پیچیده است، اما برای بیان جریان روی جسمهای سه‌بعدی ضروری خواهد بود.

گرادیان فشار  $\partial p / \partial y$  در جهت عمود بر صفحه در مقایسه با  $\partial p / \partial x$  قابل اغماض است و بنابراین فشار در لایه مرزی ناشی از جریان آزاد در خارج از لایه مرزی خواهد بود. معمولاً  $p(x)$  را از حل معادله پتانسیل جریان روی جسم در خارج از لایه مرزی، با این فرض که ضخامت لایه مرزی ناچیز است، و سپس با تعیین فشار حاصل در امتداد جسم، به دست می‌آورند. این روش را نمی‌توان در صورت جدایش لایه مرزی به کار برد، زیرا در این حالت، جریان پتانسیل تحت تأثیر مکان جدایش و شکل دنباله خواهد بود. بدین ترتیب، جریانها به شکل پیچیده‌ای درهم آمیخته می‌شوند و غالباً برای توصیف کامل آنها به انجام آزمایش نیاز است.

از معادله پیوستگی، داریم

$$\frac{\partial u}{\partial x} + \frac{\partial v}{\partial y} = 0 \quad (15-5)$$

به این ترتیب، مسئله به دو معادله و دو مجهول  $u$  و  $v$  تبدیل می‌شود. گرادیان فشار  $\partial p / \partial x$  را از طریق جریان پتانسیل موجود در خارج از لایه مرزی، با اثرهای گران‌روی صرف‌نظر کردنی، تعیین می‌کنند. این مسئله را در فصل بعد بازم بررسی خواهیم کرد.

جریان موجود بر روی صفحه‌ای تخت را با گرادیان فشار صفر در نظر می‌گیریم. معادلات این جریان با شرایط مرزی  $u = v = 0$  در  $y = 0$

و  $u = U$  در  $y = \infty$  عبارت‌اند از

$$u \frac{\partial u}{\partial x} + v \frac{\partial u}{\partial y} = \nu \frac{\partial^2 u}{\partial y^2}, \quad \frac{\partial u}{\partial x} + \frac{\partial v}{\partial y} = 0$$

فرض می‌شود که شکل منحنیهای سرعت در مکانهای محوری مختلف مشابه هستند و بنابراین می‌توان نوشت

$$u/U = g(y/\delta)$$

که  $g(y/\delta)$  نمادگذاری تابعی است.

وانگهی فرض می‌کنیم

$$\eta = y \sqrt{\frac{U}{\nu x}}, \quad u = \frac{\partial \psi}{\partial y}, \quad v = -\frac{\partial \psi}{\partial x}, \quad \psi = \sqrt{\nu x U} f(\eta)$$

که  $\psi$  تابع جریان است و در فصل ۳ تعریف شده است، و  $f$  تابع مجهولی است که باید آن را به دست آورد. بدین ترتیب، معادله تکانه برحسب تابع جریان  $\psi$  عبارت است از

$$\frac{\partial \psi}{\partial y} \frac{\partial^2 \psi}{\partial y \partial x} - \frac{\partial \psi}{\partial x} \frac{\partial^2 \psi}{\partial y^2} = \nu \frac{\partial^3 \psi}{\partial y^3}$$

و برحسب  $f$ ، و با شرایط مرزی  $f = f' = 0$  در  $\eta = 0$  و  $f' = 1$  در  $\eta = \infty$ ، تابع دیفرانسیل معمولی زیر به دست می‌آید

$$f \frac{d^2 f}{d\eta^2} + 2 \frac{d^2 f}{d\eta^2} = 0 \quad (16-5)$$

این معادله را بلاسیوس با روش بسط سریها حل کرد (مرجع ۵ را ببینید). نتیجه عبارت است از

$$f = \sum_{n=0}^{\infty} \left(-\frac{1}{2}\right)^n \frac{\alpha^{n+1} C_n}{(3n+2)!} \eta^{(3n+2)}$$

که  $\alpha = 0.332$  و چند مقدار اولیه  $C_n$  عبارت‌اند از

$$\begin{aligned} C_0 &= 1 \\ C_1 &= 1 \\ C_2 &= 11 \\ C_3 &= 375 \\ C_4 &= 27897 \\ C_5 &= 3817137 \end{aligned}$$

اخيراً به کمک رایانه‌های رقمی معادله (۵-۱۶) و تعمیم آن برای شمول گرادیانهای فشار به‌طور گسترده حل شده است. نمودار  $u/U$  را در شکل ۵-۹ نشان داده‌ایم.

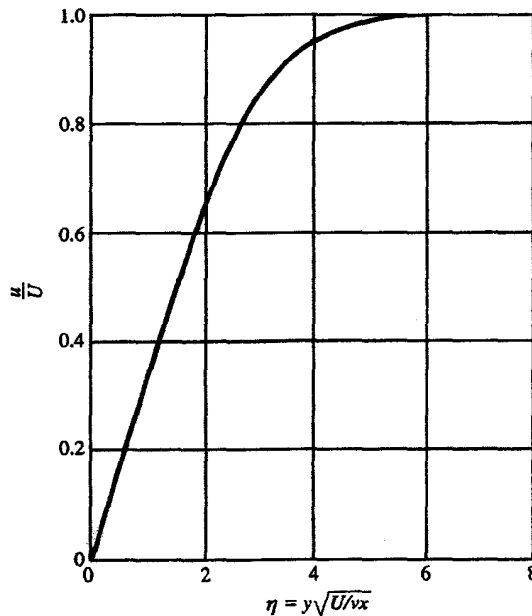
چون ضریب اصطکاک پوستی با  $C_f = \frac{\tau_0}{\frac{1}{2}\rho U^2}$  تعریف می‌شود، که  $\tau_0 = \mu \frac{\partial u}{\partial y} \Big|_{y=0}$  مقدار  $C_f$  را می‌توان به‌صورت زیر به‌دست آورد

$$C_f = 2\sqrt{\nu/Ux} \frac{d^2 f}{d\eta^2} \Big|_{\eta=0}$$

با کمک حل بلاسیوس،  $d^2 f/d\eta^2 \Big|_{\eta=0} = 0.332$  و داریم

$$C_f = 0.664 \sqrt{\frac{\nu}{Ux}} = 0.664 / \sqrt{Re_x} \quad (5-17)$$

از مقایسه این مقدار  $C_f$  با مقدار به‌دست آمده قبلی به‌وسیله روش انتگرال‌گیری درمی‌یابیم که تقریب چندجمله‌ای درجه سه به خطایی در حدود ۲.۷٪ بر روی  $C_f$  منجر می‌شود که ویژگی روشهای تقریب است.



شکل ۵-۹ توزیع سرعت جریان لایه‌ای در امتداد صفحاتی تخت با گرادیان فشار صفر.

### ۴-۲-۵ معادله‌های انتگرالی

شکل انتگرالی معادله لایه مرزی (۱-۵) برای جریان تراکم‌ناپذیر را می‌توان با انتگرال‌گیری معادله برنتل در عرض ضخامت لایه مرزی به صورت زیر به دست آورد

$$\rho \int_0^{\delta} \left( u \frac{\partial u}{\partial x} + v \frac{\partial u}{\partial y} \right) dy = - \int_0^{\delta} \frac{\partial p}{\partial x} dy + \mu \int_0^{\delta} \frac{\partial^2 u}{\partial y^2} dy$$

با استفاده از اصل پیوستگی و تعریف  $\tau_0 = \mu \left( \frac{\partial u}{\partial y} \right) |_{y=0}$ ، از عملیات جبری سراسر نتیجه می‌شود

$$\rho \frac{d}{dx} \int_0^{\delta} u(U-u) dy - \rho \frac{dU}{dx} \int_0^{\delta} u dy = \delta \frac{\delta p}{\delta x} + \tau_0 \quad (۱۸-۵)$$

که مشابه معادله (۱-۵) با  $\rho$  ثابت است.

### ۵-۲-۵ ضخامت جابه‌جایی و ضخامت تکانه

در نظریه لایه مرزی ضخامت جابه‌جایی  $\delta^*$  را به صورت زیر تعریف می‌کنند

$$\delta^* = \int_0^{\infty} \left( 1 - \frac{u}{U} \right) dy \quad (۱۹-۵)$$

و ضخامت تکانه  $\theta$  به شکل زیر تعریف می‌شود

$$\theta = \int_0^{\infty} \left( 1 - \frac{u}{U} \right) \frac{u}{U} dy \quad (۲۰-۵)$$

در روشهای تقریبی لایه مرزی، که از چند جمله‌ایها برای تقریب نیمرخ سرعت استفاده می‌شود، با انتگرال‌گیری از صفر تا  $\delta$ ، معادله (۱۸-۵) به صورت زیر در می‌آید

$$\frac{d}{dx} (U^2 \theta) + \rho U \frac{dU}{dx} \delta^* = \tau_0 \quad (۲۱-۵)$$

ضخامت جابه‌جایی تعبیر فیزیکی ساده‌ای دارد. این ضخامت فاصله‌ای است که دیواره باید از خارج به درون جریان آزاد حرکت کند تا در شرایط کاملاً رقیق بودن شماره و عدم وجود لایه مرزی، میدان جریان بی‌تغییر بماند. به بیان دیگر، کاهش جریان  $\delta^* U$  ناشی از جابه‌جایی دیواره به درون جریان رقیق، دقیقاً برابر افت جریان ناشی از لایه مرزی در جریان واقعی است. ضخامت تکانه نیز همین اهمیت را دارد، بجز اینکه بر پایه شار تکانه و شار جرمی استوار است.

### ۶-۲-۵ لایه‌های مرزی متلاطم

حل تحلیل کاملی برای توزیع سرعت متوسط در جریانهای متلاطم، حتی برای وضعیتهای ساده‌ای همچون جریان موجود بر روی صفحه تخت و جریان کاملاً توسعه‌یافته در درون لوله، وجود ندارد. هدف از این قسمت ارائه روشهای نیمه‌تجربی برای بیان توزیع سرعت متوسط و توزیع فشار در جریانهای متلاطم است. نتیجه‌های حاصل از تمام روشهایی که بررسی می‌شوند، منحصر به جریان دوبعدی خواهد بود.

قانونهای توانی

قانونهای توانی از رابطه مقاومت بلاسیوس برای لوله‌های مستقیم و صاف ناشی می‌شود. اما، آنها را برای جریان کانالهای دیگر و لایه‌های مرزی دوبعدی نیز به کار می‌برند. فرض می‌کنیم که دیواره‌ها صاف و گردان فشار را می‌توان نادیده گرفت.

اگر فرض شود که ضریب اصطکاک پوستی  $C_f$  را می‌توان به صورت تابع توانی عدد رینولدز بیان کرد (بر پایه  $\delta$ )، داریم

$$C_f = \frac{\text{const.}}{(U\delta/\nu)^m} \quad (۲۲-۵)$$

که  $U$  سرعت خط مرکزی برای جریان لوله و سرعت جریان آزاد برای جریان لایه مرزی است.  $\delta$  شعاع جریان لوله و ضخامت لایه مرزی برای جریان موجود بر روی صفحه تخت است. در این صورت، از تعریف  $C_f$  معادله (۲۲-۵)، خواهیم داشت

$$U/u_\tau = (\text{const.})(u_\tau \frac{\delta}{\nu})^{m/(2-m)} \quad (23-5)$$

که سرعت اصطکاکی  $u_\tau$  به صورت  $u_\tau = \sqrt{\frac{\tau_0}{\rho}}$  تعریف می‌شود. فرض می‌کنیم که سرعت  $u$  را در هر فاصله‌ای از دیواره  $y$  می‌توان با معادله‌ای شبیه معادله (۲۳-۵) بیان کرد، آن‌گاه

$$u/u_\tau = (\text{const.})(u_\tau y/\nu)^{m/(2-m)} \quad (24-5)$$

اگر باز هم فرض شود که نیمرخهای سرعت متوسط شبیه‌اند و معادلات (۲۳-۵) و (۲۴-۵) را ترکیب کنیم، رابطه زیر به دست می‌آید

$$u/U = (y/\delta)^{m/(2-m)} \quad (25-5)$$

با فرض  $m = \frac{1}{4}$  معادله (۲۵-۵) تغییر ضریبهای اصطکاک را در لوله‌ها برای  $70000 < U\delta/\nu < 3000$  به دست می‌دهد. بدین ترتیب، این مزیت معرفی توزیع قانون توانی است. مطلوب آن است که تغییری در نمای  $m$  به وجود نیاید. چون  $m$  به طور خفیفی بر حسب عدد رینولدز تغییر می‌کند، انتظار می‌رود برای بسیاری از محاسبات مهندسی سودمند باشد. برای جریان لوله معادلات به صورت زیر در می‌آیند

$$\left. \begin{aligned} C_f &= 0.466(U\delta/\nu)^{-1/4} \\ u/u_t &= 8.74(u_\tau y/\nu)^{1/7} \\ u/U &= (y/\delta)^{1/7} \end{aligned} \right\} \begin{array}{l} \text{جریان لوله} \\ 3000 < \text{Re} < 70000 \end{array}$$

با افزایش عدد رینولدز، نمای  $m$  در معادلات بالا کاهش می‌یابد.

قانون دیواره

اگر ناحیه‌ای نزدیک به دیواره را که گران روی در آن اهمیت دارد، در نظر بگیریم و اگر تنش برشی دیواره قیدی مهم برای جریان باشد (یعنی، از گرادیان فشار بتوان چشم‌پوشی کرد)، آن‌گاه می‌توان رابطه تابعی زیر را برای توزیع سرعت نوشت

$$u = F(\tau_0, y, \mu, \rho)$$

با روش تحلیل ابعادی، داریم

$$u/u_\tau = f(yu_\tau/\nu) \quad (26-5)$$

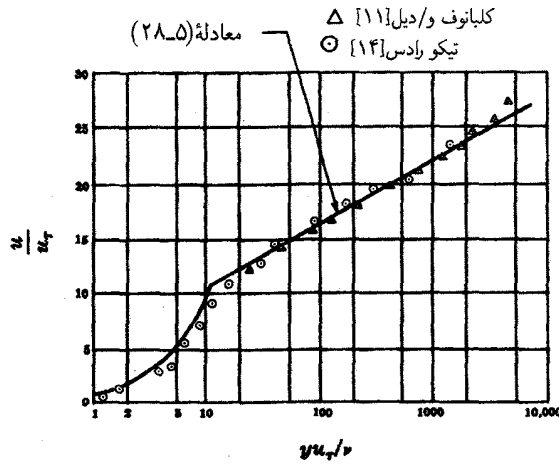
معادله (۲۶-۵) بیان قانون دیواره است. معنای این رابطه این است که اگر  $yu_\tau/\nu$  بر حسب  $u/u_\tau$  برای جریانهای مختلف رسم شود، تنها یک منحنی وجود خواهد داشت. این موضوع به طور تجربی برای جریانهای مختلفی به اثبات رسیده است. به عنوان مثال، این نتیجه‌ها برای سطحهای صاف و گرادیانهای فشار متوسط، حتی در فاصله‌های دور از دیواره، صدق می‌کند (اما نه برای دورترین بخش لایه مرزی). اثر گرادیانهای فشار بزرگ معکوس باعث انحراف از قانون دیواره در فاصله‌های کمتر می‌شود. بعضی از نتیجه‌های تجربی را در شکل ۵-۱۰ نشان داده‌ایم.

قانون نقص سرعت

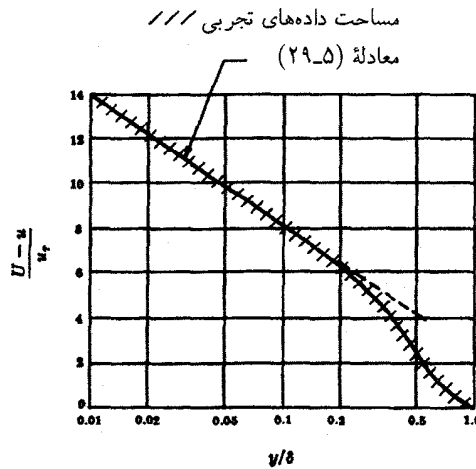
اکنون، فرض می‌کنیم که گران روی برای بخشهای دور دست لایه مرزی دیگر مهم نیست. فرض می‌کنیم که نقص سرعت  $(U - u)$  به تنش برشی دیواره و به فاصله  $\delta$ ، که این اثر از دیواره تا آن فاصله پخش شده است، بستگی دارد. بنابراین

$$U - u = G(\tau_0, y, \delta, \rho)$$





شکل ۱۰-۵ توزیع سرعت برای قانون دیواره.  $u_\tau$  سرعت اصطکاکی  $\sqrt{\frac{\tau_w}{\rho}}$  است.



شکل ۱۱-۵ توزیع سرعت برای قانون نقص سرعت.

و به کمک تحلیل ابعادی، داریم

$$(U - u)/u_\tau = g(y/\delta) \quad (27-5)$$

قانون نقص سرعت در جریانهایی با گرادیان فشار صفر برای بخش دوردست لایه مرزی به طور تجربی اثبات شده است. این قانون به زبری دیواره بستگی ندارد. نتیجه‌ها را در شکل ۱۱-۵ نشان داده‌ایم.

شکلهایی لگاریتمی قانون دیواره و قانون نقص سرعت

در همسایگی دیواره، ناحیه همپوشی وجود دارد که دو قانون نقص سرعت به طور همزمان برقرار هستند. در این ناحیه همپوشی که هر دو قانون معتبرند، می‌توان نشان داد که تابعهای  $f$  و  $g$  در بالا باید لگاریتمی باشند. یعنی، معادله (۲۶-۵) به صورت زیر درمی‌آید

$$u/u_\tau = C_1 \ln(yu_\tau/\nu) + C_2 \quad (28-5)$$

و معادله (۲۷-۵) به صورت زیر در خواهد آمد

$$(U - u)/u_\tau = C_3 \ln(y/\delta) + C_4 \quad (29-5)$$

کمیت‌های ثابت  $C_1, C_2, C_3$  و  $C_4$  را به طور تجربی تعیین می‌کنند، و همان‌گونه که در نوشته‌ها آمده است، تغییراتی جزئی در کمیت‌ها وجود دارد. بنابراین نظر کلوزر [۶].

$$C_1 = 2.44, \quad C_2 = 4.9, \quad C_3 = -2.44, \quad C_4 = 2.5$$

مقایسه آنها را با مقادیر تجربی در شکل‌های ۵-۱۰ و ۵-۱۱ آورده‌ایم.

### ۷-۲-۵ لایه مرزی با گرادیان فشار و جدایش

به طور کلی در امتداد سطح هر جسمی که در شارهای جاری غوطه‌ور شود، گرادیان فشاری به وجود می‌آید. این فشار را می‌توان به طور تجربی یافت، یا در حالتی که جدایش رخ نمی‌دهد، به طور تحلیلی محاسبه کرد. جمله گرادیان فشار را باید در معادلات لایه مرزی وارد کرد، که بدین ترتیب باعث دشواری حل مسئله خواهند شد. روش‌های عددی که به خوبی در محاسبات لایه مرزی به کار می‌روند، کاربرد گسترده‌ای در آئرو دینامیک و دیگر رشته‌های عملی دارند. در اینجا، چند مثال را با استفاده از روش تقریبی، به گونه‌ای که رفتار فیزیکی آنها به وسیله تحلیل مخدوش شود، از نظر می‌گذرانیم.

لایه مرزی جریان لایه‌ای همواره از لبه حمله یا از دماغه جسم فرورفته در جریان آغاز می‌شود. اگر لایه مرزی دارای طول کافی برای رشد باشد، به جریان متلاطم تبدیل می‌شود. به طور کلی، با گراییدن  $Re_x$  (در جهت  $x$ ) به سوی مقداری بحرانی، در پایین دست جریان، جریان از حالت گذار می‌گذرد و متلاطم می‌شود. این مقدار بحرانی به زبری سطح و میزان تلاطم در جریان آزاد بستگی دارد. اگر گرادیان فشار معکوس نسبتاً زیادی وجود داشته باشد، لایه مرزی جدا می‌شود و در نقطه جدایش  $\tau_0 = 0$  (و در نتیجه،  $\frac{\partial u}{\partial y} = 0$ ) و جریان در امتداد سطح معکوس خواهد شد که جریان گردابه‌ها را در دنباله تأمین می‌کند. افزایش تلاطم در جریان، جدایش را به تأخیر می‌اندازد، و نقطه جدایش را به سوی لبه فرار می‌راند. آئرو دینامیکی بودن جسم موجب کاهش گرادیان فشار معکوس می‌شود، و با اثرگذاری مناسب، از جدایش به طور کامل جلوگیری خواهد کرد. اثر این پدیده را بر روی پسا در بخش بعد بررسی خواهیم کرد. شکل ۵-۱۲ جدایش لایه مرزی را از سطح استوانه دایره‌ای نشان می‌دهد.

به عنوان مثال، نیمرخ سرعت را با چند جمله‌ای درجه سه تقریب خواهیم زد، اما به علت وجود گرادیان فشار، ضریب‌های به دست آمده با ضریب‌های معادله (۴-۵) متفاوت‌اند. شرط  $\frac{\partial^2 u}{\partial y^2} = 0$  در  $y = 0$ ، دیگر صادق نیست و به جای آن از شرط زیر، که همان معادله حرکت است باید استفاده کرد. در  $y = 0$

$$\mu \frac{\partial^2 u}{\partial y^2} = \frac{dp}{dx} = -\rho U \frac{dU}{dx}$$

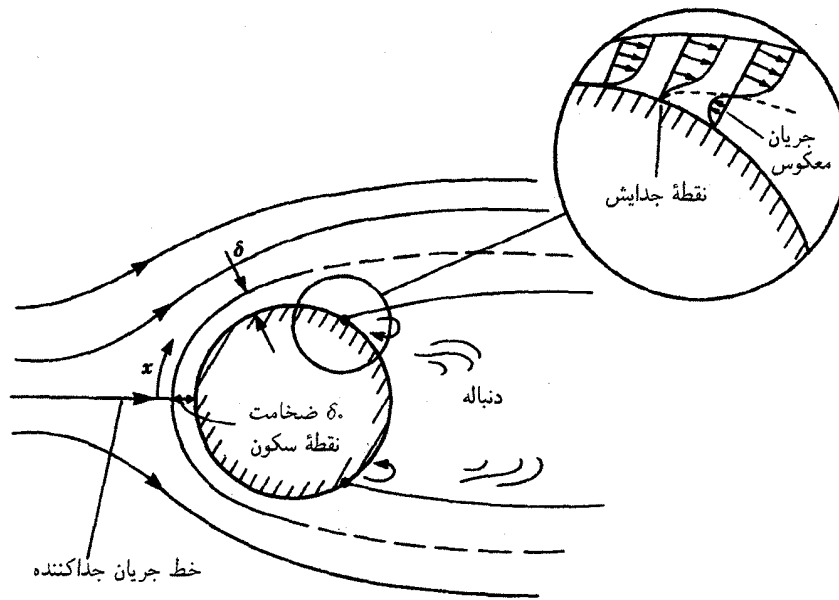
با محاسبه ضریبها، نتیجه می‌شود

$$\frac{u}{U} = \left( \frac{3}{2} + \frac{\lambda}{2} \right) \frac{y}{\delta} - \lambda \left( \frac{y}{\delta} \right)^2 - \left( \frac{1}{2} - \frac{\lambda}{2} \right) \left( \frac{y}{\delta} \right)^3 \quad (30-5)$$

$$\lambda = \frac{\delta^2 \rho}{2\mu} \frac{dU}{dx} \quad \text{که}$$

نیروی برشی دیواره در حالت  $\left. \frac{\partial u}{\partial y} \right|_{y=0}$  عبارت است از

$$\tau_0 = \mu \left( \frac{3}{2} + \frac{\lambda}{2} \right) \frac{U}{\delta}$$



شکل ۱۲-۵ جدایش از استوانه ساکن.

در نقطه جدایش،  $\tau_0$  صفر است و از رابطه بالا مقدار  $\lambda$  را در نقطه جدایش به دست می‌آوریم

$$\lambda = -3 = \frac{\delta^2 \rho}{2\mu} \frac{dU}{dx} \quad (31-5)$$

این، مقدار تقریبی  $\lambda$  در نقطه جدایش است. با محاسبات دقیقتر نتیجه متفاوتی به دست می‌آید.  $U$  را می‌توان از حل معادله جریان پتانسیل تعیین کرد، ولی  $\delta$  را باید از محاسبات لایه مرزی به دست آورد. در نتیجه، در عمل با مشکل روبرو می‌شویم، زیرا تشکیل دنباله قویاً از طریق لایه مرزی به جریان پتانسیل بستگی دارد. در بیشتر حالتها، از روشهای عددی پیچیده تکراری باید استفاده کرد و یا داده‌های تجربی به شکل  $p(x)$  نیاز خواهد بود.

مسئله قابل توجه دیگر در آئرونامیک، رفتار لایه مرزی در همسایگی نقطه سکون است (شکل ۱۲-۵). لبه حمله یا دماغه جسم، برخلاف صفحه تخت با لبه حمله تیز، دارای سطحی نوک‌پهن و عمود بر جریان آزاد است. جریان درست در نقطه‌ای بر روی دماغه ساکن می‌شود و به دو قسمت جریان سطح زیر و سطح بالا تقسیم خواهد شد. درست در این نقطه سکون،  $\delta$  صفر نیست و ضخامتی متناهی دارد که می‌توان آن را محاسبه کرد. افزون بر این، برخلاف صفحه تخت که  $\tau_0$  به مقدار نامتناهی لبه حمله می‌گراید،  $\tau_0$  در نقطه سکون صفر است، زیرا  $\frac{\partial u}{\partial y} = 0$ .

برای سادگی از تقریب نیمرخ سرعت درجه ۲ استفاده می‌کنیم. فرض می‌کنیم که

$$\frac{u}{U} = a + bx + cx^2$$

و ضریبهای  $a$ ،  $b$ ، و  $c$  را با استفاده از شرایط  $u = 0$ ،  $\frac{\partial u}{\partial y} = 0$  در  $y = \delta$  و  $u = 0$  در  $y = 0$  به دست می‌آوریم. یادآور می‌شویم که گرادینت فشار دخالتی در تعیین نیمرخ درجه ۲ ندارد و بنابراین نیمرخ درجه ۲ برای تعیین نقطه جدایش کافی نیست. اما، بیان قابل قبولی درباره لایه مرزی در نزدیکی نقطه سکون ارائه می‌دهد. نتیجه عبارت است از

$$\frac{u}{U} = 2(y/\delta) - (y/\delta)^2 \quad (32-5)$$

روش راحت‌تر، بسط جریان پتانسیل (که در فصل ۶ بحث خواهد شد) در سطح  $U(x)|_{y=0}$  به شکل سری توانی  $x$  در فاصله‌ای از نقطه ستون در امتداد سطح است.

$$U(x)|_{y=0} = U_{\infty}(Ax + Bx^2 + \dots) \quad (33-5)$$

که  $U_{\infty}$  سرعت جریان بسیار آزاد نسبت به جسم است (مثلاً سرعت هواپیما)، با حفظ فقط جمله  $U_{\infty}Ax$  (که برای  $x$  های کوچک در نزدیکی نقطه سکون معتبر است) و نشان دادن معادلات (۳۲-۵) و (۳۳-۵) در معادله (۳-۵) و انتگرال‌گیری در لایه مرزی، خواهیم داشت

$$\frac{x}{15} \frac{d\delta}{dx} = \frac{\mu}{\rho U_{\infty} \delta} - \frac{9}{30} \delta \quad (34-5)$$

این رابطه فقط در نزدیکی نقطه سکون معتبر است. مقدار  $\delta_0$  (در  $x=0$ )، یعنی ضخامت لایه مرزی در نقطه سکون را می‌توان فوراً یافت، زیرا  $d\delta/dx = 0$  در  $x=0$  و طرف راست معادله (۳۴-۵) در  $x=0$  باید صفر باشد، بنابراین

$$\begin{aligned} \delta_0 &= \sqrt{\frac{30\mu}{9\rho U_{\infty}}} \\ &= 1.83 \sqrt{\frac{\mu}{\rho U_{\infty}}} \end{aligned} \quad (35-5)$$

از نیم‌رخ سرعت درجه ۳، داریم  $\delta_0 = 2.4 \sqrt{\frac{\mu}{\rho U_{\infty}}}$  که تا دو رقم بامعنی جواب کاملاً دقیق است.

### ۳-۵ جریانهای بیرونی-برآ و پسا

هرگاه جسمی را در درون شاره‌ای جاری قرار دهیم (یا در درون شاره ساکنی حرکت دهیم) نیرویی به آن در جهت حرکت شاره نسبت به جسم وارد می‌شود (نیروی پسای،  $D$ ) و ممکن است در معرض نیروی عمودی بر جهت جریان (نیروی برآی  $L$ ) قرار گیرد. این نیروها را می‌توان به صورت زیر بیان کرد

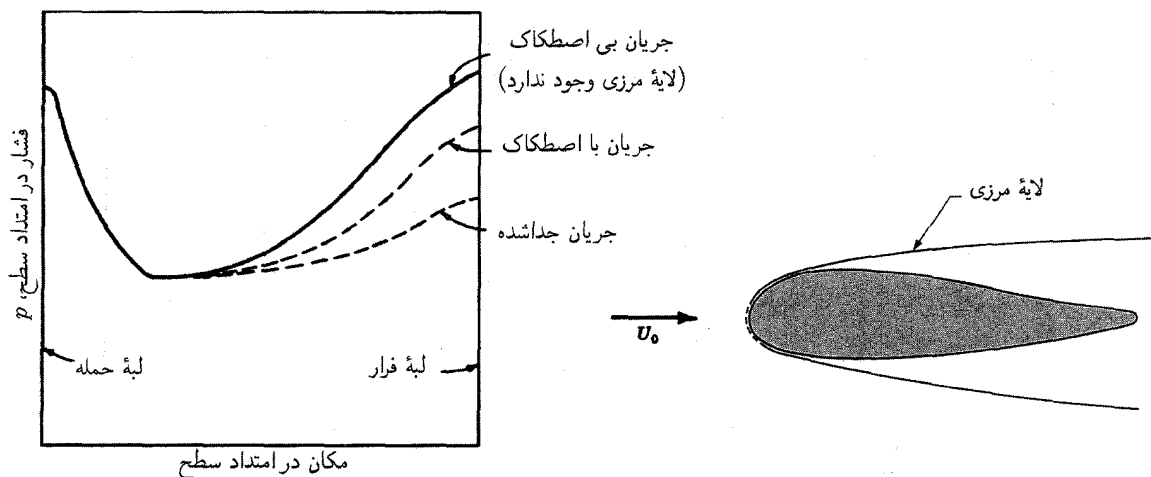
$$D = C_D(\rho V^2/2)A \quad (36-5)$$

$$L = C_L(\rho V^2/2)A \quad (37-5)$$

که  $A$  سطح مؤثر جسم، و معمولاً مساحت سطح یا مساحت تصویر جسم بر صفحه عمود بر جریان است. معادلات (۳۶-۵) و (۳۷-۵) ضریب پسای  $C_D$  و ضریب برآی  $C_L$  را تعریف می‌کنند. در تمام حالتها، بجز چند حالت، این ضریبها را باید به‌طور تجربی تعیین کرد و معمولاً به عدد رینولدز بستگی دارند.

نیروهای پسا و برآ از جمع نیروهای مماسی و عمودی بر سطح جسم ناشی می‌شوند. پسای ناشی از تنشهای مماسی را پسای اصطکاکی، پسای اصطکاک پوستی، یا پسای گرانروی می‌گویند. این نوع پسا، که مساحت سطح موازی با جهت جریان بسیار بزرگی در مقایسه با تصویر مساحت در جهت عمود بر جریان دارد، مهمترین نوع است. به عنوان مثال، پسای اصطکاک پوست عامل تمام پسای موجود بر روی صفحه تخت موازی با جریان است.

پسای ناشی از تنشهای عمودی را پسای فشاری یا پسای شکل می‌گویند. پسای فشاری مهمترین است و غالباً برای اجسام نوک‌تیز به‌کار می‌رود. در فصل ۶ خواهیم دید که اگر شاره گذرنده از روی جسم بی‌اصطکاک باشد و بنابراین لایه مرزی وجود نداشته باشد، پسا صفر خواهد بود. اما، شاره بی‌اصطکاک نیست و لایه مرزی وجود دارد. لایه مرزی در شرایط گرادیان فشار معکوس سریعتر رشد می‌کند و اگر گرادیان فشار به قدر کافی بزرگ باشد، جدایش رخ می‌دهد. لایه مرزی بزرگ یا دنباله موجود در قسمت عقب جسم به فشار کمتری نسبت به جریان بی‌اصطکاک منجر می‌شود. آن‌گاه، این افت فشار موجود در قسمت عقب جسم به نیروی خالصی در جهت جریان می‌انجامد که در شکل ۵-۱۳ دیده می‌شود.



شکل ۵-۱۳ اثر لایه مرزی بر توزیع فشار در امتداد سطح جسم.

می‌بینیم که برای کاهش پسای فشاری باید مقدار گردادیان فشار معکوس را بر روی قسمت عقب جسم کاهش داد و در صورت امکان مانع جدایش شد. این بدان معناست که قسمت عقب جسم باید به تدریج مخروطی شود. اما، اگر جسم خیلی دراز باشد، نتیجه حاصل از کاهش پسای فشاری با افزایش پسای اصطکاک پوستی خنثی می‌شود. برای طراحی جسمی با پسای کمینه باید بین پسای اصطکاک پوستی و پسای فشاری مصالحه ایجاد کرد. ضریبهای پسا برای جسمهایی با شکلهای مفروض عمده‌تاً به عدد رینولدز بستگی دارد. هرچند معمولاً شدت تلاطم جریان آزاد و زبری سطح فقط اثری جزئی بر روی پسا دارند، در شرایط خاصی (به‌ویژه، برای جسمهای غیرآئرودینامیکی که جدایش لایه مرزی در آنها رخ می‌دهد) ممکن است بسیار مهم باشند. جدول ۵-۱ ضریبهای پسا را برای چند جسم با شکلهایی مختلف نشان می‌دهد. برای فهرست کامل ضریبهای پسا می‌توان به مرجع ۹ مراجعه کرد.

برآ را اساساً با تحلیل جریان بی‌اصطکاک در فصل ۶ توضیح می‌دهیم.

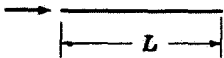
جریان گذرنده از روی استوانه دایره‌ای را برای نمایش بعضی از نظرهایی که قبلاً درباره علت‌های پسا بیان کردیم، در نظر می‌گیریم. ضریب پسا برای استوانه دایره‌ای را در شکل ۵-۱۴ نشان داده‌ایم. این جریان را در شکل ۵-۱۵ می‌بینیم.

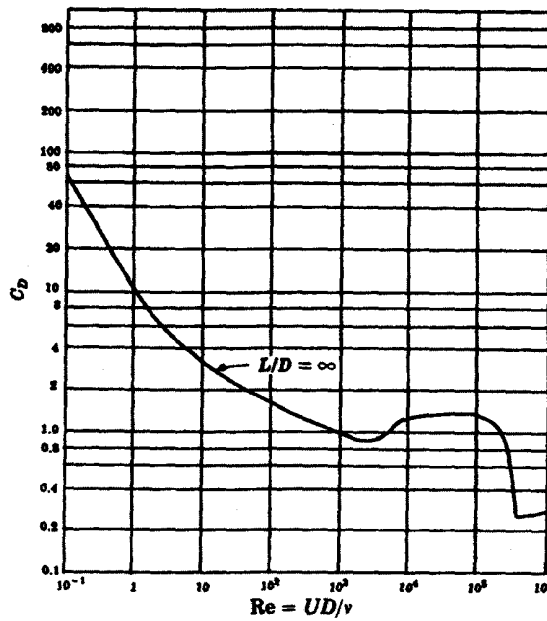
ویژگی جریان با عدد رینولدز تعیین می‌شود. برای مثال، برای عدد رینولدز خیلی کوچک ( $Re < 1$ ) جریان از بستر جدا نمی‌شود و اصطکاک پوستی مهم است. برای عدد رینولدز بسیار کوچک، پسا متناسب با سرعت است و ضریب پسا با افزایش عدد رینولدز کاهش می‌یابد. با افزایش عدد رینولدز، جریان میل به جدایش دارد. این جدایش به‌طور تناوبی و به شکل ایجاد گردابه‌های کارمن انجام می‌گیرد. افزایش بیشتر در عدد رینولدز به جدایش کامل جریان می‌انجامد. لایه مرزی لایه‌ای در قسمت جلو استوانه، به علت گردادیان فشار مطلوب نازک است. اما گردادیان فشار معکوسی در قسمت عقب به‌وجود می‌آید که به رشد سریع لایه مرزی و جدایش می‌انجامد. برای لایه مرزی لایه‌ای نقطه جدایش در زاویه  $81^\circ$  از نقطه سکون قرار دارد. پسای فشاری بسیار بیشتر از اصطکاک پوستی است و ضریب پسا برای این حالت نسبتاً ثابت می‌ماند.

لایه مرزی در عدد رینولدز خاصی متلاطم می‌شود. در نتیجه کاهش ناگهانی در ضریب پسا به‌وجود می‌آید، زیرا نقطه جدایش به تأخیر می‌افتد، که به پسای فشاری کمتر و بنابراین پسای کل کمتری می‌انجامد.

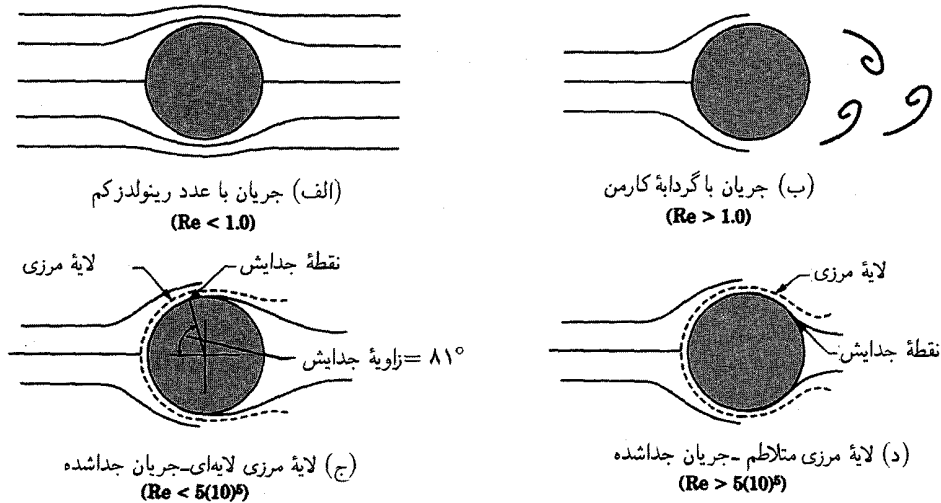
در شرایطی که جدایش اجتناب‌ناپذیر است، برای مثال در جریان موجود بر روی استوانه دایره‌ای یا کره، معمولاً نیمرخ (با پسای فشاری) در عدددهای رینولدز متوسط تا زیاد بر پسای اصطکاک غلبه می‌کند. برای کمینه‌سازی پسای نیمرخ، با افزایش میزان تلاطم در لایه مرزی، می‌توان جدایش را به تأخیر انداخت (که اندازه دنباله کاهش خواهد یافت). روش مؤثر برای افزایش تلاطم، زبر کردن سطح است. برای مثال، توپهای گلف را برای کاهش پسا و افزایش شدید برد پروازسان، «چاله‌دار» می‌سازند. همین‌گونه، روکش توپهای بیس‌بال را زبر و ناصاف می‌سازند.

جدول ۵-۱ ضریبهای پسا

جسم	$C_D$	گستره عدد رینولدز	طول مشخصه	مساحت مشخصه
صفحه تخت (مماسی)	$1.33(Re)^{-1/2}$	آرام	$L$	مسافت سطح تخت
	$0.074(Re)^{-1/5}$	$Re < 10^7$		
صفحه تخت (عمودی)	$L/d$ 1 1.18 5 1.2 10 1.3 20 1.5 30 1.6 $\infty$ 1.95	$Re > 10^3$	$d$	مسافت سطح تخت
قرص دایره‌ای (عمودی)	1.17	$Re > 10^3$	$d$	
کره	$24(Re)^{1/2}$	$Re < 1$	$d$	سطح تصویر شده
	0.47	$10^3 < Re < 3 \times 10^5$		
	0.2	$Re > 3 \times 10^5$		
نیمکره توخالی	0.34	$10^4 < Re < 10^6$	$d$	سطح تصویر شده
	1.42	$10^4 < Re < 10^6$		
نیمکره توپر	0.42	$10^4 < Re < 10^6$	$d$	سطح تصویر شده
	1.17	$10^4 < Re < 10^6$		
استوانه دایره‌ای	$L/d$ 1 0.63 5 0.8 10 0.83 20 0.93 30 1.0 $\infty$ 1.2	$10^3 < Re < 10^5$	$d$	سطح تصویر شده
مکعب مستطیل	2.0	$3.5(10)^4$	$d$	سطح تصویر شده



شکل ۵-۱۴ ضریبهای پسا برای استوانه‌های دایره‌ای.



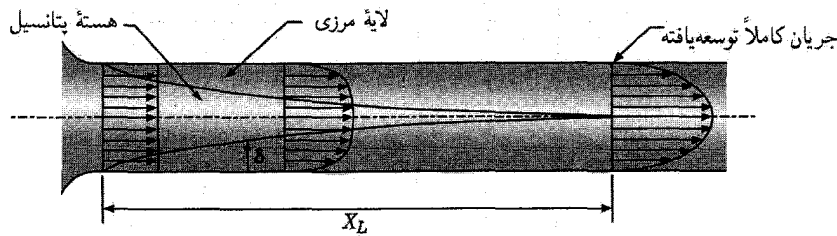
شکل ۵-۱۵ جریان گذرنده از روی استوانه دایره‌ای.

## ۴-۵ جریان درونی

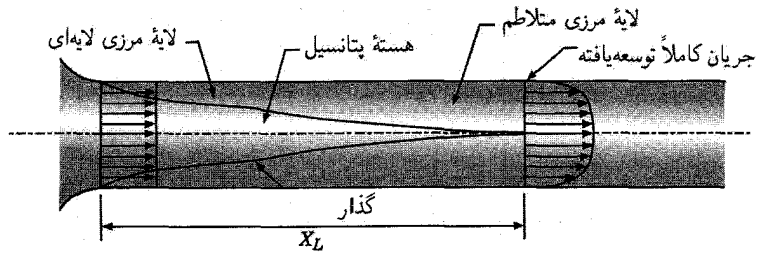
### ۱-۴-۵ جریانهای ورودی

جریانهای درونی با جریانهای بیرونی متفاوت‌اند، زیرا در ناحیه ورودی آنها لایه مرزی و جریان آزاد یکنواختی به وجود می‌آید که متناظر با آهنگ رشد لایه مرزی شتاب می‌گیرد. دومین و مهمترین تفاوت وقتی به وجود می‌آید که جریان کاملاً توسعه یافته باشد. در اینجا، سرعت در سرتاسر کانال تغییر می‌کند و هیچ جریان آزاد یا لایه مرزی کاملاً تعریف شده‌ای وجود نخواهد داشت.

جریانی لایه‌ای را در ناحیه ورودی لوله‌ای همچون شکل ۵-۱۶ در نظر بگیرید. سرعت در ورودی یکنواخت است. لایه مرزی برحسب فاصله



شکل ۵-۱۶ جریان در ناحیه ورودی لوله در جریان لایه‌ای.



شکل ۵-۱۷ جریان در ناحیه ورودی لوله در جریان متلاطم.

از ورودی تا مکانی که جریان کاملاً توسعه یافته می‌شود، رشد می‌کند. با توجه به معادله بیوستگی، هسته مرکزی جریان بی‌اصطکاک باید شتاب بگیرد. بدین ترتیب، با نوشتن معادله برنولی در امتداد خط جریان در این ناحیه جریان آزاد، می‌بینیم که فشار باید کاهش یابد. طول  $X_L$  برای تبدیل جریان به جریان توسعه یافته کامل در رابطه بوسی نسک به دست می‌آید

$$X_L = 0.3 ReD$$

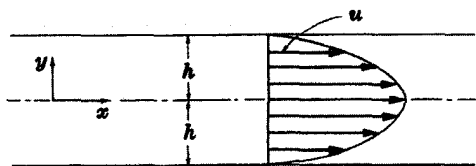
شکل ۵-۱۷ جریان موجود در ناحیه ورودی را برای حالتی نشان می‌دهد که عدد رینولدز به قدر کافی برای متلاطم شدن بزرگ است ( $Re > 2300$ ). معیارهای متعددی برای ایجاد جریان کاملاً توسعه یافته وجود دارد. مثلاً می‌توان ایجاد جریان کاملاً توسعه یافته را مبتنی بر افت فشار، توزیع سرعت میانگین، یا کمیتهای تلاطم تعریف کرد. طولهای واقعی برای این حالتها کاملاً متفاوت اند. معمولاً گرادیان فشار در جریان کاملاً توسعه یافته به طولی معادل ۳ تا ۴ برابر قطر لوله از ناحیه ورودی نیاز دارد. سرعت میانگین هم برای ایجاد جریان کاملاً توسعه یافته به ۳۰ تا ۶۰ برابر قطر ابتدای ورودی نیاز دارد و برای کمیتهای تلاطمی طول بیشتری نیاز است. به طور دقیق تر، شرط برقراری جریان کاملاً توسعه یافته آن است که باید آهنگ تغییر تمام کمیتهای میانگین (بجز فشار) نسبت به آن مختصه در جهت جریان صفر باشد. اما، معیاری که غالباً در نوشته‌ها، به کار می‌رود، مبتنی بر نقطه‌ای است که نیمرخهای سرعت میانگین نسبت به فاصله در جهت جریان تغییر نمی‌کنند.

### ۵-۴-۲ جریانهای کاملاً توسعه یافته

گذار

جریان در لوله ممکن است با نظم و هموار (لایه‌ای) یا بی‌نظم و دارای حرکت نوسانی (متلاطم) سوار بر جریان میانگین باشد. مشخصه جریان را زبری دیواره و عدد رینولدز تعیین می‌کنند. این موضوع را می‌توان با آزمایش قدیمی رینولدز نشان داد. مایعی رنگی را به درون لوله شیشه‌ای حاوی شاره می‌ریزیم. وقتی که آهنگ جریان کم است، رنگ به شکل خط صافی در می‌آید. با افزایش آهنگ جریان، به نقطه‌ای می‌رسیم که رنگ از هم پاشیده می‌شود و طرحهای ناهمواری به وجود می‌آید که بیانگر جریان متلاطم است. عدد رینولدز برای گذار از حالت جریان لایه‌ای به جریان متلاطم تقریباً ۲۳۰۰ است. اما، در شرایط خاص، گذار ممکن است در عددهای بالاتر از ۴۰۰۰ نیز رخ دهد.





شکل ۱۸-۵ جریان لایه‌ای کاملاً توسعه‌یافته بین دیوارهای موازی.

جریان لایه‌ای

جریان لایه‌ای کاملاً توسعه‌یافته‌ای را بین دیوارهای موازی، همچون شکل ۱۸-۵، در نظر می‌گیریم. سرعت فقط تابع  $y$  است. (به گونه‌ای که می‌توان  $du/dy$  را به جای  $\partial u/\partial y$  قرار داد) و مقداری بیشینه در مرکز و مقدار صفر در دیواره‌ها دارد. توزیع سرعت نیز حول محور  $y$  متقارن است. در این حالت، معادله حرکت در جهت  $x$  به صورت زیر درمی‌آید

$$0 = -dp/dx + \mu(d^2u/dy^2)$$

با انتگرال‌گیری، داریم

$$\mu(du/dy) = (dp/dx)y + C_1$$

و با استفاده از این شرط که در  $y = 0$ ،  $du/dy = 0$ ، داریم  $C_1 = 0$ . چون  $dp/dx = \text{const.}$  برای جریان کاملاً توسعه‌یافته  $\tau = \mu(du/dy)$  خواهیم داشت

$$\tau = (dp/dx)y$$

بنابراین، تنش برشی تابع خطی  $y$  است. این نتیجه برای جریان متلاطم هم به کار می‌رود. اگر دوباره از این معادله انتگرال بگیریم، با استفاده از این شرط که در  $y = h$ ،  $u = 0$ ، داریم

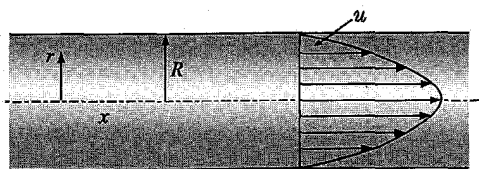
$$u = \frac{1}{2\mu} \frac{dp}{dx} (y^2 - h^2) \quad (38-5)$$

سپس جریان لایه‌ای کاملاً توسعه‌یافته را در لوله‌ای گرد، همچون شکل ۱۹-۵، در نظر می‌گیریم. چنین جریانی را به عنوان جریان پوازوی می‌شناسند. دوباره، با به کارگیری معادله حرکت و شرایط مرزی و انتگرال‌گیری مستقیم، داریم

$$0 = -\frac{dp}{dx} + \mu \left( \frac{d^2u}{dr^2} \right)$$

با رعایت شرایط مرزی  $u = 0$  در  $R = r$  و  $\partial u/\partial r = 0$  در  $r = 0$  خواهیم داشت

$$u = \frac{1}{4\mu} \frac{dp}{dx} (r^2 - R^2) \quad (39-5)$$



شکل ۱۹-۵ جریان لایه‌ای کاملاً توسعه‌یافته.

آهنگ جریان  $Q$  از انتگرال گیری سرعت در سطح مقطع لوله به دست می آید

$$Q = \int_0^R 2\pi r u dr = -\frac{\pi R^2}{4\mu} \frac{dp}{dx} \quad (40-5)$$

برای جریان موجود در جهت مثبت  $x$  ( $Q$  مثبت)، گرادیان فشار باید منفی باشد (یعنی، فشار در جهت  $x$  کاهش می یابد). گرادیان فشار با نیروی اصطکاکی تأخیری خنثی می شود. لوله ای به طول  $\Delta x$  را در جهت  $x$  در نظر می گیریم. به عنوان روش جایگزین، به جای شروع از معادله حرکت، موازنه کلی نیروهای وارد بر شاره را در لوله ای به شعاع  $R$  به صورت زیر در نظر می گیریم

$$\left( p|_x - p|_{x+\Delta x} \right) \pi R^2 + 2\pi R \Delta x \left( \mu \frac{du}{dr} \right)_{r=R} = 0$$

$$\frac{dp}{dx} = \frac{\mu}{R} \frac{du}{dr} \Big|_{r=R} \quad \text{که نتیجه زیر را به دست می دهد}$$

اگر لوله ای با شعاع اختیاری  $r$  انتخاب کنیم، از موازنه نیروها، نتیجه می گیریم

$$\frac{dp}{dx} = \frac{\mu}{r} \frac{du}{dr}$$

که همان اولین انتگرال معادله حرکت است. از انتگرال گیری بعدی نیمخ سرعت (41-5) به دست می آید.

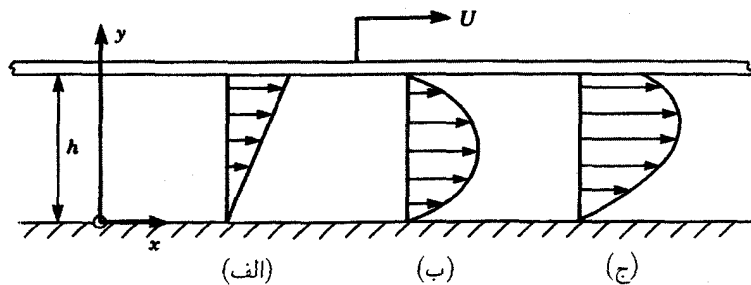
جریان کوتاه

جریان کوتاه موجود بین دو سطح موازی (یا تقریباً موازی) است که یکی از آنها در صفحه خود حرکت می کند. اگر هر دو سطح ساکن باشند، جریان به صورت ساده جریان پوازوی در می آید، که در بخش قبل بحث شد. با توجه به شکل 5-20، بهتر است دستگاه مختصاتی متصل به کف صفحه ساکن را در نظر بگیریم. (هر دو صفحه را در جهت خارج از صفحه، بزرگ فرض می کنیم). دو صفحه به فاصله  $h$  از یکدیگرند. همان گونه که در بحث جریان پوازوی گفته شد، معادله حرکت عبارت است از

$$0 = -\frac{dp}{dx} + \mu \frac{d^2 u}{dy^2}$$

ولی اکنون شرایط مرزی عبارتند از  $y = 0, u = 0$  و  $y = h, u = U$ . با دوبار انتگرال گیری و اعمال شرایط مرزی، داریم

$$u = \frac{1}{2\mu} \frac{dp}{dx} (y^2 - hy) + \frac{Uy}{h}$$



شکل 5-20 جریان کوتاه (الف) نیمرخ خطی را در صورت نبودن گرادیان فشار نشان می دهد، (ب) جریان پوازوی را در شرایط  $U = 0$  و وجود گرادیان فشار نشان می دهد، و (ج) جریان کلی کوتاه را نشان می دهد که برهم نهش دو جریان (الف) و (ب) است.

که به صورت برهم نهش نیمرخی خطی (ناشی از حرکت سطح بالا) و نیمرخ درجه ۲ ناشی از گرادیان فشار دیده می شود. این نیمرخ درجه ۲ اندکی متفاوت از معادله (۳۸-۵) است، زیرا در اینجا  $h$  را متفاوت تعریف کرده ایم و مبدأ را برای  $y$  در صفحه زیر، به جای خط مرکزی، فرض کرده ایم. خواننده باید ثابت کند که هر دو رابطه هم ارزند.

با انتگرال گیری از نیمرخ سرعت در پهنای شاره، آهنگ جریان در واحد عمق (به سوی صفحه کتاب) به دست می آید

$$Q = \int_0^h u dy = -\frac{h^3}{12\mu} \frac{dp}{dx} + \frac{Uh}{2} \quad (41-5)$$

ضریب اصطکاک و افت هد

افتهای فشار در جریانهای درونی در نتیجه اصطکاک رخ می دهند. این افتها، که از نظر مهندسی اهمیت دارند، ممکن است در لوله ها یا مجراهای صاف (افتهای اصلی) یا در انبساطهای ناگهانی، شیرها، زانوئیها، و غیره (افتهای جزئی) رخ دهند.

معادله انرژی برای حجم معیار موجود بین دو نقطه در کانال جریان به صورت زیر است

$$V_1^2/2 + p_1/\rho + gz_1 = V_2^2/2 + p_2/\rho + gz_2 + u_2 - u_1 - q$$

یا

$$V_1^2/2g + p_1/\rho g + z_1 = V_2^2/2g + p_2/\rho g + z_2 + H_L \quad (42-5)$$

که  $H_L = (u_2 - u_1 - q)/g$  افت هد، و  $u$  انرژی درونی ویژه است. جمله  $H_L$ ، در واقع، کاهش (افت) انرژی مکانیکی را بین نقطه های ۱ و ۲ نشان می دهد و به طور کلی شامل هر دو افت اصلی و جزئی است.

اکنون، روشهای تعیین افتها را بررسی می کنیم. برای تعیین افتهای جریان متلاطم روش تحلیلی محضی وجود ندارد. بنابراین، ماهیت نتیجه ها قویاً تجربی است.

نخست، روش تعیین افتهای اصلی را بررسی می کنیم. تحلیل ما به جریان متلاطم تراکم ناپذیر کاملاً توسعه یافته در لوله ای با قطر ثابت محدود می شود.

با مشاهده معادله (۴۲-۵)، درمی یابیم که تغییرات فشار از تغییرات سرعت، تغییرات ارتفاع، و افتهای اصطکاکی ناشی می شود. برای مساحت ثابت و حالت تراکم ناپذیری، داریم  $V_1 = V_2$  و  $z_1 = z_2$ . بنابراین، معادله (۴۲-۵) به صورت  $H_L = (p_1 - p_2)/\rho g$  در می آید.

معلوم شده است که تغییر فشار به (۱) قطر لوله  $D$ ، (۲) سرعت متوسط  $V$ ، (۳) طول  $L$ ، (۴) گران روی  $\mu$ ، (۵) چگالی  $\rho$ ، و (۶) زبری دیواره  $\epsilon$  بستگی دارد. بنابراین

$$\Delta p = F(D, V, L, \mu, \rho, \epsilon)$$

از تحلیل ابعادی چهار پارامتر بی بعد را به دست می آوریم، یا

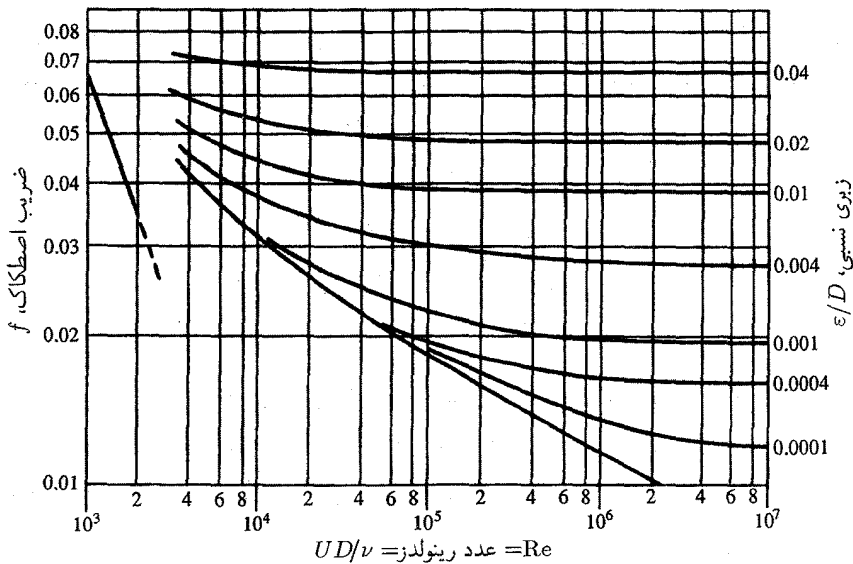
$$\frac{\Delta p}{\rho V^2} = G\left(\frac{\rho V D}{\mu}, \frac{\epsilon}{D}, \frac{L}{D}\right)$$

آزمایشها نشان می دهند که از ترکیب دو پارامتر، داریم

$$\frac{\Delta p}{\frac{1}{4}\rho V^2} \left(\frac{D}{L}\right) = f\left(\rho V \frac{D}{\mu}, \frac{\epsilon}{D}\right)$$

یا

$$\frac{\Delta p}{\rho g} = H_L = \left(\frac{L}{D}\right) \frac{V^2}{2g} f \quad (43-5)$$



شکل ۵-۲۱ ضریبهای اصطکاک برای جریان در لوله‌ها.

که  $f$  ضریب اصطکاک است. ضریب اصطکاک به‌طور تجربی تعیین شده است و نتیجه‌ها را در شکل ۵-۲۱ نشان داده‌ایم. توجه کنید که برای عددهای رینولدز زیر  $2000$  فقط یک منحنی وجود دارد، زیرا جریان لایه‌ای است. ضریب اصطکاک برای جریان لایه‌ای از روش تحلیلی به‌صورت زیر به‌دست می‌آید (مسئله ۵-۶) را ببینید

$$f = 64/Re \quad (44-5)$$

ضریب اصطکاک  $f$  را به‌عنوان ضریب اصطکاک داری می‌شناسند و آن را برحسب تنش برشی دیواره  $\tau$  به‌صورت  $f = 8\tau_0 / \rho V^2$  تعریف می‌کنند. این رابطه را می‌توان با در نظر گرفتن تعادل ایستای حجم معیار شماره با موازنه نیروهای فشار و نیروهای برشی اثبات کرد.

گام بعد، بررسی افت‌های جزئی است. برای محاسبه افت زانوییها، شیرها و انبساطها باید از آزمایش کمک گرفت. معمولاً این‌گونه افت‌ها را به‌صورت زیر می‌نویسند

$$H_L = KV^2/2g \quad (45-5)$$

که  $K$  ضریب افت اصطکاک برای انواع مختلف افت‌های جزئی است و مقدار آن را برای اتصالات لوله‌های تجاری در دست‌نامه‌ها آورده‌اند. جدول ۵-۲ شامل مقادیرهای تقریبی  $K$  است.

توزیعهای سرعت برای جریان متلاطم

توزیعهای سرعت نمونه‌وار را برای جریان کاملاً توسعه‌یافته درون لوله در شکل ۵-۲۲ نشان داده‌ایم. سرعت را به‌وسیله سرعت قانون توانی، همان‌گونه که قبلاً برای صفحه تخت به‌کار رفت، به‌صورت زیر تقریب می‌زنیم

$$u/u_{max} = (y/R)^{1/n} \quad (46-5)$$

که  $y$  فاصله مرکزی از دیواره لوله است.

نمای  $1/n$  برحسب عدد رینولدز دارای تغییرات خفیفی از  $\frac{1}{6}$  تا  $\frac{1}{7}$  برای عددهای رینولدز بین  $4 \times 10^3$  تا  $3 \times 10^6$  است.

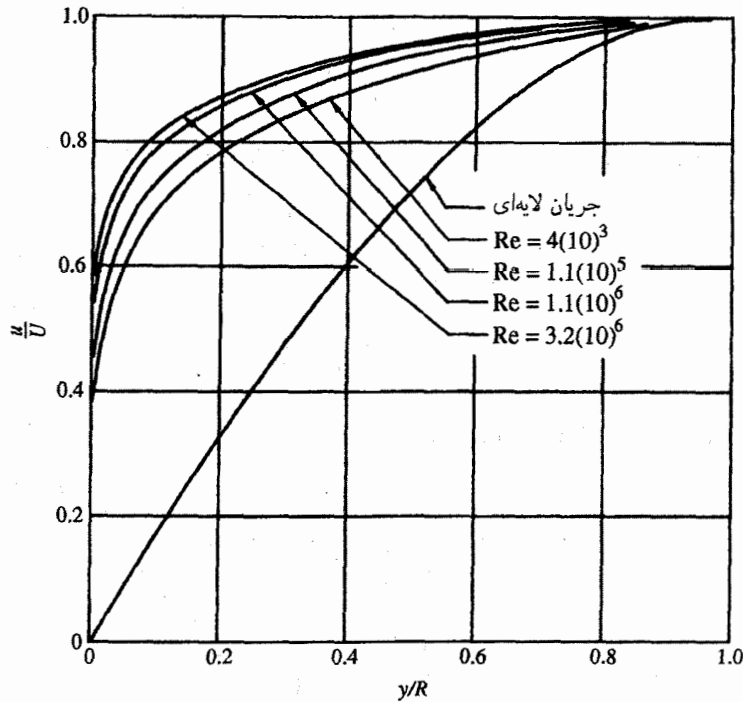
شکل لگاریتمی قانون دیواره را می‌توان برای تقریب توزیع سرعت، بجز برای ناحیه دور از خط مرکزی، به‌کار برد. در این حالت، داریم

$$\frac{u}{u_\tau} = 2.44 \ln(yu_\tau/\nu) + 4.9 \quad (47-5)$$

جدول ۲-۵ ضریبهای افت هد برای افتهای جزئی،  $K$

$K$	شیرها، اتصالات و لوله‌ها
۱۰۰	شیرفلکه بشقابی (با دهانه باز)
۰٫۱۹	شیرفلکه کشویی (با دهانه باز)
۰٫۹۰	زانویی ۹۰°
۰٫۴۲	زانویی ۴۵°
۰٫۵۰	دهانه لبة تیز به طرف لوله مدور
۰٫۲۵	دهانه گردشده به طرف لوله مدور
$(1 - A_1/A_2)^2$ *	انبساط ناگهانی

\* مساحت بالادست جریان  $A_1$  و مساحت پایین‌دست جریان  $A_2$  است



شکل ۲۲-۵ توزیع سرعت برای جریان کاملاً توسعه‌یافته در لوله‌های صاف (مرجع ۱۴).

## ۵-۵ ویژگیهای گرمایی جریان گران رو

در بخشهای پیشین بحث خود را روی جریان تراکم‌ناپذیر متمرکز کردیم. اگر جریان تراکم‌پذیر می‌بود، چگالی به فشار و دما بستگی می‌داشت و معادله انرژی باید همراه با معادلات حرکت و پیوستگی برآورده می‌شد، که محاسبات را بسیار پیچیده می‌کرد. غالباً جریان تراکم‌پذیر را به صورت فرایند تک‌دما یا تک‌انترپوی تقریب می‌زنند، که ساده‌سازی خوبی است. این تقریبات را در فصلهای آینده بررسی خواهیم کرد. وانگهی، حتی اگر جریان تراکم‌ناپذیر باشد، در صورت مهم بودن تغییرات گران روی برحسب دما، دما را می‌توان در معادلات توصیفی وارد کرد.

در حال حاضر، دربارهٔ چنین مسئله‌هایی که دارای یک جفت پارامتر انرژی و حرکت هستند و باید آنها را به‌طور همزمان حل کرد، بیشتر بحث نمی‌کنیم. اما، توزیع دما را در جریان تراکم‌ناپذیر با گرانروی ثابت می‌توان مستقیماً پس از یافتن نیمرخ سرعت به‌دست آورد، زیرا سرعت و فشار به دما و انرژی بستگی ندارند. غالباً به این توزیع دما در شاره، به‌ویژه برای یافتن مشخصه‌های انتقال گرما در شاره جاری، نیاز است. ضریبهای لایه فیلم نازک همرفت را می‌توان با تعیین نیمرخ دما در لایه مرزی روی سطح، که سطح و جریان آزاد موجود دماهای متفاوتی دارند، به‌دست آورد. به عنوان مثالی ساده، نیمرخ دما را در جریان کاملاً توسعه‌یافته کوتاه (جریان لایه‌ای)، جایی که دو صفحه را در دماهای متفاوت نگه داشته‌اند، به‌دست می‌آوریم. گرمای ایجاد شده به‌وسیلهٔ نیروی برشی گرانروی (اتلاف گرانروی) را، هرچند در بسیاری از شرایط کاربردی ناچیز است، به حساب می‌آوریم. شرایط نمونه‌واری که اتلاف آنها اهمیت دارد، عبارت‌اند از جریانهای برشی قوی (همچون لایه‌های نازک روغن)، لایه مرزی در پروازهای با سرعت بالا (فراصوتی) و در جریانهای با آهنگ جریان زیاد در لوله‌ها. در لوله‌های نفت آلاسکا (که عایق‌بندی شده است) دمای نفت را به‌طور چشمگیری بالاتر از دمای محیط، در نتیجهٔ اتلاف اصطکاکی، نگه می‌دارند.

جریان پایایی کاملاً توسعه‌یافتهٔ کوتاه (بدون گرادیان فشار) را در شکل ۵-۲۳ نشان داده‌ایم. نیمرخ خطی سرعت به‌طور ساده عبارت است از

$$\frac{u}{U} = \frac{y}{h}$$

معادلهٔ کلی انرژی (۳-۶۷) به شکل ساده زیر در می‌آید

$$\circ = \kappa \frac{\partial^2 T}{\partial y^2} + \Phi$$

تابع اتلاف به‌صورت ساده  $\mu(\partial u/\partial y)^2$  تبدیل می‌شود و  $u$  فقط تابع  $y$  است، بنابراین معادلهٔ انرژی مناسب عبارت است از

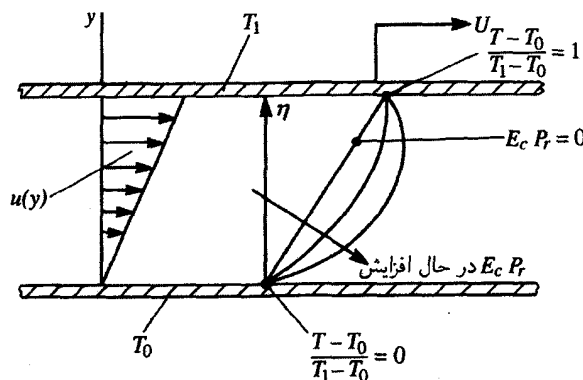
$$\circ = \kappa \frac{d^2 T}{dy^2} + \mu \left( \frac{du}{dy} \right)^2$$

و با استفاده از نیمرخ خطی سرعت، داریم

$$\frac{d^2 T}{dy^2} = -\frac{\mu}{\kappa} \left( \frac{U}{h} \right)^2 \quad (48-5)$$

شرایط مرزی عبارت‌اند از  $T = T_0$  در  $y = 0$  و  $T = T_1$  در  $y = h$ . جواب معادله با انتگرال‌گیری مستقیم نسبت به  $T$  به‌دست می‌آید و برای سادگی به شکل بی بعد زیر بیان می‌شود

$$\frac{T - T_0}{T_1 - T_0} = \frac{y}{h} + \frac{\mu U^2}{2\kappa(T_1 - T_0)} \left( \frac{y}{h} \right) \left( 1 - \frac{y}{h} \right) \quad (49-5)$$



شکل ۵-۲۳ نیمرخ دما در جریان کوتاه.

نیمرخ دما را، با استفاده از پارامترهای بی بعد عدد پرنتل و عدد اکرت، می توان بیشتر ساده کرد. عدد پرنتل  $Pr$  را به صورت زیر تعریف می کنند

$$Pr = \frac{\mu c_p}{\kappa} = \frac{\nu}{\alpha} \approx \frac{\mu c_v}{\kappa}$$

که  $\alpha$  پخشندگی گرمایی و برابر  $\kappa/\rho c_p$  است (با توجه به این موضوع که برای مایعات  $c_p \approx c_v$  است). عدد اکرت  $E_c$  به صورت زیر تعریف می شود

$$E_c = \frac{U^2}{c_p(\Delta T)} \approx \frac{U^2}{c_v(\Delta T)}$$

که  $\Delta T$  اختلاف دمای مشخصه  $(T_1 - T_0)$  است. معادله (۴۸-۵) را می توان به شکل بی بعد زیر نوشت

$$\frac{T - T_0}{T_1 - T_0} = \eta - \frac{1}{4} E_c Pr \eta (1 - \eta) \quad (50-5)$$

که  $\eta = y/h$ ، این نیمرخ را در شکل ۵-۲۳ رسم کرده ایم.

حاصل ضرب  $E_c Pr$  معیار بی بعد اتلاف است، و اگر مقدار این جمله ناچیز باشد، نیمرخ دما خطی مستقیم است.

ویژگی جالب دیگر این مسئله بی دررو بودن دمای دیواره است. اگر صفحه بالا را عایق بندی کنیم و صفحه پایین را در دمای  $T_0$  نگه داریم، دمای صفحه بالا از نظر گرمایی «شناوری» خواهد بود و (از نظر ترمودینامیکی) دمای آن برابر دمای دیواره بی دررو  $T_{ad}$  است.  $T_{ad}$  را می توان با صفر کردن شار گرمایی ورودی به صفحه بالا و حل معادله برای دمای دیواره یا صفحه به طور مستقیم به دست آورد. از معادله (۴۹-۵)،  $dT/dy|_{y=h} = 0$  و حل آن برای  $T_1$  که در حقیقت  $T_{ad}$  است نتیجه می شود

$$T_{ad} - T_0 = \frac{\mu U^2}{2\kappa} \quad (51-5)$$

یا برحسب عدد اکرت  $E_{ad}$ ، که برحسب  $(T_{ad} - T_0)$  بیان می شود، با کمال تعجب به نتیجه ساده زیر می رسیم

$$E_{ad} Pr = 2 \quad (52-5)$$

ویژگیهای گرمایی جریان شاره را در این زمان دیگر بی نمی گیریم، ولی باید توجه داشت که مفهوم تولید گرما توسط اتلاف گرمایی از دید مکانیک شاره ها بسیار مهم است.

## ۵-۶ خلاصه

در این فصل جریان با اصطکاک را بررسی کردیم. برای سادگی، این بحث را به جریانهای درونی و بیرونی تقسیم کردیم. نوع اول با جریان موجود در پیرامون جسمها و نوع دوم با جریانهای درون لوله ها و مجراها سر و کار دارد.

برای جریانهای بیرونی رابطه هایی برای رشد لایه مرزی بر روی صفحه تخت، معادله (۵-۶)، و برای تنش برشی، معادله (۵-۷)، به دست آوردیم. این معادلات از معادله انتگرال تکانه حجم معیار، با فرض توزیع سرعت مورد نظر، به دست آمدند.

توزیع سرعت بلاسیوس برای جریان لایه ای روی صفحه تخت با گرادیان فشار صفر ارائه شد. همچنین، درباره روشهای توصیف توزیع سرعت جریانهای متلاطم بحث شد، که عبارت اند از

$$u/U = (y/\delta)^{m/(2-m)} \quad [25-5] \text{ قانون توانی}$$

$$u/u_\tau = 2.44 \ln(yu_\tau/\nu) + 4.9 \quad [28-5] \text{ شکل لگاریتمی قانون دیواره}$$

$$(U - u)/u_\tau = -2.44 \ln(y/\delta) + 2.5 \quad [29-5] \text{ شکل لگاریتمی قانون نقص سرعت}$$

روشهای بیان پسا و برآ ارائه شد. دو نوع پسا وجود دارد: یکی پسای اصطکاک پوستی، که به تنشهای مماسی بستگی دارد، و دیگری پسای شکل، که به توزیع فشار بستگی خواهد داشت.

پسای فشاری به شدت تحت تأثیر جدایش است که در نقطه‌ای بر روی قسمت عقب جسم رخ می‌دهد. مکان نقطه جدایش را به کمک آهنگ رشد لایه مرزی تعیین می‌کنند، که خود به وسیله گرادین فشار خارجی تعیین می‌شود. جریان متلاطم باعث به تأخیر افتادن جدایش و کاهش پسای فشاری خواهد شد.

جریانهای درونی را برحسب جریانهای ورودی و جریانهای کاملاً توسعه یافته در نظر گرفتیم. توزیع سرعتها را برای جریان لایه‌ای کاملاً توسعه یافته موجود بین دیواره‌های موازی و در لوله‌های گرد به دست آوردیم.

گذر از جریان لایه‌ای به جریان متلاطم لوله گرد وقتی اتفاق می‌افتد که عدد رینولدز  $2300^\circ$  باشد، هر چند مقدارهای بسیار بزرگتری در شرایط خاص اندازه‌گیری شده است. تنش برشی برای هر دو جریان لایه‌ای و متلاطم کاملاً توسعه یافته را به دست آوردیم، که تابع خطی فاصله از خط مرکزی است. تغییرات فشار را در جریان درونی به روشی کاملاً تجربی برحسب «هد» یا «افت اصطکاک» ارائه کردیم. نتیجه‌ها را برای جریان موجود در لوله‌های با قطر ثابت برحسب ضریب اصطکاک، که به عدد رینولدز و زبری دیواره بستگی دارد، ارائه کردیم. برای انواع دیگر افتها (زانوییها، شیرها، و جز آن) افتها را برحسب ضریب افت تجربی به دست آوردیم.

## مراجع

1. Anderson, D. A. Tannehill, J. C., and Pletcher, R. H., *Computational Fluid Mechanics and Heat Transfer*, Hemisphere Publishing Corp., 1984.
2. Baker, A. J., *Finite Element Computational Fluid Mechanics*, Hemisphere Publishing Corp., 1983.
3. Batchelor, G. K., *An Introduction to Fluid Dynamics*, Cambridge University Press, 1967.
4. Bird, R. B., Stewart, W. E., and Lightfoot, E. N., *Transport Phenomena*, John Wiley, 1960.
5. Blasius, H., "Grenzschichten in Flüssigkeiten mit kleiner Reibung," *Z. Math. u. Phys.*, 56, 1, 1908, English translation NACA TM, No. 1256.
6. Clauser, F. H., *The Turbulent Boundary Layer*, *Advances in Applied Mechanics*, Vol. 4, pp. 1-51, Academic Press, 1956.
7. Fletcher, C. A. J., *Computational Techniques for Fluid Dynamics*, Vols. I and II, Springer-Verlag, 1988.
8. Goldstein, S., *Modern Developments in Fluid Dynamics*, Vols. I and II, Oxford University Press, 1938; also Dover Publications.
9. Hoerner, S. F., *Fluid Dynamic Drag*, published by author, Midland Park, New Jersey, 1958.
10. Hughes, W. F., *An Introduction of Viscous Flow*, Hemisphere Publishing Corp., 1979.
11. Klebanoff, P. S., and Diehl, F. W., *Some Features of Artificially Thickened Fully Developed Turbulent Boundary Layers with Zero Pressure Gradient*, NACA Report 1110, 1952.
12. Lai, W. M., Rubin, D., and Krempf, E., *Introduction to Continuum Mechanics*, Pergamon Press, 1974.
13. Li, W. H., and Lam, S. H. *Principles of Fluid Mechanics*, Addison-Wesley, 1964.
14. Nikuradse, J., *Gesetzmässigkeiten der turbulenten Strömung in glatten Röhren*, *Forschungs-Arb. Ing.-Wesen*, 356, 1932.
15. Schlichting, H., *Boundary Layer Theory*, 7th ed., McGraw-Hill, 1986.
16. Shames, I. H., *Mechanics of Fluids*, 3rd ed., McGraw-Hill, 1992.
17. Shapiro, A. H., *Shape and Flow*, Anchor Books, Doubleday, 1961.
18. Sherman, F. S., *Viscous Flow*, McGraw-Hill, 1990.
19. White, F. M., *Viscous Fluid Flow*, McGraw-Hill, 1974.

## مسائل حل شده

۱-۵ هوای  $70^\circ\text{F}$  با فشار  $14.7\text{psi}$  و با سرعت جریان آزاد  $5\text{fps}$  بر روی صفحه‌ای تخت جریان دارد. ضخامت لایه مرزی را در نقطه  $5\text{ft}$  از لبه حمله تعیین کنید.



گرانروی سینماتیکی برای هوا در این شرایط عبارت است از  $\nu = 1.8 \times 10^{-4} \text{ ft}^2/\text{s}$ . عدد رینولدز بر اساس طول صفحه برابر است با

$$Re_x = Ux/\nu = 50(5)/(1.8 \times 10^{-4}) = 1.39 \times 10^6$$

اکنون، ضخامت لایه مرزی را با فرض اینکه جریان لایه مرزی لایه‌ای است، تعیین می‌کنیم. با استفاده از معادله (۵-۵)، داریم

$$\delta/x = 4.64/\sqrt{Re_x}, \quad \delta/5 = 4.64/(1.39 \times 10^6)^{1/2}, \quad \delta = 0.0197 \text{ ft} = 0.236 \text{ in.}$$

اگر فرض کنیم که جریان لایه مرزی از لبه حمله متلاطم است، آنگاه

$$\delta/x = 0.376/(Re_x)^{1/5}, \quad \delta/5 = 0.376/(1.39 \times 10^6)^{1/5}, \quad \delta = 0.111 \text{ ft} = 1.33 \text{ in.}$$

می‌بینیم که اختلاف زیادی در جواب، بسته به اینکه جریان لایه‌ای است یا متلاطم، وجود دارد. هیچ‌یک از جوابها درست نیست، زیرا لایه مرزی در سرتاسر طول صفحه، نه کاملاً لایه‌ای است و نه متلاطم. طول گذار (از لایه‌ای به متلاطم)، با  $Re_x = 3.2 \times 10^5$  به‌طور تجربی به‌دست آمده و تقریبی است. بنابراین طول گذار  $X_T$  در این مسئله عبارت است از

$$X_T = (\nu/U)Re_x = [(1.8 \times 10^{-4})/50](3.2 \times 10^5) = 1.15 \text{ ft}$$

از این رو، می‌بینیم که لایه مرزی متلاطم به جواب صحیح نزدیکتر است.

۲-۵ مسئله ۱-۵ را با این فرض که بخشی از لایه مرزی لایه‌ای و بقیه متلاطم است، حل کنید.

ضخامت لایه مرزی در نقطه گذار برابر است با

$$\delta_{\text{گذار}} = \frac{1.15(4.64)}{[3.2 \times 10^5]^{1/2}} = 0.00944 \text{ ft} = 0.113 \text{ in.}$$

از این نقطه لایه مرزی متلاطم شروع می‌شود. اگر لایه مرزی لبه حمله تا این نقطه متلاطم می‌بود، طول لازم  $X$  از رابطه زیر به‌دست می‌آید

$$X^{4/5} = \frac{\delta(U/\nu)^{1/5}}{0.376} \quad \text{یا} \quad \frac{\delta}{X} = \frac{0.376}{(UX/\nu)^{1/5}}$$

بنابراین

$$X = \left( \frac{\delta}{0.376} \right)^{5/4} \left( \frac{U}{\nu} \right)^{1/4} = \left( \frac{0.944 \times 10^{-2}}{0.376} \right)^{5/4} \left( \frac{50}{1.8 \times 10^{-4}} \right)^{1/4} = 0.230 \text{ ft}$$

یعنی، طول کل لایه مرزی متلاطم هم‌ارز عبارت است از

$$X = (0.230 - 1.15) + 0.23 = 4.08 \text{ ft}$$

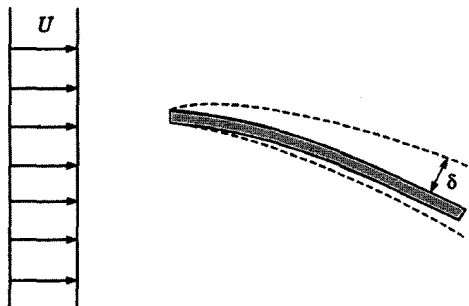
و

$$\delta = \frac{4.08(0.376)}{[50(4.08)/(1.8 \times 10^{-4})]^{1/5}} = \frac{1.53}{[11.3 \times 10^5]^{1/5}} = 0.0942 \text{ ft} = 1.13 \text{ in.}$$

۳-۵ پسای کل را برای مسئله ۱-۵ به‌دست آورید.

فرض می‌کنیم که لایه مرزی لایه‌ای است. از معادله (۵-۶)، داریم

$$\tau_w = \frac{0.322\rho U^2}{(U/\nu)^{1/2}x^{1/2}} = \frac{0.322(0.00237)(50)^2x^{-1/2}}{[50/(1.8 \times 10^{-4})]^{1/2}} = (3.62 \times 10^{-3})x^{-1/2}$$



شکل ۵-۲۴

پسا برابر است با

$$D = \int_A \tau_o \cdot dA = W \int_0^5 \tau_o \cdot dx$$

$$\frac{D}{W} = 3,62 \times 10^{-2} \int_0^5 x^{-1/2} dx = 0,163 \text{ lb}_f/\text{ft}$$

بنابراین

فرض می‌کنیم که شماره متلاطم است،

$$\tau_o = \frac{0,286 \rho U^2}{(U/\nu)^{1/5} x^{1/5}} = \frac{0,286 (0,00237) (50)^2 x^{-1/5}}{[50 / (1,8 \times 10^{-4})]^{1/5}} = 0,139 x^{-1/5}$$

$$\frac{D}{W} = 0,139 \int_0^5 x^{-1/5} dx = 0,627 \text{ lb}_f/\text{ft}$$

و

۴-۵ چگونگی تغییرات ضخامت لایه مرزی موجود در مسئله ۵-۱ را، اگر صفحه مطابق شکل ۵-۲۴ خمیده می‌بود، بررسی کنید. در این صورت، در امتداد سطح بالاگردان فشار معکوس وجود می‌داشت. یعنی، لایه مرزی سریعتر از حالت صفحه تخت، که گردان فشار صفر است، رشد می‌کند. عکس این حالت نیز برای سطح پایین درست است، در اینجا، گردان فشار مطلوبی همراه با رشد آهسته‌تر لایه مرزی وجود دارد. بنابراین

$$\delta_{\text{بالا}} > \delta_{\text{تخت}} = 1,13 \text{ in.}$$

$$\delta_{\text{پایین}} < \delta_{\text{تخت}} = 1,13 \text{ in.}$$

۵-۵ نیروی کلی را که باد با سرعت ۸۰ mph به تابلو تبلیغاتی به مساحت ۴۰ ft × ۱۰ ft وارد می‌کند، تعیین کنید. باد عمود بر این تابلو تبلیغاتی می‌وزد.

هوای استاندارد را با شرایط زیر در نظر می‌گیریم  $\nu = 1,8 \times 10^{-4} \text{ ft}^2/\text{s}$  و  $\rho = 0,00237 \text{ slug}/\text{ft}^3$  بنابراین

$$\text{Re} = UW/\nu = 117(10) / (1,8 \times 10^{-4}) = 6,50 \times 10^6$$

که پهنای  $W$  برابر ۱۰ فوت و سرعت باد  $80 \text{ mi/h} = 117 \text{ ft/s}$  است. از جدول ۵-۱،  $C_D = 1,2$ ، و از معادله (۵-۳۶)، داریم

$$D = C_D \left( \frac{1}{\rho} \rho U^2 \right) A = 1,2 \left( \frac{1}{\rho} \right) (0,00237) (117)^2 (400) = 7850 \text{ lb}_f$$

۶-۵ رابطه‌ای برای ضریب اصطکاک جریان کاملاً توسعه‌یافته در لوله‌ای گرد به طول  $L$ ، که عدد رینولدز آن کمتر از  $2000$  است، به دست آورید. توزیع سرعت، بنابر معادله (۵-۳۹)، برای جریان لایه‌ای عبارت است از

$$u = \frac{1}{4\mu} \frac{dp}{dx} (r^2 - R^2)$$

آهنگ جریان حجمی برابر است با

$$Q = \int u dA = \int_0^R 2\pi u r dr$$

$$Q = -\frac{\pi R^4}{4\mu} \frac{dp}{dx}$$

پس از انتگرال‌گیری، داریم

و اگر  $V_{av}$  سرعت متوسط باشد

$$V_{av} = \frac{Q}{A} = \frac{Q}{\pi R^2} = -\frac{R^2}{4\mu} \frac{dp}{dx}$$

$$\frac{dp}{dx} = -\frac{\Delta p}{L} = -\frac{4\mu V_{av}}{R^2}$$

در این صورت

از معادله (۵-۴۳)، داریم

$$f = \frac{\Delta p}{L} \frac{4R}{\rho V_{av}^2}$$

$$f = \frac{4\mu V_{av}}{R^2} \frac{4R}{\rho V_{av}^2} = \frac{32\mu}{\rho R V_{av}} = \frac{64}{(\rho V_{av} D / \mu)} = \frac{64}{Re}$$

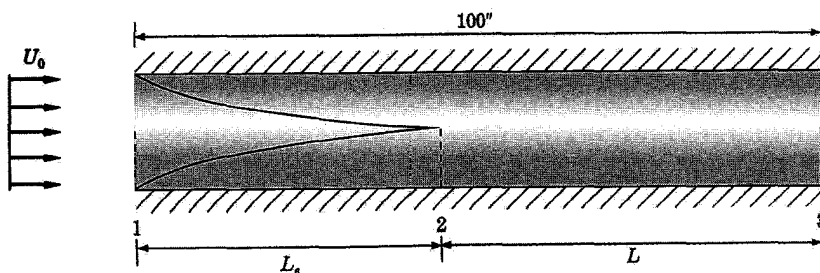
و در نتیجه

۷-۵ هوای  $70^\circ F$  با فشار  $14.7 \text{ psi}$  و سرعت یکنواخت وارد لوله‌ای به قطر یک اینچ می‌شود (شکل ۵-۲۵) و عدد رینولدز  $10^5$  است. افت فشار هوا را در فاصله  $10^5$  اینچ از ورودی لوله تعیین کنید. طول ورودی  $L_e$  از رابطه  $L_e/D = 0.288 Re$  تعیین می‌شود. برای هوا تحت شرایط مفروض داریم  $\nu = 1.8 \times 10^{-4} \text{ ft}^2/\text{s}$ ،  $\rho = 0.00237 \text{ slug/ft}^3$ . طول ورودی  $L_e$  برابر است با

$$L_e = 0.288(10000)(1.8) = 30 \text{ in.}$$

سرعت یکنواخت در ورودی عبارت است از

$$U_0 = 10000\nu/D = 10000(1.8 \times 10^{-4})(1.8/12) = 2.16 \text{ ft/s}$$



شکل ۵-۲۵

از مسئله ۵-۶ برای سرعت متوسط، داریم

$$U_o = V_{av} = -\frac{R^2}{4\mu} \frac{dp}{dx}$$

و سرعت بیشینه برای جریان کاملاً توسعه یافته ( $r = 0$ )، عبارت است از

$$U_{max} = -\frac{R^2}{4\mu} \frac{dp}{dx}$$

$$U_{max} = 2U_o = 2(2.16) = 4.32 \text{ ft/s}$$

بنابراین

یادآور می‌شویم که در حرکت از قسمت ۱ به قسمت ۲ در امتداد خط مرکزی، جریان بی‌اصطکاک است. بنابراین، می‌توان از معادله برنولی برای تعیین اختلاف فشار بین این دو نقطه استفاده کرد.

$$p_1 - p_2 = \frac{1}{2} \rho (U_{max}^2 - U_1^2) = \frac{1}{2} (\rho)(0.00237)[(4.32)^2 - (2.16)^2] = 0.166 \text{ lbf/ft}^2$$

از مسئله ۵-۶ (بین نقاط ۲ و ۳)، داریم

$$p_2 - p_3 = \Delta p = \frac{4\mu U_1 L}{R^2} = \frac{4(1.8 \times 10^{-4})(0.00237)(2.16)(70/12)}{(0.5/12)^2} = 0.250 \text{ lbf/ft}^2$$

بدین ترتیب، افت فشار کلی برابر است با

$$p_1 - p_3 = (p_1 - p_2) + (p_2 - p_3) = 0.166 + 0.250 = 0.416 \text{ lbf/ft}^2$$

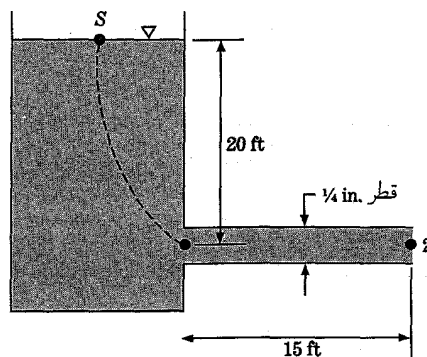
۸-۵ آهنگ جریان شاره را در سیستم شکل ۵-۲۶ تعیین کنید. شاره آب، و لوله از نظر هیدرودینامیکی صاف است. از تمام افتهای لوله صرف نظر می‌کنیم.

نخست، معادله انرژی (۵-۴۲) را بین نقاط ۱ و ۲ می‌نویسیم.

$$V_1^2/2g + p_1/\rho g + z_1 = V_2^2/2g + p_2/\rho g + z_2 + H_L$$

$$H_L = f(L/D)(V^2/2g)$$

که



شکل ۵-۲۶

چون  $V_1 = V_2$  و  $z_1 = z_2$ ، داریم

$$(p_1 - p_2)/\rho g = f(L/D)(V^2/2g) = H_L$$

گام بعدی نوشتن معادله برنولی بین سطح آزاد و نقطه ۱ در امتداد خط چین است،

$$p_s/\rho g + V_s^2/2g + z_s = p_1/\rho g + V_1^2/2g + z_1$$

یادآوری می‌کنیم که  $p_2 = p_{atm} = p_s$ . آن‌گاه از ترکیب دو معادله، خواهیم داشت

$$f(L/D)(V_1^2/2g) = H_L = (z_s - z_1) - V_1^2/2g$$

$$V_1^2 = \frac{2g(z_s - z_1)}{f(L/D) + 1} = \frac{64.4(20)}{f[15(1/48)] + 1} = \frac{1290}{f(720) + 1}$$

ضریب اصطکاک به عدد رینولدز بستگی دارد، که خود به سرعت بستگی خواهد داشت. از این رو، باید مسئله را با روش آزمون و خطا حل کنیم. عدد رینولدز  $Re$  از رابطه زیر به دست می‌آید

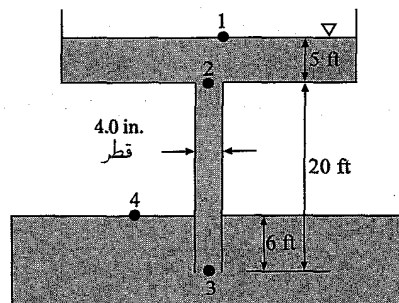
$$Re = V_1 D / \nu = V_1 (1/48) / (1 \times 10^{-5}) = 2080 V_1$$

جدول زیر راه حل آزمون و خطا را نشان می‌دهد. نخست، مقداری برای  $V_1$  فرض می‌کنیم و سپس  $V_1$  را محاسبه می‌کنیم.

$V_1$ (فرض شده)	$f$	$Re$	$V_1$ (محاسبه شده)
۱۰	۰.۰۲۶	$2080(10)^4$	۸۱۰
۷	۰.۰۲۸	$1456(10)^4$	۷۷۰
۷.۹	۰.۰۲۷۲	$1663(10)^4$	۷۹۲

بنابراین،  $V_1 = 7.92 \text{ ft/s}$  و  $Q = AV = AV_1 = \frac{1}{4} \pi D^2 V_1 = \frac{1}{4} \pi (1/48)^2 (7.92) = 0.00270 \text{ ft}^3/\text{s}$

۹-۵ آهنگ جریان را در سیستم شکل ۲۷-۵ تعیین کنید. شاره آب، و لوله از نظر هیدرودینامیکی صاف است. نخست، آهنگ جریان را با چشم‌پوشی از افت‌های جزئی به دست آورید و سپس آهنگ جریان را، با در نظر گرفتن افت‌های جزئی بیابید.



شکل ۲۷-۵

نخست، معادله برنولی را بین نقاط ۱ و ۲ می‌نویسیم

$$\frac{p_1}{\rho g} + \frac{V_1^2}{2g} + z_1 = \frac{p_2}{\rho g} + \frac{V_2^2}{2g} + z_2$$

یا

$$\frac{p_2 - p_1}{\rho g} = (z_1 - z_2) - \frac{V_2^2}{2g} \quad (\text{الف})$$

با توجه به معادله برنولی بین نقاط ۳ و ۴، داریم

$$\frac{p_3}{\rho g} + \frac{V_3^2}{2g} + z_3 = \frac{p_4}{\rho g} + \frac{V_4^2}{2g} + z_4$$

یا

$$\frac{p_3 - p_4}{\rho g} = (z_4 - z_3) - \frac{V_3^2}{2g} \quad (\text{ب})$$

سپس، معادله انرژی را بین نقاط ۲ و ۳، که افتهای هد رخ می‌دهد، می‌نویسیم

$$\frac{p_2}{\rho g} + \frac{V_2^2}{2g} + z_2 = \frac{p_3}{\rho g} + \frac{V_3^2}{2g} + z_3 + H_L$$

که به صورت زیر درمی‌آید

$$\frac{p_2 - p_3}{\rho g} = (z_3 - z_2) + \frac{fLV^2}{D 2g} \quad (\text{ج})$$

که  $p_1 = p_2 = p_{atm}$  و  $V_2 = V_3 = V$  از ترکیب معادلات (الف) و (ب)، داریم

$$\frac{p_2 - p_3}{\rho g} = (z_1 - z_2) - (z_4 - z_3)$$

اکنون، از ترکیب این معادله و معادله (ج)، خواهیم داشت

$$(z_3 - z_2) + \frac{fLV^2}{D 2g} = (z_1 - z_2) - (z_4 - z_3)$$

$$V^2 = \frac{2g(z_1 - z_4)}{fL/D} = \frac{64.4(19)}{f(20/\frac{1}{4})} = \frac{20.4}{f}$$

بنابراین

چون هر دو پارامتر  $f$  و  $V$  مجهول هستند، باید برای تعیین جواب به طور همزمان با نمودار ضریب اصطکاک کارکنیم.  $Re = VD/\nu = 3.33(10)^4 V$ .

روش مسئله قبل را به کار می‌بریم

$V$ (محاسبه شده)	$f$	Re	$V$ (فرض شده)
۳۷٫۹	۰٫۰۱۴۳	$3.33(10)^5$	۱۰
۴۲٫۳	۰٫۰۱۱۴	$1.33(10)^6$	۴۰
۴۳٫۰	۰٫۰۱۱۲	$1.43(10)^6$	۴۳

و به جواب  $V = 43.7 \text{ ft/s}$  و  $Q = \frac{1}{4} \pi D^2 V = 375 \text{ ft}^3/\text{s}$ ، که از افتهای جزئی چشم‌پوشی شده است. افتهای جزئی در ورودی و خروجی لوله‌های راست رخ می‌دهند. همان‌گونه که در محاسبات قبل با معادله برنولی نشان دادیم، این افتها باعث تغییر فشار می‌شوند. با اصلاح معادله (ج) به صورت زیر می‌توان افتها را به حساب گرفت.

$$\frac{p_2 - p_3}{\rho g} = (z_3 - z_2) + \frac{fLV^2}{D} + K_1 \frac{V^2}{2g} + K_2 \frac{V^2}{2g}$$

و از ترکیب با معادلات (الف) و (ب)، همچون قبل داریم

$$\frac{fLV^2}{D} + K_1 \frac{V^2}{2g} + K_2 \frac{V^2}{2g} = z_1 - z_2$$

$$V^2 = \frac{2g(z_1 - z_2)}{fL/D + K_1 + K_2} = \frac{64.4(19)}{f(20/\frac{1}{4}) + 0.5 + 1.0} = \frac{1220}{f(60) + 1.5}$$

که  $K_1$  ضریب افت در ورودی برابر ۰.۵ است (جدول ۵-۲) و  $K_2$  ضریب افت در خروجی برابر ۱ است (جدول ۵-۲). سپس، با روش آزمون و خطا  $f$  و  $V$  را، همچون قبل، به دست می‌آوریم.

$V$ (فرض شده)	Re	$f$	$V$ (محاسبه شده)
۱۰	$333(10)^5$	۰.۰۱۴۳	۲۲.۸
۲۴	$80(10)^5$	۰.۰۱۲۲	۲۳.۴
۲۳.۳	$776(10)^5$	۰.۰۱۲۲	۲۳.۴

از اینجا مقادیرهای زیر را به دست می‌آوریم  $V = 23.4 \text{ ft/s}$  و  $Q = \frac{1}{4} \pi D^2 V = 375 \text{ ft}^3/\text{s}$

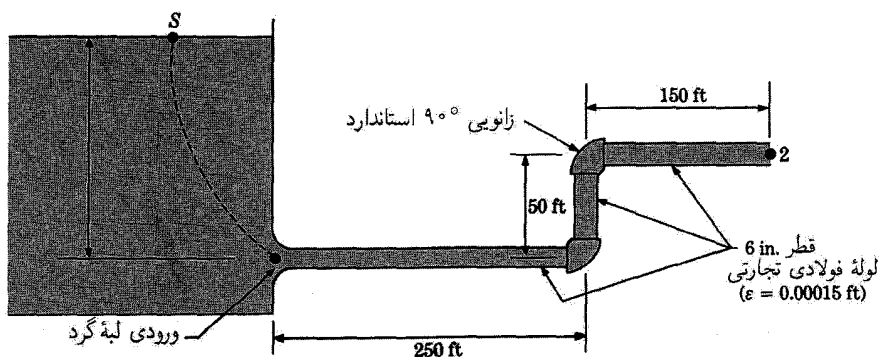
۵-۱۰ آب از منبع بزرگی جریان می‌یابد و در محیط آزاد (جو) مطابق شکل ۵-۲۸ تخلیه می‌شود. آهنگ جریان حجمی را تعیین کنید.

نخست، معادله برنولی را بین سطح جلو و ورودی می‌نویسیم. بنابر قانون پیوستگی،  $V_1 = V_2 = V$ .

$$\frac{p_1 - p_s}{\rho g} = (z_s - z_1) - \frac{V_1^2}{2g}$$

سپس، معادله انرژی را بین قسمتهای ۱ و ۲ می‌نویسیم

$$\frac{p_1 - p_2}{\rho g} = (z_2 - z_1) + \frac{fLV^2}{D} + K_1 \frac{V^2}{2g} + 2K_2 \frac{V^2}{2g}$$



شکل ۵-۲۸

که  $K_1 = 0.25$  ضریب افت در ورودی لبه گرد، و  $K_2 = 0.90$  ضریب افت زانویی است. از ترکیب این دو معادله، داریم

$$(fL/D + K_1 + 2K_2 + 1) \frac{V^2}{2g} = (z_s - z_2)$$

$$V^2 = \frac{2g(z_s - z_2)}{fL/D + K_1 + 2K_2 + 1} = \frac{64.4(100)}{f(450/\frac{1}{4}) + 0.25 + 2(0.90) + 1} = \frac{6440}{f(900) + 3.05}$$

یا

چون  $f$  و  $V$  مجهول هستند، برای تعیین جواب، باید به طور همزمان با نمودار ضریب اصطکاک کار کنیم. Re از رابطه زیر به دست می‌آید

$$\epsilon/D = 0.00015/\frac{1}{4} = 0.00030 \quad \text{و} \quad \text{Re} = VD/\nu = V(\frac{1}{4})/(1 \times 10^{-5}) = (5 \times 10^4)V$$

سرانجام، مقدارهای زیر برای  $V$  و  $Q$  به دست می‌آیند:  $V = 390 \text{ ft/s}$  و  $Q = 766 \text{ ft}^3/\text{s}$  و  $Q = AV = \frac{1}{4}\pi D^2 V = \frac{1}{4}\pi(\frac{1}{4})^2(390) = 766 \text{ ft}^3/\text{s}$

۵-۱۱ درباره جریان لایه‌ای گران‌رو کاملاً توسعه‌یافته بین دو صفحه موازی‌ای بحث کنید که یکی از آنها، همچون شکل ۵-۲۹، حرکت می‌کند. چنین جریانی را به عنوان جریان کوتاه می‌شناسند. صفحه بالا نسبت به صفحه پایین با سرعت  $U$  حرکت می‌کند. فشار در ورودی جریان  $p_1$  و در خروجی  $p_2$  است.

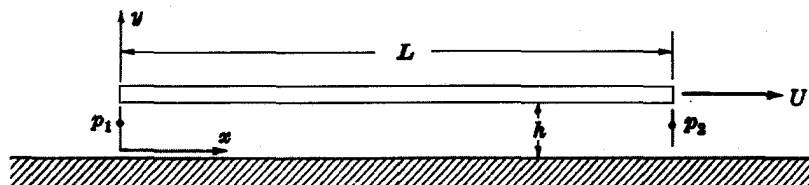
فرض می‌کنیم که طول  $L$  بسیار بزرگتر از فاصله دو صفحه  $h$  است، به گونه‌ای که می‌توان اثرهای ورودی یا رشد جریان را نادیده گرفت. بدین ترتیب، جریان اساساً یک بعدی است و تغییرات سرعت در طول کانال فقط در جهت  $y$  صورت می‌گیرد. دستگاه مختصاتی را که متصل به صفحه بالا حرکت می‌کند، در نظر می‌گیریم. این صفحه‌ها را در جهت  $z$  بسیار طویل در نظر می‌گیریم، به گونه‌ای که جریان موجود در آن جهت را می‌توان نادیده گرفت. با فرض جریان تراکم‌ناپذیر، معادلات حرکت را می‌توان مستقیماً از معادله عمومی حرکت (یعنی معادله ناویه - استوکس) به دست آورد. البته، می‌توان جزء کوچکی از شماره را انتخاب کرد و موازنه تکانه را برای آن نوشت. معادلات حرکت به صورت زیرند

$$\circ = -\frac{\partial p}{\partial x} + \mu \frac{\partial^2 u}{\partial y^2}, \quad \circ = -\frac{\partial p}{\partial y}$$

که  $\mu$  گران‌روی شاره،  $u$  و  $v$  به ترتیب مؤلفه‌های سرعت در جهت  $x$  و  $y$  هستند، که نسبت به صفحه بالا اندازه‌گیری شده‌اند. دستگاه مختصات به صفحه بالا متصل است و با آن حرکت می‌کند، اما مبدأ مختصات را برای سادگی منطبق بر صفحه پایین گرفته‌ایم. در این صورت، سرعت صفحه پایین نسبت به صفحه بالا و دستگاه مختصات  $-U$  است.

چون تغییری در جهت  $x$  وجود ندارد، بنابر معادله پیوستگی  $\partial u/\partial x + \partial v/\partial y = 0$ ، مؤلفه سرعت  $v$  در جهت  $y$  باید صفر باشد، از این رو  $\partial p/\partial y$  نیز باید صفر باشد و فشار تابع فقط  $x$  باشد. با انتگرال‌گیری از معادله حرکت همراه با شرایط مرزی  $u = -U$  در  $y = 0$  و  $u = 0$  در  $y = h$  نتیجه می‌شود

$$u = \frac{1}{2\mu} \frac{dp}{dx} (y^2 - hy) + U[(y/h) - 1]$$





چون فشار  $p$  تابع فقط  $x$ ، و  $u$  فقط تابع  $y$  است. آهنگ کل جریان  $Q = \int_0^h u dy$  را می‌توان تعیین کرد و افت فشار را به صورت زیر به دست آورد

$$Q = -\frac{h^3}{12\mu} \frac{dp}{dx} - \frac{Uh}{2} \quad p_2 - p_1 = \frac{12L\mu}{h^3} \left( \frac{Uh}{2} + Q \right)$$

معادلات بالا نشان می‌دهند که گرادین فشار مقدار ثابتی است و افت فشار را به آهنگ  $Q$  جریان مرتبط می‌کند؛ آهنگ جریان نسبت به صفحه بالاست، زیرا دستگاه مختصات را متصل به آن صفحه فرض کرده‌ایم. جریان مثبت جریانی است که در جهت مثبت محور  $x$  است. اگر گرادین فشار صفر باشد، نیمرخ سرعت خطی است و جریان برشی ساده‌ای وجود دارد.

مبدأ را بر روی صفحه متحرک و جهت محور  $y$  را روبه پایین نیز می‌توانستیم فرض کنیم. آنگاه، معادلات دیفرانسیل به همان شکل قبلی می‌مانند و فقط شرایط مرزی به صورت  $U = 0$  در  $y = 0$  و  $y = -U$  در  $u = -U$  و  $y = 0$  تغییر می‌کردند. دوباره، سرعتها نسبت به صفحه بالا اندازه‌گیری می‌شوند و  $Q$  نیز شبیه بالا به دست می‌آید.

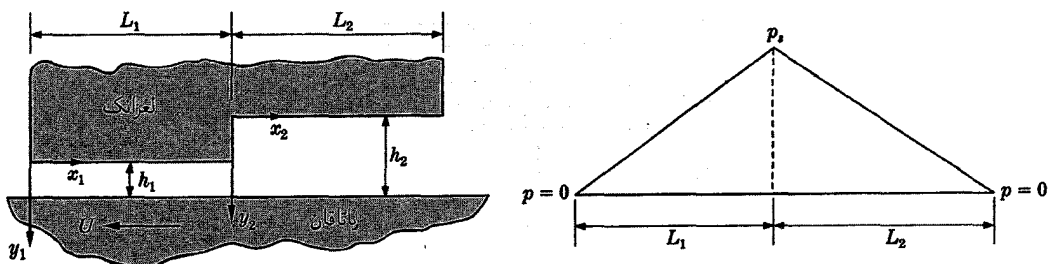
۵-۱۲ روغنکاری یاتاقانها یکی از مسائل مهم در مکانیک شاره‌هاست. روغن یا روان‌ساز موجود در یاتاقانها شاره گران‌روی است و تعیین توزیع فشار، ظرفیت بار و اصطکاک، و جز آن را می‌توان با مطالعه جریان لایه‌ای گران‌روی روان‌ساز انجام داد. بیشتر یاتاقانها در گستره جریان لایه‌ای با عدد رینولدز خیلی کوچک کار می‌کنند. فضای بین یاتاقان و لغزانک (گاف جریان) بسیار کوچکتر از طول لغزانک است. به‌گونه‌ای که جریان در سرتاسر گاف کاملاً توسعه‌یافته می‌شود. چون عدد رینولدز بسیار کوچک است، لختی شاره در مقایسه با فشار و نیروهای گران‌رو نادیده گرفته می‌شود. بررسی مسئله روغنکاری شبیه مسئله جریان کوتاه است (مسئله ۵-۱۱).

یاتاقانی پله‌ای، همچون شکل ۵-۳۰، را در نظر بگیرید. فضاهای  $h_1$  و  $h_2$  بسیار کوچکتر از  $L_1$  و  $L_2$  هستند و فرض می‌شود پهنای یاتاقان در جهت  $z$  خیلی بزرگ باشد، به‌گونه‌ای که نشت در جهت  $z$  را می‌توان نادیده گرفت. برای لغزانکی با سرعت  $U$  و شاره‌ای با گران‌روی  $\mu$ ، توزیع فشار را در یاتاقان به دست آورید.

هریک از قسمت‌های  $L_1$  و  $L_2$  را درست مانند مسئله کوتاه می‌توان بررسی کرد. دستگاه مختصات را به لغزانک متصل می‌کنیم و می‌گذاریم تا یاتاقان ساکن با سرعت  $U$  در جهت منفی  $x$  نسبت به لغزانک حرکت کند. آنگاه، در هر یک از قسمت‌ها، داریم  $u = 0$  در  $y = 0$  و  $u = U$  در  $y = h$ . فشار نسبی در ورودی، که  $x_2 = L_2$ ، و در خروجی، که  $x_1 = 0$ ، صفر است. فشار در پله، که  $x_1 = L_1$  یا  $x_2 = 0$  مجهول است و آن را باید با استفاده از شرط پیوستگی، که  $Q_1 = Q_2$ ، به دست آورد. از رابطه‌های به دست آمده در مسئله قبل، داریم

$$Q_1 = -\frac{h_1^3}{12\mu} \frac{p_s}{L_1} - \frac{Uh_1}{2} = Q_2 = \frac{h_2^3}{12\mu} \frac{p_s}{L_2} - \frac{Uh_2}{2}$$

فشار در هر یک از قسمت‌ها به‌طور خطی برحسب  $x$  تغییر می‌کند و توزیع فشار، همان‌گونه که در شکل دیده می‌شود، مثلثی است. فشار قله  $p_s$  از



(الف) یاتاقان

(ب) توزیع فشار

تساوی  $Q_1$  و  $Q_2$  به دست می‌آید. نتیجه عبارت است از

$$p_s = \frac{6\mu U(h_2 - h_1)}{(h_1^3/L_1) + (h_2^3/L_2)}$$

که فشار را به طور کامل برحسب  $x$  مشخص می‌کند. ظرفیت حمل بار کلی همان مساحت زیر منحنی توزیع فشار است. ظرفیت بار  $W$  برای واحد پهنای  $z$  عبارت است از

$$W = (p_s/2)(L_1 + L_2)$$

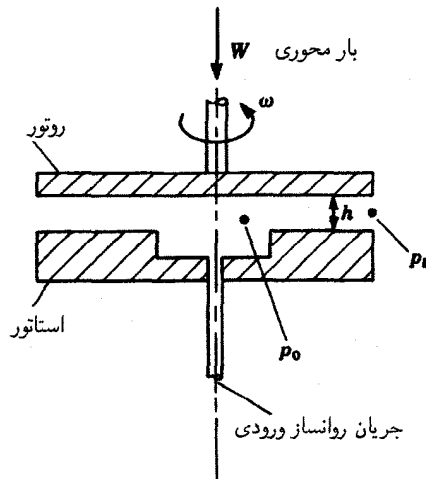
از نظر فیزیکی، اگر بار تغییر می‌کرد فضاها  $h_1$  و  $h_2$  تغییر می‌کردند و لغزانک با کاهش یا افزایش بار بالا یا پایین می‌رفت. با دانستن سرعت جریان در سرتاسر لایه نازک جریان، اصطکاک را می‌توان با انتگرال‌گیری تنش برشی در امتداد لغزانک یا یاتاقان به دست آورد. این محاسبات را به عنوان تمرین انجام دهید. درمی‌یابید که تنشهای برشی در امتداد سطحهای بالا و پایین کاملاً برابر نیستند، اما اگر نیروی فشار در مقابل پله در محاسبه اصطکاک صفحه بالا یا لغزانک شامل شود، هر دو محاسبه نتیجه یکسانی به دست خواهند داد.

۱۳-۵ یاتاقان محوری هیدروستاتیکی ای را در شکل ۳۱-۵ نشان داده‌ایم. دو قرص دایره‌ای (به شعاع  $b$ ) به فاصله  $h$  از یکدیگر قرار گرفته‌اند (در عمل،  $h$  حدود  $10^{-1}$  تا  $10^{-2}$  اینچ است) و قطر هریک ممکن است تا چندین اینچ برسد. مایع روانساز تحت فشار را از طریق فنجانک یا خزینهای به شعاع  $a$ ، که در فشار زیاد  $p_0$  نگه داشته می‌شود، به استاتور وارد می‌کنیم. قرص بالا با سرعت  $\omega$  می‌چرخد و بار  $W$  را نگه می‌دارد. روانساز به طور شعاعی به شکاف بین قرصها نفوذ می‌کند تا به فشار  $p_b$  برسد. توزیع فشار را در روانساز و ظرفیت حمل بار  $W$  را به دست آورید. چون  $h \ll b$ ، فرض می‌کنیم که عدد رینولدز  $1 \ll Re$  است و جمله‌های لختی در معادله حرکت را نادیده می‌گیریم. معادله حرکت شعاعی به صورت زیر در می‌آید

$$0 = -\frac{\partial p}{\partial r} + \mu \frac{\partial^2 u}{\partial z^2}$$

معادله حرکت مماسی به صورت زیر است

$$\frac{\partial^2 v}{\partial z^2} = 0$$



شکل ۳۱-۵

شرایط مرزی عبارت‌اند از  $u = 0$  در  $y = h$ ،  $y = 0$  و  $v = 0$  در  $y = 0$ ؛  $v = r\omega$  در  $y = h$ . از انتگرال‌گیری مستقیم نتیجه زیر به دست می‌آید

$$v = r\omega \left( \frac{z}{h} \right)$$

$$u = \frac{1}{2\mu} \frac{dp}{dr} (z^2 - hz)$$

آهنگ جریان  $Q$  از رابطه زیر محاسبه می‌شود

$$Q = \int_0^h 2\pi r u dz = -\frac{\pi r h^3}{6\mu} \frac{dp}{dr}$$

که معادله‌ای رتبه اول است که می‌توان آن را روی  $p(r)$  و  $Q$ ، با دو شرط مرزی  $p = p_0$  در  $r = a$  و  $p = p_b$  در  $r = b$ ، انتگرال‌گیری کرد.

$$Q = \frac{\pi h^3 (p_0 - p_b)}{6\mu \ln(b/a)}, \quad \frac{p_0 - p}{p_0 - p_b} = \frac{\ln(r/a)}{\ln(b/a)}$$

و بارکل  $W$  برابر است با

$$W = (p_0 - p_b) \pi a^2 + \int_a^b (p - p_b) 2\pi r dr = \frac{\pi (b^2 - a^2) (p_0 - p_b)}{2 \ln(b/a)}$$

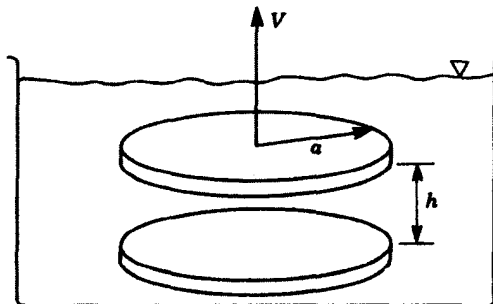
۱۴-۵ دو قرص دایره‌ای تخت موازی به شعاع  $a$  را وارد حمام روغن کم‌عمقی می‌کنیم (شکل ۵-۳۲). فاصله دو قرص  $h$  است که  $h \ll a$ . ناگهان این دو قرص با سرعت ثابت  $V$  از هم دور می‌شوند. زمان شتاب در مقایسه با زمانهای مورد نظر بسیار کوتاه است و می‌توان فرض کرد که قرصها در زمان کوتاهی به سرعت  $V$  می‌رسند. فرض می‌کنیم که سرعت آن قدر آهسته، و  $h$  آن قدر کوچک است که از اثرهای لختی می‌توان صرف‌نظر کرد و جریان شعاعی بین قرصها را مشابه مسئله ۵-۱۳ می‌توان در نظر گرفت. سرعت بحرانی  $V$  را به‌گونه‌ای تعیین کنید که در سرعتهای بیشتر از آن کاویتاسیون رخ دهد.

با مراجعه به مسئله ۵-۱۳، نیمرخ شعاعی سرعت به صورت زیر است

$$u = \frac{1}{2\mu} \frac{dp}{dr} (z^2 - hz)$$

حجم ثابت استوانه‌ایی به شعاع  $r$  را بین این قرصها در نظر بگیرید. با اعمال اصل پیوستگی برای این استوانه، و با شرایط مرزی  $P = P_0$  در  $r = a$  فشار هیدروستاتیکی اسمی در لبه قرص است، داریم

$$\int_0^h 2\pi r u dz = -\pi r^2 V - \frac{\pi r h^3}{6\mu} \frac{dp}{dr} = \pi r^2 V$$



شکل ۵-۳۲

با انتگرال‌گیری خواهیم داشت

$$p = p_0 - \frac{3\mu V}{h^3}(a^2 - r^2)$$

فشار کمینه در  $r = 0$  رخ می‌دهد.

$$p = p_0 - \frac{3\mu V a^2}{h^3}$$

و اگر کواپتاسیون در نزدیکی صفر مطلق رخ دهد (یا به‌طور دقیقتر در فشار بخار مایع که در مقایسه با فشار جو کم است) مقدار بحرانی  $V$ ، یعنی  $V_{cr}$  برابر است با

$$V_{cr} = \frac{p_0 h^3}{3\mu a^2}$$

اگر  $V_{cr}$  افزایش یابد، کواپتاسیون در شاره رخ خواهد داد.

## مسائل تکمیلی

۱۵-۵ ضخامت لایه مرزی را در فاصله ۱۰ فوت از لبه حمله صفحه تختی با جریان هوا ( $70^\circ\text{F}$  و  $14.7\text{psi}$ ) و سرعت جریان آزاد  $60\text{fts}$  تعیین کنید. جریان را لایه‌ای فرض کنید.

۱۶-۵ در مسئله ۱۵-۵، تنش برشی را در فاصله ۱۰ فوت از لبه حمله با همان شرایط تعیین کنید.

۱۷-۵ اگر پهنای صفحه در مسئله ۱۵-۵، ۳ فوت باشد، نیروی پسای کلی و ضریب پسا را تعیین کنید.

۱۸-۵ با فرض اینکه جریان لایه مرزی در مسئله ۱۵-۵ متلاطم است، مسئله را دوباره حل کنید.

۱۹-۵ با فرض اینکه جریان لایه مرزی در مسئله ۱۶-۵ متلاطم است، مسئله را دوباره حل کنید.

۲۰-۵ با فرض اینکه جریان لایه مرزی در مسئله ۱۷-۵ متلاطم است، مسئله را دوباره حل کنید.

۲۱-۵ رابطه‌ای برای ضریب پسا برای جریان روی صفحه تخت به‌دست آورید. نتیجه‌ها را برحسب عدد رینولدز براساس طول صفحه بیان کنید.

۲۲-۵ کامیونی در حال حمل لوله جدار نازکی به طول ۳۰ فوت و قطر ۵ فوت با سرعت  $60\text{mph}$  است. توان ناشی از پسای لازم برای تک‌لوله‌ای که بالای اتاقک راننده است، را تعیین کنید.

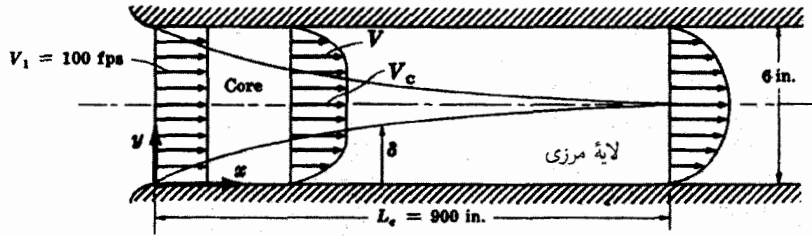
۲۳-۵ ضخامت لایه مرزی در نقطه‌ای که هوا از لوله مسئله ۲۲-۵ خارج می‌شود، چقدر است؟

۲۴-۵ هوا در بین دو دیواره موازی مطابق شکل ۳۳-۵ جریان دارد. سرعت  $V_1$  یکنواخت است و در ورودی (قسمت ۱) و در ناحیه مرکزی برابر  $100\text{ft/s}$  است. سرعت در فاصله  $900\text{in}$  پایین است. جریان برحسب پهنای کل تغییر می‌کند. سرعت در ناحیه لایه مرزی طبق رابطه  $V = V_c(y/\delta)^{1/2}$  تغییر می‌کند، که  $\delta = 0.1\sqrt{x}$ ، و  $x$  و  $\delta$  برحسب اینچ اندازه‌گیری می‌شوند. شتاب موجود بر روی محور تقارن را برای  $0 \leq x \leq 900\text{in}$  تعیین کنید. شتاب را در  $x = 100\text{in}$  محاسبه کنید.

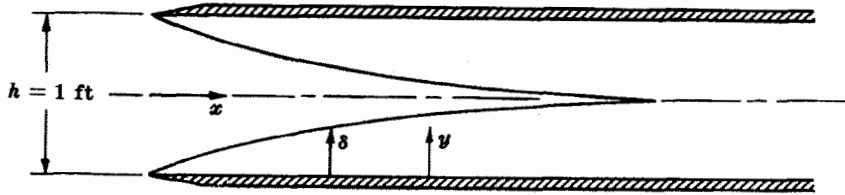
۲۵-۵ فرض کنید که جریان لایه‌ای روی صفحه‌ای تخت از رابطه زیر به‌دست می‌آید

$$u = Uy/\delta \quad 0 \leq y \leq \delta \text{ به‌ازای}$$

$$u = U \quad y > \delta \text{ به‌ازای}$$



شکل ۳۳-۵



شکل ۳۴-۵

که  $\delta = 0.1\sqrt{x}$  و  $x$  فاصله از لبه حمله صفحه، و  $y$  فاصله اندازه‌گیری شده عمود بر صفحه است. تمام ابعاد برحسب فوت است. اگر صفحه دارای پهنای یک فوت و طول ۲۵ فوت باشد نیروی پسا را تعیین کنید.

۲۶-۵ هوا در فاصله بین دو صفحه تخت همچون شکل ۳۴-۵ جریان دارد. در ورودی سرعت جریان هوا یکنواخت و برابر  $10 \text{ ft/s}$  است. ضخامت لایه مرزی  $\delta = 1/10\sqrt{x}$  است. پهنای صفحه  $W$  بسیار بزرگتر از فاصله بین دو صفحه  $h$  است و بنابراین از اثرهای انتهایی چشم‌پوشی می‌کنیم. توزیع سرعت در لایه مرزی از رابطه  $u/U = (y/\delta)^2$  به دست می‌آید، که  $U$  سرعت هسته مرکزی جریان و  $y$  مختصه اندازه‌گیری شده از دیواره هریک از صفحه‌هاست. فشار را در نقطه ۲۵ فوت از ورودی تعیین کنید.  $\delta$  و  $x$  برحسب فوت هستند.

۲۷-۵ در مسئله ۲۶-۵ فشار را در مکانی در پایین دست جریان، که فاصله‌اش دو برابر فاصله لازم برای تبدیل جریان به جریان کاملاً توسعه‌یافته است، به دست آورید.

۲۸-۵ در مسئله ۲۶-۵ نیروی کل وارد از سوی شاره به دیواره‌ها را بین ورودی و مکانی که جریان کاملاً توسعه‌یافته می‌شود، تعیین کنید.

۲۹-۵ در مسئله ۲۶-۵، مسئله را برای لوله، به جای صفحه‌های موازی، حل کنید.

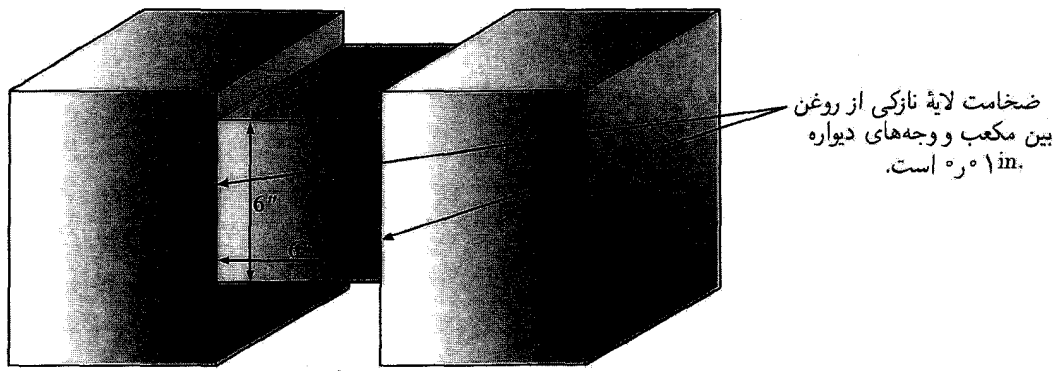
۳۰-۵ در مسئله ۲۸-۵، مسئله را برای لوله، به جای صفحه‌های موازی حل کنید.

۳۱-۵ تویی که سطحی زیر دارد، در مقایسه با تویی با سطح صاف، مسافت بیشتری با سرعت اولیه یکسان، می‌پیماید. توضیح دهید.

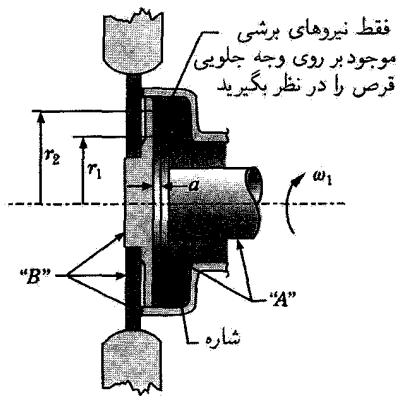
۳۲-۵ سرعت اولیه توپ گلفی را تعیین کنید که مسافت ۲۵۰ یارد را در هوا طی می‌کند. فرض می‌کنیم که توپ در موقع برخورد به زمین دارای سرعت  $20 \text{ ft/s}$  است.

۳۳-۵ نیروی کل وارد بر آنتن خودروبی به قطر  $1/8$  اینچ و ارتفاع ۴ فوت در سرعت (خودرو)  $60 \text{ m/h}$  تعیین کنید.

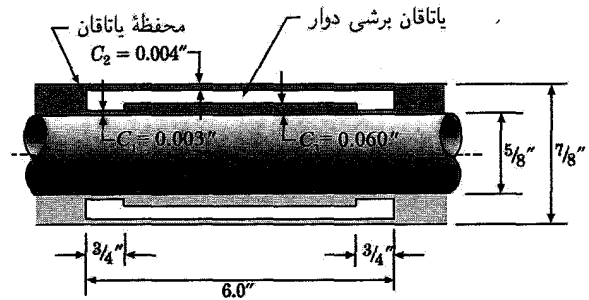
۳۴-۵ توان لازم در نتیجه نیروی وارد بر آنتن را در مسئله ۳۳-۵ تعیین کنید.



شکل ۳۵-۵



شکل ۳۷-۵



شکل ۳۶-۵

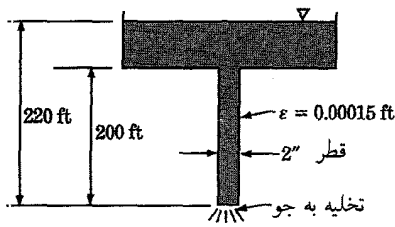
۳۵-۵ وزنه‌ای مکعبی به وزن ۵ پوند بین دو دیواره موازی با سرعت  $\frac{1}{4}$  ft/s همچون شکل ۳۵-۵، سقوط می‌کند. گران روی روغن را تعیین کنید.

۳۶-۵ یاتاقان برشی دوار بین محور و محفظه یاتاقان در سوپر شارژر (ایرپرکن) توربینی برای کمینه کردن سرعت نسبی بین قطعات متحرک به‌کار رفته است.

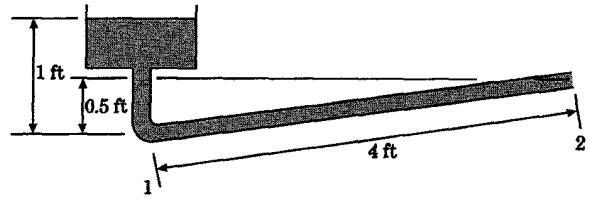
ابعاد یاتاقان سوپر شارژر توربینی را در شکل ۳۶-۵ نشان داده‌ایم. محور با سرعت  $60000$  rpm می‌چرخد. گران روی روغن استفاده شده در این یاتاقان  $\mu = 1 \times 10^{-4}$  lbs/ft<sup>2</sup> است. سرعت زاویه‌ای یاتاقان را تعیین کنید. لقی‌های مختلف  $C_1$ ،  $C_2$  و  $C_3$  بین یاتاقان برشی و محفظه و محور را در شکل مشخص کرده‌ایم.

۳۷-۵ محرکه فن موجود در شکل ۳۷-۵ به‌گونه‌ای طراحی شده است که حرکت نسبی‌ای بین محور محرک و مجموعه موتنازی قرص «A»، و محفظه و مجموعه موتنازی «B» وجود دارد. سرعت‌های زاویه‌ای به‌ترتیب  $\omega_1$  و  $\omega_2$  ( $\omega_1 > \omega_2$ ) هستند. گشتاور چرخشی  $T$  بین این دو قطعه به‌وسیله شماره‌ای با گران روی  $\mu$  انتقال می‌یابد. در این شرایط، لقی لازم  $a$  را تعیین کنید.  $a$  را برحسب  $\omega_1$ ،  $\omega_2$ ،  $\mu$ ،  $r_1$ ،  $r_2$  و  $T$  بیان کنید.

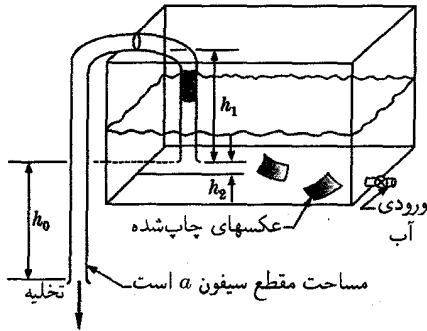
۳۸-۵ جریان آب  $60^\circ\text{F}$  ( $\nu = 1.217 \times 10^{-5}$  ft<sup>2</sup>/s) از میان لوله صافی به قطر درونی  $\frac{1}{8}$  اینچ مطابق شکل ۳۸-۵ عبور می‌کند. با در نظر گرفتن افت‌های اصطکاکی فقط بین قسمتهای ۱ و ۲ سرعت شاره را در خروجی (قسمت ۲) به‌دست آورید.



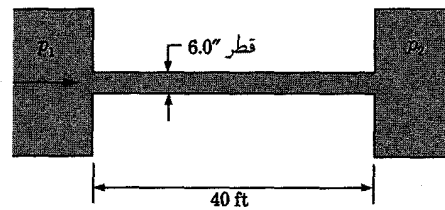
شکل ۳۹-۵



شکل ۳۸-۵



شکل ۴۱-۵



شکل ۴۰-۵

۳۹-۵ هوا در لوله گالوانیزه آهنی ای ( $\epsilon = 0.00015 \text{ ft}$ ) به قطر ۳٫۵ ft با آهنگ  $12000 \text{ ft}^3/\text{min}$  جریان دارد. طول لوله ۸۰۰ ft است. اختلاف ارتفاع بین ورودی و خروجی چقدر است، اگر تغییر فشار صفر باشد؟

۴۰-۵ سرعت متوسط جریان آب  $70^\circ\text{F}$  از میان لوله شکل ۳۹-۵ را تعیین کنید.

۴۱-۵ طول لوله مسئله ۴۰-۵ چقدر باید باشد تا آهنگ جریان بیشینه آب برابر مسئله ۴۰-۵ شود.

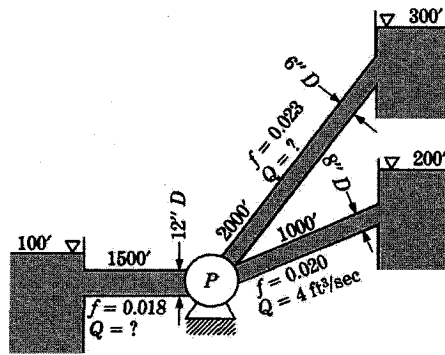
۴۲-۵ دو منبع آب را به وسیله لوله صافی به طول ۱۰۰ فوت و قطر ۲ اینچ متصل کرده ایم. آهنگ جریان آب را، وقتی اختلاف ارتفاع ۲۵ فوت است، به دست آورید.

۴۳-۵ هوا با سرعت متوسط  $100 \text{ ft/s}$  در لوله صافی به قطر ۶ اینچ مطابق شکل ۴۰-۵ بین دو اتاقک محفظه تهویه اجباری جریان دارد. اختلاف فشار  $p_1 - p_2$  را با این فرض که افتهای جزئی وجود دارد، تعیین کنید. دمای هوا  $70^\circ\text{F}$  است.

۴۴-۵ اگر در مسئله ۴۳-۵ افتهای جزئی را در نظر بگیریم، اختلاف فشار را تعیین کنید.

۴۵-۵ مخزن مکعب مستطیلی شیشه‌ای رویازی، که برای شستشوی عکسهای چاپ شده به کار می‌رود، دارای لوله سیفونی است که آب ظرف را خالی می‌کند. عملیات به صورت زیر انجام می‌گیرد. با مراجعه به شکل ۴۱-۵ جریان آبی به درون ظرف برقرار است تا اینکه آب به بالای لوله سیفون برسد، در این لحظه آب ورودی قطع می‌شود. آب درون ظرف از طریق لوله سیفونی بیرون می‌رود تا اینکه سطح آب ظرف به زیر لوله سیفونی درون ظرف برسد. دوباره، چرخه ورود آب با آب تازه شروع می‌شود. چه مدت زمان طول می‌کشد تا آب ظرف خالی شود؟

۴۶-۵ آب در سیستم لوله‌کشی شکل ۴۲-۵ جریان دارد. آهنگ جریان آب در لوله ۸ اینچی  $4 \text{ ft}^3/\text{s}$  به مخزن است. آهنگ جریان را در لوله‌های دیگر تعیین کنید و توان پمپ را بر حسب اسب بخار به دست آورید. ضریبهای اصطکاک  $f$ ، طول لوله‌ها و ارتفاع مخزنها معلوم‌اند.

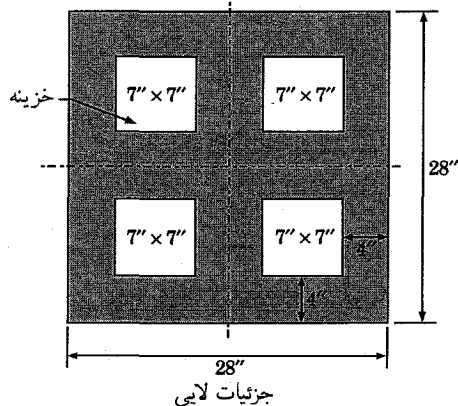


شکل ۴۲-۵

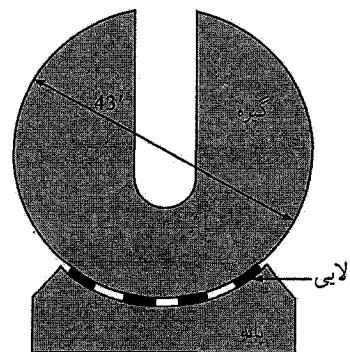
۴۷-۵ تلسکوپ مونت پالومار بر روی گیره نعلی شکلی نصب شده است و به کمک آن می‌توان عدسی لوله تلسکوپ را بر روی ستاره یا سحاب مورد نظر متمرکز کرد. گیره نعلی شکل را می‌توان آن‌گونه تنظیم کرد که خود ستاره را، با داشتن مسیر حرکت آن تعقیب کند. به علت ساختمان بسیار سنگین پایه و گیره، طراحی یاتاقان بسیار اهمیت دارد. وزن کل تلسکوپ بیش از ۱۰۰۰۰۰۰ پوند است. این وزن را دو مجموعه یاتاقان واقع در دو انتهای شمالی و جنوبی قاب دوار اصلی نگه‌می‌دارند. گیره نعل‌اسبی را چهار یاتاقان هیدروستاتیکی از نوع لایه‌دار نگه‌می‌دارند. هر یک از لایه‌ها باید بتوانند ۱۶۴۰۰۰ پوند بار را در شرایط سرعت صفر تحمل کنند. بنابراین، روغن را باید تحت فشار به درون این لایه‌ها تزریق کرد.

شکل ۴۳-۵ و ۴۴-۵ گیره نعلی شکل و جزئیات لایه یاتاقان را نشان می‌دهد. هر یک از لایه‌ها ۲۸ اینچ مربع‌اند و چهار ناحیه تورفتگی (خزینه) به مساحت ۷ اینچ مربع دارند. روغن به وسیله لوله‌های کوچکی به مرکز این ناحیه‌های تورفته (خزینه) تزریق می‌شود، و فشار در هر یک از خزینه‌ها، در درجه ورودی، ثابت است. روغن به آرامی به درون گاف بین سطح لایه و سطح گیره نعلی شکل جریان می‌یابد و از مخزن در فشار جو خارج می‌شود، که دوباره از طریق پمپ باز می‌گردد. فرض کنید که ضخامت لایه نازک روغن در گاف جریان ۰.۰۵ in است. کمیت‌های زیر را به دست آورید:

۱. آهنگ جریان روغن لازم
۲. فشار ورودی روغن
۳. ظرفیت پمپ روغن

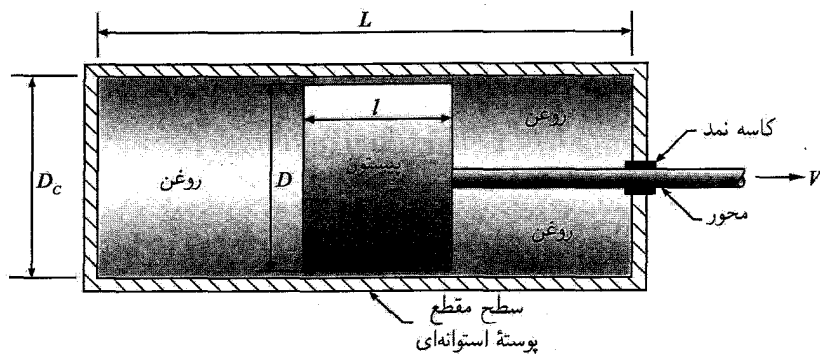


شکل ۴۴-۵



شکل ۴۳-۵





شکل ۴۵-۵

۴. ضریب اصطکاک بین گیره نعلی شکل و یاتاقان

۵. ظرفیت لازم موتور برای چرخاندن گیره نعلی شکل با آهنگ یک دور در ۲۴ ساعت برای هدفهای ردیابی.

برای محاسبه این کمیتها فرض کنید که روغن از نوع SAE ۲۰، با وزن مخصوص ۸٫۰، و گرانروی حدود  $10^{-6} \times 385$  lbs/in<sup>2</sup> است.

۴۸-۵ کمک فنر یا ضربه‌گیر هیدرولیکی موجود در شکل ۴۵-۵ شامل استوانه‌ای خارجی با قطر درونی  $D_c$  است که درون آن استوانه‌ای توپر به قطر  $D$ ، تقریباً برابر  $D_c$ ، قرار دارد. دو سر پوسته خارجی استوانه بسته است و فقط سوراخ کوچکی وجود دارد که محور را به استوانه توپر درونی یا پیستون متصل می‌کند. پوسته پر از روغن است و محور کاملاً آب‌بندی شده است، به گونه‌ای که روغن نمی‌تواند به بیرون نشت کند. پوسته خارجی به پایه‌ای بسته شده است و محور را به عضو ماشینی متصل کرده‌ایم که باید میرا شود. کمک فنر خودروها طبق این اصل کار می‌کنند.

لقی باریک بین این دو استوانه مانع عبور سریع روغن از جلو پیستون به عقب آن و بالعکس می‌شود. در نتیجه، حرکت پیستون به کناری رخ می‌دهد. با حرکت پیستون، روغن باید از شکاف ایجاد شده به وسیله لقی به اطراف جریان یابد.

نیروی مقاوم کمک فنر را برحسب پارامترهای مربوط و سرعت پیستون  $V$  به دست آورید.

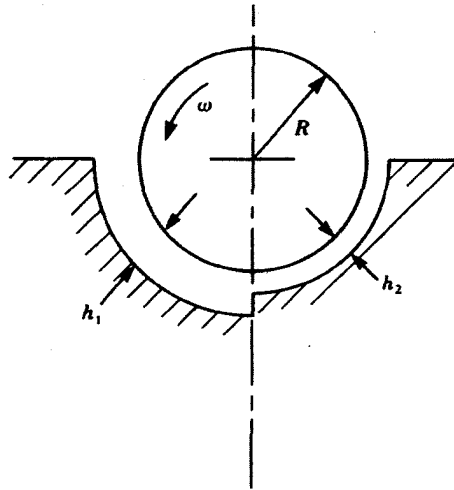
راهنمایی: از لختی شاره در فضای لقی صرف‌نظر کنید. جریان موجود در این ناحیه را شبیه لایه نازک روغن‌کاری در نظر بگیرید. اختلاف فشار موجود بین جلو و عقب پیستون بیانگر آهنگ جریان روغن در این دو ناحیه است. نیروی کل وارد بر پیستون برابر مجموع نیروهای فشار و نیروی برشی گران‌رو است.

۴۹-۵ مسئله ۵-۱۳ را برای هوا به عنوان روانساز تکرار کنید. فرض کنید که دما ثابت (جریان تک‌دما) است و هوا گازی کامل با  $p = \rho RT$  که  $R$  ثابت گازها و  $T$  دمای مطلق است.

جواب: 
$$\frac{p_1^* - p_2^*}{p_1^* - p_1} = \frac{\ln(r/a)}{\ln(b/a)}$$

۵۰-۵ شکل ۴۶-۵ یاتاقان محوری پله‌ای را نشان می‌دهد که در عمل به عنوان نگه‌دارنده بار به کار می‌رود. این یاتاقان بسیار بلند و دارای قوسی  $180^\circ$  است، که پله آن در مرکز یا زاویه  $90^\circ$  قرار دارد. در حین کار، یاتاقان گرد به‌گونه‌ای تنظیم می‌شود که مرکز آن منطبق بر مرکز دو قوس یاتاقانها شود. اگر فشار در ورودی و خروجی فشار جو باشد، مقدار بار  $W$  و جهت آن را به دست آورید. جریان لایه‌ای و کاملاً توسعه‌یافته، بدون هیچ‌گونه افت ورودی یا خروجی فرض می‌شود.

۵۱-۵ در مسئله قبل، گشتاور اصطکاکی را بر روی یاتاقان گرد، به دست آورید. آیا بزرگی گشتاور اصطکاکی وارد بر استاتور پله‌ای برابر و در جهت مخالف گشتاور وارد بر یاتاقان گرد است؟ اگر نیست، چرا؟ راهنمایی: فشار وارد بر پله را در نظر بگیرید.



شکل ۴۶-۵

۵۲-۵ مسئله ۳-۱۶ را با منظور کردن اصطکاک در لوله دوباره حل کنید. فرض می‌کنیم که  $D = 6 \text{ in}$ ،  $h = 12 \text{ ft}$ ، و طول لوله  $100 \text{ ft}$  و لوله صاف است. (عمق دریاچه به صورتی است که  $L < h$ ) راهنمایی: مقداری را برای آهنگ جریان در نظر بگیرید و توان خروجی توربین را به دست آورید و سپس توان را برحسب آهنگ جریان  $Q$  رسم کنید. اگر  $Q = 0$ ، مقدار گشتاور بیشینه است ولی سرعت و توان توربین صفر نیستند. در سرعت بیشینه گشتاور صفر است و شاره به طور آزاد جریان می‌یابد، اما توان صفر است. منحنی تغییرات توان خروجی را برحسب آهنگ شاره رسم کنید و مقداری برای توان بیشینه به دست آورید.

جواب: ۵۱ hp

۵۳-۵ پمپ شناوری با توان نیم اسب بخار و بازده  $80\%$  برای پمپ کردن آب چاه به منبع ذخیره‌ای مطابق شکل ۵-۴۷ به کار می‌رود. سطح آب در چاه به طور ثابت  $100 \text{ ft}$  از لبه چاه است و پمپ در عمق  $200 \text{ ft}$  از لبه چاه قرار دارد. لوله‌ای به قطر درونی یک اینچ (با ضریب اصطکاک  $f = 0.01$ ) پمپ را به منبع آب متصل می‌کند. منبع ذخیره در فاصله  $100 \text{ ft}$  فوئی از سر چاه قرار گرفته است. منبع آب به اتاقک هوایی وصل شده است که بر اثر آن فشار منبع برابر  $6 \text{ psig}$  ثابت می‌ماند.

پمپ با چه آهنگی آب را بر منبع می‌رساند (برحسب گالن در دقیقه)؟

۵۴-۵ رفتار لایه مرزی را در نزدیکی نقطه سکون با فرض نیمرخ سرعت مکعبی، تعیین کنید. و نتیجه‌ها را با حالت نیمرخ سرعت درجه دو، که در متن آمده است، مقایسه کنید.

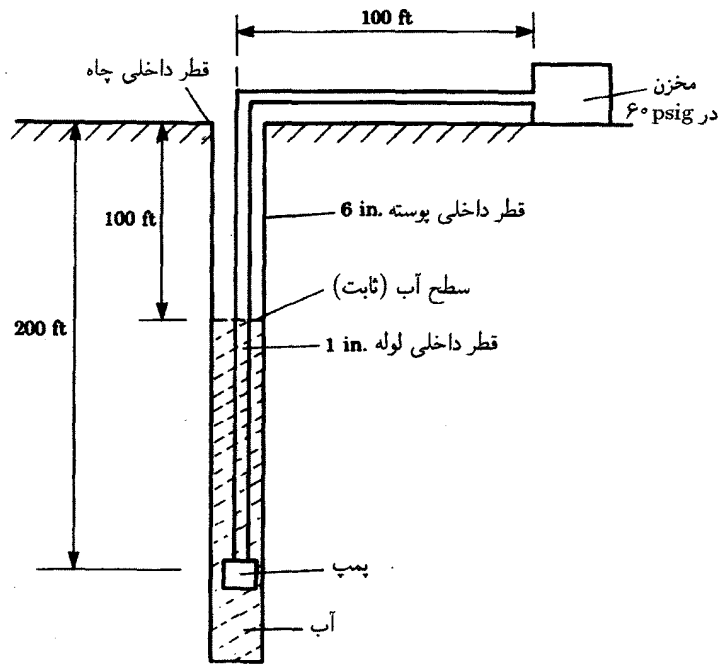
جواب:  $\delta_0 = 2.4 \sqrt{\mu / A \rho U_\infty}$  که در رابطه (۵-۳۳) داده شده است.

۵۵-۵ صفحه تخت متخلخلی از یک طرف تحت مکش قرار گرفته است که در نتیجه، جریان شاره با سرعت ثابتی ( $v_0$ ) از روی آن می‌گذرد. سرعت مکش در مقایسه با سرعت جریان آزاد،  $U_0$  کم است.

در فاصله کاملاً دور از لبه حمله مکش باعث تثبیت رشد لایه مرزی خواهد شد. ضخامت لایه مرزی و توزیع سرعت در درون لایه مرزی مستقل از مکان محوری  $x$  است.

توزیع سرعت و تنش برشی وارد شده بر روی صفحه را در این ناحیه پایدار لایه مرزی به دست آورید.

۵۶-۵ دو استوانه هم محور دایره‌ای دارای شعاع درونی  $r_1$  و شعاع خارجی  $r_2$  هستند و به ترتیب حول محور خود با سرعت زاویه‌ای  $\omega_1$  و  $\omega_2$



شکل ۴۷-۵

می چرخند. نشان دهید که نیمرخ سرعت مایع گران روی موجود بین دو استوانه عبارت است از

$$v_{\theta} = Ar + \frac{B}{r}$$

که

$$A = \frac{\omega_2 r_2^2 - \omega_1 r_1^2}{r_2^2 - r_1^2}; \quad B = \frac{(\omega_1 - \omega_2) r_1^2 r_2^2}{r_2^2 - r_1^2}$$

راهنمایی: معادله حرکت عبارت است از

$$\frac{d^2 v_{\theta}}{dr^2} + \frac{1}{r} \frac{dv_{\theta}}{dr} - \frac{v_{\theta}}{r^2} = 0$$

با توجه به شرایط مرزی  $v_{\theta} = r_1 \omega_1$  در  $r_1$ ،  $v_{\theta} = r_2 \omega_2$  در  $r_2$ ، معادله حرکت را می توان به شکل زیر نوشت

$$\frac{d}{dr} \left( \frac{dv_{\theta}}{dr} + \frac{v_{\theta}}{r} \right) = 0$$

با انتگرال گیری، داریم

$$\frac{dv_{\theta}}{dr} + \frac{v_{\theta}}{r} = C$$

که  $C$  مقدار ثابتی است. این معادله را می توان به صورت زیر نوشت

$$d(rv_{\theta}) = Cr dr$$

و مستقیماً از آن انتگرال گرفت.

## نمادگذاریهای فصل ۵

مساحت	$= A$
ضریب پسا (پس‌کشی)	$= C_D$
ضریب اصطکاک پوستی	$= C_f$
ضریب برآ (بالابر)	$= C_L$
گرمای ویژه در فشار ثابت	$= c_p$
گرمای ویژه در حجم ثابت	$= c_v$
نیروی پسا و قطر	$= D$
عدد اِکرت	$= E_c$
ضریب اصطکاک، نماد تابعی	$= f$
نیروی سطحی	$= F_s$
نیروی سطحی در جهت $x$	$= F_{s_x}$
فاصله یا نصف فاصله بین دو صفحه موازی	$= h$
افت هد	$= H_L$
ضریب افت برای افتهای جزئی	$= K$
طول	$= L$
نما برای قانون توانی توزیع سرعت، جرم	$= m$
شار جرمی	$= \dot{m}$
شار تکانه	$= \dot{M}$
نما برای قانون توانی توزیع سرعت	$= n$
عدد پرنتل	$= P_r$
فشار	$= p$
انتقال گرما در واحد جرم شاره جاری	$= q$
آهنگ جریان حجمی	$= Q$
مختصه شعاعی	$= r$
شعاع لوله	$= R$
عدد رینولدز	$= Re$
عدد رینولدز طول $= U_x/\nu$	$= Re_x$
دما	$= T$
سرعت در جهت $x$ ، انتگرال انرژی بر واحد جرم (انرژی درونی ویژه)	$= u$
سرعت اصطکاک دیواره، $\sqrt{\tau_0/\rho}$	$= u_\tau$
سرعت جریان آزاد یا بیشینه	$= U$
سرعت در جهت $r$ یا جهت $y$	$= v$
سرعت	$= V$
برداری سرعت	$= \mathbf{V}$

سرعت در جهت $x$	$= V_x$
پهنا	$= W$
مختصه	$= x$
طول ورودی جریان برای	$= X_L$
مختصه	$= y$
ارتفاع	$= z$
ضخامت لایه مرزی	$= \delta$
ضخامت جابه‌جایی	$= \delta^*$
ارتفاع زبری متوسط	$= \varepsilon$
پارامتر همانندی	$= \eta$
ضخامت تکانه	$= \theta$
گران روی	$= \mu$
گران روی سینماتیکی	$= \nu$
چگالی	$= \rho$
تنش برشی	$= \tau$
تنش برشی در دیواره	$= \tau_0$
تابع اتلاف	$= \Phi$
تابع برینل	$= \psi$

## جریان پتانسیل شاره تراکم‌ناپذیر

### ۱-۶ نظریه جریان پتانسیل

در فصل ۱ خواندیم که جریان در خارج از لایه مرزی بی‌اصطکاک و غیرچرخشی است و بنابراین به‌عنوان جریان پتانسیل شناخته می‌شود. منظور از جریان پتانسیل این است که سرعت را می‌توان از پتانسیل اسکالر (نرده‌ای) سرعت  $\phi$  به‌صورت زیر به‌دست آورد

$$\mathbf{V} = -\nabla\phi \quad (۱-۶)$$

از نظر ریاضی، شرط لازم و کافی برای اینکه میدان برداری تک‌مقداری (در این حالت  $\mathbf{V}$ ) را بتوان از تابع پتانسیل اسکالر  $\phi$  به‌دست آورد این است که تاو بردار صفر باشد (بجز در نقاط تکین). اهمیت تاو بردار سرعت (که گردشاری  $\omega$  نامیده می‌شود) را در فصل ۳ بحث کردیم. اگر گردشاری صفر باشد، جریان را «غیرچرخشی» می‌گویند، زیرا چرخش یا سرعت زاویه‌ای هر جزء بی‌نهایت کوچک شاره صفر است.

در این فصل، درباره نظریه جریان پتانسیل دوبعدی تراکم‌ناپذیر، که برای جریان فروصوتی با عدد ماخ  $M$  کمتر از ۳ ره صادق است بحث خواهیم کرد. در فصل ۸، جریان پتانسیل تراکم‌پذیر را که عدد ماخ آنها برای جریان فراصوتی مساوی یا بزرگتر از واحد است، بررسی خواهیم کرد. اگر جریان دوبعدی و تراکم‌ناپذیر باشد، با ساده‌سازی می‌توان با استفاده از نظریه متغیر مختلط جریان را به‌وسیله تبدیلهای همدیس «رسم کرد».

پرسشی که مطرح می‌شود این است که اگر شاره‌ای واقعی دارای گران‌روی باشد، چگونه می‌تواند غیرچرخشی یا پتانسیلی باشد؟ پاسخ این است که خارج از لایه مرزی، که نزدیک سطح تشکیل می‌شود، اثرهای گران‌روی (یا اصطکاک)، در مقایسه با اثرهای لختی و فشار کاملاً کوچک است (برای اعداد رینولدز بزرگتر از واحد). بجز برای جریان لوله‌ها و کانالها که لایه مرزی تا پرشدن کامل لوله رشد می‌کند، یا جریان بیرونی «خزنده» ( $Re \ll 1$ ) که لایه مرزی تا فاصله‌های دور از جسم امتداد می‌یابد، معمولاً ناحیه‌های جریانی وجود دارند که اساساً غیرچرخشی‌اند. در عمل،

لایه مرزی موجود بر روی جسمهای آئرودینامیکی (که جدایش وجود ندارد) تا ضخامتی که معمولاً بسیار کوچکتر از خود جسم است و می توان آن را برای تعیین جریان پتانسیل در خارج از لایه مرزی نادیده گرفت، رشد می کند. یعنی، تا آنجا که به جریان پتانسیل مربوط می شود، لایه مرزی فقط در افزایش اندازه مؤثر جسم، آن هم به اندازه قابل اغماض نقش دارد. به عنوان مثال، جریان هوای موجود بر روی هواپیما خود مسئله ای در جریان پتانسیل است. پس از دستیابی به جواب جریان پتانسیلی، سرعت و فشار موجود بر روی «سطح» جسم را می توان یافت. این مقدار سرعت «سطح» را شرط مرزی در لبه خارجی جریان لایه مرزی در نظر می گیرند و فشار را به صورت پارامتر تحمیل شده بر لایه مرزی تلقی می کنند.

یکی از کاربردهای مهم نظریه جریان پتانسیل در آئرودینامیک است. بحث خود را در این فصل به جریان دوبعدی محدود می کنیم. اصولاً تقسیم بحث به سه بعدی مشکل نیست، اما روشهای ریاضی، مانند ورود تابع جریان، بسیار پیچیده تر خواهد شد.

همانگونه که در فصل ۳ گفته شد، چرخش  $\omega$  (که آن را غالباً گردشاری می گویند) در شماره به صورت زیر تعریف می شود

$$\omega = \nabla \times \mathbf{V} \quad (2-6)$$

و سرعت زاویه ای جزء بی نهایت کوچک شماره  $\Omega$  با رابطه زیر به گردشاری مربوط می شود

$$\omega = 2\Omega \quad (3-6)$$

این مفهوم را می توان با نگاهی به شکل ۱-۶ توضیح داد. برای سادگی، تحلیل خود را به یک مؤلفه دکارتی محدود می کنیم، آن گاه برای مؤلفه  $z$  جمله  $\nabla \times \mathbf{V}$  داریم

$$\omega_z = (\nabla \times \mathbf{V})_z = \frac{\partial v}{\partial x} - \frac{\partial u}{\partial y}$$

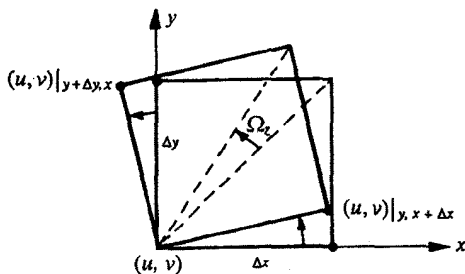
و از شکل ۱-۶ درمی یابیم که  $\omega_z$  دو برابر مقدار متوسط مؤلفه  $z$  سرعت زاویه ای برای جزء  $\Delta x \Delta y$  است. سرعت زاویه ای خط  $\Delta x$  برابر  $(v|_{x+\Delta x} - v|_x) / \Delta x$  و سرعت زاویه ای خط  $\Delta y$  برابر  $-(u|_{y+\Delta y} - u|_y) / \Delta y$  است که با میانگین گیری به صورت  $\frac{1}{4}(\partial v / \partial x - \partial u / \partial y)$  درمی آید که سرعت زاویه ای متوسط مربع  $\Delta x \Delta y$  است.

اکنون، اگر هر جریان دوبعدی (در صفحه  $xy$  به گونه ای که فقط  $\omega_z$  وجود داشته باشد) را در نظر بگیریم، با استفاده از قضیه استوکس، چرخش را می توان به صورت انتگرال خطی زیر نوشت (شکل ۲-۶)

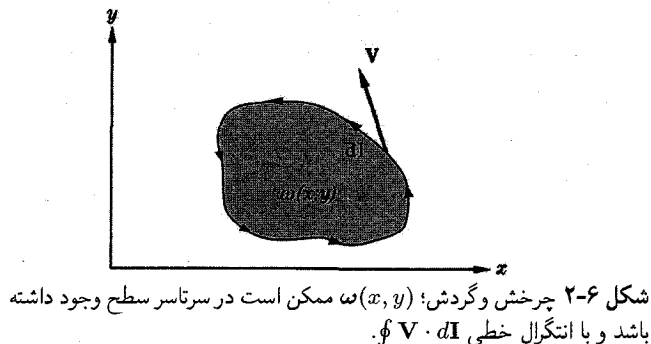
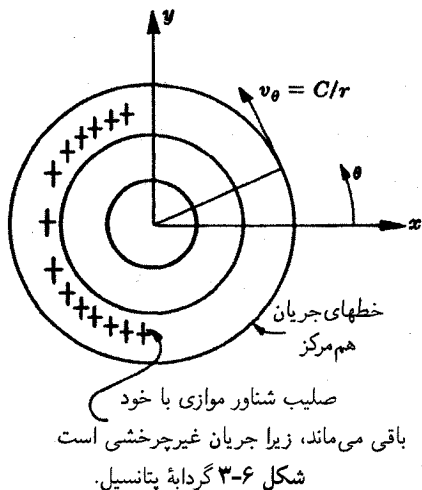
$$\int_A \omega \cdot d\mathbf{A} = \int \nabla \times \mathbf{V} \cdot d\mathbf{A} = \oint \mathbf{V} \cdot d\mathbf{I} \quad (4-6)$$

یعنی، حاصل جمع مساحت های چرخش بر روی هر سطح مفروض برابر است با انتگرال سرعت (در امتداد منحنی) در حالی که انتگرال حول منحنی اطراف سطح انجام شده باشد. این انتگرال خطی را گردش می گویند و با  $\Gamma$  نشان می دهند. برای هر منحنی بسته گردش برابر است با

$$\Gamma = \oint \mathbf{V} \cdot d\mathbf{I} = \int \omega \cdot d\mathbf{A} \quad (5-6)$$



شکل ۱-۶ چرخش جزء شماره.



اکنون، می‌توان تصویر فیزیکی چرخش را در شارۀ به‌صورت زیر به‌دست آورد. صلیب کوچکی را به‌صورت شناور بر روی سطح شارۀ ای در نظر بگیرید (شکل ۶-۳). اگر شارۀ غیرچرخشی باشد، صلیب همواره به‌طور موازی با خودش حرکت می‌کند؛ زیرا شارۀ در هیچ‌جا سرعت زاویه‌ای ندارد. البته در دنیای واقعی، صلیب طولی متناهی دارد و، با وجودی که شارۀ غیرچرخشی است، می‌تواند شروع به چرخش کند. اما در حد، هنگامی که طول صلیب آزمون بی‌نهایت کوچک می‌شود، این صلیب در جریان غیرچرخشی حول خود چرخش نخواهد داشت. در مقابل با این رفتار، صلیب شناوری را در جریان برشی گران‌رویی که چرخش دارد، در نظر بگیرید. روشن است که صلیب در حین حرکت در امتداد شارۀ، دارای چرخش نیز خواهد بود، زیرا رفتار برشی شارۀ دو انتهای صلیب را با سرعت‌های مختلفی به حرکت در می‌آورد.

مثال ساده‌ی جریان غیرچرخشی، گردابۀ پتانسیل است، که گرداب‌های معمولی یا دیوبادها تقریباً نزدیکی برای این جریان‌اند. در گردابۀ پتانسیل، سرعت  $v_\theta$  (که فقط دارای مؤلفۀ زاویه‌ای  $v_\theta$  است) از رابطۀ زیر به‌دست می‌آید

$$v_\theta = \frac{C}{r} \quad (6-6)$$

و بنابراین، پتانسیل سرعت  $\phi$  عبارت است از

$$\phi = -C\theta \quad (7-6)$$

به‌گونه‌ای که  $-\nabla\phi = (C/r)\hat{\theta}$ . که  $C$  عدد ثابت و  $\hat{\theta}$  بردار یکه در جهت  $\theta$  است. این جریان غیرچرخشی است، زیرا

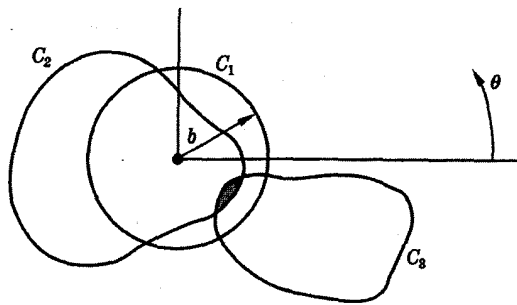
$$\nabla \times \mathbf{V} = \frac{1}{r} \frac{\partial}{\partial r} \left( r \cdot \frac{C}{r} \right) \hat{z} = 0$$

که  $\hat{z}$  بردار یکه در جهت  $z$  است. اما، در  $r = 0$  تکنیکی‌ای وجود دارد. گردش  $\Gamma$  پیرامون هر پربندی که شامل مبدأ نباشد، صفر است، اما اگر پربند شامل مبدأ باشد، مقداری متناهی برای  $\Gamma$  وجود دارد که ناشی از چرخش در مبدأ خواهد بود. اکنون، با توجه به شکل ۶-۴، شکل  $\Gamma_1$  را پیرامون پربند  $C_1$  به‌دست می‌آوریم.

$$\Gamma_1 = \int_0^{2\pi} v_\theta \Big|_{r=b} b d\theta = 2\pi C$$

در هر پربند دیگری همچون  $C_2$  که شامل مبدأ باشد، مقدار  $2\pi C$  برای گردش به‌دست می‌آید. بدین ترتیب، پتانسیل سرعت را می‌توان به‌صورت  $\phi = -\Gamma\theta/2\pi$  نوشت. هر پربندی همچون  $C_3$  دارای گردش صفر است. مقدار ثابت  $C = \Gamma/2\pi$  را به‌عنوان قدرت گرداب می‌شناسند. در دنیای واقعی، گرداب نمی‌تواند در مرکز خود دارای سرعت نامتناهی باشد و هسته‌ی مرکزی گرداب به‌صورت جسم صلبی به قطر  $a$  و سرعت زاویه‌ای





شکل ۴-۶ پربندهای انتگرال‌گیری پیرامون گردابه پتانسیل.

$\Omega$  دوران می‌کند. بدین ترتیب، از قضیه استوکس، داریم  $-\frac{1}{\rho} a \Omega^2 = 2\pi C$ . در طبیعت، طوفانهای شدید و تندبادهای حاره‌ای مثالهایی درباره گردابه هستند. چشم تندباد در ناحیه مرکزی نسبتاً آرام است، در حالی که شاره به صورت جسمی صلب دوران می‌کند.

### ۲-۶ قضیه برنولی

در فصل ۳، معادله برنولی را با انتگرال‌گیری از معادله حرکت شاره ناگران‌رو در امتداد خط جریان به دست آوردیم. همچنین، همین رابطه را با انتگرال‌گیری از معادله انرژی برای جریان بی‌اصطکاک به دست آوردیم. اکنون، چون فقط با جریان تراکم‌ناپذیر سروکار داریم، به معادله انرژی نیاز نیست و اطلاعات کامل را می‌توان از معادله حرکت و معادله پیوستگی به دست آورد.

در جریان غیرچرخشی با شرط پایستگی نیروهای حجمی که از پتانسیل  $(\mathbf{B} = -\nabla\psi)$  به دست می‌آید، معادله برنولی بین هر دو نقطه جریان (نه الزاماً بر روی یک خط جریان) صدق می‌کند.  $d\mathbf{r}$  را به صورت جزء فاصله در میدان جریان (نه الزاماً در امتداد خط جریان) در نظر می‌گیریم. بنابراین، برای جریان غیرچرخشی تراکم‌ناپذیر پایا یا ناپایا، داریم

$$\rho \int \frac{\partial \mathbf{V}}{\partial t} \cdot d\mathbf{r} + \rho \int \nabla \left( \frac{V^2}{2} \right) \cdot d\mathbf{r} - \rho \int \mathbf{V} \times (\nabla \times \mathbf{V}) \cdot d\mathbf{r} = - \int \nabla p \cdot d\mathbf{r} - \rho \int \nabla \psi \cdot d\mathbf{r}$$

که از معادله (۳-۳۶) به دست می‌آید. در جریان غیرچرخشی داریم  $\nabla \times \mathbf{V} = 0$ ، به گونه‌ای که معادله بالا به صورت زیر در می‌آید.

$$\rho \int \frac{\partial \mathbf{V}}{\partial t} \cdot d\mathbf{r} + \rho \int \nabla \left( \frac{V^2}{2} \right) \cdot d\mathbf{r} = - \int \nabla p \cdot d\mathbf{r} - \rho \int \nabla \psi \cdot d\mathbf{r} \quad (۸-۶)$$

چون جریان غیرچرخشی است، سرعت  $\mathbf{V}$  را می‌توان از تابع پتانسیل سرعت  $\mathbf{V} = -\nabla\phi$  به دست آورد، که در بخش ۴-۶ بحث خواهد شد. با انتگرال‌گیری از معادله (۸-۶) معادله برنولی ناپایا را برای جریان غیرچرخشی تراکم‌ناپذیر به دست می‌آوریم

$$-\frac{\partial \phi}{\partial t} + \frac{V^2}{2} + \frac{p}{\rho} + \psi = \text{const.} \quad (۹-۶)$$

که در سرتاسر جریان صادق است، نه فقط در امتداد خط جریان. اگر جریان پایا باشد، معادله (۹-۶) به صورت ساده زیر در می‌آید

$$\frac{V^2}{2} + \frac{p}{\rho} + \psi = \text{const.}$$

باز هم می‌توان نشان داد که اگر شاره بی‌اصطکاک ناگران‌رو باشد و نیروهای حجمی نیز غیرچرخشی (پایستار) باشند، آن‌گاه جریان الزاماً غیرچرخشی است (شاید بجز در نقاط تکیني همچون مرکز گردابه پتانسیل).

از معادله برنولی (۹-۶) برای محاسبه فشار در سرتاسر میدان جریان، با تعیین سرعت  $\mathbf{V}$ ، می‌توان استفاده کرد. تعیین سرعت  $\mathbf{V}$  مسئله مهمی در جریان پتانسیل و آئرودینامیک فروصوتی است و در بخشهای آتی بررسی خواهد شد.

## ۳-۶ قضیه گردابه کلومین و حرکت گردابه

گردش  $\Gamma$  در پیرامون هر پربند همیشه از ذرات شارۀ یکسان (خط شاره) تشکیل می‌شود و در شارۀ گران‌رو، که فقط دارای نیروهای حجمی پایستارند، ثابت است. هر چند گردشاری در چنین شرایطی معمولاً صفر است، ولی گردش، به علت وجود ناحیه گردشاری موضعی یا نقاط تکین گردشاری می‌تواند وجود داشته باشد.

با ضرب معادله حرکت در  $d\mathbf{I}$  (جزء خط شاره) و انتگرال‌گیری بر روی پربند، داریم

$$\left( \frac{D}{Dt}(\mathbf{V} \cdot d\mathbf{I}) = \mathbf{V} \cdot \frac{D}{Dt}(d\mathbf{I}) + d\mathbf{I} \cdot \frac{D\mathbf{V}}{Dt} \quad \text{به خاطر بیاورید که} \right)$$

$$\frac{D\Gamma}{Dt} = \oint \frac{D}{Dt}(\mathbf{V} \cdot d\mathbf{I}) = - \oint \left( \frac{\nabla p}{\rho} + \nabla\psi \right) \cdot d\mathbf{I} + \oint \mathbf{V} \cdot \frac{D}{Dt}(d\mathbf{I}) \quad (۱۰-۶)$$

اما چون  $d\mathbf{I} = d\mathbf{r}$  و  $d\mathbf{I} \cdot d\mathbf{V} = d(V^2/2)$  و  $\mathbf{V} \cdot d\mathbf{V} = d(V^2/2)$  (که  $\mathbf{r}$  بردار مکان لاگرانژی ذره شاره است)، و چون جمله‌های انتگرالده تک‌مقدار هستند، خواهیم داشت

$$\frac{D\Gamma}{Dt} = \oint [-d_p/\rho - d\psi - d(V^2/2)] = 0$$

بنابراین

$$\frac{D\Gamma}{Dt} = 0 \quad (۱۱-۶)$$

که مفهوم فیزیکی آن این است که  $\Gamma$  در پیرامون پربند خط شاره، در حین حرکت با شاره در هر زمان ثابت می‌ماند؛ این نتیجه بسیار مهمی است. توجه کنید که معادله (۱۱-۶) برای هر دو شارۀ تراکم‌ناپذیر و تراکم‌پذیر صادق است.

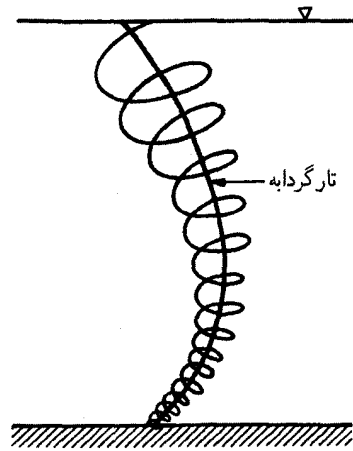
در اینجا، فقط اثبات طرحواره قضیه کلومین را ارائه کردیم و خواننده می‌تواند برای جزئیات بیشتر به مرجعها مراجعه کند. در اینجا، باید تأکید کرد که  $d\mathbf{I}$  جزء خط شاره (همیشه متشکل از مولکولهای شارۀ یکسان) است و همراه شاره حرکت می‌کند و ممکن است در حین حرکت جهت آن تغییر کند. مدار بسته‌ای که در پیرامون آن  $d\mathbf{I}$  انتگرال‌گیری می‌شود همیشه متشکل از ذرات شارۀ یکسان است و همیشه حلقه بسته کاملی را در دو یا سه بعد تشکیل می‌دهد. قضیه کلومین را می‌توان با انتگرال‌گیری گردشاری  $\omega$  روی سطح تشکیل‌شده به وسیله این حلقه نیز به دست آورد و با استفاده از قضیه استوکس می‌توان آن را به انتگرال خطی تبدیل کرد. جزء  $d\mathbf{I}$  را نباید با جزء  $d\mathbf{r}$  (که در فضای مختصه تثبیت شده است و می‌توان آن را برحسب دیرفرانسیه‌های مختصات اویلری نوشت) اشتباه گرفت.

گردابه‌ای سه‌بعدی همچون دیوباد را که مرکز آن خط نامنظمی را تشکیل می‌دهد، در نظر می‌گیریم. این خط را که مکان هندسی مرکزگردابه‌های دوبعدی است، خط گردابه می‌گویند. به بیان دقیق‌تر، خط گردابه خطی است در شاره که مماس بر آن در هر نقطه در جهت بردار گردشاری در آن نقطه است. هر شارۀ چرخشی، تعداد مجموعه خطهای گردابه نامتناهی است. اما، اگر گردشاری ناشی از حرکت گردابه پتانسیل باشد، فقط تک خطی وجود دارد که مرکزگردابه پتانسیل را به هم وصل می‌کند.

لوله گردابه، لوله‌ای است که مکان هندسی خطهای گردابه کشیده شده از روی تمام نقطه‌های منحنی بسته است.

تار گردابه، لوله گردابه‌ای با سطح مقطع بی‌نهایت کوچک است. هسته جامد هر دیوباد را می‌توان به صورت لوله گردابه تصور کرد، که با کوچکتر شدن این هسته، سطح مقطع لوله بی‌نهایت کوچک می‌شود و به صورت خط گردابه در می‌آید. (شکل ۵-۶ را ببینید).

تار گردابه و خط گردابه همسان هستند، جز اینکه قدرت را متناسب به تار می‌دانند. لوله گردابه یا تارگردابه را می‌توان با تعریف انتگرال  $\int \omega \cdot d\mathbf{A}$  روی مقطع به قدرت مرتبط کرد. این قدرت باید در امتداد لوله گردابه ثابت باشد. از این رو،  $\omega \cdot d\mathbf{A}$  را شدت تار، یعنی گردشاری بر واحد سطح تعریف می‌کنند و در امتداد تار باید ثابت بماند. بنابراین، تارها باید حلقه‌های بسته (حلقه‌های گردابه‌ای) شبیه حلقه‌های دود سیگار تشکیل دهند که به مرزهای شاره منتهی می‌شوند. تارگردابه نمی‌تواند فقط منتهی به شاره شود، مگر اینکه گران‌روی موجود باعث از بین رفتن گردشاری بشود. این بحث به حالت پایا محدود نیست و باید به خاطر داشت که همه این خطها و تارها همراه با شاره حرکت می‌کنند.



شکل ۵-۶ تارگردابهٔ مربوط به گردابهٔ پتانسیل در شماره. در هر دیواره، هستهٔ مرکزی که ابعادی متناهی دارد، در لولهٔ گردابه محصور است.

## ۴-۶ پتانسیل سرعت و تابع جریان

شرط غیرچرخشی شرط لازم و کافی برای دستیابی به سرعت از طریق پتانسیل سرعت اسکالر  $\phi$  به صورت زیر است

$$\mathbf{V} = -\nabla\phi \quad (۱۲-۶)$$

که در مختصات دکارتی عبارت است از

$$u = -\partial\phi/\partial x, \quad v = -\partial\phi/\partial y, \quad w = -\partial\phi/\partial z$$

پتانسیل سرعت را می‌توان برای جریان عمومی سه‌بعدی شمارهٔ تراکم‌ناپذیر تعریف کرد. اما، این بحث را به فصل ۸ موكول می‌کنیم و در اینجا مطالعهٔ خود را به جریان تراکم‌ناپذیر پایای دوبعدی محدود خواهیم کرد. فرض تراکم‌ناپذیری جریان برای آئرو‌دینامیک فروصوتی (عدد ماخ حدود ۰٫۳ < M) معتبر است و محدودیت آن به دو بعد امکان تحلیل ریاضی راحتی را فراهم می‌آورد، هر چند امکان بحث اثرهای سه‌بعدی، دست‌کم به‌طور کیفی، در اینجا وجود دارد. هر چند پتانسیل سرعت را می‌توان برای هر جریان غیرچرخشی تعریف کرد، عبارت جریان پتانسیل غالباً به معنی جریان تراکم‌ناپذیر دوبعدی است، مگر اینکه به صورت دیگری مشخص شده باشد.

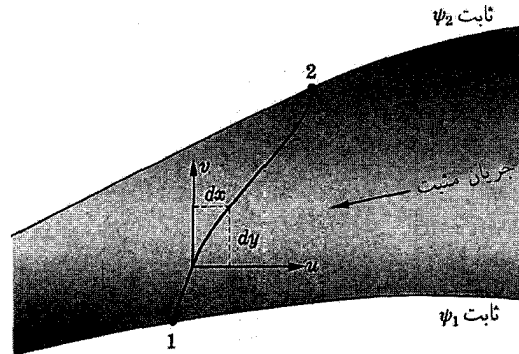
در شرایط تراکم‌ناپذیری، سرعت برحسب پتانسیل  $\phi$  را می‌توان در معادلهٔ بیوستگی  $\nabla \cdot \mathbf{V} = 0$  نشان داد تا شرط اینکه  $\phi$  تابعی هماهنگ است (در معادلهٔ لاپلاس صدق می‌کند)، به دست آید:

$$\nabla^2 \phi = 0 \quad (۱۳-۶)$$

که در مختصات دکارتی به صورت زیر است

$$\frac{\partial^2 \phi}{\partial x^2} + \frac{\partial^2 \phi}{\partial y^2} + \frac{\partial^2 \phi}{\partial z^2} = 0$$

تابع مهم دیگر، تابع جریان  $\psi$  را می‌توان برای هر میدان جریان دوبعدی، صرف‌نظر از غیرچرخشی بودن یا نبودن جریان و تراکم‌پذیری یا تراکم‌ناپذیری شماره، تعریف کرد، هر چند در اینجا خود را به جریان تراکم‌ناپذیر پایا محدود می‌کنیم. در هر جریان دوبعدی، خط‌های  $\psi$  ثابت همان خط‌های جریان هستند و اختلاف بین مقادیر عددی دو خط جریان برابر با آهنگ جریان شار بین آن دو خط جریان است. اهمیت فیزیکی تابع جریان را می‌توان با مراجعه به شکل ۶-۶ دریافت. با عبور از  $\psi_1$  به  $\psi_2$ ، جریان را از راست به چپ مثبت در نظر می‌گیریم، و  $\psi$  را برحسب  $\mathbf{V}$

شکل ۶-۶ خطهای جریان و تابع جریان  $\psi$ .

در مختصات دکارتی به صورت زیر تعریف می‌کنیم

$$u = -\frac{\partial \psi}{\partial y}, \quad v = \frac{\partial \psi}{\partial x} \quad (۱۴-۶)$$

آهنگ جریان بین  $\psi_1$  و  $\psi_2$  (که از راست به چپ مثبت است). عبارت است از

$$Q_{۱۲} = \int_1^2 (v dx - u dy) = \int_1^2 \left( \frac{\partial \psi}{\partial x} dx + \frac{\partial \psi}{\partial y} dy \right) = \int_1^2 d\psi = \psi_2 - \psi_1 \quad (۱۵-۶)$$

این انتگرال تا وقتی که دو خط جریان را به هم وصل می‌کند، مستقل از مسیر است. از نظر فیزیکی، تأکید بر تک‌مقداره بودن  $\psi$  است، به گونه‌ای که در حول هر پربند بسته، داریم  $\oint d\psi = 0$ ؛ این موضوع پربندی که دارای تکنیکی‌ای همچون چشمه یا چاه است، نخواهد بود؛ در آن حالت،  $\psi$  ممکن است تک‌مقداره نباشد، مگر آنکه خود را به حوزه آن، مثلاً  $0 < \theta < 2\pi$  محدود کنیم.

بدین ترتیب، در جریان دوبعدی، با توجه به شرط غیرچرخشی شارۀ، داریم  $\nabla \times \mathbf{V} = 0$  یا  $\partial v / \partial x - \partial u / \partial y = 0$  که همراه با تعریف  $\psi$  برای هر جریان پتانسیل تراکم‌ناپذیر پایای دوبعدی نتیجه می‌شود

$$\frac{\partial^2 \psi}{\partial x^2} + \frac{\partial^2 \psi}{\partial y^2} = 0$$

بنابراین،  $\psi$  هماهنگ است (یعنی در معادلهٔ لاپلاس صدق می‌کند) و در هر دستگاه مختصات، داریم

$$\nabla^2 \psi = 0 \quad (۱۶-۶)$$

وانگهی

$$u = -\frac{\partial \psi}{\partial y} = -\frac{\partial \phi}{\partial x}, \quad v = \frac{\partial \psi}{\partial x} = \frac{\partial \phi}{\partial y} \quad (۱۷-۶)$$

که به شرایط کوشی-ریمن معروف است.

در مختصات قطبی  $r$  و  $\theta$ ، رابطه‌های اصلی عبارت‌اند از

$$v_r = -\frac{\partial \psi}{\partial r} = -\frac{1}{r} \frac{\partial \psi}{\partial \theta}, \quad v_\theta = \frac{1}{r} \frac{\partial \psi}{\partial \theta} = \frac{\partial \psi}{\partial r} \quad (۱۸-۶)$$

و البته، خواهیم داشت  $\nabla^2 \phi = \nabla^2 \psi = 0$

بیامد مهم این حقیقت که  $\phi$  و  $\psi$  تابعهای هماهنگ‌اند و شرایط کوشی-ریمن را برآورده می‌کنند، این است که خطهای  $\phi$  و  $\psi$  ثابت متعامد هستند. به آسانی می‌توان این حقیقت را به صورت زیر نشان داد

$$\left. \frac{\partial y}{\partial x} \right|_{\phi=\text{const.}} = - \left. \frac{\partial x}{\partial y} \right|_{\psi=\text{const.}}$$

و در امتداد خط  $\phi$  ثابت

$$\begin{aligned} d\phi &= \frac{\partial \phi}{\partial x} dx + \frac{\partial \phi}{\partial y} dy = 0 \\ &= -u dx - v dy \end{aligned}$$

و در امتداد خط  $\psi$  ثابت

$$\begin{aligned} d\psi &= \frac{\partial \psi}{\partial x} dx + \frac{\partial \psi}{\partial y} dy = 0 \\ &= v dx - u dy \end{aligned}$$

بنابراین، از  $d\phi = 0$  داریم  $dy/dx = u/v$  و از  $d\psi = 0$  خواهیم داشت  $dy/dx = v/u$  و بنابراین

$$\left. \frac{dy}{dx} \right|_{\phi=\text{const.}} = - \left. \frac{dx}{dy} \right|_{\psi=\text{const.}}$$

که بیان ریاضی تشکیل شبکه متعامد توسط خطهای  $\phi$  ثابت و خطهای  $\psi$  ثابت است. چون این خطها متعامدند و در یک نوع معادلات دیفرانسیل صدق می‌کنند، نقش  $\phi$  و  $\psi$  برای معرفی جریانهای مختلف قابل تعویض است.

خطهای  $\phi$  و  $\psi$  ثابت شبکه‌ای به نام مربعهای خمیده خط تشکیل می‌دهند. در جریان یکنواخت، همه این خطها مستقیم‌اند، اما به‌طور کلی خطهای جریان و خطهای پتانسیل خمیده هستند. چون هیچ شاره‌ای از خطوط  $\psi$  ثابت نمی‌گذرد، آنها را می‌توان به‌عنوان مرزهای جامد تلقی کرد. یعنی، مرز جامد را می‌توان جایگزین خط جریان ( $\psi$  خط)، بدون تغییر طرح کلی جریان، کرد.

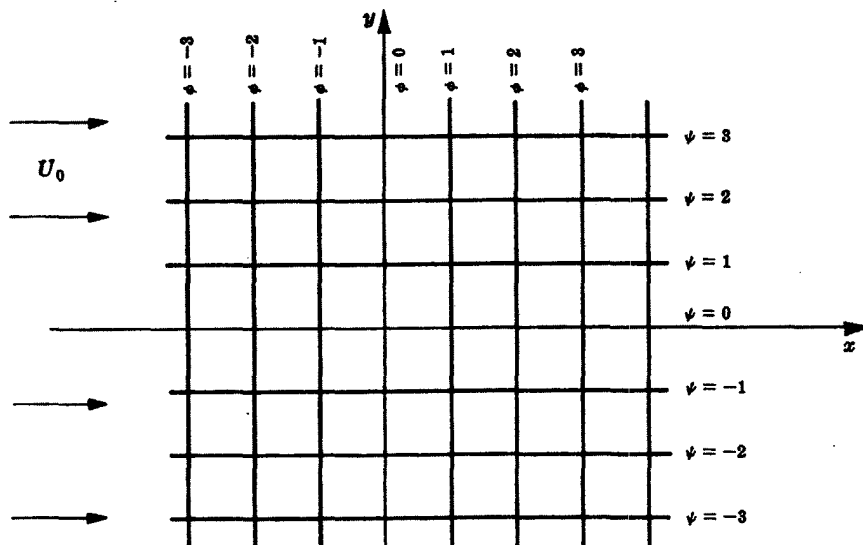
چون معادلات  $\nabla^2 \phi = \nabla^2 \psi = 0$  خطی هستند، می‌توان جوابهای جریانهای مختلف را برهم‌نهم کرد و مقدار  $\phi$  و  $\psi$  را در هر نقطه از فضا مستقیماً با هم جمع کرد تا مقادیر جدیدی برای  $\phi$  و  $\psi$  به‌دست آید، که از نظر فیزیکی به معنی برهم‌نهم مستقیم جریانهای مختلف است. به‌عنوان مثال، جریانهای ایجادشده با چشمه یا چاه، یا گردابه پتانسیل را می‌توان بر روی جریان یکنواخت برهم‌نهم کرد. در بخش بعد درباره طرحهای جریان دوبعدی ساده و بعضی از روشهای برهم‌نهم این جریانهای ساده برای ایجاد میدانهای جریان پیچیده‌تر بحث خواهیم کرد. پس از تعیین خطهای  $\phi$  و  $\psi$  برای جریانی مفروض، مؤلفه‌های سرعت مشخص می‌شوند و فشار را می‌توان به کمک معادله برنولی به‌دست آورد.

## ۵-۶ طرحهای ساده جریان

در این بخش، بعضی از جریانهای ساده و تابعهای  $\phi$  و  $\psi$  آنها را بررسی خواهیم کرد. در بخش بعد، به بعضی از روشهای حل معادلات خواهیم پرداخت. اما، با درک مسائل جریانهای ساده، بسیاری از جریانهای پیچیده را می‌توان صرفاً با برهم‌نهم این جوابهای ساده به‌دست آورد.

### ۱-۵-۶ جریان یکنواخت

فرض کنید که جریان تمام فضا را پر کرده، و یکنواخت است؛ سرعت  $U_0 \hat{x}$  موازی با محور  $x$  است، که  $\hat{x}$  برداری یکه در جهت  $x$  است. تنها مؤلفه سرعت  $u$  است، بنابراین  $-\partial\phi/\partial x = U_0 = \text{const.}$  در نتیجه، داریم  $\phi = -\int U_0 dx + f(y) = -U_0 x + C_1$  زیرا  $v$  صفر است و

شکل ۶-۷ جریان یکنواخت موازی با محور  $x$ .

باید مستقل از  $y$  باشد. ثابت  $C_1$  اختیاری است و آن را برابر صفر می‌گیریم. تابع جریان از رابطه  $U_0 = -\partial\psi/\partial y$  به دست می‌آید و با استدلال مشابه، داریم

$$\psi = -U_0 y + C_2 = -U_0 y$$

آهنگ جریان بین هر دو خط  $\psi$  ثابت ( $y$  ثابت) و از رابطه زیر به دست می‌آید

$$\psi_2 - \psi_1 = \psi \Big|_{y=y_2} - \psi \Big|_{y=y_1} = Q_{12} = -U_0 (y_2 - y_1)$$

که عددی منفی برای جریان مثبت از راست به چپ است، زیرا در اینجا، البته جریان از چپ به راست خواهد بود. در نتیجه، برای جریان یکنواخت  $U_0 \hat{x}$  موازی با محور  $x$ ، داریم

$$\phi = -U_0 x, \quad \psi = -U_0 y \quad (۱۹-۶)$$

خطهای  $\phi$  و  $\psi$  را در شکل ۶-۷ نشان داده‌ایم.

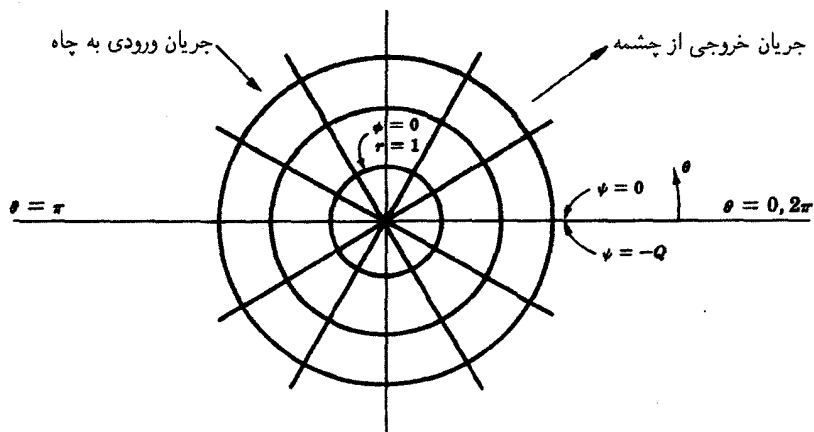
### ۶-۵-۲ چشمه‌ها و چاهها

چشمه یا چاه نقطه‌ای تکینگی‌ای است که خطهای  $\psi$  از آن منشعب می‌شوند و خطهای  $\phi$  به صورت دایره‌های هم‌مرکز در حول آن تشکیل خواهند شد. برای چشمه‌ای با آهنگ جریان  $Q$ ، سرعت شعاعی  $v_r$  برابر  $Q/2\pi r$  است و سرعت زاویه‌ای  $v_\theta$  صفر خواهد بود.  $Q$  قدرت چشمه است و به بیان فیزیکی آهنگ کل جریان در واحد عمق شاره است. بنابراین، داریم

$$v_r = -\frac{\partial\phi}{\partial r} = -\frac{1}{r} \frac{\partial\psi}{\partial\theta},$$

$$\psi = -\frac{Q}{2\pi}\theta, \quad \phi = -\frac{Q}{2\pi} \ln r \quad (۲۰-۶)$$

معادله (۲۰-۶) برای چاه نیز معتبر است، ولی  $Q$  منفی خواهد بود؛ بنابراین،  $v_r$  منفی است و جریان به طرف داخل خواهد بود. البته، هر ثابت دلخواهی را، بدون تغییر سرعتها، می‌توان به  $\phi$  یا  $\psi$  افزود.



شکل ۸-۶ چشمه و چاه اگر در  $\theta = 2\pi$ ,  $\psi = -Q$  باشد، آن‌گاه  $Q$  عددی مثبت برای چشمه و عددی منفی برای چاه است.

طرح جریان را در شکل ۸-۶ نشان داده‌ایم. البته، در مبدأ وقتی  $r \rightarrow 0$ ,  $\phi \rightarrow \infty$  که تعجب ندارد، زیرا در واقع باید همیشه سطحی متناهی وجود داشته باشد نه نقطه‌ای که شاره درون آن جریان یابد.

### ۳-۵-۶ گردابه پتانسیل

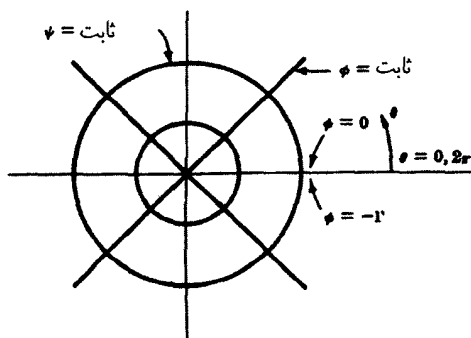
قبلاً گردابه پتانسیلی را بررسی کرده‌ایم؛ اکنون، آن را برحسب  $\phi$  و  $\psi$  بررسی می‌کنیم. برای گردابه، از تابع  $v_\theta = C/r = \Gamma/2\pi r$  برای یافتن  $\phi$  و  $\psi$  انتگرال می‌گیریم.

$$\phi = -\frac{\Gamma}{2\pi}\theta, \quad \psi = \frac{\Gamma}{2\pi}\ln r \quad (۲۱-۶)$$

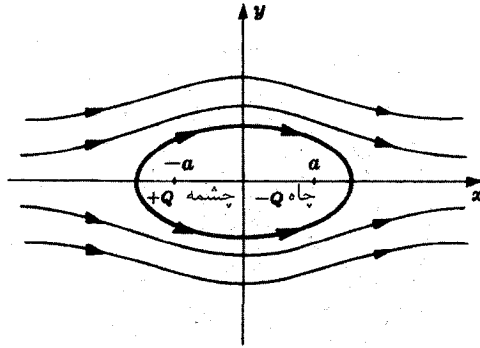
یادآور می‌شویم که نقش  $\phi$  و  $\psi$  در اینجا، از چشمه به چاه و برعکس، تعویض پذیرند. در واقع، در شکل ۹-۶ می‌بینیم که خطهای  $\phi$  و  $\psi$  ثابت طرحی مشابه با خطهای شعاعی، و دایره‌های هم‌مرکز تشکیل می‌دهند. جمله  $\Gamma/2\pi$  را قدرت گردابه می‌گویند.

### ۴-۵-۶ برهم‌نهد

به‌عنوان مثال درباره برهم‌نهد دو یا چند جریان پتانسیل، جریان موجود در شکل ۱۰-۶، یعنی بیضی رانکین را بررسی می‌کنیم. چشمه و چاهی را با قدرت مساوی به فاصله یکسان از مبدأ بر روی محور  $x$  در جریان یکنواخت  $U_0 \hat{x}$  قرار می‌دهیم. همه جریان ناشی از چشمه توسط چاه جذب می‌شود و خط جریان مشخصی وجود دارد که شماره حاوی جریان یکنواخت را از شماره جاری از چشمه به چاه جدا می‌سازد. این خط



شکل ۹-۶ گردابه پتانسیل و خطهای  $\phi$  و  $\psi$



شکل ۶-۱۰ جریان موجود بر روی بیضی‌گون رانکین. این بیضی‌گون خط جریان تقسیم‌کننده بین شاره جاری از چشمه به چاه و شاره موجود در جریان آزاد است.

جریان جداکننده را می‌توان به عنوان سطح مقطع استوانه‌ای بیضی‌گون در نظر گرفت. بدین ترتیب، از برهم‌نهی این جریانها، جریانی خارجی در پیرامون استوانه بیضی‌گون به وجود می‌آید. از ترکیب چند چشمه و چاه می‌توان جریان تقریبی در حول استوانه‌ای به شکل دلخواه را به وجود آورد که حول محور  $x$  متقارن است. با استفاده از چشمه توزیع یافته در امتداد محور  $x$  می‌توان جریان دقیق حول چنین جسمی را یافت؛ اما به طور کلی، محاسبه تابع توزیع قدرت مشکل است و به حل معادله انتگرالی نیاز دارد. این‌گونه روشها در آئرو دینامیک مفیدند. با توجه به بیضی‌گون رانکین، داریم

$$\begin{aligned}\phi &= -U_0 x - \left(\frac{Q}{2\pi}\right) \ln r_1 + \left(\frac{Q}{2\pi}\right) \ln r_2 \\ \psi &= -U_0 y - \left(\frac{Q}{2\pi}\right) \theta_1 + \left(\frac{Q}{2\pi}\right) \theta_2\end{aligned}\quad (۲۲-۶)$$

که به صورت زیر نیز می‌توان نوشت

$$\begin{aligned}\phi &= -U_0 x - \frac{Q}{4\pi} \ln \frac{(x+a)^2 + y^2}{(x-a)^2 + y^2} \\ \psi &= -U_0 y - \frac{Q}{2\pi} \left( \tan^{-1} \frac{y}{x+a} - \tan^{-1} \frac{y}{x-a} \right)\end{aligned}\quad (۲۳-۶)$$

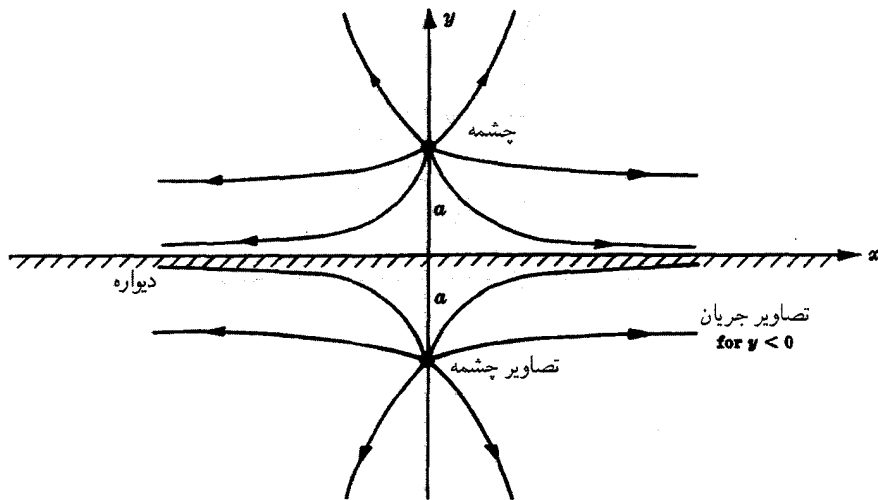
### ۶-۵-۵ روش تصاویر

همان‌گونه که گفته شد، خط جریان را می‌توان به صورت مرزی جامد در نظر گرفت. اگر جریانی را بتوان یافت که خط  $\psi$  ثابت منطبق با مرز باشد، آن‌گاه می‌توان این جریان را در امتداد آن مرز مشخص کرد. برای جریان موجود بر روی جسم، سطح جسم به مثابه خطی  $\psi$  ثابت است. غالباً می‌توان با برهم‌نهی طرحهای جریان، خطی  $\psi$  ثابت منطبق با دیواره یا مرز به وجود آورد. مثالی مفید برای این روش، روش تصاویر است. دو جریان مشابهی را در نظر می‌گیریم که با صفحه‌ای میانی از هم جدا شده‌اند؛ هیچ جریانی نباید از این صفحه میانی عبور کند و بنابراین می‌توان آن را به صورت مرزی جامد تصور کرد.

در روش تصاویر با استفاده از روش برهم‌نهی، جریانها را با بازتاب آنها در حول مرزی جامد، که هیچ جریانی از میان آن نمی‌گذرد، بر روی هم قرار می‌دهند. بسیاری از جریانهای نسبتاً پیچیده را می‌توان با این روش به وجود آورد.

برای مثال، جریان ناشی از چشمه (یا چاهی را در نزدیک دیواره (محور  $x$ ) مطابق شکل ۶-۱۱ در نظر می‌گیریم. جریان ناشی از چشمه را در  $y = a$  و تصویر چشمه را در  $y = -a$  تشکیل می‌دهیم. این دو جریان در امتداد محور  $x$ ، که خط جریان تقسیم‌کننده یا دیواره است با یکدیگر





شکل ۶-۱۱ روش تصاویر به کار رفته برای ایجاد جریان چشمه در نزدیکی دیواره.

مخالفت می‌کنند. تابعهای  $\phi$  و  $\psi$  عبارت‌اند از

$$\begin{aligned} \phi &= -\frac{Q}{4\pi} \ln\{[(y-a)^2 + x^2][(y+a)^2 + x^2]\} \\ \psi &= -\frac{Q}{2\pi} \left( \tan^{-1} \frac{y-a}{x} + \tan^{-1} \frac{y+a}{x} \right) \end{aligned} \quad (24-6)$$

به‌گونه‌ای که در  $y = 0$  مؤلفه سرعت عمود بر دیواره  $v(y=0)$  صفر است.

### ۶-۶ پتانسیل مختلط

به‌طور کلی، مسئله‌های جریان پتانسیل شامل حل معادلات لاپلاس  $\nabla^2 \phi = 0$  و  $\nabla^2 \psi = 0$  تحت شرایط مرزی مناسبی است که معمولاً عبارت‌اند از یکنواخت یا صفر بودن جریان در بی‌نهایت و عبور نکردن شاره از میان جسمهای توپری که شاره بر روی آنها جریان می‌یابد. اما، بجز برای شکلهای هندسی ساده خاص که  $\phi$  و  $\psi$  را برای آنها با حل معادله یا با انتگرال‌گیری مستقیم  $\mathbf{V} = -\nabla\phi$ ، به‌شرطی که سرعت مانند مثالهای بخش قبل معلوم باشد، می‌توان به‌دست آورد، تعیین  $\phi$  و  $\psi$  با استفاده از نظریهٔ متغیرهای مختلط و تبدیلهای هم‌مدیس به‌خوبی صورت می‌گیرد.

### ۶-۶-۱ تابع مختلط $F(z)$

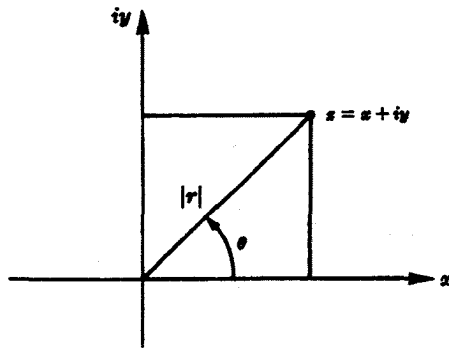
در دو بعد، این حقیقت که  $\phi$  و  $\psi$  هماهنگ هستند و در معادلات کوشی-ریمن صدق می‌کنند، شرط لازم و کافی برای تعریف تابع مختلط  $F$  (پتانسیل مختلط) به‌صورت زیر است

$$F = \phi + i\psi = F(z) \quad (25-6)$$

که  $z = x + iy$  و  $i = \sqrt{-1}$ . در صفحهٔ مختلط  $(\phi + i\psi)$ ،  $\phi$  و  $\psi$  شبکهٔ مختصات قائمی را تشکیل می‌دهند. دو تابع  $\phi$  و  $\psi$  را به‌صورت تابع‌های متغیر مختلط  $z$ ، به‌جای  $x$  و  $y$ ، در نظر می‌گیریم صفحهٔ  $xy$  بیانگر صفحهٔ جریان فیزیکی است. به‌طور کلی

$$z = x + iy = re^{i\theta} = r(\cos\theta + i\sin\theta)$$

شکل ۶-۱۲ را ببینید.  $z$  عدد مختلط با جزء حقیقی  $x$  و جزء انگاری  $y$  است.  $F$  را می‌توان به‌صورت تابع  $z$  نوشت. بنابراین،  $\phi(x, y)$  جزء حقیقی  $F$  و  $\psi(x, y)$  جزء انگاری  $F$  است.

شکل ۶-۱۲ صفحه مختلط  $z$ .

شرایط کوشی-ریمن همراه با شرایط تک‌مقدار بودن  $\phi$  و  $\psi$  و پیوسته بودن تمام مشتق‌های جزئی  $\phi$  و  $\psi$  ایجاب می‌کند که  $F$  تحلیلی (یا تمام‌ریخت) باشد. تابع تحلیلی  $F(z)$  تابعی است که (۱) در درون پربند بسته  $C$  متناهی و تک‌مقدار است، و (۲) تمام مشتق‌های آن وجود دارند و تک‌مقدارند. جزءهای حقیقی و انگاری تابع تحلیلی  $z$  را تابعهای مزدوج می‌گویند و هماهنگ هستند.  $\phi$  و  $\psi$  تابعهای مزدوج‌اند و می‌دانیم که  $\nabla^2 \phi = \nabla^2 \psi = 0$ .

با مراجعه به شکل ۶-۱۲،  $\frac{dF}{dz}$  را می‌توان برای کمیت اختیاری  $\Delta z$  محاسبه کرد. اگر  $\Delta z$  را موازی با محور  $x$  در نظر بگیریم، داریم  $\Delta z = \Delta x$

$$\frac{dF}{dz} = \frac{\partial \phi}{\partial x} + i \frac{\partial \psi}{\partial x}$$

و اگر  $\Delta z$  را موازی محور  $y$  بگیریم، داریم  $\Delta z = i\Delta y$

$$\frac{dF}{dz} = -i \frac{\partial \phi}{\partial y} + \frac{\partial \psi}{\partial y}$$

بنابراین، هر یک از این رابطه‌ها مناسب‌اند و هر دو باید برابر باشند، به‌گونه‌ای که با تساوی جزءهای حقیقی و انگاری، شرایط کوشی-ریمن

به‌دست می‌آید:

$$\frac{\partial \psi}{\partial x} = -\frac{\partial \phi}{\partial y} \quad \text{و} \quad \frac{\partial \phi}{\partial x} = \frac{\partial \psi}{\partial y}$$

### ۶-۶-۲ سرعت مختلط

با مشتق‌گیری از تابع پتانسیل مختلط  $F$ ، به‌دست می‌آوریم

$$\frac{dF}{dz} = \frac{\partial \phi}{\partial x} + i \frac{\partial \psi}{\partial x}$$

یا

$$-\frac{dF}{dz} = u - iv \quad (۶-۲۶)$$

و  $-dF/dz = u - iv$  را سرعت مختلط می‌گویند. پتانسیل مزدوج ( $\bar{F} = \phi - i\psi$ ) را نیز می‌توان نسبت به  $\bar{z}$ ، متغیر مزدوج مختلط،  $x - iy$  مشتق گرفت و رابطه  $-d\bar{F}/d\bar{z} = u + iv$  را به‌دست آورد. بنابراین

$$\frac{dF}{dz} \cdot \frac{d\bar{F}}{d\bar{z}} = u^2 + v^2 = V^2 \quad (۶-۲۷ الف)$$

که مربع سرعت در شماره است. غالباً یافتن  $V^2$  وقتی که  $F(z)$  معلوم باشد، بدون نیاز به محاسبات بیشتر، مفید است. برای تشریح معنی  $\bar{F}$  فرض می‌کنیم که  $F = z + iz^2$ ، آن‌گاه  $\bar{F} = \bar{z} - iz^{-2}$ . اگر  $F = z + a^2/z$  باشد، آن‌گاه  $\bar{F} = \bar{z} + a^2/\bar{z}$ . یعنی تمام  $i$ های صریح تغییر علامت می‌دهند و تمام  $z$ ها به  $\bar{z}$  تبدیل می‌شوند. به‌گونه دیگر، چون  $|V|$  قدرمطلق  $(u - iv)$  است

$$V^2 = \left| \frac{dF}{dz} \right|^2 \quad (۲۷-۶)$$

با داشتن  $V^2$  معادله برنولی را برای یافتن فشار در شماره می‌توان به‌کار برد. نقطه سکون،  $u = v = 0$  با قراردادن  $dF/dz = 0$  به‌دست می‌آید.

### ۳-۶-۶ نگاشت همدیس

صفحه فیزیکی که حرکت بر روی آن انجام می‌گیرد، صفحه  $z$  یا  $(x, y)$  است که خطهای  $\psi = \text{const.}$  و نشانگر خطهای جریان‌اند. در صفحه  $F$ ،  $\phi$  و  $\psi$  شبکه‌ای متعام تشکیل می‌دهند. اکنون، می‌توان از صفحه  $z$  به صفحه دیگر، مثلاً صفحه  $\zeta = \eta + i\xi$  با تبدیلی که ماهیت تعامد  $\phi$  و  $\psi$  را حفظ می‌کند، گذر کرد. چنین تبدیلی را به‌عنوان تابع نگاشت به شکل زیر می‌شناسند.

$$\zeta = f(z) \quad (۲۸-۶)$$

می‌توان نشان داد که مثلث بی‌نهایت کوچک در صفحه  $z$  را، با حفظ زاویه‌ها و همانندی آن، به‌درون مثلث بی‌نهایت کوچک مشابهی در صفحه  $\zeta$  بازنمایی کرد. این‌گونه تبدیلهای در نگاشت‌سازی به‌کار می‌رود؛ تصویر مرکاتور نگاشت همدیس کره زمین روی سطحی تخت است. با انتخاب تابعهای مناسب برای شکل معادله (۲۸-۶) می‌توان طرح جریانهای موجود در پیرامون شکلهای پیچیده را، با دانستن طرح جریان  $F(z)$  برای شکل ساده، رسم کرد. سپس، به کمک معادله (۲۸-۶) به معادله  $F(\zeta)$  رسید که بیان جریان پیچیده‌تری را در صفحه  $\zeta$  ممکن می‌سازد. مثلاً نگاشت شکل ۱۳-۶ را در نظر بگیرید. نیمه بالایی صفحه  $\zeta$  را می‌توان با تبدیل زیر، که مبدأ  $0' \rightarrow 0$  را شامل نمی‌شود، به‌درون قطاع موجود در دو صفحه  $z$  بازنمایی کرد،

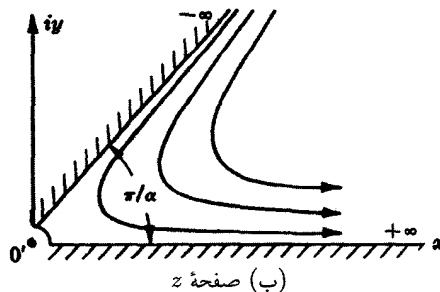
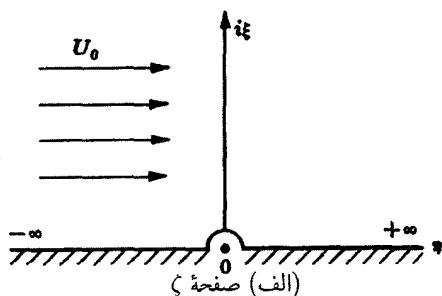
$$\zeta = z^\alpha \quad (۲۹-۶)$$

اگر ناگزیر به بررسی جریان یکنواختی در صفحه  $\zeta$  از چپ به راست آن‌گاه

$$F = -U_0 \zeta = -U_0 \eta - iU_0 \xi = \phi + i\psi \quad (۳۰-۶)$$

بنابراین، این جریان به‌صورت زیر در صفحه  $z$  و به شکل ۱۳-۶ (ب)، بیانگر جریان موجود در گوشه بود

$$F = -U_0 \zeta = -U_0 z^\alpha \quad (۳۱-۶)$$



شکل ۱۳-۶ نگاشت همدیس نیمه بالایی صفحه  $\zeta$  به‌درون قطاع  $\pi/\alpha$  در صفحه  $z$ .

## ۷-۶ پتانسیل مختلط برای تعدادی از جریانهای ساده

روش متغیرهای مختلط یکی از مؤثرترین ابزار در نظریۀ جریان پتانسیل است و اساس آئرو دینامیک فروسوتی را تشکیل می‌دهد. با تبدیلهای متوالی از طرح جریان ساده به طرح جریان پیچیده‌تر می‌توان جریان اطراف جسمهایی همچون استوانه‌ها، هواپرها و جز آن را بازسازی کرد. در این بخش، تعدادی از پتانسیلهای مختلط مهم را نام می‌بریم و طرحهای جریان آنها را شرح می‌دهیم. افزون بر آن، با برهم‌نهی پتانسیلهای مختلط، درست مثل  $\phi$  و  $\psi$ ، می‌توان طرحهای مختلف ایجاد کرد.

## ۱-۷-۶ میدان جریان یکنواخت

همان‌گونه که قبلاً بیان کردیم، معادلۀ زیر پتانسیل مختلط برای جریان یکنواخت  $U$  موازی با محور  $x$  است.

$$F = -U_0 z = -U_0(x + iy) = \phi + i\psi \quad (۳۲-۶)$$

با تساوی دو جزء حقیقی و انگاری، داریم  $\phi = -U_0 x$  و  $\psi = -U_0 y$  که از قبل می‌دانستیم و در شکل ۷-۶ نشان دادیم.

## ۲-۷-۶ چشمه‌ها و چاهها

پتانسیل مختلط برای چشمه‌ای با قدرت  $Q$  عبارت است از

$$F = -\left(\frac{Q}{2\pi}\right) \ln z = -\left(\frac{Q}{2\pi}\right) \ln r e^{i\theta} \quad (۳۳-۶)$$

در اینجا، برای امکان تقسیم  $F$  به جزءهای حقیقی و انگاری، بهتر است  $z$  را به صورت  $re^{i\theta}$  ارائه کنیم، بنابراین  $F = -Q/2\pi(\ln r + i\theta)$ . از این رو همچون شکل ۸-۶، داریم  $\psi = -(Q/2\pi)\theta$  و  $\phi = -(Q/2\pi) \ln r$ . چاه با چشمه مشابه است، با این تفاوت که  $Q$  منفی است؛ اگر  $Q$  را به صورت قدرت چاه تعریف کنیم، خواهیم داشت

$$F = \left(\frac{Q}{2\pi}\right) \ln z \quad (۳۴-۶)$$

## ۳-۷-۶ گردابۀ پتانسیل

برای گردابۀ پتانسیل، مطابق شکل ۹-۶، داریم

$$F = i\frac{\Gamma}{2\pi} \ln z = i\frac{\Gamma}{2\pi} \ln r e^{i\theta} \quad (۳۵-۶)$$

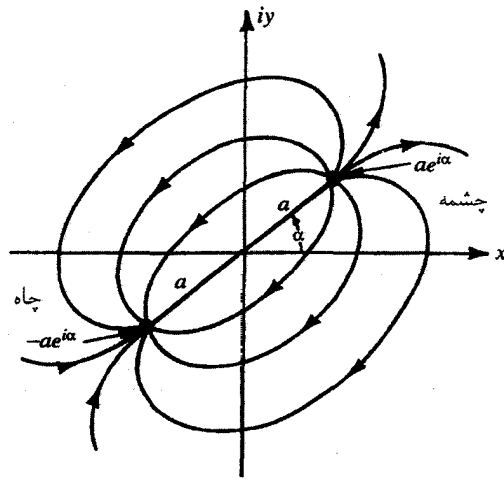
بنابراین،  $\psi = \left(\frac{\Gamma}{2\pi}\right) \ln r$  و  $\phi = -\left(\frac{\Gamma}{2\pi}\right) \theta$  که قدرت گردابه و  $\Gamma$  گردش است.

## ۴-۷-۶ دو قطبی یا دو قلو

چشمه‌ای با قدرت  $Q$  در نقطه  $A$  و چاهی به قدرت  $-Q$  در نقطه  $B$  در نظر بگیرد. نقطه  $A$  را در  $z = ae^{i\alpha}$  و  $B$  را در  $z = -ae^{i\alpha}$ ، مطابق شکل ۱۴-۶، فرض کنید. تابع پتانسیلی مختلط برای جریان برهم‌نهی شده عبارت است از

$$F = -\frac{Q}{2\pi} \ln(z - ae^{i\alpha}) + \frac{Q}{2\pi} \ln(z + ae^{i\alpha}) \quad (۳۶-۶)$$

خطهای جریان دایره‌هایی هستند که از  $A$  و  $B$  می‌گذرند.

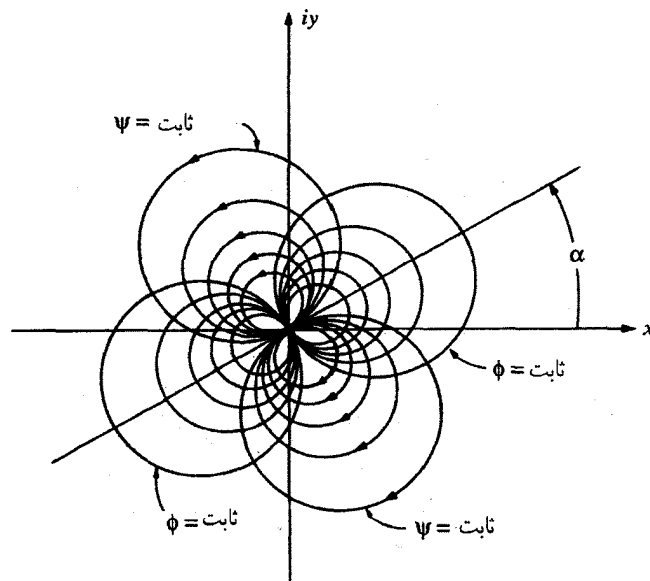


شکل ۱۴-۶ چشمه و چاه.

اکنون با نزدیک شدن  $A$  و  $B$  به هم، جریان حدی  $A \rightarrow B (a \rightarrow 0)$  را به عنوان دوقطبی یا دوقطبی یا دوقطبی می‌شناسند. پتانسیل مختلط برای این جریان (هنگامی که  $a \rightarrow 0$ ،  $B$  و  $A$  برهم منطبق می‌شوند) عبارت است از

$$F = \frac{me^{i\alpha}}{z} \quad (۳۷-۶)$$

که  $m = Qa/\pi = \text{const.}$  حتی درحالی که  $a \rightarrow 0$  با  $Q \rightarrow \infty$ ،  $\lim_{a \rightarrow 0} \frac{Qa}{\pi} = m$  قدرت دوقطبی است. همچون شکل ۱۵-۶، طرحهای جریان به صورت دایره‌هایی تار عنکبوتی هستند که برای خطهای جریان و پتانسیل سرعت به کار می‌روند. این طرحها شبیه آرایش میدان دوقطبی الکتروستاتیکی برای بارهای مثبت و منفی و طرح موجهای تابشی از آنتن رادیو دوقطبی‌اند.



شکل ۱۵-۶ جریان دوقطبی.

با تقسیم معادله (۳۷-۶) به  $\phi$  و  $\psi$ ، داریم

$$\phi = \frac{m(x \cos \alpha + y \sin \alpha)}{(x^2 + y^2)}, \quad \psi = \frac{m(x \sin \alpha - y \cos \alpha)}{(x^2 + y^2)} \quad (۳۸-۶)$$

که دایره‌های مماس بر مبدأ را نشان می‌دهند. اگر  $\alpha = 0$ ، داریم

$$\phi = \frac{mx}{x^2 + y^2}, \quad \psi = -\frac{my}{x^2 + y^2} \quad (۳۸-۶)$$

## ۵-۷-۶ حرکت جریان از روی استوانه دایره‌ای

با توجه به شکل ۱۶-۶، جریان یکنواخت  $U$  در جهت مثبت  $x$  حرکت می‌کند. استوانه‌ای به شعاع  $a$  در مبدأ قرار دارد. پتانسیل مختلط برای جریان حول این استوانه از رابطه زیر به دست می‌آید

$$F = -U_0 \left( z + \frac{a^2}{z} \right) \quad (۳۹-۶)$$

تابع جریان به کمک رابطه (۳۹-۶) به صورت زیر به دست می‌آید

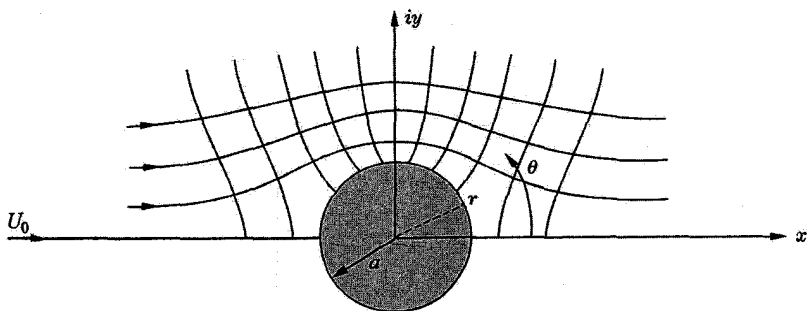
$$\psi = -U_0 \left( r \sin \theta - \frac{a^2}{r} \sin \theta \right) = -U_0 y \left( 1 - \frac{a^2}{r^2} \right) = -U_0 y + \frac{a^2 U_0 y}{x^2 + y^2} \quad (۴۰-۶)$$

که نشان می‌دهد جریان حول استوانه به صورت برهم‌نهی جریانی یکنواخت بر روی دو قطبی‌ای به قدرت  $-a^2 U_0$  است. (علامت منفی فقط نقش چشمه یا چاه را در شکل ۱۵-۶ نشان می‌دهد). پتانسیل سرعت  $\phi$  از رابطه زیر به دست می‌آید

$$\phi = -U_0 x \left( 1 + \frac{a^2}{r^2} \right) \quad (۴۱-۶)$$

در  $r = a$ ، پریند استوانه باید منطبق بر خط جریان باشد. در حقیقت، در  $r = a$ ،  $\psi = 0$ . میدان سرعت را می‌توان از  $-dF/dz = u - iv$  به دست آورد که در مختصات قطبی به شکل زیر است

$$\begin{aligned} \frac{dF}{dz} &= -U_0 + \frac{U_0 a^2}{z^2} = -U_0 + \frac{U_0 a^2 e^{-2i\theta}}{r^2} \\ &= U_0 \left( \frac{a^2}{r^2} \cos 2\theta - 1 \right) + iU_0 \frac{a^2}{r^2} \sin 2\theta \end{aligned}$$

شکل ۱۶-۶ جریان حول استوانه دایره‌ای، این شکل حول محور  $x$  تقارن دارد.

بنابراین، مؤلفه‌های سرعت در دستگاه دکارتی، عبارت‌اند از

$$u = -U_0 \left( \frac{a^2}{r^2} \cos 2\theta - 1 \right), \quad v = -U_0 \frac{a^2}{r^2} \sin 2\theta \quad (۴۲-۶)$$

و برای مؤلفه‌های سرعت در مختصات قطبی، داریم

$$v_r = U_0 \left( 1 - \frac{a^2}{r^2} \right) \cos \theta, \quad v_\theta = -U_0 \left( 1 + \frac{a^2}{r^2} \right) \sin \theta \quad (۴۳-۶)$$

در نتیجه،

$$V^2 = u^2 + v^2 = v_r^2 + v_\theta^2 = \frac{dF}{dz} \cdot \frac{d\bar{F}}{d\bar{z}} = U_0^2 \left[ 1 + \frac{a^2}{r^2} + \frac{2a^2}{r^2} (\sin^2 \theta - \cos^2 \theta) \right]$$

اکنون، فشار پیرامون استوانه را می‌توان از معادلهٔ برنولی به‌دست آورد

$$\frac{p}{\rho} + \frac{V^2}{2} = \text{const.} = \frac{p_\infty}{\rho} + \frac{U_0^2}{2} = \frac{p_0}{\rho}$$

که  $p_0$  فشار سکون در هر نقطه از جریان است که  $V$  صفر باشد و  $p_\infty$  فشار جریان آزاد در مکانی است که سرعت  $U_0$  است. در سطح استوانه، در  $r = a$  داریم

$$p \Big|_{r=a} = \frac{p_0}{\rho} - 2U_0^2 \left( 1 + \sin^2 \theta - \cos^2 \theta \right)$$

سرعت بیشینه  $2U_0$  است و در بالا و پایین استوانه ( $\theta = \pi/2, 3\pi/2$ ) رخ می‌دهد و در آنجا فشار کمینه است. چون فشار در حول محورهای  $x$  و  $y$  تقارن دارد، هیچ نیروی خالصی بر استوانه وارد نمی‌شود. البته در واقع، جدایش در پشت استوانه رخ می‌دهد و نیروی پسا وجود دارد. اما، اگر استوانه تغییر شکل دهد، به‌گونه‌ای که عقب استوانه به بیرون کشیده شود، از جدایش جلوگیری خواهد شد. در این حالت، جواب جریان پتانسیل، بجز برای لایهٔ مرزی که به اصطکاک پوستی منجر می‌شود، نسبتاً خوب است. در بخش بعد، دربارهٔ نظریهٔ هواپر مبتنی بر نتیجه‌های خوب ناشی از نظریهٔ جریان پتانسیل برای تعیین توزیع سرعت و فشار بر روی جسم آئرودینامیکی بحث خواهیم کرد.

## ۶-۸ گردش و قضیهٔ جوکفسکی

در این بخش دربارهٔ برهم‌نهی جریان گردابهٔ پتانسیل (با گردش متناهی و جریان یکنواخت موجود بر روی استوانه بحث می‌کنیم. توزیع فشار برآیند به وارد شدن برآب روی استوانه می‌انجامد. اساس نظریهٔ آئرودینامیک را به‌وجود می‌آورد.

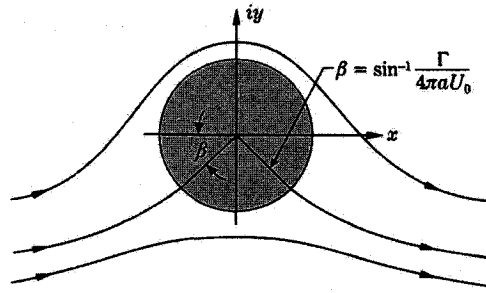
### ۶-۸-۱ گردش حول استوانهٔ دایره‌ای

جریان یکنواخت موجود بر روی استوانه‌ای دایره‌ای همراه با گردش را در نظر بگیرید. گردش از دوران این استوانه به وجود می‌آید، به‌گونه‌ای که اگر جریان یکنواخت وجود نمی‌داشت، سرعت محیطی استوانه‌ای به شعاع  $a$  متناظر با سرعت مماسی گردابهٔ پتانسیل در شعاع  $a$  می‌برد. در این صورت، تابع پتانسیل مختلط کل عبارت است از

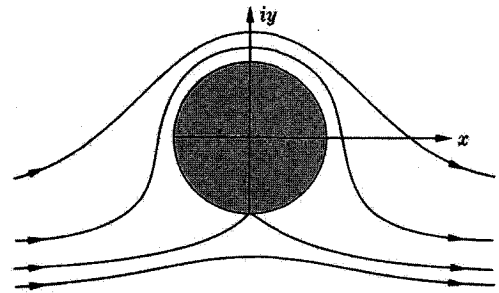
$$F = -U_0 \left( z + \frac{a^2}{z} \right) + i \frac{\Gamma}{2\pi} \ln z / a \quad (۴۴-۶)$$

بنابراین، این استوانه بخشی از خط  $\psi = 0$  است. برای تعیین شکل خطهای جریان ( $\psi = \text{const.}$ )، سرعت مختلط  $-dF/dz$  را به‌صورت زیر به‌دست می‌آوریم

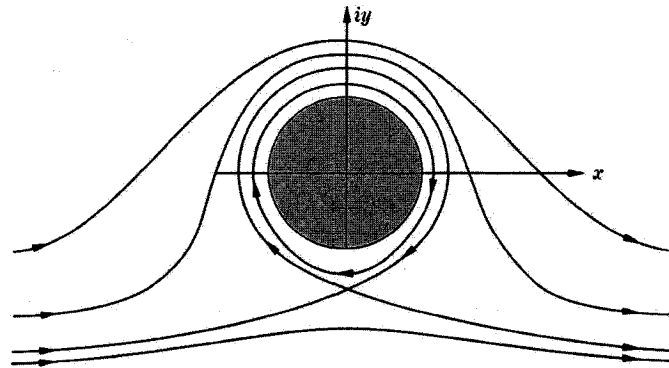
$$\frac{dF}{dz} = U_0 \left( 1 - \frac{a^2}{z^2} \right) + i \frac{\Gamma}{2\pi z}$$



(الف)  $\Gamma^2 < (4\pi a U_0)^2$ . دو نقطه سکون در پایین استوانه قرار دارند.



(ب)  $\Gamma^2 = (4\pi a U_0)^2$ . یک نقطه سکون در مرکز تحتانی قرار دارد.



(ج)  $\Gamma^2 > (4\pi a U_0)^2$ . تک نقطه سکون رو به پایین حرکت می‌کند.

شکل ۱۷-۶ خطهای جریان همراه با گردش بر روی استوانه دایره‌ای.

نقطه‌های سکون را از حل این معادله برحسب  $z$  می‌یابیم

$$U_0 \left( a^2/z - 1 \right) + i \frac{\Gamma}{2\pi z} = 0$$

بنابراین،

$$z|_{V=0} = a \left( i \frac{\Gamma}{4\pi a U_0} \pm \sqrt{1 - \frac{\Gamma^2}{16\pi^2 a^2 U_0^2}} \right) \quad (45-6)$$

سه حالت وجود دارد:  $\Gamma^2 < (4\pi a U_0)^2$ ،  $\Gamma^2 = (4\pi a U_0)^2$  و  $\Gamma^2 > (4\pi a U_0)^2$ . در شکل ۱۷-۶ جریان را برای هر یک از این سه حالت رسم کرده‌ایم.

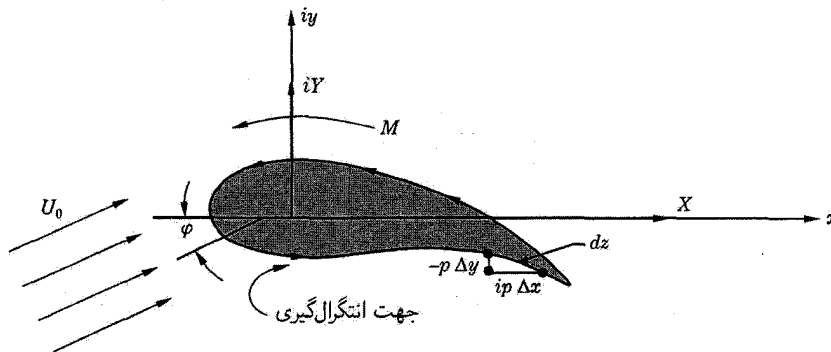
البته، نیروی برای  $L$  نیز بر روی این استوانه وارد می‌شود و در زیر رابطه‌ای کلی برای این نیروی برآ به دست می‌آوریم و نشان می‌دهیم که برابر  $L = -i\rho U_0 \Gamma$  است؛ یعنی نیروی  $-\rho U_0 \Gamma$  است که در جهت  $y$  به استوانه وارد می‌شود.

در اینجا مقدار  $\Gamma$  به سرعت دورانی استوانه بستگی دارد و به همین دلیل است که مسیر حرکت توپ بیسبال، و گلف یا پینگ‌پونگ، وقتی که چرخش دارد، خمیده است. برای جریان موجود در شکل ۱۷-۶ مقدار  $\Gamma$  منفی است و برآ در جهت  $+y$  است.

### ۲-۸-۶ قضیه بلاسیوس و قضیه کوتا-جوکفسکی

اکنون، نیروهای کلی و گشتاورهای وارد بر استوانه را در جریان پتانسیل به دست می‌آوریم و نتیجه‌ها را در محاسبات برآی وارد بر هوا بر به کار می‌بریم. با مراجعه به شکل ۱۸-۶، از فشار اطراف استوانه برای یافتن نیروی مختلط کلی  $(X + iY)$  و گشتاور  $M$  وارد بر استوانه (بر واحد طول) انتگرال





شکل ۶-۱۸ جریان روی استوانه همراه برآ و گشتاور.

می‌گیریم. از معادلهٔ برنولی، داریم  $p = p_0 - \frac{1}{2}\rho V^2$  که  $p_0$  ثابت است. آن‌گاه،

$$p = p_0 - \frac{1}{2}\rho V^2 = p_0 - \frac{1}{2}\rho \frac{dF}{dz} \cdot \frac{d\bar{F}}{d\bar{z}}$$

و انتگرال  $p$  حول استوانه سهمی در فشار ندارد.  $\psi$  روی استوانه ثابت است ( $d\psi = 0$ )، بنابراین  $d\bar{F} = dF$ . با مراجعه به شکل ۶-۱۸، داریم

$$\begin{aligned} X - iY &= - \oint_C (p dy + ip dx) = - \oint_C ip d\bar{z} \\ &= \oint_C \frac{1}{2} ip \frac{dF}{dz} \cdot \frac{d\bar{F}}{d\bar{z}} \cdot d\bar{z} = \frac{1}{2} ip \oint_C \left( \frac{dF}{dz} \right)^2 dz \end{aligned} \quad (۴۶-۶)$$

که بجای  $d\bar{F}$ ،  $dF$  را قرار داده‌ایم و جمله‌های  $d\bar{z}$  را حذف کرده، و در  $dz$  ضرب و تقسیم کرده‌ایم. گشتاور  $M$  از رابطهٔ زیر به دست می‌آید.

$$\begin{aligned} M &= \oint_C p(x dx + y dy) = \text{Re} \oint_C pz d\bar{z} \\ &= \text{Re} \oint_C -\frac{1}{2}\rho \frac{dF}{dz} \cdot \frac{d\bar{F}}{d\bar{z}} \cdot z d\bar{z} = \text{Re} \left\{ -\frac{1}{2}\rho \oint_C z \left( \frac{dF}{dz} \right)^2 dz \right\} \end{aligned} \quad (۴۷-۶)$$

Re جزء حقیقی را نشان می‌دهد.

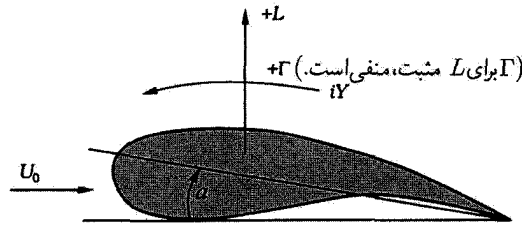
به محض دانستن  $F(z)$  برآ و گشتاور به دست می‌آیند. وانگهی با بسط  $F(z)$  رابطه‌های صریح برای  $X$ ،  $Y$  و  $M$  می‌توان یافت. اینها را به کمک قضیهٔ کوتا-جوکفسکی برای جریان شارهٔ یکنواخت موجود بر روی استوانه‌ای به شکل دلخواه به دست می‌آورند.

تابع مختلط  $dF/dz$  را می‌توان به صورت زیر بسط داد (برای  $|z|$  نسبتاً بزرگ)

$$-\frac{dF}{dz} = U_0 e^{i\varphi} + A/z + B/z^2 + \dots \quad (۴۸-۶)$$

زیرا به روشنی، هنگامی که  $z \rightarrow \infty$ ، سرعت مختلط  $-dF/dz$  به مقدار جریان آزاد  $U_0$  می‌رسد، که به طور کلی، همچون شکل ۶-۱۸، زاویهٔ  $\varphi$  با محور  $x$  می‌سازد. آن‌گاه می‌توان  $F$  را به صورت زیر تعیین کرد

$$F = -U_0 e^{-i\varphi} z - A \ln z + B/z + \dots \quad (۴۹-۶)$$



شکل ۶-۱۹ برای  $L$  وارد شده بر استوانه. زاویه حمله  $\alpha$  است. بنابر تعریف، وقتی  $\alpha = 0$ ،  $L = 0$ .

می‌بینیم که جمله دوم دقیقاً پتانسیل مختلط ناشی از گردش است. در نتیجه،  $A = \frac{i\Gamma}{2\pi}$ . بنابراین

$$\left(\frac{dF}{dz}\right)^2 = U_0^2 e^{-2i\varphi} - i \frac{\Gamma U_0 e^{-i\varphi}}{\pi z} - \frac{\Gamma^2 - 4\pi^2 B U_0 e^{-i\varphi}}{4\pi^2 z^2} + \dots$$

و به کمک قضیه بلاسیوس و نظریه انتگرال‌گیری مختلط رابطه زیر به دست می‌آید

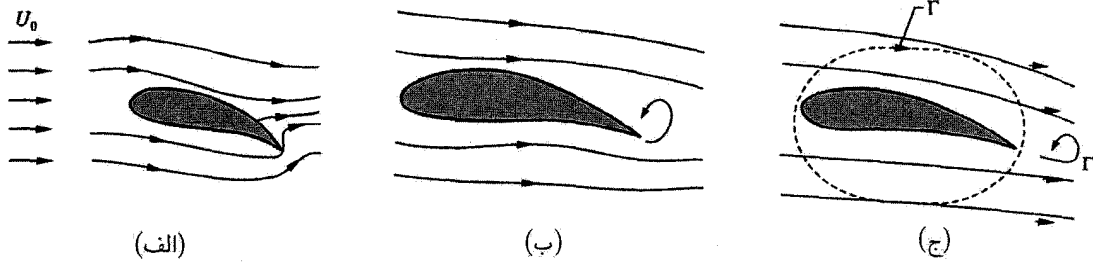
$$X - iY = \frac{1}{\rho} i\pi \left[ 2\pi i \left( -i \frac{\Gamma U_0 e^{-i\varphi}}{\pi z} \right) \right] = i\rho\Gamma U_0 e^{-i\varphi} \quad (6-50)$$

که قضیه کوتا-جوکفسکی است. این رابطه نشان می‌دهد که نیروی خالص (برای وارد بر استوانه عمود بر سرعت جریان آزاد و برابر  $-\rho U_0 \Gamma$  است. به طور کلی، می‌توان نتیجه گرفت:

۱. این نیرو همیشه عمود بر سرعت جریان آزاد است (و بنابراین به صورت نیروی برآ مشخص می‌شود).
  ۲. اگر  $\Gamma$  منفی باشد (برای  $U_0$  مثبت در جهت  $x$ ) برآ مثبت است. هیچ برآیی بدون گردش وجود ندارد. برآ فقط به  $\Gamma$  بستگی دارد (که ممکن است به نیمرخ بستگی داشته باشد).
  ۳. هیچ نیروی موازی با جهت  $U_0$  (نیروی پسا) وجود ندارد. نیروی پسا فقط به وسیله نیروی اصطکاک پوستی در لایه مرزی ایجاد می‌شود، اگر جریان حول جسم پتانسیل باشد و جدایش وجود نداشته باشد.
  ۴. نتیجه‌های بالا در جریانهای واقعی دقیق‌اند و مادامی که استوانه آئرودینامیکی است، زیربنای آئرودینامیک فروصوتی را تشکیل می‌دهند. اگر جدایش رخ دهد، پسای ناشی از افت فشار در دنباله به وجود می‌آید، اما قابل پیش‌بینی با جریان پتانسیل نیست. جریان روی استوانه مستدیر همیشه جدا می‌شود (مگر در جریان گران‌رو خیلی آهسته و جریان پتانسیل در آنجا خیلی دقیق نیست).
- به طور خلاصه، نیروی برآ برابر است با  $-\rho U_0 \Gamma$ ، و آنچه می‌ماند تعیین  $\Gamma$  برای هر استوانه مفروضی همچون هواپر شکل ۶-۱۹ است. زاویه حمله  $\alpha$  همان زاویه بین سرعت جریان آزاد و خط وتر ثابت بر روی نیمرخ است. بنابر تعریف، برای  $\alpha = 0$ ،  $L$  و بنابراین  $\Gamma$  صفرند. مقدار  $\Gamma$  با افزایش  $\alpha$  برای شکلهای خاصی افزایش می‌یابد و سرانجام واماندگی و جدایش رخ می‌دهد. سپس، با کاهش  $\Gamma$  افت شدیدی در برآ رخ خواهد داد.

## ۶-۹ نظریه هواپر

اکنون با استفاده از نتیجه‌های بخش قبل نیروی برآ برای چند شکل ساده محاسبه می‌کنیم. در اینجا، توجه خود را به شکل هواپر و علت فیزیکی گردش متمرکز می‌کنیم. همان‌گونه که اشاره شد، هر استوانه دایره‌ای چرخان ایجاد گردش می‌کند؛ اما درباره هواپر که مطمئناً نمی‌چرخد، چگونه است؟ علت گردش را در آنجا به کمک فرضیه جوکفسکی مبتنی بر غیرمجاز بودن سرعتهای نامتناهی در جریانهای واقعی به سادگی می‌توان توضیح داد.



شکل ۶-۲۰ گردش و شکل‌گیری آن حول هوابر. با پیشرفت جریان، نقطهٔ سکون به پشت جسم انتقال می‌یابد و این انتقال مقدار  $\Gamma$  را تعیین می‌کند. (الف)، (ب) و (ج) مرحله‌های پیاپی را در شروع کار هوابر نشان می‌دهد.

### ۶-۹-۱ هوابر

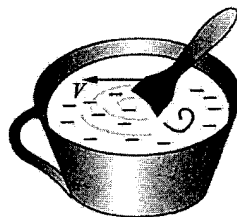
همان‌گونه که دیدیم، برآ ناشی از گردش است و در واقع، در اطراف هوابر گردش وجود دارد. با مراجعه به شکل ۶-۲۰، بنابر نظریهٔ کوتا-جوکفسکی، وجود نقطهٔ تکین در لبهٔ فرار که سرعت باید طبق نظریهٔ جریان پتانسیل نامتناهی باشد، در جریان واقعی غیرممکن است و جریان به‌گونه‌ای شکل می‌گیرد که نقطهٔ سکون به لبهٔ فرار منتقل می‌شود و بنابراین نقطهٔ تکین ناپدید خواهد شد. مقدار گردش  $\Gamma$  حول هوابر همان مقداری است که برای جابه‌جایی نقطهٔ سکون به سوی لبهٔ فرار لازم است. روشن است که برای تحقق این انتقال  $\Gamma$  باید منفی باشد و بنابراین برای  $L = -\rho U_0 \Gamma$  مثبت است.

با شروع جریان، جریان پتانسیل مطابق شکل ۶-۲۰ (الف) است. نقطهٔ سکون به پشت هوابر انتقال می‌یابد و گردابهٔ کوچکی به وجود می‌آید که پخشیده و در پایین دست جریان ناپدید می‌شود. بنابر قضیهٔ کلونین، گردش کلی در شاره نسبت به زمان باید ثابت بماند و بنابراین  $\Gamma$  ای برابر و مخالف با علامت گردابهٔ پخشیده حول هوابر به وجود می‌آید. گردش کل شاره صفر باقی می‌ماند، اما مقدار آن حول هوابر عددی منفی است. گردابهٔ پخشیده در فاصله‌ای دوردست در میدان پرواز رها می‌شود. (پربند معیار بزرگی شامل هوابر و میدان پرواز دارای گردش صفر است.) تشکیل این گردابهٔ دنباله‌دار را به آسانی می‌توان با حرکت دادن آهستهٔ قاشقی در فنجان قهوه دید. قاشق را به‌طور مایل با زاویهٔ حمله در درون قهوه حرکت دهید، می‌بینید که گردابهٔ دنباله‌دار تشکیل، و سپس ناپدید می‌شود (شکل ۶-۲۱).

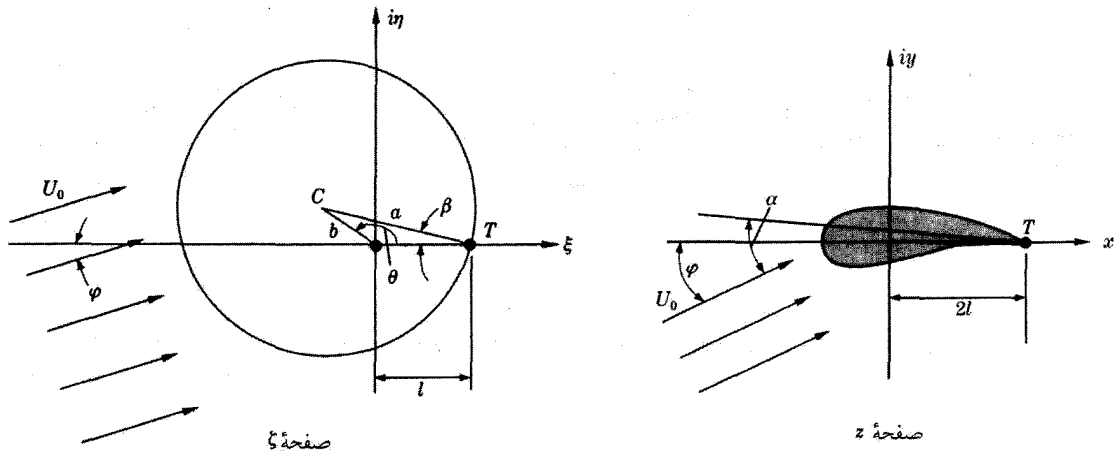
### ۶-۹-۲ محاسبهٔ جریان پتانسیل و برآ

جریان حول هر هوابر مفروضی را می‌توان با تابع پتانسیل مختلط مناسب  $F$  بیان کرد. هوابر جوکفسکی ساده‌ترین هوابر است که از جریان حول استوانه‌ای دایره‌ای با تک تبدیل همدمیسی به دست می‌آید. مطابق شکل ۶-۲۲، به کمک تبدیل جوکفسکی می‌توان جریان حول استوانهٔ موجود در صفحهٔ  $\zeta$  را در صفحهٔ  $z$  بازنمایی کرد. در اینجا، تبدیل جوکفسکی از  $\zeta$  به  $z$  عبارت است از

$$z = \zeta + l^2/\zeta \quad (۵۱-۶)$$



شکل ۶-۲۱ حرکت قاشق در فنجان قهوه گردابهٔ دنباله‌دار به وجود می‌آورد. قاشق خمیده را می‌توان به صورت هوابر پشت خمیده تقریب زد.



شکل ۶-۲۲ تبدیل جوکفسکی. زاویۀ حملۀ ظاهری  $\phi$  و  $L$  عمود بر  $U_0$  است. زاویۀ حملۀ مطلق (که باید تعیین شود) برابر  $\alpha$  است. بنابر تعریف، وقتی  $\alpha = 0^\circ$ ،  $L = 0$ .

و تابع پتانسیل برای جریان حول استوانۀ جابه‌جا شده (با مرکز  $C$ ) در زاویۀ حملۀ ظاهری  $\phi$  به صورت زیر است

$$F = -U_0 \left[ (\zeta - be^{i\theta})e^{-i\phi} + \frac{a^2}{(\zeta - be^{i\theta})e^{-i\phi}} \right] \quad (52-6)$$

اگر  $b = 0$  (در مبدأ)، تبدیل جوکفسکی این استوانه را به صورت بیضی‌ای با مرکز مبدأ که محور اصلی‌اش در جهت  $x$  است، بازنمایی می‌کند. نقطۀ  $\zeta = l$  به  $z = 2l$  انتقال می‌یابد و لبۀ فراری است که  $dF/dz$  در آنجا دارای تکنیکی‌ای خواهد بود که باید به کمک برهم‌نهش مقدار مناسب گردش از بین برود.

برای متناهی ساختن مقدار سرعت در لبۀ فرار، پتانسیلی مختلط ناشی از گردش را باید به معادله (۵۲-۶) افزود. در این صورت  $F(\zeta)$  کلی حول استوانه به صورت زیر در می‌آید.

$$F(\zeta) = -U_0 \left[ e^{-i\phi}(\zeta - be^{i\theta}) + \frac{a^2 e^{i\phi}}{(\zeta - be^{i\theta})} \right] + i \frac{\Gamma}{2\pi} \ln \left( \frac{\zeta - be^{i\theta}}{a} \right) \quad (53-6)$$

سرعت مختلط در صفحه  $z$  و در نقطۀ  $T$  واقع در لبۀ فرار (که  $z = 2l$  و  $\zeta = l$ )، برابر است با

$$\left. \frac{dF}{dz} \right|_T = \left. \frac{dF}{d\zeta} \cdot \frac{d\zeta}{dz} \right|_T \quad \text{نقطۀ } T$$

و در لبۀ فرار،  $dz/d\zeta = 1 - l^2/\zeta^2 = 0$  به‌گونه‌ای که  $d\zeta/dz$  در لبۀ فرار تکین است (یعنی به‌سوی بی‌نهایت می‌گراید). بنابراین، مقدار  $dF/d\zeta$  در  $z = -2l$ ، برای اینکه  $dF/dz$  در آنجا متناهی باشد، باید صفر شود و با این شرط مقدار  $\Gamma$  و بنابراین نیروی برای وارد بر هوا بر تعیین می‌شود. از معادله (۵۳-۶) در می‌یابیم که  $dF/d\zeta = 0$  به‌گونه‌ای که

$$\frac{dF}{d\zeta} = -U_0 \left( e^{i\phi} - \frac{a^2 e^{i\phi}}{(\zeta - be^{i\theta})^2} \right) + i \frac{\Gamma}{2\pi} \frac{1}{(\zeta - be^{i\theta})} = 0 \quad (54-6)$$

و از معادله (۶-۲۲)، داریم،  $(\zeta - be^{i\theta}) = [\zeta - l + ae^{i(-\beta)}]$ ، در  $\zeta = 1$ ، معادله (۵۴-۶) به صورت زیر در می‌آید

$$-U_0 (1 - e^{-2i(-\beta) + 2i\phi}) + i \frac{\Gamma}{2\pi a} e^{-i(-\beta) + i\phi} = 0 \quad (55-6)$$

که می‌توان  $\Gamma$  را از آن به دست آورد. با تساوی جزءهای حقیقی و انگاری معادله (۵۵-۶) می‌توان همان مقدار  $\Gamma$  را به دست آورد.

$$\Gamma = -4\pi a U_0 \sin(\beta + \varphi) \quad (56-6)$$

می‌بینیم که  $\Gamma$  عددی منفی است که به سرعت جریان آزاد، زاویهٔ ظاهری جملهٔ  $\varphi$  و پارامترهای  $\alpha$  و  $\beta$ ، که اندازه و خمیدگی هواپر را تعیین می‌کنند، بستگی دارد. چون  $L = -\rho U_0 \Gamma$  عمود بر جریان آزاد است، برای مقادیر مثبت  $(\beta + \varphi)$  مثبت است. زاویهٔ  $(\beta + \varphi)$  را زاویهٔ حملهٔ مطلق  $\alpha$  می‌گویند. بنابر تعریف، وقتی  $\alpha = 0^\circ$  برای  $L$  نیز صفر است.

در آئرودینامیک، منظور از زاویهٔ حمله معمولاً همان زاویهٔ  $\alpha$  است و نه  $\varphi$ .

ضریب برای  $C_L$  را با رابطهٔ زیر تعریف می‌کنند

$$C_L = \frac{L}{c\rho U_0^2/2} \quad (57-6)$$

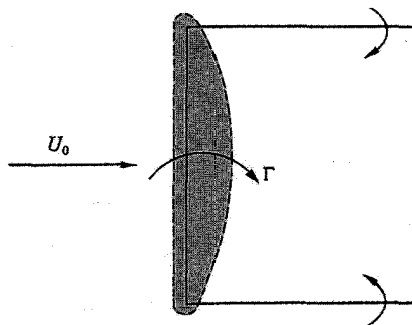
که  $L$  برای واحد طول هواپر و  $C$  طول وتر یا پهنای هواپر است. برای هواپر جوکفسکی  $c \simeq 4a$  است و بنابراین برای  $C_L$  داریم

$$C_L = \frac{\rho U_0 (4\pi a U_0) \sin \alpha}{4a\rho U_0^2/2} \simeq 2\pi \alpha \quad (58-6)$$

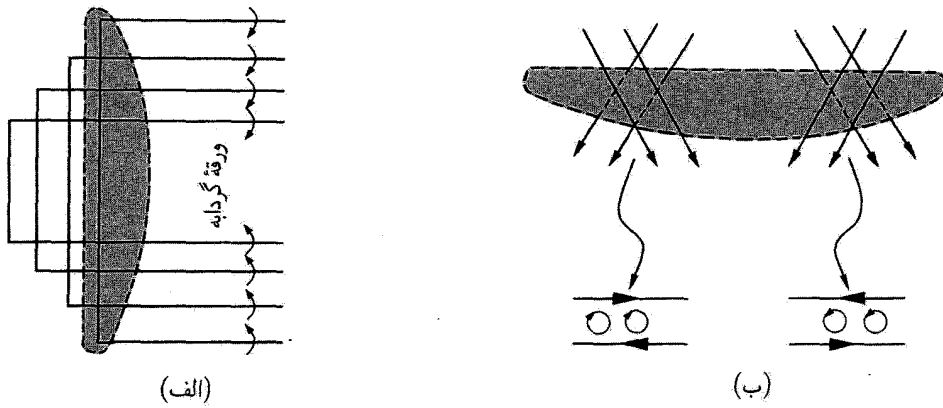
همان‌گونه که از معادله (۵۸-۶) برای  $\alpha$ های کوچک پیداست، با افزایش  $\alpha$  مقدار  $C_L$  به طور خطی افزایش می‌یابد و سپس، با رسیدن به زاویهٔ واماندگی  $\alpha_S$ ، کاهش خواهد یافت، زیرا جدایش لایهٔ مرزی رخ می‌دهد و گردش از بین می‌رود. زاویهٔ واماندگی و تغییرات دقیق  $C_L$  را برحسب  $\alpha$  به خوبی به طور تجربی می‌توان تعیین کرد.

### ۳-۹-۶ اثرهای سه‌بعدی

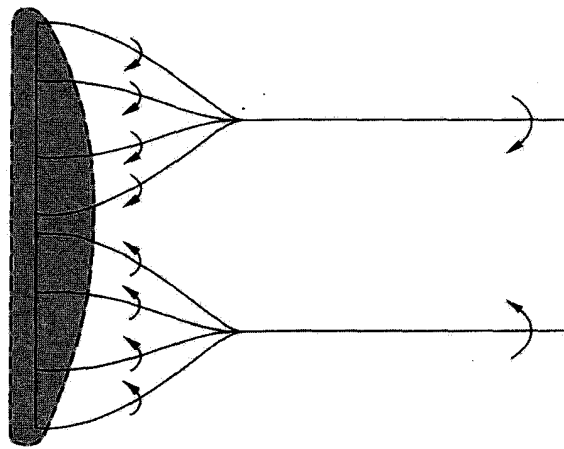
برای وارد بر هواپر ناشی از گردابهٔ خطی است که با هواپر حرکت می‌کند (گردابه‌های محدود). همان‌گونه که قبلاً نشان دادیم، این گردابه‌های خطی درست کاملاً به نوک بال نمی‌رسند، بلکه حرکت خود را در درون شارهٔ آزاد ادامه می‌دهند (تا اینکه به علت گران روی از بین بروند). اگر گردش در طول بال یکنواخت می‌بود، همچون شکل ۶-۲۳، گردابه‌ها در لبه‌های بال پخش می‌شدند و به صورت گردابه‌های دنباله‌دار به پایین دست جریان می‌رسیدند. اما، این سیستم سادهٔ گردابهٔ «نعل اسبی» کاملاً درست نیست، زیرا معمولاً مقدار  $\Gamma$  در طول بال تغییر می‌کند. در نتیجه، گردشاری در سرتاسر لبهٔ فرار بال پخش می‌شود و ورقهٔ گردابه‌ای متشکل از برهم‌نهی گردابه‌های، «نعل اسبی» با قدرتهای مختلف، همچون شکل ۶-۲۴، به وجود می‌آورد. از سوی دیگر، تصویر فیزیکی ورقهٔ گردابه را می‌توان با تصور رها شدن بلبرینگ از درون هواپیما در پایین دست جریان پشت بال نشان داد؛ هوای روی بال می‌خواهد به سوی داخل، و هوای زیر بال می‌خواهد به سوی بیرون جریان یابد. این اختلاف موجود در جهت جریان باد



شکل ۶-۲۴ طرح گردابهٔ سادهٔ نعل اسبی بر روی بالی سه‌بعدی. نمای بالای بال دیده می‌شود.



شکل ۲۴-۶ ورقۀ گردابه پشت بال.



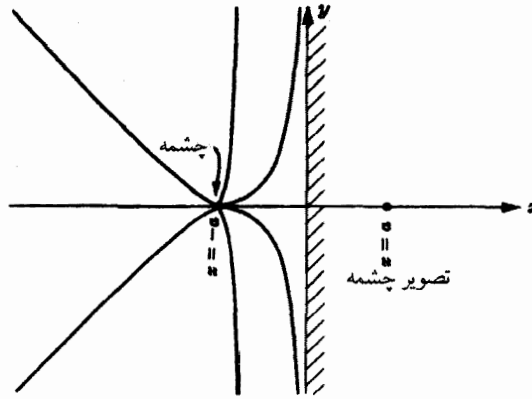
شکل ۲۵-۶ ورقۀ گردابه به صورت دو گردابه جداگانه با فاصله‌ای کمتر از دهانه بال در می‌آید.

ناشی از لبۀ فرار لایه یا ورقۀ گردابه به وجود می‌آورد. دلیل پیچش جریان را با توجه به وجود اختلاف فشار بین بالا و پایین بال و از مرکز تا نوکها می‌توان به آسانی فهمید.

سرانجام، همچون شکل ۲۵-۶، ورقۀ گردابه در فاصله‌ای به طول پهنای بال یا کمتر از آن دو خط گردابه مجزا ایجاد می‌کند. این پدیده را می‌توان در هواپیمای جت چند موتوره که جایگاه موتورها در زیر بال قرار دارد مشاهده کرده. دنباله بخار جتها درهم می‌آمیزند و دو دنباله مجزا، یکی از چپ و دیگری از راست بال، به وجود می‌آورند.

آخرین نکته‌ای که باید اشاره کرد پسای القایی است. به علت ورقۀ گردابه، «فروزش» القایی‌ای وجود دارد که زاویۀ حمله بال را تغییر می‌دهد و باعث می‌شود که بردار برآ دارای زاویۀ اندکی نسبت به (عقب) سرعت جریان آزاد باشد. در نتیجه، بردار برآ مؤلفه‌ای موازی با جهت پرواز دارد. این مؤلفه همان نیروی پساست، که پسای القایی نام دارد. بقیۀ نیروی پسا، یعنی پسای نیم‌رخ از پسای اصطکاک پوستی لایۀ مرزی و پسای شکل ناشی از پخش شدگی گردابه‌های کارمن در ورقۀ گردابه (یعنی، دنباله) تشکیل شده است.

این موضوع را در اینجا بیش از این پی نمی‌گیریم. اما نظریۀ جریان پتانسیل و نظریۀ لایۀ مرزی هر دو زیربنای آئرودینامیک فروسوتی را تشکیل می‌دهند.



شکل ۶-۲۶

## مراجع

1. Batchelor, G. K., *An Introduction to Fluid Dynamics*, Cambridge University Press, 1967.
2. Glauert, H., *The Elements of Aerofoil and Airscrew Theory*, 2nd ed., Cambridge University Press, 1948.
3. Karamchetti, K., *Principles of Ideal-Fluid Aerodynamics*, John Wiley, 1966.
4. Kuethe, A. M., and Chow, C., *Foundations of Aerodynamics*, 4th ed., John Wiley, 1986.
5. Lamb, Sir Horace, *Hydrodynamics*, 6th ed., Cambridge University Press, 1932 (also Dover).
6. Milne-Thompson, L. M., *Theoretical Hydrodynamics*, 3rd ed., Macmillan, 1957.
7. Prandtl, L., and Tietjens, O. G., *Applied Hydro- and Aero-mechanics*, Dover, 1957.
8. Robertson, J. M., *Hydrodynamics in Theory and Application*, Prentice-Hall, 1965.
9. Shevell, R. S., *Fundamentals of Flight*, Prentice-Hall, 1983.

## مسائل حل شده

۶-۱ دیوباد را می‌توان به صورت گردابه پتانسیلی تصور کرد که «چشم» یا هسته چرخان آن رفتاری تقریباً شبیه جسمی توپر دارد. بنابر قاعده سرانگشتی، شعاع چشم از مرتبه ۱۰۰ فوت است. فشار حول «چشم» در سطح زمین چگونه تغییر می‌کند؟ برای دیوبادی با سرعت بیشینه ۱۰۰ mi/h، افت فشار بیشینه چقدر است؟ این کاهش فشار تا اندازه‌ای باعث کندن سقفها و بسیاری از خسارتها در گردباد می‌شود. سرعت  $v_\theta$  برابر  $\Gamma/2\pi r$  است و در نتیجه

$$\Gamma = 2\pi r v_\theta = 2\pi(100\text{ft})(100 \times 5280/3600\text{ft/s}) = 9.2 \times 10^4 \text{ft}^2/\text{s}$$

از معادله برنولی (و با فرض هوای استاندارد در فشار  $p_0$ )، داریم

$$p - p_0 = -\frac{1}{2}V^2\rho = -\frac{\Gamma^2\rho}{8\pi^2r^2} - \frac{(9.2 \times 10^4)^2(0.0023)}{8\pi^2r^2} = -\frac{2.4 \times 10^5}{r^2} \text{psf}$$

علامت منفی نشان می‌دهد که فشار در فاصله خیلی دور از دیوباد کمتر از فشار جو است. در فاصله  $r = 100\text{ft}$  (که کوچکترین شعاع ممکن برای کاربرد نظریه جریان پتانسیل است) فشار به مقدار ۲۴۶psf (حدود ۱.۷psi) زیر فشار جو است.

۶-۲ در شکل ۶-۲۶ چشمه‌ای در فاصله  $a$  از دیواره‌ای قرار دارد. نیروی فشارکلی وارد بر دیواره چقدر است؟ در پشت دیواره ( $x > 0$ ) فشار برابر فشار سکون  $p_0$  است.

مطابق شکل، چشمۀ واقعی را در  $x = -a$  در نظر بگیرید و فرض کنید که تصویر چشمه در  $x = a$  قرار دارد. پتانسیل مختلط برای جریان کل عبارت است از

$$F = -\frac{Q}{2\pi} [\ln(z+a) + \ln(z-a)]$$

$$\bar{F} = -\frac{Q}{2\pi} [\ln(\bar{z}+a) + \ln(\bar{z}-a)]$$

و خواهیم داشت

$$V^2 = \frac{dF}{dz} \cdot \frac{d\bar{F}}{d\bar{z}} = \frac{Q^2}{4\pi^2} \left[ \frac{1}{(z+a)} + \frac{1}{(z-a)} \right] \left[ \frac{1}{(\bar{z}+a)} + \frac{1}{(\bar{z}-a)} \right]$$

که به صورت زیر ساده می شود (زیرا  $z = x + iy$  و  $\bar{z} = x - iy$ ):

$$V^2 = \frac{Q^2(x^2 + y^2)}{\pi^2[(x^2 + y^2)^2 - 2a^2(x^2 - y^2) + a^4]}$$

با استفاده از معادله برنولی  $p/\rho + 1/2V^2 = p_0/\rho$  درمی یابیم که اختلاف فشار در عرض دیواره برابر است با  $p - p_0 = -\frac{1}{2}V^2\rho$  و نیروی کل وارد بر واحد طول دیواره (به طرف خارج از کاغذ و مثبت به طرف راست) برابر است با

$$\text{نیرو} = \int_{-\infty}^{+\infty} (p - p_0) \Big|_{x=0} dy = -\frac{1}{2}\rho \int_{-\infty}^{+\infty} V^2 \Big|_{x=0} dy = -\frac{\rho Q^2}{2\pi^2} \int_{-\infty}^{+\infty} \frac{y^2 dy}{(y^2 + a^2)^2} = -\frac{\rho Q^2}{4\pi a}$$

علامت منفی نشان می دهد که نیروی خالص به طرف چپ است و دیواره به سوی چشمه کشیده می شود.

۳-۶ مسئله ۲-۶ را دوباره، با این تفاوت که چاه را به جای چشمه جایگزین کرده ایم حل کنید.

پتانسیل مختلط مشابه حالت قبل، ولی این بار عددی منفی است. اما، برای یافتن نیروی وارد بر دیواره  $Q$  به صورت مربع ظاهر می شود، بنابراین این علامت دخالتی ندارد. بنابراین، نتیجه می گیریم که نیروی خالص وارد بر دیواره برای چشمه یا چاه یکسان است. دیواره تمایل دارد که به سوی چشمه یا چاه کشیده شود.

نتیجه تعجب آور به نظر می رسد، اما در هر یک از این حالتها سرعت در نزدیکی دیواره افزایش می یابد و باعث کسر فشار می شود، که نتیجه یکسان است.

۴-۶ باد به پایین تپه ای می وزد و از روی بلندی ای به شکل قطاع دایره ای به شعاع  $b$  می گذرد و به سوی دشت سرازیر می شود. جریان را بازنمایی کنید.  $\phi$  و  $\psi$  را به طور صریح به دست آورید. این جریان را در شکل ۲۷-۶ نشان داده ایم.

با جریان موجود بر روی استوانه دایره ای شروع می کنیم و سپس آن را به درون زاویه ای با معادله (۲۹-۶) بازنمایی خواهیم کرد. در صفحه  $\zeta$ ، با توجه به شکل ۲۸-۶، می توان نوشت

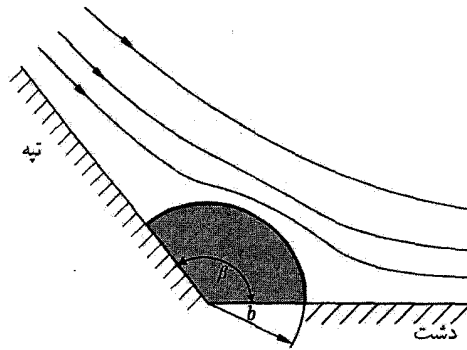
$$F(\zeta) = -U_0(\zeta + a^2/\zeta)$$

به گونه ای که از  $z^2 = \zeta$ ، داریم

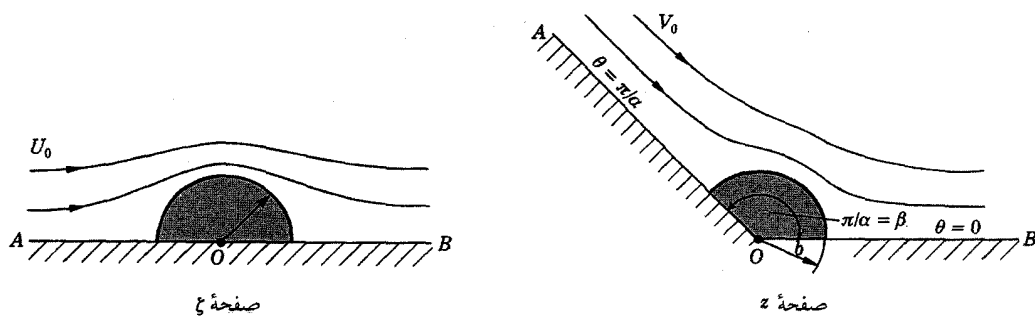
$$F(z) = -U_0(z^\alpha + a^2/z^\alpha)$$

$\alpha$ ، به عنوان مانع پتانسیل مختلط در صفحه فیزیکی  $z$ ، از رابطه  $\beta = \pi/\alpha$  به دست می آید. یادآوری این نکته مهم است که سرعت جریان آزاد  $V_0$ ، در صفحه  $z$  یکنواخت نیست، بلکه برحسب  $r$  و  $\theta$  تغییر می کند.  $U_0$  را نمی توان مستقیماً از صفحه  $\zeta$ ، همچون در تبدیل هوایر جوکفسکی،





شکل ۶-۲۷



شکل ۶-۲۸

بازنمایی کرد. وانگهی، شعاع  $a$  دایره در صفحه  $\zeta$  با شعاع  $b$  در قطاع صفحه  $z$  یکسان نیست. داریم

$$z^\alpha = r^\alpha e^{i\alpha\theta} = r^\alpha (\cos \alpha\theta + i \sin \alpha\theta)$$

$$F = -U_0 [r^\alpha (\cos \alpha\theta + i \sin \alpha\theta) + (a^2/r^\alpha) (\cos \alpha\theta - i \sin \alpha\theta)] \quad \text{و}$$

$$\phi = \text{Re}F = -U_0 r^\alpha [\cos \alpha\theta + a^2 r^{-2\alpha} \cos \alpha\theta] \quad \text{به گونه ای که}$$

$$\psi = \text{Im}F = -U_0 r^\alpha [\sin \alpha\theta - a^2 r^{-2\alpha} \sin \alpha\theta]$$

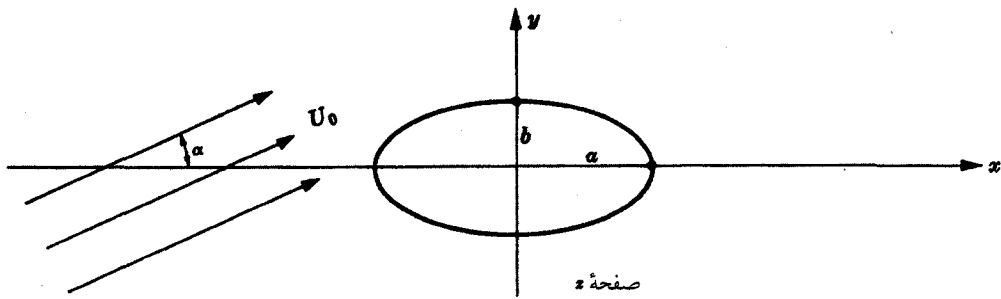
رفتار سرعت جریان آزاد را می توان با یافتن سرعت شعاعی  $v_r$  از رابطه  $-\partial\phi/\partial r$  به دست آورد.

$$v_r = \alpha U_0 r^{\alpha-1} [\cos \alpha\theta - a^2 r^{-2\alpha} \cos \alpha\theta]$$

بنابراین برای  $\theta = \pi/\alpha$  (در طول دیواره)، داریم

$$v_r \Big|_{\theta=\pi/\alpha} = -\alpha U_0 [r^{\alpha-1} - a^2 r^{-(1+\alpha)}]$$

برای  $r$  بزرگ و  $\alpha > 1$ ،  $v_r \Big|_{\theta=\pi/\alpha}$  بسیار بزرگ می شود و تقریباً برابر  $-\alpha U_0 r^{\alpha-1}$  خواهد شد. علامت منفی نشان می دهد که جریان از بی نهایت به طرف داخل است.



شکل ۶-۲۹

شعاع  $b$  را می‌توان با شعاع  $a$  مرتبط کرد. شعاع  $b$  را می‌توان با قراردادن  $v_r = 0$  به صورت زیر به دست آورد

$$1 - a^2 r^{-2\alpha} \Big|_{r=b} = 0 \rightarrow b = a^{1/\alpha}$$

۵-۶ تبدیل

$$z = C(\zeta + \lambda\zeta^{-1}), \quad 0 \leq \lambda \leq 1, \quad 0 \leq C$$

دایره‌ای به شعاع واحد در صفحه  $\zeta$  را به بیضی‌ای در صفحه  $z$  مطابق شکل ۶-۲۹ تبدیل می‌کند

(الف) با استفاده از این تبدیل، پتانسیل مختلط  $F(z)$  را برای جریان پایایی به دست آورید که، همچون شکل ۶-۲۹، با نیم‌قطرهای  $a$  و  $b$  می‌گذرد. مقدار سرعت اختلال نیافته در بی‌نهایت برابر  $U_0$  است و زاویه  $\alpha$  با محور  $x$  می‌سازد.

(ب)  $z$  را برابر  $z = k \cosh \gamma$  قرار دهید، که  $k$  ثابتی حقیقی است و  $\eta + i\xi = \gamma$ . بدین ترتیب، خطهای  $\xi$  ثابت عبارت‌اند از گروه بیضیهای موجود در صفحه  $z$  و خطهای  $\eta$  ثابت عبارت‌اند از گروه هذلولیهای هم‌کانون عمود بر این بیضیها. شبکه حاصل از خطهای  $\xi$  و  $\eta$  ثابت را در صفحه  $z$  مختصات بیضوی می‌گویند. با استفاده از این مختصات بیضوی و با یادآوری اینکه سرعت شارۀ گذرنده از روی سطح استوانه بیضوی مذکور در قسمت (الف)  $V$  است.  $V$  را برحسب  $\eta$  وقتی  $\alpha = 0$ ، بیان کنید.

(الف) نخست، تبدیل  $\zeta$  به  $z = C(\zeta + \lambda/\zeta)$  را بررسی می‌کنیم. برای دایره‌ای به شعاع واحد، فرض می‌کنیم که  $\zeta = e^{i\theta}$  و  $z = x + iy$  آن‌گاه

$$z = C(e^{i\theta} + \lambda e^{-i\theta}) = C(1 + \lambda) \cos \theta + iC(1 - \lambda) \sin \theta$$

$$\text{در نتیجه } \frac{x^2}{C^2(1+\lambda)^2} + \frac{y^2}{C^2(1-\lambda)^2} = 1 \text{، به‌گونه‌ای که } y = C(1 - \lambda) \sin \theta \text{ و } x = C(1 + \lambda) \cos \theta$$

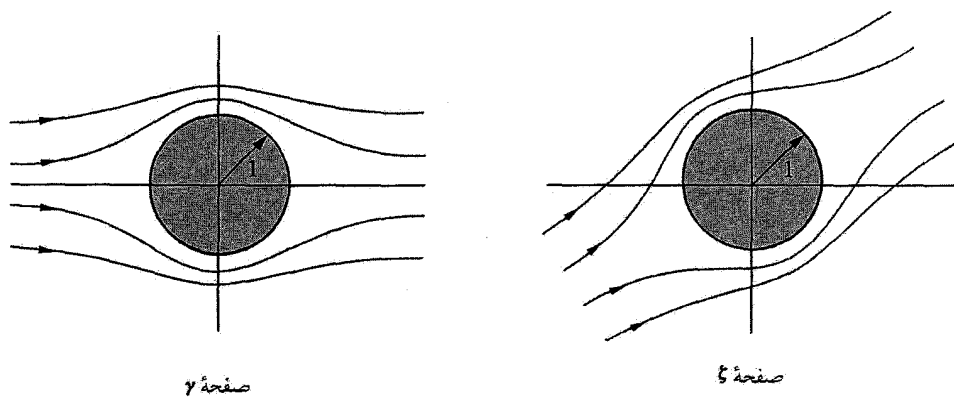
$$a = C(1 + \lambda), \quad b = C(1 - \lambda), \quad C = (a + b)/2, \quad 4C^2\lambda = a^2 - b^2 \quad (1)$$

اکنون، مطابق شکل ۶-۳۰ برای عبور شارۀ از روی دایره واحد در صفحه  $\gamma$ ، داریم

$$F(\gamma) = A(\gamma + \gamma^{-1})$$

به‌گونه‌ای که  $\zeta = \gamma e^{i\alpha}$

$$F(\zeta) = A(\zeta e^{-i\alpha} + \zeta^{-1} e^{i\alpha})$$



شکل ۶-۳۰

با استفاده از تبدیل  $z = C(\zeta + \lambda\zeta^{-1})$ ، رابطه زیر به دست می آید

$$\zeta = \frac{1}{\sqrt{C}}(z \pm \sqrt{z^2 - 4C^2\lambda})$$

در اینجا، علامت (+) را انتخاب می کنیم به گونه ای که حوزه خارج از دایره در صفحه  $\zeta$ ، شکل ۶-۳۰، به حوزه خارج از بیضی صفحه  $z$  تبدیل شود.

$$F(z) = A \left[ \frac{e^{-i\alpha}}{\sqrt{C}}(z + \sqrt{z^2 - 4C^2\lambda}) + \frac{2Ce^{i\alpha}}{z + \sqrt{z^2 - 4C^2\lambda}} \right] \quad (2)$$

اکنون

$$-\frac{dF}{dz} \Big|_{z \rightarrow \infty} = (u - iv) \Big|_{z \rightarrow \infty} = U_0 e^{i\alpha} \quad \text{اما} \quad \frac{dF}{dz} \Big|_{z \rightarrow \infty} = \frac{A}{C} e^{-i\alpha}$$

در نتیجه

$$A/C = -U_0. \quad (3)$$

با استفاده از مقدارهای  $C$ ،  $\lambda$  و  $A$  که از معادلات (۱) و (۳) به دست می آیند، معادله (۲) به شکل زیر در می آید

$$F(z) = -\frac{1}{\sqrt{C}} U_0 (a+b) \left\{ \frac{[z + \sqrt{z^2 - (a^2 - b^2)}] e^{-i\alpha}}{a+b} + \frac{[z - \sqrt{z^2 - (a^2 - b^2)}] e^{i\alpha}}{a-b} \right\} \quad (4)$$

(ب) با دانستن  $\gamma = \xi + i\eta$  و  $z = k \cosh \gamma$  می توان نوشت

$$x + iy = k \cosh(\xi + i\eta) = k(\cosh \xi \cos \eta + i \sinh \xi \sin \eta)$$

در نتیجه

$$\frac{x^2}{k^2 \cosh^2 \xi} + \frac{y^2}{k^2 \sinh^2 \xi} = 1, \quad \frac{x^2}{k^2 \cos^2 \eta} - \frac{y^2}{k^2 \sin^2 \eta} = 1$$

فرض می کنیم که  $\xi = \xi_0$  بیضی ای با نیم قطرهای  $a$  و  $b$  در صفحه  $z$  است، آن گاه  $k \cosh \xi_0 = a$  و  $k \sinh \xi_0 = b$ ، یا

$$\left. \begin{aligned} k^2 &= a^2 - b^2, & \tanh \xi_0 &= b/a \\ \frac{e^{2\xi_0}}{(a+b)^2} &= \frac{e^{-2\xi_0}}{(a-b)^2} & &= \frac{1}{k^2} \end{aligned} \right\} \quad (5)$$

معادله (۴) (با  $\alpha = 0$ ) به صورت زیر در می آید

$$F(\gamma) = -\frac{1}{4} U_0 (a+b) \sqrt{a^2 - b^2} \left( \frac{e^\gamma}{a+b} + \frac{e^{-\gamma}}{a-b} \right)$$

$$\bar{F}(\bar{\gamma}) = -\frac{1}{4} U_0 (a+b) \sqrt{a^2 - b^2} \left( \frac{e^{\bar{\gamma}}}{a+b} + \frac{e^{-\bar{\gamma}}}{a-b} \right)$$

$$(V_\gamma^z)_{\xi=\xi_0} = \frac{dF}{d\gamma} \cdot \frac{d\bar{F}}{d\bar{\gamma}} = \frac{U_0^2}{4} (a+b)^2 (a^2 - b^2) \left\{ \frac{e^{2\xi}}{(a+b)^2} + \frac{e^{-2\xi}}{(a-b)^2} - \frac{e^{2i\eta}}{(a^2 - b^2)} - \frac{e^{-2i\eta}}{(a^2 - b^2)} \right\}$$

به کمک معادله (۵)، داریم

$$V_\gamma^z \Big|_{\xi=\xi_0} = \frac{1}{4} U_0^2 (a+b)^2 \{2 - 2 \cos 2\eta\} = U^2 (a+b)^2 \sin^2 \eta$$

$$V^z = V_z^z \Big|_{\xi=\xi_0} = \frac{V_\gamma^z \Big|_{\xi=\xi_0}}{|dz/d\gamma|_{\xi^z=\xi_0}} = U_0^2 \left( \frac{a+b}{a-b} \right) \left( \frac{\sin^2 \eta}{\sin^2 \eta + \sinh^2 \xi_0} \right)$$

که در آن  $\xi_0 = \tanh^{-1} b/a$

۶-۶ پتانسیل مختلط را برای چشمه‌ای واقع در نیم صفحه کانالی دوبعدی همچون شکل ۶-۳۱ به دست آورید.

با روش تصاویر، آرایه‌ای نامتناهی مطابق شکل ۶-۳۲ ایجاد می‌کنیم.

پتانسیل مختلط از حاصل جمع همه تصویرها به دست می‌آید.

$$F = \sum_{n=0}^{\infty} -\frac{Q}{2\pi} \ln(z + ind) + \sum_{n=1}^{\infty} -\frac{Q}{2\pi} \ln(z - ind) = \sum_{n=-\infty}^{+\infty} -\frac{Q}{2\pi} \ln(z + ind) = -\frac{Q}{2\pi} \ln \left( \sinh \frac{\pi z}{d} \right)$$

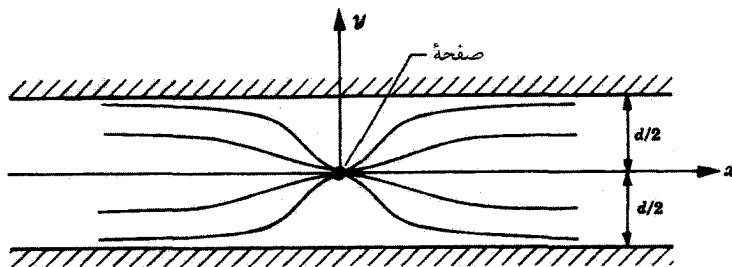
با محاسبه  $F$  در فاصله  $-d/2 < y < d/2$  جریان بین دیواره‌ها در  $\pm d/2$  به دست می‌آید.

$\psi$  و  $\phi$  را به صورت زیر به دست می‌آوریم

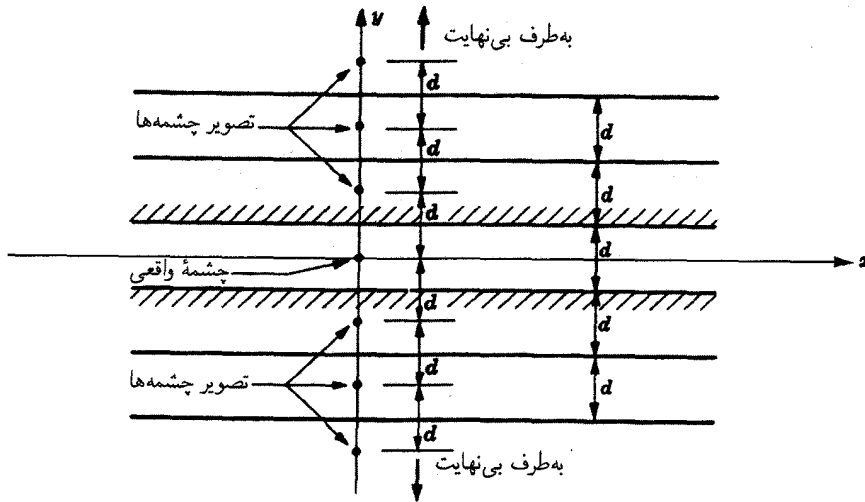
$$\phi = -\frac{Q}{2\pi} \ln \left( \sinh \frac{\pi x}{d} \cos \frac{\pi y}{d} \right), \quad \psi = -\frac{Q}{2\pi} \ln \left( \cosh \frac{\pi x}{d} \sin \frac{\pi y}{d} \right)$$

۷-۶ استوانه‌ای به قطر ۱ اینچ، همچون شکل ۶-۳۳، با سرعت ۳۶۰۰ rpm در جهت مشخص شده در هوای استاندارد می‌چرخد. هوا از روی

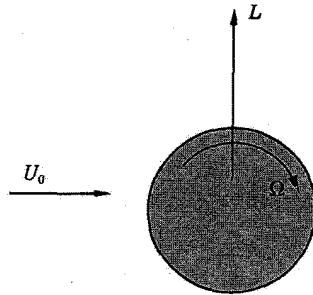
استوانه با سرعت ۱۰ ft/s می‌گذرد. نیروی برای وارد بر استوانه (در واحد طول) را برآورد کنید.



شکل ۶-۳۱



شکل ۳۲-۶



شکل ۳۳-۶

از  $L = -\rho U_0 \Gamma$  استفاده می‌کنیم که  $\Gamma$  از رابطه زیر به دست می‌آید

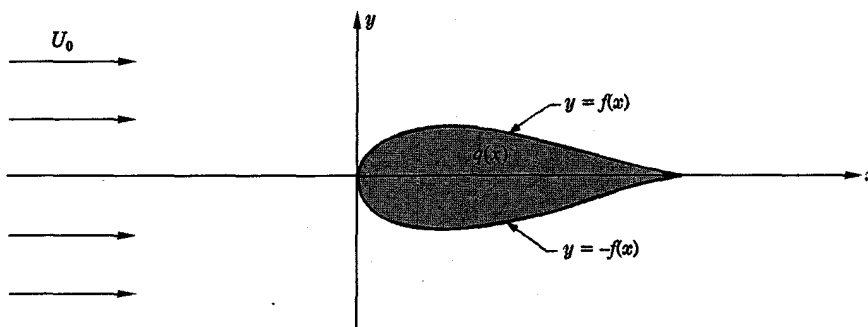
$$\begin{aligned} \Gamma &= \oint \mathbf{V} \cdot d\mathbf{I} = \int_0^{2\pi} -(r\Omega)(r d\theta) = -2\pi r^2 \Omega \\ &= -2\pi (1/24 \text{ ft})^2 (3600 \times 2\pi/60 \text{ rad/s}) = -491 \text{ ft}^2/\text{s} \end{aligned}$$

بنابراین

$$L = -\rho U_0 \Gamma = -(0.0023 \text{ slug/ft}^3)(100 \text{ ft/s})(-491 \text{ ft}^2/\text{s}) = 0.94 \text{ lb/ft}$$

۸-۶ جریان موجود بر روی استوانه‌ای دوبعدی (متقارن نسبت به محور  $x$ ) را می‌توان برای هر شکل اختیاری  $f(x)$  به وسیله تابع تعمیم‌یافته مناسب  $q(x)$  برای چشمه‌های موجود در امتداد محور  $x$ ، همچون شکل ۳۴-۶، به دست آورد. برای هر شکل مفروض  $y = f(x)$ ، چشمه  $q(x)$  را تعیین کنید. فرض می‌کنیم که نوک جسم در مبدأ مختصات قرار دارد.

سطح جسم  $\pm f(x)$  یک خط جریان است و به روشنی تابع تعمیم‌یافته  $g(x)$  باید در طول محور  $x$  تغییر علامت دهد، و هیچ شاره‌ای از مرز جسم  $\pm f(x)$  نمی‌گذرد.



شکل ۶-۳۴

برای هر جزء چشمۀ  $q(x)dx$ ، پتانسیل مختلط عبارت است از

$$dF = -\frac{q(x')dx'}{2\pi} \ln(z - x')$$

که علت استفاده از «پریم» برای  $x$ ، معرفی متغیر انتگرال‌گیری مخالف در  $x = x + iy$ ، یعنی مکانی است که  $F$  محاسبه می‌شود، است.

$$F = \int_0^L -\frac{q(x')}{2\pi} \ln(z - x') dx'$$

اما جزء انگاری  $F$  عبارت است از  $\psi$  و  $\psi = 0$  ثابت اختیاری  $\psi(x, y)$  دارای همان مقدار  $y = f(x)$  است. جزء انگاری  $F$  عبارت است از

$$\text{Im}F = \psi = \int_0^L -\frac{q(x')}{2\pi} \tan^{-1} \frac{y}{x - x'} dx'$$

و در روی سطح، داریم  $y = f(x)$  و  $\psi = 0$ ، به‌گونه‌ای که

$$0 = \int_0^L -\frac{q(x')}{2\pi} \tan^{-1} \frac{f(x)}{x - x'} dx'$$

که معادله‌ای انتگرالی است و از حل آن  $q(x)$  به‌دست می‌آید. به‌طور کلی حل آن ساده نیست. جریان موجود بر روی بیضی رانکین (شکل ۶-۱۰) مثالی ساده و مخصوص برای این روش بود.

این روش برای محاسبات جریان موجود بر روی کشتیهای هوایی و بدنه کشتیها سودمند است.

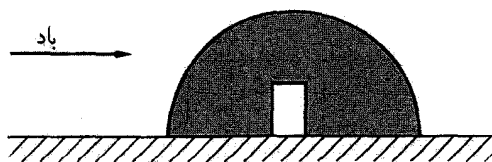
## مسائل تکمیلی

۹-۶ آیا لوله گردابه در درون شارۀ پایان می‌یابد یا باید به‌صورت حلقه در آید؟

۱۰-۶ آیا در دیوباد می‌توان تار گردابه تعریف کرد و یا فقط لوله گردابه وجود دارد؟ سطح مقطع هسته دیوباد را یکنواخت فرض کنید.

۱۱-۶ آیا می‌توان در جریان برشی گران‌رو، تار گردابه تعریف کرد؟ آیا می‌توان لوله گردابه تعریف کرد؟ خطهای گردابه در جریان پوازوی به چه شکلی هستند؟

۱۲-۶ چرا هوای موجود بر بال روبه داخل و به‌طرف مرکز بال جریان دارد و هوای موجود در زیر بال روبه خارج و به‌طرف نوک بال؟



شکل ۳۵-۶

۱۳-۶ در موقع وزش باد در قطب شمال نیروی برآیی بر کلبه‌ای قطبی به شکل نیم‌دایره وارد می‌شود. اگر سرعت باد  $8 \text{ m/h}$  و هوای صفر درجه فارنهایت باشد، نیروی برآی وارد بر واحد طول کلبه‌ای به قطر  $10^\circ$  فوت چقدر است (شکل ۳۵-۶)؟

۱۴-۶ در مسئله قبل، آیا امکان استقرار در (هنگامی که باز است) در تعیین نیروی برآ اهمیت دارد؟ فشار درون کلبه به چه عاملی بستگی دارد؟

۱۵-۶ درباره جریان  $z = C \cos hF$  بحث کنید و نشان دهید که

$$x = C \cos h \phi \cos \psi, \quad y = C \sin h \phi \sin \psi$$

و خطهای جریان ( $\psi$  ثابت) هذلولیهای هم‌کانون هستند و این طرح بیانگر جریان گذرنده از میان سوارخ است.

۱۶-۶ نیروی وارد بر دیواره‌ای را حساب کنید که در فاصله  $a$  از دوقطبی‌ای به قدرت  $m$  قرار گرفته است. فرض کنید که دیواره و دوقطبی موازی با محور  $x$  اند.

۱۷-۶ در مسئله قبل، اگر دوقطبی نسبت به دیواره زاویه  $\alpha$  داشته باشد چه نیرویی به دیواره وارد می‌شود؟

۱۸-۶ اگر قدرت دوقطبی  $-m$  باشد جوابهای مسائل ۱۶-۶ و ۱۷-۶ چگونه است؟ آیا نیروی وارد بر دیواره تغییر علامت می‌دهد؟

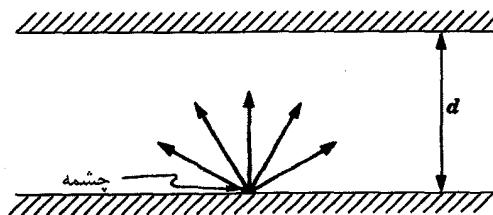
۱۹-۶ درباره حرکت  $z^2 - 1 = F$  بحث کنید.

۲۰-۶ پارامترهای  $F$ ،  $\psi$  و  $\phi$  را به دست آورید و خطهای جریان ناشی از چشمه موجود در دیواره کانالی به پهنای  $d$  را، همچون شکل ۳۶-۶، رسم کنید. (راهنمایی: آرایه‌ای نامتناهی از تصاویر بسازید و با هم جمع کنید.)

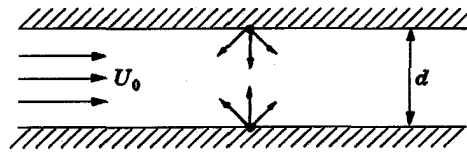
۲۱-۶ درباره جریان  $F = Az^2$  بحث کنید.

۲۲-۶ درباره جریان  $z^2 = F^3$  بحث کنید.

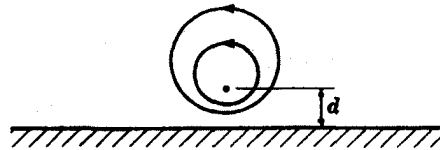
۲۳-۶  $F$  را بیابید و خطهای جریان را برای جریان گذرنده از میان کانالی که دارای دو چشمه مقابل هم‌اند، همچون شکل ۳۷-۶، رسم کنید.



شکل ۳۶-۶



شکل ۳۷-۶



شکل ۳۸-۶

۲۴-۶ گردابۀ پتانسیلی در فاصله  $d$  از دیواره قرار دارد. با توجه به شکل ۳۸-۶، دربارهٔ جریان بحث کنید.

۲۵-۶ دربارهٔ جریان موجود بر روی استوانۀ دایره‌ای نزدیک دیواره در شکل ۳۹-۶، با این فرض که  $d \gg D$ ، بحث کنید.

۲۶-۶ در مسئلهٔ ۲۵-۶ استوانه حول محورش با سرعت زاویه‌ای  $\Omega$  دوران می‌کند. دربارهٔ جریان بحث کنید.

۲۷-۶ در مسئلهٔ ۲۶-۶، دربارهٔ نیروی وارد بر استوانه بحث کنید.

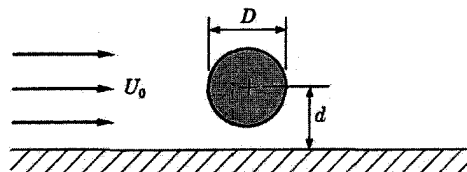
۲۸-۶ صفحهٔ مقوای نازکی را که سوزنی از آن عبور کرده است و قرقره‌ای بر روی سوزن قرار گرفته است در شکل ۴۰-۶ نشان داده‌ایم. اگر هوا را به آرامی به درون سوراخ قرقره بدمیم، مقوا به بالا کشیده می‌شود و نمی‌افتد. چرا؟ در واقع، هوا در برخورد به مقوا به طور شعاعی منحرف می‌شود و جریان موجود بین قرقره و مقوا شبیه جریان پتانسیل چشمه است. توزیع فشار در سرتاسر سطح صفحه چگونه است؟ آیا این موضوع برآ را توضیح می‌دهد؟

اگر دمیدن باد خیلی شدید باشد، صفحه می‌افتد. چرا؟ تکانهٔ هوای خروجی از سوراخ قرقره چقدر است؟ اگر جریان شعاعی باشد، باید حتماً منحرف شود. آیا این موضوع در تشریح آن به شما کمک می‌کند؟

۲۹-۶ چشمه‌ای در مکان  $z_1$  و چاهی در مکان  $z_2$  قرار دارد. برای قدرتهای معمولی  $F$ ،  $\phi$  و  $\psi$  را تعیین کنید.

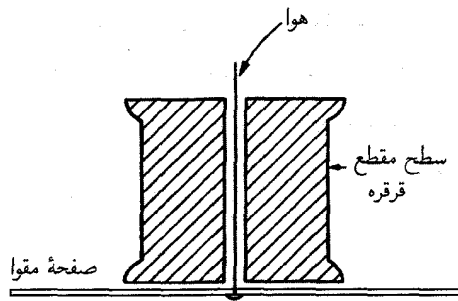
۳۰-۶ چشمه و چاهی هم‌قدرت در امتداد خط  $z = e^{i\alpha}$  و به فاصله  $a$  از مبدأ قرار دارند و در جریان یکنواختی در امتداد محور  $x$  غوطه‌ورند. خطهای جریان را رسم کنید.

۳۱-۶ چشمه‌ای مطابق شکل ۴۱-۶ در داخل زاویهٔ  $90^\circ$  قرار گرفته است. پتانسیل مختلط را تعیین کنید. سرعت مختلط را بیابید.

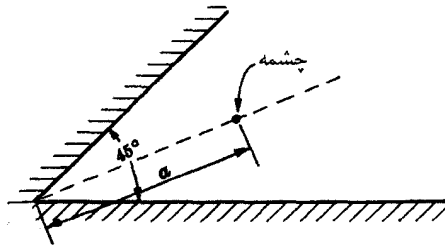


شکل ۳۹-۶

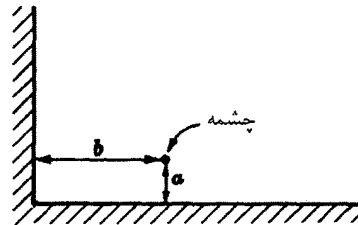




شکل ۴۰-۶



شکل ۴۲-۶



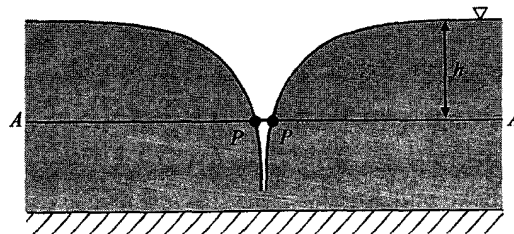
شکل ۴۱-۶

۳۲-۶ چشمه‌ای روی نیمساز زاویه  $45^\circ$  قرار دارد. فاصله چشمه از مبدأ  $\alpha$  است.  $F$  را به دست آورید و درباره جریان بحث کنید (شکل ۴۲-۶).

۳۳-۶ دیوبادی با گردش  $\Gamma$  دارای هسته توپری به قطر  $a$  است. توزیع فشار را در دیوباد محاسبه کنید. آیا این فشار کم کمکی به اثر ویرانگر دیوباد خواهد کرد؟

۳۴-۶ گردابی اقیانوسی را در شکل ۴۳-۶ نشان داده‌ایم. فشار در امتداد هر خط  $A-A$  از مقدار هیدروستاتیکی  $\rho gh$  در شعاعهای بزرگ به مقدار (نسبی) در نقطه  $P$  می‌رسد. با استفاده از نظریه گردابه پتانسیل معادله سطح آزاد گرداب را به دست آورید. در عمقهای زیاد در مرکز گرداب چه اتفاقی رخ می‌دهد؟ آیا گرداب دقیقاً متوقف می‌شود یا باید تا کف اقیانوس ادامه یابد؟ آیا می‌توانید توضیح دهید چرا هر جسمی که در گرداب می‌افتد به پایین کشیده می‌شود.

۳۵-۶ در فصل ۳ درباره حرکت آب‌پاش و گشتاور واکنشی آن بحث کردیم (مسئله ۳-۱۴). چرخش آب‌پاش به علت نیروی پس‌زنی آب در موقع خروج از شیپوره است. مسئله زیر را در نظر بگیرید. همین آب‌پاش را در استخر شای بزرگ یا دریاچه‌ای کاملاً غوطه‌ور می‌کنیم. آب استخر از میان شیپوره مکیده می‌شود و از میان شلنگی که شیپوره را تغذیه می‌کند، بر می‌گردد. هنگامی که آب از طریق شیپوره‌ها به بیرون پمپ می‌شود،



شکل ۴۳-۶

آیا آب‌پاش در جهت عکس می‌چرخد؟ آیا اصلاً می‌چرخد؟ راهنمایی: کارکرد آب‌پاش مبتنی بر خروج آب از شیپوره‌ها به صورت فورانی است. اما موقعی که آب به درون شیپوره‌ها مکیده می‌شود، آیا به صورت فورانی است یا اینکه شیپوره‌ها مانند چاه در جریان پتانسیل عمل می‌کنند؟<sup>۱</sup>  
 جواب: چرخش وجود ندارد. شیپوره‌ها مانند چاه عمل می‌کنند.

۶-۳۶ معادله ناپایای برنولی (۶-۹) را به طور کامل به دست آورید.

## نمادگذاریهای فصل ۶

پتانسیل مختلط	$= F$
جزء انگاری	$= \text{Im}$
برآ	$= L$
گشتاور	$= M$
فشار	$= p$
فشار سکون	$= p_0$
فشار جریان آزاد، که $V = U$	$= p_\infty$
آهنگ جریان حجمی	$= Q$
جزء حقیقی	$= \text{Re}$
سرعت جریان آزاد	$= U_0$
مؤلفه $x$ سرعت	$= u$
بردار سرعت	$= \mathbf{V}$
مؤلفه $y$ سرعت	$= v$
مؤلفه $r$ سرعت	$= v_r$
مؤلفه $\theta$ سرعت	$= v_\theta$
مؤلفه $z$ سرعت	$= w$
مؤلفه $x$ نیرو	$= X$
مؤلفه $y$ نیرو	$= Y$
متغیر مختلط $(x + iy)$	$= z$
گردش	$= \Gamma$
چگالی	$= \rho$
پتانسیل سرعت	$= \phi$
تابع جریان، پتانسیل گرانشی	$= \psi$
بردار سرعت زاویه‌ای	$= \boldsymbol{\Omega}$
گردشاری یا بردار چرخش	$= \boldsymbol{\omega}$
مزدوج مختلط.	$= (\sim)$

۱. این مسئله را فیزیکدان معاصر، ریچارد فاینمن، در کتاب معروفش پیشنهاد کرده است. (Norton, 1985) *Surely You're Joking, Mr. Feynman!* جواب این

داستان بامزه در مجله زیر توسط جان ویلر داده شده است 24 p. *John Wheeler, Physics Today, 1989*.



## جریان تراکم‌پذیر یک‌بعدی

### ۱-۷ مقدمه

در بسیاری از جریانهای فیزیکی، فرض «بی‌اصطکاک» و «تراکم‌ناپذیر» بودن به ارائه مدل معقول و دقیقی منجر می‌شود (فصل ۶). در جریانهای دیگر، دیدیم که گران‌روی اهمیت دارد (فصل ۵). در این فصل، جریانهای یک‌بعدی‌ای را در نظر می‌گیریم که تغییرات چگالی آنها اهمیت زیادی در تعیین مشخصه جریان دارد. هر چند محدودیت یک‌بعدی جریان می‌تواند محدودیتی جدی باشد، این مدل فیزیکی برای بسیاری از جریانهای واقعی تقریب خوبی است.

در این فصل فقط جریانهای درونی را بررسی می‌کنیم. در محیط یک‌بعدی، فرض می‌شود که کمیت‌هایی همچون فشار، دما، سرعت، و جز آن در هر مقطع کانال یکنواخت است.<sup>۱</sup>

جریانهای درونی (جریان در لوله‌ها، کانالها، و مجراها) ممکن است به علت تغییر مقطع جریان، گرمایش، و اصطکاک، خواص متفاوتی در امتداد کانال پیدا کنند. در جریانهای واقعی همه این پدیده‌ها رخ می‌دهند. اما، اثر هر یک از این تغییرات را یک‌به‌یک بررسی می‌کنیم. این کار دو دلیل دارد: نخست جریانهای زیادی وجود دارند که فقط یکی از این تغییرات در آنها مهم است؛ دوم این‌که به درک بهتر از نقش این اثرها در جریانهای کلی می‌انجامد.

۱. به بیان دقیق‌تر، جریان یک‌بعدی به صورت جریانی تعریف می‌شود که فقط یک مؤلفه مکانی برای توصیف دارد. این موضوع را به وسیله جریان کاملاً توسعه‌یافته در لوله می‌توان درک کرد. اما در اینجا، فقط جریانهایی را در نظر می‌گیریم که دارای شرایط یکنواخت در هر مقطع هستند.

## ۱-۱-۷ تقریب گاز کامل

تقریب گاز کامل فقط برای گازهایی با چگالی کم و متوسط معتبر است. از این تقریب رابطه‌های مربوط به خواص گازها را برای ساختن مدل ریاضی کلی می‌توان به دست آورد. مثلاً اگر فرض کنیم که شماره گاز کامل است، آن‌گاه، داریم

$$pv = RT \quad (۱-۷)$$

که  $p$  فشار مطلق،  $v$  حجم ویژه،  $R$  ثابت عمومی گازها و  $T$  دمای مطلق است. وانگهی، اگر فرض کنیم که گرماهای ویژه در حجم ثابت و فشار ثابت برحسب دما تغییر نمی‌کنند. آن‌گاه، بین حالت‌های ۱ و ۲ می‌توان رابطه‌های خواص دیگری را به صورت زیر نوشت

$$u_2 - u_1 = c_v(T_2 - T_1) \quad (۲-۷)$$

$$h_2 - h_1 = c_p(T_2 - T_1) \quad (۳-۷)$$

که  $u$  انرژی درونی ویژه،  $h$  آنتالپی ویژه،  $c_p$  و  $c_v$  گرماهای ویژه در حجم و فشار ثابت‌اند. افزون بر آن، اگر فرض کنیم که جریان بی‌اصطکاک و بی‌درو (و بنابراین تک‌آنتروپی) باشد و از معادله حالت گاز کامل پیروی کند، آن‌گاه معادله زیر بیانگر این فرایند خواهد بود

$$p \left( \frac{1}{\rho} \right)^k = pv^k = \text{const.} \quad (۴-۷)$$

که  $k$  نسبت گرماهای ویژه است،  $k = \frac{c_p}{c_v}$ .

## ۲-۱-۷ انتشار اختلال بی‌نهایت کوچک

اختلال در دیواره شماره با سرعت کاملاً مشخصی در شماره انتشار می‌یابد که به خواص شماره بستگی دارد. سرعت انتشار به بزرگی اختلال بستگی خواهد داشت. اگر اختلال بسیار کوچک باشد، سرعت انتشار اختلال را سرعت صوت یا سرعت آکوستیک می‌گویند. این سرعت خود خاصیتی از شماره است، که خاصیت بسیار مهمی در جریان تراکم‌پذیر به شمار می‌رود.

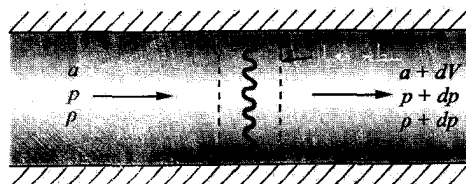
سرعت صوت را می‌توان با استفاده از شماره موجود در لوله درازی همچون شکل ۱-۷ تعیین کرد. با ایجاد اختلالی بی‌نهایت کوچک در شماره، جبهه موجی با سرعت  $a$  به حرکت در می‌آید. اکنون دستگاه مختصات را بر روی موج به گونه‌ای ثابت می‌کنیم که شماره اختلال نیافته با سرعت  $a$  نسبت به موج حرکت کند.

معادله تکانه برای حجم معیاری با سطح مقطع  $A$  عبارت است از

$$A[p - (p + dp)] = \rho A a [(a + dV) - a]$$

که به دست می‌دهد

$$-dp = \rho a dV$$



شکل ۱-۷ انتشار امواج صوت.

که  $\rho$  چگالی شاره و  $a$  سرعت موج صوتی است که به عنوان تندی صوت شناخته می‌شود. معادله پیوستگی برای حجم معیار عبارت است از

$$\rho A a = (\rho + d\rho)(a + dV)A$$

با ساده کردن و حذف عبارتهای مرتبه بالاتر، داریم

$$\frac{d\rho}{\rho} = -\frac{dV}{a}$$

از ترکیب معادلات تکانه و پیوستگی، رابطه زیر به دست می‌آید

$$\frac{dp}{d\rho} = a^2$$

غالباً این رابطه را به صورت زیر می‌نویسند

$$\left(\frac{\partial p}{\partial \rho}\right)_s = a^2 \quad (5-7)$$

چون این اختلال بی‌نهایت کوچک است و از این رو، فرایند برگشت‌پذیر و بی‌دررو، و بنابراین تک‌آنتروپی خواهد بود، از شاخص پایین  $s$  در مشتقها استفاده شده است.

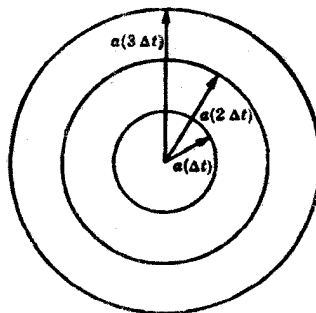
با استفاده از معادله (۴-۷) برای گاز کامل، داریم

$$a^2 = kRT \quad (6-7)$$

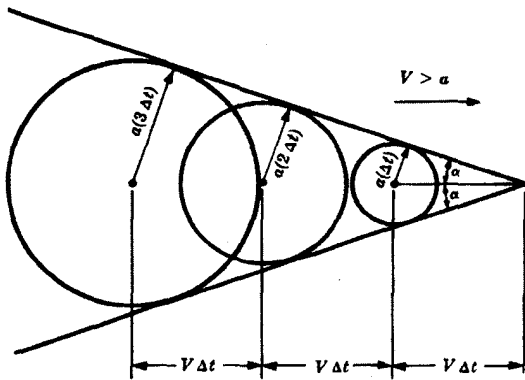
### ۳-۱-۷ مخروط ماخ

اختلالی کوچک در نقطه‌ای از شاره ساکن، به طور شعاعی در تمام جهتها انتشار می‌یابد، و جبهه موجها در زمانهای مختلف به شکل کره‌های هم‌مرکز مطابق شکل ۲-۷ در خواهند آمد. اگر چشمه اختلال با سرعت  $V$ ، که کوچکتر از  $a$  است، حرکت کند، باز هم جبهه موجهایی کروی‌ای خواهیم داشت که این بار به صورت هم‌مرکز نیستند. این پدیده را در شکل ۳-۷ نشان داده‌ایم. در حالت  $V > a$ ، (یعنی سرعت اختلال بزرگتر از سرعت آکوستیکی است، سطحی مخروطی ایجاد می‌شود که جریان در یک طرف آن اختلال نیافته خواهد بود و در طرف دیگر، اثر موج اختلال کاملاً احساس می‌شود. نیم‌زاویه رأس مخروط برابر است با  $\alpha = \sin^{-1}(a/V) = \sin^{-1}(1/M)$  که در شکل ۴-۷ دیده می‌شود. در اینجا،  $M$  عدد ماخ  $V/a$  است.

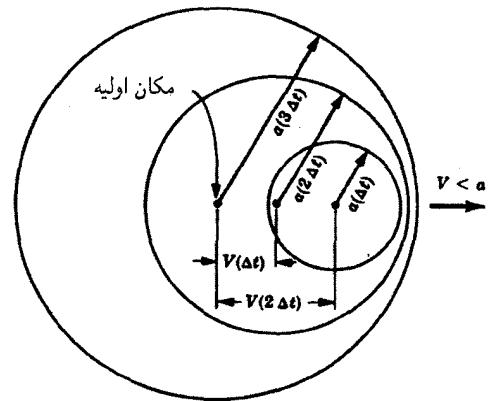
با این فرض که اختلالهای موجود در شکلهای ۳-۷ و ۴-۷ ساکن هستند و شاره دارای سرعت  $V$  از راست به چپ است، به شکلهای یکسانی دست خواهیم یافت. این شکلهای اختلاف اساسی بین جریانهای فروصوتی و فراصوتی را نشان می‌دهند. در جریان فروصوتی،  $M < 1$ ، اختلالی بی‌نهایت کوچک در تمام جریان دیده می‌شود. در جریان فراصوتی،  $M > 1$ ، اختلال فقط در قسمتی از جریان به وجود می‌آید. این موضوع به اختلافهای مهم و جالبی در رفتار جریانهای فروصوتی و فراصوتی منجر می‌شود.



شکل ۲-۷ اختلال بی‌نهایت کوچک ساکن.



شکل ۴-۷ اختلال بی‌نهایت کوچک با  $V > a$ .  $\alpha = \sin^{-1}(1/M)$ .



شکل ۳-۷ اختلال بی‌نهایت کوچک با  $V < a$ .

## ۲-۷ جریان تک‌آنتروبی

بسیاری از جریانها را می‌توان با دقت قابل قبولی به صورت تک‌آنتروبی بیان کرد. این فرض به معنای بی‌اصطکاک و بی‌دررو بودن آنها، بدون وجود ناپیوستگی در خواص جریان است. نمونه این نوع شارها عبارت‌اند از (۱) جریانهای بیرونی در ناحیه‌هایی با سرعت پایین و گرادیان دمایی کم و (۲) جریانهای درونی همچون شیورها و پخش‌کنها، که تغییر سطح مقطع شاره عامل اصلی تغییر در شرایط جریان است:

### ۱-۲-۷ اثر تغییر سطح مقطع

معادله انرژی برای جریان پایای یک‌بعدی و بی‌دررو گاز کامل بدون انجام کار محوری به صورت زیر است

$$\frac{1}{2}V^2 + c_p T = \text{const.}$$

با استفاده از معادله (۶-۷) برای سرعت آکوستیکی، داریم

$$\frac{1}{2}V^2 + \frac{k}{k-1} \frac{p}{\rho} = \text{const.}$$

پس از دیفرانسیل‌گیری، رابطه زیر به دست می‌آید

$$V dV + a^2 \frac{d\rho}{\rho} = 0 \quad (7-7)$$

پس از دیفرانسیل‌گیری از معادله پیوستگی برای جریان یک‌بعدی پایا، خواهیم داشت

$$\frac{d\rho}{\rho} + \frac{dA}{A} + \frac{dV}{V} = 0 \quad (8-7)$$

از ترکیب معادلات (۷-۷) و (۸-۷)، معادله زیر نتیجه می‌شود

$$\frac{dA}{A} = \frac{dV}{V} (M^2 - 1) \quad (9-7)$$

به همین گونه، برای  $dM$  می‌توان نوشت

$$\frac{dM}{M} = \frac{1 + [k-1]/2 M^2}{M^2 - 1} dA \quad (9-7 \text{ الف})$$

جدول ۱-۷ اثر تغییر سطح مقطع بر روی  $M$  و  $V$

$M > 1$	$M < 1$	
کاهش $V$	افزایش $V$	$dA < 0$
کاهش $M$	افزایش $M$	
افزایش $V$	کاهش $V$	$dA > 0$
افزایش $M$	کاهش $M$	

معادلات (۹-۷) و (۹-۷الف) نتیجه‌های جالب و مهمی به دست می‌دهند. مشاهده می‌کنیم که برای  $M < 1$ ، با افزایش سطح مقطع سرعت کاهش می‌یابد. اما، برای  $M > 1$ ، عکس این موضوع صادق است. از معادله (۹-۷الف) در می‌یابیم که برای عدد ماخ واحد ( $M = 1$ )،  $dA = 0$  باید صفر شود. نتیجه معادلات (۹-۷) و (۹-۷الف) را در جدول ۱-۷ خلاصه کرده‌ایم.

### ۲-۲-۷ جریان شیپوره همگرا

اکنون، جریان موجود در گذرگاهی همگرا را همچون شکل ۵-۷ بررسی می‌کنیم. فرض می‌کنیم که شماره گازی کامل با جریان یک‌بعدی بی‌دررو و بی‌اصطکاک است. معادله پیوستگی عبارت است از

$$\dot{m} = \frac{A_2 V_2}{v_2} \quad (10-7)$$

که  $\dot{m}$  آهنگ جریان جرمی و  $v$  حجم ویژه شماره ( $1/\rho$ ) است. معادله انرژی برحسب آنتالپی عبارت است از

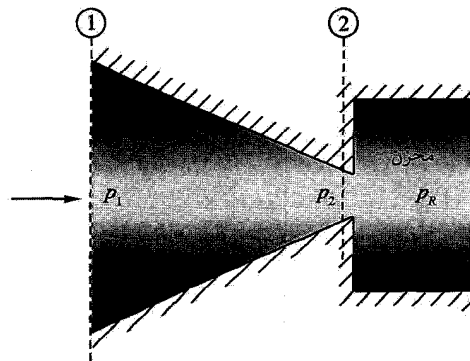
$$\frac{1}{\gamma} (V_2^2 - V_1^2) = h_1 - h_2 \quad (11-7)$$

اگر فرض کنیم که  $V_1 \ll V_2$ ، معادله (۱۱-۷) را می‌توان (با استفاده از رابطه‌های خواص و تک‌آنتروپی بودن) به صورت زیر نوشت

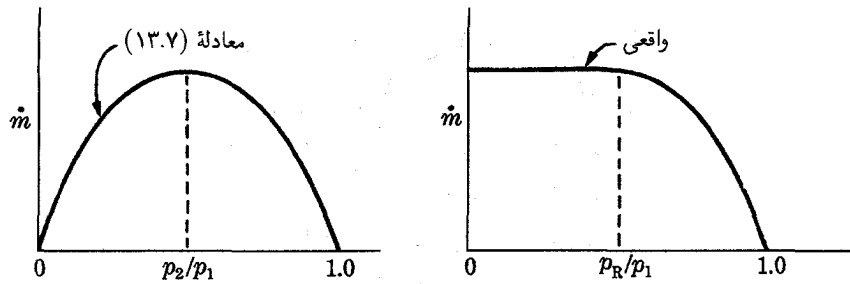
$$V_2 = \left\{ \frac{\gamma k}{k-1} p_1 v_1 \left[ 1 - \left( \frac{p_2}{p_1} \right)^{(k-1)/k} \right] \right\}^{1/2} \quad (12-7)$$

از ترکیب معادلات (۱۰-۷) و (۱۲-۷) با رابطه تک‌آنتروپی  $p_1 v_1^k = p_2 v_2^k$  خواهیم داشت

$$\dot{m}/A_2 = \left\{ \frac{\gamma k}{k-1} \frac{p_1}{v_1} \left[ (p_2/p_1)^{2/k} - (p_2/p_1)^{(k+1)/k} \right] \right\}^{1/2} \quad (13-7)$$



شکل ۵-۷ شیپوره همگرا.



شکل ۶-۷ جریان جرم در شیپوره همگرا.

اگر شرایط ورودی را ثابت فرض کنیم، آن‌گاه تغییر در جریان جرم فقط در نتیجه تغییر در  $p_2$  خواهد بود. این نتیجه را در شکل ۶-۷ به صورت نمودار معادله (۱۳-۷) نشان داده‌ایم. همچنین، آهنگ جریان جرمی واقعی را به صورت نمودار  $\dot{m}$  برحسب  $\frac{p_R}{p_1}$  که فشار مخزن است، در این شکل نشان داده‌ایم.

روشن است که اختلافی بین نتیجه‌های واقعی و پیش‌بینی شده وجود دارد. نتیجه‌های واقعی و پیش‌بینی شده با معادله (۱۳-۷) در فاصله  $\frac{p_R}{p_1} = 1.0$  تا مقدار فشار مخزن که آهنگ جریان جرمی به مقدار بیشینه می‌رسد، کاملاً مطابقت دارد. در جریان واقعی کاهش بیشتر در فشار مخزن تأثیری بر آهنگ جریان جرمی ندارد. همچنین، مشاهده می‌کنیم که به‌طور تجربی فشار گلوگاه  $p_2$  هرگز کمتر از مقدار آهنگ جریان جرمی بیشینه نخواهد بود. این فشار کمینه گلوگاه را فشار بحرانی  $p_c$  می‌گویند و با دیفرانسیل‌گیری از معادله (۱۳-۷) و صفر کردن نتیجه به دست می‌آید. از اینجا رابطه زیر نتیجه می‌شود

$$\left(\frac{p_2}{p_1}\right)_{\text{جریان بیشینه}} = \frac{p_c}{p_1} = \left[\frac{2}{k+1}\right]^{k/(k-1)} \quad (14-7)$$

از ترکیب معادلات (۱۲-۷) و (۱۴-۷) عدد ماخ برابر با واحد، در مکانی که دارای فشار بحرانی است، به دست می‌آید. این نتیجه‌ها، با توجه به نتیجه‌های قسمت قبل، جای تعجب ندارد. برای افزایش عدد ماخ به بیشتر از واحد، باید قسمت الحاقی واگرایی را به لوله قدیمی بیفزائیم.

### ۷-۲-۳ شیپوره همگرا-واگرا

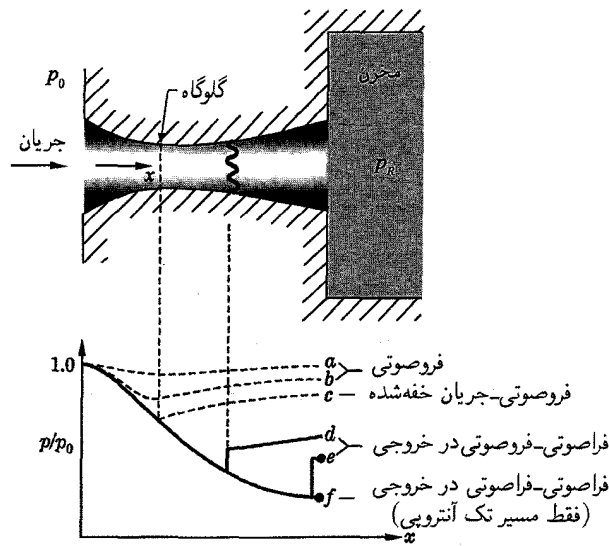
در بخش قبل دیدیم که در شیپوره همگرا عدد ماخ بیشینه برابر واحد بود. از معادله (۹-۷) نیز دریافتیم که برای افزایش عدد ماخ به بیشتر از واحد، باید سطح مقطع افزایش یابد. بنابراین، برای امکان دستیابی به جریان فراصوتی، باید گذرگاه جریان دارای مقطع‌هایی متوالی کاهنده و افزایشنده، همچون شکل ۷-۷، باشد.

اگر فشار مخزن اندکی کاهش یابد ( $a, b$ )، جریان از چپ به راست خواهد بود. جریان در سرتاسر مجرا فروصوتی است، به گونه‌ای که قسمت همگرا به صورت شیپوره و قسمت واگرا به صورت پخش‌کن عمل می‌کنند. اگر فشار مخزن را بیشتر کاهش دهیم ( $c$ ) فشار در گلوگاه به مقدار کمینه (بحرانی) نزدیک می‌شود و سرعت شاره برابر سرعت صوت خواهد شد. جریان در قسمت واگرا فروصوتی است.

اگر فشار مخزن را باز هم کاهش دهیم ( $d, e$ )، آن‌گاه جریان گذرنده از گلوگاه در فاصله‌ای کوتاه فراصوتی خواهد شد؛ سپس، ناپیوستگی‌ای در فشار (ضربه‌ای قائم) رخ می‌دهد و جریان در فاصله باقیمانده تا مقطع خروجی فروصوتی خواهد بود. حالت  $e$  وقتی رخ می‌دهد که موج ضربه‌ای به خروجی شیپوره انتقال می‌یابد.

در مخزن فقط یک فشار ( $f$ ) وجود دارد که جریان فراصوتی آن تک‌آنتروپی است. اگر فشار مخزن بین  $e$  و  $f$  باشد، آن‌گاه شیپوره را فزانسپاتی می‌گویند. در این حالت، موج ضربه‌ای در خارج از شیپوره، که فشار آن از مقدار کمتر به مقداری بیشتر می‌رسد، تشکیل خواهد شد. اگر فشار مخزن کمتر از  $f$  باشد، شیپوره را فروانسیسپاتی می‌گویند. در این حالت، مجموعه‌ای از موج‌های انبساطی و موج‌های ضربه‌ای مایل در خارج از شیپوره، با تغییر فشار از مقدار زیاد به مقدار کم به وجود می‌آید.





شکل ۷-۷ وضعیت جریان در شیوره همگرا-واگرا.

فرضهای مهم این بخش شامل یک‌بعدی بودن، پایایی و بی‌دررو بودن جریان گاز کامل است. در بیشتر جریانهای واقعی، این فرضها کاملاً صدق نمی‌کنند. اما، این مدل نتیجه‌هایی را پیش‌بینی می‌کند (مثلاً، سرعت خروجی یا نیروی رانش) که تا چند درصد با نتیجه‌های تجربی بسیاری از جریانها اختلاف دارد. در بعضی از مسائل، طرح دوست ندارد حتی تا چند درصد با پیش‌بینی اختلاف داشته باشد. بنابراین، این حقیقت را که جریان واقعاً یک‌بعدی نیست، لایه مرزی وجود دارد، یا انتقال گرما رخ می‌دهد، و یا شاره گازی کامل نیست باید در نظر گرفت.

### ۴-۲-۷ معادلات تک‌انترویی

اگر جریان یک‌بعدی، پایا، بی‌دررو، و شاره گاز کامل باشد، معادله انرژی بین دو مکان ۱ و ۲ عبارت است از

$$c_p T_1 + \frac{V_1^2}{2} = c_p T_2 + \frac{V_2^2}{2} = c_p T_0 = h_0 \quad (15-7)$$

در اینجا،  $T_0$  دمای سکون یا دمای منبع است که شاره پس از رسیدن به حالت سکون به طور بی‌دررو، به آن دست می‌یابد.  $h_0$  آنتالپی ویژه در حالت سکون است. باید متذکر شد که اگر جریان بی‌دررو باشد، دمای سکون  $T_0$  در امتداد خط جریان ثابت خواهد ماند. لازم نیست جریان تک‌انترویی باشد. با نوشتن سرعت بر حسب عدد ماخ و استفاده از رابطه  $c_p - c_v = R$ ، معادله انرژی به صورت زیر نوشته می‌شود

$$\frac{T_2}{T_1} = \frac{1 + \frac{1}{\gamma}(k-1)M_1^2}{1 + \frac{1}{\gamma}(k-1)M_2^2} \quad (16-7)$$

اگر از رابطه تک‌انترویی بین فشار و دما برای گاز کامل استفاده شود، داریم

$$\frac{p_2}{p_1} = \left[ \frac{1 + \frac{1}{\gamma}(k-1)M_1^2}{1 + \frac{1}{\gamma}(k-1)M_2^2} \right]^{k/(k-1)} \quad (17-7)$$

آهنگ جریان جرمی را می‌توان از رابطه زیر تعیین کرد

$$\dot{m} = \rho AV$$

یا برحسب عدد ماخ، خواهیم داشت

$$\dot{m}/A = \sqrt{k/RT} p M \quad (۱۸-۷)$$

فشار سکون  $p_0$  فشاری است که شماره را با فرایند تک‌آنتروپی به حالت سکون در می‌آورد. برای جریان تک‌آنتروپی در شیپوره که از منبعی با فشار  $p_0$  تغذیه می‌شود، این فشار همان فشار منبع است. برای هر حالت شماره می‌توان شیپوره‌ای تک‌آنتروپی و خیالی در نظر گرفت که از طریق منبعی در فشار  $p_0$  تغذیه می‌شود.

فشار سکون در سرتاسر خط جریان در جریان تک‌آنتروپی ثابت است، به گونه‌ای که  $p_{0,1} = p_{0,2}$ . اما، اگر جریان بی‌دررو باشد ولی تک‌آنتروپی نباشد، آن‌گاه دمای سکون  $T_0$  همچنان در سرتاسر جریان ثابت است ولی  $p_0$  ثابت نخواهد ماند.

نتیجه‌های دیگری را از جریان تک‌آنتروپی گاز کامل، با استفاده از رابطه  $a^2 = kRT$ ، همراه با معادله انرژی برای جریان بی‌دررو (اما نه لزوماً تک‌آنتروپی) می‌توان به دست آورد

$$\frac{V^2}{2} + \frac{a^2}{k-1} = \frac{a_0^2}{k-1} \quad (۱۹-۷)$$

$$\frac{a_0^2}{a^2} = \frac{T_0}{T} = 1 + \frac{k-1}{2} M^2 \quad (۲۰-۷)$$

سپس، با استفاده از معادله (۷-۴) برای جریان تک‌آنتروپی، داریم

$$\frac{p_0}{p} = \left(1 + \frac{k-1}{2} M^2\right)^{k/(k-1)} \quad (۲۱-۷)$$

$$\frac{\rho_0}{\rho} = \left(1 + \frac{k-1}{2} M^2\right)^{k/(k-1)} \quad (۲۲-۷)$$

در مجرا، به ویژه شیپوره مساحت  $A$  پارامتر مهمی است. در اینجا از کمیت ستاره‌دار  $A^*$  برای معرفی شرط یا خاصیت عدد ماخ واحد (دقیقاً صوتی) استفاده شده است. با استفاده از اصل پیوستگی، داریم

$$\dot{m} = \rho AV = \rho^* A^* a^* \quad (۲۳-۷)$$

$A^*$  مساحت گلوگاه خیالی است که برای دستیابی به شرایط صوتی از طریق مسیری تک‌آنتروپی لازم است.  $A^*$  ممکن است واقعاً در مجرا وجود داشته باشد یا نداشته باشد، که به ایجاد شرایط صوتی بستگی دارد. اگر شرایط صوتی دست‌یافتنی باشد، آن‌گاه  $A_1 = A^*$ ، که  $A_1$  مساحت گلوگاه واقعی است. البته، تندی صوتی  $a$  در درون جریان تغییر می‌کند و  $a^*$  مقدار  $a$  درست در حالت  $M = 1$  است. با استفاده از رابطه‌های شیپوره، نسبت  $A/A^*$  را می‌توان برحسب مقدار عدد ماخ موضعی  $M$  (با مساحت  $A$ ) به دست آورد

$$\left(\frac{A}{A^*}\right)^2 = \frac{1}{M^2} \left[ \frac{2}{k+1} \left(1 + \frac{k-1}{2} M^2\right) \right]^{(k+1)/(k-1)} \quad (۲۴-۷)$$

یادآور می‌شویم فشار بحرانی  $p_c$ ، که از معادله (۷-۱۴) به دست می‌آید، همان  $p^*$  است.

برای هر جریان تک‌آنتروپی مفروض با  $p_0$  و  $T_0$  ثابت، از معادلات (۷-۲۰)، (۷-۲۱)، (۷-۲۲) و (۷-۲۴) نسبت‌های  $T/T_0$ ،  $p/p_0$ ،  $\rho/\rho_0$  و  $A/A^*$  را برحسب عدد ماخ موضعی  $M$  می‌توان به دست آورد. چون نسبت‌های  $T/T_0$ ،  $p/p_0$ ،  $\rho/\rho_0$  و  $A/A^*$  فقط تابع  $M$  هستند، این نسبت‌ها را می‌توان به صورت عددی جدول‌بندی کرد و در محاسبات به طور مؤثر به کار برد. در این ارتباط، جدول فشرده‌ای را در پیوست د می‌توان دید.

### ۳-۷ موجهای ضربه‌ای قائم

در شیپوره همگرا-اگرا یا هنگامی که مقدار فشار خروجی در گستره خاصی است، ناپیوستگی‌ای در فشار (چگالی و دما) به وجود می‌آید. این ناپیوستگی را موج ضربه‌ای قائم می‌گویند. در این بخش، می‌خواهیم (۱) نشان دهیم که این ناپیوستگی ممکن است رخ دهد و (۲) معادلاتی به دست آوریم که تغییر شرایط را در عرض موج ضربه‌ای بیان کند.

فرض می‌کنیم که موج ضربه‌ای قائم موجود در شکل ۷-۸ را می‌توان با مدل زیر مشخص کرد:

۱. مساحت در عرض موج ضربه‌ای ثابت است (تغییر سطح مقطع کانال در عرض ضخامت موج ضربه‌ای چندان نیست)

۲. گاز کامل است.

۳. جریان پایاست.

۴. جریان یک‌بعدی است.

۵. جریان بی‌درروست.

حجم معیار بین خطهای ۱ و ۲ بسیار نازک و نسبت به موج ضربه‌ای ساکن است (که ممکن است نسبت به ناظری ساکن متحرک باشد یا نباشد). مهم است بدانیم که جریان در میان موج ضربه‌ای برگشت‌ناپذیر است، و بنابراین نمی‌توان از معادلات تک‌آنترپوی استفاده کرد. شکلهای حجم معیار برای انرژی، تکانه و پیوستگی به صورت زیرند (بخش قبل را ببینید)

انرژی:

$$\frac{T_2}{T_1} = \frac{1 + \frac{1}{\gamma}(k-1)M_1^2}{1 + \frac{1}{\gamma}(k-1)M_2^2} \quad [16-7]$$

تکانه:

$$\frac{p_2}{p_1} = \sqrt{\frac{T_2}{T_1} \frac{M_1}{M_2}} \quad (25-7)$$

پیوستگی:

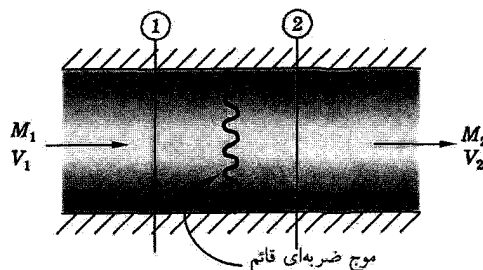
$$(p_1 - p_2)A = \dot{m}(V_2 - V_1)$$

که به شکل زیر در می‌آیند

$$\frac{p_2}{p_1} = \frac{1 + kM_1^2}{1 + kM_2^2} \quad (26-7)$$

از ترکیب معادله حالت با رابطه ترمودینامیکی تغییر آنترپوی، خواهیم داشت

$$s_2 - s_1 = c_p \ln(T_2/T_1) - R \ln(p_2/p_1) \quad (27-7)$$



شکل ۷-۸ مدل جریان برای موج ضربه‌ای قائم.

معادلات (۱۶-۷)، (۲۵-۷) و (۲۶-۷) دارای سه مجهول  $T_2$ ،  $p_2$ ،  $M_2$  هستند و از ترکیب آنها، داریم

$$M_2 = \left[ \frac{M_1^2(k-1) + 2}{2kM_1^2 - k + 1} \right]^{1/2} \quad (28-7)$$

معادلات (۱۶-۷)، (۲۶-۷) و (۲۸-۷) به طور کامل شرایط موجود در پشت موج ضربه‌ای را برحسب شرایط بالادست جریان بیان می‌کنند.<sup>۱</sup> هر چند برای محاسبات عددی معمولاً از جدولهای موج ضربه‌ای استفاده می‌شود، با عملیات جبری مختصر می‌توان رابطه‌های بسیاری را بین خواص بالادست و پایین‌دست جریان به دست آورد. رابطه‌های رانکین-هوگنویو عبارت‌اند از

$$\frac{\rho_2}{\rho_1} = \frac{1 + \frac{k+1}{k-1} p_2}{\frac{k+1}{k-1} + \frac{p_2}{p_1}} = \frac{u_1}{u_2} \quad (29-7)$$

$$\frac{T_2}{T_1} = \frac{p_2 \left( \frac{k+1}{k-1} + \frac{p_2}{p_1} \right)}{p_1 \left( 1 + \frac{k+1}{k-1} p_2 \right)} \quad (30-7)$$

رابطه‌های مفید دیگر عبارت‌اند از

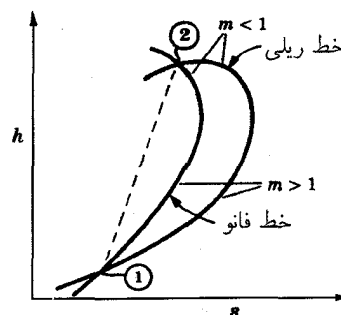
$$\frac{p_2}{p_1} = 1 + \frac{2k}{k+1} (M_1^2 - 1) \quad (31-7)$$

$$\frac{\rho_2}{\rho_1} = \frac{u_1}{u_2} = \frac{(k+1)M_1^2}{(k-1)M_1^2 + 2} \quad (32-7)$$

$$\frac{T_2}{T_1} = \frac{p_2 \rho_1}{p_1 \rho_2} \quad (33-7)$$

نسبت‌های خواص پایین‌دست جریان به بالادست جریان فقط تابع  $M_1$  است و این نسبتها در جدولهای موج ضربه‌ای به صورت تابع متغیر مستقل  $M_1$  جدول‌بندی شده‌اند.

سؤالی را که پاسخ نداده‌ایم عبارت است از: چه موقع موج ضربه‌ای قائم رخ می‌دهد؟ فرض می‌کنیم که تمام شرایط مدل، به جز معادلهٔ تکانه، برآورده شده است. بدین ترتیب، معادلات (۱۶-۷)، (۲۵-۷) و (۲۷-۷) (یعنی، انرژی، پیوستگی و معادلهٔ حالت) بیانگر منحنی‌ای در نمودار آنتالپی-آنتروپی هستند که از حالت اولیهٔ ۱، همچون شکل ۷-۹ می‌گذرد. این منحنی را خط فانو می‌گویند.



شکل ۷-۹ خط فانو و خط ریلی.

۱. تغییرات خواص در عرض موج ضربه‌ای قائم به صورت عددی و به شکل راحت جدول‌بندی شده است، و دیگر به محاسبه با استفاده از معادلات بالا نیاز نخواهد بود. جدولهای موج ضربه‌ای در مرجعهای مختلف یافت می‌شوند و به صورت مختصر در پیوست آمده است.

اکنون، اگر تمام شرایط مدل، به جز معادله انرژی، برآورده شوند منحنی دیگری در نمودار آنتالپی-آنترپیی داریم. این منحنی را خط ریلی می‌گویند.

برای تأمین تمام شرایط مدل، حالت‌های تعادل خط فانو و خط ریلی باید همزمان برقرار باشند. چون دو نقطه تقاطع در منحنی‌ها وجود دارد، بنابراین دو حالت در این شرایط صدق می‌کنند و تمام حالت‌های دیگر مجاز نیستند. یادآور می‌شویم که تمام حالت‌های مجاز دارای تفاوت‌های معینی در خواص هستند.

بنابراین اگر جریان دارای شرایط حالت ۱ باشد، ممکن است ناپوستگی رخ دهد و جریان، شرایط حالت ۲ را بگیرد. آیا امکان دارد شرایط جریان از حالت ۲ به حالت ۱ تغییر یابد؟ جواب منفی است زیرا این موضوع شامل کاهش آنترپیی است و این به معنی نقض اصل دوم ترمودینامیک خواهد بود. جریان در تقاطع قسمت پایین منحنیها فراضوتی است، در حالی که در تقاطع قسمت بالای جریان فراضوتی خواهد بود. از این رو، نشان دادیم که ناپوستگی در صورتی رخ می‌دهد که جریان شاره فراضوتی باشد، اما اگر فراضوتی باشد رخ نمی‌دهد.

### ۴-۷-۷ جریان بی دررو با سطح مقطع ثابت (خط فانو)

جریان بی دررو، یک بعدی، و پایای یک گاز کاملی را در مجرای با سطح مقطع ثابت در نظر بگیرید. معادلاتی که این جریان را بیان می‌کنند (که شاخص پایین ۱ در آنها حالت مرجع را در بالادست جریان مشخص می‌کند) عبارت‌اند از:

انرژی:

$$h_1 + \frac{V_1^2}{2} = h + \frac{V^2}{2} = h_0 \quad (34-7)$$

که  $h_0$  آنتالپی سکون است و با معادله (۳۴-۷) تعریف می‌شود.

تکانه:

$$(p_1 - p)A - \tau \cdot LC = A(\rho V^2 - \rho_1 V_1^2) \quad (35-7)$$

که  $\tau$  تنش برشی دیواره،  $L$  طول و  $C$  طول محیط خیس شده است.

پیوستگی:

$$V_1 \rho_1 = V \rho \quad \text{یا} \quad \frac{V_1}{v_1} = \frac{V}{v} \quad (36-7)$$

معادله حالت:

$$\frac{p_1 v_1}{T_1} = \frac{pv}{T} \quad (37-7)$$

رابطه خاصیت:

$$s - s_1 = c_v \ln \left( \frac{h}{h_1} \right) + R \ln \left( \frac{v}{v_1} \right) \quad (38-7)$$

از ترکیب معادلات انرژی و پیوستگی، داریم

$$h = h_0 - \frac{1}{2} \left( \frac{V_1}{v_1} \right)^2 v^2 \quad (39-7)$$

و اینکه با ترکیب این معادله با رابطه خاصیت، خط فانو به صورت منحنی شکل ۷-۹ به دست می‌آید. این منحنی شرایط ممکن را برای شرایط ثابت در بالادست جریان که با ۱ مشخص شده است، نشان می‌دهد. همان گونه که مشاهده می‌شود، آنترپیی بیشینه‌ای برای این منحنی وجود دارد. این موضوع، معنای مهمی دارد. مثلاً اگر شرایط بالادست جریان، همچون شکل ۷-۹، در قسمت زیر منحنی باشد، آن گاه مقدار آنتالپی افزایش خواهد یافت. یادآور می‌شویم که آنترپیی، بنابر قانون دوم ترمودینامیک، باید افزایش یابد. یعنی، اگر شرایط جریان به حد متناظر با آنترپیی

بیشینه برسد، آن‌گاه شرایط جریان دیگر تغییر نمی‌کند. شرط آنتروپی بیشینه نشان می‌دهد که جریان در خروجی کانالی با سطح مقطع ثابت «خفه شده» است.

از ترکیب معادله  $T ds = dh - v dp$  (یعنی، رابطه خواص  $T ds = dh - v dp$ ) با شکل دیفرانسیلی معادلات انرژی و پیوستگی خواهیم داشت

$$\frac{ds}{dh} = \frac{1}{T} \left( 1 - \frac{1}{V^2} \frac{dp}{\rho} \right) \quad (۴۰-۷)$$

از تساوی این معادله با صفر، شرایط جریان خفه شده در خروجی لوله به صورت زیر به دست می‌آید

$$V^2 = \frac{dp}{d\rho} = \left( \frac{\partial p}{\partial \rho} \right)_s = a^2 \quad (۴۱-۷)$$

یا

$$M = 1.0$$

بنابراین، می‌بینیم که اثرهای اصطکاک باعث می‌شود جریان شاره به عدد ماخ واحد برای هر دو حالت فروصوتی (منحنی بالا) و فراصوتی (منحنی پایین) سوق کند.

تغییرات خاصیت را برای جریان گاز بی‌دررو یک‌بعدی در مجرای با سطح مقطع ثابت می‌توان با استفاده از این معادلات تعیین کرد. خلاصه نتیجه‌ها به صورت زیر است

خاصیت	جریان فروصوتی	جریان فراصوتی
$s$	افزایش	افزایش
$h$	کاهش	افزایش
$T$	کاهش	افزایش
$M$	افزایش	کاهش
$V$	افزایش	کاهش
$p$	کاهش	افزایش
$p_0$	کاهش	افزایش
$\rho$	کاهش	افزایش

جریان درون مجرا را وقتی خفه شده می‌گویند که عدد ماخ در خروجی یک باشد و کاهش بیشتر در مخزن یا پس‌فشار (فشار محیطی که لوله تخلیه می‌شود) باعث افزایش آهنگ جریان یا تغییر خواص جریان در لوله نخواهد شد. به طور کلی، با کاهش کامل پس‌فشار یا افزایش کامل طول مجرا (یا لوله) جریان را می‌توان خفه کرد. جریان فروصوتی ( $M < 1$ ) هیچ‌گاه در درون مجرا فروصوتی نمی‌شود و فقط ممکن است به شرایط صوتی ( $M = 1$ ) در خروجی برسد. همین‌گونه، جریان فراصوتی ( $M > 1$ ) هرگز با عبور ملایم از  $M = 1$  نمی‌تواند فروصوتی شود و فقط امکان دارد در خروجی  $M = 1$  شود.

اما، در صورت وجود شرایط خاص، موجهای ضربه‌ای ممکن است در جریان فراصوتی در مجراها تشکیل شوند. البته امکان دارد جریان فراصوتی، اما نه به شکل ملایم پیوسته، به جریان فروصوتی تبدیل شود. اگر اصطکاک وجود نمی‌داشت، خواص و عدد ماخ جریان در سرتاسر مجرا یکنواخت می‌بود. تغییرات جریان در طول مجرا و تشکیل موجهای ضربه‌ای، ناشی از اصطکاک دیواره است.

رابطه‌های کاربردی را در جریان بی‌دررو با اصطکاک به صورت زیر می‌توان به دست آورد: معادله (۳۵-۷) را می‌توان به شکل دیفرانسیلی زیر

$$\frac{1}{p} \frac{dp}{dx} + \frac{2kfM^2}{D} + \frac{kM^2}{2V^2} \frac{d}{dx}(V^2) = 0 \quad (42-7)$$

که  $f$  ضریب اصطکاک است و به صورت  $f = \tau_0 / \left( \frac{\rho V^2}{2} \right)$  تعریف می‌شود (که در مقایسه با ضریب اصطکاک داریسی به کار رفته در هیدرولیک تعریف شده در فصلهای ۳، ۴ و ۵ در ضریب ۴ تفاوت دارد). این ضریب  $f$  را، که معمولاً در جریان تراکم‌پذیر به کار می‌رود، ضریب اصطکاک فاینینگ می‌گویند، و همان ضریب اصطکاک است که در نظریه لایه مرزی استفاده می‌شود.  $D$  قطر هیدرولیکی مجراست و به صورت زیر تعریف می‌شود

$$D = \frac{4A}{C}$$

و عدد ماخ از رابطه زیر به دست می‌آید

$$M^2 = \frac{V^2}{a^2} = \frac{V^2}{kRT} = \frac{\rho V^2}{kp}$$

معادلات دیگر (۷-۳۴) تا (۷-۳۹) را می‌توان به شکل دیفرانسیلی نوشت و از ترکیب آنها تغییرات خواص را برحسب  $M$  و مکان  $x$  به دست آورد. یکی از رابطه‌های مهم، رابطه  $M$  برحسب مکان  $x$  در امتداد مجراست،

$$\frac{dM^2}{M^2} = \frac{kM^2[1 + M^2(k-1)/2]4f}{(1 - M^2)D} dx \quad (43-7)$$

با انتگرال‌گیری از این معادله بین عدد ماخ اولیه  $M_1$  در  $x = 0$  و مقدار  $M$  در مکانی دلخواه در امتداد مجرا، می‌توان  $M$  را به صورت تابع عدد ماخ اولیه و مکان پایین دست جریان به دست آورد. با انتگرال‌گیری بین  $M_1$  در  $x = 0$  و  $M_2 = 1$  مقدار  $x$  متناظر با عدد ماخ واحد به دست می‌آید. این مقدار  $x$  طول بحرانی  $L_{max}$  است که خفگی در آن رخ می‌دهد. نتیجه عبارت است از

$$4\bar{f} \frac{L_{max}}{D} = \frac{1 - M_1^2}{kM_1^2} + \frac{k+1}{2k} \ln \left( \frac{(k+1)M_1^2}{2\{1 + [(k-1)/2]M_1^2\}} \right) \quad (44-7)$$

که  $\bar{f}$  ضریب اصطکاک متوسط در طول مسیر است. با استفاده از مقدارهای  $4\bar{f} \frac{L_{max}}{D}$  برحسب  $M$ ، طول  $L$  لازم مجرا را برای رسیدن عدد ماخ اولیه  $M_1$  به عدد ماخ دیگر  $M_2$  می‌توان به صورت زیر تعیین کرد

$$4\bar{f} \frac{L}{D} = \left( \frac{4\bar{f} L_{max}}{D} \right)_{M_1} - \left( \frac{4\bar{f} L_{max}}{D} \right)_{M_2} \quad (45-7)$$

مقدارهای  $4\bar{f} \frac{L}{D}$  را برحسب  $M$  جدول‌بندی کرده‌اند، که به عنوان ابزاری سریع در محاسبه به کار می‌رود. جدولهای مناسب را در چندین مرجع می‌توان یافت.

برای محاسبه خواص، بهتر است خواص متناظر با  $M = 1$  را به صورت  $( )^*$  مشخص کنیم. این پدیده فقط در خروجی جریان بی دررو مجرای با اصطکاک و تحت شرایط خفه‌شدگی رخ می‌دهد و برای مجراهای بلندتر واقعی ممکن است بیانگر مکانی انگاری باشد. نسبت خواص در هر عدد ماخ  $M$  به مقدار آن در  $M = 1$  (مقدار ستاره‌دار)، همچون  $p/p^*$ ، فقط به عدد ماخ بستگی دارد. بنابراین، نسبتهای خاصیت بین دو مکان موجود در لوله (مثلاً  $p_2/p_1$ ) را می‌توان از نسبت زیر به دست آورد

$$\frac{p_2}{p_1} = \frac{(p/p^*)_{M_2}}{(p/p^*)_{M_1}} \quad (46-7)$$

نسبتهای خاصیت  $( ) / ( )^*$  را به صورت جدول‌بندی شده در مرجعهای ۱، ۴، ۶، ۸ می‌توان یافت. رابطه‌های تحلیلی را برای این نسبتهای خواص در زیر ارائه می‌دهیم

$$\frac{p}{p^*} = \frac{1}{M} \frac{k+1}{2\{1 + [(k-1)/2]M^2\}} \quad (۴۷-۷)$$

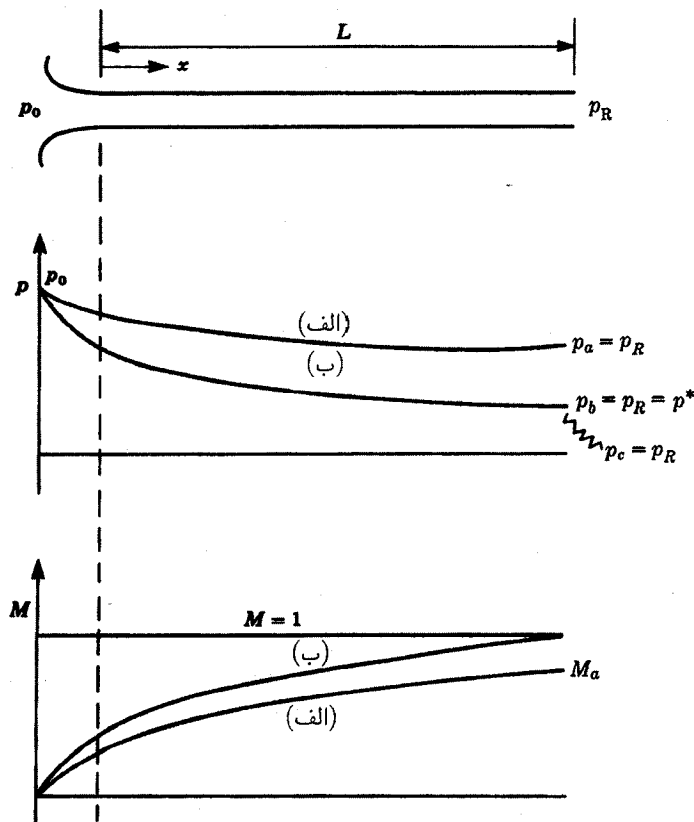
$$\frac{\rho^*}{\rho} = \frac{V}{V^*} = M \frac{k+1}{2\{1 + [(k-1)/2]M^2\}} \quad (۴۸-۷)$$

$$\frac{T}{T^*} = \frac{k+1}{2\{1 + [(k-1)/2]M^2\}} \quad (۴۹-۷)$$

$$\frac{p_0}{p^*} = \frac{1}{M} \left( \frac{2\{1 + [(k-1)/2]M^2\}}{k+1} \right)^{(k+1)/2(k-1)} \quad (۵۰-۷)$$

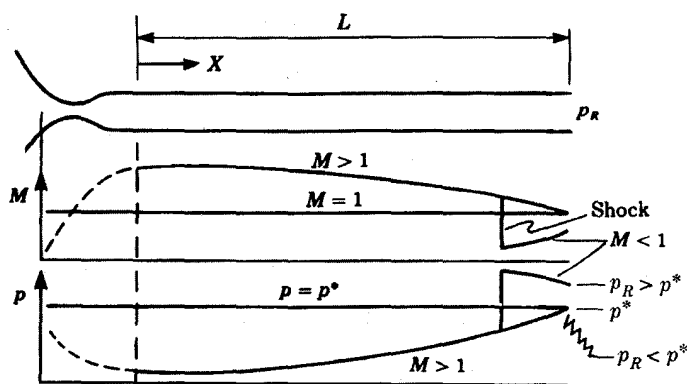
### ۷-۴-۱ اثرهای خفه‌شدگی

قبلاً اشاره کردیم که تحت شرایطی جریان خفه می‌شود. دو راه برای تغذیهٔ مجرا وجود دارد: یا با شیپورهٔ همگرا؛ و یا با شیپورهٔ همگرا-واگرا. در تغذیهٔ شیپورهٔ همگرا، جریان باید در طول مجرا فروصوتی باقی بماند (شکل ۷-۱۰). در طول مجرا، عدد ماخ افزایش، و فشار کاهش می‌یابد. برای هر پس‌فشار مفروض، با افزایش طول مجرا عدد ماخ در خروجی نیز افزایش می‌یابد تا اینکه مقدار آن یک می‌شود و خفگی رخ می‌دهد. اگر پس‌فشار را بیشتر کاهش دهیم، فشار خروجی ثابت می‌ماند، اما انبساط خارجی در خارج از مجرا برای تطبیق با پس‌فشار رخ می‌دهد و جریان در درون مجرا بدون تغییر باقی می‌ماند. از سوی دیگر (با مراجعه به شکل ۷-۱۰) برای مجرای کوتاه‌تر با پس‌فشاری مفروض بدون خفگی ( $P_a$ )، کاهش کافی در پس‌فشار تا  $P_b$ ، سرانجام باعث خفگی مجرا در آن طول خواهد شد. افت بیشتر در پس‌فشار ( $P_c$ ) به انبساط‌های خارجی، بدون تغییر در درون مجرا، می‌انجامد.

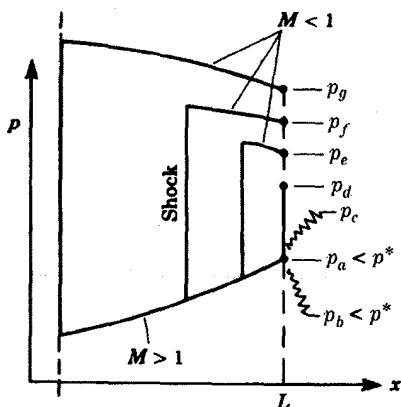


شکل ۷-۱۰ مجرا فروصوتی که با شیپورهٔ همگرا تغذیه شده است. (الف) جریان فروصوتی خفه‌نشده و (ب) جریان فروصوتی خفه‌شده را نشان می‌دهد.

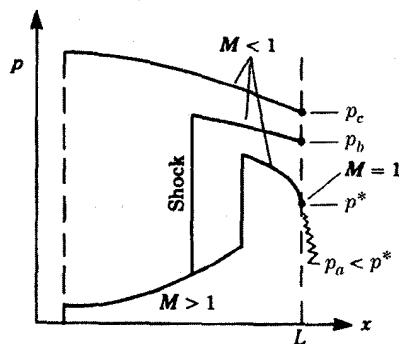




(الف)  $L = L_{max}$



(ب)  $L < L_{max}$



(ج)  $L > L_{max}$

شکل ۷-۱۱ جریان فراصوتی با موج ضربه‌ای در مجرای که با شیپوره همگرا و اگر تغذیه می‌شود.

اگر مجرا را با شیپوره همگرا و اگر تغذیه کنیم، بسته به پس فشار و طول مجرا، جریان ممکن است فروصوتی یا فراصوتی باشد و موجهای ضربه‌ای در درون مجرا متوقف شوند. اثر پس فشار پیچیده است و در اینجا فقط به طور ساده بیان خواهد شد. برای بحث کامل‌تر به مرجع ۶ (شاپیرو) می‌توان مراجعه کرد.

برای حالت مخزن مفروض و جریان فراصوتی در مجرا، همچون شکل ۷-۱۱، عدد ماخ در گلوگاه واحد، و در ورودی مجرا یکتا ( $M_1$ ) است. در پایین دست، جریان عدد ماخ کاهش و فشار افزایش می‌یابد. برای هر طول مفروض، پس فشار یکتایی برای جریان ملایم باید وجود داشته باشد. با افزایش طول مجرا (با این فرض که پس فشار به طور پیوسته برای تأمین جریان ملایم تنظیم می‌شود) عدد ماخ، تا رسیدن به مقدار  $L_{max}$ ، در خروجی کاهش می‌یابد و در این حالت عدد ماخ برابر واحد خواهد شد (شکل ۷-۱۱ الف). با افزایش بیشتر طول مجرا، موجی ضربه‌ای در مجرا ایجاد می‌شود. موج ضربه‌ای با افزایش طول به سوی بالادست جریان حرکت می‌کند، تا اینکه سرانجام به وسیله شیپوره بلعیده می‌شود و جریان در سرتاسر مجرا فروصوتی خواهد شد. اگر  $L$  برابر  $L_{max}$  (برای جریان فراصوتی) شود و پس فشار  $p_R$  از مقدار جور شده تطبیقی ( $p^*$ ) کمتر شود، جریان در طول مجرا بدون تغییر باقی می‌ماند، اما موجهای انبساطی در خارج از مجرا، برای تطبیق با فشار، رخ می‌دهد. اگر پس فشار بیشتر از  $p^*$  شود، موج ضربه‌ای ضعیفی در خروجی مجرا تشکیل خواهد شد و با افزایش پس فشار، به سوی بالادست جریان حرکت می‌کند. سرانجام، موج ضربه‌ای از میان شیپوره حرکت می‌کند و بلعیده می‌شود و جریان در سرتاسر مجرا فروصوتی خواهد شد. افزایش بیشتر در پس فشار جریان فروصوتی را کاهش می‌دهد.

در جریان فراصوتی ملایم برای هر مقدار  $L < L_{max}$  (شکل ۷-۱۱ ب)، مقدار یکتای  $M$  در خروجی مجرا و پس‌فشار یکتای  $(p_a < p^*)$  وجود دارد. اگر پس‌فشار کاهش یابد انبساط خارجی رخ می‌دهد، ولی جریان در مجرا بدون تغییر باقی می‌ماند. اگر پس‌فشار افزایش یابد، موجهای ضربه‌ای در خروجی مجرا ظاهر می‌شوند ( $p_c$ ). با افزایش بیشتر پس‌فشار، موج ضربه‌ای وارد مجرا می‌شود ( $p_d$ ) و به سوی بالادست جریان حرکت می‌کند ( $p_f, p_e$ ). سرانجام، پس‌فشار به مقداری می‌رسد که موج ضربه‌ای در درون شیپوره تشکیل می‌شود ( $p_g$ ). افزایش بیشتر در پس‌فشار باعث می‌شود که موج ضربه‌ای‌ایی به سوی گلوگاه شیپوره حرکت کند و با فروصوتی شدن جریان در سرتاسر مجرا، ناپدید شود. موج ضربه‌ای را که از میان گلوگاه شیپوره عبور می‌کند، اصطلاحاً بلعیده می‌گویند.

با مراجعه به شکل ۷-۱۱ (ج) برای  $L > L_{max}$ ، اگر پس‌فشار  $p_a$  کمتر از فشار بحرانی  $p^*$  باشد، موجی ضربه‌ای در مکانی یکتا در درون مجرا تشکیل می‌شود که به  $M = 1$  در خروجی می‌انجامد. جریان پس از موج ضربه‌ای فروصوتی می‌شود. انبساط آزاد، برای تطبیق با پس‌فشار ( $p_a$ )، در خروجی مجرا رخ می‌دهد. با بالا رفتن پس‌فشار، موج ضربه‌ای در محل خود باقی می‌ماند، اما انبساط آزاد ضعیف‌تر می‌شود تا اینکه پس‌فشار درست برابر فشار یکتای ( $p^*$ ) متناظر با شرط  $M = 1$  در خروجی شود. افزایش بیشتر پس‌فشار ( $p_b$ ) باعث حرکت موج ضربه‌ای به سوی بالادست جریان خواهد شد، و تناسب فشار خروجی ( $p_b$ ) با پس‌فشار و با مقدار مناسب عدد ماخ خروجی (که فروصوتی است) مکان موج ضربه‌ای را مشخص می‌کند. سرانجام، با افزایش بیشتر پس‌فشار ( $p_c$ )، موج ضربه‌ای در شیپوره متوقف، و با افزایش پس‌فشار بلعیده می‌شود و جریان در سرتاسر مجرا فروصوتی خواهد شد.

## ۷-۵ جریان بی‌اصطکاک و با سطح مقطع ثابت همراه با گرمایش و سرمایش

معادلات جریان بی‌اصطکاک، یک‌بعدی و پایا در مجرای با سطح مقطع ثابت همراه با گرمایش و سرمایش عبارت‌اند از ( $q$  حرارت انتقال یافته به واحد جرم جریان است)

انرژی:

$$h_1 + V_1^2/2 + q = h + V^2/2$$

تکانه:

$$p_1 - p = \rho V^2 - \rho_1 V_1^2$$

پیوستگی:

$$\rho_1 V_1 = \rho V$$

معادله حالت:

$$\frac{p_1}{\rho_1} T_1 = p/\rho T$$

از ترکیب معادلات تکانه و پیوستگی با آنتروپی بیشینه به شکل دیفرانسیلی داریم

$$\left(\frac{\partial p}{\partial \rho}\right)_s = a^2 = V^2$$

بنابراین، برای این جریان نیز عدد ماخ در خروجی برای شرایط خفگی برابر یک است. گرمایش جریان گاز باعث افزایش آنتروپی می‌شود. بنابراین، برای هر دو جریان فروصوتی و فراصوتی، اثر گرمایش موجب گرایش عدد ماخ به سوی واحد خواهد شد.

نکته جالب در بررسی جریان خط ریلی، وجود قسمتی در این منحنی است که وقتی به گاز گرما داده می‌شود، دما کاهش می‌یابد.

## ۶-۷ جریان تکدما با اصطکاک

جریانهایی وجود دارند که تقریباً تکدما هستند (مثلاً جریان گاز طبیعی در طول لوله‌های بلند). حال، رابطه‌ای برای بیان افت فشار در این جریان به دست می‌آوریم.

حجم معیاری را برای این جریان مطابق شکل ۷-۱۲ در نظر می‌گیریم. معادلهٔ تکانه یک‌بعدی پایا برای این حجم معیار عبارت است از

$$\sum F_x = \dot{m}(V + dV - V) \quad [p - (p + dp)] \left( \frac{1}{4} \pi D^2 \right) - \tau_0 \pi D dx = \left( \frac{1}{4} \pi D^2 \right) \rho V dV$$

از ترکیب رابطهٔ ضریب اصطکاک زیر

$$f = \tau_0 / \left( \frac{1}{4} \rho V^2 \right)$$

با معادلهٔ تکانه، پس از ساده‌سازی، داریم

$$\frac{v}{V^2} dp + \frac{2f}{D} dx + \frac{dV}{V} = 0$$

اگر معادلهٔ پیوستگی را با معادلهٔ گاز کامل در دمای ثابت ترکیب کنیم، داریم

$$\frac{v}{V^2} = \frac{v_1}{V_1^2} \frac{p}{p_1}$$

از ترکیب این معادله با معادلهٔ تکانه خواهیم داشت

$$\frac{v_1}{V_1^2} dp + \frac{2f}{D} dx + \frac{dV}{V} = 0$$

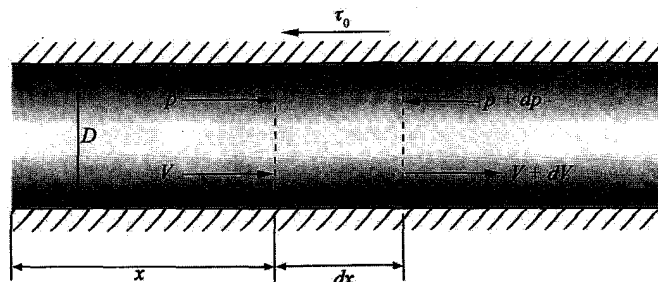
فرض می‌کنیم که ضریب اصطکاک فقط به عدد رینولدز (برای هر لوله مفروض) بستگی دارد. در این صورت عدد رینولدز برای جریان تکدما ثابت است و ضریب اصطکاک نیز ثابت خواهد بود. (توجه کنید که  $\rho V = \text{const.}$  و  $\mu = f(T) = \text{const.}$ ) اکنون، با انتگرال‌گیری از معادلهٔ تکانه، داریم

$$\left( \frac{p}{p_1} \right)^2 = 1 - k M_1^2 \left( 2 \ln \frac{V}{V_1} + 4 f \frac{L}{D} \right) \quad (51-7)$$

که  $L$  طول بین ایستگاههاست، که با شاخص پایین «۱» و کمتهای بدون شاخص پایین مشخص شده‌اند. معادلهٔ (۵۱-۷) را به صورت زیر بازنویسی می‌کنیم

$$f \frac{L}{D} = \frac{1}{4 k M_1^2} \left[ 1 - \left( \frac{p}{p_1} \right)^2 \right] + \frac{1}{2} \ln \frac{p}{p_1} \quad (52-7)$$

بنابراین، فشار تابع غیرخطی طول است، در حالی که در جریان تراکم‌ناپذیر فشار تابع خطی طول است.



شکل ۷-۱۲ جزء حجم برای جریان تکدما در مجرای با سطح مقطع ثابت.

با ترکیب معادلات تکانه و پیوستگی می‌توان نشان داد که عدد ماخ در خروجی لوله برای جریان خفه شده  $M^* = \frac{1}{\sqrt{k}}$  است. فشار متناظر عبارت است از  $\frac{p^*}{p_1} = M_1 \sqrt{k}$ .

## ۷-۷ جریان تراکم‌ناپذیر برای عددهای ماخ پایین

با شروع از معادله انرژی، داریم

$$\frac{1}{\gamma}(V_1^2 - V^2) = h - h_1$$

و با نوشتن آن برحسب گاز کامل برای فرایند تک‌آنتروپی، خواهیم داشت

$$\frac{1}{\gamma}(V_1^2 - V^2) = \frac{kRT}{k-1} \left[ 1 - \left( \frac{p_1}{p} \right)^{(k-1)/k} \right]$$

با گزایندن  $V_1$  به سوی صفر، رابطه فشار سکون را به صورت زیر به دست می‌آوریم

$$\frac{p_0}{p} = \left[ 1 + \frac{1}{\gamma}(k-1)M^2 \right]^{k/(k-1)}$$

اگر این معادله را برحسب بسط دو جمله‌ای برای عدد ماخ بنویسیم، داریم

$$p_0 = p + \frac{1}{\gamma} \rho V^2 \left[ 1 + \frac{1}{\gamma} M^2 + \frac{1}{\gamma\gamma} (\gamma - k) M^4 + \dots \right] \quad (53-7)$$

این معادله برای عددهای ماخ پایین به صورت زیر در می‌آید

$$p_0 = p + \frac{1}{\gamma} \rho V^2 \quad (54-7)$$

که همان رابطه فشار سکون برای جریان تراکم‌ناپذیر است.

اهمیت این نتیجه این است که جریان تک‌آنتروپی گازها را حول جسمها و درون مجراها، مادامی که عدد ماخ کوچک باشد (مثلاً برای  $M < 0.3$ )، می‌توان تراکم‌ناپذیر تلقی کرد و همان‌گونه که دیدیم ساده‌سازی عمده‌ای را در مدل برای چگالی ثابت می‌توان انجام داد.

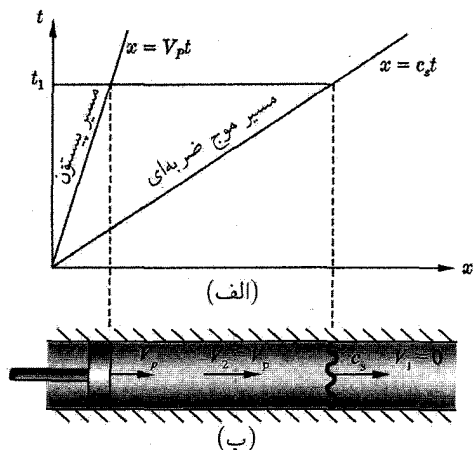
## ۷-۸ لوله موج ضربه‌ای

لوله موج ضربه‌ای وسیله‌ای است که برای ایجاد گازی با سرعت زیاد و دمای بالا در بازه زمانی کوتاه به کار می‌رود. این لوله با دیافراگمی که آن را به دو قسمت پرفشار و کم‌فشار تقسیم می‌کند، آب‌بندی شده است. این دیافراگم ناگهان می‌ترکد و موجی ضربه‌ای در گاز ساکن طرف کم‌فشار، و موجی انبساطی در گاز ساکن طرف پرفشار انتشار می‌یابد. گاز اختلال‌یافته (بین موجهای ضربه‌ای و انبساطی) با سرعت خیلی زیاد، و احتمالاً فراصوتی، (نسبت به گاز اختلال نیافته و لوله)، حرکت می‌کند. لوله‌های موج ضربه‌ای به عنوان تونلهای باد کوتاه‌مدت نظیر تونلهای تخلیه به کار می‌روند.

### ۷-۸-۱ موج ضربه‌ای پیستونی

قبل از بررسی لوله موج ضربه‌ای، انواع موجهای تولید شده در لوله را مطالعه می‌کنیم. موج ضربه‌ای تولید شده در لوله‌ای را با حرکت دادن پیستون، همچون شکل ۷-۱۳ در نظر بگیرید. این موج ضربه‌ای از نوع موج ضربه‌ای قائمی است که شرایط جهش آن را قبلاً محاسبه کردیم. سرعت گاز بین پیستون و موج ضربه‌ای برابر سرعت پیستون است.

منحنی  $x-t$  پیشروی یا حرکت پیستون و موج ضربه‌ای را نشان می‌دهد. شیب خطها عکس تندیهاست.



شکل ۷-۱۳ موج ضربه‌ای تولید شده با حرکت پیستون. (الف) منحنی  $x-t$ ، (ب) لوله در زمان  $t_1$ .  $V$  سرعت مطلق گاز.

### ۷-۸-۲ موجهای انبساطی مرکزی

اگر پیستون بالا را، به جای راندن به درون لوله، از لوله بیرون بکشیم، موجی انبساطی شکل می‌گیرد و به خارج از پیستون انتشار می‌یابد. این موج انبساطی، تک‌آنترویی است.

بیرون کشیدن ناگهانی پیستون تابع پله‌ای متغیری در سرعت ذرات (ذرات چسبیده به پیستون که با آن حرکت می‌کنند) و فشار به وجود می‌آورد. این تابع پله‌ای، با شروع به انتشار موج، تخت می‌شود؛ و اختلالها به طور موضعی در درون موج با سرعت صوت انتشار می‌یابند. چون فشار (و دما) در میان موج تغییر می‌کنند (به صورت متغیرهای پله‌ای) سرعت موضعی انتشار اختلال نیز در میان موج تغییر خواهد کرد. در کناره موج مجاور گاز اختلال نیافته (ناحیه ۴) دما و سرعت صوت دارای بیشترین مقدار هستند. در طرف مقابل (ناحیه ۳) دما و بنابراین سرعت صوت دارای کمترین مقدارند. در نتیجه، همچون شکل ۷-۱۴، موج انبساطی در حین انتشار منبسط می‌شود یا به صورت «چتری» در می‌آید. نمودار  $x-t$  چتری متشکل از خطهای سرعت صوتی ثابت است که پیشروی موج را نشان می‌دهد. این خطها را خطهای مشخصه می‌گویند، که مسیر اختلالهای موضعی تک‌آنترویی را دنبال می‌کنند. روشن است که سرعت مطلق اختلالهای حاصل جمع سرعت صوتی موضعی و سرعت مطلق موضعی گاز است. مشخصه پایانی در طرف راست (ناحیه ۴) شیبی برابر  $\frac{dx}{dt} = a_4$  و مشخصه پایانی در طرف چپ شیبی برابر  $\frac{dx}{dt} = a_3 + V_3$  دارد.  $V_3$  را در جهت راست مثبت تعریف می‌کنند و در اینجا منفی است (زیرا  $V_3$  باید برابر  $-V_p$  باشد). بنابراین  $dx/dt$  ممکن است مثبت یا منفی، بسته به اینکه به ترتیب  $a_3 > V_3$  یا  $a_3 < V_3$  باشد.

اکنون، صریحاً می‌توان  $a_3$  و ساختار چتری را به صورت زیر محاسبه کرد. سرعت صوتی موضعی چتری را می‌توان برحسب  $a_4$  به صورت زیر نوشت (با استفاده از رابطه‌های تک‌آنترویی)

$$a = a_4 \left( \frac{\rho}{\rho_4} \right)^{(k-1)/2}$$

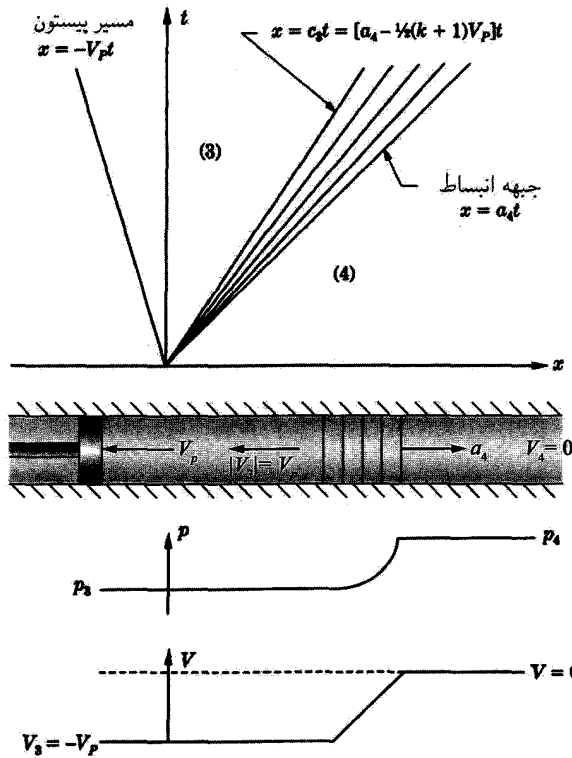
و سرعت ذره در موج عبارت است از

$$dV = a \frac{d\rho}{\rho}$$

که پس از انتگرال‌گیری، خواهیم داشت

$$a = a_4 + \frac{1}{2}(k-1)V$$

سرعت مطلق موج  $c$  (قسمتی از موج که پشت جبهه است) برابر جمع سرعت صوتی موضعی و سرعت شاره است



شکل ۷-۱۴ چتری انبساط مرکزی ناشی از بیرون کشیدن پیستون از لوله.

$$c = a + V = a_4 + \frac{1}{\gamma}(k+1)V$$

اکنون،  $V$  منفی است، بنابراین  $c$  در داخل موج از ناحیه ۴ به ۳ کاهش می‌یابد. شیب مشخصه پایانی موجود در طرف چپ عبارت است از

$$c_3 = a_4 + \frac{1}{\gamma}(k+1)V_3 = a_4 - \frac{1}{\gamma}(k+1)V_P \quad (55-7)$$

(که ممکن است مثبت یا منفی، و شیب آن به راست یا چپ باشد) از رابطه‌های تک‌آنتروپی، تغییر چگالی و فشار را در طول چتری به صورت زیر به دست می‌آوریم

$$\frac{\rho_3}{\rho_4} = \left[ 1 - \frac{1}{\gamma}(k-1)\frac{V_P}{a_4} \right]^{2/(k-1)} \quad (56-7)$$

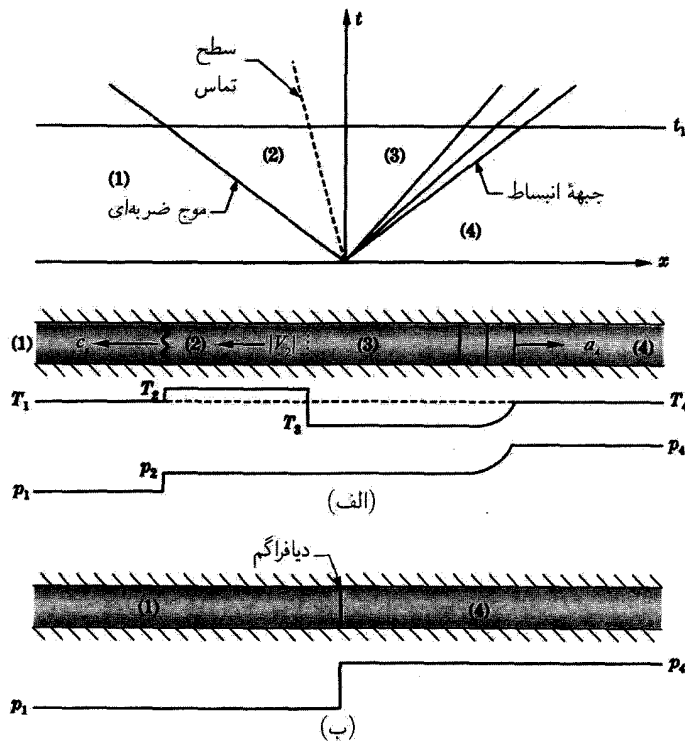
$$\frac{p_3}{p_4} = \left[ 1 - \frac{1}{\gamma}(k-1)\left(\frac{V_P}{a_4}\right) \right]^{2k/(k-1)} \quad (57-7)$$

که  $V_P$  عددی مثبت است.

### ۷-۸-۳ جریان لوله موج ضربه‌ای

اکنون، موج ضربه‌ای ناشی از بیرون کشیدن پیستون و چتری انبساط مرکزی را برای توصیف لوله موج ضربه‌ای ترکیب می‌کنیم. با مراجعه به شکل ۷-۱۵، وقتی دیافراگم می‌ترکد، موجهای ضربه‌ای و انبساطی تولید می‌شوند. سطح تماسی تشکیل می‌شود که در عرض آن فشار و سرعت ثابت هستند، اما دما و چگالی و بنابراین عدد ماخ متفاوت‌اند. این دو شرط زیر

$$V_2 = V_3, \quad p_2 = p_3$$



شکل ۷-۱۵ لوله موج ضربه‌ای (الف) در زمان  $t = t_1$ ، (ب) در  $t = 0$ .

برای تعیین شرایط در ناحیه‌های ۲ و ۳، و بنابراین جهشهای موجود در عرض موج ضربه‌ای کافی هستند.  $V_2 = V_3$  عددی منفی است، زیرا گاز به طرف چپ جریان می‌یابد. برحسب شرایط معلوم در ناحیه‌های ۱ و ۴، مقدار  $V_3$  را برحسب  $p_2$  و  $p_3$  از معادله (۷-۵۷)، و  $V_2$  را برحسب  $p_1$  و  $p_2$  از رابطه‌های موج ضربه‌ای قائم به دست می‌آوریم. با قرار دادن  $V_2 = V_3$  (و چون  $p_2 = p_3$ ) می‌توان رابطه‌ای برای  $p_2$  به دست آورد. نتیجه عبارت است از

$$\frac{p_2}{p_1} = \frac{p_3}{p_1} \left[ 1 - \frac{(k-1) \left(\frac{a_1}{a_2}\right) \left(\frac{p_2}{p_1} - 1\right)}{\sqrt{2k} \sqrt{2k + (k+1) \left(\frac{p_2}{p_1} - 1\right)}} \right]^{-2k/(k-1)} \quad (58-7)$$

که نسبت  $p_2/p_1$  را به طور ضمنی به دست می‌دهد. با معلوم شدن  $p_2$  تمام پارامترهای دیگر مسئله را به آسانی می‌توان یافت.

## مراجع

1. John, J. E. A., *Gas Dynamics*, 2nd ed., Allyn and Bacon, 1984.
2. Liepmann, H. W., and Roshko, A., *Elements of Gasdynamics*, John Wiley, 1957.
3. Owczarek, J. A., *Fundamentals of Gas Dynamics*, International Textbook, 1964.
4. Saad, M. A., *Compressible Fluid Flow*, Prentice-Hall, 1985.
5. Shames, I. H., *Mechanics of Fluids*, McGraw-Hill, 1962.
6. Shapiro, A. H., *The Dynamics and Thermodynamics of Compressible Fluid Flow*, Ronald Press, 1953.
7. Thompson, P. A., *Compressible-Fluid Dynamics*, McGraw-Hill, 1972.
8. Zucrow, M. J., and Hoffman, J. D., *Gas Dynamics*, Vol. 1, John Wiley, 1976.

مسائل حل شده

۱-۷ هوایی در ارتفاع ۱۰۰۰۰ فوت پرواز می کند. دمای هوا در آنجا ۲۰°F و فشار ۲۱ اینچ جیوه است. در نقطه خاصی بر روی بال (شکل ۱۶-۷) فشار استاتیکی ۹۸۰ lb/ft<sup>2</sup> و عدد ماخ موضعی ۰٫۹۵ است. با فرض جریان بی اصطکاک بی دررو، سرعت هوای ما را نسبت به هوای اختلال نیافته به دست آورید؟

همچون شکل، هوای ما را متحرک در نظر بگیرید. برای جریان تک آنترویی گاز کامل می توان نوشت

$$T_2 = T_1 \left( \frac{p_2}{p_1} \right)^{(k-1)/k} = (460 + 20) \left[ \frac{980}{21(0.491)(144)} \right]^{0.286} = 427^\circ\text{R}$$

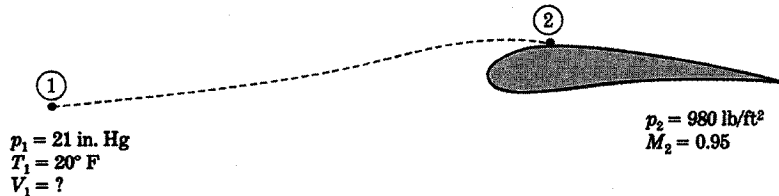
$$V_2 = M_2 a_2 = M_2 \sqrt{kRT_2} = 0.95 \sqrt{1.4(32.2)(53.3)(427)} = 955 \text{ ft/s}$$

از معادله انرژی، داریم

$$\frac{V_1^2}{2} + h_1 = \frac{V_2^2}{2} + h_2$$

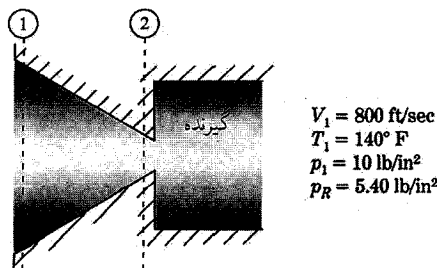
$$V_1^2 = V_2^2 + 2c_p(T_2 - T_1) = (955)^2 + 2(32.2)(778)(0.24)(427 - 480) = 275000 \text{ ft}^2/\text{s}^2$$

بنابراین  $V_1 = 524 \text{ ft/s}$



شکل ۱۶-۷

۲-۷ هوا از درون مجرای همگرا، همچون شکل ۱۷-۷، با شرایط مشخص شده جریان می یابد. فشار، دما، سرعت و عدد ماخ را در گلوگاه ۲ تعیین کنید.



شکل ۱۷-۷



جریان را بی دررو و بی اصطکاک فرض کنید. سپس شرایط جریان بالا را در مکانی که سرعت ناچیز است، تعیین کنید. از معادله انرژی، داریم

$$T_0 = T_1 + \frac{V_1^2}{2c_p} = (140 + 460) + \frac{(800)^2}{2(32.2)(778)(0.24)} = 653^\circ\text{R}$$

$$p_0 = p_1 \left( \frac{T_0}{T_1} \right)^{k/(k-1)} = 10 [653/(140 + 460)]^{3.5} = 13,52 \text{ lb/in.}^2$$

$$\frac{p_R}{p_0} = \frac{5.4}{13,52} = 0.407$$

بنابراین

که  $T_0$  و  $p_0$  به ترتیب دما و فشار سکون هستند.

نسبت فشار بحرانی برابر است با

$$\frac{p_c}{p_0} = \left( \frac{2}{k+1} \right)^{k/(k-1)} = 0.528$$

بنابراین، فشار مخزن کمتر از فشار بحرانی است و شیوره در شرایط خفشدگی عمل می‌کند. از این رو،  $p_2 = p_c$  که  $p_c$  فشار بحرانی و برابر  $0.528 p_0$  است.

بنابراین خواهیم داشت

$$p_2 = 0.528(13,52) = 7,14 \text{ lb/in.}^2$$

$$T_2 = T_1 \left( \frac{p_2}{p_1} \right)^{(k-1)/k} = (140 + 460) (7,14/10)^{0.286} = 546^\circ\text{R}$$

$$M_2 = 1.0 \quad \text{جریان خفشدگی}$$

$$V_2 = a_2 = \sqrt{kRT_2} = \sqrt{1.4(32.2)(53.3)(546)} = 1140 \text{ ft/s}$$

۳-۷ فشار و دمای هوای ورودی به شیوره‌ای همگرا-واگرا عبارت‌اند از  $14.7 \text{ psi}$  و  $70^\circ\text{F}$ . در مکانی از بخش واگرای شیوره فشار  $1.37 \text{ psi}$  است. مساحت مقطع را در این مکان تعیین کنید. سطح مقطع در گلوگاه یک اینچ مربع است.

فرض می‌کنیم که جریان بی‌دررو و بی‌اصطکاک است. یادآور می‌شویم که فشار در بخش واگرای شیوره کمتر از فشار بحرانی است. بنابراین، شیوره در شرایط خفشدگی عمل می‌کند و فشار در گلوگاه  $p_t$  است.

$$p_t = p_c = 14.7 \left[ \frac{2}{k+1} \right]^{k/(k-1)} = 14.7(0.528) = 7,79 \text{ lb/in.}^2$$

$$T_t = T_0 \left( \frac{p_t}{p_0} \right)^{(k-1)/k} = (640 + 70) \left( \frac{7,79}{14,7} \right)^{0.286} = 442^\circ\text{R}$$

بنابراین

$$T_2 = T_0 \left( \frac{p_2}{p_0} \right)^{(k-1)/k} = (640 + 70) (1.37/14,7)^{0.286} = 269^\circ\text{R}$$

$$V_2 = \sqrt{kRT_2} = \sqrt{1.4(32.2)(53.3)(269)} = 1030 \text{ ft/s}$$

و

۲۲۰ جریان تراکم‌پذیر یک‌بعدی

معادله انرژی عبارت است از

$$\frac{V_2^2}{2} + h_2 = h_0$$

به‌گونه‌ای که

$$V_2 = \sqrt{2c_p(T_0 - T_2)} = \sqrt{2(32.2)(778)(0.24)(53^\circ - 269)} = 177 \text{ ft/s}$$

معادله پیوستگی عبارت است از

$$\rho_t A_t V_t = \rho_2 A_2 V_2$$

و بنابراین، داریم

$$A_2 = A_t \frac{\rho_t V_t}{\rho_2 V_2} = A_t \frac{p_t T_2 V_t}{p_2 T_1 V_2} = 1.0 \frac{7.79 \cdot 269 \cdot 1030}{1.37 \cdot 442 \cdot 177} = 2.0 \text{ in.}^2$$

۴-۷ هوا از درون مجرای افقی عایق‌بندی شده‌ای، با قطر ثابت، همچون شکل ۷-۱۸، جریان دارد. شرایط ورودی عبارت‌اند از  $p_1 = 10 \text{ lb/in.}^2$ ،  $T_1 = 100^\circ \text{F}$  و  $V_1 = 500 \text{ ft/s}$ . قطر لوله ۶ اینچ و جریان "خفه‌شده" است. نیروی خالص شماره وارد بر لوله را تعیین کنید. معادله تکانه حجم معیار را می‌توان برای حجم معیار شماره محصور بین ورودی و خروجی به کار برد.

$$\sum F_x = \dot{m}(V_2 - V_1)$$

که

$$(p_1 - p_2) \left( \frac{\pi D^2}{4} \right) - F_{\text{برشی}} = \rho_1 A_1 V_1 (V_2 - V_1)$$

اکنون باید شرایط را در خروجی تعیین کنیم. داریم

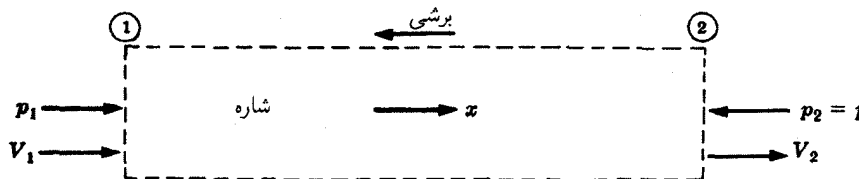
$$M_2 = M^* = 1.0 \quad (\text{جریان خفه شده})$$

به‌گونه‌ای که

$$V_2 = \sqrt{kRT_2}$$

از معادله انرژی، داریم

$$V_2^2 = V_1^2 + 2c_p(T_1 - T_2) = V_1^2 + 2c_p \left( T_1 - \frac{V_2^2}{kR} \right)$$



شکل ۷-۱۸

$$V_2^2 = \frac{V_1^2 + \gamma c_p T_1}{1 + \gamma c_p / kR} = \frac{V_1^2 + \gamma c_p T_1}{1 + \gamma / (k - 1)}$$

$$V_2 = \left[ \frac{(500)^2 + 2(32,2)(778)(0,24)(460 + 100)}{1 + 2/(1,4 - 1)} \right]^{1/2} = 1030 \text{ ft/s}$$

دما در خروجی برابر است با

$$T_2 = \frac{V_2^2}{kR} = \frac{(1030)^2}{1,4(32,2)(53,3)} = 442^\circ \text{R}$$

از معادله پیوستگی، داریم

$$\rho_2 V_2 = \rho_1 V_1$$

از این رو

$$(p_2 / T_2) V_2 = \left( \frac{p_1}{T_1} \right) V_1$$

و

$$p_2 = p_1 \frac{T_2 V_1}{T_1 V_2} = 100 \left( \frac{442}{460 + 100} \right) \left( \frac{500}{1030} \right) = 38,2 \text{ lb/in.}^2$$

سپس

$$(p_1 - p_2) \left( \frac{\pi D^2}{4} \right) = (100 - 38,2) \left( \frac{36\pi}{4} \right) = 1750 \text{ lb}_f$$

و

$$\rho_1 A_1 V_1 (V_2 - V_1) = \frac{100}{53,3(32,2)(460 + 100)} \left( \frac{36\pi}{4} \right) (500)(1030 - 500) = 780 \text{ lb}_f$$

بنابراین، نیروی لوله وارد بر شاره عبارت است از

$$F_{\text{برشی}} = 1750 - 780 = 970 \text{ lb}_f$$

و جهت مطابق شکل ۱۸-۷ است.

۵-۷ ثابت کنید که در شاره تراکم‌پذیر در جریان تک‌دما و بدون کار خارجی رابطه زیر صحیح است.

$$\frac{dM^2}{M^2} = \gamma \frac{dV}{V}$$

از تعریف عدد ماخ داریم  $M^2 = V^2/a^2$ . اگر فرض کنیم که شاره از معادله حالت گازهای کامل پیروی می‌کند، آن‌گاه  $a = \sqrt{kRT}$ .

بنابراین، برای جریان تک‌دما  $a$  ثابت است. با گرفتن لگاریتم از طرفین معادله عدد ماخ، داریم

$$\ln M^2 = \ln V^2 - \ln a^2$$

$$\ln M^2 = 2 \ln V - \ln a^2$$

با دیفرانسیل‌گیری، خواهیم داشت

$$\frac{dM^2}{M^2} = 2 \frac{dV}{V}$$

۶-۷ ثابت کنید که برای گاز کامل جاری در مجرای با سطح مقطع ثابت و در شرایط دمای ثابت، داریم

$$\frac{dp}{p} = -\frac{dV}{V} = -\frac{1}{2} \frac{dM^2}{M^2}$$

با فرض جریان یک‌بعدی و پایا، معادله پیوستگی به صورت  $\rho VA = \text{const.}$  است و چون سطح مقطع ثابت است، داریم  $\rho V = \text{const.}$  با استفاده از معادله حالت گاز کامل، چگالی را می‌توان حذف کرد و در نتیجه خواهیم داشت  $pV = \text{const.}$  با دیفرانسیل‌گیری رابطه زیر به دست می‌آید

$$p dV + V dp = 0$$

و پس از تقسیم بر  $pV$ ، داریم

$$\frac{dp}{p} = -\frac{dV}{V}$$

با استفاده از نتیجه‌های مسئله ۵-۷، خواهیم داشت

$$\frac{dp}{p} = -\frac{dM^2}{M^2}$$

۷-۷ نشان دهید که در جریان بی‌درروی گاز کامل، داریم

$$\frac{T}{T_0} = 1 - \frac{1}{2}(k-1) \left(\frac{V}{a_0}\right)^2$$

که  $T_0$  دمای حالت سکون شاره و  $a_0$  سرعت صوت در شرایط سکون ( $a_0 = \sqrt{kRT_0}$ ) است.

از معادله انرژی برای جریان پایای یک‌بعدی برای کار صفر و جریان بی‌دررو داریم

$$h - h_0 = -\frac{V^2}{2}$$

برای گاز کامل با  $c_p$  ثابت، داریم

$$c_p(T - T_0) = -\frac{V^2}{2}$$

از تقسیم این رابطه بر  $T_0$  و  $c_p$ ، خواهیم داشت

$$\frac{T}{T_0} = 1 - \frac{V^2}{2c_p T_0}$$

اما  $T_0 = a_0^2/Rk$  و  $c_p = Rk/(k-1)$  را نشانند آنها در معادله بالا، داریم

$$\frac{T}{T_0} = 1 - \frac{1}{2}(k-1) \left(\frac{V}{a_0}\right)^2$$

۸-۷ هوا در شیپوره همگرا-واگرایی با نسبت مساحت خروجی  $A^*/A_e = 0.2363$  جریان دارد، که  $A_e$  مساحت خروجی شیپوره و  $A^*$  مساحت گلوگاه است. اگر موجی ضربه‌ای در محلی که  $A^*/A_e = 0.5926$  است، رخ دهد، پس فشار، عدد ماخ خروجی  $M_e$ ، و خواص مهم جریان را در بالادست و پایین دست موج ضربه‌ای برحسب فشار منبع  $p_0$  به دست آورید.

نسبت  $A^*/A$  در عرض موج ضربه‌ای تغییر می‌کند، زیرا جریان تک‌آنتروپی نیست. هر چند  $A$  در عرض موج ضربه‌ای تغییر نمی‌کند،  $A^*$  تغییر می‌کند، زیرا حالت‌های گاز دارای فشارهای سکون متفاوت در عرض موج ضربه‌ای هستند. اگر موج ضربه‌ای وجود نداشته باشد، با استفاده از جدول تک‌آنتروپی عدد ماخ را در خروجی برابر ۳ به دست می‌آوریم. در ناحیه ۱، درست در بالادست موج ضربه‌ای که  $A^*/A = 0.5926$ ، مقدار  $M_1 = 2$  به دست می‌آید.

با استفاده از جدول‌های موج ضربه‌ای برای  $M_1 = 2$ ، در پایین دست موج ضربه‌ای داریم  $M_2 = 0.5773$ . وانگهی، با استفاده از جدول‌های تک‌آنتروپی، خواهیم داشت

$$\frac{p_1}{p_{01}}(M_1 = 2) = 0.1228$$

از جدول‌های موج ضربه‌ای نتیجه می‌شود

$$\frac{p_2}{p_1} = 4.5 \quad \text{و} \quad \frac{p_{02}}{p_{01}} = 0.7209$$

به گونه‌ای که

$$p_2 = 4.5 p_1 = 4.5 \times 1228 p_{01} = 0.551 p_{01}$$

جریان پایین دست موج ضربه‌ای تک‌آنتروپی است که از عدد ماخ  $M_2 = 0.5773$  و فشار  $p_2 = 0.5571 p_{01}$  تا مقدارهای خروجی ادامه می‌یابد.

اکنون سطح واقعی خروجی  $A_e$  را برحسب سطح واقعی گلوگاه  $A_1^*$  می‌دانیم. در عرض موج ضربه‌ای، داریم  $A_1 = A_2 = A_1^*/0.5926$ . با استفاده از جدول‌های تک‌آنتروپی در می‌یابیم که برای  $M_2 = 0.5773$ ، که  $A_2^*/A_2 = 0.82$ ، در واقع، می‌خواهیم نسبت  $A_1^*/A_e$  را برای یافتن مقدار واقعی  $M_e$  به دست آوریم.

می‌توان نوشت

$$\frac{A_1^*}{A_e} = \frac{A_1^*}{A_e} \cdot \frac{A_1}{A_1^*} \cdot \frac{A_2^*}{A_2} = (0.2362) \left( \frac{1}{0.5926} \right) (0.82) = 0.327$$

به کمک جدول‌های تک‌آنتروپی نسبت  $A^*/A_e$  متناظر با  $M_e = 2$  است. از این جدول‌ها نسبت  $p_e/p_{02} = 0.973$  به دست می‌آید. در نتیجه

$$\frac{p_e}{p_{01}} = \left( \frac{p_e}{p_{02}} \right) \left( \frac{p_{02}}{p_{01}} \right) = 0.973 \times 0.7209 = 0.70$$

بنابراین اگر فشار معکوس را برابر  $0.7 p_{01}$  قرار دهیم، یا موج ضربه‌ای در محل مشخص شده رخ خواهد داد و عدد ماخ خروجی برابر  $M_e = 2$  خواهد بود.

۹-۷ در لوله‌ای بلند و اصطکاک‌دار که توسط شیپوره‌ای همگرا به مخزنی با فشار و دمای سکون  $30^\circ \text{psia}$  و  $520^\circ \text{R}$  متصل است، هوا به طور بی‌دررو جریان می‌یابد. اگر قطر لوله یک اینچ، ضریب اصطکاک میانگین  $0.02$  و پس فشار  $10^\circ \text{psia}$  باشد  $L_{\max}$  را به دست آورید. آهنگ جریان در این شرایط، اگر طول لوله  $L_{\max}$  باشد، چقدر است؟

برای حل معادله از روش سعی و خطا استفاده می‌کنیم. فشار و عدد ماخ در گلوگاه (ایستگاه ۱ یا مقطع ورودی به مجرا) نامعلوم‌اند. روش محاسبه به شرح زیر است: مقداری برای  $M_1$  فرض می‌کنیم و مقدار  $p_1$  متناظر آن را از جدول‌های تک‌آنتروپی (برای جریان موجود در شیپوره) به دست می‌آوریم. با استفاده از مقدار  $M_1$ ،  $L_{\max}$  را از مقدار  $f(L_{\max}/D)$  از طریق جدول‌های جریان فانو به دست می‌آوریم؛

نسبت  $p_1/p^*$  نیز از این جدولها به دست می‌آید (که فقط به  $M_1$  بستگی دارد).  $p^*$  دقیقاً فشار خروجی  $p_{isa}$  است. البته، عدد ماخ خروجی برابر واحد است. سپس فشار  $p_1$  در ورودی مجرا را، که از جدولهای فانو به دست آمده است، با مقدار  $p_1$  به دست آمده از جریان تک‌آنتروپی شیپوره مقایسه می‌کنیم. مقدار صحیح  $M_1$  را از تساوی مقدارهای  $p_1$  به دست آمده از این دو روش به دست می‌آوریم. پس از چند بار تکرار، نتیجه زیر حاصل می‌شود

$$M_1 = 0.4$$

$$\frac{4\bar{f}L_{max}}{D} = 2.31$$

و با دانستن  $\bar{f} = 0.002$  و  $D = 1$  in خواهیم داشت

$$L_{max} = 289 \text{ in.}$$

با استفاده از جدولهای تک‌آنتروپی،  $\frac{p_1}{p^*} = 0.896$  به دست می‌آید که از آن  $269 \text{ psia} = 300 \times 0.896 = p_1$  نتیجه می‌شود. با استفاده از  $M_1 = 0.4$  در جدولهای فانو، داریم  $p_1/p^* = 2696$ ، چون  $p^* = 100 \text{ psia}$ ، آن‌گاه  $p_1 = 2696 \times 100 = 269600 \text{ psia}$ . نتیجه‌ها بسیار نزدیک‌اند و محاسبات را در اینجا متوقف می‌کنیم.

خواص دیگر مجرا را می‌توان با روش مشابهی با دانستن  $M_1$  تعیین کرد. آهنگ جرم جریان ورودی را می‌توان با بررسی خواص دیگر و تعیین سرعت در هر محل به دست آورد. ورودی (با  $M_1 = 0.4$ ) یا خروجی (با  $M_2 = 1$ ) را به عنوان مقایسه می‌توان تعیین کرد، زیرا هر دو جواب یکسان به دست می‌دهند. با استفاده از مقدارهای ورودی مجرا که قابل دستیابی از جدولهای تک‌آنتروپی‌اند، مقدارهای زیر به دست می‌آیند.

$$\rho_1 = 0.9243 \rho_0$$

$$a_1 = 0.9844 a_0$$

$$V_1 = M_1 a_1$$

و با استفاده از

$$k = 1.4$$

$$T_0 = 520^\circ \text{R}$$

$$R = 1718 \frac{\text{ft}^2}{^\circ \text{R s}^2}$$

$$p_0 = 300 \text{ psia}$$

مقدارهای زیر را محاسبه می‌کنیم

$$\rho_0 = \frac{p_0}{RT_0} = \frac{300 \times 144}{1718 \times 520} = 0.048 \text{ slug/ft}^3 = 0.000028 \text{ slug/in}^3$$

$$a_0 = \sqrt{kRT_0} = \sqrt{1.4 \times 1718 \times 520} = 1122 \text{ ft/s} = 13460 \text{ in./s}$$

$$\dot{m} = \rho_1 A_1 V_1 = (0.9243)(0.000028) \left( \frac{\pi(1)^2}{4} \right) (0.4)(0.9844)(13460)$$

$$= 0.108 \text{ slug/s}$$

باید به خاطر داشت که یکای جرم اسلاگ است، بنابراین  $\rho$  برحسب  $\text{slug}/\text{ft}^3$  یا  $\text{slug}/\text{in.}^3$  خواهد بود. اگر از  $\text{lb}_m$  استفاده می‌شد، آن‌گاه ضریب  $g_c$  را باید در معادلات تکانه به کار می‌بردیم، همان‌گونه که برای محاسبهٔ تندی صوت استفاده شد. افزون بر این، یکاهای  $R$  باید هماهنگ با یکاهای به‌کار رفته در  $\rho$  و معادلهٔ حالت باشد. مقدار  $R = 53.3 \text{ ft}^2/\text{°R}$  در بیشتر محاسبات مهندسی به‌کار می‌رود ولی در تعیین تندی صوت باید جرم برحسب  $\text{lb}_m$  و ضریب  $g_c$  به کار رود. یکای اسلاگ یا کیلوگرم را برای جرم در سرتاسر کتاب به کار می‌بریم و در نتیجه هیچ‌گاه از ضریب تبدیل  $g_c$  استفاده نمی‌کنیم.

## مسائل تکمیلی

عبارت‌های درست و غلط را در مسائل ۷-۱۰ تا ۷-۲۷ مشخص کنید.

۷-۱۰ موجهای صوتی و موجهای ضربه‌ای

(الف) شباهتی ندارند.

(ب) یکی هستند، به‌جز برای مقدار تغییرات خاصیت در پهنای آن.

(ج) هر دو فرایند برگشت‌ناپذیرند.

(د) هر دو برگشت‌پذیرند.

(ه) در هوای ساکن با سرعتهای متفاوت عبور می‌کنند.

۷-۱۱ برای جریان گاز کامل تک‌آنتروپی

(الف) دمای سکون ثابت است.

(ب) فشار سکون ثابت است.

(ج) آنتروپی ثابت است.

(د) عدد ماخ بیشینه یک است.

(ه) با افزایش فشار دما کاهش می‌یابد.

۷-۱۲ در جریان گاز کامل از کانالی همگرا

(الف) دما در جهت جریان افزایش می‌یابد.

(ب) در شرایط ورودی ثابت و قطر گلوگاه ثابت جریان بیشینه‌ای وجود دارد.

(ج) ممکن است در آن موج ضربه‌ای قائم رخ دهد.

(د) سرعت همیشه در جهت جریان افزایش می‌یابد.

(ه) عدد ماخ ممکن است بزرگتر از یک باشد.

۷-۱۳ برای گاز کامل جاری در کانالی همگرا

(الف) در شرایط ورودی ثابت و سطح خروجی ثابت آهنگ جریان بیشینه‌ای وجود دارد.

(ب) عدد ماخ در گلوگاه همیشه یک است.

(ج) دمای بیشینه در گلوگاه خواهد بود.

(د) سرعت گاز در گلوگاه برابر سرعت صوت در ورودی برای شرایط خفه‌شدگی است.

(ه) در شرایط بحرانی موج ضربه‌ای قائم در گلوگاه رخ می‌دهد.

۷-۱۴ در شیپوره‌ای فراصوتی با جریان تک‌آنترویی

- (الف) ممکن است موج ضربه‌ای قائمی در قسمت همگرای آن رخ دهد.
- (ب) ممکن است موج ضربه‌ای قائمی در قسمت واگرای آن رخ دهد.
- (ج) بدون ضربه خواهد بود.

۷-۱۵ برای کانال جریان همگرا-واگرا

- (الف) وقتی عدد ماخ در خروجی بزرگتر از یک است، موج ضربه‌ای رخ نمی‌دهد.
- (ب) وقتی نسبت فشار بحرانی افزایش می‌یابد، عدد ماخ در گلوگاه بزرگتر از یک می‌شود.
- (ج) برای سرعت صوت در گلوگاه، فقط یک مقدار فشار در هر مکان مفروض در پایین دست جریان امکان دارد.
- (د) عدد ماخ در گلوگاه همیشه یک است.

۷-۱۶ برای جریان شاره‌ای تراکم‌پذیر در کانال همگرا-واگرایی که در شرایط خفگی کار می‌کند،

- (الف) جریان در تمام قسمت واگرا فراصوتی است.
- (ب) در قسمت واگرا ممکن است موج ضربه‌ای قائم رخ دهد.
- (ج) در قسمت همگرا ممکن است موج ضربه‌ای قائم رخ دهد.
- (د) عدد ماخ در گلوگاه همیشه برابر یک است.
- (ه) نسبت فشار گلوگاه به فشار ورودی به هر سه جریان بستگی ندارد.

۷-۱۷ در موج ضربه‌ای قائم در جریان یک‌بعدی

- (الف) سرعت، فشار و چگالی افزایش می‌یابد.
- (ب) فشار، چگالی و دما افزایش می‌یابد.
- (ج) سرعت، دما و چگالی افزایش می‌یابد.
- (د) آنتالپی سکون بدون تغییر است.

۷-۱۸ موج ضربه‌ای قائم

- (الف) وقتی رخ می‌دهد که جریان فراصوتی باشد.
- (ب) همیشه همراه با افزایش دماست.
- (ج) همیشه همراه با کاهش فشار است.
- (د) همیشه با سرعت صوت حرکت می‌کند (نسبت به شاره).
- (ه) ممکن است برای جریان فروصوتی رخ دهد.

۷-۱۹ موج ضربه‌ای قائم

- (الف) در جلو جسم نوک‌پهنی تشکیل می‌شود که با سرعت فراصوتی از میان شاره‌ای تراکم‌پذیر حرکت می‌کند.
- (ب) فقط وقتی رخ می‌دهد که جریان فراصوتی باشد.
- (ج) باعث افزایش آنترویی شاره می‌شود.
- (د) فرایندی بی‌دررو و بی‌اصطکاک است.
- (ه) غیرممکن است.



- ۲۰-۷ در جریان بی‌دررو فراصوتی با اصطکاک در مجرای با سطح مقطع ثابت
- (الف) دما در جهت جریان افزایش می‌یابد.
  - (ب) دمای سکون کاهش می‌یابد.
  - (ج) فشار سکون کاهش می‌یابد.
  - (د) سرعت افزایش می‌یابد.
  - (ه) عدد ماخ حدی برابر یک است.

۲۱-۷ خط فانو

- (الف) مجموعه حالت‌های تعادلی در نمودار  $h-s$  برای جریان بی‌درروست.
- (ب) بیانگر مجموعه حالت‌های تعادلی در نمودار  $h-s$  برای جریان با اصطکاک است.
- (ج) از معادلات انرژی، پیوستگی و حالت نتیجه شده است.
- (د) بیانگر جریان فروصوتی است.
- (ه) بیانگر جریان تکدما در مجرای با سطح مقطع ثابت است.

- ۲۲-۷ برای جریان بی‌دررو فراصوتی با اصطکاک در مجرای با سطح مقطع ثابت،
- (الف) دما در جهت جریان افزایش می‌یابد.
  - (ب) دمای سکون افزایش می‌یابد.
  - (ج) فشار سکون کاهش می‌یابد.
  - (د) سرعت افزایش می‌یابد.
  - (ه) عدد ماخ حدی یک است.

- ۲۳-۷ برای جریان تکدمای گاز کامل در مجرای با سطح مقطع ثابت
- (الف) فشار در جهت جریان کاهش می‌یابد،
  - (ب) گرما از شاره گرفته می‌شود.
  - (ج) ذرات شاره شتاب می‌گیرند.
  - (د) چگالی شاره کاهش می‌یابد.
  - (ه) عدد ماخ بیشینه برابر یک است.

- ۲۴-۷ برای جریان گاز کامل در مجرای با سطح مقطع ثابت عایق‌بندی شده که عدد ماخ اولیه آن کمتر از یک است،
- (الف) سرعت در جهت جریان کاهش می‌یابد.
  - (ب) دما در جهت جریان کاهش می‌یابد.
  - (ج) عدد ماخ می‌تواند افزایش یابد و بیشتر از یک شود.
  - (د) آنتروپی همیشه در جهت جریان افزایش می‌یابد.
  - (ه) فشار ثابت است.

- ۲۵-۷ بعضی از نتیجه‌های گرمایش و سرمایش شاره ایده‌آل جاری در مجرای بی‌اصطکاک با سطح مقطع ثابت عبارت‌اند از:
- (الف) گرمایش همیشه باعث افزایش آنتروپی است.

(ب) گرمایش همیشه باعث افزایش سرعت است.

(ج) گرمایش همیشه باعث افزایش دماست.

(د) گرمایش همیشه باعث کاهش سرعت است.

(ه) عدد ماخ حدی برای جریان فروصوتی یک است.

۲۶-۷ برای جریان بی‌دررو گاز کامل در مجرای با سطح مقطع ثابت بی‌اصطکاک

(الف) با افزایش آنترابی دمای سکون افزایش می‌یابد.

(ب) دمای بیشینه در  $M = 1$  رخ می‌دهد.

(ج) نمودار حالت‌های تعادلی را بر روی نمودار  $A-s$  خط ریلی می‌گویند.

(د) معادلات تک‌آنترابی را به کار می‌برند.

(ه) عدد ماخ حدی برای جریان فراصوتی یک است.

۲۷-۷ برای جریان بی‌دررو گاز کامل در مجرای با سطح مقطع ثابت

(الف) فشار باید در جهت جریان کاهش یابد.

(ب) دما ثابت خواهد ماند.

(ج) سرعت ثابت خواهد ماند.

(د) آنترابی افزایش می‌یابد.

(ه) عدد ماخ ثابت می‌ماند.

۲۸-۷ سرعت صوت در گاز کربن دی‌اکسید در دمای  $300^\circ\text{F}$  چقدر است؟ سرعت آکوستیکی در آب  $60^\circ\text{F}$  چقدر است؟

۲۹-۷ در نقطه  $A$  در ناحیه اختلال نیافته جریان هوایی که از اطراف جسمی می‌گذرد، چگالی  $0.02378 \text{ slug/ft}^3$  اسلاگ بر فوت مکعب، فشار

$14.7 \text{ psi}$  و سرعت  $350 \text{ ft/s}$  است. فشار در نقطه  $B$  روی جسم  $7.35 \text{ psi}$  است و عدد ماخ را در هریک از این نقطه‌ها برای جریان بی‌دررو

بی‌اصطکاک تعیین کنید.

۳۰-۷ هواپیمایی از میان هوای استاندارد با سرعت  $600 \text{ ft/s}$  پرواز می‌کند. عدد ماخ موضعی را در نقطه‌ای بر روی هواپیما که سرعت هوا نسبت

به هواپیما  $200 \text{ ft/s}$  است، تعیین کنید.

۳۱-۷ جسمی از میان هوای استاندارد با سرعت  $400 \text{ ft/s}$  حرکت می‌کند. فشار را در نقطه‌ای بر روی جسم که سرعت هوا نسبت به جسم صفر

است، تعیین کنید.

۳۲-۷ پرتابه‌ای نوک‌پهن با سرعت  $1900 \text{ ft/s}$  از میان هوای ساکنی با فشار  $14.7 \text{ psia}$  و دمای  $60^\circ\text{F}$  حرکت می‌کند. فشار سکون، آنتالپی

سکون و دمای سکون را به دست آورید.

۳۳-۷ شیوره‌ای برای انبساط هوا به طور تک‌آنترابی از فشار  $5^\circ\text{psia}$  و دمای  $200^\circ\text{F}$  به  $18 \text{ psia}$  با آهنگ  $3 \text{ lb/s}$  طراحی شده است.

(الف) عدد ماخ را در خروجی شیوره و (ب) سطح مقطع خروجی را (برحسب فوت مربع) محاسبه کنید.

۳۴-۷ هوا به طور تک‌آنترابی از میان شیوره‌ای همگرا که سطح مقطع گلوگاه آن  $1 \text{ ft}^2$  است، جریان دارد. هوا با سرعت ناچیز در فشار  $6^\circ\text{psia}$

و دمای  $200^\circ\text{F}$  وارد شیوره می‌شود. فشار مخزن  $15 \text{ psia}$  است. آهنگ جریان جرمی گاز برحسب  $\text{lb/s}$  چقدر است؟

۳۵-۷ هوا با عبور از میان شیپوره‌ای واگرا-همگرا در فرایندی بی‌درو و بی‌اصطکاک از فشار ۱۶۰ psia و دمای ۲۴°F به فشار ۲۰ psia انبساط می‌یابد. مطلوب است محاسبه (الف) سطح مقطع گلوگاه و خروجی برای شیپوره‌ای بدون موج ضربه‌ای، در صورتی که آهنگ جریان هوا ۴٫۵ lb/s باشد و (ب) عدد ماخ در خروجی شیپوره.

۳۶-۷ هوا با فشار اولیه ۵۰ psia و دمای ۲۵۰°F به طور تک‌آنتروپی از میان شیپوره همگرا-واگرایی با سطح مقطع گلوگاه ۴ in<sup>۲</sup> می‌گذرد. فشار در پایین دست جریان ۱۴٫۷ psia، و دمای ۴۰°F است. مطلوب است محاسبه (الف) آهنگ و جریان برحسب lb/s (ب) سرعت جریان در خروجی شیپوره.

۳۷-۷ هوا با فشار ۱۰۰ psia و دمای ۱۴۰°F از میان لوله همگرایی به درون مخزنی با فشار ۲۰ psia جریان می‌یابد. با فرض اینکه جریان هوا بی‌درو و بی‌اصطکاک، و سرعت در بالادست جریان ناچیز است، سرعت را در گلوگاه محاسبه کنید.

۳۸-۷ هوا با فشار ۱۰۰ psia و دمای ۱۴۰°F از میان لوله همگرایی به درون مخزنی با فشار ۲۰ psia جریان می‌یابد. با فرض اینکه جریان بی‌درو و بی‌اصطکاک، و سرعت در بالادست جریان ناچیز است، سرعت جریان را در گلوگاه محاسبه کنید.

۳۹-۷ نمودارهای  $T-s$  و  $h-s$  را برای گازی کامل رسم کنید، که به طور بی‌درو از میان (۱) خط لوله بلند، (۲) شیپوره و (۳) پخش‌کن می‌گذرد.

۴۰-۷ برای انتقال گازی (با وزن مولکولی ۱۸ و  $k = ۱٫۳$ ) از لوله‌ای به طول ۴۰ مایل و قطر داخلی ۳۶ اینچ، که دو ایستگاه کمپرسور را به یکدیگر متصل می‌کند، استفاده می‌کنیم. فشار در ایستگاه بالادست کمتر از ۹۰ psig، و در ایستگاه پایین دست باید دست کم ۱۰ psig باشد. آهنگ جریان مجاز بیشینه را محاسبه کنید (فوت مکعب در روز در دمای ۷۰°F و فشار یک اتمسفر) با فرض اینکه انتقال گرمای کافی از لوله برای حفظ دمای ۷۰°F وجود دارد. گرانروی سینماتیکی  $4 \times 10^{-4} \text{ ft}^2/\text{s}$  است.

۴۱-۷ هوا با فشار ۲۰۰ psia، دمای ۶۰°F و با سرعت ۱۹۰ ft/s به لوله‌ای به قطر ۶ اینچ وارد می‌شود. ضریب اصطکاک  $f$  برابر ۰٫۱۶ است. عدد ماخ و فاصله از ورودی، که فشار آن ۷۵ psia است، برای جریان تک‌دما چقدر است؟

۴۲-۷ هوا با فشار ۶۰۰ psia، دمای ۲۰۰°F و سرعت ۳۰۰ ft/s به لوله‌ای افقی وارد می‌شود. فشار حدی برای جریان تک‌دما چقدر است؟ فشار حدی برای جریان بی‌درو چقدر است؟

۴۳-۷ هوا با فشار ۱۲۰ psia و دمای ۸۰°F به لوله فولادی تمیزی وارد می‌شود که طول آن ۹۵ ft و قطر آن ۵ اینچ است. سرعت ورودی جریان هوا ۸۰ ft/s است. فرض می‌کنیم که جریان تک‌دماست، مطلوب است (الف) تعیین افت فشار (psi)، اگر شاره تراکم‌پذیر فرض شود. (ب) تعیین افت فشار (psi)، اگر شاره تراکم‌ناپذیر فرض شود.

۴۴-۷ گاز هیدروژن با فشار اولیه ۶۰ psia و دمای ۱۴۰°F از میان لوله عایق‌بندی شده‌ای به طول ۹۰۰ فوت و قطر ۲٫۰ فوت جریان می‌یابد. ضریب اصطکاک ۰٫۱۵ است. آهنگ جریان بیشینه گاز چقدر است؟ و افت فشار چقدر باید باشد تا این جریان حفظ شود؟

۴۵-۷ مخزنی بزرگ را در آزمایشگاه با فشار ۲۰۰ psia و در دمای اتاق با هوا پر می‌کنند. شیپوره‌ای فراصوتی طراحی کنید که به دیواره این مخزن بیچ شود و هوا را با سرعت‌های فراصوتی به بیرون تخلیه کند. با قرار دادن هوا بر روی کوچک یا جسمی آزمونی در مسیر جریان این شیپوره، عملاً نونل باد تخلیه فراصوتی‌ای خواهیم داشت. فرض کنید هوای مخزن در فشار ۲۰۰ psia برای مدت کوتاهی که مورد نظر ماست، ثابت می‌ماند. مساحت گلوگاه باید ۰٫۵ in<sup>۲</sup> باشد.

۴۶-۷ اگر پس فشار را در مسئله ۷-۹ افزایش یا کاهش دهیم، چه اتفاقی رخ می‌دهد؟ بحث کنید.

۴۷-۷ مجرای بی‌درو بلندی به قطر ۱٫۰ متر از مخزنی با فشار ۲ MPa از طریق شیپوره‌ای همگرا-واگرا با نسبت مساحت گلوگاهی ۰٫۲۳۶۲ =  $\frac{A^*}{A_1}$

تغذیه می شود، که  $A_1$  سطح مقطع مجراست. ضریب اصطکاک میانگین  $0.01$  است.  $L_{max}$  را به دست آورید. پس فشار لازم برای ایجاد جریان بدون موج ضربه‌ای در سرتاسر مجرا چقدر است؟ اگر این پس فشار حفظ شود ولی طول مجرا به  $2L_{max}$  افزایش یابد، مکان موج ضربه‌ای را در مجرا تعیین کنید. اگر طول مجرا به  $1/2 L_{max}$  برسد (با همان پس فشار) مکان موج ضربه‌ای کجا خواهد بود؟ و هر یک از این حالتها درباره آنچه که با افزایش یا کاهش پس فشار رخ می دهد به تفصیل بحث کنید.

## نمادگذاریهای فصل ۷

$A$	=	سطح مقطع
$a$	=	سرعت صوت
$C$	=	محیط خیس شده
$c_p$	=	گرمای ویژه در فشار ثابت
$c_s$	=	سرعت موج ضربه‌ای
$c_v$	=	گرمای ویژه در حجم ثابت
$D$	=	قطر هیدرولیکی مجرا
$f$	=	ضریب اصطکاک فاینینگ
$h$	=	آنتالپی در واحد جرم
$k$	=	نسبت گرمای ویژه $\frac{c_p}{c_v}$
$K$	=	درجه کلوین
$L$	=	طول مجرا
$M$	=	عدد ماخ، $\frac{V}{a}$
$\dot{m}$	=	آهنگ جریان جرمی
$p$	=	فشار
$^{\circ}R$	=	درجه رانکین
$R$	=	ثابت گاز
$s$	=	آنتروپی بر واحد جرم (آنتروپی ویژه)
$T$	=	دمای مطلق
$t$	=	زمان
$u$	=	انرژی درونی بر واحد جرم (انرژی درونی ویژه)
$V$	=	سرعت
$v$	=	حجم ویژه $\frac{1}{\rho}$
$x$	=	مختصه محوری
$\rho$	=	چگالی
$\tau_0$	=	تنش برشی دیواره
$( )_c$	=	شرط بحرانی
$( )_R$	=	شرط مخزن (پس فشار)
$( )_0$	=	شرط سکون
$( )_t$	=	شرط گلوگاه
$( )^*$	=	شرطی که جریان خفه می شود یا $M = 1$



# دینامیک گازی جریان تراکم‌پذیر دوبعدی

## ۸-۱ معادلات جریان تراکم‌پذیر بی‌اصطکاک

جریان پتانسیل تراکم‌ناپذیر دوبعدی را در فصل ۶، و جریان تراکم‌پذیر یک‌بعدی را در فصل ۷ بررسی کردیم. اکنون، با گسترش این دو موضوع، روش عمومی‌تری را برای جریان (کامل) بی‌اصطکاک تراکم‌پذیر به دست می‌آوریم. چون این جریان کامل است، دوباره می‌توان نشان داد که جریان غیرچرخشی (اگر جریان آزاد شاره غیرچرخشی باشد) و بنابراین پتانسیلی است. سپس به جریان پتانسیل تراکم‌پذیر سه‌بعدی عمومی می‌پردازیم، هر چند برای محاسبات مستقیم معمولاً به جریانهای دوبعدی محدود می‌شویم.

مانند قبل، دربارهٔ جریان خارج از لایهٔ مرزی (که جریان غیرچرخشی است) بحث خواهیم کرد و بیشتر به مسائل آئرو‌دینامیک — جریان روی بالها و بدنهٔ هواپیماها — توجه می‌کنیم.

شماره در سرعت‌های کم (عدد ماخ  $M$  کمتر از ۰.۳) کم‌وبیش رفتار تراکم‌ناپذیر دارد، و تحلیل موضوع با جریان پتانسیل تراکم‌ناپذیر (فصل ۶) کفایت می‌کند. با افزایش سرعت جریان اثرهای تراکم‌پذیری به تدریج مهم‌تر می‌شوند و با گذشتن عدد ماخ از واحد، موج ضربه‌ای بر روی جسم تحت مطالعه تشکیل می‌شود. اگر عدد ماخ جریان آزاد بزرگتر از یک باشد ( $M > 1$ )، جریان فراصوتی است و بسیار متفاوت از جریان فروصوتی ( $M < 1$ ) خواهد بود. جریان گذرصوتی بر روی جسم وقتی رخ می‌دهد که جریان موجود در قسمتی از جسم فروصوتی و در قسمت دیگر جسم فراصوتی باشد. در جریان گذرصوتی پایا روی جسم، ناحیه‌هایی را می‌توان یافت که  $M < 1$ ،  $M = 1$  و  $M > 1$ . جریان گذرصوتی از نظر ریاضی پیچیده‌تر از هر دو جریان فروصوتی و فراصوتی است. هنگامی که هواپیمایی از جریان فروصوتی به فراصوتی شتاب می‌گیرد، الزاماً باید از شرایط گذرصوتی بگذرد.

در این فصل، به مطالعه گستره کامل عددهای ماخ می‌پردازیم که از ناحیه فروصوتی آغاز می‌شود و تا عددهای ماخ بسیار بزرگ ادامه می‌یابد. برای  $M$  های بزرگتر از ۶ جریان را ابرصوتی می‌گویند، که بسیاری از پیش‌فرضهای جریان فراصوتی معمولی معتبر نیستند و تحلیل آن بسیار پیچیده‌تر می‌شود. با افزایش  $M$  و رسیدن آن به ناحیه ابرصوتی، اصطکاک لایه مرزی افزایش می‌یابد و دمای سکون آن قدر زیاد می‌شود (برای  $M > ۶$ ) که دمای لایه مرزی را نیز بالا می‌برد و سطح هوایما آنچنان داغ می‌شود که استفاده از مواد نسوز خاص یا فرسودنی برای جلوگیری از آسیب‌دیدگی بدنه نیاز خواهد داشت. بازگشت ماهواره به جو همراه با عبور از عددهای ماخ بالاست. در فصل ۱۰ درباره ساختار لایه مرزی ابرصوتی بحث خواهیم کرد. اکنون، به حل جریان پتانسیل در خارج از لایه مرزی توجه می‌کنیم. قانونهای حاکم بر رفتار جریان اساساً برای جریان فروصوتی و فراصوتی یکسان است، اما جمله‌های مختلف در معادلات اصلی، با تغییر  $M$ ، کم و بیش مهم می‌شوند. در واقع، مشخصه معادلات دیفرانسیل با بزرگتر یا کوچکتر شدن  $M$  از مقدار واحد، کاملاً تغییر می‌کند. در نتیجه، طرح جریان از فروصوتی به فراصوتی به شدت تغییر می‌کند. در بیشتر مسائل جریان تراکم‌پذیر آئرو دینامیکی فرض جریان بی‌اصطکاک، غیرچرخشی و تک‌آنتروپی کاملاً دقیق است. اما، هرگاه در جریان ابرصوتی موجهای ضربه‌ای ایجاد شود، جریان در عرض موجهای ضربه‌ای تک‌آنتروپی نیست.

اکنون، معادلات اساسی جریان بی‌اصطکاک تک‌آنتروپی را که، بجز در محاسبات موج ضربه‌ای به کار می‌روند، مرور می‌کنیم. این معادلات عموماً غیرخطی‌اند و جوابهای تقریبی متعددی باید برای آنها به دست آورد. در بعضی از حالتها، جوابهای دقیق را می‌توان حتی در شرایط وقوع موج ضربه‌ای به دست آورد.

معادلات اصلی همانهایی هستند که در فصل ۵ به دست آوردیم. بجز اینکه باید اثرهای تراکم‌پذیری منظور شوند و در نتیجه معادله انرژی یا هم‌ارز آن را باید در نظر گرفت. معادلات اصلی عبارت‌اند از پیوستگی، حرکت و انرژی. اگر معادله انرژی برحسب دما نوشته شود، به معادله حالت نیز نیاز است. اگر جریان کلاً تک‌آنتروپی باشد، رابطه تک‌آنتروپی بین فشار و چگالی را می‌توان به کار برد و روشن است که به معادله انرژی نیز نیاز خواهد بود. همان‌گونه که در فصل ۵ نشان دادیم، جریان بی‌اصطکاک بی‌دررو در امتداد خط جریان، به شرطی که غیرچرخشی باشد، تک‌آنتروپی است. وانگهی، اگر جریان دارای مقداری یکنواخت از آنتالپی کل (یا سکون) باشد، یعنی  $h_0 + h + v^2/2$  در سرتاسر جریان افزون بر غیرچرخشی بودن، جریان در کل تک‌آنتروپی خواهد بود. چنین جریانی را گاهی هم‌آنتروپی می‌گویند.<sup>۱</sup> در جریان هم‌آنتروپی (که نیروهای حجمی را می‌توان نادیده گرفت) برای گاز کامل در جریان دوبعدی، رابطه‌های اصلی عبارت‌اند از

پیوستگی:

$$\frac{\partial p}{\partial t} + \frac{\partial}{\partial x}(\rho u) + \frac{\partial}{\partial y}(\rho v) = 0 \quad (1-8)$$

تکانه:

$$\rho \frac{\partial u}{\partial t} + u \frac{\partial u}{\partial x} + v \frac{\partial u}{\partial y} = -\frac{\partial p}{\partial x} \quad (2-8)$$

رابطه تک‌آنتروپی:

$$\rho \frac{\partial v}{\partial t} + u \frac{\partial v}{\partial x} + v \frac{\partial v}{\partial y} = -\frac{\partial p}{\partial y} \quad (3-8)$$

$$\frac{p}{p_0} = \left( \frac{\rho}{\rho_0} \right)^k$$

که  $k = c_p/c_v$  نسبت گرماهای ویژه است، و  $p_0$  و  $\rho_0$  فشار و چگالی در حالتی مرجع اختیاری هستند که معمولاً همان مقادیرهای جریان آزاد یا مقادیرهای سکون‌اند.

۱. این عبارت ناشی از قضیه کروکو است که

$$T \nabla_s + \mathbf{V} \times (\nabla \times \mathbf{V}) = \nabla h_0 + a \mathbf{V} / \partial t$$

که  $s$  آنتروپی ویژه است. در جریان پایا  $\nabla_s = 0$  و  $\nabla \times \mathbf{V} = 0$  و  $\nabla h_0 = 0$ . این قضیه را اینجا ثابت نمی‌کنیم، اما از معادله حرکت و رابطه ترمودینامیکی  $T ds = dh - \left( \frac{1}{\rho} \right) dp$  به دست می‌آید. در بیشتر جریانهای آئرو دینامیک شماره از همان «منبعی» سرچشمه می‌گیرد که جریان آزاد نشأت می‌گیرد و بنابراین  $h_0$  ثابت است.

معادلات (۱-۸) تا (۳-۸) مستقل‌اند اما یکتا نیستند. به جای معادله (۳-۸)، می‌توانستیم از معادله کامل انرژی همراه با معادله حالت استفاده کنیم. اگر جریان بی‌دررو نباشد، چنین روشی ضروری است. چون جریان غیرچرخشی است، پتانسیل سرعت  $\mathbf{V} = -\nabla\phi$  را می‌توان وارد کرد. در این صورت جمله  $\nabla p$  را می‌توان به صورت زیر نوشت

$$\nabla p = \left( \frac{\partial p}{\partial \rho} \right)_s \nabla \rho = a^2 \nabla \rho \quad (۴-۸)$$

که  $a$  تندی صوتی است. سپس ضرب اسکالر  $\mathbf{V}$  و معادله برداری حرکت تشکیل می‌شود و به کمک معادلات (۴-۸) و (۱-۸) می‌توان  $p$  و  $\rho$  را حذف کرد. نتیجه در جریان دوبعدی به صورت زیر در می‌آید

$$(u^2 - a^2) \frac{\partial u}{\partial x} + (v^2 - a^2) \frac{\partial v}{\partial y} + uv \left( \frac{\partial u}{\partial y} + \frac{\partial v}{\partial x} \right) = 0 \quad (۵-۸)$$

با توجه به شرط  $\frac{\partial v}{\partial x} - \frac{\partial u}{\partial y} = 0$ ، معادله بالا برحسب  $\phi$  به صورت زیر نوشته می‌شود

$$\frac{1}{a^2} \left[ \left( \frac{\partial \phi}{\partial x} \right)^2 \frac{\partial^2 \phi}{\partial x^2} + \left( \frac{\partial \phi}{\partial y} \right)^2 \frac{\partial^2 \phi}{\partial y^2} + \frac{\partial \phi}{\partial x} \frac{\partial \phi}{\partial y} \left( 2 \frac{\partial^2 \phi}{\partial x \partial y} \right) \right] = \frac{\partial^2 \phi}{\partial x^2} + \frac{\partial^2 \phi}{\partial y^2} \quad (۶-۸)$$

که وقتی  $a \rightarrow \infty$ ،  $\nabla^2 \phi = 0$ ، که حد مطلوبی برای جریان تراکم‌ناپذیر است. معادله (۶-۸) تک معادله  $\phi$  است و این جریان را بیان می‌کند، اما تندی صوتی  $a$  را باید به مؤلفه‌های سرعت از طریق معادله انرژی مرتبط کرد، که وضعیت را پیچیده می‌کند. در بخش ۳-۸، وقتی نظریه اختلال جزئی را بحث می‌کنیم، این محاسبات را صریحاً انجام می‌دهیم. روش اختلال جزئی، خطی کردن معادله (۶-۸) و جوابهای تقریبی به دست آمده را برای جسمهای نازکی همچون هواپرها و جسمهای باریک دورانی ممکن می‌سازد. در بخش ۲-۸ جوابهای دقیق موج ضربه‌ای-انبساط ۴-۸ و در بخش ۴-۸ روشهای حل معادله (۵-۸) بحث خواهند شد.

## ۲-۸ نظریه موج ضربه‌ای-انبساط

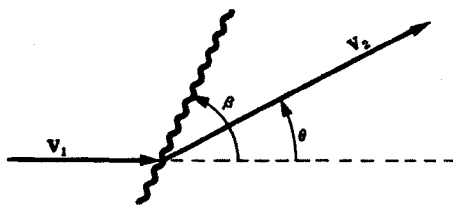
جوابهای دقیق جریان را در شکلهای هندسی ساده خاص، در صورتی که جریان کلاً شامل موجهای ضربه‌ای و یا موجهای انبساطی باشد، می‌توان به دست آورد. نخست، موج ضربه‌ای مایل و موج انبساطی ساده را بحث خواهیم کرد و سپس نشان خواهیم داد که چگونه با ترکیب این جوابها می‌توان جریان موجود بر روی شکلهای ساده خاص را بیان کرد.

### ۱-۲-۸ موج ضربه‌ای مایل

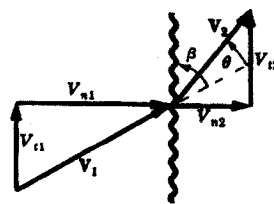
شکل ۱-۸ موج ضربه‌ای مایل را نشان می‌دهد. بنا بر اصل پایداری تکانه، مؤلفه مماسی سرعت  $V_t$  در عرض موج ضربه‌ای پیوسته است، بنابراین  $V_{t1} = V_{t2}$ . در این صورت،  $V_{n1}$  و  $V_{n2}$  با رابطه‌های موج ضربه‌ای قائم، در فصل ۷ به هم مرتبط می‌شوند. بنابراین، موج ضربه‌ای مایل برحسب سرعتهای قائم شبیه موج ضربه‌ای قائم است و عددهای ماخ (برحسب  $V_n$  و  $M_1 = \frac{V_{n1}}{a_1}$ )، فشار، چگالی و جز آن، همچون موج ضربه‌ای قائم به هم مربوط می‌شوند. چون  $V_{t1} = V_{t2}$  اما  $V_{n1} \neq V_{n2}$ ، بردار سرعت واقعی  $V$  چرخیده است و مقدار آن، همچون شکل ۲-۸، در حین گذشتن از میان موج ضربه‌ای تغییر می‌کند.  $V_{n1}$  بزرگتر از تندی صوتی  $a_1$ ، و  $V_{n2}$  باید کمتر از تندی صوتی  $a_2$  باشد. اما، هر چند  $V_1 > a_1$ ،  $V_2$  نیز ممکن است بزرگتر از  $a_2$  باشد. مقدار سرعت در موج ضربه‌ای مایل الزاماً به مقدار فروصوتی افت پیدا نمی‌کند، هر چند مؤلفه عمودی تغییر می‌کند.

اکنون،  $M_1$  را به صورت  $M_1 = V_1/a_1$ ،  $V_{n1}$  را به صورت  $V_{n1} = V_1 \sin \beta$  تعریف می‌کنیم، بنابراین  $V_{n1}/a_1 = M_1 \sin \beta$  با استفاده از رابطه‌های موج ضربه‌ای قائم در فصل ۷ و قرار دادن  $M_1 \sin \beta$  به جای  $M_1$  رابطه‌های زیر نتیجه می‌شود.<sup>۱</sup>

۱. جدولهای موج ضربه‌ای قائم را می‌توان با در نظر گرفتن  $M_1 \sin \beta$  به جای  $M_1$  به کار برد.



شکل ۸-۲ دوران بردار سرعت از میان موج ضربه‌ای.



شکل ۸-۱ موج ضربه‌ای مایل.

$$\frac{V_{n2}}{V_{n1}} = \frac{\rho_2}{\rho_1} = \frac{(k+1)(M_1^2 \sin^2 \beta)}{(k-1)M_1^2 \sin^2 \beta + 2}$$

$$\frac{p_2 - p_1}{p_1} = \frac{2k}{k+1}(M_1^2 \sin^2 \beta - 1)$$

$$\frac{T_2}{T_1} = \frac{a_2^2}{a_1^2} = 1 + \frac{2(k-1)}{(k+1)^2} \frac{M_1^2 \sin^2 \beta - 1}{M_1^2 \sin^2 \beta} (kM_1^2 \sin^2 \beta + 1) \quad (7-8)$$

$$\frac{s_2 - s_1}{R} = \ln \left\{ \left[ 1 + \frac{2k}{k+1} (M_1^2 \sin^2 \beta - 1) \right]^{1/(k-1)} \left[ \frac{(k+1)M_1^2 \sin^2 \beta}{(k-1)M_1^2 \sin^2 \beta + 2} \right]^{-k/(k-1)} \right\}$$

$$M_2^2 \sin^2(\beta - \theta) = \frac{1 + \frac{1}{\gamma}(k-1)M_1^2 \sin^2 \beta}{kM_1^2 \sin^2 \beta - \frac{1}{\gamma}(k-1)}$$

با توجه به اینکه  $0 < \beta < \frac{\pi}{\gamma}$  و  $1 \leq M_1 \sin \beta = V_{n1}/a_1$ ، بنابراین  $\beta$  مقداری کمینه برای هر  $M_1$  مفروض دارد. از این رو

$$\frac{\sin^{-1} 1}{M_1} \leq \beta \leq \frac{\pi}{\gamma} \quad (8-8)$$

در موج ضربه‌ای قائم،  $\beta = \frac{\pi}{\gamma}$ . در موج ضربه‌ای ضعیف، زمانی که موج ضربه‌ای به شکل موج صوتی در می‌آید،  $\sin^{-1} \frac{1}{M} = \beta$ . مقدار  $M_2$  را، با توجه به اینکه  $M_2 = V_2/a_2 = V_{n2}/a_2 = M_2 \sin(\beta - \theta)$ ، می‌توان به دست آورد. از رابطه موج ضربه‌ای قائم، داریم

$$M_2^2 = \frac{1 + \frac{1}{\gamma}(k-1)M_1^2}{kM_1^2 \sin^2 \beta - \frac{1}{\gamma}(k-1)}$$

با نشان دادن  $M_1 \sin \beta$  و  $M_2 \sin(\beta - \theta)$  به جای  $M_1$  و  $M_2$ ، خواهیم داشت

$$M_2^2 \sin^2(\beta - \theta) = \frac{1 + \frac{1}{\gamma}(k-1)M_1^2 \sin^2 \beta}{kM_1^2 \sin^2 \beta - \frac{1}{\gamma}(k-1)} \quad (9-8)$$

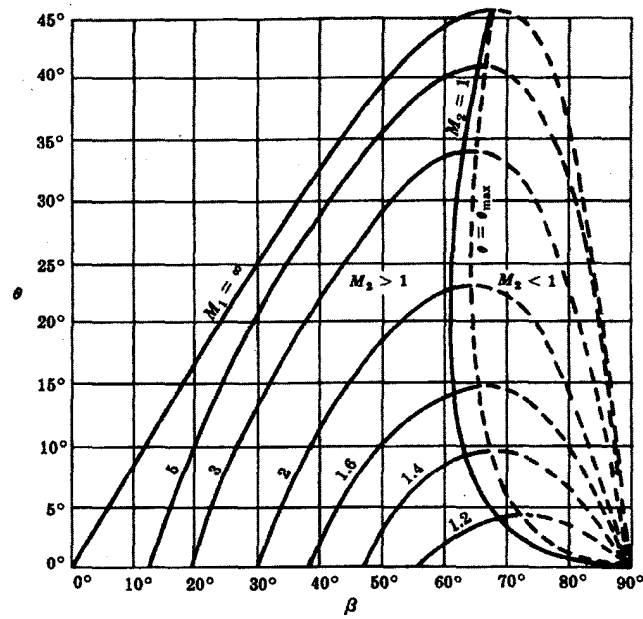
با استفاده از قسمت اول معادله (7-8) می‌توان  $\beta$  به  $\theta$ ، و همچنین  $V_{n2}$  به  $V_{n1}$  از طریق شکل هندسی مرتبط ساخت یعنی

$$\tan \beta = \frac{V_{n2}}{V_{t1}}, \quad \tan(\beta - \theta) = V_{n2}/V_{n1}$$

بنابراین

$$\frac{\tan(\beta - \theta)}{\tan \beta} = \frac{(k-1)M_1^2 \sin^2 \beta + 2}{(k+1)M_1^2 \sin^2 \beta}$$





شکل ۳-۸ بر حسب  $\beta$  در موج ضربه‌ای مایل.

که می‌توان به صورت زیر نوشت

$$\tan \theta = \gamma \cot \beta \frac{M_1^2 \sin^2 \beta - 1}{M_1^2 (k + \cos 2\beta) + \gamma} \quad (۱۰-۸)$$

برای هر مقدار مفروض  $M_1$ ، دو مقدار برای  $\beta$  در مقابل هر مقدار  $\theta$  خواهیم داشت. شکل ۳-۸ نمودار این معادله را نشان می‌دهد.

برای هر مقدار  $\theta$  (کمتر از  $\theta_{max}$ ) دو جواب وجود دارد. در عمل، جواب ضعیفتر ( $\beta$  کوچکتر) به دست می‌آید (اگر  $\theta < 45^\circ$ ). اینها متناظر

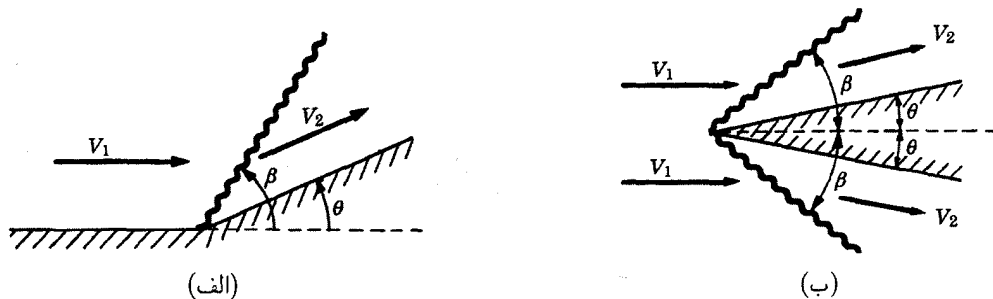
با  $M_2 > 1$  هستند، بجز برای ناحیه کوچک بین خطهای  $M_2 = 1$  و  $\theta = \theta_{max}$ .

در عمل، چه چیزی  $\beta$  و  $\theta$  را تعیین می‌کند؟ به بیان دیگر، موجهای ضربه‌ای مایل چگونه ایجاد می‌شوند؟ جریان موجود از میان گوشه مطابق

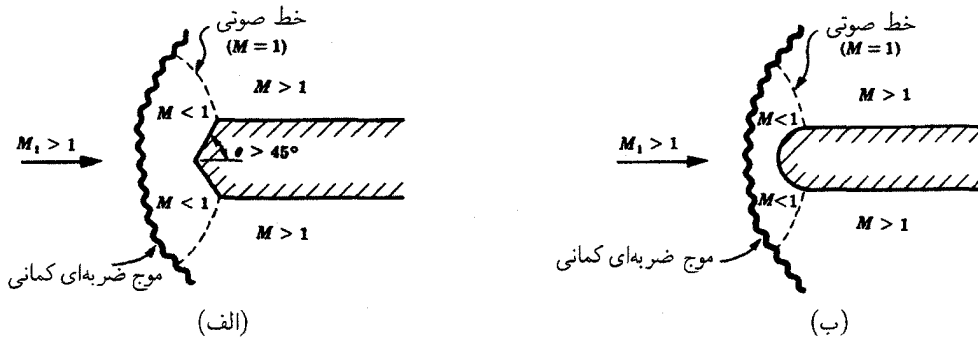
شکل ۴-۸ مثالی ساده از آن است. گوه متقارن، همان طرح جریان متقارن را حول خط مرکزی افقی به وجود می‌آورد [شکل ۴-۸ (ب)]. بردار

$V_2$  موازی سطح گوه (یا گوشه) با زاویه  $\theta$  است. بدین ترتیب، در صورت مشخص شدن  $M_1$  باید  $\beta$  نیز مشخص شود.

برای هر عدد ماخ مفروض، مقدار  $\theta$  بیشینه‌ای وجود دارد که عملاً امکان‌پذیر است. اگر زاویه گوه واقعی بزرگتر از این مقدار بیشینه باشد، چه



شکل ۴-۸ موج ضربه‌ای مایل ایجاد شده به وسیله جریان (الف) از میان گوشه و (ب) از روی گوه متقارن.

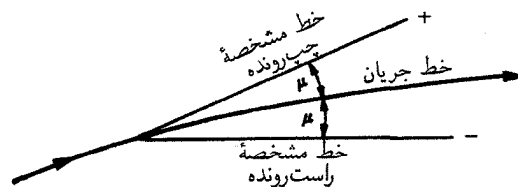


شکل ۵-۸ موج ضربه‌ای گسسته. (الف) گوه، (ب) جسم نوک‌پهن.

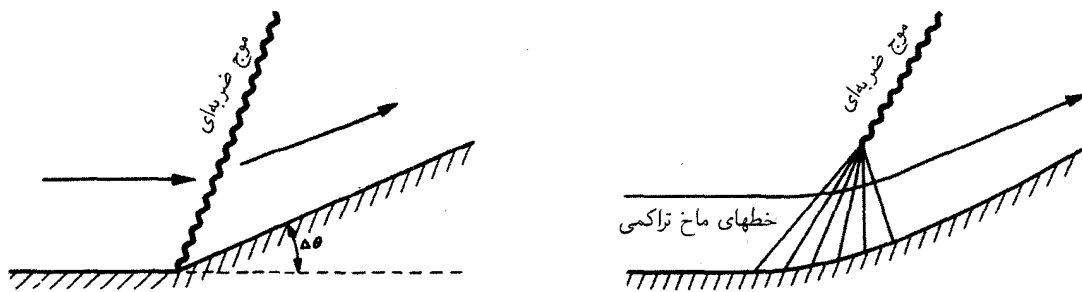
اتفاقی رخ می‌دهد؟ جواب این است که موج ضربه‌ای از بدنه گوه جدا می‌شود و در جلو می‌ایستد. موج ضربه‌ای جدا شده به صورت خمیده پیرامون جسم را می‌گیرد و به عنوان موج ضربه‌ای کمپانی شناخته می‌شود. مکان موج ضربه‌ای کمپانی توسط جریان پایین‌دستی تعیین می‌شود که همیشه دارای ناحیه فروصوتی است. (موج ضربه‌ای کمپانی، درست مثل رأس با  $M_2 < 1$ ، همیشه به صورت موج ضربه‌ای قائم ظاهر می‌شود و شرایط جهش به طور پیوسته در امتداد موج ضربه‌ای خمیده تغییر می‌کند). بیان کامل موج ضربه‌ای کمپانی بسیار پیچیده است، زیرا مکان آن را نمی‌توان به طور دقیق تعیین کرد (به علت نفوذ جریان بالادست فروصوتی)، و میدان جریان کلی را باید با هم در نظر گرفت. مقدار حدی مطلقی بزرگتر از  $45^\circ$  برای  $\theta$  وجود دارد که موج ضربه‌ای، صرف نظر از مقدار عدد ماخ، در آنجا همیشه گسسته می‌شود. بنابراین، اگر جسم نوک‌پهن باشد، موج ضربه‌ای همیشه گسسته می‌شود (زیرا  $\theta$  در دماغه  $90^\circ$  است). منحنی خط‌چینی را که در آن  $M = 1$  (شکل ۵-۸)، خط صوتی می‌گویند؛ این خط ناحیه‌های فروصوتی و فراصوتی را از یکدیگر جدا می‌کند.

با گزیندن زاویه گوه به سوی صفر، داریم  $\beta = \sin^{-1} \frac{1}{M}$ . و این موج را خط ماخ می‌گویند. در واقع، این خط مکان هندسی آشفته‌گیهای صوتی است، زیرا قدرت موج ضربه‌ای بی‌نهایت کم می‌شود و هر آشفته‌گی بی‌نهایت کوچک یا صوتی در امتداد این خط انتشار می‌یابد. زاویه  $\sin^{-1} \frac{1}{M}$  را که با  $\mu$  مشخص می‌شود، زاویه ماخ می‌گویند. خطهای ماخ در سه بعد (از نقطه آشفته‌گی، که در فصل ۷ بحث شد) به شکل مخروط در می‌آیند. در فضای دوبعدی، در هر نقطه جریان، دو خط ماخ وجود دارد (در زاویه‌های  $\pm \beta = \sin^{-1} \frac{1}{M}$  به طرف خطهای جریان). این خطها را خطهای مشخصه می‌گویند و باید به سوی پایین دست جریان باشند، زیرا جریان بالادست تأثیری بر جریان فراصوتی ندارد (شکل ۶-۸).

در فضای سه‌بعدی، مکان هندسی خطهای ماخ، مخروطی را به وجود می‌آورند که به عنوان مخروط ماخ شناخته می‌شود. مخروط ماخ تشکیل شده در جلو هواپیما یا موشک، منطقه نفوذ را همان گونه که بخش ۷-۱ بحث شد مشخص می‌کند. خط ماخ طرف راست بردار سرعت را به عنوان خط مشخصه راست‌رونده (یا خط ماخ) و خط ماخ طرف چپ را به عنوان خط مشخصه چپ‌رونده می‌شناسند. گاهی این خطها را به ترتیب با علامت (-) یا (+)، یا برعکس مشخص می‌کنند، که کاملاً اختیاری است.



شکل ۶-۸ مشخصه‌ها در جریان فراصوتی  $\theta \rightarrow 0$  و  $\mu = \sin^{-1} \frac{1}{M}$ . یک خط در طرف راست خط جریان و یک خط در طرف چپ خط جریان عبور می‌کند.



شکل ۸-۷ تراکم جریان فراصوتی در محل خمیدگی.

با کوچک شدن زاویه  $\theta$  (اما همچنان منتهای)، موج ضربه‌ای ضعیف می‌شود و به ساده شدن رابطه‌های موج ضربه‌ای می‌انجامد. در عرض موج ضربه‌ای می‌توان نشان داد که  $\Delta p \sim \theta$  و  $\Delta s \sim \theta^3$ ، بنابراین برای موجهای ضربه‌ای بسیار ضعیف جریان تقریباً تک‌آنتروپی می‌شود. تغییر سرعت  $\Delta V$  در عرض موج ضربه‌ای ضعیف (برای انحراف جریان  $\Delta\theta$ ) تقریباً از رابطه زیر به دست می‌آید

$$\frac{\Delta V}{V} = -\frac{\Delta\theta}{\sqrt{M_1^2 - 1}} \quad (11-8)$$

که برای جریان تک‌آنتروپی دقیق است. اگر تراکم در خم پیوسته‌ای صورت گیرد (شکل ۸-۷)، آن‌گاه مجموعه خطهای ماخ پیوسته به وجود می‌آید و معادله (۱۱-۸) را می‌توان به شکل دیفرانسیلی زیر نوشت

$$\frac{dV}{V} = -\frac{d\theta}{\sqrt{M_1^2 - 1}} \quad (12-8)$$

از ترکیب خطهای ماخ موجی ضربه‌ای تشکیل می‌شود، اما جریان در مجاورت جسم و درون چتری تراکمی عددهای ماخ تقریباً تک‌آنتروپی است. یک موج ضربه‌ای مایل به گونه‌ای از دیواره بازتابیده می‌شود که جریان پایین دست موج ضربه‌ای بازتابیده موازی، با دیواره باشد. شکل ۸-۸ این گونه بازتاب را نشان می‌دهد. به طور کلی، برهم‌کنش موجهای ضربه‌ای با تلافیها (ب)، و جز آن را می‌توان با استفاده از این شرط بیان کرد که جهت جریان باید به طور مناسب با مرزهای جامد تنظیم شود و شرط پیوستگی را نیز برآورده کند.

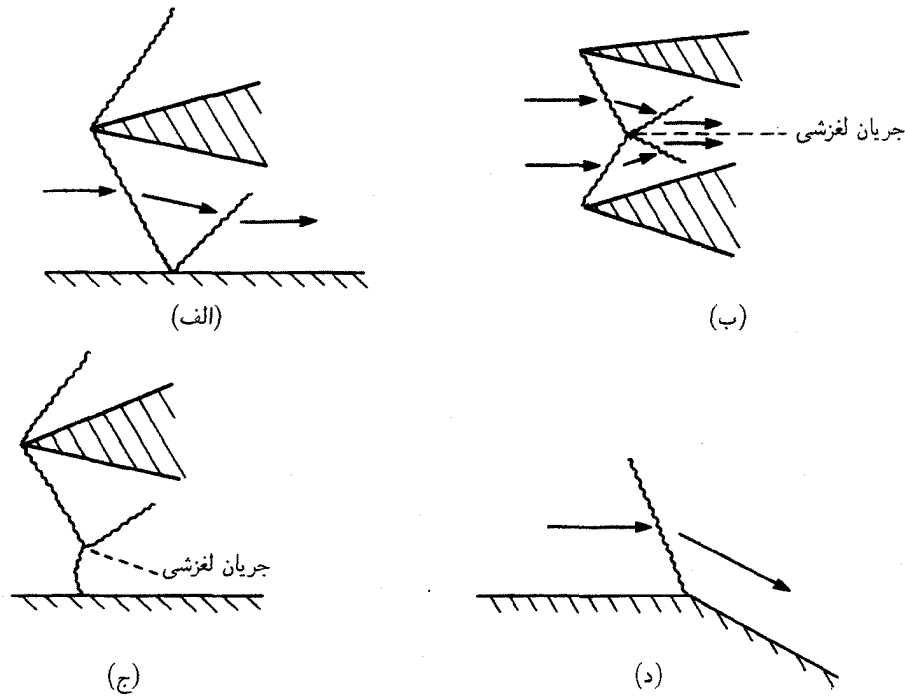
اگر موجهای ضربه‌ای بازتابیده به زاویه خم بزرگتر از زاویه ممکن برای عدد ماخ بالادست نیاز داشته باشد، گسستگی از دیواره رخ می‌دهد (ج). اگر موج ضربه‌ای به گوشه‌ای از دیواره برخورد کند و جریان پایین دست دیواره همراستا با جریان پایین دست باشد هیچ گونه بازتابی رخ نمی‌دهد و موج ضربه‌ای «حذف» می‌شود (د).

## ۸-۲-۲ انبساط فراصوتی و تابع پرنتل-مایر

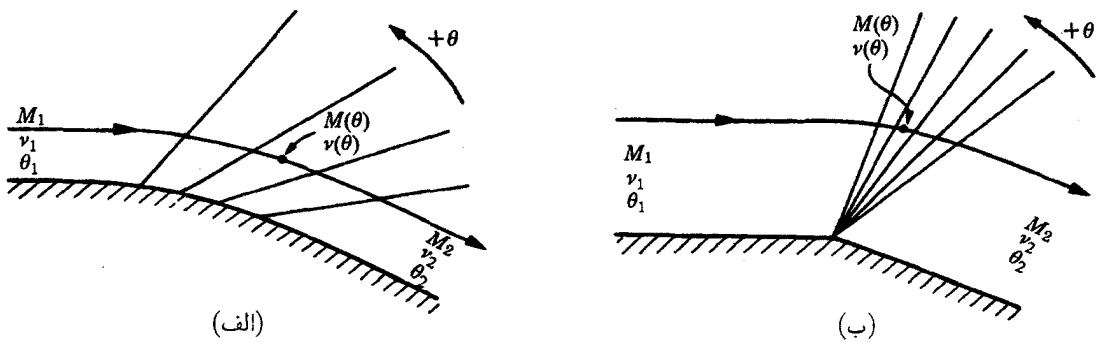
در جریان موجود بر روی گوشه محدب یا سطح خمیده محدب، موج ضربه‌ای تولید نمی‌شود و جریان به طور تک‌آنتروپی منبسط خواهد شد (شکل ۸-۹). تک موج نمی‌تواند خود را با این تغییر وفق دهد (و به کاهش آنتروپی منجر می‌شود) و چتری موجی باید به وجود آید. خطهای موجود در شکل ۸-۹ واقعاً خطهای ماخ یا مشخصه هستند. آنها در هر نقطه جریان با زاویه  $\frac{1}{M} \sin^{-1}$  نسبت به خطهای جریان قرار می‌گیرند. همه خواص شاره در امتداد خط ماخ، مانند بردار سرعت، ثابت‌اند.

معادله (۱۲-۸) در سرتاسر انبساط اعتبار دارد و شیب خط جریان نسبت به مبنایی دلخواه است. معمولاً فرض می‌شود که  $\theta_1 = 0$  و  $\theta$  را در جهت پادساعتگرد مثبت در نظر می‌گیرند (در شکل ۸-۹، اگر  $\theta_1 = 0$ ،  $\theta_2$  منفی است). از معادله (۱۲-۸) می‌توان انتگرال گرفت:

$$-\theta + \text{const.} = \int_{V_1}^V \sqrt{M^2 - 1} \frac{dV}{V} = v(M) \quad (13-8)$$



شکل ۸-۸ برهم‌کنش موجهای ضربه‌ای. (الف) بازتاب از دیواره، (ب) تلاقی دو موج ضربه‌ای، (ج) گسستگی از دیوار، (د) حذف‌شدگی.



شکل ۹-۸ انبساط فراصوتی بر روی سطح محدب. (الف) انبساط پیوسته در اطراف خم و (ب) چتری انبساطی با مرکزیت گوشه تیز.

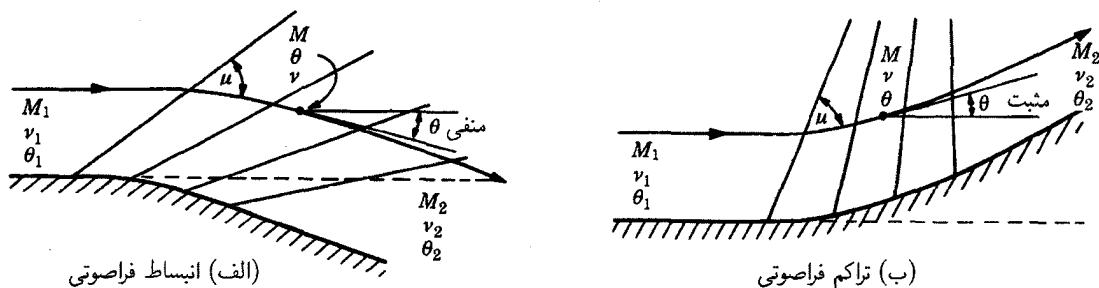
تابع  $\nu(M)$  را تابع پرنتل-مایر می‌گویند و به صورت زیر به دست می‌آید

$$\nu(M) = \sqrt{\frac{k+1}{k-1}} \tan^{-1} \sqrt{\frac{k-1}{k+1} (M^2 - 1)} - \tan^{-1} \sqrt{M^2 - 1} \quad (14-8)$$

که  $\nu$  برحسب رادیان است. مقدار ثابت را در معادله (۱۳-۸) به طور دلخواه انتخاب می‌کنیم، بنابراین زمانی که  $M = 1$ ،  $\nu = 0$ ، و سرانجام خواهیم داشت

$$-(\theta - \theta_1) = \nu(M) - \nu_1(M_1) \quad (15-8)$$

برای هر مقدار مفروض  $\theta_1$  (که معمولاً صفر در نظر می‌گیرند) و  $M_1$ ، می‌توان  $\nu(M)$  و بنابراین  $M$  را برای هر مقدار  $\theta$  یافت.  $\nu(M)$  تابع یکنوای  $M$  است که از صفر برای  $M = 1$  تا  $\nu_{\max}$  برای  $M \rightarrow \infty$  تغییر می‌کند و مقدار  $\nu_{\max}$  از رابطه  $\nu_{\max} = \frac{1}{4}\pi = (\sqrt{(k+1)/(k-1)} - 1)$



شکل ۸-۱۰ انبساط و تراکم فراصوتی. زاویه موضعی بین خط ماخ و خط جریان  $\mu$  است.

جدول ۸-۱ تابع پرنتل-مایر

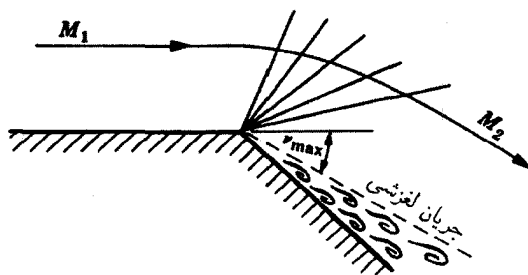
۹۹٫۳	۹۵٫۶	۹۱٫۰	۸۵٫۰	۷۷٫۰	۶۵٫۷	۴۹٫۸	۲۶٫۵	۰	$\nu$ (درجه)
۹٫۰۰	۸٫۰۰	۷٫۰۰	۶٫۰۰	۵٫۰۰	۴٫۰۰	۳٫۰۰	۲٫۰۰	۱٫۰۰	$M$

به دست می‌آید. برای انبساط فراصوتی،  $\theta$  منفی و برای تراکم،  $\theta$  مثبت است (شکل ۸-۱۰ را ببینید). برای هوا  $\nu_{\max}$  برابر  $۲٫۷۷$  رادیان یا  $۱۳۰^\circ$  است.

مقدارهای  $\nu(M)$  را برحسب درجه در جدول ۸-۱ به اختصار گنجانده‌ایم.<sup>۱</sup>

به عنوان مثال، جریان موجود بر روی سطح محدبی، همچون شکل ۸-۹ (الف)، را در نظر بگیرید که از زاویه کامل  $۱۰^\circ$  درجه با  $M_1 = ۲$  رسم شده است. طبق جدول ۸-۱،  $\nu_1 = ۲۶٫۵^\circ$  و  $\theta_2 = -۱۰^\circ$ ، بنابراین از معادله (۸-۱۵) نتیجه می‌شود که  $\nu_2 = ۲۶٫۵^\circ + ۱۰^\circ = ۳۶٫۵^\circ$  و بنابراین  $M_2$  تقریباً برابر  $۲٫۳۹$  به دست می‌آید. توجه کنید که آهنگ خمیدگی در تعیین حالت پایانی دخالت ندارد. گوشه تیز و خمیدگی ملایم نتیجه یکسانی را برای موجهای انبساطی به دست می‌دهند. در حالت تراکم، فقط خمیدگی ملایم تک‌آنتروپی است و گوشه مفرق تیز به موج ضربه‌ای می‌انجامد.

هنگامی که در اطراف گوشه‌ای با  $|\theta| > \nu_{\max}$  انبساط رخ می‌دهد چه اتفاقی می‌افتد؟ در آن موقع، رفتار خطها به‌گونه‌ای است که گویا جریان بر روی انبساط  $\nu_{\max}$  رخ داده است و ناحیه‌ی شماره ساکن بین «جریان لغزشی» یا ناپیوستگی مماسی و جسم قرار دارد. در طول جریان لغزشی فشار پیوسته، ولی سرعت ناپیوسته است، شکل ۸-۱۱ را ببینید. (در عمل، با تشکیل ورقه گردابه، جریان لغزشی و شماره زیر آن ممکن است متلاطم باشد و نه ساکن.



شکل ۸-۱۱ انبساط در گوشه  $|\theta| > \nu_{\max}$  با تشکیل جریان لغزشی.

۱. جدول کاملتری را می‌توان در مراجع و پیوست دریافت.

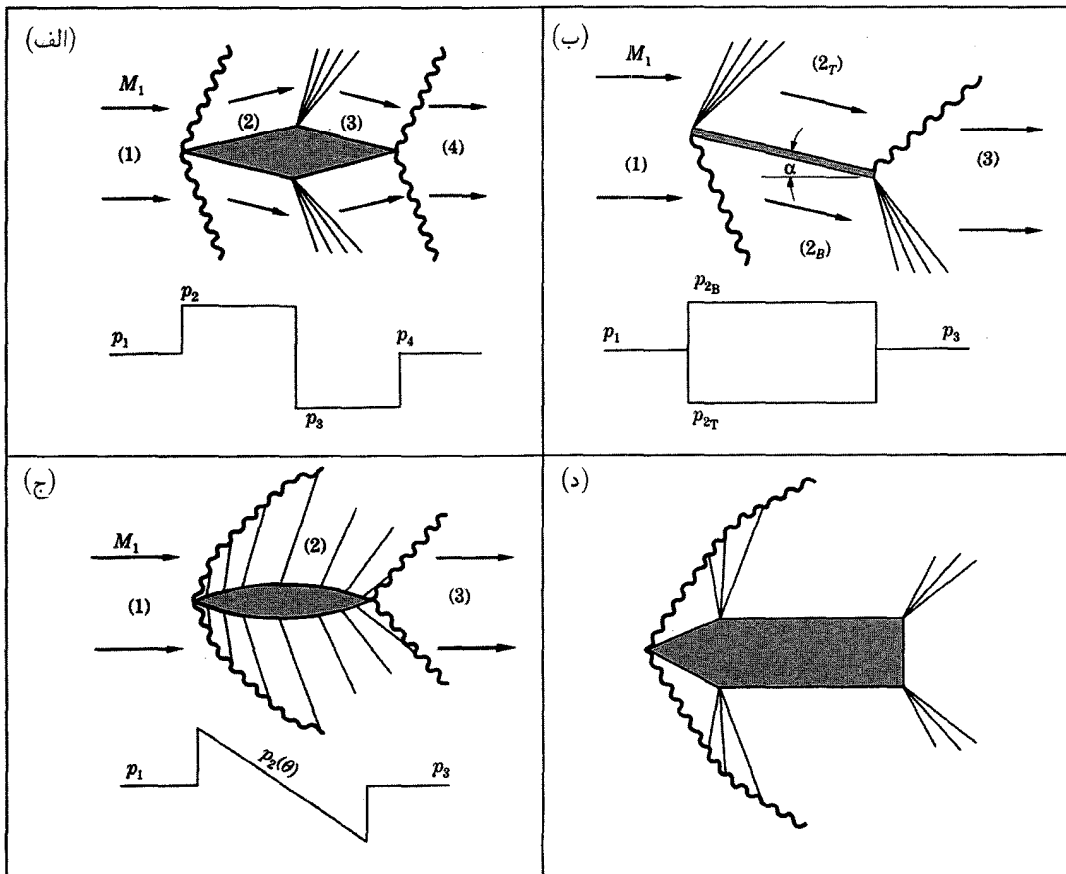
### ۳-۲-۸ ترکیب موجهای ضربه‌ای مایل و انبساطی

در جریان فراصوتی، با برهم‌نهی جوابهای معادله جریان انبساطی تک‌آنتروپی و موج ضربه‌ای مایل می‌توان طرح جریان را بر روی شکلهای نسبتاً پیچیده به دست آورد. چون جریان فراصوتی است، اثری از جریان بالادست موجود نیست و ممکن است با «رژه رفتن» از روی جسم، جریان را در امتداد مسیر محاسبه کرد. جریانهای موجود بر روی چند جسم ساده را در شکل ۸-۱۲ (ب) نشان داده‌ایم. نمودار فشار نیز در این شکل دیده می‌شود.

در شکل ۸-۱۲ (ب)، شاره جاری از بالا و پایین صفحه تخت مایل باید در پشت جسم در فشار آزاد جریان تمام شود. اما، سرعت، دما و چگالی در طول «سطح تماس» اندکی تغییر می‌کند. در این شکل، فشار زیر جسم در میان موج ضربه‌ای افزایش می‌یابد و فشار بالا در میان موج انبساطی کاهش خواهد یافت و به وارد شدن برآ بر روی صفحه می‌انجامد. برخلاف هواپر برای فروصوتی، هواپر فراصوتی دارای مؤلفه‌ای از این نیروی فشاری در جهت جریان است. این نیرو را، که نیروی پساست، به عنوان پسای موجی می‌شناسند.

در عمل، هواپیمای فراصوتی بالهایی دارند که از بعضی ملاحظات شبیه بالهای فروصوتی عمل می‌کنند، بنابراین پسای موجی را کاهش می‌دهند. بالهای فروصوتی را می‌توان در هواپیمای فراصوتی به کار برد، زیرا پسگرایی در بال به ایجاد مؤلفه سرعت عمود بر لبه حمله بال می‌انجامد، که فروصوتی است.

در پروازهای فراصوتی اولیه، بالها نازک و مستقیم (یعنی عمود بر بدنه هواپیما) بودند، و طرح جریان شبیه شکل ۸-۱۲ (ب) بود. در نخستین



شکل ۸-۱۲ جریان موج ضربه‌ای-انبساطی در پیرامون جسمهای دوبعدی.

آزمایشها، هواپیماها در ناحیه گذر صوتی بین سرعت‌های فروصوتی و فراصوتی قابل کنترل نبودند. در این ناحیه موجی ضربه‌ای عمود بر بال روی سطح رویی بال تشکیل می‌شود. لایه مرزی در موج ضربه‌ای جدا می‌شود، برآ را کاهش می‌دهد و تأثیر سطحهای کنترل را از بین می‌برد. دم هواپیما (سکان افقی) دچار همین افت انرژی می‌شود. در آن زمان راه‌حل این بود که دم را بالا بیاورند تا جریان هوای روی بال از زیر دم بگذرد و از تک هوایی چرخش‌پذیر به عنوان سکان افقی استفاده کنند. این مشکل در طراحی هواپیماهای ابرصوتی جدید با استفاده از بالهای پس‌گرا حل شده است.

### ۴-۲-۸ ناحیه‌های ساده و غیرساده

تاکنون درباره موجهای ضربه‌ای مایل ساده و موجهای تک‌آنتروپی انبساطی یا تراکمی بحث کرده‌ایم. در ناحیه‌هایی که این موجها برهم‌کنش می‌کنند و خمیده می‌شوند (خطهای مشخصه آنها دیگر خط راست نیست)، این راه‌حل‌های ساده دیگر اعتبار ندارد و از حل معادلات کامل باید استفاده شود. این معادلات به طور کلی غیرخطی هستند، اما در بعضی از حالت‌های ساده همچون جریان حول جسمهای نازک، این معادلات را می‌توان خطی کرد. درباره این راه‌حلها در بخش ۳-۸ بحث خواهیم کرد. مثالی درباره جریان غیر ساده در شیوره را در شکل ۸-۱۳ می‌بینیم.

### ۵-۲-۸ نظریه هواپرا نازک

جریان روی هواپراهای نازک را با زاویه‌های حمله کوچک، در صورتی که موجهای ضربه‌ای کاملاً ضعیف باشند، می‌توان تک‌آنتروپی پنداشت، و در این حالت نظریه موجهای ضربه‌ای-انبساطی بسیار ساده می‌شود. (بعدها همان نتیجه‌ها را از نظریه اختلال خطی شده به دست خواهیم آورد). برای موجهای ضربه‌ای ضعیف یا موجهای انبساطی، تغییر فشار تقریبی با توجه به معادله (۸-۷) و (۸-۹) عبارت است از

$$\frac{\Delta p}{p} \approx \frac{k M^2}{\sqrt{M^2 - 1}} \Delta \theta$$

و با فرض اینکه  $M$  بسیار نزدیک به  $M_1$  و  $p$  نزدیک به  $p_1$  است، داریم

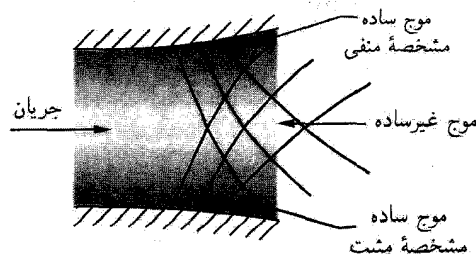
$$\frac{p - p_1}{p_1} \approx \frac{k M_1^2}{\sqrt{M_1^2 - 1}} \theta \quad (۱۶-۸)$$

ضریب فشار  $C_p$  به صورت زیر تعریف می‌شود

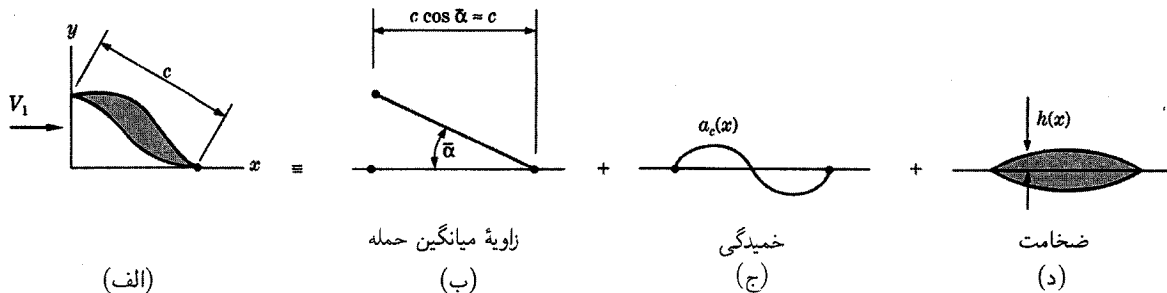
$$C_p = \frac{p - p_1}{\frac{1}{2} \rho_1 V_1^2} = \frac{p - p_1}{\frac{1}{2} k p_1 M_1^2} = \frac{2}{k M_1^2} (p/p_1 - 1) \quad (۱۷-۸)$$

که شاخص پایین «۱» بیانگر مقدار جریان آزاد است. بنابراین از معادلات (۱۶-۸) و (۱۷-۸)، خواهیم داشت

$$C_p = \frac{2\theta}{\sqrt{M_1^2 - 1}} \quad (۱۸-۸)$$



شکل ۸-۱۳ جریان غیرساده در شیوره. موجهای انبساطی برهم‌کنش می‌کنند و خطهای مشخصه دیگر مستقیم نیستند.



شکل ۸-۱۴ هواپر نازک با زاویه حمله کوچک. هواپر موجود در (الف) را می‌توان به (ب) و (ج) و (د) تجزیه کرد.

برای صفحه تختی با زاویه برخورد  $\alpha$ ، همچون شکل ۸-۱۲ (ب)، همان  $C_{pB} = +2\alpha/\sqrt{M_1^2 - 1}$  برای پایین، و  $C_{pT} = -2\alpha/\sqrt{M_1^2 - 1}$  برای بالاست. در این صورت، ضریبهای برآ و پسا عبارت‌اند از

$$C_L = \frac{\text{برآی واحد طول}}{\frac{1}{2}\rho_1 V_1^2 c} = \frac{(p_B - p_T)c \cos \alpha}{\frac{1}{2}\rho_1 V_1^2 c} = (C_{pB} - C_{pT}) \cos \alpha$$

$$C_D = \frac{\text{پسای واحد طول}}{\frac{1}{2}\rho_1 V_1^2 c} = \frac{(p_B - p_T)c \sin \alpha}{\frac{1}{2}\rho_1 V_1^2 c} = (C_{pB} - C_{pT}) \sin \alpha$$

که  $c$  طول وتر (پهنای هواپر) است. چون  $\alpha$  کوچک است،  $\cos \alpha \approx 1$  و  $\sin \alpha \approx \alpha$ ، و سرانجام برای صفحه تخت با زاویه حمله  $\alpha$ ، خواهیم داشت

$$C_L = \frac{4\alpha}{\sqrt{M_1^2 - 1}}, \quad C_D = \frac{4\alpha^2}{\sqrt{M_1^2 - 1}} \quad (19-8)$$

به طور کلی، می‌توان نشان داد که ضریبهای فشار برای هواپرهای نازک از رابطه زیر به دست می‌آید

$$C_{pT} = \frac{2}{\sqrt{M_1^2 - 1}} \left( \frac{df_T}{dx} \right), \quad C_{pB} = \frac{2}{\sqrt{M_1^2 - 1}} \left( -\frac{df_B}{dx} \right) \quad (20-8)$$

که  $F_B(x)$  و  $F_T(x)$  به ترتیب معادلات سطحهای بالا و پایین هواپر هستند (شکل ۸-۱۴ را ببینید). از معادله (۲۰-۸)،  $C_D, C_L$  را می‌توان به صورت زیر یافت

$$C_L = \frac{4\bar{\alpha}}{\sqrt{M_1^2 - 1}}, \quad C_D = \frac{4}{\sqrt{M_1^2 - 1}} \left[ \left( \frac{dh}{dx} \right)^2 + (\bar{\alpha})^2 + \alpha_c^2(x) \right] \quad (21-8)$$

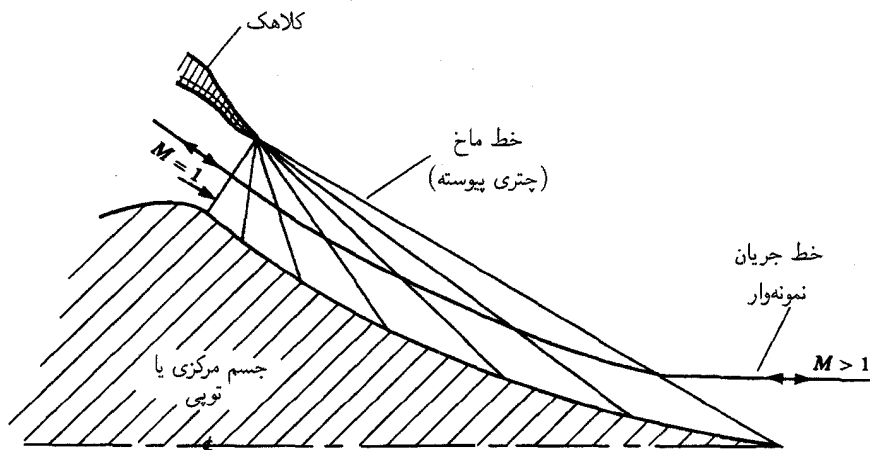
که  $h(x)$  نیم ضخامت هواپر،  $\bar{\alpha}$  زاویه میانگین حمله، و  $\alpha_c(x)$  زاویه موضعی حمله خط خمیدگی نسبت به زاویه میانگین حمله با شیب  $\bar{\alpha}$ ، همچون شکل ۸-۱۴، است.

همین نتیجه‌ها را بعداً از نظریه اختلال به دست خواهیم آورد.

### ۸-۲-۶ شیپوره تویی وار

شیپوره‌های واگرا-همگرا را در فصل ۷ بررسی کردیم. به دنبال آن در بخش ۸-۴ درباره ویژگیهای دوبعدی این شیپوره‌ها بحث خواهیم کرد. نوع دیگر شیپوره که کاربرد وسیعی در طراحی موتورهای جت فراصوتی دارد، شیپوره تویی وار است. جریان در این شیپوره، خارجی است و انبساط از طریق چتری انبساط پرتل-مایر انجام می‌گیرد. شکل ۸-۱۵ نصف مقطع شیپوره تویی وار دوبعدی را نشان می‌دهد. جسم مرکزی





شکل ۸-۱۵ شیپوره تویی‌وار. شیپوره تک‌آنتروپی خوش‌طرح در جهت جریان برای شتاب‌دهی یا پخش جریان برگشت‌پذیر است. مقطع (نیمه بالایی) در شکل دیده می‌شود. طراحی مشابهی را می‌توان برای جسم دورانی (با جریان متقارن محوری) انجام داد.

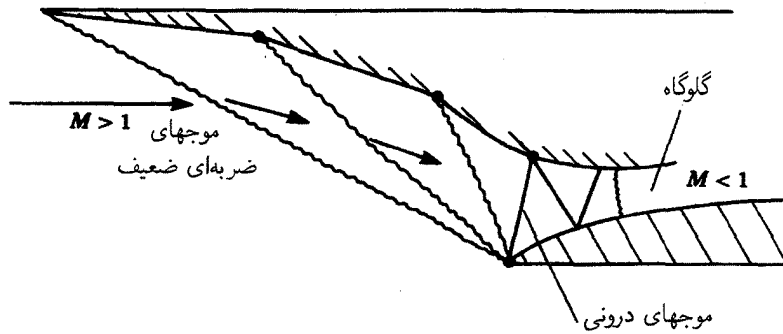
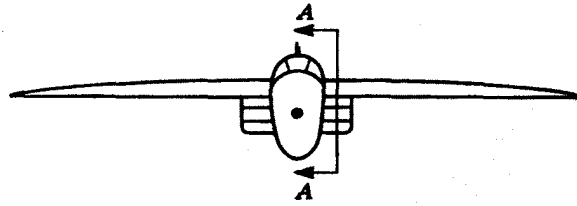
انبساط پیوسته (یا در صورتی که جریان معکوس شود تراکم) به وجود می‌آورد. خطهای مشخصه (خطهای ماخ) را می‌توان با طراحی مناسب در یک نقطه متمرکز کرد. در امتداد هر یک از خطهای ماخ بردار سرعت موازی، و تمام خواص ثابت است. شکل سطح جسم مرکزی را می‌توان به آسانی از خواص تابع پرنتل-مایر و معادله پیوستگی به دست آورد.

### ۷-۲-۸ ورودیهای موتور جت در سرعتهای فراصوتی

از شیپوره‌ها برای تولید جریان فراصوتی در موشکها و برعکس برای پخش جریان به فراصوتی و تبدیل آن جریان فروصوتی پرفشار استفاده می‌شود. کاربرد اخیر آن در طراحی ورودی موتورهای جت فراصوتی مورد توجه بسیار است. در این حالت هوا پخش می‌شود و فشار آن قبل از ورود به کمپرسور موتور تا حد امکان بالا می‌رود. با استفاده از شیپوره همگرا-واگرایی معمولی (که در فصل ۷ بحث شد) در جهت عکس، جریانی که به خروجی شیپوره وارد می‌شود و از طریق گلوگاه به کمپرسور موتور بر می‌گردد، به طور ایده‌آل به فشار سکون تک‌آنتروپی خود می‌رسد.

عیب شیپوره همگرا-واگرایی معمولی آن است که با شتابگیری هواپیما تا سرعت لازم برای ایجاد موج ضربه‌ای کمانی در جلوی موتور، نیروی پسیا بزرگی به وجود می‌آید و باعث کاهش فشار سکون در پشت موج ضربه‌ای می‌شود. سرانجام، شیپوره موتور موج ضربه‌ای را می‌بلعد و به کارکردی بدون موج ضربه‌ای همراه با بازیافت عالی فشار دست می‌یابیم. اما، برای بلعیده شدن موج ضربه‌ای، سرعت هواپیما باید فراتر از سرعت بهینه‌اش باشد و سپس به حالت کم‌سرعت برگردد. این عمل نامناسب، و سوخت ناکافی است. وانگهی، هر شیپوره مفروض فقط در گستره عدد ماخ محدودی به طور مؤثر کار می‌کند. روشی مؤثرتر برای پخش هوای ورودی بدون افت زیاد فشار سکون، استفاده از شیپوره تویی‌وار است که در بخش قبلی بررسی شد. مزیت این شیپوره‌ها کاری است که به فراسرعت شدن نیاز ندارند و در گستره عدد ماخ گسترده‌ای به طور آرام‌تر کار می‌کنند.

نوع استوانه‌ای شیپوره تویی‌وار در هواپیمای شناسایی «پرنده سیاه»، SR-71 که در ارتفاع بالا باید پرواز کند، به کار رفته است. برای هواپیماهایی که باید در گستره سرعتی گسترده‌تری پرواز کنند، بهتر است از شیپوره (پروازی) متغیر استفاده شود. در عمل، این کار فقط در پیکربندیهای دوبعدی که یک طرف مجرای مستطیلی را می‌توان تنظیم کرد، انجام‌پذیر است. برای تأمین شکل خمیده شیپوره تویی‌وار از دویا سه صفحه یا شیب‌راهه کوچک کنترل‌پذیر استفاده می‌کنند. به جای تراکم تک‌آنتروپی پیوسته، مجموعه موجهای ضربه‌ای گسسته، اما ضعیف، به وجود می‌آید. هر چند موجهای ضربه‌ای ضعیف به اندازه سطح خمیده هموار در بازیابی فشار سکون مؤثر نیستند، بهبودسازی تک‌موج ضربه‌ای قائم اهمیت دارد. شکل ۸-۱۶ مقطع چنین ورودی‌ای را نشان می‌دهد

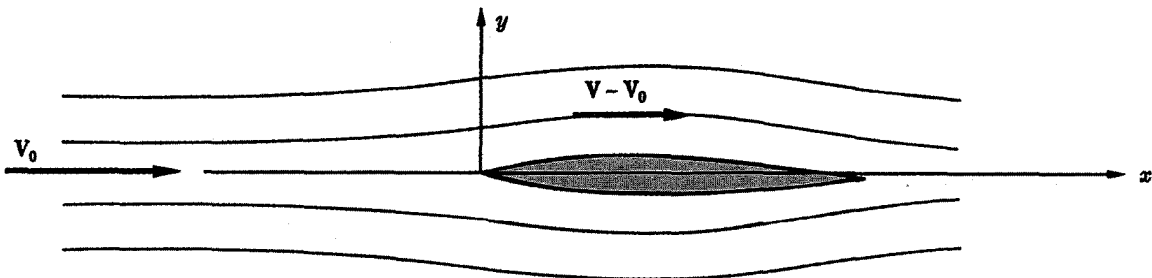


شکل ۸-۱۶ ورودی شیب دار تنظیم پذیر فراصوتی در جت های جنگنده جدید. مقطع A-A را نشان داده ایم.

### ۳-۸ اختلالاتهای کوچک و نظریه خطی شده

#### ۱-۳-۸ نظریه اختلال

اگر جریان را هم آنتروپی (سرتاسر تک آنتروپی) در نظر بگیریم، یعنی جریانی غیرچرخشی و بی اصطکاک که  $h_0$  در سرتاسر آن یکسان باشد، آن گاه معادله (۸-۶) را به عنوان معادله اصلی حاکم می توان به کار برد. موج ضربه ای نباید به وجود آید، بنابراین خود را به موجهای ضربه ای و انبساطی ضعیف و تقریباً تک آنتروپی محدود کنیم. مفهوم فیزیکی آن استفاده از هوا برهای دوبعدی نازک یا بدنه های استوانه ای نازک برای محدود کردن قدرت موج ضربه ای است. به بیان ریاضی، سرعت در همه جا نزدیک به سرعت جریان آزاد  $V_0$  یا  $V_1$ ، همچون در بخش قبل است. با توجه به شکل ۸-۱۷، سرعت را در هر نقطه جریان به صورت سرعت جریان آزاد  $V_0$  به اضافه سرعت کوچک اختلال  $v'$  تعریف می کنیم. بنابراین



شکل ۸-۱۷ اختلال جریان یکنواخت  $V_0$  توسط جسم نازک.

$$\begin{aligned} u &= V_0 + u' & \frac{u'}{V_0} &\ll 1 \\ v &= v' & \frac{v'}{V_0} &\ll 1 \\ w &= w' & \frac{w'}{V_0} &\ll 1 \end{aligned} \quad (22-8)$$

با نشان دادن آنها در شکل سه بعدی معادله (۵-۸) و حذف  $a^2$  با استفاده از معادله انرژی گازهای کامل به شکل زیر

$$\frac{(V_0 + u')^2 + v'^2 + w'^2}{2} + \frac{a^2}{k-1} = \frac{V_0^2}{2} + \frac{a_0^2}{k-1} \quad (23-8)$$

معادله اختلال را برای سرعتها به شکل زیر به دست می آوریم

$$\begin{aligned} (1 - M_0^2) \frac{\partial u'}{\partial x} + \frac{\partial v'}{\partial y} + \frac{\partial w'}{\partial z} &= M_0^2 \left[ (k+1) \frac{u'}{V_0} + \frac{k+1}{2} \frac{u'^2}{V_0^2} + \frac{k-1}{2} \frac{v'^2 + w'^2}{V_0^2} \right] \frac{\partial u'}{\partial x} \\ &+ M_0^2 \left[ (k-1) \frac{u'}{V_0} + \frac{k+1}{2} \frac{v'^2}{V_0^2} + \frac{k-1}{2} \frac{w'^2 + u'^2}{V_0^2} \right] \frac{\partial v'}{\partial y} \\ &+ M_0^2 \left[ (k-1) \frac{u'}{V_0} + \frac{k+1}{2} \frac{w'^2}{V_0^2} + \frac{k-1}{2} \frac{u'^2 + v'^2}{V_0^2} \right] \frac{\partial w'}{\partial z} \\ &+ M_0^2 \left[ \frac{v'}{V_0} \left( 1 + \frac{u'}{V_0} \right) \left( \frac{\partial u'}{\partial y} + \frac{\partial v'}{\partial x} \right) + \frac{w'}{V_0} \left( 1 + \frac{u'}{V_0} \right) \left( \frac{\partial u'}{\partial z} + \frac{\partial w'}{\partial x} \right) + \frac{v'w'}{V_0^2} \left( \frac{\partial w'}{\partial y} + \frac{\partial v'}{\partial z} \right) \right] \end{aligned} \quad (24-8)$$

که معادله کاملی است. اگر فرض کنیم که  $u'$ ،  $v'$  و  $w'$  خیلی کوچکتر از  $V_0$  هستند، آنگاه معادله مرتبه دوم ساده زیر به دست می آید

$$\begin{aligned} (1 - M_0^2) \frac{\partial u'}{\partial x} + \frac{\partial v'}{\partial y} + \frac{\partial w'}{\partial z} &= M_0^2 (k+1) \frac{u'}{V_0} \frac{\partial u'}{\partial x} + M_0^2 (k-1) \frac{u'}{V_0} \left( \frac{\partial v'}{\partial y} + \frac{\partial w'}{\partial z} \right) \\ &+ M_0^2 \frac{v'}{V_0} \left( \frac{\partial u'}{\partial y} + \frac{\partial v'}{\partial x} \right) + M_0^2 \frac{w'}{V_0} \left( \frac{\partial u'}{\partial z} + \frac{\partial w'}{\partial x} \right) \end{aligned} \quad (25-8)$$

که برای گستره کامل عددهای ماخ از فروصوتی و گذرصوتی تا فراصوتی و ابرصوتی مناسب است. اما، شکل خطی ساده تری را که برای جریان فروصوتی و فراصوتی، اما نه برای جریان گذر صوتی که  $M \approx 1$  و نه برای جریان ابرصوتی که  $M > 6$ ، مناسب است، با حفظ فقط جمله های مرتبه اول به صورت زیر می توان به دست آورد

$$(1 - M_0^2) \frac{\partial u'}{\partial x} + \frac{\partial v'}{\partial y} + \frac{\partial w'}{\partial z} = 0 \quad (26-8)$$

معادله (۲۵-۸) را می توان برای جریان گذرصوتی به صورت ساده زیر در آورد

$$(1 - M_0^2) \frac{\partial u'}{\partial x} + \frac{\partial v'}{\partial y} + \frac{\partial w'}{\partial z} = M_0^2 (k+1) \frac{u'}{V_0} \frac{\partial u'}{\partial x} \quad (27-8)$$

که هنوز معتبر، و در واقع بهتر از معادله (۲۶-۸) برای جریانهای فروصوتی و فراصوتی است، ولی غیرخطی است. غالباً بهتر است که معادلات اختلال را برحسب پتانسیل اختلال سرعت  $\mathbf{v}' = -\nabla\phi$  نوشت، که در این صورت برای معادله (۲۶-۸) داریم

$$(1 - M_0^2) \frac{\partial^2 \phi}{\partial x^2} + \frac{\partial^2 \phi}{\partial y^2} + \frac{\partial^2 \phi}{\partial z^2} = 0 \quad (28-8)$$

و برای معادله (۲۷-۸) خواهیم داشت

$$(1 - M_0^2) \frac{\partial^2 \phi}{\partial x^2} + \frac{\partial^2 \phi}{\partial y^2} + \frac{\partial^2 \phi}{\partial z^2} = \frac{M_0^2 (k+1)}{V_0} \frac{\partial \phi}{\partial x} \frac{\partial^2 \phi}{\partial x^2} \quad (29-8)$$

معادله (۲۸-۸) خطی است و برای هواپره‌های نازک در جریان فروصوتی و فراصوتی به آسانی حل می‌شود. برای عددای ماخ کم،  $(1 - M_0^2) \approx 1$  و  $\nabla^2 \phi = 0$  که دقیقاً همان معادله‌ای است که در فصل ۶ با فرض تراکم‌ناپذیر بودن جریان (و در نتیجه  $M \ll 1$ ) به کار رفت. اکنون، دربارهٔ جریان فروصوتی تراکم‌پذیر با استفاده از معادله (۲۸-۸) می‌توان بحث کرد. شکل معادله (۲۸-۸) از بیضوی برای جریان فروصوتی که  $M < 1$  (و اثر جسم در سرتاسر میدان جریان به جا می‌ماند) تا هذلولوی برای جریان فراصوتی که  $M > 1$  (و جسم هیچ‌گونه اثری بر جریان بالادست ندارد و جوابها اختلالهایی موج‌گونه‌اند که در امتداد خطهای مشخصه انتشار می‌یابند) تغییر می‌کند.

### ۲-۳-۸ ضریب فشار در نظریهٔ خطی شده

ضریب فشار تعریف شده با معادله (۱۷-۸) و فشار  $p$  را می‌توان برحسب مؤلفه‌های  $\mathbf{V}$  (با استفاده از معادلهٔ انرژی) به صورت زیر نوشت

$$C_p = \frac{2}{k M_0^2} \left\{ \left[ 1 + \frac{1}{2} (k-1) M_0^2 (1 - V^2/V_0^2) \right]^{k/(k-1)} - 1 \right\} \quad (30-8)$$

با وارد کردن سرعتهای اختلال، بسط معادله و حفظ جمله‌های مرتبهٔ دوم، داریم

$$C_p = - \left[ \frac{2u'}{V_0} + (1 - M_0^2) \frac{u'^2}{V_0^2} + \frac{v'^2 + w'^2}{V_0^2} \right] \quad (31-8)$$

برای جریانهای صفحه‌ای دوبعدی کافی است که فقط جمله‌های مرتبهٔ اول را نگه داریم، و در این صورت

$$C_p = - \frac{2u'}{V_0} \quad (32-8)$$

برای جریان روی بدنه‌های استوانه‌ای نازک، جملهٔ مرتبهٔ دوم را باید حفظ کرد، و

$$C_p = - \frac{2u'}{V_0} - \frac{v'^2 + w'^2}{V_0^2} \quad (33-8)$$

### ۳-۳-۸ شرایط مرزی

مفهوم فیزیکی شرط مرزی این است که بردار سرعت باید مماس بر سطح جسم باشد. اگر سطح جسم را با معادلهٔ زیر تعریف کنیم

$$f(x, y, z) = 0$$

این شرط مرزی به صورت زیر است

$$\mathbf{V} \cdot \nabla f = 0 \quad (34-8)$$

با نوشتن صریح معادله (۳۴-۸) برحسب  $u'$ ،  $v'$  و  $w'$  به شرط لازم برای جریان دوبعدی در صفحهٔ  $xy$  (با  $y$  کوچک)، که تا مرتبهٔ سازگاری دقیق است، می‌رسیم

$$v'(x, y = 0) = V_0 \left( \frac{dy}{dx} \right)_{\text{جسم}} \quad (35-8)$$

در جریان صفحه‌ای (برای جسمهای نازک و اساساً سه‌بعدی تخت همچون بالها) جریان شبه‌دو بعدی است و شرط مرزی روی سطح به صورت زیر در می‌آید

$$v'(x, z) = V_0 \left( \frac{\partial y}{\partial x} \right)_{\text{جسم}} \quad (۳۶-۸)$$

که جسم در صفحه  $xz$  قرار دارد و تقریباً در صفحه  $xy$  دو بعدی است.

برای جریان حول جسمهای استوانه‌ای نازک، وضعیت قدری پیچیده‌تر است و در اینجا بررسی نمی‌شود. خواننده می‌تواند به مرجعها مراجعه کند. یادآور می‌شویم که سرعت  $v'(x)$  در  $y = 0$  و نه واقعاً روی سطح جسم، محاسبه می‌شود. این تقریب با تقریب جسم نازک همخوانی دارد.

### ۸-۳-۴ نظریهٔ هوا بر نازک فراصوتی

نظریهٔ اختلال را می‌توان برای هوا برهای نازک دو بعدی نیز به کار برد. نتیجه‌ها مشابه جوابهای موج ضربه‌ای ضعیف‌اند که قبلاً در بخش ۲.۸ بررسی کردیم

### ۸-۴ روش مشخصه‌ها

در جریانهای پیچیده که نه نظریهٔ سادهٔ موج ضربه‌ای-انبساطی بسنده می‌کند و نه نظریهٔ خطی شده، معادلات غیرخطی اولیه را باید با روشهای عددی حل کرد. روش مشخصه‌ها امکان ساده‌سازی این معادلات را در گسترهٔ فراصوتی فراهم می‌کند و شیوهٔ ریاضی تثبیت‌شده‌ای را که سازگاری خوبی با تحلیل عددی دارد، در اختیار می‌گذارد.

### ۸-۴-۱ معادلات بیضوی و هذلولوی

معادلاتی که جریان فروصوتی را بیان می‌کنند بیضوی، و معادلاتی که جریان فراصوتی را بیان می‌کنند هذلولوی‌اند و روشهای تحلیل عددی به کار رفته برای این دو کاملاً متفاوت‌اند. در جریان فروصوتی، هر اختلالی را در سرتاسر میدان جریان کلی می‌توان احساس کرد، و از روش واهلش برای حل این معادلات بیضوی باید استفاده کرد. در اینجا، شرایط مرزی را باید در امتداد مرزی که کاملاً ناحیهٔ مورد نظر را در بر می‌گیرد، تعیین کرد و میدان جریان کلی را به طور همزمان در نظر گرفت. اما، در جریان فراصوتی (با معادلات هذلولوی)، اختلالها و اطلاعات فقط در جهت جریان پایین‌دست، انتشار می‌یابد و شرایط مرزی را باید فقط در امتداد جسم واقع در بالای دست جریان مشخص کرد. اکنون، با «قدم زدن» به سوی پایین‌دست جریان می‌توان محاسبات را، بدون نیاز به تکرار آنها در میدان جریان برای احتساب شرط جریان پایین‌دست همچون در جریان فروصوتی، انجام داد.

معادلهٔ هذلولوی معادله‌ایست که به مشخصه‌ها منجر می‌شود، اما تعریف دقیق ریاضی آن را در اینجا ارائه نمی‌دهیم. تفاوت‌های عمدهٔ بین معادلات دیفرانسیل بیضوی و هذلولوی را، با فرض کردن  $\phi$  به عنوان متغیر وابسته، در جدول زیر آورده‌ایم.

معادلهٔ بیضوی	معادلهٔ هذلولوی
۱. برای جلوگیری از تکینگی، $\phi$ یا $\partial\phi/\partial n$ را باید از قبل روی مرزی بسته تعریف کرد.	۱. $\phi$ یا $\partial\phi/\partial n$ را می‌توان روی مرزی باز مشخص کرد. تکینگیها به علت شرایط مرزی مقرر روی مرز بسته به وجود می‌آیند.
۲. تغییر در شرایط مرزی بر روی ناحیهٔ کلی جریان اثر می‌گذارد.	۲. تغییر در شرط مرزی فقط بر روی ناحیهٔ محدودی از جریان اثر می‌گذارد.
۳. حل معادله باید تحلیلی باشد.	۳. راه حل نباید حتماً تحلیلی باشد (موجهای ضربه‌ای همان تکینگیها هستند).

## ۲-۴-۸ مشخصه‌ها

در اینجا، نظریه عمومی ریاضی معادلات مشخصه و معادلات دیفرانسیل هذلولوی را بحث نخواهیم کرد. به جای آن، به بحث فیزیکی ساده‌ای درباره مشخصه‌ها، به همان صورتی که در دینامیک گازی دوبعدی ظاهر می‌شوند، می‌پردازیم و سپس روش محاسبه عددی را به اختصار بیان می‌کنیم.

نخست، جریان هم‌آنتروپی دوبعدی پایایی را در نظر می‌گیریم. ساختار موجهای ضربه‌ای را با معادلات این جریان نمی‌توان بیان کرد، زیرا موجهای ضربه‌ای شامل فرایندهای برگشت‌ناپذیرند. اما، موجهای ضربه‌ای می‌توانند جوابهای مجاز باشند (اگر شرایط مرزی از نوع خاصی باشد)، زیرا موجهای ضربه‌ای متناظر با تکنیکهای جواب دستگاه معادلات هذلولوی‌اند. از این رو، جریان در ناحیه‌هایی که شامل موجهای ضربه‌ای نیستند و یا توسط موجهای ضربه‌ای محصور می‌شوند، هم‌آنتروپی خواهد بود. اگر موج ضربه‌ای رخ دهد، برای تعیین مکان آن به محاسبات آزمون و خطا نیاز است. به عنوان مثال، در شیوره‌ای همگرا-واگرا با کارکرد بحرانی، اگر هر دو فشار ورودی و خروجی مشخص باشند، موجی ضربه‌ای در پایین دست جریان گلوگاه رخ می‌دهد. جریان در این قسمت پایین دست گلوگاه، فراصوتی است و با استفاده از روش مشخصه‌ها می‌توان آن را بازنمایی کرد. اما، با پیشروی به سوی مقطع خروجی در پایین دست جریان، فشار نهایی ممکن است فشاری نباشد که قبلاً مشخص شده بود. فقط با وارد شدن موج ضربه‌ای در شیوره، فشار خروجی متناظر با مقدار فشار قبلی خواهد بود. بنابراین، هرگاه تعداد شرایط مرزی در دستگاه معادلات هذلولوی زیاد باشد، به تکنیکی (موج ضربه‌ای) خواهد انجامید. البته، (این فراتعین‌شدگی ممکن است مشخصه‌ای فیزیکی، و نه صرفاً ریاضی، باشد). معمولاً روش مشخصه‌ها مفیدترین روش در حالتی است که موج ضربه‌ای رخ نمی‌دهد و فقط شرایط مرزی روی جسم واقع در بالادست جریان مشخص شده‌اند. در این صورت، با پیشروی به سوی پایین دست جریان و بدون نیاز به تکرار یا آزمون و خطا، محاسبات را در امتداد مسیر می‌توان انجام داد.

معادله (۲۸-۸) برحسب  $\phi$  به شکل زیر است

$$(1 - M_0^2) \frac{\partial^2 \phi}{\partial x^2} + \frac{\partial^2 \phi}{\partial y^2} + \frac{\partial^2 \phi}{\partial z^2} = 0$$

اگر  $M_0 < 1$ ، این معادله بیضوی و اگر  $M_0 > 1$ ، هذلولوی است. اما به طور کلی، به استفاده از روش مشخصه‌ها برای حل این معادله ساده خطی شده نیاز نیست. به جای آن، معادلات غیرخطی کامل مورد نظر است. معادلات عمومی (۵-۸) را در نظر می‌گیریم

$$(u^2 - a^2) \frac{\partial u}{\partial x} + (v^2 - a^2) \frac{\partial v}{\partial y} + uv \left( \frac{\partial u}{\partial y} + \frac{\partial v}{\partial x} \right) = 0$$

$$\frac{\partial v}{\partial x} - \frac{\partial u}{\partial y} = 0$$

پرسش این است: با چه شرطی این معادلات به معادلات ساده‌ای تبدیل می‌شوند که متغیری یک‌بعدی (در هر نقطه در فضا) دارند؟ یعنی، تغییرات فقط عمود بر خط مشخصه، و نه در امتداد آن، است. اکنون، در جستجوی شرطی هستیم که با ترکیب معادلات بالا به شکل کلی زیر به دست آید

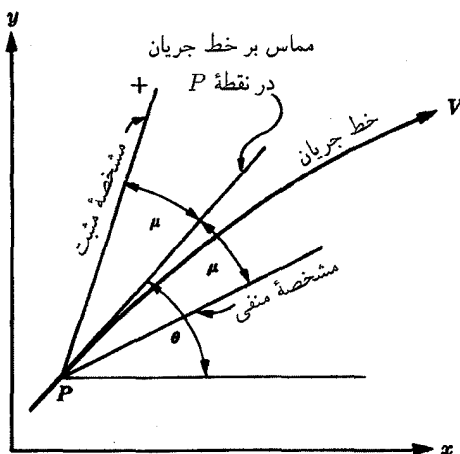
$$A \frac{\partial u}{\partial \alpha} + B \frac{\partial v}{\partial \alpha} = 0 \quad (۳۷-۸)$$

که  $\partial/\partial\alpha = \cos\chi \partial/\partial x + \sin\chi \partial/\partial y$ . با فرض  $\tan\chi = \zeta$ ، و ضرب نخستین معادله (۵-۸) در  $\lambda_1$  و دومین معادله در  $\lambda_2$  و جمع آنها، در صورتی که  $\lambda_1$  و  $\lambda_2$  در شرایط خاص صدق کنند، شکل معادله (۳۷-۸) را به صورت زیر می‌توان یافت

$$\frac{\lambda_2 - \lambda_1 uv}{\lambda_1 (a^2 - u^2)} = \zeta, \quad \frac{\lambda_1 (v^2 - a^2)}{(\lambda_2 - \lambda_1 uv)} = \zeta$$

با حذف  $\lambda_1$  و  $\lambda_2$  رابطه زیر به دست می‌آید

$$(a^2 - u^2)\zeta^2 - 2uv\zeta + (a^2 - v^2) = 0 \quad (۳۸-۸)$$



شکل ۱۸-۸ دستگاه مختصات قطبی و مشخصه‌ها.

$\zeta$  جهت  $\alpha$  را تعیین می‌کند؛  $\zeta$  فقط در صورتی وجود دارد که

$$(u^2 + v^2) > a^2; \quad M > 1$$

یعنی، جریان فراصوتی است ( $M > 1$ ). جهت‌های  $\alpha$ ، که با دو ریشه معادله (۳۸-۸) تعریف می‌شوند، مشخصه‌های مثبت و منفی‌ای هستند که با  $\zeta_+$  و  $\zeta_-$  مشخص می‌شوند. می‌توان نشان داد که

$$\zeta_+ \zeta_- = (a^2 - v^2)/(a^2 - u^2)$$

با دستیابی به  $\lambda_1$  و  $\lambda_2$  می‌توان نشان داد که اگر  $dy = \zeta_+ dx$  و سپس  $du = -\zeta_- dv$  در نظر بگیریم و اگر رابطه  $dy = -\zeta_- dx$  سپس  $du = -\zeta_+ dv$  را باید در نظر گرفت. بنابراین به رابطه‌های زیر می‌رسیم که هم‌ارز معادله دیفرانسیل اصلی (۵-۸) است،

$$\begin{aligned} du = -\zeta_- dv, & \quad dy = \zeta_+ dx & \text{روی} \\ du = -\zeta_+ dv, & \quad dy = -\zeta_- dx & \text{روی} \end{aligned} \quad (۳۹-۸)$$

اما، کار در مختصات قطبی مناسبتر است. فرض می‌کنیم که در شکل ۱۸-۸،  $u = V \cos \theta$  و  $v = V \sin \theta$ ، بنابراین

$$dv = \sin \theta dV + V \cos \theta d\theta \quad \text{و} \quad du = \cos \theta dV - V \sin \theta d\theta$$

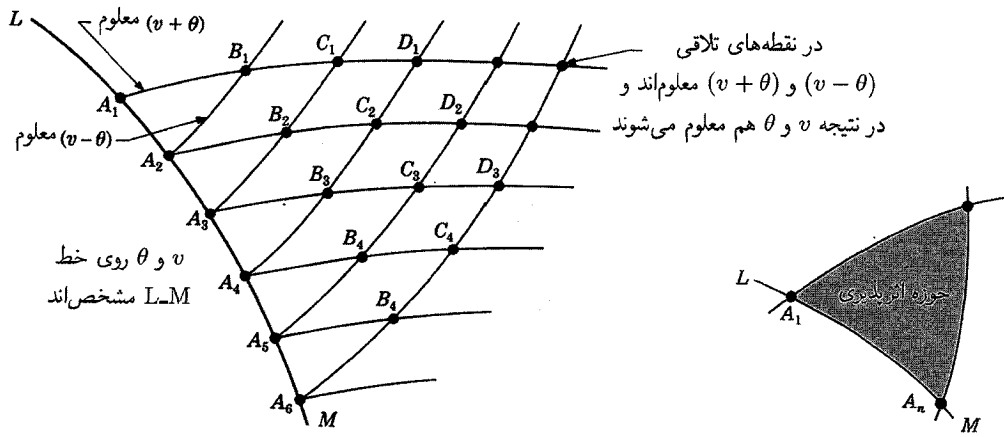
با نشان دادن آنها در معادله (۳۹-۸)، مشخصه‌های (+) و (-) به ترتیب عبارت‌اند از

$$\frac{\cot \mu}{V} dV = +d\theta, \quad \frac{\cot \mu}{V} dV = -d\theta \quad (۴۰-۸)$$

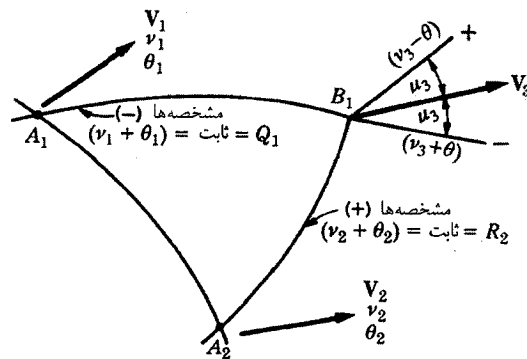
و  $\zeta_+ = \tan(\theta + \mu)$  و  $\zeta_- = \tan(\theta - \mu)$ . سپس از معادله انرژی برای بیان  $V$  برحسب  $M$  می‌توان استفاده کرد و

$$\pm d\theta = \frac{\sqrt{M^2 - 1} dM}{M[1 + \frac{1}{\gamma}(k-1)M^2]} = dv(M)$$

که پس از انتگرال‌گیری  $v(M)$  به دست می‌آید. بنابراین چون،  $\pm d\theta - dv = 0$ ،  $(v - \theta)$  با مشخصه (+) ثابت است و  $(v + \theta)$  با مشخصه (-) ثابت خواهد بود. اگر هر دو پارامتر  $v$  و  $\theta$  روی خط  $L-M$  مشخص شده باشند، با کار روی جریان پایین دست و تعیین نقطه‌های تلاقی  $\theta$  و



شکل ۸-۱۹ (الف) ساختار مشخصه‌ها در مختصات قطبی.



شکل ۸-۱۹ (ب) جزئیات روش محاسباتی.

$v$  می‌توان شبکه‌ای را ساخت. با معلوم بودن  $v$  و  $\theta$ ، عدد ماخ، جهت جریان، و سرعت را می‌توان یافت. با توجه به شکل ۸-۱۹ (الف)،  $v$  و  $\theta$  را در امتداد پاره خط  $L-M$  مشخص می‌کنیم. آنگاه جهت مشخصه‌ها معلوم می‌شوند، که روی مجموعه نقطه‌های دلخواه  $A_1, A_2, \dots, A_n$  قرار دارند. مشخصه‌های  $(+)$  و  $(-)$  را به نخستین مجموعه تلاقیهای  $B_1, \dots, B_{n-1}$  متصل می‌کنیم. در هر یک از این نقطه‌ها  $(v + \theta)$  و  $(v - \theta)$  معلوم اند و بنابراین  $v$  و  $\theta$  را می‌توان صریحاً یافت و سپس  $\mu$ ،  $M$  و جهت جدید مشخصه‌های  $\pm$  را کشید. این مجموعه خطهای جدید در نقطه‌های  $C_1, C_2, \dots, C_{n-2}$  تلاقی می‌کنند. این فرایند در سرتاسر گستره اثر پذیری که با مشخصه‌های  $A_1$  تا  $A_n$  محصور شده‌اند، ادامه می‌یابد. به طور کلی، در ناحیه‌های جریان غیرساده مشخصه‌ها خمیده‌اند، اما پاره‌خطهایی بین تلاقیها با خطهای راست کشیده شده‌اند. هر چه شبکه ظریف‌تر باشد، جواب دقیق‌تر خواهد بود.

برای تشریح کامل‌تر، نمودار بزرگ شده ۸-۱۹ (ب) را در نظر می‌گیریم. در نقطه  $B_1$ ، داریم

$$v_3 = \frac{1}{4}(v_1 + v_2) + \frac{1}{4}(\theta_1 - \theta_2)$$

$$\theta_3 = \frac{1}{4}(v_1 - v_2) + \frac{1}{4}(\theta_1 + \theta_2)$$

خطهای مشخصه در فاصله بین نقطه‌های شبکه را راست فرض می‌کنیم.

نظریه کامل مشخصه‌ها برای جریان تراکم‌پذیر خارج از بحث ماست و علاقمندان می‌توانند به مرجعها مراجعه کنند.



۳-۴-۸ روش موجهای ضعیف یا روش ناحیه به ناحیه

روش محاسباتی ساده‌ای را در جریان دوبعدی می‌توان به کار برد که اساساً هم‌ارز روش مشخصه‌هاست، اما قدری ساده‌تر و از نظر فیزیکی قابل درک‌تر است. در هر نقطه جریان فراصوتی خط مشخصه‌ای را می‌توان رسم کرد و پیوستاری حاوی خطهای مشخصه در جریان وجود دارد. از سوی دیگر، روش موجهای ضعیف مبتنی بر انبساط یا تراکم واقعی موجهاست. در جریان گذرنده از روی دیواره یا سطح جامد، خطهای مشخصه را می‌توان از هر نقطه‌ای کشید. اما، موجهای متناهی در نقطه‌های مجزایی ایجاد می‌شوند که محل برخورد (رأس) پاره‌خطهای راست‌اند. اگر دیواره محدب باشد و آن را با مجموعه پاره‌خطهای راست بتوان تقریب زد، در هر یک از این نقطه‌های برخورد (رأس) چتری انبساطی تشکیل می‌شود. اگر دیواره مقعر (با زاویه‌های کوچک) باشد، موجهای ضربه‌ای ضعیف در هر یک از گوشه‌های درونی تشکیل می‌شود (شکل ۸-۲۰).

در روش موجهای ضعیف هر یک از چتریه‌های انبساطی یا موجهای ضربه‌ای ضعیف با یک موج تک‌آنتروپی‌ای جایگزین می‌شود که هم‌ارز چتری یا موج ضربه‌ای ضعیف (برحسب بردار سرعت و تغییرات خاصیت) است. روش محاسباتی برای جریان دوبعدی مطابق شکل ۸-۲۱ به ترتیب زیر است:

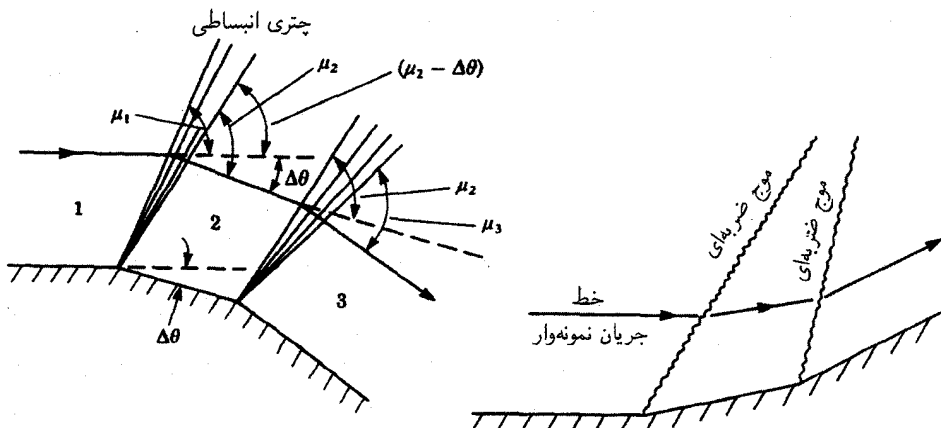
۱. سطح خمیده (الف) با پاره‌خطهای راست (ب) جایگزین می‌شود.
۲. چتریه‌های انبساطی و موجهای ضربه‌ای واقعی (ب) با موجهای تکی (ج) جایگزین می‌شوند.
۳. موجهای تکی چتریه‌ای را که با خطهای ماخ تحت زاویه  $\mu$  نسبت به بردارهای سرعت ترسیم شده‌اند، «دو نیم» می‌کنند.
۴. رابطه تغییر جهت جریان  $\Delta\theta$  در میان موج با تغییر تابع پرتل-مایر در عرض موج به صورت زیر است

$$\Delta\nu = \pm|\Delta\theta|$$

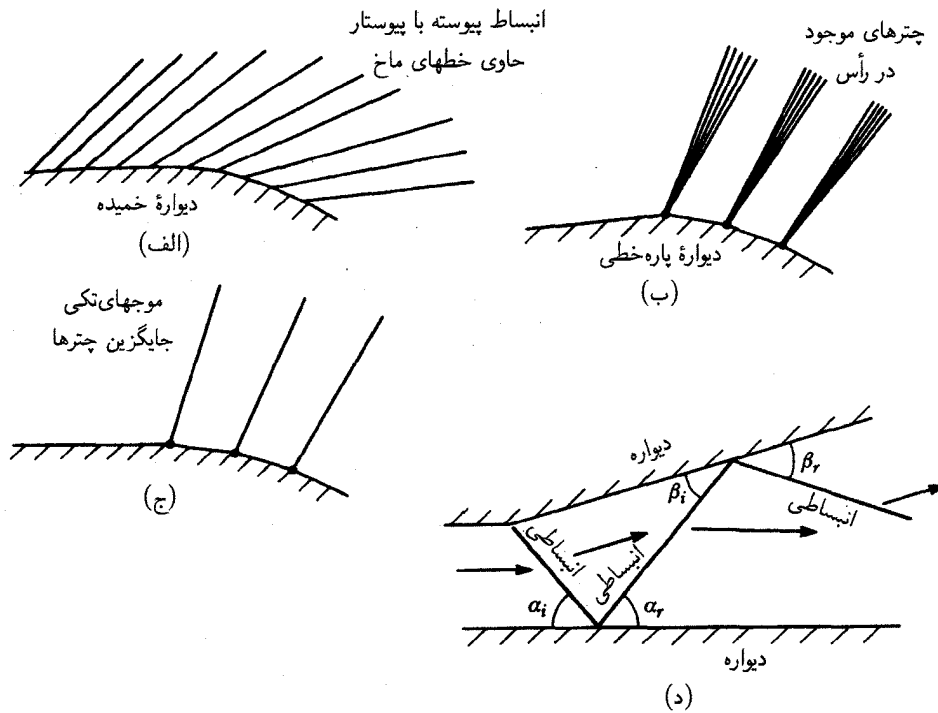
علامت مثبت برای انبساط و علامت منفی برای تراکم به کار می‌رود.  $\Delta\theta$  میزان انحراف جهت جریان است، یعنی

$$\Delta\nu = \nu - \nu(\text{بالادست جریان}) - \nu(\text{پایین دست جریان})$$

موجی که از گوشه محدب سرچشمه می‌گیرد همیشه انبساطی، و موجی که از گوشه مقعر سرچشمه می‌گیرد، تراکمی است. ۵. قدرت موج  $\Delta\theta$  در طول هر موج مفروض، حتی وقتی که این موج با موج دیگر برخورد می‌کند و از میان آن می‌گذرد، بدون تغییر باقی می‌ماند. اما، موج ممکن است تغییر جهت دهد. بنابراین،  $\Delta\theta$  و  $\Delta\nu$  در طول موج ثابت خواهند ماند. البته، مقدارهای واقعی  $\nu$  در دو طرف موج ممکن است در نقطه‌های تلاقی تغییر کنند اما  $\Delta\nu$  و  $\Delta\theta$  در طول موج ثابت‌اند.



شکل ۸-۲۰ تشکیل موجهای انبساطی و موجهای ضربه‌ای ضعیف در گوشه‌ها.



شکل ۸-۲۱ تقریب موجهای ضعیف برای سطحهای خمیده.

۶. موج بازتابیده از دیواره به صورت موج انبساطی یا موج تراکمی (با همان قدرت) باقی می‌ماند. بنابراین زاویه برخورد  $\alpha_i$  باید برابر زاویه بازتاب  $\alpha_r$  باشد [شکل ۸-۲۱ د]. همین گونه،  $\beta_i = \beta_r$ .

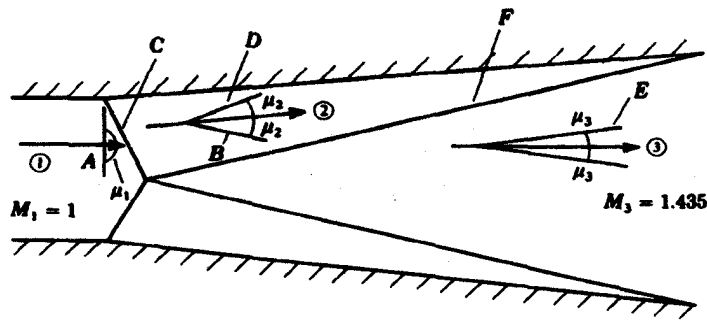
۷. موج بازتابیده از سطح تماس یا جریان لغزشی از موج انبساطی به موج تراکمی، و برعکس، تبدیل می‌شود. در این حالت نیز قدرت موج ثابت باقی می‌ماند و زاویه برخورد باید با زاویه بازتاب برابر باشد.

اگر نقطه برخورد موج با دیواره، نقطه راسی باشد که انحراف  $\Delta\theta$  جریان را هماهنگ می‌کند، امکان حذف موج و عدد بازتاب آن وجود دارد، زیرا اکنون جریان موازی با دیواره است [شکل ۸-۸ (د)].

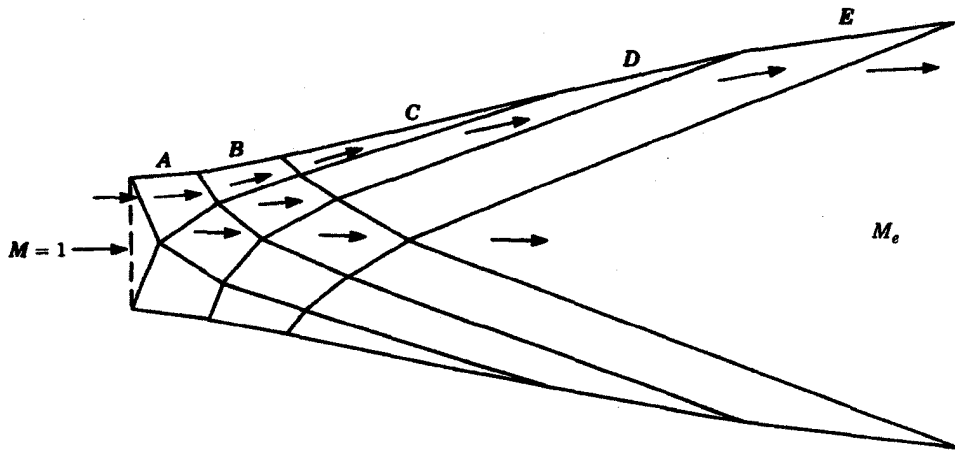
برای توصیف این روش شیپوره ساده دوبعدی فرضوتی‌ای طراحی خواهیم کرد. در فصل ۷ درباره جریان شیپوره بحث کردیم، که تنها پارامتر فیزیکی مهم را نسبت مساحت بدون توجه به طول در نظر گرفتیم. اکنون، خواهیم دید که شکل واقعی شیپوره برای ایجاد جریان یکنواخت و هموار در خروجی شیپوره بسیار مهم است و در واقع شیپوره را در دو بعد باید طراحی کرد. در اینجا، بحث خود را به جریان دوبعدی مانند جریان بین دو سطح خمیده موازی، نه جریان متقارن محوری محدود می‌کنیم. جریان موجود در شیپوره‌های دایره‌ای را می‌توان با روشهای همانندی بررسی کرد، ولی خارج از بحث فعلی ماست. ویژگی دوبعدی طرح شیپوره در طراحی شیپوره‌های موشک برای رانش بیشینه، و در طراحی تونلهای باد برای جریان آرام بسیار مهم است.

به طور کلی، شیپوره‌ها را باید با دیواره‌های خمیده هموار طراحی کرد. دیواره خمیده را با پاره‌خطهای راست کوتاه می‌توان تقریب زد. وانگهی، شیپوره نباید آن قدر بلند باشد که ضخامت لایه مرزی خیلی زیاد شود، و سرعت واگرا شدن دیواره‌ها نباید آن قدر زیاد باشد که لایه مرزی جدا شود. بنابراین، برای هر عدد ماخ خروجی مفروض  $Me$  و نسبت مساحت خروجی به مساحت گلوگاه متناظر  $(A_e/A^*)$ ، گستره‌ای از طرحهای قابل قبول برای شیپوره‌ها با طولهای مختلف وجود دارد. هر چه پاره‌خطهای به کار رفته راست‌تر باشد (و  $\Delta\theta$  برای هر یک از گامها کوچکتر باشد)، این روش دقیق‌تر خواهد بود.

شیپوره تک دیواره مستقیم واگرا در شکل ۸-۲۲ ساده‌ترین شیپوره است. فقط به یک مجموعه موجهای تلاقی‌کننده (انبساطی) نیاز است.

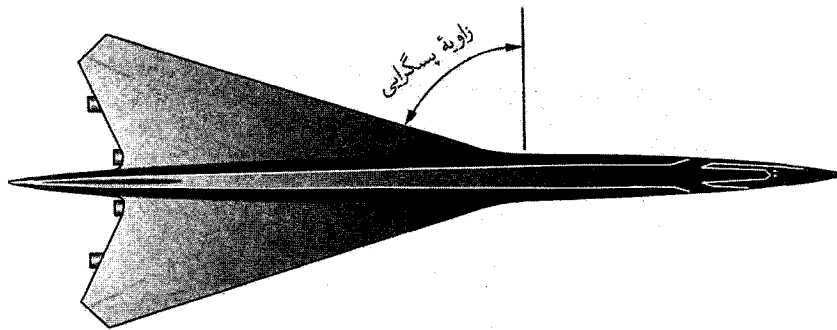


شکل ۲۲-۸ شیوره ساده دوعدی نمایانگر روش موجهای ضعیف. سمت‌گیری  $F$  در بین راه  $D$  و  $E$  است.



شکل ۲۳-۸ طرح شیوره با استفاده از شیوه موج ضعیف.

برای  $M_e = 1.435$  می‌بینیم که  $\nu_e = 10^\circ$  و در ورودی  $\nu_1 = 0^\circ$ .  $\Delta\theta$  در طول هر یک از موجها یکسان است و شماره دو موج را قطع می‌کند. بنابراین،  $|\Delta\theta|$  در طول هر یک از موجها  $5^\circ$  است و  $\mu_1 = 90^\circ$ ،  $\nu_2 = 5^\circ$ ،  $M_2 = 1.256$ ،  $\mu_2 = 52.738^\circ$ ،  $\nu_3 = 10^\circ$ ،  $M_3 = 1.435$  و  $\mu_3 = 51.642^\circ$ . با بررسی شکل ۲۲-۸ و توجه به هندسه آن، مشخصه کامل شیوره با استفاده از روش نموداری یا محاسبه تحلیل ساده به دست می‌آید. نسبت  $\frac{A_e}{A^*}$  را می‌توان از این راه به دست آورد و آن را با مقدار  $1.881$  در جدولهای فراصوتی مقایسه کرد. هر چه زاویه  $\Delta\theta$  کوچکتر باشد، نتیجه‌ها دقیق‌ترند. طرحهای بهتر برای عددهای ماخ بالاتر مستلزم استفاده از تعداد دلخواهی پاره‌خطهای راست، مطابق شکل ۲۳-۸، است. طراحی خود را برای عدد ماخ خروجی  $M_e$  با زاویه کل  $\Delta\theta$  متناظر انجام می‌دهیم.  $\Delta\theta$  همان  $\nu_e - \nu_1$  است ( $\nu_1$  صفر است، زیرا  $M = 1$ ). در این مثال، ناحیه انبساط اولیه‌ای حول دو پاره‌خط کوتاه  $A$  و  $B$  با طول دلخواه به وجود می‌آید، سپس انبساط نهایی از طریق موجهای گروه مقابل شکل می‌گیرد. توجه کنید که در این طرح، دو پاره‌خط  $A$  و  $B$  را انتخاب کردیم و شش انبساط هر یک برابر  $\frac{\Delta\theta}{6}$  وجود دارند که سرانجام خود را با جریان ورودی همراستا می‌کنند. یادآور می‌شویم که طول پاره‌خطهای  $C$ ،  $D$  و  $E$  و جهت‌های آنها دلخواه نیستند، اما آنها را با انتخاب  $A$ ،  $B$  و  $\Delta\theta$  می‌توان تعیین کرد. با انتخاب جهت صحیح پاره‌خطهای  $C$ ،  $D$  و  $E$ ، که هر یک به اندازه  $\frac{\Delta\theta}{6}$  نسبت به پاره‌خط قبلی می‌چرخند، این موجها حذف می‌شوند. به طور کلی، برای هر عدد ماخ خروجی مفروض  $M_e$ ، انحراف کلی  $\Delta\theta$  متناظری وجود دارد که از طریق بسط  $n$  موج انجام می‌گیرد؛ اگر همه موجها توسط دیواره حذف شوند  $n$  باید عددی زوج باشد. تعداد پاره‌خطهای اولیه دلخواه که باید انتخاب شود،  $(n/2 - 1)$  است و هر یک باید به طور متوالی به اندازه  $\Delta\theta/n$  بچرخند. طول آنها دلخواه است، اما باید آن قدر کوتاه باشد که از بازتاب گروه موجهای مقابل جلوگیری شود. با گراییدن طول به سوی صفر، این طراحی به صورت ساده شکل ۲۲-۸ در می‌آید.



شکل ۸-۲۴ هواپیمای فراصوتی جدید. زاویه پسگرایی بزرگتر از زاویه ماخ است، بنابراین مؤلفه عمودی سرعت روی لبه حمله بال، فروصوتی است.

همچنین، امکان افزایش طول شیوره از طریق بازتاب موجها از دیواره وجود دارد (با کاهش زاویه دوران پاره‌خطها). در این حالت، موجها بازتابیده می‌شوند و با ناحیه غیرساده دیگر برهم‌کنش می‌کنند و سرانجام، با برخورد به دیواره در آن سوی پایین‌دست جریان حذف می‌شوند. هریک از ناحیه‌های ذوزنقه‌ای محصور با این موجها دارای خواص مختلف شاره‌ای است. موجها در حین عبور از تقاطعها تغییر جهت می‌دهند و مکان آنها را می‌توان با استفاده از این قاعده که خطهای ماخ در هر طرف موج نصف می‌شوند، تعیین کرد.

## ۸-۵ هواپیماهای فراصوتی

در تمرینهای واقعی، پسای موجی موجود بر روی بالها در پروازهای فراصوتی، با تشکیل موج ضربه‌ای-انبساطی، بسیار بیشتر از پسای بال فروصوتی است. در نتیجه، هواپیماهای فراصوتی به گونه‌ای طراحی شده‌اند که بالها عملاً به طور فروصوتی عمل می‌کنند. این کارکرد با بزرگتر کردن زاویه پسگرایی نسبت به زاویه ماخ انجام می‌شود (شکل ۸-۲۴). در این حالت، مؤلفه سرعت عمود بر لبه حمله فروصوتی است و رفتار بال اساساً شبیه هواپر فروصوتی خواهد بود. اما، بدنه هواپیما موج ضربه‌ای دماغه را تولید می‌کند. البته، با مخروطی کردن دماغه به حد نوک سوزن برای ضعیف کردن موج و با تغییر دادن درست سطح مقطع بدنه هواپیما از طریق به اصطلاح قاعده مساحت (به گونه‌ای که شبیه بطری نوشابه شود)، پسای موجی را می‌توان کمینه ساخت. بالها جسمهایی سه‌بعدی هستند و بنابراین در محاسبه جریان باید سه‌بعدی در نظر گرفته شوند. جزئیات آن فراتر از حیطه این بحث است، اما باید به یاد داشت که پسگرایی باعث رفتار بال به صورت هواپر فروصوتی از نظر مشخصه‌های برآ خواهد شد. یکی از اثرهای افزایش پسگرایی ایجاد پایداری در هواپیما به روشی مشابه اثر زاویه دوجوهی مثبت است. در حقیقت، زاویه دوجوهی در بالهای پسگرایی شدید ممکن است منفی باشد (که به ظاهری افتاده می‌انجامد).

## مراجع

1. Anderson, John D., Jr., *Fundamentals of Aerodynamics*, McGraw-Hill, 1984.
2. Anderson, John D., Jr., *Introduction to Flight*, 2nd ed., McGraw-Hill, 1985.
3. Anderson, John D., Jr., *Modern Compressible Flow: With Historical Perspective*, McGraw-Hill, 1982.
4. Howarth, L. (Editor), *Modern Developments in Fluid Dynamics, High Speed Flow*, Vols. 1 and 2, Oxford University Press, 1956.
5. Jones, R. T., and Cohen, D., *High Speed Wing Theory*, Princeton University Press, 1960.
6. Kuethe, A. M., and Chow, C., *Foundations of Aerodynamics*, 4th ed., John Wiley, 1986.
7. Liepmann, H. W., and Roshko, A., *Elements of Gasdynamics*, John Wiley, 1957.
8. Owczarek, J. A., *Fundamentals of Gas Dynamics*, International Textbook, 1964.
9. Shapiro, A. H., *The Dynamics and Thermodynamics of Compressible Fluid Flow*, Vols. 1 and 2, Ronald Press, 1952.
10. Zucrow, M. J., and Hoffman, J. D., *Gas Dynamics*, Vols. I and II, John Wiley, 1976.

مسائل حل شده

۱-۸ جریان هوا در  $۵۲^{\circ}\text{R}$  و فشار جو از میان موج ضربه‌ای مایل با زاویه  $۵^{\circ}$  نسبت به جریان می‌گذرد (شکل ۸-۲۵). عدد ماخ اولیه ۲ است. شرایط را در پایین دست جریان و زاویه انحراف جریان را تعیین کنید.

با توجه به شکل ۸-۳،  $\theta$  تقریباً  $۱۸^{\circ}$  است. از معادله (۷-۸) شرایط پایین دست جریان (نقطه ۲) را برحسب شرایط بالادست جریان (نقطه ۱) می‌توان به دست آورد. به جای آن، از جدولهای موج ضربه‌ای قائم می‌توانستیم استفاده کنیم. در این حالت، مقدار عددی  $M_1$  در جدول به صورت  $M_1 \sin \beta$  و مقدار  $M_2$  در جدول به صورت  $M_2 \sin(\beta - \theta)$  تلقی می‌شود. آنگاه، داریم

$$\frac{p_2}{p_1} = ۲٫۵۷; \quad p_2 = ۳۷٫۸ \text{ psia}$$

$$\frac{T_2}{T_1} = ۱٫۳۴; \quad T_2 = ۶۹۷^{\circ}\text{R}$$

$$M_2 \sin(\beta - \theta) = ۰٫۶۹; \quad M_2 = ۱٫۳$$

۲-۸ هوا بر تخت نازک موجود در شکل ۸-۲۶ با زاویه حمله  $۱۰^{\circ}$  قرار گرفته است. خواص شماره را در تمام ناحیه‌های جریان به دست آورید.  $M_1 = ۳$  و جریان آزاد هوا در  $T_1 = ۵۰۰^{\circ}\text{R}$  و  $p_1 = ۱۵ \text{ psia}$  است.

با استفاده از معادلات (۷-۸) و شکل ۸-۳ می‌توان شرایط را در ناحیه ۳ یافت. به  $\beta_{۱۳}$  را مساوی  $۲۷٫۵^{\circ}$  به دست می‌آوریم. با استفاده از  $\frac{k=c_p}{c_v=۱٫۴}$  برای هوا، داریم

$$\frac{p_3}{p_1} = ۲٫۰۷, \quad p_3 = ۳۱٫۰ \text{ psia}, \quad M_3 = ۲٫۴۹, \quad T_3 = ۱٫۲۵ T_1 = ۶۲۵^{\circ}\text{R}$$

برای یافتن شرایط در ناحیه ۴ از رابطه زیر استفاده می‌کنیم

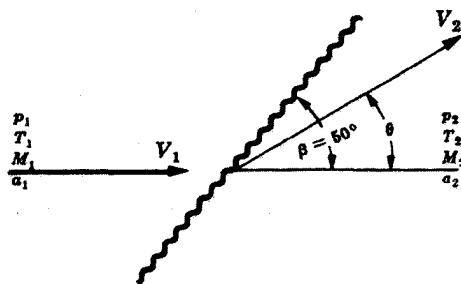
$$\nu_4 = \nu_3 + |\theta_4 - \theta_3| = \nu_3 + ۱۰^{\circ} = ۳۹٫۱^{\circ} + ۱۰^{\circ} = ۴۹٫۱^{\circ}$$

و از جدول ۱-۸  $M_4 = ۲٫۹۷$ . چون انبساط تک‌آنتروپی است، می‌توان نوشت

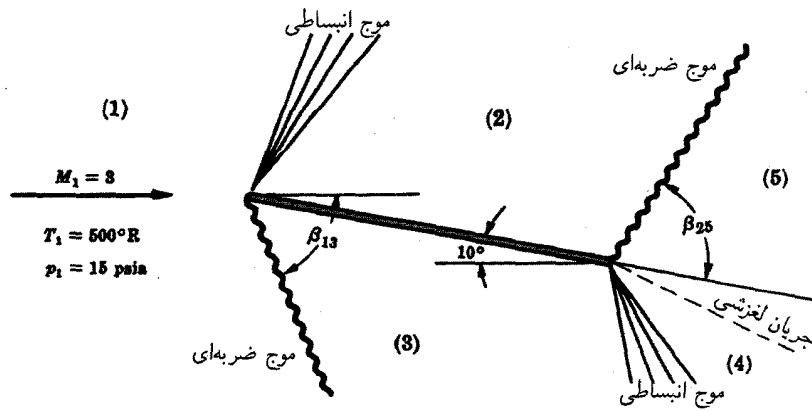
$$\frac{p_4}{p_3} = \left[ \frac{2 + (k-1)M_3^2}{2 + (k-1)M_4^2} \right]^{k/(k-1)}$$

از این رابطه  $p_4/p_3 = ۰٫۴۸$  و  $p_4 = ۱۴٫۹ \text{ psia}$  به دست می‌آید.  $T_4$  از رابطه زیر محاسبه می‌شود

$$\frac{T_4}{T_3} = \left( \frac{p_4}{p_3} \right)^{(k-1)/k}$$



شکل ۸-۲۵



شکل ۸-۲۶

و بنابراین

$$T_2 = 0.81(T_1) = 0.81(1.25T_1) = 1.01T_1$$

اکنون، با حرکت در سطح بالای صفحه، شرایط ناحیه ۲ را به دست می‌آوریم

$$\nu = \nu_1 + 10^\circ = 49.8^\circ + 10^\circ = 59.8^\circ$$

و بنابراین  $M_2 = 3.57$ . با استفاده از رابطه‌های تک‌انترویی، داریم

$$p_2 = 0.44p_1 = 6.60 \text{ psia}, \quad T_2 = 0.79T_1$$

سپس، با گذشتن از میان موج ضربه‌ای و ورود به ناحیه ۵، خواهیم داشت

$$\beta_{25} = 24^\circ, \quad M_5 = 2.98, \quad p_5 = 2.29 \quad p_2 = 1.01p_1, \quad T_5 = 1.29T_2 = 1.02T_1$$

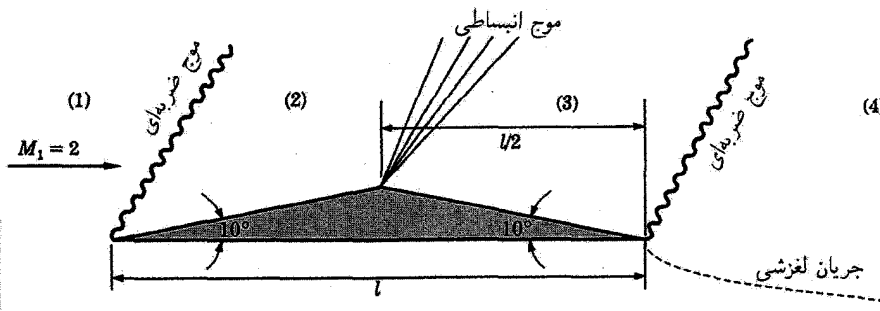
می‌بینیم  $p_4$  و  $p_5$  تقریباً، اما نه دقیقاً برابرند و دماهای  $T_4$  و  $T_5$  تقریباً برابرند. در واقع، جریان لغزشی یا جریان سطح تماس باید از پشت هوا بر ادامه یابد و ناحیه‌هایی را که دما و چگالی متفاوت دارند، جدا سازد؛ اما، فشار  $p_4$  و  $p_5$  باید برابر باشند. وانگهی، سرعتها در طول جریان لغزشی متفاوتند و لایه‌ای برشی وجود دارد. برای تعیین محل دقیق شیب جریان لغزشی برای اینکه  $p_4 = p_5 = p_1$  باشد، از فرایند آزمون و خطا استفاده می‌کنیم.

برآ و پسا بر واحد مساحت بال عبارت‌اند از

$$L = (p_3 - p_2) \cos 10^\circ = 24.0 \text{ psia}, \quad D = (p_3 - p_2) \sin 10^\circ = 4.23 \text{ psia}$$

یادآور می‌شویم که چون  $p_4$  و  $p_5$  تقریباً برابرند، سطح تماس به طور موازی با جریان آزاد از هوا بر جدا می‌شود. به طور کلی، برای اطمینان از اینکه  $p_4 = p_5 = p_1$  همان گونه که در واقعیت رخ می‌دهد، سطح تماس را باید نسبت به جریان آزاد اندکی منحرف کنیم.

۳-۸ برآ و پسای وارد بر هوا بر مسئله قبل را، با استفاده از نظریه بال نازک محاسبه، و با جواب دقیق موج ضربه‌ای-انبساطی مقایسه کنید. از معادله (۸-۱۹)،  $C_L = 0.247$  و  $C_D = 0.43$  به دست می‌آید. (به خاطر داشته باشید که  $M_1 = 3$  و  $\alpha$  برحسب رادیان و برابر  $0.17453 \text{ rad} = 10^\circ$  است) برآ برای واحد سطح  $\frac{1}{2} \rho_1 V_1^2 C_L$  یا  $\frac{1}{2} k M_1^2 p_1 C_L$  است. با دانستن  $T_1$  و  $p_1$  مقدار  $\rho_1 = 0.00235 \text{ slug/ft}^3$  و از قانون گازهای کامل و  $V_1 = a_1 M_1 = (1090 \text{ ft/s})(3) = 3270 \text{ ft/s}$  به دست می‌آید.



شکل ۸-۲۷

$$L = \frac{1}{4} \rho_1 V_1^2 C_L = \frac{1}{4} (0.00253)(3270)^2 (0.247) = 3340 \text{ psf} = 23.2 \text{ psi}$$

$$D = \frac{1}{4} \rho_1 V_1^2 C_D = 49.4 \text{ psi}$$

از مقایسه آنها با نتیجه‌های مسئله قبل اختلاف ۵٪ به دست می‌آید.

۴-۸ با استفاده از نظریه موج ضربه‌ای-انبساطی، جریان روی نیمرخ گوه دوگانه دو بعدی موجود در شکل ۸-۲۷ را تعیین کنید. عدد ماخ جریان آزاد ۲ است.

سطح تماس از لبه فرار ادامه خواهد یافت. زاویه دقیق این سطح تماس با جریان آزاد را با اعمال این شرط باید تعیین کرد که فشار در (۴) و (۱) برابرند. این به معنای چرخش جزئی جریان آزاد سطح زیرین در لبه فرار است. در اینجا فعلاً این اثر را نادیده می‌گیریم و فرض می‌کنیم که جریان زیرین نآشفته است.

برای جریان گذرنده از میان موج ضربه‌ای حمله ۱ به ۲،  $\theta = 10^\circ$  و با توجه به شکل ۸-۳، داریم  $\beta = 39.5^\circ$ . با توجه به جدولهای موج ضربه‌ای یا معادله (۷-۸) خواهیم داشت

$$\frac{p_2}{p_1} = 1.72, \quad \frac{T_2}{T_1} = 1.17, \quad M_2 = 1.63$$

سپس، با توجه به چتری انبساطی ۲-۳ مقدارهای زیر را به دست می‌آوریم

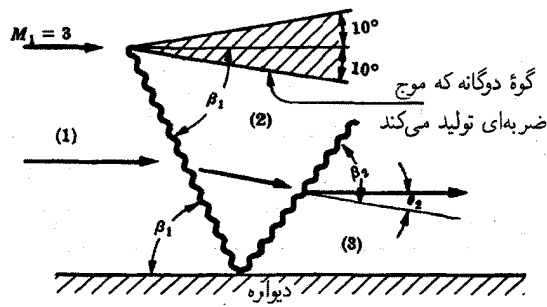
$$\nu_2 = 15.9^\circ, \quad \nu_3 = \nu_2 + 20^\circ = 35.9^\circ, \quad M_3 = 2.37$$

$$\frac{p_3}{p_2} = \left[ \frac{2 + (k-1)M_2^2}{2 + (k-1)M_3^2} \right]^{k/(k-1)} = 0.32, \quad \frac{T_3}{T_2} = \left( \frac{p_3}{p_2} \right)^{(k-1)/k} = 0.72$$

در میان موج ضربه‌ای ۳-۴،  $\theta = 10^\circ$  و  $\beta = 34^\circ$  و

$$\frac{p_4}{p_3} = 1.88, \quad \frac{T_4}{T_3} = 1.21, \quad M_4 = 1.90$$

روشن است که  $p_4 = 1.03 p_1$  و جریان نمی‌تواند به طور موازی با جریان آزاد هوا بر ترک کند، زیرا  $p_4$  برابر  $p_1$  نیست. بنابراین، موج ضربه‌ای ۴-۳ باید با انحراف جزئی کمتر از  $10^\circ$  رخ دهد. جریان زیرین قدری در میان موج ضربه‌ای فشرده می‌شود. زاویه دقیق سطح تماس را می‌توان با آزمون و خطا تعیین کرد، به گونه‌ای که  $p_4 = p_1$ . جزئیات را به عنوان تمرین به خواننده واگذار می‌کنیم.



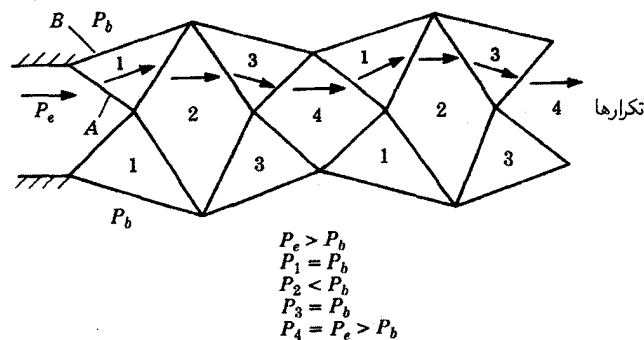
شکل ۸-۲۸

۵-۸ موج ضربه‌ای برخوردکننده با دیواره شکل ۸-۲۸ به گونه‌ای بازتابیده می‌شود که جریان نهایی موازی دیواره خواهد بود. موج ضربه‌ای را در نظر بگیرید که، همچون شکل، از دیواره بازتابیده شده است.

برای  $M_1 = 3$  و  $\theta = 10^\circ$ ، یا توجه به معادله (۷-۸) با جدولهای مناسب، داریم  $\beta_1 = 28^\circ$  و  $M_2 = 2.5$ . سپس برای  $\theta = 10^\circ$  و  $M_2 = 2.5$  خواهیم داشت  $\beta_2 = 32^\circ$ . به خاطر داریم که اگر از جدولهای موج ضربه‌ای قائم استاندارد استفاده کنیم، باید در این جدولها  $M_2 \sin(\beta_1 - \theta)$ ،  $M_1 \sin \beta_1$  را به ترتیب به جای  $M_2$  و  $M_1$  قرار دهیم.

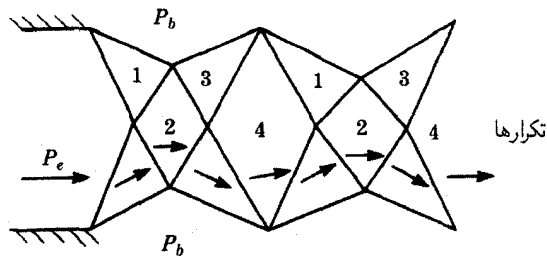
۶-۸ شیپوره خوش‌طرح دوبعدی‌ای با عدد ماخ خروجی  $M_e = 2$  برای دست یافتن به جریانی آرام و بدون موج ضربه‌ای تا پس‌فشار  $p_e = 0.1278 p_0$  (از جدولهای فراصوتی) تخلیه می‌شود.  $p_0$  فشار سکون مخزنی است که شیپوره را تغذیه می‌کند. بدین ترتیب، فشار خروجی  $p_e$  برابر پس‌فشار  $p_e$  است. اگر پس‌فشار کمتر از  $p_e$  شود، موجهای انبساطی در خارج از شیپوره رخ می‌دهد. نمودار این موجهای انبساطی را رسم، و زاویه‌های بحرانی را برای پس‌فشار  $0.55 p_0$  مشخص کنید.

با توجه به شکل ۸-۲۹، جریان پس از ترک شیپوره و در حین عبور از چتری انبساطی، برای مقابله با پس‌فشار  $p_b$  بر می‌گردد. در اینجا، چتری را به صورت تک‌موج نشان می‌دهیم و از روش موجهای ضعیف استفاده می‌کنیم. موجهای انبساطی دو موج لغزشی (یا سطح تماس) به صورت موج تراکمی و برعکس بازتابیده می‌شوند. جریان با گذشتن از میان موج انبساطی به فشار  $p_b$  (ناحیه ۱) می‌رسد و با عبور از موج انبساطی دیگر تغییر مسیر می‌دهد و فشار آن در اثر انبساط به مقداری کمتر از  $p_b$  (ناحیه ۲) خواهد رسید. فشار جریان پس از عبور از موجی تراکمی به  $p_b$  (ناحیه ۳) برمی‌گردد و سپس جریان تغییر مسیر می‌دهد و با تراکم دوباره به فشار  $p_e$  (ناحیه ۴) خواهد رسید. این طرح کلی آن قدر تکرار می‌شود تا در پایین دست جریان شیپوره طرحی الماسی به وجود آید. تکرار طرحها ادامه می‌یابد تا اینکه موجها پخش، و سرانجام به علت اصطکاک محو شوند، که ممکن است بعد از تکرارهای زیاد رخ دهد.



شکل ۸-۲۹





$$\begin{aligned} P_e &< P_b \\ P_1 &= P_b \\ P_2 &> P_b \\ P_3 &= P_b \\ P_4 &= P_e < P_b \end{aligned}$$

شکل ۸-۳۰

زاویه‌های بحرانی را با استفاده از روش موجهای ضعیف در شکل ۸-۲۹ نشان داده‌ایم. مقدار  $\nu$  در خروجی  $۲۶٫۵^\circ$  است. عدد ماخ در ناحیه ۱ برای موجی انبساطی با افت فشار  $p = ۰٫۵۵^\circ$  برابر  $۲٫۵۴$  است. بدین ترتیب، برای  $M_1 = ۲٫۵۴$ ،  $\nu_1$  متناظر  $۴۰^\circ$  است. بنابراین، زاویه برگشت جریان در گوشه خروجی  $(۴۰^\circ - ۲۶٫۵^\circ) = ۱۳٫۵^\circ$  است. در ناحیه ۲ به زاویه برگشت  $۱۳٫۵^\circ$  دیگری نیاز است که در این حالت،  $\nu_2 = ۵۳٫۵^\circ$  و  $M_2 = ۳٫۲۰۲$ ، و از جدولهای تک‌آنتروپی، داریم  $\frac{p_2}{p_1} = ۰٫۲$ . سپس تراکم در گذر از ناحیه ۲ به ۳ در زاویه  $۱۳٫۵^\circ$  رخ می‌دهد. در آنجا، داریم  $\nu_3 = ۴۰^\circ$  و  $M_3 = M_1 = ۲٫۵۴$ . با تراکم دیگر، دوران تکمیل می‌شود و به ناحیه ۴ برمی‌گردیم، که  $\nu_4 = ۲۶٫۵^\circ$  و  $M_4 = M_e = ۲$  و  $p_4 = p_e = ۰٫۱۲۷۸ p_0$ .

این چرخه کلی تکرار می‌شود تا اینکه موجها پهن، ضعیف یا پخش، و سرانجام محو خواهند شد. همه زاویه‌های ماخ را می‌توان به آسانی از جدول (زاویه ماخ) پرتل-مایر به دست آورد و با استفاده از قاعده نیمساز جهت واقعی هر یک از موجها را می‌توان یافت و طرح کلی را ایجاد کرد. به عنوان مثال، در ناحیه خروجی،  $M_e = ۲$  و  $\mu = ۲۹٫۹^\circ$  در ناحیه ۱،  $M_1 = ۲٫۵۴$  و  $\mu_1 = ۲۳٫۲^\circ$ . جهتگیری موج بین ناحیه e و ۱ (خط A) مطابق شکل است و خطهای ماخ را دو نیم می‌کند. (یادآور می‌شود که زاویه ماخ زاویه بین خط ماخ و بردار سرعت است). پوش ناحیه ۱ (که خط B، سطح تماس جریان لغزشی است) موازی با سرعت ناحیه ۱ خواهد بود.

۷-۸ شیپوره دوبعدی مسئله ۸-۶ را در نظر بگیرید. عدد ماخ طراحی ۲، و پس فشار طراحی  $p_e = ۰٫۱۲۷۸ p_0$  است. اکنون، فرض می‌کنیم که پس فشار واقعی کمی بیشتر از مقدار طراحی است (اما نه آن قدر زیاد که باعث ورود موجهای ضربه‌ای به درون شیپوره شود). اکنون، طرحی مشابه با مسئله ۸-۶، با این استثناء که نخستین موج ساطع شده از گوشه تراکمی است، رخ می‌دهد. اگر پس فشار  $p_0 = ۲۰^\circ$  باشد، طرح موج را در خارج از شیپوره، زاویه‌های بحرانی و خواص جریان را تعیین کنید.

با توجه به شکل ۸-۳۰، موج اولیه (با  $p_e$  و  $\nu_e = ۲۶٫۵^\circ$ ) تا ناحیه ۱، که  $p_1 = p_B = ۰٫۲ P_0$  و  $M_1 = ۱٫۷۴$  و  $\nu_1 = ۱۹^\circ$ ، تراکمی است. زاویه برگشت جریان  $(۲۶٫۵^\circ - ۱۹^\circ) = ۷٫۵^\circ$  است. در ناحیه ۲، تراکم دیگری در حین گردش  $۷٫۵^\circ$  رخ می‌دهد، که  $M_2 = ۱٫۴۹$  و  $\nu_2 = ۱۱٫۵^\circ$  و  $p_2 = ۰٫۲۷۶ p_0$ . سپس موجی انبساطی با گردش  $۷٫۵^\circ$  در ناحیه ۳ رخ می‌دهد که  $\nu_3 = ۱۹^\circ$  و  $M_3 = ۱٫۷۴$  و  $p_3 = ۰٫۲ P_0$ . سرانجام، انبساط دیگری در ناحیه ۴ با گردش  $۷٫۵^\circ$  به وقوع می‌پیوندد که دقیقاً شرایط خروجی را دارد،  $M_e = M_4 = ۲$  و  $\nu_e = \nu_4 = ۲۶٫۵^\circ$  و  $p_e = ۰٫۱۲۷۸ p_0$ . دوباره، طرح مانند مسئله ۸-۶ بارها و بارها تکرار می‌شود.

## مسائل تکمیلی

۸-۸ مطابق شکل ۸-۳۱، هوا از روی گوشه‌ای جریان می‌یابد. خواص هوا و عدد ماخ را در پایین‌دست جریان بیابید. شکل چتری انبساطی را رسم کنید وقتی بزرگتر و بزرگتر می‌شود، چه اتفاقی رخ می‌دهد؟

۹-۸ مطابق شکل ۸-۳۲، هوا از روی گوشه‌ای جریان می‌یابد. خواص و عدد ماخ را در پایین‌دست جریان به دست آورید. با بزرگتر شدن  $\theta$  چه اتفاقی رخ می‌دهد؟

۱۰-۸ طرح موج ضربه‌ای گوه شکل ۸-۳۳ را با هوای استاندارد جاری با عدد ماخ ۵ به دست آورید.

۱۱-۸ خواص پایین‌دست جریان را بیابید و زاویه ماخ  $\mu$  را برحسب تابع  $\theta$  برای جریان شکل ۸-۳۴ رسم کنید.

۱۲-۸ جریانی دوبعدی از میان زانوی موجود در شکل ۸-۳۵ می‌گذرد. محلی را در پایین‌دست زانو بیابید که هیچ بازتاب موج ضربه‌ای رخ ندهد. پهنای  $D_2$  چقدر است؟

۱۳-۸ مانند مسئله ۸-۱۲، خم واگرایی را مطابق شکل ۸-۳۶ در نظر می‌گیریم. شکل دیواره بالایی را به گونه‌ای طراحی کنید که موج انبساطی بازتابیده نشود. (راهنمایی: این شکل از خط جریان خم تبعیت می‌کند). مقدار  $D_2$  برحسب پارامترهای مرتبط چقدر است؟

۱۴-۸ چه اتفاقی در مسئله ۸-۵ رخ می‌دهد اگر موج ضربه‌ای بازتابیده شود و زاویه نخستین موج ضربه‌ای  $\beta_1$  بزرگتر و بزرگتر شود؟ آیا می‌توان با بازتاب ساده‌ای جریان را موازی دیواره کرد. یا یک اتفاق عجیب رخ خواهد داد؟

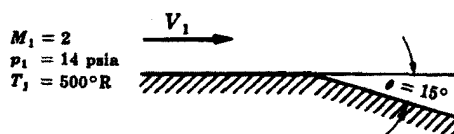
۱۵-۸ جریانی بر روی سطحی مثلثی مطابق شکل ۸-۳۷ برقرار است. طرح جریان را روی دیواره برای  $M_1 > 1$  به کمک نظریه خطی‌سازی اختلالهای جزئی به دست آورید. (فرض می‌کنیم که  $\epsilon \ll \lambda$ ).

۱۶-۸ هوا بر الماسی شکل منظمی، همچون شکل ۸-۳۸، با زاویه  $10^\circ$  در جریانی فراصوتی با عدد ماخ ۲ قرار دارد. زاویه گوه هوا بر  $20^\circ$  است، به گونه‌ای که سطحهای بالا و پایین افقی هستند.

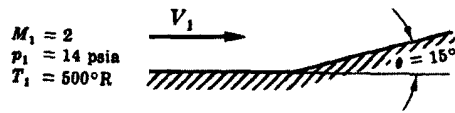
نیروی برای وارد بر هوا بر ماخ را به کمک نظریه موج ضربه‌ای انبساطی محاسبه، و موجهای ضربه‌ای و دیگر موجها را ترسیم کنید. پسای موجی چقدر است؟

نیروی برآ را به کمک نظریه خطی شده هوا بر نازک محاسبه، و نتیجه‌ها را با نتیجه‌های به دست آمده از نظریه دقیق‌تر مقایسه کنید. طرح جریان بر طبق نظریه خطی شده چگونه است؟

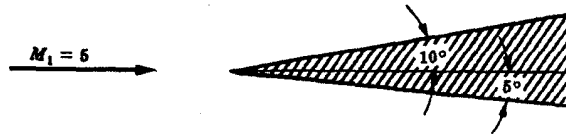
۱۷-۸ هوای دو باله بوزمن مطابق شکل ۸-۳۹، دو هوا بر موازی دارد که هر یک به شکل نیم الماس است. در زاویه حمله صفر، پسای موجی را عملاً می‌توان با تنظیم فاصله بین هوا برها برای هر عدد ماخ مفروض  $M_1$  به صفر رساند. با فرض نظریه خطی دوبعدی ( $t \ll c$ )، فاصله بیشینه  $G$  (به عنوان تابع  $M_1$ ) را برای حذف پسا در زاویه حمله صفر بیابید. (در زیرمضربهای خاصی از فاصله بحرانی بیشینه  $G$ ، نیز «حذف» انجام می‌شود).



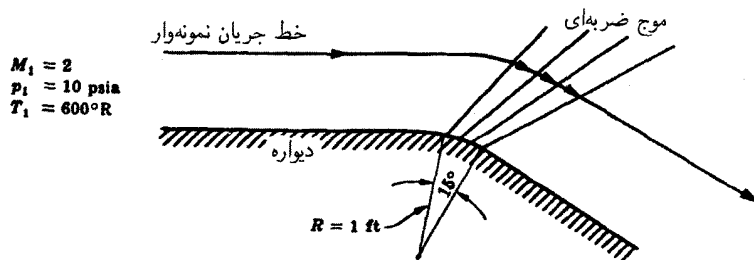
شکل ۸-۳۱



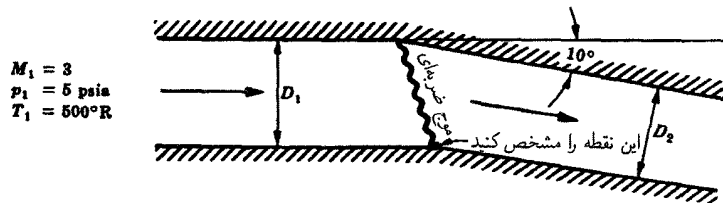
شکل ۳۲-۸



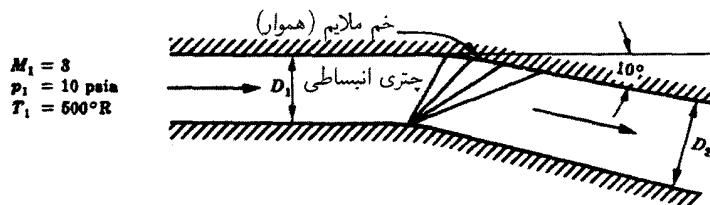
شکل ۳۳-۸



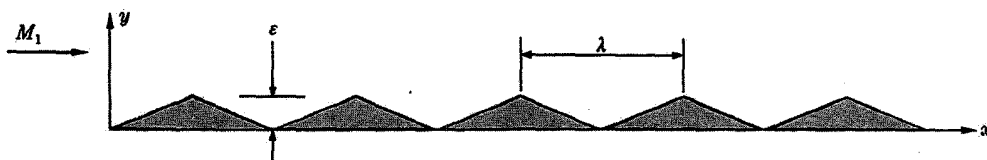
شکل ۳۴-۸



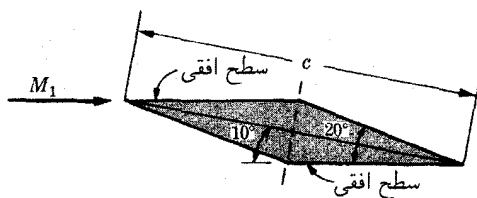
شکل ۳۵-۸



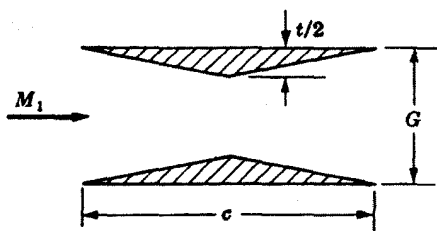
شکل ۳۶-۸



شکل ۳۷-۸



شکل ۳۸-۸



شکل ۳۹-۸

آیا در زاویه حمله صفر برآ وجود دارد؟

آیا با ثابت نگه داشتن  $M_1$  و  $G$ ، و تغییر زاویه حمله می‌توان پسای موجی را حذف کرد؟

۱۸-۸ در مسئله ۴-۸، ضریبهای برآ و پسای برای هواپرنیم الماسی شکل (مقطع) به دست آورید. درباره مشحصه سطح تماس در نظریه هواپرنازک بحث کنید.

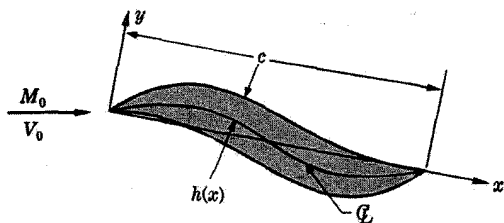
۱۹-۸ با استفاده از نظریه هواپرنای نازک، طرح جریان و ضریبهای برآ و پسای بر روی هواپرنای دوبعدی موجود در شکل ۸-۴۰ به دست آورید.

۲۰-۸ با استفاده از نظریه هواپرنای نازک نمودار  $C_L$  و  $C_D$  را برحسب  $M$  برای هواپرنای تخت دوبعدی ای با زاویه حمله  $5^\circ$  رسم کنید.

۲۱-۸ نمودار مسئله ۸-۲۰ را با فرض  $M = 2$  رسم کنید و  $C_L$  و  $C_D$  را برحسب زاویه حمله به دست آورید.

۲۲-۸ جریان در اطراف گوشه‌ای تیز همچون شکل ۸-۴۱، گسترش می‌یابد. محل جریان لغزشی را مشخص کنید.

۲۳-۸ نمودار  $C_L$  برحسب  $C_D$  را برای هواپرنای نازک شکل ۸-۴۲ رسم کنید. ( $\bar{\alpha}$  را متغیری مستقل و  $M$  را ثابت در نظر بگیرید).  $t$  نیم ضخامت پیشینه و بالا و پایین هواپرنای متقارن است.



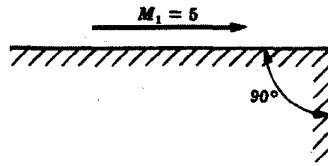
$$h(x) = H \sin \pi x / c$$

معادله خط مرکزی:

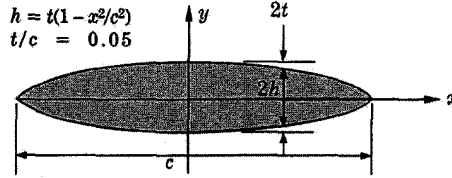
$$y = Y \sin 2\pi x / c$$

$H$  و  $Y \ll c$ ،  $\bar{\alpha}$  is معلوم

شکل ۴۰-۸



شکل ۴۱-۸



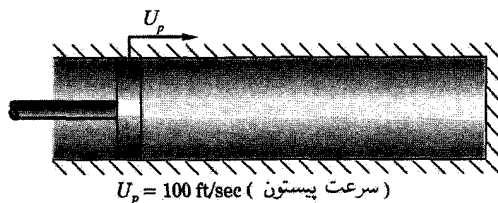
شکل ۴۲-۸

۲۴-۸ همچون شکل ۴۳-۸، پیستون در درون استوانه‌ای قرار دارد که انتهای آن بسته است. پیستون ناگهان با سرعت ثابت به طرف انتهای مسدود لوله به حرکت در می‌آید. آن‌گاه، موجی ضربه‌ای ایجاد می‌شود و به سوی انتهای لوله می‌رود به طرف پیستون بازتابیده می‌شود. سرعت موج ضربه‌ای را قبل و بعد از بازتاب و فشارها را در تمام ناحیه‌های جریان در تمام زمانها تعیین کنید. به طور کیفی توضیح دهید که بعد از بازتاب موج ضربه‌ای از پیشانی پیستون چه اتفاقی رخ می‌دهد. در ابتدا هوای درون استوانه در فشار جو و دمای  $52^\circ R$  است. پیستون با سرعت ثابت  $100 \text{ ft/s}$  حرکت می‌کند. راهنمایی: فصل ۷ را ببینید. ۲۵-۸ در مسئله‌های ۲-۸ و ۱-۸ سرعت هوا را در ناحیه‌های مختلف جریان به دست آورید.

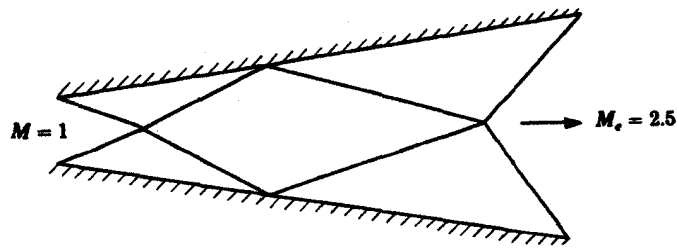
۲۶-۸ شیپوره دویبعدی خوش‌طرحی دارای عدد ماخ ۳ است. پس فشار لازم (برحسب فشار سکون) چقدر است؟ اگر پس فشار را  $10\%$  کاهش دهیم چه اتفاقی رخ می‌دهد؟ طرح کامل موجهای تولید شده را نشان دهید و خواص مربوطه را در هر یک از ناحیه‌های جریان مشخص کنید.

۲۷-۸ شیپوره‌ای دویبعدی با دیواره مستقیم، همچون شکل ۴۴-۸، برای عدد ماخ خروجی ۲٫۵ طراحی شده است. با استفاده از نظریه موج ضعیف، زاویه واگرایی شیپوره و طول آن را به دست آورید. مقدار  $\frac{A^*}{A_e}$  را با مقدارهای جدول مقایسه کنید. منابع خطا را توضیح دهید. فرض می‌کنیم که بازتاب یکی از دیواره‌ها مطابق شکل است.

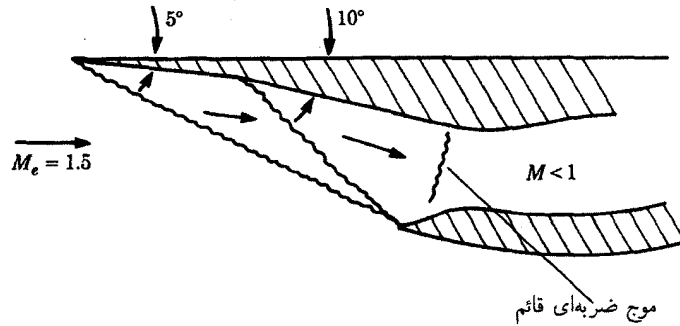
۲۸-۸ طراحی تفصیلی را برای شیپوره شکل ۲۳-۸ با عدد ماخ خروجی  $M_e = 1.5$  انجام دهید. از دو پاره‌خط راست  $A$  و  $B$  دیواره استفاده کنید. این طراحی سه موج انبساطی اولیه را به دست می‌دهد (و سه موج انبساطی دیگر حول سه از موج خانواده دیگر). طولهای  $A$  و  $B$ ، که



شکل ۴۳-۸



شکل ۴۴-۸



شکل ۴۵-۸

ممکن است یکسان فرض شود، دلخواه‌اند. طولهای مختلف  $A$  و  $B$  را آزمایش کنید و اثرهای آن را بر طول کلی مشاهده کنید. نسبت  $\frac{A^*}{A_e}$  را برای  $M_e = 1.5$  با مقدارهای جدول مقایسه کنید.

۲۹-۸ ورودی شیب‌دار دوبعدی‌ای را برای موتور جت فراصوتی در شکل ۴۵-۸ نشان داده‌ایم. عدد ماخ پرواز ۱.۵ است. فشار بازیافتی (یعنی فشار سکون) را پس از دو موج ضربه‌ای مایل به دست آورید. افزون بر آن، فرض کنید که موج ضربه‌ای قائم پس از دو موج ضربه‌ای مایل در درون شیبوره قرار می‌گیرد. اکنون فشار سکون را وقتی هوا به کمپرسور وارد می‌شود، به دست آورید. فرض می‌کنیم که موج ضربه‌ای قائم در بالادست جریان با عدد ماخی برابر عدد ماخ جریان پس از دومین موج ضربه‌ای مایل، رخ می‌دهد. این نتیجه‌ها را با فشارهای سکونی که پس از یک موج ضربه‌ای قائم با عدد ماخ پرواز رخ می‌دهد، مقایسه کنید.

## نمادگذاری فصل ۸

سرعت صوتی	=	$a$
طول وتر (پهنای صوتی هواپر)	=	$c$
گرمای ویژه در فشار ثابت	=	$c_p$
گرمای ویژه در حجم ثابت	=	$c_v$
ضریب پسا	=	$C_D$
ضریب برآ	=	$C_L$
ضریب فشار	=	$C_P$
نیروی پسا	=	$D$

آنتالپی ویژه	$= h$
آنتالپی ویژه کل (یا سکون)	$= h_0$
نسبت گرمای ویژه، $\frac{c_p}{c_v}$	$= k$
نیروی برآ	$= L$
عدد ماخ	$= M$
عدد ماخ جریان آزاد	$= M_0$
فشار	$= p$
آنتروپی ویژه	$= s$
مؤلفه $x$ سرعت	$= u$
مؤلفه $x$ سرعت اختلال	$= u'$
مؤلفه $y$ سرعت	$= v$
مؤلفه $y$ سرعت اختلال	$= v'$
بردار سرعت	$= \mathbf{V}$
سرعت جریان آزاد	$= V_0$
مؤلفه $z$ سرعت	$= w$
مؤلفه $z$ سرعت اختلال	$= w'$
زاویه حمله	$= \alpha$
زاویه موج ضربه‌ای	$= \beta$
زاویه انحراف	$= \theta$
زاویه ماخ	$= \mu$
تابع پرتنل-مایر	$= \nu$
چگالی	$= \rho$
پتانسیل سرعت	$= \phi$

## جریان متلاطم تراکم ناپذیر

### ۱-۹ مقدمه

هرچند قبلاً جریانهای متلاطم را بررسی کردیم (بیشتر مطالب فصل ۵ به جریانهای متلاطم تخصیص دارد و بسیاری از نتیجه‌های فصلهای ۷ و ۸ برای جریان متلاطم معتبرند)، در این فصل به مسئله مهم حرکت شارۀ متلاطم با عمق بیشتری می‌پردازیم.

مسائل حرکت شارۀ ما می‌توان از ساده‌ترین تا مشکل‌ترین حالت به صورت زیر بررسی کرد: جریان پتانسیل ← جریان لایه‌ای گران‌رو ← جریان متلاطم. تاریخچه بررسیهای اولیه این رشته در درجه اول به جریان پتانسیل و جریان لایه‌ای مربوط می‌شود و تلاش پژوهشی بسیار کمی در خصوص مسائل مشکل جریان متلاطم انجام شده است. این تأسف آور است، زیرا بیشتر جریانهای مهم در مهندسی متلاطم‌اند. اما در سالهای اخیر، تلاش پژوهشی در زمینه جریان متلاطم به طور چشمگیری افزایش یافته است. با وجود این، برای حل این مسائل هنوز راه درازی در پیش است و سالهای طولانی این مشکلات با ما خواهند بود.

قبل از اینکه جلوتر برویم، باید به دو پرسش پاسخ بدهیم: جریان متلاطم چیست؟ کجا رخ می‌دهد؟ هینز [۸] حرکت شارۀ متلاطم را به صورت «جریان نامنظمی تعریف کرده است که کمیت‌های مختلف آن (مثلاً سرعت و فشار) تغییرات تصادفی نسبت به زمان و مکان دارند، به گونه‌ای که مقدارهای میانگین آماری مجزا را می‌توان تشخیص داد.» این نوع حرکت را که در بیشتر جریانها در طبیعت رخ می‌دهد، می‌توان دید. وقتی جسمهایی همچون کشتیها، خودروها، هواپیماها و پیمایه‌های بازگشتی از میان شارۀها حرکت می‌کنند، جریان تقریباً همیشه متلاطم است. در این جریانها حرکتی نوسانی سوار بر جریان میانگین یا اصلی وجود دارد.



همچنین، هنگامی که شاره از میان محیطهای محصوره همچون فنجا، پمپها، مجراها و لوله‌ها می‌گذرد، تلاطم رخ می‌دهد. متلاطم بودن جریان را می‌توان از روی عدد رینولدز جریان که در فصل ۵ به آن اشاره شد، تشخیص داد.

چرا جریان متلاطم رخ می‌دهد؟ چه عواملی باعث متلاطم شدن جریان لایه‌ای می‌شود؟ پاسخ کامل به این پرسشها ساده نیست، ولی درک فیزیکی مسئله مشکل نخواهد بود. اساساً آشفتگیهای کوچک و حتی بی‌نهایت کوچک، همیشه در شاره وجود دارد. آنها ممکن است ناشی از تغییرات جزئی در خواص، زبری دیوار، تغییر در اثرهای سطح آزاد، و هر اختلال کوچک دیگر باشد. در شرایط خاص (معمولاً در عدد رینولدز پایین) این آشفتگیها میرا هستند و جریان لایه‌ای باقی می‌ماند. با افزایش عدد رینولدز، آشفتگیهای بی‌نهایت کوچک به تدریج بزرگتر می‌شوند و در این حالت، جریان را ناپایدار می‌گویند. به علت غیرخطی بودن، غالباً تعیین حالت پایانی شاره، به‌ویژه با رشد آشفتگیها دشوار است و به پیکربندی جریان کاملاً بستگی دارد. در بعضی از پیکربندیها جریان لایه‌ای باقی خواهد ماند، اما در جریانهای پیچیده‌تر که جریانهای ثانویه و یا گردش وجود دارد، پایدار می‌شود. برای بعضی پیکربندیها (و ناگزیر برای همه پیکربندیهایی که عدد رینولدز بالا دارند) جریان متلاطم می‌شود. ساختار ریز تلاطم به شکل هندسی و عدد رینولدز بستگی دارد.

بررسی پاسخ شاره به آشفتگیها یا اختلالها را به‌عنوان «نظریه پایداری» می‌شناسند، و بخش مهم مکانیک شاره‌هاست که در فصل ۱۳ معرفی خواهد شد.

در اینجا، به (۱) درک فیزیکی و (۲) بیان کمی حرکت شاره متلاطم می‌پردازیم. اولی کاملاً (البته، نه به‌طور کامل) به تجربه متکی است، در حالی که دومی کاملاً به مدل‌های ریاضی تکیه دارد. هر دو از نظر مهندسی مهم‌اند.

اصولاً دو روش کاملاً متفاوت برای بیان و درک حرکت متلاطم وجود دارد، که عبارت‌اند از (۱) پدیده‌شناسی و (۲) آماری. در اولی رابطه‌ای برای تنش برشی برحسب ضریب تبادلی تجربی‌ای به‌دست می‌آورند و در دومی معادلات حرکت را برحسب کمیتهای متوسط زمانی مطالعه می‌کنند.

## ۲-۹ معادلات سرعت میانگین

معادلات تابع تعمیم‌یافته سرعت میانگین را برای جریانهای متلاطم در بخش ۵-۲ به‌دست آوردیم. برای راحتی، آنها را در اینجا خلاصه کرده‌ایم. خواننده می‌تواند برای تعریف نمادهای استفاده شده به فصل ۵ مراجعه کند.

### ۱-۲-۹ قانون توان:

$$u/U = (y/\delta)^{m/(2-m)} = (y/\delta)^{1/n} \quad [25-5]$$

در اینجا،  $y$  فاصله از دیواره،  $\delta$  ضخامت لایه مرزی،  $U$  سرعت جریان آزاد و  $u$  سرعت در لایه مرزی است. قانون توان برای جریانی با گرادیان فشار ناچیز روی سطح تخت به‌کار می‌رود. آن را برای جریان کاملاً توسعه‌یافته در لوله نیز می‌توان به‌کار برد. نمای معادله برحسب عدد رینولدز چندان تغییر نمی‌کند.

### ۲-۲-۹ شکل لگاریتمی قانون دیواره:

$$u/u_\tau = 2.44 \ln(yu_\tau/\nu) + 4.9 \quad [28-5]$$

که  $u_\tau$  سرعت اصطکاکی ( $\sqrt{\tau_0/\rho}$ ) و  $\tau_0$  تنش برش دیواره است. این معادله برای ناحیه وسیعی از لایه مرزی به‌کار می‌رود. برای ناحیه‌ای کوچک در طرف راست دیواره ( $0^\circ < yu_\tau/\nu < 50^\circ$ ) و در بخشهای دوردست لایه مرزی از این معادله نمی‌توان استفاده کرد. این معادله برای گرادیان فشار غیرصفر قطعاً به‌کار می‌رود. ولی هرچه گرادیان فشار بیشتر می‌شود ناحیه شامل شده محدودتر خواهد شد.

## ۳-۲-۹ شکل لگاریتمی قانون نقص سرعت:

$$(U - u)/u_\tau = -2.44 \ln(y/\delta) + 2.5 \quad [29-5]$$

این معادله برای بخش میانی لایه مرزی با گرادینهای فشار صفر یا میانه به‌کار می‌رود. در معادلات (۲۵-۵)، (۲۸-۵) و (۲۹-۵)  $u$ ، همچون فصل ۵، سرعت متوسط زمانی در جریان متلاطم پایاست، هرچند در بقیه این فصل مقادیرهای میانگین را با خط میله (یعنی  $\bar{u}$ ) مشخص می‌کنیم.

## ۳-۹ راهکار آماری

## ۱-۳-۹ سرعتهای جریان متلاطم و متوسط‌گیری شده

جریان متلاطمی را درون لوله‌ای در نظر بگیرید. اگر نقطه خاصی را در جریان انتخاب، و سرعت را در آن نقطه برحسب تابع زمان مطالعه کنیم، منحنی تصادفی‌ای همچون شکل ۱-۹ به‌دست می‌آوریم. سرعت متوسط زمانی  $\bar{u}$  عبارت است از

$$\bar{u} \equiv \frac{1}{T_1} \int_0^{T_1} u \, dt \quad (1-9)$$

که زمان  $T_1$  آن‌قدر طولانی است که  $\bar{u}$  برای هر زمان طولانی‌تری برای جریان پایا دارای همین عدد است. خط بالای این کمیت متوسط زمانی کمیت مشخص شده با معادله (۱-۹) را نشان می‌دهد. سرعت لحظه‌ای  $u$  را می‌توان برحسب سرعت متوسط زمانی  $\bar{u}$ ، به‌نام سرعت میانگین، و سرعت نوسانی  $u'$  نوشت ( $u = u' + \bar{u}$ ).

در بخش بعد، باید کمیت‌های نوسانی را به روشهای مختلف ترکیب کنیم. از مجموعه قواعد زیر برای این عملیات استفاده می‌کنیم. اگر  $a$  و  $b$  کمیت‌های نوسانی، و  $c$  مقداری ثابت باشند، مجموعه قواعد زیر (قواعد متوسط‌گیری رینولدز) را خواهیم داشت

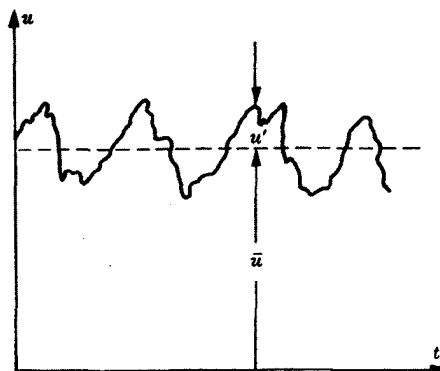
$$\overline{a + b} = \bar{a} + \bar{b}$$

$$\overline{ca} = c\bar{a}$$

$$\overline{ab} = \bar{a}\bar{b} + \overline{a'b'}$$

$$\frac{\partial \bar{a}}{\partial x} = \frac{\partial \bar{a}}{\partial x}$$

که  $a = \bar{a} + a'$  و  $b = \bar{b} + b'$  (مقدار میانگین نوسان صفر است، یعنی  $\bar{a}' = \bar{b}' = 0$ ).



شکل ۱-۹ تغییرات سرعت برحسب زمان در نقطه ثابتی در جریان متلاطم.  $u'$  کمیتی تصادفی است که بر روی سرعت میانگین  $\bar{u}$  قرار گرفته است.

### ۹-۳-۲ معادلات حرکت جریان متلاطم

اکنون، معادلات حرکت جریان متلاطم را به دست می آوریم. روش کار برای هر حالت اساساً یکسان است. نخست، این معادلات را برای کمیتهای لحظه‌ای می نویسیم. سپس متوسط زمانی هر دو طرف معادله را محاسبه می کنیم، با توجه به اینکه اگر این تساوی به طور لحظه‌ای برقرار باشد آن‌گاه برای متوسط دوره زمانی نیز معتبر خواهد بود. سرانجام، معادلات را به گونه‌ای ساده می کنیم که فقط کمیتهای متوسط زمانی ظاهر شوند.

معادله پیوستگی برای جریان متلاطم

شکل دیفرانسیلی معادله پیوستگی، مانند فصل ۳، (به شکل تانسور دکارتی) عبارت است از

$$\frac{\partial \rho}{\partial t} + \frac{\partial}{\partial x_i}(\rho u_i) = 0 \quad [30-3]$$

که  $\rho$  چگالی و  $u_i$ ،  $\rho$  نامین مؤلفه سرعت است. این معادله برای جریان متلاطم متغیر است و متغیرهای وابسته  $(\rho$  و  $u_i)$  کمیتهای نوسانی لحظه‌ای هستند. اگر متوسط زمانی این معادله را بگیریم، داریم

$$\overline{\frac{\partial \rho}{\partial t} + \frac{\partial}{\partial x_i}(\rho u_i)} = 0$$

با قرار دادن مقادیرهای متوسط زمانی به علاوه بخش نوسانی به جای کمیتهای لحظه‌ای، و استفاده از قواعد متوسط‌گیری ریولتز، خواهیم داشت

$$\frac{\partial \bar{\rho}}{\partial t} + \frac{\partial}{\partial x_i}(\bar{\rho} \bar{u}_i) + \frac{\partial}{\partial x_i}(\overline{\rho' u'_i}) = 0 \quad (2-9)$$

برای جریان تراکم‌ناپذیر معادله (۲-۹) به صورت زیر در می آید

$$\frac{\partial \bar{u}_i}{\partial x_i} = 0 \quad (3-9)$$

معادله تکانه برای جریان متلاطم

شکل دیفرانسیلی معادله تکانه را در فصل ۳ [معادله (۳-۵۴)] به دست آوردیم. فرض می کنیم که شماره تراکم‌ناپذیر و گران روی ثابت است. بدین ترتیب، معادله (۳-۵۴) با استفاده از نمادگذاری تانسور دکارتی و قرارداد جمع به صورت زیر در می آید

$$\rho \left( \frac{\partial u_i}{\partial t} + u_j \frac{\partial u_i}{\partial x_j} \right) = - \frac{\partial p}{\partial x_i} + \mu \frac{\partial^2 u_i}{\partial x_j \partial x_j} + B_i \quad (4-9)$$

که  $B_i$  نیروی حجمی و  $\mu$  گران روی است. این معادله برای جریان متلاطم و لایه‌ای معتبر است. اما در جریان متلاطم، متغیرهای وابسته هم نسبت به زمان تغییر می کنند. این متغیرها مانند آنهایی که با لوله پیتو اندازه‌گیری می شوند، متوسط‌گیری شده نیستند. اکنون، این معادلات را برحسب کمیتهای متوسط‌گیری شده زمانی به دست می آوریم.

با نشانیدن  $u_i = \bar{u}_i + u'_i$  و  $p = \bar{p} + p'$  در معادله (۴-۹)، داریم

$$\rho \left[ \frac{\partial (\bar{u}_i + u'_i)}{\partial t} + (\bar{u}_j + u'_j) \frac{\partial}{\partial x_j} (\bar{u}_i + u'_i) \right] = B_i - \frac{\partial (\bar{p} + p')}{\partial x_i} + \mu \frac{\partial^2 (\bar{u}_i + u'_i)}{\partial x_j \partial x_j}$$

پس از ساده‌سازی و متوسط‌گیری برحسب زمان از هر دو طرف، داریم

$$\rho \left( \frac{\partial \bar{u}_i}{\partial t} + \bar{u}_j \frac{\partial \bar{u}_i}{\partial x_j} + u'_j \frac{\partial \bar{u}_i}{\partial x_j} \right) = - \frac{\partial \bar{p}}{\partial x_i} + \mu \frac{\partial^2 \bar{u}_i}{\partial x_j \partial x_j} + \bar{B}_i \quad (5-9)$$

جمله سوم در طرف چپ معادله (۵-۹) معمولاً به شکل دیفرانسیلی نوشته می‌شود. از معادله پیوستگی برای جریان تراکم‌ناپذیر، داریم

$$\partial \bar{u}_j / \partial x_j = 0$$

$$u'_i \frac{\partial u'_j}{\partial x_j} = 0 \quad \text{و} \quad u'_i \frac{\partial u'_j}{\partial x_j} = 0$$

سپس با افزودن  $\partial \bar{u}' / \partial x_j$  (یعنی، صفر) به هر دو طرف معادله (۵-۹)، خواهیم داشت

$$\frac{\partial}{\partial x_j} \overline{u'_i u'_j} = \overline{u'_j \frac{\partial u'_i}{\partial x_j} + u'_i \frac{\partial u'_j}{\partial x_j}}$$

و معادله (۵-۹) به صورت زیر درمی‌آید (با جمله تلاطمی در طرف راست)

$$\rho \left( \frac{\partial \bar{u}_i}{\partial t} + \bar{u}_j \frac{\partial \bar{u}_i}{\partial x_j} \right) = - \frac{\partial \bar{p}}{\partial x_i} + \frac{\partial}{\partial x_j} \left( \mu \frac{\partial \bar{u}_i}{\partial x_j} - \rho \overline{u'_i u'_j} \right) + \bar{B}_i \quad (6-9)$$

معادله (۶-۹) معادله تکانه برای جریان متلاطم است که برحسب کمیتهای متوسط‌گیری شده زمانی نوشته شده است. این معادله با معادله (۴-۹) برای کمیتهای لحظه‌ای تنها در جمله اضافی آخر تفاوت می‌کند. غالباً این جمله را به‌عنوان تنشهای رینولدز یا تنشهای متلاطم می‌شناسند. وقتی معادله جریان متلاطم به این شکل نوشته می‌شود، بجز در جمله افزوده‌شده به جمله تنش لایه‌ای، ظاهری شبیه معادله جریان لایه‌ای دارد. به بیان دقیق‌تر این جمله تنش نیست. بلکه اثر لختی (یا تبادل تکانه) است (یادآوری می‌کنیم که از طرف چپ معادله آمده است) و علت نامیدن آن به‌عنوان تنش، روشی است که معادله جریان لایه‌ای را اصلاح می‌کنند.

معادله انرژی جریان متلاطم

معادله تکانه (۴-۹) را با گران روی ثابت و چگالی ثابت شماره در نظر می‌گیریم. دو طرف این معادله را در  $u_i$  ضرب می‌کنیم، پس از ساده‌سازی، داریم

$$\frac{\partial}{\partial t} \left( \frac{u_i u_i}{2} \right) = - \frac{\partial}{\partial x_i} \left[ u_i \left( \frac{p}{\rho} + \frac{u_j u_j}{2} \right) \right] + \nu \frac{\partial}{\partial x_j} \left[ u_i \left( \frac{\partial u_i}{\partial x_j} + \frac{\partial u_j}{\partial x_i} \right) \right] - \nu \left( \frac{\partial u_i}{\partial x_j} + \frac{\partial u_j}{\partial x_i} \right) \frac{\partial u_i}{\partial x_j} \quad (7-9)$$

معادله (۷-۹) دارای یکای انرژی است و آن را معمولاً معادله انرژی می‌گویند. اما این معادله را نباید با معادله اول ترمودینامیک اشتباه گرفت. قانون اول ترمودینامیک بیان پایستگی انرژی برای همه شکلهاست. معادله انرژی تلاطم از اصل پایستگی تکانه سرچشمه می‌گیرد و هیچ نوع انرژی گرمایی در آن دخیل نیست.

اکنون، معادله (۷-۹) را برحسب متوسط زمانی و کمیتهای نوسانی زیر می‌نویسیم و از هر دو طرف متوسط زمانی می‌گیریم

$$u_i = \bar{u}_i + u'_i$$

$$p = \bar{p} + p'$$

$$u_i u_i = \bar{u}_i \bar{u}_i + 2 \bar{u}_i u'_i + u'_i u'_i$$

پس از ضرب هر دو طرف معادله (۶-۹) در  $\bar{u}_i$  و ترکیب (کم‌کردن) این معادلات، خواهیم داشت

$$\underbrace{\frac{\partial}{\partial t} \left( \frac{u'_i u'_i}{2} \right)}_1 + \underbrace{\frac{\partial}{\partial x_i} \left( \bar{u}_i \frac{u'_j u'_j}{2} \right)}_2 = - \underbrace{\frac{\partial}{\partial x_i} u'_i \left( \frac{p'}{\rho} + \frac{u'_j u'_j}{2} \right)}_3$$

$$\underbrace{- u'_i u'_j \frac{\partial \bar{u}_j}{\partial x_i}}_4 + \underbrace{\nu \frac{\partial}{\partial x_i} u'_j \left( \frac{\partial u'_i}{\partial x_j} + \frac{\partial u'_j}{\partial x_i} \right)}_5 - \underbrace{\nu \left( \frac{\partial u'_i}{\partial x_j} + \frac{\partial u'_j}{\partial x_i} \right) \frac{\partial u'_j}{\partial x_i}}_6 \quad (8-9)$$

معادله (۸-۹) را معادله انرژی تلاطمی می‌گویند و هریک از جمله‌ها انرژی نوع خاصی را مشخص می‌کنند:

۱. آهنگ زمانی افزایش انرژی جنبشی تلاطمی
  ۲. پخش همرفتی انرژی جنبشی تلاطمی به وسیله جریان میانگین
  ۳. پخش همرفتی انرژی تلاطمی کل به وسیله تلاطم
  ۴. تولید تلاطم (انرژی گرفته شده از جریان میانگین)
  ۵. کار انجام شده به وسیله تنشهای برشی گران رو حرکت متلاطم
  ۶. محو تلاطم به وسیله حرکت متلاطم
- بعداً در این فصل به این معادله برمی‌گردیم. به‌ویژه، روی جمله‌های مختلف در جریانهای ساده دقت می‌کنیم تا درک بهتری از سازوکار تلاطم به‌دست آوریم.

### ۴-۹ نظریه‌های پدیده‌شناسی

در بخش قبل، معادلات جریان متلاطم را به‌دست آوردیم. سودمندی این معادلات از دیدگاه مهندسی قدری محدود شده است. حل این معادلات حتی برای جریانهای ساده تقریباً غیرممکن است. بنابراین باید به راهکارهای مستقیم‌تری متوسل شد که شامل مدل‌های جریان تقریباً غیردقیق از نظر فیزیکی هستند، اما جوابهایی برای جریانهای موردنظر مهندسی به‌دست می‌دهند.

تانسور تنش برشی  $\tau_{ij}$  (لایه‌ای  $\tau_{ijl}$  به‌علاوه تلاطمی  $\tau_{ijT}$ ) عبارت است از

$$\tau_{ij} = \mu \left( \frac{\partial \bar{u}_i}{\partial x_j} + \frac{\partial \bar{u}_j}{\partial x_i} \right) - \overline{\rho u'_i u'_j} = \tau_{ijl} + \tau_{ijT} \quad (9-9)$$

$$\tau_{ijl} = \mu \left( \frac{\partial \bar{u}_i}{\partial x_j} + \frac{\partial \bar{u}_j}{\partial x_i} \right), \quad \tau_{ijT} = -\overline{\rho u'_i u'_j}, \quad i \neq j \text{ برای}$$

امید اندکی برای دستیابی به راه‌حلی برای تنشهای رینولدز وجود دارد. بنابراین، باید تنشهای متلاطم را به نحوی با سرعت میانگین مرتبط ساخت. این راهکار در بیان جریانهای متلاطم آزاد همچون جتها و دنباله‌ها موفق بوده است. تمام این مدلها به جریان دوبعدی محدوداند.

### ۱-۴-۹ گران‌روی گردابی یا گران‌روی تلاطمی

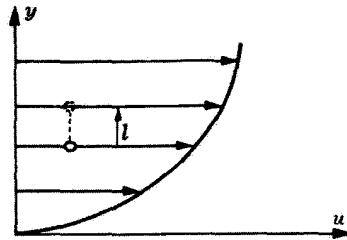
با نوشتن تنش برشی برحسب گران‌روی لایه‌ای به‌علاوه جمله دیگری که بیانگر حرکت تلاطمی یا حرکت ماکروسکوپیکی است، برای جریان دوبعدی داریم

$$\tau_{ij} = (\mu + \rho \varepsilon) \frac{\partial \bar{u}_i}{\partial x_j} \quad (10-9)$$

که  $\varepsilon$  را گران‌روی تلاطمی می‌گویند و به‌صورت زیر به تنشهای رینولدز مربوط می‌شود

$$\varepsilon = \frac{-1}{\partial \bar{u}_i / \partial x_j} \overline{u'_i u'_j}$$

مزیت تعریف گران‌روی تلاطمی به‌صورت معادله (۹-۱۰) این است که اگر  $\varepsilon$  کمیتی باشد که بتوان آن را به‌طور عددی تعیین کرد (یا برحسب سرعت میانگین)، آنگاه این شکل تنش برشی را می‌توان در معادله تکانه نشانند و از آن طریق تعداد متغیرهای وابسته را کاهش داد. این روش باعث ساده‌شدن زیاد مسئله می‌شود. اما مشکل این است که در بیشتر حالتها  $\varepsilon$  برای هریک از شرایط مختلف جریان فرق می‌کند و برای جریان مفروض، ثابت مکانی نیست. گران‌روی تلاطمی را برای بعضی از جریانهای واقعی بعداً در این فصل بررسی می‌کنیم.



شکل ۹-۲ نمودار طول آمیختگی تکانه پرنتل.

### ۹-۴-۲ طول آمیختگی تکانه پرنتل

پرنتل طولی را برای انتقال تکانه بین لایه‌های دارای سرعت‌های میانگین مختلف تعیین کرد. این فرایند انتقال را در شکل ۹-۲ نشان داده‌ایم و از معادله (۹-۱۱) به دست می‌آید

$$\tau = \rho l^2 \left| \frac{\partial \bar{u}}{\partial y} \right| \frac{\partial \bar{u}}{\partial y} \quad (9-11)$$

که  $l$  فاصله‌ای است که ذره باید برای ایجاد تنش برشی تلاطمی ظاهری برای گردان سرعت مفروض ببیند. مدل طول آمیختگی تکانه تلاطمی شبیه نظریه جنبشی (گازها) است که گران روی میکروسکوپی یا مولکولی آنها برابر سرعت (میانگین مولکول) ضرب در طول (مسافت آزاد میانگین) است. در کاربرد شباهت نظریه جنبشی با تلاطم ناسازگاریهایی وجود دارد، به گونه‌ای که در جریان متلاطم اتلاف رخ می‌دهد و اجزای شاره ماهیت خود را حفظ نمی‌کنند. طول آمیختگی را می‌توان برای جریانهای دوبعدی همچون جریان درون لوله، جریان روی صفحه تخت، جت آزاد و جریان دنباله به کار برد. راهکار طول آمیختگی نیز همان مشکلات راهکار گران روی تلاطمی را برای بیشتر جریانها دارد (یعنی برای شرایط جریانی گوناگون فرق می‌کند و برای هر جریان مفروض متغیر مکانی است). وانگهی، هنگام به دست آوردن معادلات طول آمیختگی فرض می‌شود که مقدار آن کوچک است. اما، اندازه‌گیرها نشان داده‌اند که برای بسیاری از جریانها طول آمیختگی کاملاً بزرگ است.

### ۹-۴-۳ نظریه‌های پدیده‌شناسی دیگر

مدلهای جریان متلاطم دیگری شبیه دو مدل قبلی وجود دارند. یکی از این مدلها نظریه انتقال گردشاری تایلور است که گردشاری هریک از ذرات را ثابت فرض می‌کند. در این حالت، طول آمیختگی گردشاری را می‌توان با روشی مشابه طول آمیختگی تکانه در مدل پرنتل به دست آورد.

### ۹-۵ همبستگیهای تلاطم

فعالاً حل معادلات را کنار می‌گذاریم و این پرسش را می‌پرسیم: برای بیان کامل میدان جریان به چه اطلاعاتی نیاز است؟ مؤلفه سرعت لحظه‌ای در هر نقطه جریان [مثلاً  $u_i(x, y, z, t)$ ] اطلاعات زیادی به دست می‌دهد. اما، همچون قبل،  $u_i$  تابع تصادفی زمان است و خود کاربرد عملی محدودی دارد. همچنین،

$\bar{u}_i$  میدان سرعت میانگین را بیان می‌کند.

$\overline{u_i^2}$  کمک زیادی نمی‌کند، چون صفر است.

$\overline{u_i'^2}$  اطلاعاتی درباره شدت نوسانها به دست می‌دهد.

$\overline{u_i' u_j'}$  اطلاعات بیشتری درباره جریان در هر نقطه به دست می‌دهد. (۹ کمیت که شامل ۳ کمیت  $\overline{u_i'^2}$  است).

این کمیتها در معادلات حرکت ظاهر می‌شوند و آنها را همبستگیهای دوگانه سرعت یک نقطه‌ای می‌گویند.

اگر تمام این کمیتها معلوم باشند، آنگاه هنوز شار به طور کامل تعریف نشده است. این درست مثل آن است که بگوییم اگر معادلهٔ تکانه به طور کامل حل شده باشد ولی هنوز جریان به طور کامل تشریح نشده است. دلیل آن این است که همبستگیهای سرعت یک نقطه‌ای اطلاعاتی دربارهٔ اندازهٔ گردابه‌های تلاطمی و روش انتقال انرژی بین دو گرداب با اندازه‌های متفاوت را نمی‌دهد.

همبستگیهای سرعت دو نقطه‌ای اطلاعاتی دربارهٔ اندازهٔ گردابه‌های متلاطم می‌دهند. در اینجا، می‌خواهیم وابستگی سرعت  $A(u'_i)$  را در یک نقطهٔ  $A$  نسبت به سرعت  $B(u'_j)$  در نقطهٔ دیگر  $B$  برقرار کنیم، یعنی

$$\overline{(u'_i)_A (u'_j)_B}$$

اگر همبستگی، یعنی وابستگی یک سرعت به سرعت دیگر وجود نداشته باشد، آنگاه این کمیت صفر است.

## ۹-۶ تلاطم همسانگرد

زمانی تلاطم همسانگرد است که کمیت‌های مختلف تلاطم در نتیجهٔ دوران دستگاه مختصات بدون تغییر باقی بمانند، (یعنی کمیت‌های مفروض در هر نقطه، صرف‌نظر از جهت اندازه‌گیری، یکسان باشند). شرط همسانگردی این است که جریان همگن (یعنی یکسان در تمام نقطه‌ها) باشد. جریان متلاطم همسانگرد جریان ایده‌آلی است که فقط با جریان‌های واقعی تقریب زده می‌شود. مثالی نزدیک به جریان متلاطم همسانگرد، جریان موجود در پایین دست صافی با سرعت یکنواخت است. هر جریانی که سرعت میانگین آن تغییر می‌کند، جریانی ناهمسانگرد است. بیشتر جریان‌های واقعی فاصلهٔ زیادی با جریان همسانگرد دارند و تنها دلیل مطالعهٔ جریان همسانگرد این است که از نظر ریاضی حل آن قدری راحت است و به درک جریان ناهمسانگرد پیچیده‌تر کمک می‌کند. بیشتر پژوهش‌های اخیر در زمینهٔ جریان متلاطم همسانگرد بوده است. مرجع‌های ۳ و ۸ این موضوع را به طور عمیق بررسی کرده‌اند.

## ۹-۷ تلاطم دیواره

تلاطم دیواره جریان متلاطمی است که در اثر برهم‌تنش دیواره با مرز جامد ایجاد می‌شود. سرعت جریان در تماس با مرز جامد کند می‌شود، گویی که تغییر سرعت میانگینی بین این سطح و جریان آزاد وجود دارد. تلاطم دیواره دو نوع است (۱) بیرونی (لایهٔ مرزی) و (۲) درونی (جریان درون لوله‌ها و مجراها). در این فصل مثالی ساده از هر کدام را بررسی می‌کنیم. نخست، جریان روی صفحهٔ تخت با گرادیان فشار صفر، و سپس جریان کاملاً توسعه‌یافتهٔ درون لوله را در نظر می‌گیریم. در حالی که بیشتر جریان‌ها، پیچیده‌تر از این مثالها هستند، اما همهٔ آنها ویژگیهای اساسی یکسانی دارند و به درک فیزیکی جریان‌های پیچیده‌تر در لایه‌های مرزی و مجراها کمک می‌کنند.

### ۹-۷-۱ جریان لایهٔ مرزی در امتداد صفحهٔ تخت

ناحیه‌های لایهٔ مرزی متلاطم

در فصل ۵ روش‌های بیان توزیع سرعت میانگین را بررسی کردیم. نتیجه‌های قانون دیواره به خوبی برای مسئلهٔ صفحهٔ تخت به کار می‌روند. به عنوان مثال، بر پایهٔ این نتیجه‌ها، که در شکل ۵-۱۰ دیده می‌شوند، سه ناحیهٔ کاملاً مجزا در عرض لایهٔ مرزی وجود دارد، که عبارت‌اند از

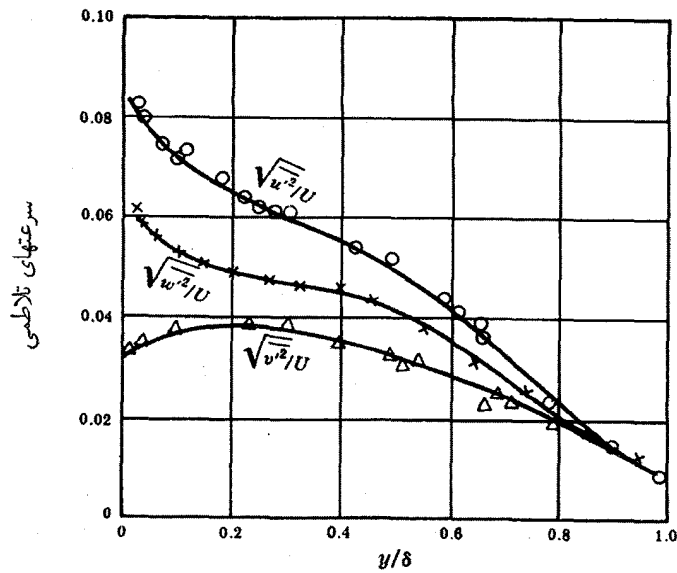
۱. لایهٔ دیوارهٔ موجود بر روی زیرلایهٔ گران‌رو

این ناحیه بسیار نازک است ( $5 < yu_\tau/\nu < 0$ ). این ناحیه در نزدیکی دیواره و در مکانی قرار دارد که تنش‌های گران‌رو بسیار بزرگتر از تنش‌های تلاطمی‌اند. توزیع سرعت در این ناحیه تابع خطی فاصله از دیواره است،  $u/w_\tau = yu_\tau/\nu$ .

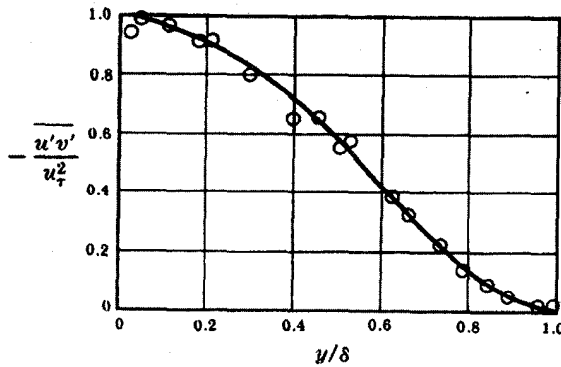
۲. تلاطم دیواره یا ناحیهٔ گذار

این ناحیه، ناحیهٔ میانه‌ای ( $30 < yu_\tau/\nu < 5$ ) است که مقدار تنش‌های گران‌رو و متلاطم آن تقریباً یکسان است.

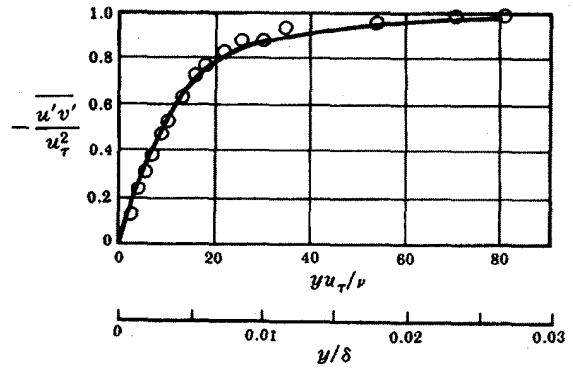
۳. ناحیهٔ متلاطم آزاد



شکل ۳-۹ سرعت‌های تلاطمی برای جریان موجود در امتداد دیواره با گرادیان فشار صفر (در مرجع ۹).



(الف) توزیع تنش برشی متلاطم در عرض لایه مرزی.



(ب) توزیع تنش برشی متلاطم نزدیک دیواره.

شکل ۴-۹ تنش متلاطم برای جریان روی صفحه تخت با گرادیان فشار صفر (در مرجع ۹).

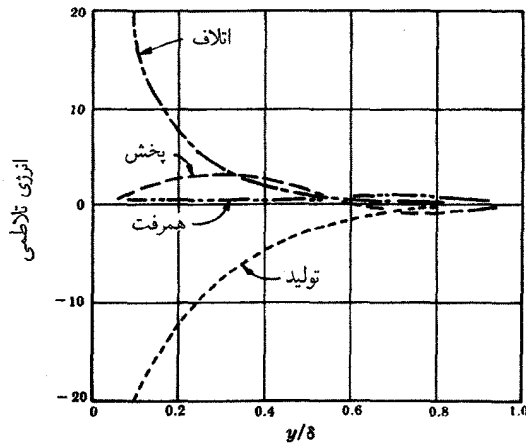
این ناحیه به مراتب از دو ناحیه دیگر بزرگتر است ( $yu_τ/ν > 30$ ). تنشهای متلاطم بسیار بیشتر از تنشهای گران رو است و توزیع سرعت میانگین، بجز برای بخش دوردست لایه مرزی، به شکل لگاریتمی قانون دیواره بیان می‌شود [معادله (۵-۲۸)].

اندازه‌گیری کمیتهای تلاطمی در لایه مرزی

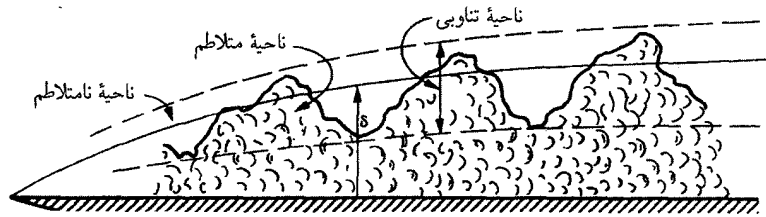
سرعت‌های تلاطمی را با بادسنج سیمی داغ اندازه می‌گیرند. همچون شکل ۳-۹، آنها از صفر در دیواره تا مقدار بیشینه در نزدیکی سطح صفحه به سرعت تغییر می‌کنند. همچنین شکل ۳-۹ نشان می‌دهد که میزان ناهمسانگردی در حرکت از لبه لایه مرزی به سوی دیواره افزایش می‌یابد. مؤلفه عمود بر دیواره،  $v'$ ، کمترین مقدار را دارد. این، نتیجه محدودیت تأثیر دیواره بر جریان لایه مرزی است.

شکل ۴-۹ توزیع تنش رینولدز را در لایه مرزی نشان می‌دهد. در اینجا، یادآوری می‌کنیم که ناحیه‌ای در مجاورت دیواره قرار دارد که تنش رینولدز آن اساساً ثابت است. همچنین، تنشهای گران رو فقط برای حدود ۲٪ لایه مرزی مهم است.





شکل ۹-۵ توزیع انرژی تلاطم در لایه مرزی (در مرجع ۸).



شکل ۹-۶ تصویر لحظه‌ای لایه مرزی تلاطم که تقسیم‌بندی مشخص بین ناحیه‌های متلاطم و نامتلاطم و تناوبی را نشان می‌دهد.

معادله انرژی برای جریان روی صفحه تخت (بجز نزدیک دیواره که تنشهای گرانو مهم‌اند) عبارت است از

$$\bar{u} \frac{\partial}{\partial x} \left( \frac{\bar{q}^2}{2} \right) + \bar{v} \frac{\partial}{\partial y} \left( \frac{\bar{q}^2}{2} \right) + \overline{u'v'} \frac{\partial \bar{u}}{\partial y} + \frac{\partial}{\partial y} \left[ v' \left( \frac{p'}{\rho} + \frac{q^2}{2} \right) \right] - \nu \left[ \frac{\partial^2}{\partial y^2} \left( \frac{\bar{q}^2}{2} \right) - \frac{\partial u'_j}{\partial x_i} \frac{\partial u_j}{\partial x_i} \right] = 0 \quad (9-12)$$

که  $q^2$  انرژی جنبشی تلاطمی  $u'_i u'_i$  است. شکل ۹-۵ نتیجه‌های تجربی را برای جمله‌های مختلف معادله (۹-۱۲) نشان می‌دهد. در اینجا، جمله‌های تولید و اتلاف جمله‌های مهمی در بیشتر قسمتهای لایه مرزی‌اند. این جمله‌ها بزرگترین سهم را در مجاورت دیواره دارند. نتیجه آزمایشهای قبل برحسب کمیت‌های متوسط زمانی داده شده‌اند. اما، براساس اندازه‌گیریهای بادسنج سیمی داغ لحظه‌ای، این مدل را برای لایه مرزی در نظر گرفتیم، که در شکل ۹-۶ دیده می‌شود. مرز نامنظم مشخصی بین ناحیه‌های جریان متلاطم و نامتلاطم وجود دارد. این شکل تصویری لحظه‌ای را نشان می‌دهد و مرزی به‌طور نامنظم بین دو حد  $0.2 < y/\delta < 0.4$  حرکت می‌کند. بنابراین، سه ناحیه متمایز وجود دارند؛ ناحیه نزدیک به سطح که کاملاً متلاطم است،  $0.4 < y/\delta < 0.2$ ، ناحیه‌ای که متناوباً متلاطم و نامتلاطم است،  $0.2 < y/\delta < 0.4$ ، و ناحیه نامتلاطم،  $y/\delta > 0.2$ .

### ۹-۷-۲ جریان متلاطم کاملاً توسعه‌یافته در لوله

مفهوم یا تعریف طول لازم و عوامل مؤثر دیگر برای رسیدن به جریان کاملاً توسعه‌یافته را در فصل ۵ بررسی کردیم. معادلات این جریان کاملاً ساده شده است، زیرا تمام جمله‌هایی که به شکل  $\partial/\partial x$  هستند (بجز فشار) صفرند. طول ورودی لازم برای رسیدن به جریان کاملاً توسعه‌یافته برحسب سرعت میانگین بین ۲۰ و ۱۰۰ برابر قطر است که به شرایط ورودی، عدد رینولدز، زبری دیواره، و تلاطم ورودی بستگی دارد. طول ورودی برای صادق بودن تعریف جریان کاملاً توسعه‌یافته برحسب کمیت‌های تلاطمی اساساً بلندتر است.

جریان کاملاً توسعه‌یافته در لوله از بعضی جنبه‌ها شبیه جریان صفحه تخت است. به‌عنوان مثال، هر دو جریان دوبعدی هستند، هر دو دارای سه ناحیه اصلی (گران‌رو، متلاطم دیواره و متلاطم آزاد) هستند که در گستره فاصله‌ای یکسان  $y/\delta$  از دیواره قرار دارند. اختلاف‌های اصلی در جریان لوله عبارت‌اند از: (۱) سرعت میانگین عرضی (شعاعی)  $\bar{v}$  وجود ندارد، (۲) سرعت میانگین در جهت جریان اصلی  $\bar{u}$  به مختصه آن جهت بستگی ندارد، (۳) جریان آزاد، و بنابراین ناحیه تناوبی وجود ندارد، و (۴) تنش برشی به‌طور خطی برحسب فاصله از دیواره تغییر می‌کند. بنابراین، جریان توسعه‌یافته در لوله یکی از ساده‌ترین جریانهای متلاطم است و به همین علت بررسیهای تجربی گسترده روی این نوع جریان انجام گرفته است. معادلات تکانه برای این حالت (در مختصات استوانه‌ای) عبارت‌اند از

$$\frac{1}{\rho} \frac{\partial \bar{p}}{\partial x} + \frac{1}{r} \frac{d}{dr} (\overline{ru'v'}) - \nu \left( \frac{d^2 \bar{u}}{dr^2} + \frac{1}{r} \frac{d\bar{u}}{dr} \right) = 0 \quad (۱۳-۹)$$

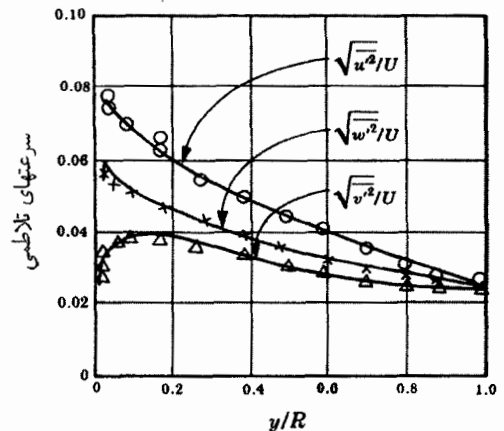
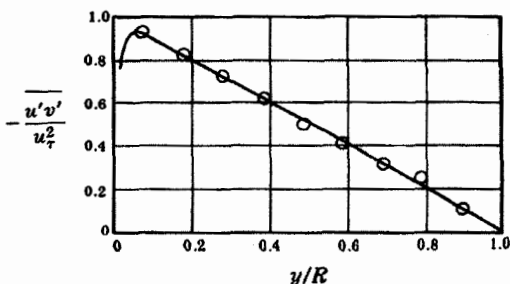
$$\frac{1}{\rho} \frac{\partial \bar{p}}{\partial r} + \frac{1}{r} \frac{d}{dr} (\overline{rv'^2}) - \frac{\overline{w'^2}}{r} = 0 \quad (۱۴-۹)$$

که  $u, v$  و  $w$  به ترتیب سرعت در جهت محوری  $x$ ، جهت شعاعی  $r$  و جهت سمتی  $\theta$  و  $r$  متغیر شعاعی است که از محور استوانه اندازه‌گیری می‌شود. معادله انرژی عبارت است از

$$\overline{u'v'} \frac{d\bar{u}}{dr} + \frac{1}{r} \frac{d}{dr} \left[ rv' \left( \frac{p'}{\rho} + \frac{q^2}{2} \right) \right] - \frac{\nu}{r} \frac{d}{dr} \left[ r \frac{d}{dr} \left( \frac{q^2}{2} \right) + v \frac{\partial u'_i}{\partial x_j} \frac{\partial u'_i}{\partial x_j} \right] = 0 \quad (۱۵-۹)$$

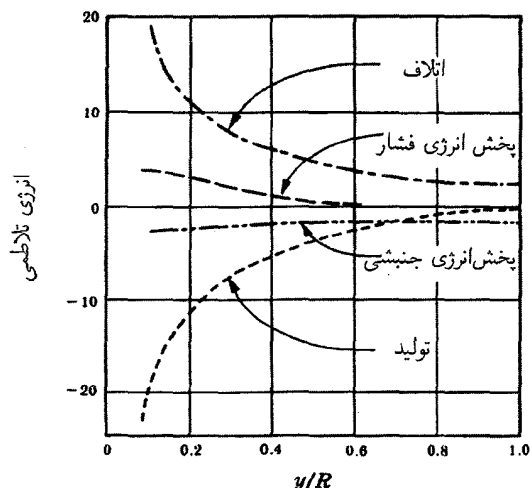
که  $q^2 = (u'u' + v'v' + w'w')$  با برابر است

شکل ۷-۹ سرعت‌های تلاطم، و شکل ۸-۹ توزیع تنش رینولدز برای جریان کاملاً توسعه‌یافته در لوله‌ای به شعاع  $R$  را نشان می‌دهد. شکل ۹-۹ توزیع انرژی تلاطمی را نشان می‌دهد.  $y$  فاصله از دیواره لوله و  $U$  سرعت میانگین خط مرکزی است. به کمک این نتیجه‌ها می‌توان مدلی برای جریان متلاطم درون لوله ارائه کرد. بسیاری از نتیجه‌های این مدل را برای جریان لایه مرزی نیز می‌توان به‌کار برد. میزان شباهت بین این دو جریان با دور شدن از دیواره کاهش می‌یابد که عمدتاً ناشی از مشخصه تناوبی لایه مرزی است. مشخصه‌های مهم جریان درون لوله را در شکل ۹-۱۰ نشان داده‌ایم. تولید و اتلاف بیشترین سهم را در بیشتر طول لایه مرزی دارند. انرژی جنبشی متلاطم، تولید و اتلاف همگی در جریان متلاطم دیواره یا ناحیه گذار، مقدار بیشینه مشخصی را نشان می‌دهند.

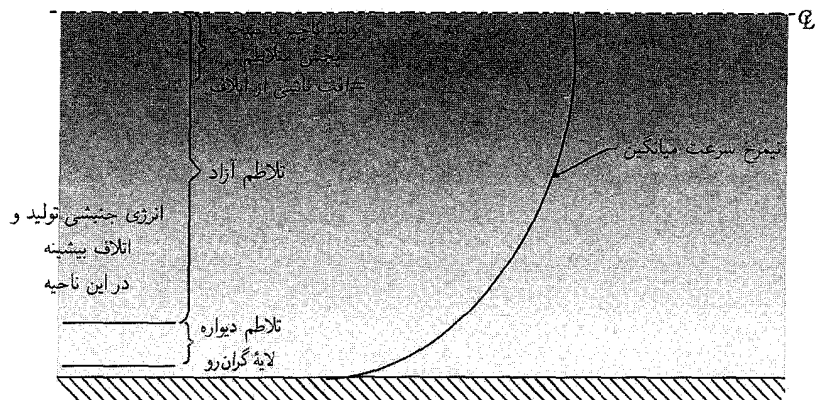


شکل ۸-۹ توزیع تنش برشی تلاطمی برای جریان کاملاً توسعه‌یافته در لوله (در مرجع ۱۰).

شکل ۷-۹ سرعت‌های تلاطمی برای جریان کاملاً توسعه‌یافته در لوله (در مرجع ۱۰).  $U$  سرعت (سرعت میانگین خط مرکزی) فاصله از دیواره است.



شکل ۹-۹ توزیع انرژی تلاطمی برای جریان کاملاً توسعه یافته در لوله (در مرجع ۱۰).



شکل ۹-۱۰ بیان جریان متلاطم کاملاً توسعه یافته درون لوله.

انتقال انرژی جنبشی تلاطمی به طرف مرکز لوله با گرادیان کمتری ادامه می یابد و در مرکز لوله انرژی جنبشی مقداری کمینه دارد و این انرژی با اتلاف خط مرکزی خنثی می شود.

### ۸-۹ تلاطم آزاد

حرکت تلاطمی شاره را که تحت تأثیر مستقیم مرز جامد نیست، تلاطم آزاد می گویند. دنباله پشت جسم موجود در شاره متحرک و جت خارج شده از شیپوره که به درون شاره ساکن یا شاره ای با حرکت آهسته وارد می شود، نمونه های جریان متلاطم آزادند. مسائل مورد نظر مهندسی عبارتند از تعیین آهنگ پراکندگی نسبت به فاصله در جهت جریان، سرعت میانگین، انتقال تکانه و انرژی در حین آمیختگی با شاره پیرامونی.

مشخصه جریانهای آزاد متلاطم این است که اثرهای گران روی هیچ تأثیر کنترل کننده ای روی حرکت میانگین شاره ندارد. حرکت میانگین شاره کاملاً به وسیله گردابه های تلاطمی تحمیل می شود. به این معنا، جریانهای دنباله و جت مشابه بخش بیرونی لایه مرزی متلاطم هستند. تنها نقشی که گران روی در جریانهای آزاد متلاطم دارد، اتلاف انرژی تلاطمی از طریق گردابه های کوچک در مرحله نهایی است.

۱-۸-۹ جریانهای دنباله

جریان متلاطم موجود در دنباله استوانه‌ای دایره‌ای به قطر  $d$ ، همچون شکل ۹-۱۱، را در نظر بگیرید. مسئله این است: برای استوانه‌ای با قطر، شاره، و سرعت شاره مفروض،  $u = u(x, y)$  و نیم‌پهنای دنباله  $b = b(x)$  و کمیت‌های تلاطمی را تعیین کنید. تعیین راه‌حل کاملاً تحلیلی امکان ندارد، اما با نتیجه‌های تجربی می‌توان تعمیم‌سازیهایی سودمندی ایجاد کرد. معادلات تکانه در نقطه‌ای دور از استوانه عبارت است از

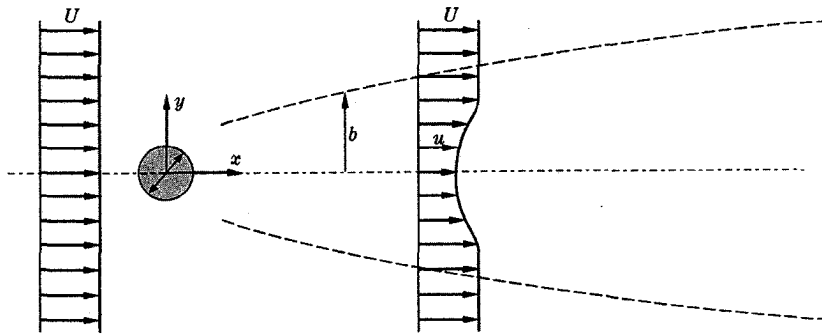
$$U \frac{\partial \bar{u}}{\partial x} = - \frac{\partial}{\partial y} (\overline{u'v'}) \quad (۱۶-۹)$$

$$\circ = \frac{\partial \bar{p}}{\partial y} + \rho \frac{\partial}{\partial y} (\overline{v'^2}) \quad (۱۷-۹)$$

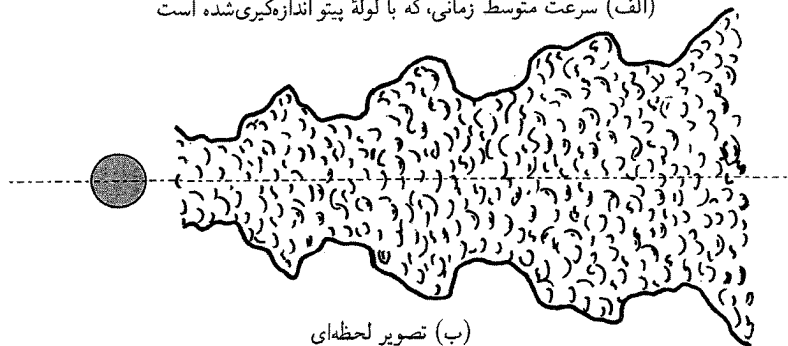
که فرض شده است  $\tau_T \gg \tau_l$ ،  $\bar{u} \gg \bar{v}$ ،  $\partial/\partial z \ll \partial/\partial y$  و  $\nabla \bar{p} = \circ$ . تنش برشی جریان تلاطمی است که با معادله (۹-۹) تعریف می‌شود و  $\tau_l$  تنش برشی جریان لایه‌ای است.

حتی معادلات ساده‌ای چون (۹-۱۶) و (۹-۱۷)، در مقایسه با معادلات اصلی، برای دستیابی به جواب کافی نیستند. بنابراین، رهیافت کلی دریافتن جوابهایی برای مسائل جریان جت و دنباله این است که فرض کنیم هر دو نیم‌رخهای سرعت مشابهی دارند و ضمناً به جای تنش رینولدز یکی از مدل‌های پدیده‌شناسی همچون گرانروی تلاطمی طول آمیختگی پرنتل را جایگزین کنیم. منظور ما از نیم‌رخ مشابه سرعت این است که توزیع سرعت به شکل زیر باشد

$$\bar{u}/U = f(y/b) \quad (۱۸-۹)$$



(الف) سرعت متوسط زمانی، که با لوله پیتو اندازه‌گیری شده است



(ب) تصویر لحظه‌ای

شکل ۹-۱۱ دنباله متلاطم استوانه دایره‌ای.

اشلیشتینگ [۱۴]، در ارتباط با طولهای آمیختگی تکانه پرتل از بحث همانندی، استفاده کرد. او معادله دیفرانسیل را با این فرض که طول آمیختگی متناسب با عرض دنباله است، حل کرد و با استفاده از معادله انتگرالی تکانه رابطه‌های زیر را به دست آورد

$$b = \sqrt{10} \beta (x C_D d)^{1/2} \quad (۱۹-۹)$$

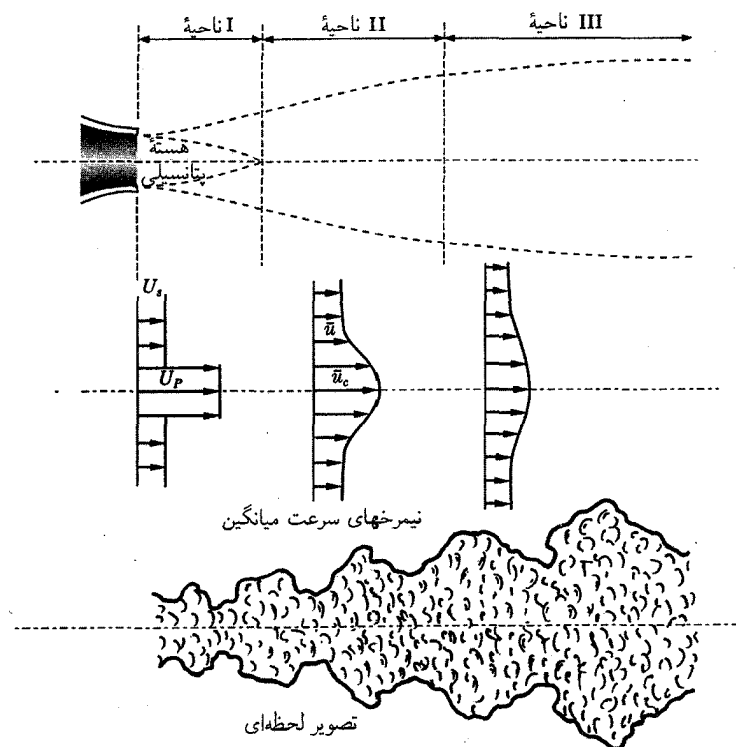
$$\frac{U - \bar{u}}{U} = \frac{\sqrt{10}}{18\beta} [x/C_D d]^{-1/2} [1 - (y/b)^2]^{3/2} \quad (۲۰-۹)$$

که  $\beta = 0.18$ ، مقداری ثابت است که با اندازه‌گیری تجربی به دست می‌آید.  $C_D$  ضریب پسا است. معادله (۱۹-۹) سازگاری خوبی با نتیجه‌های تجربی برای  $\frac{x}{d} > 10$ ، و معادله (۲۰-۹) برای  $\frac{x}{d} > 50$  دارد.

### ۲-۸-۹ جریانهای جت

اکنون، جریان دایره‌ای تلاطم جت، مطابق در شکل ۹-۱۲ را در نظر می‌گیریم. این جریان را می‌توان به سه ناحیه تقسیم کرد که هر یک دارای مشخصه خاصی است: ناحیه ۱ شامل هسته پتانسیلی با سرعت یکنواخت میانگین  $U_p$  است که به وسیله لایه برشی محصور شده است. توسط شاره‌ای با سرعت یکنواخت میانگین  $U_s$  احاطه شده است. این ناحیه از خروجی شیبوره شروع می‌شود و طول آن ۴ تا ۵ برابر قطر شیبوره است. مشخصه ناحیه ۲ نبود و هسته پتانسیلی و نبود همانندی در توزیع سرعت میانگین است. سپس، به ناحیه ۳ می‌رسیم که از فاصله حدود ۸ برابر قطر شیبوره شروع می‌شود و مشخصه آن همانندی در توزیع سرعت است.

بررسیهای زیادی درباره جریانهای تلاطم جت انجام گرفته است که بیشتر به علت اهمیت مهندسی، سادگی، و ارتباط آن با جریانهای تلاطم دیگر است. کتابهای زیادی درباره این موضوع به چاپ رسیده است [۱ و ۱۲].



شکل ۹-۱۲ ناحیه‌های مختلف و نیمرخهای سرعت برای جریان جت تلاطم.

جدول ۹-۱ عرض دنباله و سرعت خط مرکزی

عرض متناسب با	نقص سرعت خط مرکزی ( $\bar{u}_c - U_s$ ) متناسب با	
$x$	$x^{-1/2}$	جت دوبعدی تخت
$x$	$x^{-1}$	جت دایره‌ای
$x^{1/2}$	$x^{-1/2}$	دنبالهٔ دوبعدی تخت
$x^{1/3}$	$x^{-1/3}$	دنبالهٔ دایره‌ای

هینز [۸]، با استفاده از روش همانندی و گران روی تلاطمی، جوابی برای توزیع سرعت میانگین به دست آورد. او، با استفاده از (شکل دیفرانسیلی) معادلهٔ تکانه و معادلهٔ انتگرالی تکانه، دریافت که برای  $1 \ll (U_p - \bar{u})/U_s$ ،  $b$  متناسب با  $(x+a)$  است و

$$\frac{U_p - \bar{u}}{U_p - \bar{u}_c} = \left[ 1 + \frac{(U_p - \bar{u}_c)r^2}{\lambda \varepsilon (x+a)} \right]^{-2}$$

$$(U_p - \bar{u})/U_s \gg 1, b \equiv (x+a)$$

برای  $1 \ll (U_p - \bar{u})/U_s$ ،  $b$  متناسب با  $(x+a)^{1/2}$  است، در اینجا، فرض می‌شود که  $\varepsilon$  مقداری ثابت، و  $a$  مقداری تجربی است؛  $U_p$  و  $U_s$  را در شکل ۹-۱۲ نشان داده‌ایم و  $\bar{u}_c$  سرعت خط مرکزی است.

نتیجه‌های آهنگ رشد جریان دنباله و جت و سرعت‌های خط مرکزی را به اختصار در جدول ۹-۱ آورده‌ایم. البته، این نتیجه‌ها در نزدیکی دنباله و در مجاورت شیپوره معتبر نیستند.

## ۹-۹ پیشرفتهای اخیر

بیان نظری کامل جریان متلاطم هنوز یکی از مسائل حل‌نشدهٔ فیزیک جدید است. از روشهای زیادی برای کمک به درک فیزیکی تلاطم استفاده شده است، اما با بیان کامل ریاضی آن هنوز بسیار فاصله داریم. در این میان، روش بازبهنجارش دارای اهمیت خاصی است که مدیون فیزیک انرژیهای بالا و مفهوم نظریهٔ «آشوب» مبتنی بر برهم‌تنش چندین سیستم نوسان‌ساز برهم‌کنشگر است.

مشکل بیان نظری تلاطم را می‌توان با بررسی تلاطم از دیدگاه سیستم «آشوبناک» بهتر درک کرد. نوسانگر سادهٔ خطی‌ای را با دو درجهٔ آزادی در نظر بگیرید. حرکت یکی از درجه‌های آزادی به شرایط اولیه بستگی دارد و پیچیده‌تر از دستگاه نوسانگری با یک درجهٔ آزادی می‌شود، که در واقع برهم‌نیش دو مد است. با افزایش درجهٔ آزادی، حرکت هر نوسان پیچیده‌تر می‌شود و ممکن است پس از مدتی طولانی تکرار شود. وانگهی، مکان (یا مختصات هر درجهٔ آزادی در هر زمان خاص) به شرایط اولیه، به‌ویژه پس از سپری شدن زمانی طولانی، حساس‌تر خواهد شد.

اگر سیستمی را با تعداد درجهٔ آزادی بسیار زیاد (عملاً شمارش‌ناپذیر) در نظر بگیریم، مقدار هر یک از مختصات متناظر با هر درجهٔ آزادی در هر زمان (پس از سپری شدن زمانی طولانی) به‌طور جدی به مقدار دقیق شرایط اولیه بستگی دارد که عملاً پیش‌بینی عملکرد چنین سیستم پیچیده‌ای را، صرف‌نظر از میزان دقت به‌کار رفته در تعیین شرایط اولیه غیرممکن می‌سازد. به‌عنوان مثال، در بعضی از سیستم‌های با درجهٔ آزادی زیاد اما هنوز شمارش‌پذیر، به‌ویژه اگر غیرخطی باشند، اختلاف فقط یک رقم مثلاً در ۱۶ امین شرط اولیه می‌تواند حالت سیستم را در زمانهای بعدی کاملاً تغییر دهد. بنابراین، حتی با رایانه‌های رقمی جدید نیز تعقیب چنین سیستمی غیرممکن است؛ چنین رفتاری را به این علت آشوبناک می‌گویند که عملاً حتی اگر از مکانیک نیوتونی جبری پیروی کند، پیش‌بینی‌ناپذیر است. نظریهٔ «آشوب» به‌کاررفته برای تلاطم به بینشهای جدیدی در مکانیک تلاطمی منجر شده است.

نظریه‌های پدیده‌شناسی جدیدی به وجود آمده‌اند که، به‌ویژه، برای تحلیل رایانه‌ای مناسب‌اند. در این میان، مدل به اصطلاح  $K-\epsilon$  اهمیتی خاص دارد که در بیان جریانهای متلاطم، به‌ویژه در ناحیه‌های دور از جریانهای برشی قوی که در نزدیکی دیواره‌ها رخ می‌دهند، بسیار موفق بوده است. علاقه‌مندان می‌توانند برای دست‌یابی به جزئیات بیشتر دربارهٔ جریانهای متلاطم به مرجعها و مجله‌های رایج مراجعه کنند.

## ۹-۱۰ خلاصه

در این فصل موضوع جریان تراکم‌ناپذیر متلاطم را تحت عنوان «تلاطم همسانگرد» و «تلاطم برشی» بررسی کردیم. تلاطم همسانگرد جریانی بسیار ایده‌آل است که مستلزم نداشتن تغییر سرعت میانگین است. در حالی که تلاطم همسانگرد را به‌ندرت با جریانهای واقعی مهندسی تقریب می‌زنند، اما قطعاً به درد برخی از راه‌حلهای ریاضی می‌خورد و در نتیجه، با مطالعهٔ گستردهٔ آن می‌توان به درک مفاهیم پیچیده‌تر جریانهای ناهمسانگرد دست یافت.

تلاطم برشی را می‌توان به اجزای تلاطم دیواره، مانند جریانهای لایهٔ مرزی و تلاطم آزاد مانند دنباله‌ها و جتها نیز تقسیم کرد. مسائل موردنظر تعیین سرعت میانگین، تنش برشی و کمیتهای تلاطمی هستند. معمولاً دو راهکار وجود دارد: (۱) راهکار پدیده شناختی تعریف ضریبهای تبادل همچون گرانروی تلاطمی و طول آمیختگی برای مرتبط کردن تنش تلاطمی به میدان سرعت میانگین و (۲) راهکار آماری ثبت معادلات دیفرانسیل اصلی برحسب کمیتهای متوسط زمانی. هر دو راهکار از دیدگاه مهندسی سودمندند.

## مراجع

1. Abramovich, G. N., *The Theory of Turbulent Jets* (USSR), MIT Press, 1963.
  2. Anderson, D. A., Tannehill, J. C., and Pletcher, R. H., *Computational Fluid Mechanics and Heat Transfer*, Hemisphere Publishing Corp., 1984.
  3. Batchelor, G. K., *The Theory of Homogeneous Turbulence*, Cambridge University Press, 1956.
  4. Chandrasekhar, S., *Hydrodynamic and Hydromagnetic Stability*, Oxford, 1961.
  5. Drazin, P. G., and Reid, W. H., *Hydrodynamic Stability*, Cambridge University Press, 1981.
  6. Essers, J. A., *Computational Methods for Turbulent, Transonic, and Viscous Flows*, Hemisphere Publishing Corp., 1983.
  7. Frisch, U., *Turbulence*, Cambridge University Press, 1995.
  8. Hinze, J. O., *Turbulence*, 2nd ed., McGraw-Hill, 1975.
  9. Klebanoff, P. S., "Characteristics of Turbulence in a Boundary Layer with Zero Pressure Gradient," NACA TN 3178, 1954.
  10. Laufer, J., "The Structure of Turbulence in Fully Developed Pipe Flow," NACA R. 1174, 1954.
  11. Moon, F. C., *Chaotic Vibrations*, John Wiley, 1987.
  12. Pai, S. I., *Fluid Dynamics of Jets*, Van Nostrand, 1954.
  13. Patankar, S. V., *Numerical Heat Transfer and Fluid Flow*, McGraw-Hill, 1980.
  14. Schlichting, H., *Boundary Layer Theory*, 7th ed., McGraw-Hill, 1986.
  15. Schubauer, G. B., and Tchen, C. M., *Turbulent Flow*, Princeton University Press, 1961.
  16. Tennekes, H., and Lumley, J. L., *A First Course in Turbulence*, MIT Press, 1972.
  17. Townsend, A. A., *The Structure of Turbulent Shear Flow*, Cambridge University Press, 1956.
- For recent and current developments the reader is referred to journals; in particular the following are recommended: *Journal of Fluid Mechanics* and *Physics of Fluids*.

## مسائل تکمیلی

۹-۱ معادلات حرکت را برای جریان کاملاً توسعه‌یافته با چگالی و گرانروی ثابت در طوقهای هم‌مرکز به‌دست آورید. جریان محوری است.

۹-۲ ثابت کنید که معادلهٔ پیوستگی تراکم‌ناپذیر تنها با انحرافات لحظه‌ای صادق‌اند.

۳-۹ جریان دوبعدی کاملاً توسعه‌یافته‌ای را بین دو دیواره موازی، که یکی ثابت است و دیگری با سرعت ثابت  $U$  حرکت می‌کند، در نظر بگیرید. فرض کنید  $\frac{\partial p}{\partial x} = 0$ ، که در جهت جریان اندازه‌گیری می‌شود.

(الف) شکل کلی منحنی سرعت میانگین را تعیین کنید.

(ب) توزیع تنش برشی را تعیین کنید.

(ج) توزیع تقریبی گران‌روی تلامپی  $\varepsilon$  و طول آمیختگی  $l$  را تعیین کنید.

(د) توزیع فشار را به‌طور تقریبی تعیین کنید.

۴-۹ جریان هوا  $p = 14.7 \text{ psi}$  و  $T = 59^\circ \text{F}$  و  $\rho = 0.00238 \text{ slug/ft}^3$  و  $\mu = 0.373(10)^{-5} \text{ slug/ft-s}$  و  $\nu = 1.57 \times 10^{-4} \text{ ft}^2/\text{s}$  با سرعت جریان آزاد  $5^\circ \text{ ft/s}$  را روی صفحه‌ای تخت در نظر بگیرید. در یک قسمت  $\delta = 2.8 \text{ in.}$  و تنش برشی دیواره  $\tau_0 = 0.00813 \text{ lb/ft}^2$  است. فرض کنید که توزیع سرعت در گستره  $1000 < yu_\tau/\nu < 20$  از رابطه زیر به‌دست می‌آید.

$$\bar{u}/u_\tau = 2.44 \ln yu_\tau/\nu + 4.9$$

با این فرض که تنش برشی ثابت است، مطلوب است محاسبه (الف) طول آمیختگی پرنتل و (ب) نسبت  $\varepsilon/\nu$  در  $y = 0.5 \text{ in.}$  و  $y = 1.0 \text{ in.}$

## نمادگذاری فصل ۹

ثابت	$= a$
نیم‌پهنای دنباله یا جت	$= b$
نیروی حجمی در واحد حجم	$= B_i$
ضریب پسا	$= C_D$
قطر استوانه	$= d$
مفهوم تابعی	$= f$
طول آمیختگی تکانه پرنتل	$= l$
نما برای قانون توان توزیع سرعت	$= m$
نما برای قانون توان توزیع سرعت	$= n$
فشار	$= p$
انرژی جنبشی تلامپ، $u_i' u_i'$	$= q^2$
مختصه شعاعی	$= r$
شعاع لوله	$= R$
زمان	$= t$
طول زمان برای متوسط‌گیری	$= T_1$
سرعت جریان آزاد، سرعت خط مرکزی میانگین در لوله	$= U$
سرعت جت	$= U_p$
سرعت جریان ثانویه	$= U_s$
سرعت خط مرکزی متوسط	$= \bar{u}_c$
$u_1, u_2, u_3, \dots, w$ مؤلفه‌های سرعت	$= u_i$



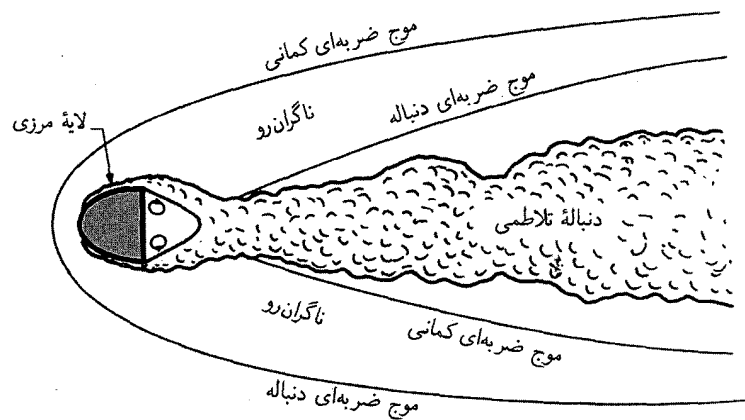
$\sqrt{\tau_0/\rho}$	=	سرعت اصطکاکی	=	$u_\tau$
$z, y, x = x_3, x_2, x_1$	=	مختصات دکارتی	=	$x_i$
	=	فاصله از دیواره	=	$y$
	=	همبستگی سرعت دوگانهٔ یک نقطه‌ای	=	$\overline{u'_i u'_j}$
	=	همبستگی سرعت دوگانهٔ دو نقطه‌ای	=	$(u'_i)_A (u'_j)_B$
	=	ضخامت لایهٔ مرزی	=	$\delta$
	=	گرانروی تلامبی	=	$\varepsilon$
	=	گرانروی	=	$\mu$
	=	گرانروی جنبشی، $\mu/\rho$	=	$\nu$
	=	چگالی	=	$\rho$
	=	تانسور تنش برشی	=	$\tau_{ij}$
$-\rho \overline{u'_i u'_j}$	=	تانسور تنش برشی تلامبی	=	$\tau_{ijT}$
$\mu \frac{\partial \bar{u}_i}{\partial x_j}$	=	تانسور تنش برشی لایه‌ای	=	$\tau_{ijl}$
	=	مؤلفهٔ اول تنش برشی مربوط به مسئله‌ای خاص	=	$\tau$
	=	تنش برشی در دیواره	=	$\tau_0$
	=	نشانگر مقدار میانگین	=	$(-)$
	=	نشانگر مؤلفهٔ نوسانی	=	$( )'$

## جریان لایه مرزی ابرصوتی

### ۱-۱۰ مقدمه

جریان ابرصوتی به علت استفاده در موشکها و سفینه‌های فضایی بسیار مهم است. وقتی جسمی وارد جو زمین می‌شود و یا با عددهای ماخ بسیار بالا در جو پرواز می‌کند، در نتیجه دمای بسیار بالای گاز اطراف جسم تفکیک مولکولی رخ می‌دهد. جریان ابرصوتی به صورت جریانی با سرعت زیاد و با عدد ماخ بالا، به گونه‌ای که تفکیک رخ دهد، تعریف می‌شود (برای جو زمین  $M > 6$ ).

اکنون، با ذکر مثالی مطالعه جریان ابرصوتی را با بررسی رفتار جریانهای مختلف در پیرامون پیمایه‌ای که با سرعت بسیار زیاد، همچون شکل ۱-۱۰، به جو زمین وارد می‌شود، شروع می‌کنیم. موج ضربه‌ای کماتی‌ای در جلوی جسم تشکیل می‌شود و اطراف جسم را می‌پوشاند. جریان در جلوی این موج ضربه‌ای نآشفته است. این موج ضربه‌ای بر روی محور تقارن قوی‌ترین حالت را دارد، زیرا در آنجا عمود بر جریان است. در پشت موج ضربه‌ای ناحیه‌ای وجود دارد که تفکیک رخ می‌دهد. درست در پشت موج ضربه‌ای ناحیه‌ای است که اثرهای گران‌روی مهم نیستند، اما نزدیک به سطح جسم لایه مرزی وجود دارد که تنشهای گران‌رو در آنجا مهم‌اند و جریان آنجا ممکن است لایه‌ای یا متلاطم باشد. با عبور شاره از پشت جسم، همچون در انبساط پرتل-میر، شاره به طرف محور برمی‌گردد. سپس، جریان در جهت عکس برمی‌گردد (راست‌شدن جریان)، که ناشی از حرکت شاره از طرف مقابل است. راست‌شدن جریان به موج ضربه‌ای مایلی منجر می‌شود که موج ضربه‌ای دنباله نام دارد. جریان پس از موج ضربه‌ای دنباله شامل دنباله‌ای با هسته متلاطمی است که دور آن را ناحیه جریان غیرمتلاطم گرفته است. در دنباله، سرعت کاهش می‌یابد (روی محور به مقدار کمینه می‌رسد)، اما با افزایش فاصله در پشت جسم افزایش می‌یابد و سرانجام، تقریباً یکنواخت و برابر سرعت جریان آزاد می‌شود. اما، هسته متلاطم تا فاصله زیادی در پشت جسم (هزاران برابر قطر جسم) برجا می‌ماند.



شکل ۱۰-۱ رژیمهای جریان ابرصوتی.

در این فصل، لایه مرزی و جریانهای دنباله را بررسی می‌کنیم، اما درباره تعیین شکل موج ضربه‌ای و ناحیه‌های جریان ناگزان رو بحث نخواهیم کرد، زیرا حل آنها (اساساً) به روشهای عددی نیاز دارد. در فصل ۸ به مفهوم اصلی جریان فراصوتی، که به ایده روشهای به‌کاررفته در محاسبات خواهد انجامید، اشاره کردیم.

مسئله لایه مرزی متلاطم ابرصوتی یکی از پیچیده‌ترین مسائل در مکانیک شاره‌هاست. این مسئله، افزون بر تمام مشکلات جریان تراکم‌ناپذیر متلاطم (که در فصل ۹ اشاره شد)، پیچیدگیهای دیگری همچون تغییرات چگالی و دمای زیاد، تفکیک و بازترکیب مولکولها و پخش را نیز دارد. با نوشتن معادلات مهم، بررسی روش استفاده از نتیجه جریانهای ساده‌تر و بحث کوتاه درباره روشهای حل معادلات، به تدریج به حل مسئله نزدیک می‌شویم.

## ۱۰-۲ معادلات لایه مرزی

تنها تفاوت معادلات لایه مرزی با معادلات فصل ۵ این است که در اینجا اثر واکنشهای شیمیایی و پخش را نیز باید در نظر بگیریم. معادلات ساده فصل ۵ برای شاره‌هایی که غلظت ذرات مختلف آنها همگن نیست، کافی نخواهد بود. در جریان ابرصوتی گرادیانهای دمایی و پخش بزرگی وجود دارد و بنابراین انتقال جرم، تکانه، و انرژی از طریق پخش انجام می‌گیرد.

همچون قبل، دو راهکار برای ایجاد معادلات مکانیک شاره‌ها وجود دارد. راهکار نخست که کاربرد بیشتری دارد، راهکار پیوستاری است. به عنوان مثال، معادلات تکانه و انرژی با فرض اینکه شماره پیوستار است، به دست می‌آیند. سپس، از طریق معادلات پدیده‌شناسی<sup>۱</sup> این رابطه‌ها (از مرتبه اول) برای جریان دوبعدی صفحه‌ای  $(xy)$  با سرعت  $u$  در جهت  $x$  به کار می‌روند.

$$\tau_{yx} = \mu \frac{\partial u}{\partial y} \quad \text{قانون استوکس} \quad (۱-۱۰)$$

$$q_y = -\kappa \frac{\partial T}{\partial y} \quad \text{قانون فوریه} \quad (۲-۱۰)$$

$$V_{iy} = -D_{ij} \frac{1}{C_i} \frac{\partial C_i}{\partial y} \quad \text{قانون فیک} \quad (۳-۱۰)$$

ضریبهای گرانروی  $\mu$ ، رسانندگی گرمایی  $\kappa$ ، و ضریب پخش دوتایی  $D_{ij}$  (برای پخش گونه  $i$  به درون آمیزه گونه‌های  $i, j$ ) را به عنوان ضریبهای انتقال می‌شناسند، و

$$\tau_{yx} = \text{تنش برشی}$$

۱. نیروی برشی و آهنگ کرنش، شار گرمایی و گرادیان دما، و پخش جرم و گرادیان غلظت به هم مرتبط می‌شوند.

$g_y =$  آهنگ شار گرمایی در جهت  $y$

$V_{iy} =$  سرعت پخش در جهت  $y$  برای گونه  $i$  که به درون آمیزه گونه‌های  $i$  و  $j$  پخش شده است [معادله (۱۰-۴) را ببینید].

$C_i =$  کسر جرم گونه  $i =$  نسبت جرم گونه  $i$  در واحد حجم به چگالی جرمی کل.

راهکار دوم، برخورد با شار به صورت ذره است. در این حالت، با دینامیک ذرات برخوردکننده سروکار داریم. چپمن و کولینگ [۲] و هرشفلدر، کرتیس و برد [۶] این راهکار را به تفصیل در کتابهای خود بیان کرده‌اند. در اینجا، این راهکار را بررسی نخواهیم کرد، و فقط به پایستگی معادله گونه [۱] می‌پردازیم:

$$\rho \frac{DC_i}{Dt} = \dot{w}_i - \nabla \cdot (\rho C_i \mathbf{v}_i) \quad (۱۰-۴)$$

که  $\mathbf{V}_i = \mathbf{v}_i - \mathbf{V}$  = سرعت پخش گونه  $i$

$\mathbf{v}_i =$  سرعت متوسط گونه  $i$

$$V = \frac{\sum_i \rho C_i \mathbf{v}_i}{\sum_i \rho C_i} = \frac{\sum_i \rho_i \mathbf{v}_i}{\sum_i \rho_i} = \text{سرعت جرمی متوسط همه گونه‌ها}$$

که  $\rho_i$  چگالی جرمی گونه  $i$  است.  $u$  و  $v$  مؤلفه‌های  $\mathbf{V}$  هستند.

$\dot{w}_i =$  آهنگ جرمی تولید گونه  $i$  در واحد حجم توسط واکنشهای شیمیایی،

$\rho =$  چگالی جرمی کل  $\sum_i \rho_i$  است.

با فرض جریان لایه مرزی پایای دوبعدی صفحه‌ای و نادیده گرفتن جمله‌های پخش در جهت  $x$  و با استفاده از قانون فیک، پایستگی معادله

گونه به صورت زیر درمی‌آید

$$\rho \left[ u \frac{\partial C_i}{\partial x} + v \frac{\partial C_i}{\partial y} \right] = \dot{w}_i + \frac{\partial}{\partial y} \left( \rho D_{i2} \frac{\partial C_i}{\partial y} \right) \quad (۱۰-۵)$$

که  $u$  و  $v$  مؤلفه‌های  $x$  و  $y$  سرعت جرمی متوسط  $\mathbf{V}$  هستند و به جای  $D_{i2}$ ، از ضریب پخش دوتایی  $D_{i2}$  استفاده شده است. می‌توان نشان داد که  $D_{i2} = D_{2i}$ ، و ضریب دوتایی برای بیشتر سیستمهای گازی موردنظر کفایت می‌کند. معمولاً دو نوع گونه وجود دارد: گونه‌های سنگین و گونه‌های سبک. به‌عنوان مثال، در هوا ذرات سنگین  $O_2$  و  $N_2$  و ذرات سبک  $O$  و  $N$  وجود دارند.  $D_{i2}$  پخش ذرات  $N$  یا  $O$  را از طریق  $N_2$  و  $O_2$  کاملاً بیان می‌کند. معادله پیوستگی کلی عبارت است از

$$\frac{\partial(\rho u)}{\partial x} + \frac{\partial(\rho v)}{\partial y} = 0 \quad (۱۰-۶)$$

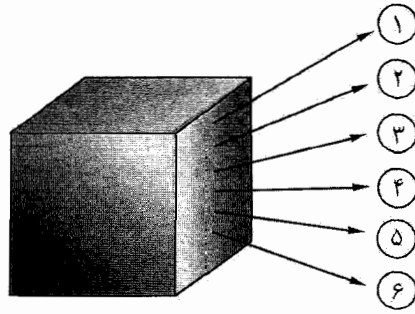
و معادله تکانه برای شاره کلی عبارت است از

$$\rho \left[ u \frac{\partial u}{\partial x} + v \frac{\partial u}{\partial y} \right] = -\frac{\partial p}{\partial x} + \frac{\partial}{\partial y} \left( \mu \frac{\partial u}{\partial y} \right) \quad (۱۰-۷)$$

معادله انرژی کلی برای شاره کلی (با نادیده گرفتن سهم انرژی جنبشی  $v^2/2$  در مقایسه با  $u^2/2$ ) عبارت است از

$$\rho \left[ u \frac{\partial}{\partial x} (h + u^2/2) + v \frac{\partial}{\partial y} (h + u^2/2) \right] = \frac{\partial}{\partial y} \left[ \frac{\mu}{Pr} \frac{\partial}{\partial y} (h + u^2/2) + \mu \left( 1 - \frac{1}{Pr} \right) \frac{1}{2} \frac{\partial u^2}{\partial y} \right] - \frac{\partial}{\partial y} \left[ \left( \frac{1}{L} - 1 \right) \rho D_{i2} \sum_i h_i \frac{\partial C_i}{\partial y} \right] \quad (۱۰-۸)$$

که  $h = \sum_i C_i h_i$



شکل ۱۰-۲ حجم معیار بی نهایت کوچک برای معادله انرژی.

$$h_i = \int_0^T c_{pi} dT + h_i^o$$

$$h_i^o = \text{گرمای تشکیل گونه } i$$

$$\text{عدد پرنتل}, \frac{\mu c_{pf}}{\kappa} = Pr$$

$$\text{عدد لوئیس}, \frac{\rho D_{12} c_{pf}}{\kappa} = L$$

$$\sum_i C_i c_{pi} = c_{pf} \text{، گرمای ویژه انجماد در فشار ثابت}$$

برای اطلاعات بیشتر درباره معادله انرژی به مرجع ۴ مراجعه کنید. چون معادله انرژی در جریان ابرصوتی بسیار مهم است، کلیات به دست آوردن آن را در زیر آورده ایم.

حجم معیار بی نهایت کوچکی را در نقطه ای از جریان مطابق شکل ۱۰-۲ در نظر بگیرید. با توجه به شارهای زیر، داریم

۱. شار خروجی انرژی های درونی و جنبشی خالص از حجم معیار:

$$\nabla \cdot \left[ (\rho \mathbf{V}) \left( \sum_i C_i e_i + u^2/2 \right) \right]$$

که  $e_i = \int_0^T c_{vi} dT$  انرژی درونی ویژه برای گونه  $i$ ، با فرض کامل بودن گاز، است.

۲. انتقال انرژی مولکولی خالص ناشی از گرادیان دما:

$$-\nabla \cdot (\kappa \nabla T)$$

۳. آهنگ کار انجام شده به وسیله شار در واحد حجم توسط نیروهای فشار:

$$\nabla \cdot (p \mathbf{V})$$

۴. آهنگ کار انجام شده توسط شار در واحد حجم به وسیله نیروهای گرانرو:

$$\nabla \cdot [\boldsymbol{\tau} \cdot \mathbf{V}] = \frac{\partial}{\partial x_i} (\tau_{ij} u_j)$$

۵. انرژی حاصل از پخش جرمی گونه  $i$ :

$$\nabla \cdot \left( \sum_i \rho \mathbf{V}_i C_i h_i \right)$$

که در آن

$$\mathbf{V}_i = \frac{D_{12}}{C_i} \nabla C_i$$

۶. انرژی اضافه شده ناشی از تشکیل گونه  $i$ :

$$- \sum_i \dot{w}_i h_i^\circ$$

که  $h_i^\circ$  برای مولکولها صفر، و برای اتمها مقداری مثبت است.

بنابراین معادله انرژی، پس از جمع ۶ اثر بالا، به صورت زیر درمی آید

$$\begin{aligned} & \rho \mathbf{V} \cdot \nabla \left( \sum_i C_i e_i + u^2/2 \right) + \left( \sum_i C_i e_i + u^2/2 \right) \nabla \cdot (\rho \mathbf{V}) - \nabla \cdot (\kappa \nabla T) \\ & + \nabla \cdot (\rho \mathbf{V}) + \nabla \cdot (\boldsymbol{\tau} \cdot \mathbf{V}) + \nabla \cdot \left( \sum_i \rho \mathbf{V}_i C_i h_i \right) + \sum_i \dot{w}_i h_i = 0 \end{aligned} \quad (9-10)$$

افزون بر معادله (۹-۱۰)، معادلات دیگری که در به دست آوردن معادله انرژی به کار می روند، معادلات حالت اند

$$p_i = \rho_i R_i T \quad (10-10)$$

که فرض می شود دمای همه گونه ها یکسان است و  $\bar{R} = \sum_i C_i R_i$  و  $p = \sum_i p_i = \rho \bar{R} T$

$$h_i = e_i + R_i T \quad (11-10)$$

و معادله پیوستگی

$$\nabla \cdot \rho \mathbf{V} = 0 \quad (12-10)$$

با استفاده از معادلات (۴-۱۰)، (۹-۱۰)، (۱۰-۱۰)، (۱۱-۱۰) و (۱۲-۱۰) و فرض اینکه  $h_i = f(T)$ ، معادله انرژی به شکل معادله (۸-۱۰) به دست می آید.

معادله انرژی کلی برای جریان لایه مرزی بر حسب دما به صورت زیر است

$$\begin{aligned} c_{pf} \left[ \rho u \frac{\partial T}{\partial x} + \rho v \frac{\partial T}{\partial y} \right] &= \frac{\partial}{\partial y} \left( \kappa \frac{\partial T}{\partial y} \right) + u \frac{\partial p}{\partial x} + \mu \left( \frac{\partial u}{\partial y} \right)^2 - \sum_i \dot{w}_i h_i^\circ \\ &+ \sum_i c_{pi} \left( D_{ij} \rho \frac{\partial C_i}{\partial y} \right) \end{aligned} \quad (13-10)$$

معادلات (۴-۱۰) تا (۸-۱۰) معادلات اصلی جریان لایه مرزی (لایه ای) ابرصوتی اند.

### ۱۰-۳ لایه مرزی لایه‌ای ابرصوتی

هرچند احتمالاً گذار در نقطه‌ای از جسم رخ می‌دهد و جریان را از لایه‌ای به متلاطم تبدیل می‌کند، در اینجا فقط جریان لایه‌ای را در نظر می‌گیریم و جریان متلاطم را در بخش بعد بررسی خواهیم کرد. تفکیک گازی کامل را در نظر بگیرید. مولکول  $A_2$  به اتم  $A$  تفکیک می‌شود

$$A_2 \rightleftharpoons 2A$$

که  $\alpha = \rho_A / \rho$  کسر جرمی اتمها

$$\rho_M / \rho = (1 - \alpha)$$

شاخصهای پایین  $A$  و  $M$  به ترتیب به اتم و مولکول اشاره می‌کنند. شکل دیگر معادله انرژی (۱۰-۸) به صورت زیر است

$$\rho u \frac{\partial h}{\partial x} + \rho v \frac{\partial h}{\partial y} = u \frac{\partial p}{\partial x} + \frac{\partial}{\partial y} \left( \kappa \frac{\partial T}{\partial y} \right) + \frac{\partial}{\partial y} \left( \rho D_{12} \sum_i h_i \frac{\partial C_i}{\partial y} \right) + \mu \left( \frac{\partial u}{\partial y} \right)^2 \quad (14-10)$$

بدین ترتیب برای گاز کامل تفکیک‌پذیر، داریم

$$\rho u \frac{\partial h}{\partial x} + \rho v \frac{\partial h}{\partial y} = u \frac{\partial p}{\partial x} + \frac{\partial}{\partial y} \left( \kappa \frac{\partial T}{\partial y} \right) + \frac{\partial}{\partial y} \left[ \rho D_{12} h_A \frac{\partial \alpha}{\partial y} - \rho D_{12} h_M \frac{\partial \alpha}{\partial y} \right] + \mu \left( \frac{\partial u}{\partial y} \right)^2 \quad (15-10)$$

معادله پایستگی گونه‌ها به صورت زیر درمی‌آید

$$\rho u \frac{\partial \alpha}{\partial x} + \rho v \frac{\partial \alpha}{\partial y} = \frac{\partial}{\partial y} \left( \rho D_{12} \frac{\partial \alpha}{\partial y} \right) + \dot{w}_A \quad (16-10)$$

معادلات پایستگی گونه‌ها، پیوستگی، تکانه و انرژی (۱۰-۱۶)، (۱۰-۱۶)، (۱۰-۱۶) و (۱۰-۱۷) همراه با رابطه‌های خواص، اگر شرایط مرزی ویژه معلوم باشد مسئله را تعریف می‌کنند. همچنین، باید مقادیرهای مناسبی برای ضریبهای انتقال تعیین کرد.

حل این معادلات مشکلات فراوانی دارد. بنابراین اکنون، مسئله‌ای مرتبط ولی قدری آسان‌تر را در نظر می‌گیریم. جریان گازی واکنش‌ناپذیر را روی صفحه‌ای تخت با گرادیان فشار صفر و خواص ثابت  $[A]$  در نظر می‌گیریم. معادلات به صورت زیر درمی‌آیند

$$\begin{aligned} \rho u \frac{\partial h}{\partial x} + \rho v \frac{\partial h}{\partial y} &= \frac{\partial}{\partial y} \left( \kappa \frac{\partial T}{\partial y} \right) + \mu \left( \frac{\partial u}{\partial y} \right)^2 \\ \rho u \frac{\partial u}{\partial x} + \rho v \frac{\partial u}{\partial y} &= \mu \frac{\partial^2 u}{\partial y^2} \\ \frac{\partial u}{\partial x} + \frac{\partial v}{\partial y} &= 0 \end{aligned}$$

شرایط مرزی عبارت‌اند از

$$\begin{aligned} y = 0, \quad u = v = 0, \quad T = T_w \\ y = \infty, \quad u = U_\infty, \quad T = T_\infty \end{aligned}$$

نتیجه برای انتقال گرما در دیواره عبارت است از

$$q = -\kappa \frac{\partial T}{\partial y} = \frac{C_f}{2} (P_r)^{-1/2} \rho_\infty U_\infty \left[ h_\infty + (P_r)^{1/2} \frac{U_\infty^2}{2} - h_w \right]$$

$$P_r = \mu c_p / \kappa \quad \text{و} \quad C_f = 1.328 \sqrt{\nu / U_\infty x}$$

پیچیدگیهای دیگر شامل خواص متغیرها، تفکیک و پخش، مسئله را بسیار مشکل تر می کند. هرچند نمی توان به جواب رسید، ولی بعضی از مشخصه های فیزیکی جریان ابرصوتی را می توان تعیین کرد.

شار گرمایی بدون تفکیک عبارت است از  $q = -\kappa \partial T / \partial y$ . شار گرمایی کلی با تفکیک [معادله (۱۰-۱۵)] را ببینید] عبارت است از

$$q = -\kappa \frac{\partial T}{\partial y} - \rho D_{12} (h_A - h_M) \frac{\partial \alpha}{\partial y} \quad (17-10)$$

اما

$$h_A - h_M = h_A^\circ + \int_0^T (c_{pA} - c_{pM}) dT$$

که تقریباً برابر  $h_A^\circ$  است، و

$$q = -\kappa \frac{\partial T}{\partial y} - \rho D_{12} h_A^\circ \frac{\partial \alpha}{\partial y}$$

اکنون، دیواره بی دررویی را که  $q = 0$ ، در نظر می گیریم

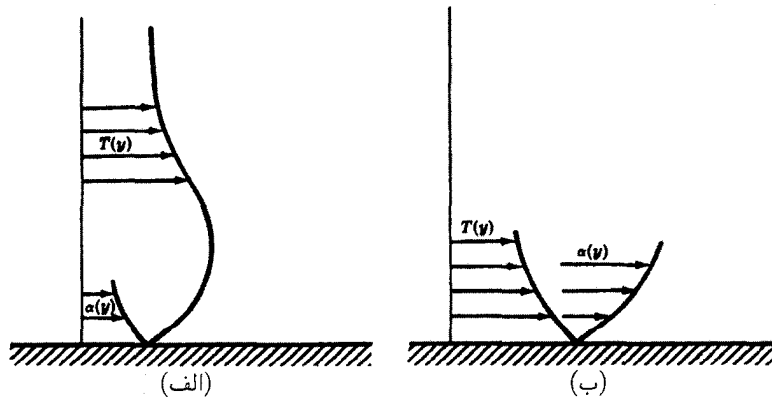
$$\frac{\partial T}{\partial y} = -\frac{\rho D_{12} h_A^\circ}{\kappa} \frac{\partial \alpha}{\partial y}$$

بنابراین، وقتی شار گرمایی مطابق شکل ۱۰-۳ صفر است، گرادیان دمایی غیرصفری باید در دیواره وجود داشته باشد. دورانس [۳] نشان داده است که انتقال گرمای دیواره برای گاز تفکیک پذیر روی صفحه تخت از رابطه زیر به دست می آید

$$q = -\frac{C_f}{4} \rho_\infty U_\infty P_r^{-2/3} \left( h_\infty - h_w + P_r^{1/2} \frac{U_\infty^2}{4} \right) \left[ 1 + \frac{(L-1)(\alpha_\infty - \alpha_w) h_A^\circ}{h_\infty - h_w + P_r^{1/2} U_\infty^2 / 4} \right]^{2/3} \quad (18-10)$$

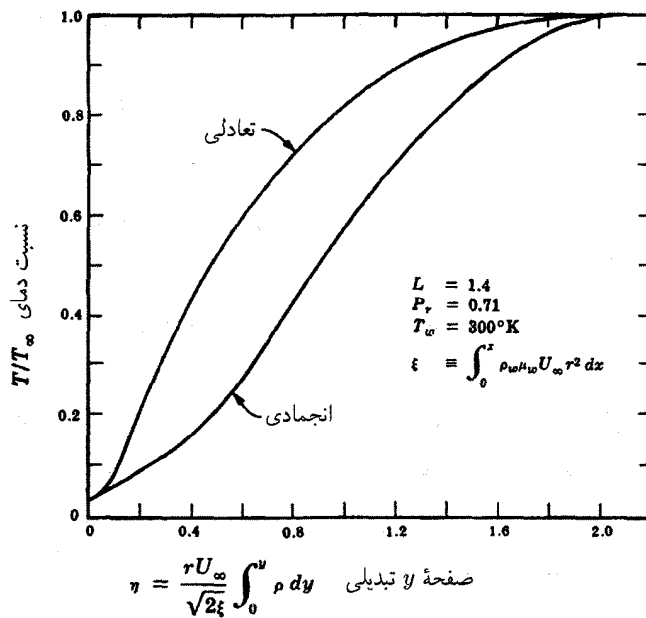
یادآور می شود که اگر در معادله (۱۰-۱۸)،  $L = 1$ ،  $\alpha_\infty = \alpha_w$ ، این معادله دقیقاً همان است که برای شار تفکیک ناپذیر به کار می رود. شاخصهای  $w$  و  $\infty$  به ترتیب به شرایط جریان آزاد و دیواره اشاره می کنند.  $L$  عدد لوئیس است.

بحث قبلی درباره جریان روی صفحه تخت بود. انتقال گرما برای جریانهای روی جسمهای نوک بطن، به ویژه در ناحیه نقطه سکون که فشار گرمایی زیاد است، از نظر مهندسی بسیار مورد توجه است، دورانس، لین، فی، وریدل و دیگران این نوع مسئله ها را به تفصیل در مرجعهای ۱، ۴ و ۷ بررسی کرده اند. در اینجا، درباره این مسئله بیشتر از این بحث نمی کنیم.



شکل ۱۰-۳ توزیعهای سرعت و غلظت برای دیواره بی دررو. (الف) دیواره سرد (ب) دیواره داغ.





شکل ۱۰-۴ توزیع دما در لایه مرزی برای جریان ابرصوتی [۴]. فرض می‌شود که جریان روی جسم استوانه‌ای نوک‌په‌نی رخ می‌دهد و  $r$  شعاع استوانه است.  $y$  فاصله از سطح یا دیواره است.

در اینجا، از روش تبدیل مختصه‌ها استفاده می‌شود، که به تغییر مسئله از معادلات دیفرانسیل جزئی به معادلات دیفرانسیل معمولی منجر می‌شود. سپس معادلات را با شیوه‌های عددی برای (۱) جریان انجمادی (یعنی، برای آهنگ بازترکیب بسیار پایین، که غلظت آنها کلاً با جریان بخشی تعیین می‌شود) و (۲) جریان تعادلی (یعنی، برای آهنگ بازترکیب بسیار بالا، که دما غلظت را در سرتاسر شاره تعیین می‌کند) حل می‌کنیم. نتیجه‌ها را برای عددهای لوتیس و پرنتل خاص و دمای دیواره  $300^\circ\text{K}$  در شکل ۱۰-۴ نشان داده‌ایم. برای دماهای دیواره و جریان آزاد یکسان، دمای میانه جریان تعادلی بیشتر از جریان انجمادی است. این موضوع از بازترکیب آنها در حین حرکت به درون ناحیه‌ای با دمای پایین‌تر نتیجه می‌شود.

### ۱۰-۴ لایه مرزی متلاطم ابرصوتی

وقتی جسمی به درون جو زمین وارد می‌شود، میدان جریان اطراف جسم فازهای مختلفی پیدا می‌کند. مرحله اولیه، عبور پیمایه بازگشتی از میان جریانی با چگالی کم است، که فرضهای پیوستاری معتبر نیستند. سپس پیمایه از محیط چگالتری می‌گذارد که جریان به صورت پیوستار عمل می‌کند و لایه‌ای است. با نفوذ بیشتر پیمایه در درون جو، نوسانهای تصادفی در سرعت به شکل تلاطم در دنباله پایین دست جریان ظاهر می‌شود. با افزایش بیشتر چگالی، مرزی بین جریان لایه‌ای و متلاطم ایجاد می‌شود که به سوی بالادست جریان می‌رود و سرانجام به نقطه‌ای می‌رسد که بیشتر لایه مرزی متلاطم است. وقتی چنین اتفاقی رخ می‌دهد جریان مطابق شکل ۱۰-۱ می‌شود.

در اینجا، مسئله گذار را بررسی نخواهیم کرد. به جای آن فرض خواهیم کرد که لایه مرزی متلاطمی وجود دارد و سپس جریان را بیان خواهیم کرد. روش کار کاملاً شبیه مبحث تلاطم در فصل ۹ است.

معادلات پیوستگی، گونه، تکانه و انرژی را در بخشهای قبل در نظر بگیرید. اگر  $C_i$  را در معادله پیوستگی (۱۰-۶) ضرب، و با معادله گونه (۱۰-۵) جمع کنیم، رابطه زیر به دست می‌آید

$$\frac{\partial}{\partial x}(\rho u C_i) + \frac{\partial}{\partial y}(\rho v C_i) = -\frac{\partial}{\partial y}(\rho C_i V_{iy}) + \dot{w}_i \quad (10-19)$$

از ترکیب معادله پیوستگی و تکانه (۷-۱۰)، داریم

$$\frac{\partial}{\partial x}(\rho u^2) + \frac{\partial}{\partial y}(\rho v u) = \frac{\partial}{\partial y} \left( \mu \frac{\partial u}{\partial y} \right) \quad (20-10)$$

با ضرب معادله پیوستگی در  $I$ ، آنتالیپی سکون  $(h + u^2/2)$ ، و جمع آن با معادله انرژی، خواهیم داشت

$$\frac{\partial}{\partial x}(\rho u I) + \frac{\partial}{\partial y}(\rho v I) = \frac{\partial}{\partial y} \left[ \frac{\mu}{Pr} \frac{\partial I}{\partial y} + \mu \left( 1 - \frac{1}{Pr} \right) \frac{1}{2} \frac{\partial(u^2)}{\partial y} \right] + \frac{\partial}{\partial y} \left[ \left( \frac{1}{L} - 1 \right) \sum_i V_{iy} h_i \right] \quad (21-10)$$

معادلات (۹-۱۰)، (۲۰-۱۰) و (۲۱-۱۰) برای جریان لایه‌ای معتبرند. فرض می‌کنیم که این معادلات برای جریان متلاطم نیز، مادامی که از کمیتهای لحظه‌ای برای متغیرهای وابسته در آنها استفاده می‌شود، معتبرند.

اما در شکل فعلی، امید چندانی برای حل این معادلات به‌عنوان تابع مکان و زمان حتی در جریانهای ساده نیست. بنابراین، از روش فصل ۹ برای به‌دست آوردن معادلات مربوط، که دارای کمیتهای متوسط زمانی هستند، استفاده خواهیم کرد. اکنون، کمیتهای لحظه‌ای را برحسب کمیتهای متوسط زمانی و کمیتهای نوسان‌دار به‌صورت زیر می‌نویسیم

$$\begin{aligned} u &= \bar{u} + u' & C_i &= \bar{C}_i + C'_i \\ \rho u &= \bar{\rho u} + (\rho u)' & h_i &= \bar{h}_i + h'_i \\ \rho v &= \bar{\rho v} + (\rho v)' & \rho V_{iy} &= \bar{\rho V}_{iy} + (\rho V_{iy})' \\ h &= \bar{h} + h' \end{aligned}$$

که خطهای بار مقدارهای متوسط زمانی و پریمها کمیتهای نوسان‌دار را نشان می‌دهند. اکنون، رابطه‌های بالا را در معادله پیوستگی و معادلات (۱۹-۱۰)، (۲۰-۱۰) و (۲۱-۱۰) می‌نشانیم و متوسط زمانی هریک را می‌گیریم. در نتیجه روابط زیر به‌دست می‌آیند

پیوستگی کل:

$$\frac{\partial}{\partial x}(\bar{\rho u}) + \frac{\partial}{\partial y}(\bar{\rho v}) = 0 \quad (22-10)$$

پیوستگی گونه:

$$\bar{\rho u} \frac{\partial \bar{C}_i}{\partial x} + \bar{\rho v} \frac{\partial \bar{C}_i}{\partial y} + \frac{\partial}{\partial y} \left[ \bar{\rho D}_{12} \frac{\partial \bar{C}_i}{\partial y} - \overline{(\rho v)' C'_i} \right] + \dot{w}_i \quad (23-10)$$

که فرض می‌شود  $\frac{\partial}{\partial x} \overline{[(\rho u)' C'_i]} \ll \frac{\partial}{\partial y} \overline{[(\rho v)' C'_i]}$  و  $\overline{[(\rho V_{iy})' C'_i]} \ll \overline{[\rho V_{iy} C_i]}$

تکانه:

$$\bar{\rho u} \frac{\partial \bar{u}}{\partial x} + \bar{\rho v} \frac{\partial \bar{u}}{\partial y} = \frac{\partial}{\partial y} \left[ \mu \frac{\partial \bar{u}}{\partial y} - \overline{(\rho v)' u'} \right] \quad (24-10)$$

که فرض می‌شود  $\frac{\partial}{\partial x} \overline{[(\rho u)' u']} \ll \frac{\partial}{\partial y} \overline{[(\rho v)' u']}$

انرژی:

$$\begin{aligned} \bar{\rho u} \frac{\partial \bar{h}}{\partial x} + \bar{\rho v} \frac{\partial \bar{h}}{\partial y} &= \mu \left( \frac{\partial \bar{u}}{\partial y} \right)^2 - \overline{(\rho v)' u'} \frac{\partial \bar{u}}{\partial y} \\ + \frac{\partial}{\partial y} \left[ \kappa \frac{\partial \bar{T}}{\partial y} - \sum_i \bar{h}_i \bar{\rho}_i \bar{V}_{iy} - \sum_i \bar{C}_i \bar{h}'_i (\rho v)' - \sum_i \overline{(\rho v)' C'_i h_i} \right] \end{aligned} \quad (25-10)$$

یادآور می شویم که جمله های دیگری در این معادلات وجود دارند که ناشی از جریان نوسان دار متلاطم است. این جمله ها دارای مفهوم فیزیکی معینی هستند. به عنوان مثال،

$$\begin{aligned} & -\overline{(\rho v)'C'_i} \quad \text{انتقال جرم متلاطم است،} \\ & -\overline{(\rho v)'u'} \quad \text{انتقال تکانه متلاطم است و} \\ & -\overline{(\rho v)'h'_i} \quad \text{انتقال انرژی متلاطم است.} \end{aligned}$$

با چند عملیات جبری و پس از معرفی جمله های جدیدی همچون

$$\begin{aligned} \epsilon &= -\frac{\overline{(\rho v)'u'}}{\partial \bar{u} / \partial y}, \quad \epsilon_T = -\frac{\overline{(\rho v)'h'_i}}{\partial \bar{T} / \partial y} \quad \bar{\rho} D_T = \frac{\overline{(\rho v)'C'_i}}{\partial \bar{C}_i / \partial y}, \\ P_{rT} &= \frac{c_{pf} \epsilon}{\epsilon_T}, \quad L_T = \frac{c_{pf} \bar{\rho} D_T}{\epsilon_T} \end{aligned}$$

داریم

معادله پیوستگی گونه:

$$\bar{\rho} u \frac{\partial \bar{C}_i}{\partial x} + \bar{\rho} v \frac{\partial \bar{C}_i}{\partial y} = \frac{\partial}{\partial y} \left[ (\rho D_{12} + \rho D_T) \frac{\partial \bar{C}_i}{\partial y} \right] + \dot{w}_i \quad (26-10)$$

معادله تکانه:

$$\bar{\rho} u \frac{\partial \bar{u}}{\partial x} + \bar{\rho} v \frac{\partial \bar{u}}{\partial y} = \frac{\partial}{\partial y} \left[ (\mu + \epsilon) \frac{\partial \bar{u}}{\partial y} \right] \quad (27-10)$$

معادله انرژی:

$$\begin{aligned} \bar{\rho} u \frac{\partial \bar{h}}{\partial x} + \bar{\rho} v \frac{\partial \bar{h}}{\partial y} &= (\mu + \epsilon) \left( \frac{\partial \bar{u}}{\partial y} \right)^2 + \frac{\partial}{\partial y} \left[ \left( \frac{\mu}{P_r} + \frac{\epsilon}{P_{rT}} \right) \frac{\partial \bar{h}}{\partial y} \right] \\ &+ \frac{\partial}{\partial y} \left\{ \left[ \frac{\kappa}{c_{pf}} (L - 1) + \frac{\epsilon_T}{c_{pf}} (L_T - 1) \right] \sum_i h_i \frac{\partial \bar{C}_i}{\partial y} \right\} \quad (28-10) \end{aligned}$$

اکنون، این معادلات بر حسب ضریبهای میکروسکوپی و ماکروسکوپی انتقال هستند. حل این معادلات را در مرجع ۳ آورده ایم. روش کلی کار بررسی حالت ساده ای است که

$$P_r = P_{rT} = L = L_T = 1$$

سپس نتیجه ها را برای حالت کلی تر تعمیم می دهیم.

## ۵-۱۰ گرمایش آئرو دینامیکی

این فصل را با بحث کوتاهی درباره مسئله ای که نقش اساسی در فرایند شکل گیری برنامه فضایی هدایت شونده داشته است به پایان می رسانیم. پیمایه هایی که با سرعت بسیار زیاد از میان جو می گذارند، به علت اصطکاک گران رو و دمای سطح، کاملاً داغ می شوند؛ در عمل، دمای دیواره بی دررو آنچنان افزایش می یابد که خارج از تحمل انسان است.

در سرعت های ابرصوتی، مثلاً با عدد ماخ ۱ تا ۲، از روی دمای دیواره بی دررو  $T_a$  می توان دمای بدنه هواپیما را در پرواز پایا تصور کرد. مثلاً در  $M = 2$ ،  $T_a/T_\infty \approx 1.8$  (برای هوا در دمای  $50^\circ\text{F}$ ،  $37^\circ\text{F}$ ). این دماهای بالا به مشکل حفظ دمای درونی هواپیما در سطح قابل قبول

در هواپیماهای جت ابرصوتی بازرگانی می‌انجامد؛ دمای زیاد سطح خارجی بدنه هواپیما، حتی اگر هوای خارج کاملاً سرد باشد، این مشکل را تشدید می‌کند. در نتیجه، عایق‌بندی و تهویه مناسب ضروری است.

پیمایه بازگشتی با سرعت ابرصوتی و عدد ماخ حدود  $10^\circ$  تا  $30^\circ$  به لایه‌های بالای جو وارد می‌شود. در این سرعتها، دمای لایه مرزی به قدری بالاست که تفکیک مولکولهای هوا و حتی یونش رخ می‌دهد. در تشریح کامل لایه مرزی باید این فرایندهای شیمیایی و اتمی را به حساب آورد. اما، بعضی از نتیجه‌های این فصل را می‌توان برای مسئله گرمایشی ابرصوتی به‌کار برد و دست‌کم اطلاعات کیفی جالبی درباره چگونگی طراحی پیمایه‌های بازگشتی، برای جلوگیری از سوختن آنها در حین عبور از جو، به دست آورد. نتیجه‌هایی که به دست می‌آیند کاملاً متفاوت با نتیجه‌های به دست آمده از هواپیماست. برای هواپیما، پسا باید کمینه باشد و دماهای پایا در حد معقولی حفظ شود. مسئله پیمایه بازگشتی اساساً مسئله‌ای گذراست و پسا را باید آنچنان تنظیم کرد که گرمایش، و نه توان، کمینه شود، زیرا بازگشت پیمایه اساساً به صورت سقوط آزاد است. برای مطالعه این موضوع حائز اهمیت، می‌توان قانون و کمیت نیوتون را برای پیمایه به صورت زیر نوشت

$$M \frac{dV}{dt} = -D = -C_D \left( \frac{1}{2} \rho V^2 A \right)$$

$$M \frac{d(V^2/2)}{dt} = -DV \quad \text{یا}$$

که  $M$  جرم پیمایه،  $V$  سرعت آن،  $D$  پسای مخالف حرکت و  $VA$  مساحت سطح مشخصه است. (فرض می‌کنیم که نیروی گرانش در مقابل پسا کوچک است).

اکنون، آهنگ انتقال گرمای کلی  $dQ/dT$  به پیمایه را در دمای کلی  $T_w$  تقریباً برحسب دمای دیواره بی‌دررو و  $T_w$  می‌نویسیم

$$\frac{dQ}{dt} \approx \bar{h} A (T_a - T_w) \approx \frac{\bar{h} A V_\infty^2}{2c_p}$$

برای هوا،  $T_a \approx T_\infty + (rV_\infty^2/2c_p)$ ، که  $T_\infty$  و  $V_\infty$  مقدارهای جریان آزاد هستند، « $r$  ضریب بازیابی» و  $\bar{h}$  ضریب لایه نازک متوسط است. فرض می‌کنیم که  $r \approx 1$  و به طور محافظه‌کارانه،  $T_w \approx T_\infty$ . وانگهی، نتیجه می‌شود که

$$\bar{h} \propto \frac{1}{2} \rho c_p C_{Df} V_\infty$$

و پسای ناشی از اصطکاک  $D_f$  عبارت است از

$$D_f = C_{Df} \frac{\rho V_\infty^2}{2} A$$

که  $C_{Df}$  را به عنوان ضریب اصطکاک تعریف می‌کنند. پسای کلی  $D$  را می‌توان به صورت زیر نوشت

$$D = C_D \frac{\rho V_\infty^2}{2} A$$

$$C_D = C_{Df} + C_{Dp}$$

که  $C_{Dp}$  ضریب پسای فشاری یا ضریب پسای شکل است. با ترکیب این رابطه‌ها، داریم

$$\frac{dQ}{dt} \approx -\frac{1}{2} \frac{C_{Df}}{C_D} M \frac{d(V_\infty^2/2)}{dt}$$

و در نتیجه  $Q$ ، گرمای کلی انتقال یافته به جسم در حین شتاب منفی، انتگرال معادله قبل است و می‌توان آن را برحسب سرعت اولیه  $V_{\infty i}$  نوشت

$$Q \approx \frac{1}{2} \frac{C_{Df}}{C_D} \left( \frac{M V_{\infty i}^2}{2} \right) \quad (29-10)$$

که از سرعت نهایی صرف نظر شده است. می بینیم که برای کمینه کردن گرمای انتقال یافته به جسم یا فضاپیما، نسبت  $C_{Df}/C_D$  باید کوچک شود. به بیان دیگر، جسم باید نوک پهن باشد، به گونه‌ای که پسای شکل بیشترین سهم را در پسای کل داشته باشد. حتی در آن موقع، برای کمک به جذب گرما و جلوگیری از افزایش شدید دمای درونی، از مواد فرسودنی در سطح پیمایه‌های بازگشتی استفاده می‌شود. در شوروی سابق، پیمایه‌های بازگشتی نوعاً کرومی بودند، در حالی که سفینه‌های امریکایی عموماً نوک پهن و به شکل مخروطی هستند. شکل کرومی  $C_{Df}/C_D$  کوچکتری دارد، اما شکل مخروطی دارای پایداری جهتی بهتری در حین پرواز بازگشتی است.

## ۱۰-۶ خلاصه و بحث

لایه مرزی واکنش پذیر متلاطم یکی از پیچیده‌ترین مسائل در مکانیک شاره‌هاست، که احتمالاً در عصر پیشرفت فضایی مورد توجه زیادی است. در معادلات دو نوع ضریب انتقال وجود دارد. ضریبهای انتقال  $\mu$ ،  $\kappa$  و  $D_{12}$  ناشی از اثرهای میکروسکوپی و خواص شاره‌اند، که به شرایط جریان بستگی ندارند. اما، ضریبهای انتقال  $\epsilon$ ،  $\epsilon_T$  و  $D_T$  نتیجه اثرهای ماکروسکوپی هستند و جزو خواص شاره به‌شمار نمی‌آیند. و این ضریبها به شرایط جریان بستگی دارند و باید به‌عنوان مجهولهای معادلات نظیر سرعت و آنژیوم و جزآن تلقی شوند. تعیین ضریبهای انتقال (میکروسکوپی، ماکروسکوپی) یکی از مسائل مهم در جریان لایه مرزی ابرصوتی تلاطمی است. آئودینامیک ابرصوتی و تحلیل مسائل بازگشتی به‌خوبی در شاخه‌های مکانیک شاره‌ها درک شده است.

طراحی آئودینامیکی شاتل فضایی مبتنی بر نظریه جریان ابرصوتی و جریان لایه مرزی واکنش پذیر است. این حقیقت که شاتلها عملکرد آئودینامیکی خوبی داشته‌اند، گواه بر تکامل این حوزه مکانیک شاره‌هاست. در حال حاضر، کوشش زیادی صرف برنامه حمل و نقل ابرصوتی شده است که شامل توسعه هواپیماهای حمل و نقل سرعت، بلندپرواز با موتور جت است.

## مراجع

1. Anderson, J. D., *Hypersonic and High Temperature Gas Dynamics*, McGraw-Hill, 1989. (A useful bibliography of journal articles is provided.)
2. Chapman, S., and Cowling, T. G., *The Mathematical Theory of Non-Uniform Gases*, Cambridge University Press, 1958.
3. Dorrance, W. H., *Viscous Hypersonic Flow*, McGraw-Hill, 1962.
4. Fay, J. A., and Riddell, F. R., "Theory of Stagnation Point Heat Transfer in Dissociated Air," *J. Aero. Sci.*, 25, No. 2, pp. 73-85, 1958.
5. Hall, J. G., Editor, *Fundamental Phenomena in Hypersonic Flow*, Cornell University Press, 1996.
6. Hirschfelder, J. O., Curtiss, C. F., and Bird, R. B., *Molecular Theory of Gases and Liquids*, John Wiley, 1954.
7. Lees, L., "Laminar Heat Transfer over Blunt Nosed Bodies at Hypersonic Flight Speeds," *Jet Propulsion*, April 1956.
8. Schlichting, H., *Boundary Layer Theory*, 7th ed., McGraw-Hill, 1986.
9. Vincenti, W. G., and Kruger, C. H., Jr., *Introduction to Physical Gas Dynamics*, John Wiley, 1965. (Reprinted by Krieger Publishing Co.)

The reader who desires further study in hypersonic flow will find that references 1 and 3 will provide an excellent introduction and discussion of the problems. Both of these books list many of the important publications in hypersonic flow.

The following journals are particularly useful for the reader interested in following current research in the area of hypersonic flow: *Physics of Fluids* and *Transactions of the A.I.A.A.*

کسر جرمی گونه	$= C_i$
گرمای ویژه در فشار ثابت	$= c_p$
گرمای ویژه در فشار ثابت برای گونه $i$	$= c_{pi}$
گرمای ویژه در فشار ثابت برای اتمها	$= c_{pA}$
گرمای ویژه انجمادی، $\sum_i C_i c_{pi}$ ، در فشار ثابت	$= c_{pf}$
گرمای ویژه در فشار ثابت برای مولکولها	$= c_{pM}$
گرمای ویژه در حجم ثابت برای گونه $i$	$= c_{vi}$
ضریب پخش دوتایی	$= D_{12}$
ضریب پخش متلاطم	$= D_T$
انرژی درونی ویژه $i$	$= e_i$
آنتالپی ویژه، ضریب لایه نازک	$= h$
آنتالپی ویژه گونه $i$	$= h_i$
آنتالپی ویژه تشکیل گونه $i$	$= h_i^\circ$
آنتالپی ویژه در دیواره	$= h_w$
آنتالپی ویژه جریان آزاد	$= h_\infty$
آنتالپی ویژه سکون یا کل	$u^2/2rh = I$
عدد لوئیس	$= L$
عدد لوئیس متلاطم	$= L_T$
عدد ماخ	$= M$
فشار	$= p$
فشار جزئی گونه $i$	$= p_i$
عدد پرنتل $\mu c_{pf}/\kappa$	$= Pr$
عدد پرنتل متلاطم	$= Pr_T$
شار گرمایی در جهت $y$	$= q$
ثابت گاز برای گاز کلی $\sum C_i R_i$	$= \bar{R}$
ثابت گاز برای گونه $i$	$= R_i$
زمان	$= t$
دما	$= T$
دمای جریان آزاد	$= T_\infty$
سرعت متوسط جرمی در جهت $x$	$= u$
سرعت جریان آزاد	$= U_\infty$
سرعت متوسط جرمی در جهت $y$	$= v$
سرعت متوسط جرمی $\frac{\sum_i C_i \rho_i v_i}{\sum_i C_i \rho_i}$	$= V$
سرعت پخش گونه $i$ در جهت $y$	$= V_{iy}$
سرعت پخش گونه $i$	$= V_i$
سرعت متوسط گونه $i$	$= v_i$

سرعت متوسط جرمی در جهت $z$	$= w$
آهنگ جرمی تولید گونه $i$ در واحد حجم، توسط واکنش شیمیایی	$= \dot{w}_i$
مختصات	$= x, y, z$
کسر جرمی اتمها	$= \alpha$
کسر جرمی اتمها برای جریان آزاد	$= \alpha_\infty$
کسر جرمی اتمهای دیواره	$= \alpha_w$
گرانروی متلاطم	$= \epsilon$
ضریب انتقال انرژی متلاطم	$= \epsilon_T$
رسانندگی گرمایی	$= \kappa$
گرانروی	$= \mu$
چگالی	$= \rho$
چگالی اتمها	$= \rho_A$
چگالی مولکولها	$= \rho_M$
تنش برشی	$= \tau_{yx}$
نشانه خاصیت اتم	$= ( )_A$
نشانه خاصیت مولکول	$= ( )_M$
نشانه خاصیت در دیواره	$= ( )_w$
نشانه خاصیت در جریان آزاد	$= ( )_\infty$

## مغناطوهیدرودینامیک

### ۱-۱۱ مقدمه

مغناطوهیدرودینامیک (MHD) شاخه نسبتاً جدید و مهم در دینامیک شاره است. این شاخه از دینامیک شاره‌ها به برهم‌کنش شارۀ رسانای الکتریکی و میدانهای الکترومغناطیسی مربوط می‌شود. وقتی شارۀ رسانا در میدان مغناطیسی حرکت می‌کند، میدان الکتریکی و در نتیجه جریانی القاء می‌شود و جریان به نوبۀ خود با میدان مغناطیسی برهم‌کنش می‌کند و نیرویی حجمی بر شاره وارد خواهد شد.

این برهم‌کنشها هم در طبیعت و هم در وسایل ساخت بشر به وقوع می‌پیوندد. جریان مغناطوهیدرودینامیک در خورشید، درون زمین، یون سپهر، ستارگان و جو آنها رخ می‌دهد. در آزمایشگاه وسایل فراوانی ساخته شده‌اند که مستقیماً از برهم‌کنشهای مغناطوهیدرودینامیک بهره می‌گیرند، مانند واحدهای پیش‌رانش و مولدهای قدرت؛ یا دستگاههایی که شامل برهم‌کنشهای میدان الکترومغناطیسی و شارۀ اند، نظیر دینامیک باریکۀ الکترونی، لوله‌های موجهای پیش‌رونده، تخلیه‌های الکتریکی، و بسیاری دیگر.

دو راهکار اصلی برای این مسئله وجود دارد: مدل ماکروسکوپیکی شار پیوسته، معروف به MHD و مدل میکروسکوپی آماری معروف به دینامیک پلاسما. در این فصل فقط به MHD، یعنی شاره‌های رسانای الکتریکی و گازهای یونیده نسبتاً چگال می‌پردازیم.

### ۲-۱۱ الکترو دینامیک محیطهای متحرک

قبل از مطالعه MHD به درک کامل نظریۀ میدان الکترومغناطیس کلاسیک نیاز است. در اینجا، با این فرض که خواننده با معادلات ماکسول آشنایی دارد، موضوع را به اختصار بررسی می‌کنیم.



قانونهای اصلی نظریه الکترومغناطیسی را می توان به شکلی ریاضی، یعنی معادلات ماکسول ارائه کرد. این معادلات کمیتهای اصلی میدان را به هم مرتبط می کنند و نشان می دهند که چگونه به وجود می آیند. برای تشریح کامل سیستم الکترومغناطیسی، افزون بر معادلات ماکسول، باید کمیتهای میدان نظاره شده در حرکت نسبی را به یکدیگر مرتبط کرد. نظریه نسبیت خاص شامل همه این قانونهاست، ولی در اینجا خود را به مسائل نانسیتی محدود می کنیم؛ یعنی همیشه فرض خواهیم کرد که تمام سرعتها در مقایسه با سرعت نور  $c$  کوچک اند (به بیان ریاضی  $\beta^2 = V^2/c^2 \ll 1$ ). از یکاهای RMKS کلاً استفاده خواهیم کرد.

### ۱-۲-۱۱ معادلات ماکسول

چهار معادله اصلی ماکسول عبارت اند از

$$\int_V \rho_e dV = \int_A \mathbf{D} \cdot d\mathbf{A} \quad (11-1 \text{ الف})$$

میدان جابه جایی  $\mathbf{D}$  از معادله چشمه به دست می آید، که طبق آن، چگالی واقعی بار فضایی  $\rho_e$  میدان کلی  $\mathbf{D}$  را به وجود می آورد. خطهای  $\mathbf{D}$  همیشه باید روی بارها ختم شوند و نمی توانند فقط در فضا پایان یابند. شکل دیفرانسیلی آن عبارت است از

$$\nabla \cdot \mathbf{D} = \rho_e \quad (11-1 \text{ ب})$$

معادله چشمه برای میدان مغناطیسی  $\mathbf{H}$  که به قانون آمپر معروف است، عبارت است از

$$\oint \mathbf{H} \cdot d\mathbf{I} = \int_A \mathbf{J} \cdot d\mathbf{A} + \int_A \frac{\partial \mathbf{D}}{\partial t} \cdot d\mathbf{A} \quad (11-2 \text{ الف})$$

که  $\mathbf{J}$  چگالی واقعی جریان و  $\partial \mathbf{D} / \partial t$  جریان جابه جایی است. شکل دیفرانسیلی آن به صورت زیر است

$$\nabla \times \mathbf{H} = \mathbf{J} + \frac{\partial \mathbf{D}}{\partial t} \quad (11-2 \text{ ب})$$

بنابر قانون فاراده

$$\oint \mathbf{E} \cdot d\mathbf{I} = - \int_A \frac{\partial \mathbf{B}}{\partial t} \cdot d\mathbf{A} \quad (11-3 \text{ الف})$$

یا

$$\nabla \times \mathbf{E} = - \frac{\partial \mathbf{B}}{\partial t} \quad (11-3 \text{ ب})$$

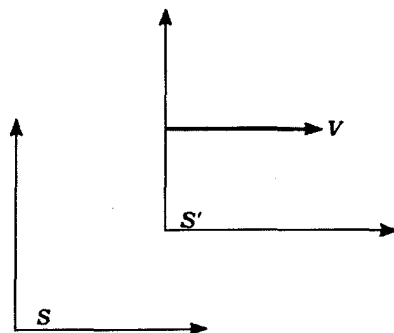
سرانجام، برای میدان مغناطیسی القایی  $\mathbf{B}$ ، داریم

$$\int_A \mathbf{B} \cdot d\mathbf{A} = 0 \quad (11-4 \text{ الف})$$

که طبق آن، تمام خطهای  $\mathbf{B}$  باید حلقه های بسته تشکیل دهند. شکل دیفرانسیلی آن به صورت زیر است

$$\nabla \cdot \mathbf{B} = 0 \quad (11-4 \text{ ب})$$

این معادلات ماکسول برای هر ناظری، صرف نظر از حرکت او، تا وقتی که تمام کمیتهای او در دستگاه مختصات خود اندازه می گیرد معتبر است. چنین معادلاتی را که برای تمام ناظرها، بدون توجه به حرکت نسبی آنها، شکل یکسان دارند، هموردا می گویند. کمیتهای میدان را که توسط ناظرهای مختلف اندازه گیری می شوند، می توان از طریق تبدیلهای لورنتس به هم مربوط ساخت. افزون بر این، کمیتهای جرم، طول و زمان و مشتقات آنها (که توسط ناظرهای مختلف اندازه گیری می شوند) باید توسط تبدیلهای لورنتس به هم مربوط شوند. در سرعتهای کم (در مقایسه با سرعت نور) از تبدیلهای گالیه ای برای مرتبط ساختن طول استفاده می شود (بنابراین، زمان و جرم یکسان اند)، اما حتی در آن موقع نیز، کمیتهای میدان



شکل ۱-۱۱ ناظرها حرکت نسبی دارند. چارچوب  $S'$  با سرعت  $V$  نسبت به چارچوب  $S$  حرکت می‌کند.

الکترومغناطیسی را باید با حد پایین سرعت تبدیلیهای لورنتس مرتبط ساخت. این تبدیلیها را می‌توان از اصول نسبیت خاص به دست آورد. با فرض ناوردایی سرعت نور و هموردایی قانونهای طبیعت، تمام تبدیلات مناسب از این قاعده پیروی می‌کنند، اما آنها را در اینجا به دست نخواهیم آورد. دو چارچوب مرجع  $S$  و  $S'$  را مطابق شکل ۱-۱۱ در نظر بگیرید. چارچوب  $S'$  با سرعت  $V$  نسبت به چارچوب  $S$  حرکت می‌کند. در اینجا چارچوب مرجع  $S'$  را برای مشخص کردن چارچوب ساکن محیطهای مادی به کار خواهیم برد، به گونه‌ای که ناظر موجود در  $S'$  نسبت به محیط (شماره موجود در MHD) حرکت می‌کند. در چارچوب ساکن (و به طور کلی فقط در چارچوب ساکن) می‌توان معادلات ساختمندی لازم را نوشت. این معادلات  $D'$  را به  $E'$ ،  $B'$  را به  $H'$  مرتبط می‌کنند و معمولاً برای شمول قانون اهم، که  $J'$  را به  $E'$  مرتبط می‌کند، بررسی می‌شوند. در سرتاسر این فصل از (') برای نمایش کمیت‌های اندازه‌گیری شده در چارچوب ساکن استفاده خواهیم کرد. بنابراین، می‌توان نوشت

$$\begin{aligned} D' &= \epsilon E' = \epsilon_0 \kappa E' = P' + \epsilon_0 E' \\ B' &= \mu H' = \mu_0 \kappa_m H' = \mu_0 (H' + M') \\ J' &= \sigma E' \end{aligned} \quad (5-11)$$

که  $\epsilon$  گذردهی،  $\epsilon_0$  گذردهی فضای آزاد و  $\kappa$  گذردهی نسبی است. همین‌گونه،  $\mu$  تراوایی،  $\mu_0$  تراوایی<sup>۱</sup> فضای آزاد و  $\kappa_m$  تراوایی نسبی است.  $\sigma$  رسانندگی الکتریکی اسکالر است.  $P$  قطبش و  $M$  مغناطش است. اگر  $\epsilon$  و  $\mu$  فقط تابع دما و فشار برای محیطهای خطی و همچنین تابع میدانها برای ماده غیرخطی باشند، آنگاه دو معادله اول (۵-۱۱) معمولاً صادق‌اند. قانون اهم معادله‌ای پدیده‌شناختی است و عموماً صادق نیست. شکل ارائه‌شده در اینجا برای  $\sigma$  اسکالر در مایعات و گازهای چگال مناسب است، اما رسانندگی در گازهای رقیق به تانسور تبدیل می‌شود. از هر چارچوب مرجع می‌توان نوشت

$$D = P + \epsilon_0 E \quad (6-11)$$

$$B = \mu_0 (M + H)$$

اما معادله (۵.۱۱) فقط در چارچوب ساکن صادق است. در فضای آزاد یا محیطهایی که  $\kappa = \kappa_m = 1$  است، می‌بینیم که  $P = M = 0$  و بنابراین در هر چارچوب مرجع، داریم

$$D = \epsilon_0 E \quad (7-11)$$

$$B = \mu_0 H$$

در هر مسئله MHD، معمولاً به همه چهار معادله ماکسول و معادلات ساختمندی نیاز است. اما، غالباً بهتر است که از معادله  $\nabla \cdot D = \rho_e$

۱. در این فصل گرانروی را با  $\mu_f$  نشان داده‌ایم تا با تراوایی اشتباه گرفته نشود.

استفاده نشود، و به جای آن، معادلهٔ زیر را به کار بریم

$$\frac{\partial \rho_e}{\partial t} + \nabla \cdot \mathbf{J} = 0 \quad (A-11)$$

(در حالت پایا یا در حالت‌هایی که  $\rho_e$  در این معادله ناچیز است، داریم  $\nabla \cdot \mathbf{J} = 0$ ، که مشابه حالت MHD است). معادلهٔ (A-11) مستقیماً از معادلات ماکسول نتیجه می‌شود و مستقل نیست.

### ۲-۲-۱۱ تبدیلیهای لورنتس

اکنون، تبدیلیهای لورنتس را صورت برداری می‌کنیم.  $\mathbf{V}$  سرعت چارچوب ساکن  $S$  نسبت به  $S'$  است و  $\perp$  و  $\parallel$  به ترتیب مؤلفهٔ کمیت‌های عمود و موازی بردار  $\mathbf{V}$  را نشان می‌دهند.

$$\begin{aligned} E'_{\perp} &= \beta(\mathbf{E} + \mathbf{V} \times \mathbf{B})_{\perp} & E'_{\parallel} &= E_{\parallel} \\ D'_{\perp} &= \beta(\mathbf{D} + \mathbf{V} \times \mathbf{H}/c^2)_{\perp} & D'_{\parallel} &= D_{\parallel} \\ H'_{\perp} &= \beta(\mathbf{H} - \mathbf{V} \times \mathbf{D})_{\perp} & H'_{\parallel} &= H_{\parallel} \\ B'_{\perp} &= \beta(\mathbf{B} - \mathbf{V} \times \mathbf{E}/c^2)_{\perp} & B'_{\parallel} &= B_{\parallel} \\ J'_{\perp} &= \mathbf{J}_{\perp} & J'_{\parallel} &= \beta(\mathbf{J} - \rho_e \mathbf{V})_{\parallel} \\ \rho'_e &= \beta(\rho_e - \mathbf{V} \cdot \mathbf{J}/c^2) \\ P'_{\perp} &= \beta(\mathbf{P} - \mathbf{V} \times \mathbf{M}/c^2)_{\perp} & P'_{\parallel} &= P_{\parallel} \\ M'_{\perp} &= \beta(\mathbf{M} + \mathbf{V} \times \mathbf{P})_{\perp} & M'_{\parallel} &= M_{\parallel} \end{aligned} \quad (9-11)$$

$$\beta = 1/\sqrt{1 - V^2/c^2} \quad \text{که}$$

در حد نانسیستی که حالت مورد توجه در MHD است، این تبدیلیها به صورت سادهٔ زیر درمی‌آیند:

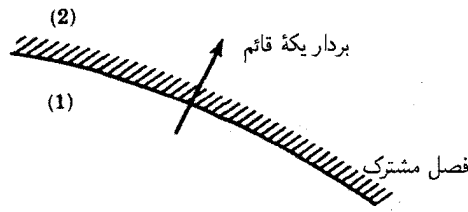
$$\begin{aligned} \mathbf{E}' &= \mathbf{E} + \mathbf{V} \times \mathbf{B} & \mathbf{J}' &= \mathbf{J} - \rho_e \mathbf{V} \\ \mathbf{D}' &= \mathbf{D} + \mathbf{V} \times \mathbf{H}/c^2 & \rho'_e &= \rho_e - \mathbf{V} \cdot \mathbf{J}/c^2 \\ \mathbf{H}' &= \mathbf{H} - \mathbf{V} \times \mathbf{D} & \mathbf{P}' &= \mathbf{P} - \mathbf{V} \times \mathbf{M}/c^2 \\ \mathbf{B}' &= \mathbf{B} - \mathbf{V} \times \mathbf{E}/c^2 & \mathbf{M}' &= \mathbf{M} + \mathbf{V} \times \mathbf{P} \end{aligned} \quad (10-11)$$

### ۳-۲-۱۱ شرایط مرزی

شرایط مرزی کمیت‌های میدان در فصل مشترکها، همچون محیط‌های ساکن، یکسان هستند. در گذر از فصل مشترک شرایط زیر در هر چارچوب مرجع برقرار است. فقط باید شرایط را با تمام کمیت‌های میدان اندازه‌گیری شده در هر چارچوب مرجع نوشت (شکل ۲-۱۱ را ببینید)

$$\begin{aligned} \mathbf{n} \times (\mathbf{E}_2 - \mathbf{E}_1) &= 0 & \mathbf{n} \times (\mathbf{H}_2 - \mathbf{H}_1) &= \mathbf{J}_s \\ \mathbf{n} \cdot (\mathbf{D}_2 - \mathbf{D}_1) &= \rho_s & \mathbf{n} \cdot (\mathbf{B}_2 - \mathbf{B}_1) &= 0 \end{aligned} \quad (11-11)$$

که  $\rho_s$  چگالی بار سطحی در فصل مشترک و  $\mathbf{J}_s$  جریان سطحی در فصل مشترک است. به بیان فیزیکی، مؤلفهٔ مماسی  $\mathbf{E}$  و مؤلفهٔ قائم  $\mathbf{B}$  در عرض فصل مشترک پیوسته‌اند. مؤلفهٔ مماسی  $\mathbf{H}$ ، اگر جریان سطحی وجود داشته باشد، جهش دارد، و مؤلفهٔ قائم  $\mathbf{D}$  نیز، اگر بار سطحی وجود داشته باشد، جهش خواهد داشت.



شکل ۱۱-۲ فصل مشترک بین دو محیط ۱ و ۲.

### ۳-۱۱ نیروی محرکه الکتریکی (EMF) القایی و ولتاژ نهایی

غالباً در مسائل MHD به پتانسیل نهایی یا ولتاژ بین دو الکترود نیاز است. سؤال این است: اگر شارۀ رسانای الکتریکی ای بین دو الکترود مفروض جریان یابد، ولتاژ نهایی بین آنها چقدر است؟ به طور کلی، emf حول حلقه‌ای بسته را (در چارچوب مرجع آزمایشگاه که سرسیمها در آن قرار دارند) به صورت زیر تعریف می‌کنند

$$\text{emf} = \oint \mathbf{E}' \cdot d\mathbf{I} \quad (11-12)$$

که  $\mathbf{E}'$  میدان الکتریکی موضعی نظاره شده توسط ناظر متحرک است، اما  $d\mathbf{I}$  در چارچوب مرجع آزمایشگاه ثابت خواهد بود. با استفاده از معادلات ماکسول و تبدیلهای نانسبیتی لورنتس، داریم

$$\text{emf} = \oint (\mathbf{V} \times \mathbf{B}) \cdot d\mathbf{I} - \int_A \frac{\partial \mathbf{B}}{\partial t} \cdot d\mathbf{A} \quad (11-13)$$

که  $\partial \mathbf{B} / \partial t$  را نباید خارج از انتگرال در نظر گرفت.  $\mathbf{V}$  سرعت رساناست که به طور لحظه‌ای منطبق بر  $d\mathbf{I}$  است. بدین ترتیب، پتانسیل نهایی  $V_{AB}$  برابر است با emf منهای افت  $IR$  بین الکترودهای  $A$  و  $B$ :

$$V_{AB} = \text{emf} - \int_A^B \mathbf{E}' \cdot d\mathbf{I} \quad (11-14)$$

که  $V_{AB}$  ولتاژ  $B$  نسبت به  $A$  است و بین الکترودهای درون شارۀ انتگرال خطی گرفته شده است. باید توجه داشت که مقدار emf به مسیر انتگرال‌گیری به‌کار رفته برای تعیین آن بستگی دارد (اگر جریانهای تلاطمی در سیستمهای AC وجود داشته باشد)، اما پتانسیل نهایی همیشه مستقل از مسیر انتگرال‌گیری است.

در مسائل MHD پایا همچون مولدها، پمپها و جز آن، شکل ساده‌شده معادله (۱۱-۱۴) را به‌دست می‌آوریم که حاصل استفاده مستقیم از حقیقت  $\frac{\partial}{\partial t} = 0$  و تبدیلهای لورنتس است. بنابراین

$$V_{AB} = - \int_A^B \mathbf{E} \cdot d\mathbf{I} \quad (11-15)$$

یادآور می‌شویم که  $\mathbf{E}$  را در معادله (۱۱-۵) در چارچوب مرجع آزمایشگاه اندازه‌گیری کرده‌ایم و معادله (۱۱-۱۵) نیز از  $\mathbf{E} = -\nabla\phi$  تبعیت می‌کند (زیرا در حالت پایا،  $\nabla \times \mathbf{E} = 0$ ) و بنابراین

$$\phi_{AB} = - \int_A^B \mathbf{E} \cdot d\mathbf{I}$$

و  $\phi$  پتانسیل مشابه با  $V_{AB}$  است.

## ۱۱-۴ نیروی حجمی الکترومغناطیسی

نیروی حجمی الکترومغناطیسی از قانون نیروی کولن به دست می‌آید، زیرا اساساً این تنها برهم‌کنش است که رخ می‌دهد. نیروی الکترومغناطیسی وارد بر ذره‌ای با بار الکتریکی  $q$  در چارچوب ساکن موضعی ذره عبارت است از  $\mathbf{F} = q\mathbf{E}'$ . اکنون، با تبدیل به چارچوب آزمایشگاه، داریم (نانبیستی)  $\mathbf{E}' = \mathbf{E} + \mathbf{V} \times \mathbf{B}$ ، بنابراین  $\mathbf{F} = q(\mathbf{E} + \mathbf{V} \times \mathbf{B})$  که قانون آشنای نیروی لورنتس است.  $\mathbf{V}$  سرعت ذره نسبت به چارچوب آزمایشگاه است.

### ۱۱-۴-۱ نیروی حجمی در شارها

نیروی حجمی الکترومغناطیسی کامل در هر شارۀ رسانا، به‌طور میکروسکوپی از قانون کولن، یا از طریق کار مجازی و روش انرژی به دست می‌آید. در اینجا، فقط نتیجه‌ها را ذکر خواهیم کرد. چگالی نیروی حجمی  $\mathbf{f}'_e$  در چارچوب ساکن (زیرا از معادلات ساختمندی استفاده شده است) عبارت است از

$$\begin{aligned} \mathbf{f}'_e = & \rho'_e \mathbf{E}' + \mathbf{J}' \times \mathbf{B}' - \frac{1}{4} \epsilon_0 E'^2 \nabla' \kappa - \frac{1}{4} \mu_0 H'^2 \nabla' \kappa_m \\ & + \frac{1}{4} \epsilon_0 \nabla' \left( E'^2 \frac{\partial \kappa}{\partial \rho} \right) + \frac{1}{4} \mu_0 \nabla' \left( H'^2 \frac{\partial \kappa_m}{\partial \rho} \right) \end{aligned} \quad (11-16)$$

اما، در MHD فقط دو جمله اول مهم هستند. این دو جمله هموردایند و این عبارت در هر چارچوب مرجع صدق می‌کند. در MHD،

$$\mathbf{f}_e = \rho_e \mathbf{E} + \mathbf{J} \times \mathbf{B} \quad (11-17)$$

و به‌طور نانبیستی  $\mathbf{f}_e = \mathbf{f}'_e$ ، بنابراین می‌توان  $\rho_e \mathbf{E} + \mathbf{J} \times \mathbf{B}$  یا  $\rho'_e \mathbf{E}' + \mathbf{J}' \times \mathbf{B}'$  را محاسبه کرد و همان نتیجه عددی را به دست آورد. همان‌گونه که خواهیم دید،  $\rho_e \mathbf{E}$  را در مقایسه با  $\mathbf{J} \times \mathbf{B}$  می‌توان نادیده گرفت.

### ۱۱-۴-۲ تانسور تنش

بیان جایگزین، ولی هم‌ارز نیروی حجمی، تانسور تنش الکترومغناطیسی  $T_{ij}$  است. بدین ترتیب، نیروی حجمی برابر است با  $f_j = \frac{\partial T_{ij}}{\partial x_i} - \frac{\partial g_i}{\partial t}$  که  $g_i$  بردار شار تکانه الکترومغناطیسی است. رابطه هموردا برای  $T_{ij}$  (با نادیده گرفتن اثرهای جمع‌شدگی) عبارت است از

$$T_{ij} = -\frac{1}{4} (\mathbf{D} \cdot \mathbf{E} + \mathbf{B} \cdot \mathbf{H}) \delta_{ij} + D_i E_j + B_i H_j \quad (11-18)$$

برای تمام هدفهای کاربردی، جمله  $\frac{\partial g_i}{\partial t}$  ناچیز است و در MHD اهمیتی ندارد. مهمترین کاربرد تانسور تنش در تفسیر فیزیکی نیروی حجمی‌ای است که مجاز می‌داند. اگر تانسور تنش را قطری کنیم (تنشهای اصلی تعیین شوند) نتیجه جالبی به دست می‌آوریم. اگر فرضهایی کنیم که در MHD معتبرند، مثلاً جمله‌های الکتریکی در تانسور تنش ناچیزند و  $B$  و  $H$  همخط هستند (آنها در چارچوب ساکن یا هر چارچوب دیگری در MHD همخط‌اند، زیرا در آنجا برای سرعت‌های نانبیستی  $\mathbf{B} = \mathbf{B}'$  و  $\mathbf{H} = \mathbf{H}'$ )، این نتیجه به دست می‌آید که سه تنش اصلی  $\lambda_i$  عبارت‌اند از

$$\lambda_1 = \frac{1}{4} \mathbf{H} \cdot \mathbf{B}, \quad \lambda_2 = \lambda_3 = -\frac{1}{4} \mathbf{H} \cdot \mathbf{B} \quad (11-19)$$

و جهت‌گیری محورهای اصلی به‌گونه‌ای است که  $\lambda_1$  کشش در امتداد خطهای نیروی مغناطیسی است و  $\lambda_2$  و  $\lambda_3$  تراکم عمود بر خطهای میدان را نشان می‌دهند. به جای آن، می‌توان گفت که تراکم هیدروستاتیکی  $\mathbf{H} \cdot \mathbf{B} / 2$  با کشش  $\mathbf{H} \cdot \mathbf{B}$  (در امتداد خطهای میدان) بر روی تراکم هیدروستاتیکی برهم نهیده شده‌اند.

مفهوم فشار مغناطیسی مبتنی بر این نتیجه‌هاست. اما، باید به‌خاطر داشت که این نیروی حجمی کشش یا فشار فیزیکی‌ای در شاره نیست، بلکه به‌صورت نیروی حجمی به درون معادله تکانه وارد می‌شود و در نتیجه تنشهای مکانیکی ایجاد می‌کند. در تعادل ایستا، گرادیان فشار باید با

دیورژانس تانسور تنش الکترومغناطیسی (که به بیان فیزیکی نیروی حجمی است) خنثی شود. این حالت شبیه فشار ایجاد شده در شارۀ ایستا به علت وجود میدان گرانشی است.

روشی دیگر درک فشار مغناطیسی نوشتن نیروی حجمی  $\mathbf{J} \times \mathbf{B}$  به صورت  $(\nabla \times \mathbf{H}) \times \mathbf{B}$  است (که از معادلۀ ماکسول  $\nabla \times \mathbf{H} = \mathbf{J} + \dot{\mathbf{D}}$  استفاده کرده‌ایم و همان‌گونه که نشان خواهیم داد، ناچیز است).  $(\nabla \times \mathbf{H}) \times \mathbf{B}$  را می‌توان (با استفاده از  $\mathbf{b} = \mu \mathbf{H}$ ) به صورت زیر نوشت

$$(\nabla \times \mathbf{H}) \times \mathbf{B} = -\nabla \left( \frac{B^2}{2\mu} \right) + \frac{1}{\mu} (\mathbf{B} \cdot \nabla) \mathbf{B} \quad (11-20)$$

بنابراین، نخستین جمله طرف راست بخش غیرچرخشی نیروی حجمی است و مستقیماً با فشار در معادلۀ تکانه جمع می‌شود و جمله دوم بخش چرخشی (متناظر با کشش در امتداد خطهای میدان مغناطیسی) است و عموماً در MHD صفر نیست.

## ۱۱-۵ مفاهیم اصلی جریان MHD

اکنون، فرضهای اصلی MHD و اصول و معادلات مربوط را مرور می‌کنیم.

### ۱۱-۵-۱ فرضها

فرضهایی که در MHD معمولاً مطرح می‌شوند، عبارت‌اند از:

- تمام سرعتها در مقایسه با سرعت نور کوچک‌اند، بنابراین  $\frac{V^2}{c^2} \ll 1$ .
- میدان الکتریکی از مرتبۀ  $\mathbf{V} \times \mathbf{B}$  است. همه میدانهای  $\mathbf{E}$  القا می‌شوند و یا از مرتبۀ میدان القایی هستند. همیشه باید نوشت که  $\mathbf{E}' = \mathbf{E} + \mathbf{V} \times \mathbf{B}$  و تفاوت بین  $\mathbf{E}$  و  $\mathbf{E}'$  را تشخیص داد.
- $\mathbf{H} \cong \mathbf{H}'$  و  $\mathbf{B} \cong \mathbf{B}'$ ، زیرا

$$\mathbf{B}' = \mathbf{B} - \frac{\mathbf{V} \times \mathbf{E}}{c^2} \cong \mathbf{B} - \left[ \frac{V^2}{c^2} \mathbf{B} \right]$$

ضریب تراوایی فلزات مایع و گازهای یونیده  $\mu_0$  است، بنابراین می‌توان در هر چارچوب مرجع نوشت که  $\mathbf{B} = \mu_0 \mathbf{H}$ .

۴. از جریان جابه‌جایی  $\dot{\mathbf{D}}$  نسبت به  $\mathbf{J}$  می‌توان چشم‌پوشی کرد.

۵. قانون اهم عبارت است از  $\mathbf{J} = \sigma \mathbf{E}' = \sigma (\mathbf{E} + \mathbf{V} \times \mathbf{B})$  و  $\mathbf{J}' \cong \mathbf{J}$ ، زیرا  $\rho_e \mathbf{V}$  را در مقایسه با  $\sigma (\mathbf{E} + \mathbf{V} \times \mathbf{B})$  می‌توان نادیده گرفت.

۶. بار فضایی  $\rho_e'$  صفر است، اما  $\rho_e \neq 0$ . باید نوشت  $\nabla \cdot \mathbf{D} = \rho_e$  و نباید فرض کرد که  $\nabla \cdot \mathbf{D} = 0$ . چون معمولاً  $\rho_e$  معلوم نیست، معادلۀ  $\nabla \cdot \mathbf{D} = \rho_e$  معادلۀ سودمند نخواهد بود. بهتر و مناسبتر است که از  $\nabla \cdot \mathbf{J} = 0$  استفاده کنیم (حتی در مسئله‌های ناپایا، زیرا انتقال بار فضایی در مقایسه با  $\mathbf{J}$  ناچیز است).

۷. نیروی  $\rho_e \mathbf{E}$  در مقایسه با  $\mathbf{J} \times \mathbf{B}$  صرف‌نظر کردنی است. انرژی و تنش الکتریکی را که متناسب با  $\mathbf{E} \cdot \mathbf{D}$  است، در مقایسه با  $\mathbf{H} \cdot \mathbf{B}$  می‌توان نادیده گرفت.

۸. برای رسانندگی بالا، که  $\sigma \rightarrow \infty$ ، قانون اهم نشان می‌دهد که برای  $\mathbf{J}$  متناهی  $\mathbf{E}' = 0$  و  $\mathbf{E} = -\mathbf{V} \times \mathbf{B}$  از  $\nabla \times \mathbf{H} = \mathbf{J}$  و نه قانون اهم، به دست می‌آید.

### ۱۱-۵-۲ معادلات

معادلات اصلی MHD را می‌توان به صورت معادلات ماکسول، قانون اهم، معادلۀ پیوستگی، معادلۀ حرکت با نیروی حجمی  $\mathbf{J} \times \mathbf{B}$  و معادلۀ انرژی با گرمایش ژول نوشت. وانگهی، باید از تبدیلهای نانسیتی لورنتس استفاده کرد. معادلۀ حالت برای گاز کامل را هنوز می‌توان با تقریبهای

MHD به کاربرد. این معادلات عبارت‌اند از:

معادلات ماکسول:

$$\left. \begin{aligned} \nabla \times \mathbf{H} &= \mathbf{J} \\ \nabla \cdot \mathbf{B} &= 0 \\ \nabla \times \mathbf{E} &= -\partial \mathbf{B} / \partial t \\ \nabla \cdot \mathbf{J} &= 0 \end{aligned} \right\} \quad (21-11)$$

قانون اهم:

$$\mathbf{J} = \sigma(\mathbf{E} + \mathbf{V} \times \mathbf{B}) \quad (22-11)$$

معادله حرکت:

$$\begin{aligned} \rho \left[ \frac{\partial \mathbf{V}}{\partial t} + (\mathbf{V} \cdot \nabla) \mathbf{V} \right] &= -\nabla p + \nabla \cdot \boldsymbol{\tau} + \mathbf{J} \times \mathbf{B} - \rho \nabla \psi \\ &= -\nabla(p + B^2/2\mu) + (\mathbf{B} \cdot \nabla) \mathbf{B} / \mu + \nabla \cdot \boldsymbol{\tau} - \rho \nabla \psi \end{aligned} \quad (23-11)$$

که  $\boldsymbol{\tau}$  تانسور تنش مکانیکی، و  $\psi$  پتانسیل گرانشی است.

انرژی:

$$\rho \frac{Du}{Dt} = -\rho \nabla \cdot \mathbf{V} + \kappa_T \nabla^2 T + \Phi + \mathbf{E}' \cdot \mathbf{J}' \quad (24-11)$$

در اینجا،  $\kappa_T$  را برای رسانندگی گرمایی به کار می‌بریم تا با گذردهی نسبی اشتباه نشود.  $u$  انرژی درونی ویژه است. اگر ماده خطی باشد، یعنی  $\epsilon$  و  $\mu$  تابع دما نباشند، گرمای ژول ( $\mathbf{E}' \cdot \mathbf{J}' \cong \mathbf{E}' \cdot \mathbf{J} = J^2/\sigma$ ) تنها برهم‌کنش است. خواننده می‌تواند برای بحث مفصلتر این معادله به مرجع ۵ مراجعه کند.

معادله حالت:

$$p = \rho RT \quad (25-11)$$

### ۱۱-۳ پارامترها

این معادلات را، همان‌گونه که در فصل ۴ بحث شد می‌توان به شکل بی‌بعد نوشت و پارامترهای بی‌بعد مربوط به دست آمد، در اینجا، محاسبات را انجام نخواهیم داد، اما فهرست پارامترها را خواهیم آورد. افزون بر تمام پارامترهای جریان معمولی (فصل ۴) دو پارامتر مستقل دیگر داریم. فهرست چند پارامتر (غیرمستقل) را در زیر آورده‌ایم.

$R_m$ ، عدد رینولدز مغناطیسی  $= V_0 L \sigma \mu$ ، که معیار نسبت همرفت مغناطیسی به پخش مغناطیسی است. اگر  $R_m \ll 1$ ، می‌توان نشان داد که میدان مغناطیسی القا شده در مقایسه با میدان مغناطیسی اعمال شده کوچک است.

$M_m$ ، عدد ماخ مغناطیسی  $= V_0/A$ ، که  $A$  سرعت آلفن است و به صورت  $A = \sqrt{\mathbf{B} \cdot \mathbf{H}/\rho}$  تعریف می‌شود و در زیر بحث خواهد شد.

$M$ ، عدد هارتمن  $= \sqrt{\sigma B_0^2 L^2 / \mu f}$ ، که معیار نسبت نیروی حجمی مغناطیسی به نیروی گرانشی است.

$P_m$ ، عدد پرنتل مغناطیسی  $= \nu/\eta = R_m/R_e$  معیار نسبت پخش گردشاری به پخش مغناطیسی است.

$N$ ، پارامتر برهم‌کنش، که معیار نسبت نیروی حجمی مغناطیسی به نیروی لختی است. برای رسانندگی متناهی  $N$  برابر است با

$$N = N_m^{-2} \quad \text{داریم} \quad N = \sigma B_0^2 L / \rho V_0 = R_m / M_m^2$$

## ۴-۵-۱۱ انتقال مغناطیسی

از ترکیب معادلات ماکسول و قانون اهم به معادله‌ای بسیار مهم می‌رسیم  $\nabla \times \mathbf{H} = \mathbf{J} = \sigma(\mathbf{E} + \mathbf{V} \times \mathbf{B})$  و  $\mathbf{E}$  را می‌توان با گرفتن تاو معادله بالا و استفاده از  $\nabla \times \mathbf{E} = -\dot{\mathbf{B}}$  حذف کرد. سپس، با استفاده از چند تساوی برداری و رابطه  $\nabla \cdot \mathbf{B} = 0$ ، خواهیم داشت

$$\frac{\partial \mathbf{B}}{\partial t} = \eta \nabla^2 \mathbf{B} + \nabla \times (\mathbf{V} \times \mathbf{B}) \quad (۲۶-۱۱)$$

که معادله انتقال، پخش و همرفت میدان مغناطیسی است.  $\eta$  ضریب پخش مغناطیسی  $1/\sigma\mu$  است. این معادله را می‌توان همزمان با معادله حرکت [ با نیروی حجمی  $(\nabla \times \mathbf{H}) \times \mathbf{B}$  ] در مسئله‌های خاصی به‌کار برد که برای معرفی میدان الکتریکی راحت نیست. با وارد کردن متغیرهای بی‌بعد زیر

$$\mathbf{B}^* = \mathbf{B}/B_0, \quad t^* = tV_0/L, \quad \mathbf{r}^* = \mathbf{r}/L$$

معادله انتقال به‌صورت زیر درمی‌آید

$$\frac{\partial \mathbf{B}^*}{\partial t^*} = -\frac{1}{R_m} \nabla^* \times (\nabla^* \times \mathbf{B}^*) + \nabla^* \times (\mathbf{V}^* \times \mathbf{B}^*) \quad (۲۷-۱۱)$$

که اهمیت  $R_m$  را نشان می‌دهد. نخستین جمله طرف راست جمله پخش، و دومین جمله همرفت است. اگر حرکت وجود نداشته باشد،  $\mathbf{V} = 0$  و معادله (۲۶-۱۱) به‌صورت زیر درمی‌آید

$$\frac{\partial \mathbf{B}}{\partial t} = \eta \nabla^2 \mathbf{B} \quad (۲۸-۱۱)$$

که معادله پخش، و  $\eta$  ضریب پخش است. در مقیاس آزمایشگاهی، معمولاً پخش حاکم است ( $R_m \ll 1$ )، اما در مقیاس اخترشناختی (مثلاً در خورشید) همرفت حاکم خواهد بود ( $R_m \gg 1$  و  $\sigma \rightarrow \infty$ ). در حقیقت، وقتی  $\sigma \rightarrow \infty$ ، میدان مغناطیسی به‌طور کامل به‌وسیله همرفت جابه‌جا می‌شود و پخش خطهای میدان از طریق محیطهای رسانا وجود ندارد. بنابراین، می‌گویند که خطهای میدان مغناطیسی در شاره «منجمد» شده‌اند و همراه آن حرکت می‌کنند.

شباهت دقیقی بین انتقال میدان مغناطیسی در اینجا و انتقال گردشاری در مکانیک شاره‌های معمولی وجود دارد. قضیه‌های کلاسیکی کلوین و جز آن را می‌توان درباره میدان مغناطیسی به‌کار برد.

خطهای میدان را می‌توان کسسان تصور کرد، به‌گونه‌ای که شاره‌های جاری آنها را آن قدر می‌کشانند تا در تعادل ایستا واقع شوند. این حالت در موقع القاشدن میدان مغناطیسی رخ می‌دهد (که به میدان مغناطیسی اعمال شده اولیه افزوده می‌شود). میدان القاشده با واپیچش خطهای میدان اعمال شده، به‌علت جابه‌جایی آنها توسط شاره، به‌وجود می‌آید. وقتی  $\sigma \rightarrow \infty$  این خطها توانایی مقاومت خود را در مقابل کشیده شدن در امتداد شاره از دست می‌دهند.

## ۴-۵-۱۱ موجهای آلفن

همچون حالت قبلی، بررسیهای تانسور تنش نشان می‌دهند که نیروی حجمی هم‌ارز فشار هیدروستاتیکی به‌اضافه کشش  $\mathbf{H} \cdot \mathbf{B}$  در امتداد خطهای میدان است. بعداً نشان خواهیم داد که این خطها مانند نخهای کشیده شده رفتار می‌کنند و موجهای عرضی با سرعت  $\sqrt{\mathbf{H} \cdot \mathbf{B}/\rho}$ ، که «سرعت آلفن» نامیده می‌شود، در امتداد آنها انتشار می‌یابند. موج سرعت عرضی‌ای با اختلاف فاز  $90^\circ$  نسبت به موج مغناطیسی همراه این اختلال میدان عرضی باید وجود داشته باشد. این موجها، که موجهای آلفن یا مغناطوهیدرودینامیک نامیده می‌شوند، بدون پراکندگی یا تضعیف، به‌شرطی که  $\sigma \rightarrow \infty$  و گران روی ناچیز باشد، حرکت می‌کنند.



### ۱۱-۵-۶ قضیه‌های برنولی و کلونین

معادله حرکت (۱۱-۲۳) را می‌توان برای شاره‌ای ناگران‌رو نوشت و در امتداد خط جریان انتگرال‌گیری کرد (برای شاره تراکم‌پذیر در جریان پایا)،

$$\frac{V_2^2 - V_1^2}{2} + \psi_2 - \psi_1 + \int_1^2 \frac{d(p + B^2/2\mu)}{\rho} = \frac{1}{\mu} \int_1^2 \frac{(\mathbf{B} \cdot \nabla) \mathbf{B} \cdot d\mathbf{s}}{\rho} \quad (11-29)$$

اگر  $(\mathbf{B} \cdot \nabla) \mathbf{B} = 0$ ، با جایگزین کردن  $(p + B^2/2\mu)$  به جای فشار که برابر فشار کل (مکانیکی به علاوه مغناطیسی) است قضیه کلاسیکی برنولی صدق می‌کند.

با ایجاد گردش، در شکل MHD قضیه کلونین به کمک معادله حرکت به صورت زیر به دست می‌آید

$$\frac{D\Gamma}{Dt} = \frac{D}{Dt} \int_A (\nabla \times \mathbf{V}) \cdot d\mathbf{A} = \int_A \nabla \times \left[ \frac{1}{\mu} (\mathbf{B} \cdot \nabla) \mathbf{B} \right] \cdot d\mathbf{A} \quad (11-30)$$

که نیروی  $(\mathbf{B} \cdot \nabla) \mathbf{B}$  چرخشی است و باعث گردشاری حتی در شاره ناگران‌رو خواهد شد.

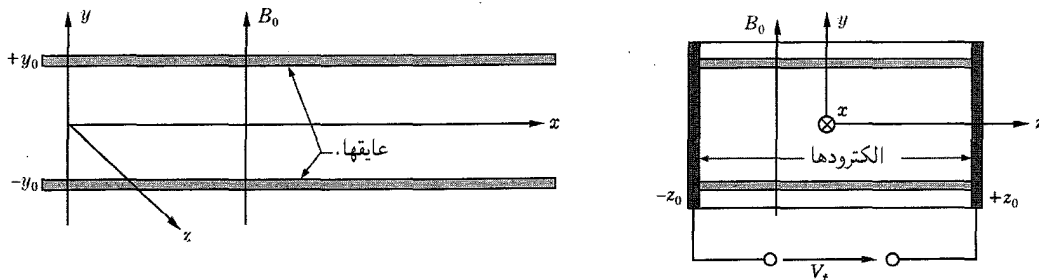
### ۱۱-۶ جریان تراکم‌ناپذیر گران‌رو MHD

اکنون، یکی از ساده‌ترین مثالهای جریان MHD، یعنی جریان پایای شاره تراکم‌ناپذیر گران‌رو و رسانای الکتریکی موجود بین دو صفحه موازی را همراه با میدان مغناطیسی عرضی اعمال شده بررسی خواهیم کرد (شکل ۱۱-۳). جزئیات این مسئله، نمایانگر عالی روش به‌کار رفته و به‌ویژه ساختمان مدار الکتریکی هم‌ارز است. فرض می‌کنیم که جریان کاملاً توسعه‌یافته است، به‌گونه‌ای که فقط فشار در جهت  $x$  تغییر می‌کند. گستردگی کانال در جهت  $z$  بسیار بزرگتر از جهت  $y$  است، به‌گونه‌ای که هیچ تغییری برحسب  $z$  رخ نمی‌دهد. الکترودها را به صورت رسانای کامل و شاره را با رسانندگی  $\sigma$  فرض می‌کنیم. میدان مغناطیسی اعمال شده  $\mathbf{B}_0$  پایا و یکنواخت است. این مسئله مشهور به "مسئله هارتمن"، فیزیکدان دانمارکی است.

برای چنین مسئله‌ای عدد رینولدز مغناطیسی در مقیاس آزمایشگاه خیلی کوچک است و میدان مغناطیسی القا شده نیز کم است و می‌توان چنین پنداشت که در اثر کشاندن جزئی خطهای  $\mathbf{B}_0$  به وسیله شاره جاری ایجاد شده است. اما، خواهیم دید که برای این مسئله میدان القاشده (که تماماً در جهت  $x$  است) وارد معادلات حرکت اصلاً نمی‌شود و آن را باید به عنوان گام آخر در مسئله در نظر گرفت. در بسیاری از مسئله‌ها (که یک بعدی نیستند) میدان القاشده ممکن است با معادلات اصلی همراه شود و حل مسئله را مشکل کند. حتی در این صورت، اگر  $R_m \ll 1$  غالباً فرض می‌شود که میدان القاشده در مقایسه با  $\mathbf{B}_0$  بسیار کوچک است.

مسئله هارتمن را با نوشتن معادلات ماکسول، قانون اهم و معادلات حرکت شروع می‌کنیم. بنابر اصل پیوستگی،  $v = w = 0$ . از  $\nabla \cdot \mathbf{J} = 0$  نتیجه می‌گیریم که  $J_z$  باید فقط به  $y$  بستگی داشته باشد و (به کمک قانون اهم) برابر است با

$$J_z = \sigma(E_z + uB_0)$$



شکل ۱۱-۳ جریان بین دو صفحه موازی مسئله هارتمن.

از رابطه  $\nabla \times \mathbf{E} = 0$  نتیجه می‌شود که  $E_x$  ثابت است و آن را به طور دلخواه صفر در نظر می‌گیریم، زیرا هیچ میدان الکتریکی در جهت  $x$  وارد نمی‌شود. چون الکترودها رسانندگی بالایی دارند،  $E_y$  در الکترودها و بنابراین همه‌جا صفر است. این نتیجه می‌دهد که  $E_z$  فقط تابع  $y$  است. گرادینان فشار  $\partial p / \partial x$  ثابت است، اما گرادینان  $\partial p / \partial y$  نیز، به علت اثر «تنگش»، به وجود می‌آید.

معادله حرکت در جهت  $x$  به صورت زیر است

$$0 = -\frac{\partial p}{\partial x} + \mu_f \frac{d^2 u}{dy^2} - \sigma(E_z + uB_0)B_0. \quad (31-11)$$

که این معادله را می‌توان بلافاصله با توجه به شرایط مرزی زیر، انتگرال‌گیری کرد

$$u = 0, \quad y = \pm y_0.$$

در این صورت، نیم‌رخ سرعت از رابطه زیر به دست می‌آید

$$u = \frac{y_0^2}{M^2} \left( \frac{1}{\mu_f} \frac{\partial p}{\partial x} + \frac{M}{y_0} \sqrt{\frac{\sigma}{\mu_f}} E_z \right) \left( \frac{\cosh My/y_0}{\cosh M} - 1 \right) \quad (32-11)$$

که  $M$  عدد هارتمن  $\sqrt{B_0^2 y_0^2 \sigma / \mu_f}$  است.

معادله حرکت در جهت  $y$  برابر است با

$$0 = -\frac{\partial p}{\partial y} + J_z B_x$$

و با دانستن میدان مغناطیسی القاشده  $B_x$ ، مقدار  $\frac{\partial p}{\partial y}$  به راحتی تعیین می‌شود. از معادله (32-11) و قانون اهم  $J_z$  را به صورت زیر به دست می‌آوریم

$$J_z = \sigma E_z \frac{\cosh My/y_0}{\cosh M} + \frac{y_0}{M} \sqrt{\frac{\sigma}{\mu_f}} \frac{\partial p}{\partial x} \left( \frac{\cosh My/y_0}{\cosh M} - 1 \right) \quad (33-11)$$

جریان کلی (برای واحد طول کانال در جهت  $x$ ) از رابطه زیر به دست می‌آید

$$\mathcal{I} = \int_{-y_0}^{+y_0} J_z dy = 2\sigma y_0 E_z \frac{\tanh M}{M} + \frac{2y_0^2}{M} \sqrt{\frac{\sigma}{\mu_f}} \frac{\partial p}{\partial x} \left( \frac{\tanh M}{M} - 1 \right) \quad (34-11)$$

ولتاژ سرقطب  $V_t$  (ولتاژ الکتروود در  $z_0$  نسبت به ولتاژ در  $-z_0$ ) به صورت زیر تعریف می‌شود

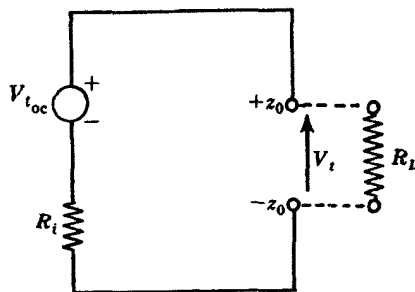
$$V_t = - \int_{-z_0}^{+z_0} E_z dz = -2z_0 E_z$$

و با استفاده از معادله (34-11)، برای یافتن  $E_z$  بر حسب  $\mathcal{I}$ ، داریم

$$V_t = -\frac{z_0 M \mathcal{I}}{\sigma y_0 \tanh M} + \frac{2y_0 z_0}{M \sqrt{\sigma \mu_f}} \frac{\partial p}{\partial x} \left( 1 - \frac{M}{\tanh M} \right) \quad (35-11)$$

اکنون، مدار هم‌ارز قطعه را با افزودن ولتاژ مدار باز به صورت سری با مقاومت درونی مؤثر  $R_i$  می‌توان ساخت، که  $R_i$  نسبت ولتاژ مدار باز  $V_{t_{oc}}$  به جریان اتصال کوتاه  $I_{sc}$  است. از معادله (35-11)  $V_{t_{oc}}$  را با قرار دادن  $\mathcal{I} = 0$  به دست می‌آوریم

$$V_{t_{oc}} = \frac{2y_0 z_0}{M \sqrt{\sigma \mu_f}} \frac{\partial p}{\partial x} \left( 1 - \frac{M}{\tanh M} \right) \quad (36-11)$$



شکل ۴-۱۱ مدار هم‌ارز جریان MHD با علامت قراردادی. در مسئله هارتمن  $V_{t_{oc}}$  منفی است و بنابراین قطبیت  $V_{t_{oc}}$  عکس شکل موجود خواهد بود.

(که عددی منفی است) و  $I_{sc}$  با قرار دادن  $E_z = 0$  در معادله (۳۴-۱۱) به دست می‌آید

$$I_{sc} = \frac{2y_0^2}{M} \sqrt{\frac{\sigma}{\mu_f}} \frac{\partial p}{\partial x} \left( \frac{\tanh hM}{M} - 1 \right) \quad (۳۷-۱۱)$$

که عددی منفی است و بیانگر عبور جریان از سرقطب  $+z_0$  به  $-z_0$  در میان کانال است. بنابراین برای قطعه‌ای به طول  $L$ ،  $I_{sc}$  (جریان اتصال کوتاه برای قطعه کامل) برابر  $L I_{sc}$  است، بنابراین

$$R_i = \frac{V_{t_{oc}}}{I_{sc}} = \frac{z_0}{L \sigma y_0} \frac{M}{\tanh hM} \quad (۳۸-۱۱)$$

بنابر قضیه تونین مدار هم‌ارز همچون شکل ۴-۱۱ است. مقاومت بار  $R_L$  را می‌توان به سرقطبها وصل کرد و با استفاده از قانون کیرشهوف،

داریم

$$V_{t_{oc}} + I(R_L + R_i) = 0 \quad (۳۹-۱۱)$$

یادآور می‌شویم که  $R_L$  را می‌توان با مولد خارجی جایگزین کرد. علامت  $V_t$  و  $I$  بستگی به اتصال بار  $R_L$  و یا مولد خارجی دارد. روش مدار بالا را می‌توان برای تحلیل مولدهای برق، پمپها، و سنجه‌ها در جریان تراکم‌ناپذیر یا تراکم‌پذیر برای هر شکل کانال به کار برد. این روش زمینه تحلیل مولد برق MHD خواهد بود.

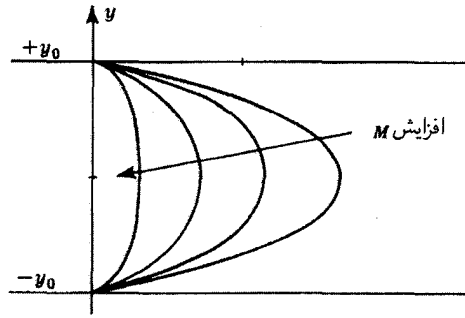
اکنون، میدان مغناطیسی القاشده  $H_x$  را می‌توان از  $\nabla \times \mathbf{H} = \mathbf{J}$  یافت، زیرا  $\mathbf{J}$  معلوم است. از معادله (۳۳-۱۱)، داریم

$$\frac{dH_x}{dy} = -J_z = -\sigma E_z \frac{\cos hMy/y_0}{\cos hM} - \frac{y_0}{M} \sqrt{\frac{\sigma}{\mu_f}} \frac{\partial p}{\partial x} \left( \frac{\cos hMy/y_0}{\cos hM} - 1 \right)$$

که  $H_x(y)$  را با انتگرال‌گیری می‌توان یافت. شرط مرزی به پیکربندی هندسی مدار برگشت بستگی دارد، و با استفاده از قانون مدار آمپر تعیین می‌شود. اگر مدار برگشت برحسب  $y$  متقارن باشد (شامل دو صفحه همچون شکل ۳-۱۱)، آن‌گاه  $H_x(y=0) = 0$  و  $H_x$  برحسب  $y$  نامتقارن خواهد بود.  $H_x$  مقدار ثابتی بین دیواره‌های عایق و صفحه‌های مسی برگشت دارد و سپس در میان صفحه‌ها به صفر می‌رسد. با انتگرال‌گیری از معادله بالا، داریم

$$H_x = \frac{y_0^2}{M} \sqrt{\frac{\sigma}{\mu_f}} \frac{\partial p}{\partial x} \cdot \frac{y}{y_0} - \left( \frac{y_0^2}{M} \sqrt{\frac{\sigma}{\mu_f}} \frac{\partial p}{\partial x} + \frac{I}{2L} \right) \frac{\sin hMy/y_0}{\sin hM} \quad (۴۰-۱۱)$$

در جریان هارتمن، با افزایش بار خارجی  $R_L$ ، آهنگ جریان کاهش می‌یابد (برای هر عدد هارتمن مفروض). اگر ولتاژی خارجی اعمال شود، آهنگ جریان ممکن است بسته به قطبیت ولتاژ اعمال شده کاهش (و حتی جریانی مخالف‌گردان فشار به وجود آورد)، یا افزایش یابد. برای هر مقدار ثابت  $R_L$ ، با افزایش عدد هارتمن نیمرخ تخت‌تر می‌شود (شکل ۵-۱۱). اما، اگر ولتاژی خارجی اعمال شود، این منحنی نه تنها تخت نمی‌شود بلکه تیزتر خواهد شد. به‌طور کلی، افزایش عدد هارتمن به معنی افزایش برهم‌کنش است.



شکل ۵-۱۱ نیمرخ سرعت در جریان هارتمن برای مقاومت بار  $R_L$  و گرادیان فشار ثابت.

این نوع تحلیل مسئله هارتمن را برای مولدهای برق و پمپها، که کارکرد آنها به هر دو پارامتر شرایط سرفقطیها و گرادیان فشار بستگی دارد، می توان به کار برد. این روشها را برای جریان تراکم پذیر در کانال مولد MHD در بخش ۷-۱۱ به کار خواهیم برد. تعمیم آن به لوله ها و کانالهایی با سطح مقطع متناهی در اینجا بحث نخواهد شد، اما خوانندگان می توانند به مرجع ۵ مراجعه کنند.

## ۷-۱۱ انواع موجها در MHD

قبلاً به نوعی موج جدید به نام موج آلفن که در MHD رخ می دهد، اشاره کردیم. اکنون با بررسی حرکت تخت معمولی متوجه می شویم که موج آلفن یکی از چند پدیده جدیدی است که به علت برهم کنشهای الکترومغناطیسی میدان شاره رخ می دهد. در اینجا، توجه خود را به موجهای تخت محدود می کنیم، زیرا آنها تنها نوعی هستند که با بیان ساده بررسی می شوند و نتیجه های حاصل از تحریک آنها برای دست یابی به تصویر مطلوب موجهایی که در MHD انتشار می یابند، کفایت می کند.

مشخصه موج تخت، که در جهت  $x$  منتشر می شود، این است که هیچ یک از متغیرها در جهت های  $y$  و  $z$  تغییر نمی کنند. موجهای تخت واقعی در طبیعت وجود ندارند، اما دست کم در ناحیه های کوچکی از فضا، موجها دارای رفتار موجهای تخت هستند. در هر حال، موجهایی را که شکل هندسی پیچیده تری دارند، می توان برهم نهش موجهایی دانست که شبیه موجهای تخت رفتار می کنند.

دو نوع موج وجود دارند: عرضی و طولی. موجهای عرضی همچون موجهای برشی و TEM (موجهای الکترومغناطیسی) شامل فقط مؤلفه های  $y$  و  $z$  متغیرهای بردار در موج است (انتشار را در جهت  $x$  فرض می کنیم). تغییرات فشار و چگالی در موجهای عرضی وجود ندارد. موجهای طولی فقط دارای مؤلفه های  $x$  متغیرها یا اسکالرهایی خالص اند که در حرکت آنها وارد می شوند. مثال متداول، موج آکوستیکی یا صوتی است که تغییرات فشار و چگالی را همراه دارند. در MHD درمی یابیم که موجهای برشی عرضی همراه با کمیت های میدانی موج جدید دیگری ایجاد می کنند (موج آلفن) و موج آکوستیکی معمولی به سه نوع موج مغناطوآکوستیکی سریع، کند و میانی تقسیم می شوند.

در بررسیهای خود فرض می کنیم که شاره پیوستار، و قانون اهم برقرار است. در گازهای رقیق از مدل شاره پیچیده تری باید استفاده شود و نتیجه های آن، به ویژه در بسامدهای بالا، متفاوت اند. بررسی موجهای رادیویی در یون سپهر مبتنی بر نوسانهای این گازهای یونیده رقیق (یا پلاسما) است، اما در اینجا درباره آنها نمی توان بحث کرد. فرض دیگری که برای گازهای چگال و مایعها صادق است، این است که جریان جابه جایی در مقایسه با جریان رسانش ناچیز است. این فرض به این معناست که  $\sigma/\omega\epsilon \gg 1$ ، که  $\omega$  بسامد زاویه ای و  $\epsilon$  ثابت دی الکتریک است. برای جیوه (در یکاهای RMKS)،  $\sigma \cong 10^6$  و  $\epsilon \cong 10^{-12}$ ، بنابراین برای بسامدهایی حتی در ناحیه میکروموج این فرض کاملاً مناسب است. حتی برای گازهای کم یونیده در  $\sigma \cong 1$ ، برای زیاد شدن جریان جابه جایی، این بسامد باید از مرتبه  $10^{12}$  هرتر باشد.

برای این کار فرض می شود که موجها شامل آشفتگیها یا اختلالهای جزئی در متغیرهای حاکم را برهم می زنیم، آنها را خطی می کنیم و حل های فازوری برایشان در نظر می گیریم. آن گاه، مسئله ای ویژه مقدار طرح می کنیم و معادله پاشندگی را به دست می آوریم. فرض می کنیم که تمام آشفتگیها را برای انتشار در جهت  $x$  به شکل  $e^{j(\omega t - kx)}$  می توان بیان کرد و  $z = \sqrt{-1}$ .

۱-۷-۱۱ موجهای تخت در گازها

با نادیده گرفتن جریان جابه‌جایی و فرض ساکن بودن شاره در ابتدا، می‌توان معادله پاشندگی مناسب را به شرح زیر به دست آورد. با توجه به شکل ۱۱-۶، فرض می‌شود که میدان مغناطیسی وارد شده دارای مؤلفه‌های  $H_{0x}$  و  $H_{0y}$  است، که در جهت  $x$  منتشر می‌شوند. با حذف  $H_{0z}$  از عمومیت موضوع کاسته نمی‌شود، زیرا همیشه می‌توان دستگاه مختصات را حول محور  $x$  آنچنان دوران داد تا  $H_{0z}$  صفر شود. در فصل ۱۳ بحث کاملی درباره موجهای تخت، نمایش فازوری و معادلات پاشندگی شده است.

معادلات مربوط شامل سه معادله حرکت، سه معادله انتقال مغناطیسی، معادله پیوستگی، معادله انرژی و معادله حالت است که مجموعاً ۹ معادله می‌شود. کمیتهای اختلال مغناطیسی را با حرفهای کوچک و اختلال در فشار، چگالی و دما را با حرفهای پریم‌دار نشان می‌دهیم:

$$\begin{aligned} \mathbf{H} &= \mathbf{H}_0 + \mathbf{h} & \rho &= \rho_0 + \rho' \\ \mathbf{V} &= \mathbf{v}, (\mathbf{V}_0 = \mathbf{0}) & T &= T_0 + T' \\ p &= p_0 + p' \end{aligned}$$

مؤلفه‌های  $\mathbf{v}$  عبارت‌اند از  $u$ ،  $v$  و  $w$ . معادله پیوستگی عبارت است از

$$\frac{\partial p}{\partial t} + \nabla \cdot (\rho \mathbf{V}) = 0$$

که به شکل زیر درمی‌آید

$$\frac{\partial}{\partial t}(\rho_0 + \rho') + \nabla \cdot [(\rho_0 + \rho')\mathbf{v}] = 0$$

معادله مرتبه اول خطی شده عبارت است از

$$\frac{\partial \rho'}{\partial t} + \rho_0 \frac{\partial u}{\partial x} = 0$$

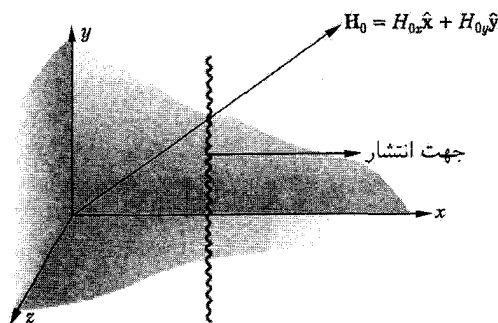
بدین ترتیب، شکل جبری معادله (با فرض حل فازوری  $\rho' = \rho'^* e^{j(\omega t - kx)}$  و  $u = u^* e^{j(\omega t - kx)}$  که  $\rho'^*$  و  $u^*$  فازورها هستند) به صورت زیر است

$$u^* \rho k - \rho'^* \omega - u^* \rho_0 k = 0 \quad (۱۱-۴۱)$$

همین‌گونه، می‌توان بقیه معادلات خطی شده را به شکل جبری نوشت. معادلات مرتبه اول عبارت‌اند از

معادله حالت:

$$\frac{\rho'}{\rho_0} = \frac{T'}{T_0} + \frac{\rho'}{\rho_0} \quad (۱۱-۴۲)$$



شکل ۱۱-۶ انتشار موج تخت در میدان مغناطیسی وارد شده.

معادله حرکت:

$$\rho \frac{\partial u}{\partial t} = -\frac{\partial p'}{\partial x} + (\zeta + \frac{4}{3}\nu\rho_0) \frac{\partial^2 u}{\partial x^2} - \mu H_{0y} \frac{\partial h_y}{\partial x} \quad (\text{الف})$$

$$\rho_0 \frac{\partial v}{\partial t} = \nu \rho_0 \frac{\partial^2 v}{\partial x^2} + \mu H_{0x} \frac{\partial h_y}{\partial x} \quad (\text{ب}) \quad (۴۳-۱۱)$$

$$\rho_0 \frac{\partial w}{\partial t} = \nu \rho_0 \frac{\partial^2 w}{\partial x^2} + \mu H_{0x} \frac{\partial h_z}{\partial x} \quad (\text{ج})$$

معادله انرژی (اتلاف از مرتبه دوم است):

$$\rho_0 c_p \frac{\partial T'}{\partial t} = \frac{\partial p'}{\partial t} + \kappa_T \nabla^2 T' \quad (۴۴-۱۱)$$

معادله انتقال مغناطیسی:

$$\frac{\partial h_x}{\partial t} = \eta \frac{\partial^2 h_x}{\partial x^2} \quad (\text{الف})$$

$$\frac{\partial h_y}{\partial t} = \eta \frac{\partial^2 h_y}{\partial x^2} + H_{0x} \frac{\partial v}{\partial x} - H_{0x} \frac{\partial u}{\partial x} \quad (\text{ب}) \quad (۴۵-۱۱)$$

$$\frac{\partial h_z}{\partial t} = \eta \frac{\partial^2 h_z}{\partial x^2} + H_{0x} \frac{\partial w}{\partial x} \quad (\text{ج})$$

اکنون می‌توان شکل جبری را به دست آورد. نتیجه عملیات، نه معادله جبری برای نه کمیت فازوری است. اما، این معادلات مستقل خطی نیستند و مقدار ضریب فازورها باید صفر باشد. بدین ترتیب، این معادله همان معادله پاشندگی است. شکل درمینیانی آن به صورت زیر است. در این درمینیان سه جمله نامزدوج وجود دارد. جمله اول مهم نیست و فقط نشان می‌دهد که  $h_x = 0$ . درمینیان  $2 \times 2$  بیانگر دو موج عرضی است و  $6 \times 6$  مجموعه موجهای جفت شده طولی و عرضی را نشان می‌دهد. در اینجا، به جزئیات این موجهای کلی نمی‌پردازیم، ولی بعضی از حالت‌های خاص آنها را بررسی می‌کنیم.

	$h_x^*$	$h_z^*$	$w^*$	$u^*$	$v^*$	$h_y^*$	$p'^*$	$\rho'^*$	$T'^*$
(الف-۴۵-۱۲)									
(ب-۴۳-۱۲)									
(ج-۴۵-۱۲)									
(۴۱-۱۲)									
(الف-۴۳-۱۲)									
(ب-۴۳-۱۲)									
(ب-۴۵-۱۲)									
(۴۲-۱۲)									
(۴۴-۱۲)									

(۴۶-۱۱)

### ۲-۷-۱۱ موجهای عرضی

درمینیان  $2 \times 2$  را می‌توان به صورت زیر نوشت

$$\nu \eta k^2 + [A_x^2 + j(\nu + \eta)\omega] k^2 - \omega^2 = 0 \quad (۴۷-۱۱)$$

که بیانگر دو مد عرضی اند، زیرا از مرتبه درجه دو  $k^2$  است. این مدها ناشی از جفت شونده بین پخش گران رو و پخش مغناطیسی و موج آلفن است. (علامتهای  $A_+$  و  $A_-$  موج پیش‌رونده یا پس‌رونده را مشخص می‌کند).  $A_x$  مؤلفه  $x$  سرعت آلفن، یعنی  $A_x = \sqrt{B_{0x}H_{0x}/\rho_0}$  است. اگر  $A_x = 0$ ، آن‌گاه دو موج جفت نشده داریم که از رابطه زیر به دست می‌آیند

$$(\eta k^2 + j\omega)(\nu k^2 + j\omega) = 0 \quad (48-11)$$

که پخش گران رو خالص پخش مغناطیسی خالص را نشان می‌دهد (زیرا  $k^2$  انگاری است). اگر  $\nu = \eta = 0$  (بدون اتلاف)، آن‌گاه  $A_x^2 k^2 - \omega^2 = 0$ ، بنابراین سرعت فاز  $v_p = \omega / (\text{Re}k)$  تندی آلفن است، یعنی  $v_p = \pm A_x$ . در نتیجه  $k$  کمیتی حقیقی است و هیچ‌گونه تضعیفی رخ نمی‌دهد. موجهای عرضی برای گاز و مایعات یکسان‌اند.

### ۱۱-۷-۳ موجهای جفت‌شده طولی

درمیان  $6 \times 6$  معادله (۴۶-۱۱) به طور صریح عبارت است از

$$\left[ \kappa_T \left\{ \frac{1}{\rho_0} + j \frac{\omega}{\rho_0 p_0} (\frac{2}{3} \nu \rho_0 + \zeta) \right\} k^2 - \left\{ \frac{\omega^2 \kappa_T}{p_0} - j \omega c_p + \frac{\omega^2 c_p}{a_0^2 \rho_0} (\frac{2}{3} \nu \rho_0 + \zeta) \right\} k^2 - j \frac{\omega^2 c_p}{a_0^2} \right] \cdot [\nu \eta k^4 + \{A_x^2 + j(\nu + \eta)\omega\} k^2 - \omega^2] - k^2 A_y^2 (j\omega + \nu k^2) \left( \frac{\omega^2 c_p}{a_0^2} - \frac{j\omega \kappa_T k^2}{p_0} \right) = 0 \quad (49-11)$$

که  $a_0 = \sqrt{kRT_0}$  تندی صوتی و  $A_y = \sqrt{B_{0y}H_{0y}/\rho_0}$ ،  $A_x = \sqrt{B_{0x}H_{0x}/\rho_0}$  در اینجا حالت کلی را بررسی خواهیم کرد، بلکه حالت‌های خاص قابل توجه را در نظر خواهیم گرفت. اگر میدان را  $\mathbf{H}_0 = 0$  ( $A_x = A_y = 0$ ) قرار دهیم، آن‌گاه به موجهای آکوستیکی معمولی در شاره گران رو با رسانش گرمایی دست می‌یابیم. همچنین اگر  $\nu = \zeta = \kappa_T = 0$ ، به موجهای آکوستیکی ساده معمولی دست می‌یابیم و معادله (۴۹-۱۱) به صورت ساده زیر درمی‌آید

$$a_0^2 k^2 - \omega^2 = 0$$

بنابراین  $v_p = \pm a_0$  سرعت صوتی معمولی است.

اگر  $\nu = \eta = \kappa_T = \zeta = 0$  هیچ اتلافی نداریم و به موجهای مغناطوآکوستیکی «ایده‌ال» دست خواهیم یافت. این موجها را می‌توان به طور کامل بررسی کرد و از اهمیت ویژه‌ای در MHD برخوردارند. یادآور می‌شویم که معادله (۴۹-۱۱) به دو عامل تبدیل می‌شود: یکی مشابه موج آلفن در بخش قبل و دیگری از مرتبه درجه دو  $k^2$ :

$$[(a_0^2 k^2 - \omega^2)(A_x^2 k^2 - \omega^2) - k^2 A_y^2 \omega^2] (A_x^2 k^2 - \omega^2) = 0 \quad (50-11)$$

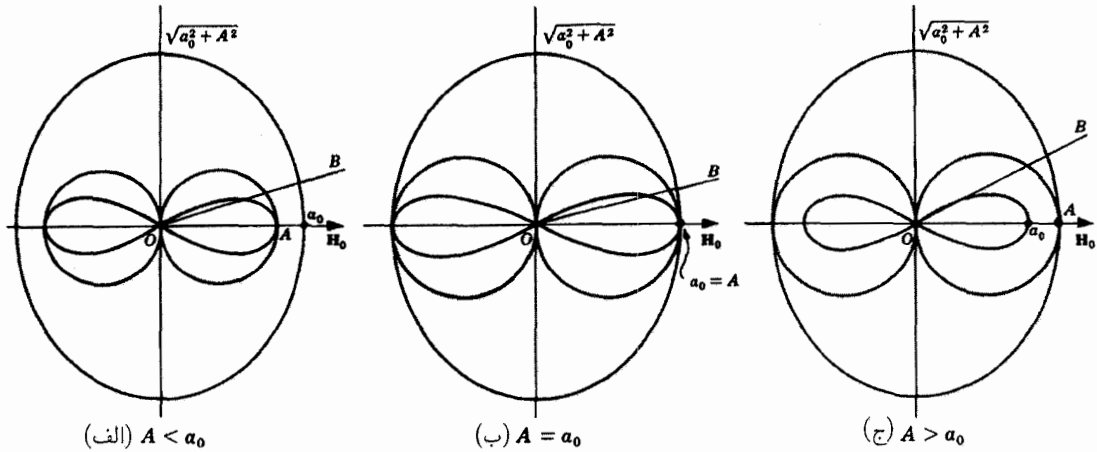
دو ریشه رابطه درجه دو بیانگر دو موج طولی اند (موجهای مغناطوآکوستیکی): موج سریع و موج آهسته. سرعت‌های فاز عبارت‌اند از

$$v_{\text{سریع}} = \pm \left[ \frac{1}{\rho_0} (A_x^2 + A_y^2 + a_0^2) + \sqrt{\frac{1}{\rho_0} (A_x^2 + A_y^2 + a_0^2)^2 - a_0^2 A_x^2} \right]^{1/2} \quad \text{موج طولی:}$$

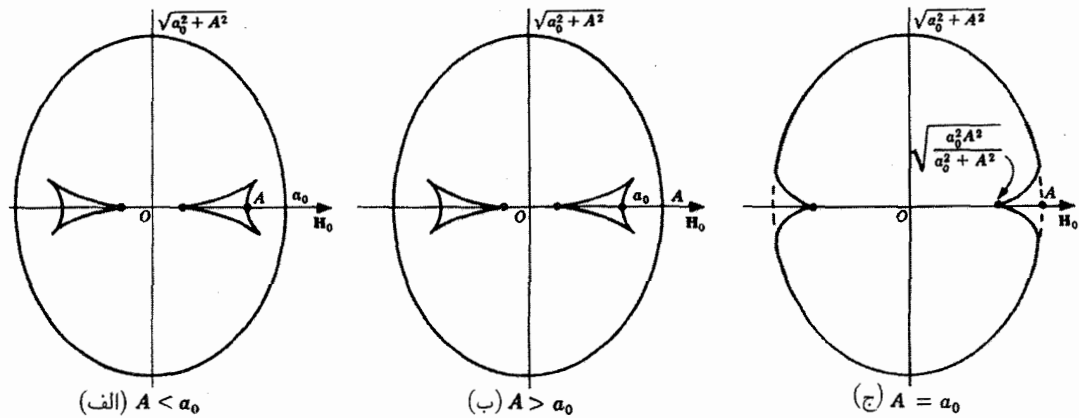
$$v_{\text{آهسته}} = \pm \left[ \frac{1}{\rho_0} (A_x^2 + A_y^2 + a_0^2) - \sqrt{\frac{1}{\rho_0} (A_x^2 + A_y^2 + a_0^2)^2 - a_0^2 A_x^2} \right]^{1/2} \quad (51-11)$$

$$v_p = \pm A_x$$

موج عرضی:



شکل ۷-۱۱ سرعت فاز موجهای مغناطوآکوستیکی ایده‌ال. بردار شعاعی  $OB$  بیانگر سرعت فاز انتشار موج تخت در آن جهت نسبت به میدان مغناطیسی وارد شده  $H_0$  است. باید تصور کرد که این نمودار حول  $H_0$  برای تشکیل سطحهای سه‌بعدی  $A^2 = A_x^2 + A_y^2$  چرخیده است.



شکل ۸-۱۱ نمودارهای قائم - پرتو یا فردریکس برای موجهای مغناطوآکوستیکی ایده‌ال. تپ صدای موجود در مبدأ در واحد زمان به درون این سطحها گسترش می‌یابد. آنها را باید حول  $H_0$  برای تشکیل سطحهای سه‌بعدی بچرخانیم.

مشخصه این موجها را با رسم سرعت فاز به عنوان تابع جهت انتشار برحسب میدان مغناطیسی به خوبی از نظر فیزیکی می‌توان دید. در شکل ۷-۱۱ منحنی سرعت فاز را در نمودار سه‌بعدی قطبی نشان داده‌ایم. در این شکل می‌بینیم که به‌طور کلی سه موج وجود دارند و برای انتشار در زاویه‌های قائم نسبت به  $H_0$  (پس،  $H_{0x} = 0$ ) فقط یک موج وجود دارد که آن هم موج آکوستیکی اصلاح شده است. از دیدگاه کاربردی، در جعبه فلزات مایع، معمولاً  $A$  بسیار کوچکتر از  $a_0$  است و بنابراین اندازه‌گیری اثر آن بر روی رفتار آکوستیکی در آزمایشگاه دشوار است. اما، در مقیاس نجومی و اخترشناسی، چنین چیزی صحیح نیست و این موجها مهم می‌شوند.

نمودار مورد توجه دیگر، نمودار قائم - پرتو برای موجهای مغناطوآکوستیکی ایده‌آل است. آنها را نمودارهای فردریکس می‌گویند و در شکل ۸-۱۱ دیده می‌شوند. این نمودارها پوش موجهای تختی‌اند که از مبدأ به خارج حرکت می‌کنند و بنابراین بیانگر شکل‌گیری واحد زمان در فضای تپ در مبدأ هستند. در صوت‌شناسی معمولی، این‌گونه نمودارها به‌صورت کره‌ای به شعاع  $a_0$  خواهند بود. (مخروط ماخ شکل‌گیری تپ صدای ناشی از چشمه متحرک صوتی را نشان می‌دهد.) این نمودارها را می‌توان با استفاده از شکل ۷-۱۱ به‌طور هندسی ترسیم کرد. خطهای عمود بر پرتوها (همچون  $OB$ ) منحنی مکان هندسی سرعت فاز را قطع می‌کنند. اکنون، مجموعه پیوسته‌ای از این صفحه‌های متعامد را تشکیل می‌دهیم که مانند  $OB$  همه زاویه‌ها را پوشش می‌دهد. آن‌گاه، پوش این صفحه‌ها سطحهای آشفته‌گی صدایی را تشکیل می‌دهند که به‌وسیله تپ موجود در مبدأ تولید شده‌اند.



سطح آشفتهگی ایجاد شده به وسیله چشمه متحرک (مانند هواپیما) قدری پیچیده می شود و بیشتر از دو حالت مشخص (مانند فراصوتی و فراصوتی در شاره معمولی) وجود خواهد داشت. اکنون چهار ناحیه جریان، بسته به بزرگی سرعت جسمهای متحرک نسبت به تندی این سه موج و جهت گیری آنها نسبت به میدان مغناطیسی، وجود دارد. در اینجا، درباره مغناطوآرودینامیک بحث نخواهیم کرد و علاقمندان می توانند به مرجعها مراجعه کنند.

### ۱۱-۷-۴ موجهای ضربه ای MHD

در اینجا، فقط درباره حالت خاصی از موج ضربه ای MHD بحث می کنیم که موج ضربه ای قائم MHD نامیده می شود. فرض می کنیم که میدان مغناطیسی وارد شده در دو طرف موج ضربه ای موازی با جبهه موج ضربه ای است. سرعت ممکن است نسبت به جبهه موج ضربه ای مایل باشد، بنابراین فقط به مؤلفه های سرعت عمود بر جبهه موج ضربه ای می پردازیم. موج ضربه ای قائم MHD تعمیم موج ضربه ای مایل معمولی است. در اینجا، حالت کلیتر میدان مغناطیسی اختیاری را بحث نخواهیم کرد.

اکنون، تحلیل خود را در چارچوب مرجع موج ضربه ای انجام می دهیم و فرض می کنیم که  $B$  در تمام دستگاهها یکسان است. با مراجعه به شکل ۱۱-۹، می توان معادلات پایستگی را در عرض موج ضربه ای نوشت.

$$[\rho u]_1^2 = 0 \quad \text{معادله پیوستگی:}$$

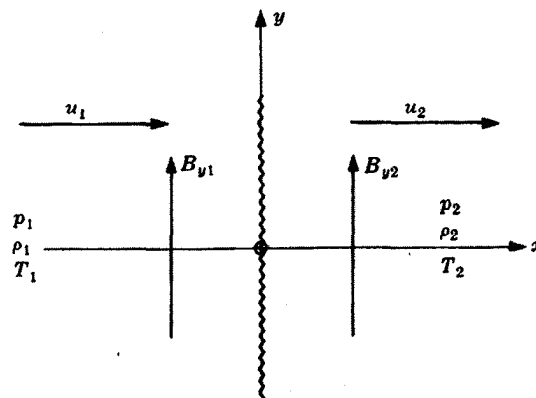
$$\left[ \rho u^2 + p + \frac{1}{2} B_y^2 \right]_1^2 = 0 \quad \text{معادله تکانه:}$$

$$[u B_y]_1^2 = 0 \quad B_{z1} = B_{z2} = 0 \quad \text{معادله انتقال مغناطیسی:}$$

همچنین،  $v$  و  $w$ ، که مؤلفه های  $y$  و  $z$  سرعت اند، باید پیوسته باشند.

$$\left[ \frac{p}{\rho} \left( \frac{k}{k-1} \right) + \frac{u^2}{2} + \frac{B_y^2}{\rho \mu} \right]_1^2 = 0 \quad \text{معادله انرژی:}$$

علامت  $[\ ]_1^2$  بیانگر شرط جهش است. یعنی،  $[A]_1^2 = A_2 - A_1$ ، که  $A$  کمیتی اختیاری است. این چهار معادله بالا بیانگر کامل موج ضربه ای، و شبیه معادلات رانکین - هوگنویو هستند.



شکل ۱۱-۹ موج ضربه ای قائم MHD. دستگاه مختصات را در جهتی قرار داده ایم که، با حفظ عمومیت موضوع،  $B_{z1} = B_{z2} = 0$  نیز برای تأمین انتقال مغناطیسی باید صفر شود.

ورقه جریانی در موج ضربه‌ای وجود دارد که باعث تغییر  $B_y$  می‌شود. با حل آن، سرعت موج ضربه‌ای  $a_s$  در هوای ساکن (مانند  $u_1$  در شکل ۱۱-۹) نتیجه می‌شود

$$a_s = \frac{2}{k+1} \cdot \frac{a_1^2 + A_1^2 [1 + (1-k/2)(\rho_2/\rho_1 - 1)]}{\rho_1/\rho_2 - (k-1)/(k+1)} \quad (52-11)$$

که  $a_1$  سرعت صوتی در بالادست جریان، و  $A_1$  سرعت آلفن  $\sqrt{B_{y1}^2/\mu\rho_1}$  در جریان بالادست است. با گراییدن  $A_1$  به سوی صفر، سرعت موج ضربه‌ای در دینامیک گازی معمولی به دست می‌آید. سرعت موج ضربه‌ای با حضور میدان مغناطیسی افزایش می‌یابد. (با نزدیک کردن میدان مغناطیسی سرعت موج ضربه‌ای افزایش می‌یابد.) با کاهش شدت میدان مغناطیسی  $1 \rightarrow \rho_2/\rho_1 \rightarrow a_s^2 = a_1^2 + A_1^2 \cdot \rho_2/\rho_1$ ، که سرعت مغناطوصوتی عمود بر میدان را به دست می‌دهد.

جهش فشار  $[p]_1^2 = p_2 - p_1$  از رابطه زیر به دست می‌آید

$$p_2 - p_1 = a_s^2 \rho_1 (1 - \rho_1/\rho_2) + \frac{B_{y1}^2}{2\mu} (1 - \rho_1^2/\rho_2^2) \quad (53-11)$$

و عدد ماخ مغناطوصوتی  $M_t^2 = a_s^2/(a_1^2 + A_1^2)$  را، وقتی  $1 \rightarrow \rho_2/\rho_1$  و  $M_{t1} \rightarrow 1$ ، به صورت زیر می‌توان بیان کرد

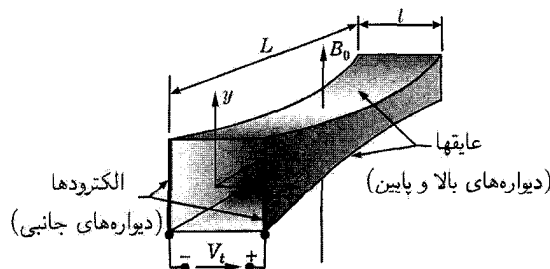
$$M_t^2 = \frac{2}{k+1} \cdot \frac{1 + [A_1^2/(a_1^2 + A_1^2)](1-k/2)(\rho_2/\rho_1 - 1)}{\rho_1/\rho_2 - (k-1)/(k+1)} \quad (54-11)$$

برای  $M_{t1} < 1$ ، هیچ موج ضربه‌ای رخ نمی‌دهد و برای  $M_{t1} > 1$  و  $a_s^2 > a_1^2$  موجی ضربه‌ای وجود دارد. برای  $a_s^2 < a_1^2$ ، هیچ موج ضربه‌ای برای هر مقدار  $A_1$  نمی‌تواند به وجود آید. در نتیجه، با افزایش میدان و گذر از مقدار بحرانی، هیچ موج ضربه‌ای نمی‌تواند رخ دهد. برای میدان مغناطیسی مایل کلی وضعیت پیچیده‌تر است و چندتاگی موجهای ضربه‌ای و ناپیوستگیها به وجود می‌آید.

## ۸-۱۱ جریان تراکم‌پذیر-جریان کانال مغناطوگازدینامیکی

در این بخش درباره جریان کانال شبه یک‌بعدی تراکم‌پذیر، که در بررسی مولد برق و سیستم پیشرانش MHD مهم است، بحث خواهیم کرد. همچون شکل ۱۱-۱۰، فرض می‌کنیم که سطح مقطع کانال در جهت  $x$  متغیر است و الکترودها به صورت رساناهای کامل موازی، دو دیواره مقابل هم را در کانال تشکیل می‌دهند. دیواره‌های دیگر عایق هستند. مؤلفه‌های سرعت  $v$  و  $w$  بسیار کوچکتر از  $u$  فرض می‌شوند و اثرهای میدان القاشده را نادیده می‌گیریم. پتانسیل سرقطب  $V_t$  و میدان الکتریکی  $E_z$  ( $E_x$  و  $E_y$  صفرند) با رابطه زیر به هم مربوط می‌شوند

$$E_z = -V_t/l$$



شکل ۱۰-۱۱ کانال یک‌بعدی با جریان تراکم‌پذیر

بنابراین  $E_z$  در سرتاسر کانال ثابت است و  $J_z = \sigma(E_z + uB_0)$  فقط تابع  $x$  است (زیرا  $u$  تابع  $x$  است). اگر  $l$  را نسبت به  $x$  متغیر می‌گرفتیم، آن‌گاه  $E_z$  تابع  $x$  می‌شد، اما در اینجا بحث خود را به الکتروادهای موازی محدود می‌کنیم.

با شرایط مدار باز، جریان کل خارجی  $I$  صفر است، اما  $\mathcal{F}(x)$  (چگالی جریان در واحد طول) الزاماً صفر نیست و جریانه‌ها می‌توانند در کانال گردش داشته باشند.  $V_{t0c}$  را نمی‌توان بدون داشتن تابع  $u(x)$  تعیین کرد. اما، براساس مقیاس موضعی (برای هر مقدار مفروض  $x$ ) شرایط مدار باز موضعی ( $J_z = 0$ ) از رابطه  $E_z = -uB_0$  به دست می‌آید. در مدار کوتاه موضعی،  $E_z = 0$ . در نتیجه، اگر  $0 < E_z < -uB_0$ ، هر قسمت موضعی مفروض در کانال به‌عنوان مولد عمل می‌کند. در کانال کامل، این شرط باید برای هر مقدار  $x$  صدق کند. با در نظر گرفتن علامت  $E_z$ ، می‌توان نشان داد که اگر  $E_z$  منفی باشد، کانال به‌صورت پمپ یا جریان‌سنج به‌کار می‌رود. بررسیهای خود را به مقدارهای منفی  $E_z$  محدود می‌کنیم.

### ۱۱-۸-۱ جریان یک‌بعدی اصلی

معادلات اصلی جریان کانال را می‌توان با متوسط‌گیری معادلات دیفرانسیل در طول کانال به دست آورد. فرض می‌کنیم جریان پایا،  $\sigma$  اسکالر ثابت، گاز کامل. جریان بی‌دررو، و بدون هیچ تغییراتی در طول کانال است

معادله پیوستگی:

$$\rho u A = m \text{ (ثابت)} \quad (11-55)$$

معادله حرکت:

$$\rho u \frac{du}{dx} = -\frac{dp}{dx} - \sigma(E_z + uB_0)B_0 \quad (11-56)$$

معادله انرژی:

$$\rho u \left[ c_p \frac{dT}{dx} + u \frac{du}{dx} \right] = \sigma(E_z + uB_0)E_z \quad (11-57)$$

معادله حالت:

$$p = \rho RT \quad (11-58)$$

در اینجا  $A$  مساحت مقطع کانال است.

این معادلات را نمی‌توان به‌طور صریح برای تغییرات سطح کلی  $A(x)$  حل کرد، اما می‌توان انتگرال مفید اول را به دست آورد. از ترکیب مناسب معادلات بالا رابطه زیر به دست می‌آید

$$\frac{du}{dx} = \frac{(u/A)(dA/dx) - (\sigma B_0^2/p)(u - u_3)(u - u_1)}{M^2 - 1} \quad (11-59)$$

$$\frac{dM}{dx} = \frac{1}{(M^2 - 1)} \left\{ \left( 1 + \frac{k-1}{2} M^2 \right) \frac{M}{A} \frac{dA}{dx} - \left( 1 + \frac{k-1}{2} M^2 \right) \frac{\sigma B_0^2}{ap} (u - u_3)(u - u_2) \right\} \quad (11-60)$$

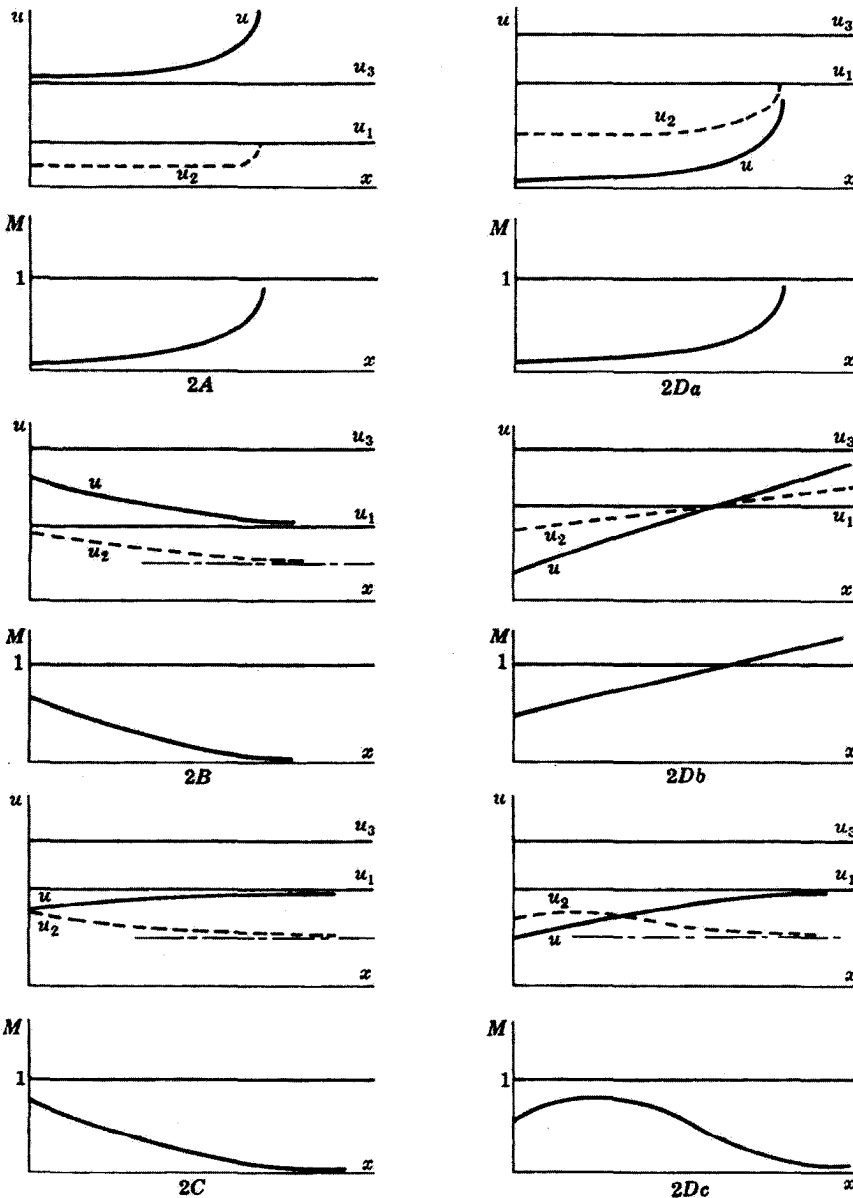
که سرعتهای بحرانی  $u_1$ ،  $u_2$  و  $u_3$  به‌صورت زیر تعریف می‌شوند

$$u_1 = -\frac{k-1}{k} \cdot \frac{E_z}{B_0} = \frac{k-1}{k} u_3, \quad u_2 = \frac{1 + kM^2}{2 + (k-1)M^2} u_1, \quad u_3 = -\frac{E_z}{B_0} = \frac{V_t}{B_0 l} \quad (11-61)$$

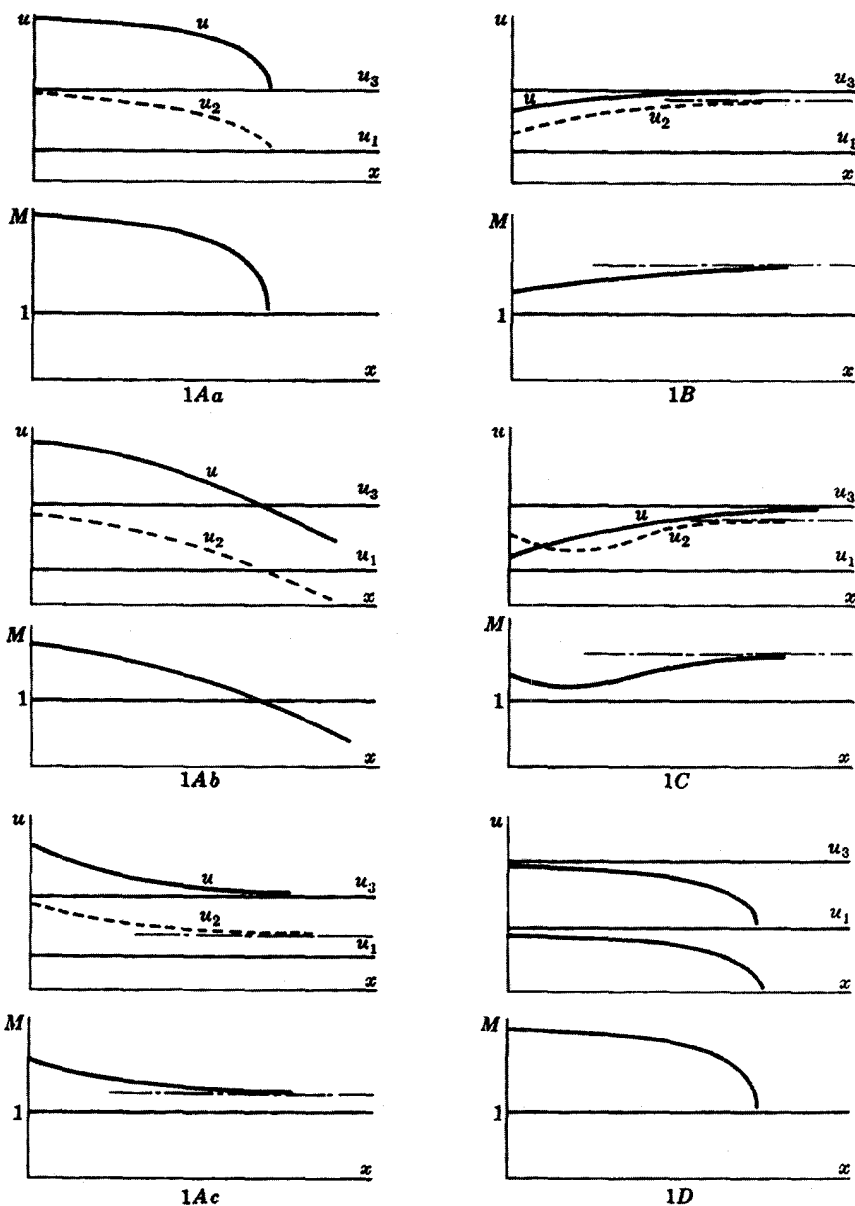
و  $M$  عدد ماخ موضعی است.

اکنون اثر نهایی برهم‌کنش الکترومغناطیسی با شاره منحصراً نیروی  $\mathbf{J} \times \mathbf{B}$  نیست، بلکه گرمای ژول نیز وارد برهم‌کنش می‌شود. در این صورت، اثر نهایی را می‌توان از معادلات (۱۱-۵۹) و (۱۱-۶۰) تعیین کرد. وقتی  $u < u_3$ ، نیروی حجمی به‌تنهایی جریان را شتاب می‌دهد و وقتی

$u > u_3$ ، نیروی حجمی به تنهایی جریان را کند می‌کند. سرعت  $u_1$  سرعتی است که نیروی حجمی و گرمای ژول یکدیگر را خنثی می‌کنند. آن‌گاه اثر نهایی به این شکل است: اگر  $M > 1$ ، به شرطی که  $u_3 > u > u_1$  و اگر  $u < u_1$  و  $u > u_3$ ، جریان شتاب می‌گیرد و اگر  $u < u_1$  و  $u > u_3$ ، جریان کند می‌شود. اگر  $M < 1$ ، جریان رفتاری عکس دارد. اثر نهایی روی  $M$  را می‌توان از معادله (۱۱-۶) متوجه شد. اگر  $M > 1$  و  $u_3 > u > u_2$ ، مقدار  $M$  بر حسب  $x$  افزایش می‌یابد و اگر  $M$  خارج از این ناحیه باشد،  $M$  بر حسب  $x$  کاهش خواهد یافت. برای  $M < 1$  این عمل عکس می‌شود. برای عمل در  $E_z < 0$  و برای مقادیر مختلف  $u_0$  (سرعت ورودی در  $x = 0$ ) می‌توان رفتار  $u$  و  $M$  را در طول کانال به طور کیفی رسم کرد. این رفتار را در شکل‌های ۱۱-۱۱ و ۱۱-۱۲ نشان داده‌ایم. برای کارکرد مولد، داریم  $u > u_3$  و با توجه به شکل‌ها متوجه می‌شویم که منحصراً در حالت‌های ۱A و ۲A،  $u > u_3$  است. در حالت ۲A در همه جا  $u > u_3$  است و در ۱A این امکان وجود دارد که کانال فقط به صورت مولد



شکل ۱۱-۱۱ رفتار کیفی  $u$  و  $M$  در طول کانال با سطح مقطع ثابت برای شرایط اولیه فروصوتی. ۲A:  $u_2 < u_1 < u_3 < u_0$ ،  $u_2 < u_1 < u_3 < u_0$ . ۲B:  $u_2 < u_1 < u_3 < u_0$ . ۲C:  $u_0 < u_2 < u_1 < u_3$ . ۲Da:  $u_2 < u_1 < u_3 < u_0$ . ۲Db:  $u_0 < u_2 < u_1 < u_3$ . ۲Dc:  $u_0 < u_2 < u_1 < u_3$



شکل ۱۱-۱۲ رفتار کیفی  $u$  و  $M$  در طول کانال با سطح مقطع ثابت برای شرایط اولیه فروصوتی.  $1Aa, 1Ab, 1Ac$ : سه امکان وقتی  $u_1 < u_2 < u_3 < u_0$ ؛  $1B, 1C, 1D$ :  $u_0 < u_1 < u_2 < u_3 < u_0 < u_3 < u_2 < u_1 < u_0$ .

در قسمتی از طول خود عمل کند (حالت  $1Ab$ ). اما، باید به خاطر داشت که  $u > u_3$  شرط لازم موضعی برای کارکرد مولد است و رفتار کلی کانال  $(V_{t0c}, I_{sc}, R_i)$  را می‌توان فقط پس از دانستن  $u(x)$  محاسبه کرد.

### ۱۱-۸-۲ کارکرد مولد

در اینجا، درباره حل معادلات اصلی بحث نخواهیم کرد، اما فقط یک مسئله خاص کاربردی، یعنی مولد سرعت - ثابت را بررسی می‌کنیم.  $A(x)$  باید به شکل خاصی تغییر کند تا به ثابت ماندن  $u(x)$  منجر شود.

با اعمال سرعت ثابت  $u_0$  بر روی معادلات اصلی رابطه‌های زیر را می‌توان به دست آورد

$$p_0 - p = x B_0^2 \sigma (u_0 - u_3), \quad T/T_0 = (p/p_0)^{(k-1)u_3/ku_0}, \quad A/A_0 = (p_0/p)^{1-(k-1)u_3/ku_0} \quad (۶۲-۱۱)$$

در این صورت، جریان کلی  $I$  برابر است با

$$I = \int_0^L \sigma (-V_t + u_0 B_0) \frac{A}{l} dx \quad (۶۳-۱۱)$$

بنابراین برای هر  $V_t$  (یا  $u_3$ ) مفروض، توان خروجی کل  $P$  برابر  $IV_t$  است که پس از انتگرال‌گیری به صورت زیر درمی‌آید

$$P = \frac{A_0 p_0 k u_0}{(k-1)} \left[ 1 - \left\{ 1 - \frac{B_0 \sigma}{p_0} (u_0 - u_3) L \right\}^{(k-1)u_3/ku_0} \right] \quad (۶۴-۱۱)$$

معادله (۶۲-۱۱) را می‌توان مستقیماً برای  $u_3$  (برای مقدار ثابت  $u_0$ ) بهینه کرد.

در باره این موضوع بیش از این در اینجا بحث نخواهیم کرد، زیرا انتگرال‌گیری معادلات جریان با شرایط اختیاری نسبتاً پیچیده می‌شود.

از دیدگاه کاربردی، تحلیل مولد MHD قدری پیچیده‌تر است. رسانندگی آن، تانسوری است که به جریان حال منجر می‌شود و بر حسب دما

تغییر می‌کند. اما، اصول جریان کانال یک‌بعدی که در اینجا معرفی شده است، حتی برای دستگاه‌های پیچیده‌تر یکسان است.

## مراجع

1. Chen, F. F., *Introduction to Plasma Physics and Controlled Fusion*, 2nd ed., Vol. I, Plenum Press, 1984.
2. Cowling, T. G., *Magnetohydrodynamics*, Interscience, 1957.
3. Delcroix, J. L., *Plasma Physics*, John Wiley, 1965.
4. Delcroix, J. L., *Plasma Waves*, Interscience Publisher, 1963.
5. Hughes, W. F., and Young, F. J., *The Electromagnetodynamics of Fluids*, John Wiley, 1966. (Reprinted by Krieger Publishing Co., 1989.)
6. Jackson, J. D., *Classical Electrodynamics*, 2nd ed., John Wiley, 1975.
7. Jeffrey, A., *Magnetohydrodynamics*, Interscience (John Wiley), Oliver and Boyd, 1966.
8. Kulikovskiy, A. G., and Lyubimov, G. A., *Magnetohydrodynamics* (translated from the Russian), Addison-Wesley, 1965.
9. Landau, L. D., and Lifschitz, E. M., *Electrodynamics of Continuous Media*, Addison-Wesley, 1960.
10. Shercliff, A., *A Text of Magnetohydrodynamics*, Pergamon Press, 1965.
11. Sutton, G. W., and Sherman, A., *Engineering Magnetohydrodynamics*, McGraw-Hill, 1965.

For current research the reader is referred to the following journals: *Journals of Fluid Mechanics* and *Physics of Fluids*.

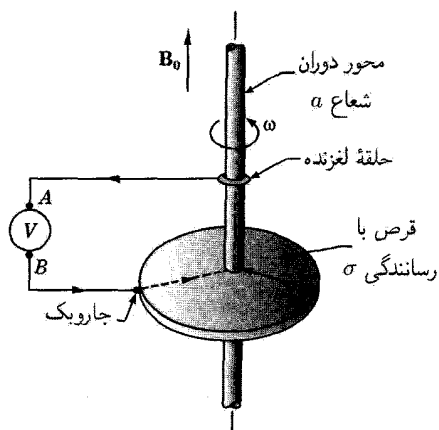
The following publications are also of interest: *The Proceedings of Engineering Aspects of MHD*, published annually, jointly by ASME, IEEE, and AIAA. *The Proceedings of the Beer-Sheva International Seminar on MHD Flows and Turbulence*. Published periodically by AIAA in the series *Progress in Astronautics and Aeronautics*.

## مسائل حل شده

۱-۱۱ مولد قرصی فازاده را در شکل ۱۱-۱۳ نشان داده‌ایم. قرص نازک رسانایی را در نظر بگیرید که با سرعت زاویه‌ای یکنواخت  $\omega$  در میدان مغناطیسی یکنواخت و پایای  $B_0$  در جهت محوری می‌چرخد. محور کاملاً رسانا (به شعاع  $a$ ) و محیط قرص با تماس‌های حلقه‌نغزنده به ولتمتری متصل شده است. ولتاژ مدار باز چقدر است؟

چون حرکت پایاست، هیچ جریان تلاطمی وجود ندارد و emf برابر ولتاژ دو سر قطب است. بنابراین

$$V_{AB} = - \int_a^b E_r \cdot dr$$



شکل ۱۱-۱۳

در شرایط مدار باز،  $J_r = 0 = \sigma(E_r + r\omega B_0)$ . از این رو

$$V_{AB} = \int_a^b r\omega B_0 \cdot dr = \frac{1}{2}(b^2 - a^2)\omega B_0$$

به بیان دیگر،

$$\text{emf} = V_{BA} = \oint \mathbf{V} \times \mathbf{B} \cdot d\mathbf{l} - \int \frac{\partial \mathbf{B}}{\partial t} \cdot d\mathbf{A}$$

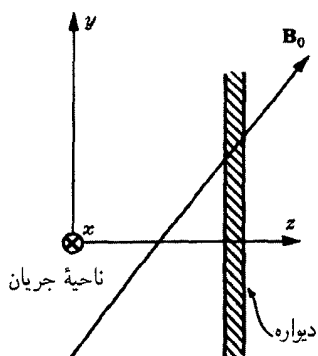
و با انتخاب مسیری از میان انتهای ثابت، قرص و محور فقط به سهم  $\mathbf{V} \times \mathbf{B}$  در قرص دست می‌یابیم، که در نتیجه

$$V_{AB} = -V_{BA} = \int_a^b (r\omega) B_0 \cdot dr = \frac{1}{2}(b^2 - a^2)\omega B_0$$

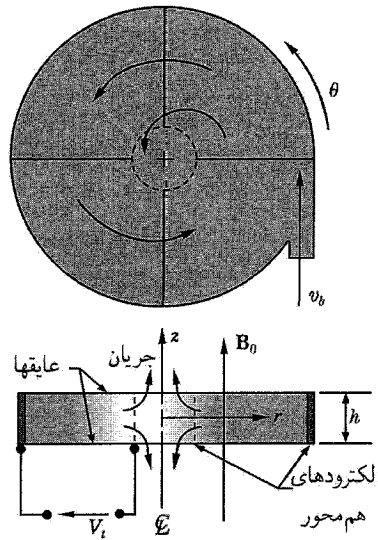
که با نتیجه به دست آمده در بالا مطابقت دارد.

۱۱-۲ شرایط مرزی میدان مغناطیسی القاشده در دیواره کانال جریان چیست؟

جریانی کاملاً توسعه‌یافته را در کانالی مستطیلی با سطح مقطع ثابت در نظر بگیرید. جریان در نزدیکی دیواره مطابق شکل ۱۱-۱۴ است. در دیواره که رسانایی کامل است  $\sigma = \infty$ ، میدان الکتریکی مماسی  $E_y$  صفر است. همچنین، سرعت شاره در دیواره صفر است. بنابراین در دیواره،



شکل ۱۱-۱۴



شکل ۱۱-۱۵

است. برای دیواره عایق، در دیواره  $J_z = 0$ ، بنابراین  $\partial H_x / \partial y = 0$ . از این رو، نتیجه می‌گیریم که در دیواره رسانای کامل  $\nabla \times \mathbf{H} = \mathbf{J}$  اما از  $J_y = \sigma(E_y + \mathbf{V} \times \mathbf{B}) = 0$  نتیجه می‌گیریم که  $\partial H_x / \partial z = 0$ ، که  $z$  مؤلفه عمود بر دیواره، و جریان در جهت  $x$  است.

$$\partial H_x / \partial n = 0$$

و در دیواره عایق

$$\partial H_x / \partial t = 0$$

که  $t$  و  $n$  جهتهای مماسی و عمودی بر دیواره‌اند. هر دو عمود بر جهت  $x$  جریان‌اند. برای هر دیواره با رسانندگی متناهی، رابطه‌های پیچیده‌تری می‌توان به دست آورد. برای جزئیات بیشتر به مرجع ۵ مراجعه کنید.

۳-۱۱ مشخصه‌های سر قطب مولد گردابه تراکم‌پذیر موجود در شکل ۱۱-۱۵ را محاسبه کنید.

$m$  آهنگ جریان، و  $v_b$  سرعت مماسی ورودی است.  $B_0$  میدان پایای یکنواختی است که در امتداد محور  $z$  وارد شده است. از الکترودهای استوانه‌ای حفاظدار استفاده شده است. فرض می‌کنیم که  $v \gg u$  (که  $v$  مؤلفه  $\theta$  سرعت و  $u$  مؤلفه شعاعی است) و هیچ تغییراتی نسبت به  $z$  نداریم و  $1 \ll R_m$  (میدان القاشده ناچیز است). معادله حرکت به صورت زیر است

$$\begin{aligned} \rho u (\partial v / \partial r + v / r) &= -J_r B_0 \\ &= -\sigma (E_r + v B_\theta) B_0 \end{aligned}$$

از رابطه  $\nabla \cdot \mathbf{J} = 0$ ، داریم  $J_r = I / 2\pi r h$  و  $m = 2\pi \rho u r h$ ، بنابراین معادله بالا را می‌توان به صورت زیر نوشت

$$\frac{m}{2\pi r h} \left( \frac{dv}{dr} + \frac{v}{r} \right) = -\frac{IB_0}{2\pi r h}$$

پس از انتگرال‌گیری، داریم

$$\frac{v}{v_b} = \frac{b}{r} + \frac{IB_0 r}{2m v_b} \left( \frac{b^2}{r^2} - 1 \right)$$



$V_t$  از رابطه زیر به دست می آید

$$V_t = - \int_a^b E_r dr$$

که  $E_r$  بر حسب  $I$  است

$$I = J_r \cdot 2\pi r h = \sigma(E_r + vB_0) 2\pi r h$$

پس از انتگرال گیری و قراردادن  $I = 0$ ، خواهیم داشت

$$V_{t_{oc}} = v_b b B_0 \ln(b/a)$$

و با قراردادن  $V_t = 0$ ، به دست می آوریم

$$I_{sc} = 2\pi h \sigma v_b b B_0 \left[ 1 - \frac{N}{2} \left( 1 - \frac{b^2/a^2 - 1}{2(b/a)^2 \ln(b/a)} \right) \right]^{-1}$$

که  $N$  پارامتر برهم کنش است.

$$N = 2\pi \sigma B_0^2 b^2 h / m$$

$m$  عددی منفی است، زیرا جریان به طرف داخل است ( $u$  منفی است) و  $r$  به طرف خارج مثبت است.

## مسائل تکمیلی

۴-۱۱ در چه شرایطی نیروی حجمی  $\mathbf{J} \times \mathbf{B}$  غیرچرخشی است؟

۵-۱۱ اگر  $\mathbf{J} \times \mathbf{B}$  غیرچرخشی باشد، درباره طرح جریان چه می توان گفت؟ در جریان تراکم ناپذیر دوبعدی، وقتی  $\mathbf{J} \times \mathbf{B}$  غیرچرخشی است، نشان دهید که توزیع سرعت دقیقاً با توزیع جریان پتانسیل یکسان است.

۶-۱۱ در مسئله قبل، برای اینکه جریان پتانسیل باشد محدودیتهای روی  $\mathbf{B}$  کدام اند؟ جهت  $\mathbf{B}$  را تعیین کنید.

۷-۱۱ در مسئله هارتمن، درباره علامت  $E_z$  و  $I$  بحث کنید. در شرایط مدار باز آیا  $V_{t_{oc}}$  عددی مثبت است یا منفی؟

۸-۱۱ نشان دهید که مسئله  $\partial p / \partial x$  در سرتاسر کانال ثابت است.

۹-۱۱ در مسئله هارتمن تغییرات فشار را در طول کانال به دست آورید ( $\partial p / \partial y$  صفر نیست).

۱۰-۱۱ نشان دهید که در جریان دوبعدی، که سرعت و  $\mathbf{B}$  هم صفحه اند،  $\nabla^2 \phi$  متناسب با تنها مؤلفه بردار گردشاری  $\nabla \times \mathbf{V}$  است.  $\phi$  پتانسیل الکتریکی است.

۱۱-۱۱ حرکت موشکی را در یون سپهر با سرعت  $\mathbf{V}$  در حضور میدانی مغناطیسی در نظر بگیرید. شرط مرزی روی  $\mathbf{E}$  نسبت به موشک در بی نهایت چیست؟

۱۲-۱۱ نشان دهید اگر برای مایع رسانایی  $\epsilon = \epsilon_0$  و  $\mu = \mu_0$ ، آنگاه در هر چارچوب مرجع می توان معادلات ساختمندی را به صورت  $\mathbf{D} = \epsilon_0 \mathbf{E}$  و  $\mathbf{B} = \mu_0 \mathbf{H}$  نوشت.

۱۱-۱۳ نشان دهید که معادلات پیشین را، تنها اگر به جای  $\epsilon$  و  $\mu$  به ترتیب  $\epsilon_0$  و  $\mu_0$  را قرار دهیم، می‌توان در هر چارچوبی نوشت. (اما، در تقریب MHD در هر چارچوبی  $\mathbf{B} = \mu \mathbf{H}$  معتبر است.)

۱۱-۱۴ معادلهٔ پاشندگی را برای موجهای عرضی در شارهای متحرک در جهت انتشار با سرعت  $V$  به دست آورید. شار رساناست و میدانی مغناطیسی وارد شده است.

۱۱-۱۵ چرا در مسئلهٔ هارتمن به معادلهٔ انتقال مغناطیسی نیاز نیست؟ آیا می‌توان با به‌کار بردن آن مسئله را به روش دیگری حل کنید؟

۱۱-۱۶ اگر به جای معادلات ماکسول و قانون اهم از معادلهٔ انتقال استفاده می‌شود، مدار الکتریکی خارجی چگونه وارد فرمولبندی می‌شود؟ راهنمایی: چگونگی وابستگی شرایط مرزی میدان القاشده را به مدار الکتریکی خارجی نشان دهید.

۱۱-۱۷ مسئلهٔ MHD را حل کنید (که همان مسئلهٔ هارتمن با صفحهٔ بالایی متحرک است که با سرعت  $V$  در جهت شار حرکت می‌کند).

۱۱-۱۸ فرض کنید که دیواره‌های عایق بالا و پایین مسئلهٔ هارتمن دارای رسانندگی متناهی است. نشان دهید که این دیواره‌ها درست مثل مقاومت‌های خارجی موازی عمل می‌کنند و تغییری در حل مسئله به وجود نمی‌آورند.

۱۱-۱۹ چگونه میدان مغناطیسی القاشده در مسئلهٔ بالا تحت تأثیر قرار می‌گیرد؟

۱۱-۲۰ آیا چیزی به‌عنوان میدان متحرک وجود دارد؟

۱۱-۲۱  $I_{sc}$  و  $R_i$  را برای مولد فارادهٔ مسئلهٔ ۱۱-۱ محاسبه کنید.

۱۱-۲۲ در مسئلهٔ ۱۱-۲، در چه شرایطی  $H_x$  در دیوارهٔ کانال صفر است؟

۱۱-۲۳ مولد گردابه را برای میدانی شعاعی به شکل  $B_r = B_0/r$  حل کنید (مسئلهٔ ۱۱-۳ را ببینید).

۱۱-۲۴ معادلهٔ انرژی مناسب برای مسئلهٔ ۱۱-۲۳ چیست؟ آیا ممکن است با انتگرال‌گیری  $T(r)$  به دست آید. دربارهٔ  $p(r)$  چطور؟ فرض کنید که  $V^2/2 \gg u^2/2$ .

## نمادگذاری فصل ۱۱

$a$  = سرعت صوتی

$a_s$  = سرعت موج ضربه‌ای

$A$  = سرعت آلفن، مساحت

$\mathbf{B}$  = میدان مغناطیسی القاشده

$\mathbf{B}_0$  = میدان مغناطیسی وارد شده

$c$  = سرعت نور

$c_p$  = گرمای ویژه در فشار ثابت

$\mathbf{D}$  = میدان جابه‌جایی

$\mathbf{E}$  = میدان الکتریکی

$\mathbf{H}$  = میدان مغناطیسی

$\mathcal{I}$	=	جریان در واحد طول کانال
$I$	=	جریان کل قطعه
$I_{sc}$	=	جریان اتصال کوتاه
$\mathbf{J}$	=	شار جریان
$k$	=	نسبت گرماهای ویژه $c_p/c_v$ ؛ ثابت انتشار
$L$	=	طول مشخصه
$m$	=	آهنگ جریان جرمی
$\mathbf{M}$	=	بردار مغناطش
$M$	=	عدد هارتمن
$M_m$	=	عدد ماخ مغناطیسی
$Re$	=	عدد رینولدز
$N$	=	پاراکنتر برهم‌کنش
$p$	=	فشار
$P$	=	توان
$\mathbf{P}$	=	بردار قطبش
$P_m$	=	عدد پرنتل مغناطیسی
$R_m$	=	عدد رینولدز مغناطیسی
$T_{ij}$	=	تانسور تنش الکترومغناطیسی
$u$	=	مؤلفه $x$ سرعت، انرژی درونی
$v$	=	مؤلفه $y$ سرعت
$v_p$	=	سرعت فاز
$\mathcal{V}$	=	حجم
$\mathbf{V}$	=	بردار سرعت
$V_t$	=	پتانسیل سرقطب
$V_{t_{oc}}$	=	پتانسیل سر قطب مدار باز
$w$	=	مؤلفه $z$ سرعت
$\beta$	=	$1/\sqrt{1 - V^2/c^2}$
$\epsilon$	=	گذردهی
$\epsilon_0$	=	گذردهی فضای آزاد
$\zeta$	=	ضریب گران روی دوم
$\eta$	=	پخشیدگی مغناطیسی
$\kappa$	=	گذردهی نسبی
$\kappa_m$	=	تراوایی مغناطیسی نسبی
$\kappa_T$	=	رسانندگی گرمایی
$\mu$	=	تراوایی مغناطیسی

تراوایی مغناطیسی فضای آزاد	$= \mu_0$
گران روی شاره	$= \mu_f$
گران روی جنبشی	$= \nu$
چگالی شده	$= \rho$
چگالی بار	$= \rho_e$
رسانندگی الکتریکی	$= \sigma$
تانسور تنش مکانیکی	$= \tau$
تابع اتلاف	$= \Phi$
پتانسیل الکتریکی	$= \phi$
پتانسیل گرانشی	$= \psi$
بسامد	$= \omega$

## شاره‌های نانیوتونی

### ۱-۱۲ مقدمه

شاره‌هایی وجود دارند که از رابطه ساده بین آهنگ تنش برشی و آهنگ کرنش برشی معادله (۳-۵۲) برای شاره نیوتونی پیروی نمی‌کنند. این نوع شاره‌ها را به‌طور کلی شاره‌های نانیوتونی می‌نامند. بسیاری از شاره‌های معمولی نانیوتونی هستند. مثالهای این نوع شاره‌ها عبارت‌اند از: رنگها محلول پلیمرهای مختلف، فرآورده‌های غذایی همچون سس سیب و گوجه‌فرنگی، امولسیونهای آب در روغن یا روغن در آب، و تعلیق جامدها و الیاف مختلف در خمیر مایع کاغذ یا دوغاب زغال‌سنگ و گل حفاری که برای حفاری چاه به‌کار می‌رود. علت عدم بررسی شاره‌های نانیوتونی در کتابها و دوره‌های درسی، کاربردی نبودن آنها نیست. هر چند خواص شاره‌های نانیوتونی به‌درد تحلیل عالی و دقیق مربوط به شاره‌های نیوتونی نمی‌خورد، جریان شاره‌های نانیوتونی قطعاً دارای مشخصه‌های جالب، سودمند، و حتی هیجان‌انگیز است. به‌عنوان مثال، در عملیات ترکاندن چاههای نفت، موادی به‌کار می‌رود که، با افزودن آب به آن، شاره‌ای آنچنان غلیظ به‌وجود می‌آید که ماسه، شیشه یا ساچمه‌های فلزی را به‌صورت معلق در می‌آورد. با وجود این، همین شاره را می‌توان با آهنگ فوق‌العاده زیاد از طریق لوله با کمتر از نصف افت اصطکاک مربوط به آب، به‌درون چاه پمپ کرد. در فرایند ترکاندن نمونه‌وار، بیش از ۱۰۰ بشکه (حدود ۱۶۰۰۰ لیتر) را در هر دقیقه از طریق هزاران فوت لوله سه اینچی می‌توان پمپ کرد. (ترکاندن چاههای نفت و گاز فرایندی است که برای افزایش تولید چاه به‌کار می‌رود. برای این کار، ترکی افقی در ناحیه بهره‌برداری ایجاد می‌شود. با پمپ کردن شاره به‌درون چاه با فشار زیاد، این ترک گسترش می‌یابد. ماسه یا ساچمه‌ها به‌عنوان نگه‌دارنده باعث بازماندن شکستگی پس از عملیات می‌شوند. شاره را باید با آهنگی سریع پمپ کرد تا اتلاف ناشی از پخش شاره را در خلل و فرج سنگ شکسته‌شده جبران کند.)

دوغابه‌های زغال سنگ با غلظت حجمی  $80\%$  زغال سنگ خرد شده یا گرد شده در آب دارای خواص نانیوتونی است و می‌توان آن را تا مسافت‌های طولانی، با توانی بسیار کمتر از آب خالص، پمپ کرد.

## ۲-۱۲ مشخصه‌ها و طبقه‌بندی شاره‌های نانیوتونی

### ۱-۲-۱۲ کلیات

همان‌گونه که در بخش ۳-۳ بیان شد، تنش برشی  $\tau$  برای شاره نانیوتونی رابطه‌ای خطی با آهنگ برش  $\dot{\gamma}$  و گرانروی  $\mu$  دارد،

$$\tau = \mu \dot{\gamma} = \mu \frac{\partial u}{\partial y} \quad (1-12)$$

(که  $\dot{\gamma}$  آهنگ کرنش برشی است)؛ یا برعکس، آهنگ برشی با تنش برشی رابطه خطی دارد،

$$\dot{\gamma} = \frac{1}{\mu} \tau \quad (2-12)$$

در زیر، شاره‌های نانیوتونی را که در این رابطه خطی صدق نمی‌کنند، در سه گروه کلی بررسی خواهیم کرد:

۱. ساده‌ترین آنها، شاره نانیوتونی مستقل از زمان است که آهنگ برش آن یکتا، اما تابع غیرخطی تنش برشی است.

۲. شاره‌های نانیوتونی تابع زمان رابطه‌های آهنگ کرنش تنش برشی پیچیده‌تری دارند. در این شاره‌ها، آهنگ برش تابع تک مقداری تنش برشی نیست. آهنگ برش به زمان برش یا تاریخچه قبلی آهنگ تنش برشی آن شاره بستگی دارد.

۳. در شاره‌های کشسان گرانرو، کرنش برشی و همچنین آهنگ کرنش به نحوی با تنش برشی مربوط می‌شوند. برخلاف شاره گرانروی واقعی که تمام انرژی تغییر شکل آن تلف می‌شود، مقداری از انرژی تغییر شکل شاره کشسان گرانرو را، همچون در تغییر شکل جامد کشسان، می‌توان بازیابی کرد.

### ۲-۲-۱۲ شاره‌های مستقل از زمان

برای شاره نانیوتونی مستقل از زمان، داریم

$$\dot{\gamma} = f(\tau) \quad (3-12)$$

شاره نانیوتونی حالتی ویژه از شاره بالاست که تابع  $f(\tau)$  خطی است و بنابراین در زمرة شاره نانیوتونی کاملاً گرانرو به‌شمار می‌آید. بیشتر شاره‌های نانیوتونی که با آنها سروکار داریم، احتمالاً در این گروه هستند؛ و در بعضی از حالتها جریان شاره‌ها در این گروه قرار نمی‌گیرند، همچون شاره‌های تابع زمان، که فقط برای حالت‌های ساده‌ای مثل جریان پایای درون لوله یا جریانهای کوئت می‌توان آنها را در این گروه تقریب زد.

معمولاً شاره‌های نانیوتونی مستقل از زمان را با سه نوع متمایز، همچون شکل ۱-۱۲، معرفی می‌کنند، که عبارت‌اند از:

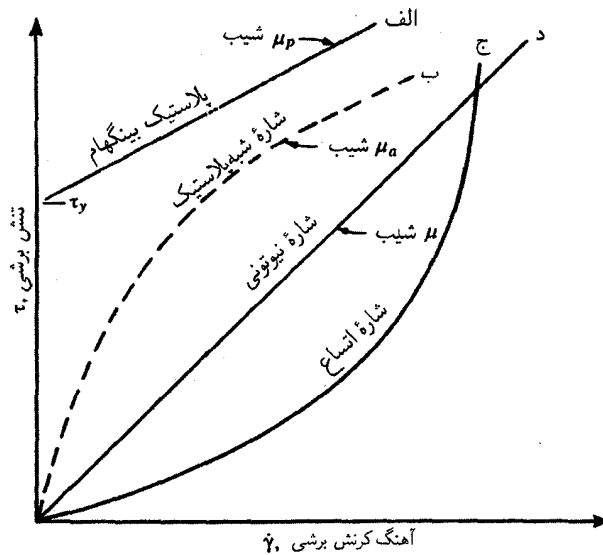
۱. پلاستیک بینگهام، منحنی (الف).

۲. شاره‌های شبه‌پلاستیک، منحنی (ب).

۳. شاره‌های اتساعی، منحنی (ج).

شاره‌های نیوتونی را با خط‌های راست، همچون خط (د)، نشان می‌دهند.

۱. در فصل ۳ از زه  $\gamma$  برای آهنگ کرنش برشی استفاده کردیم در اینجا  $\gamma$  را برای کرنش برشی و  $\dot{\gamma}$  را برای آهنگ کرنش برشی به‌کار می‌بریم، زیرا هر دو جمله را می‌توان در شاره نانیوتونی در نظر گرفت.



شکل ۱-۱۲ رابطه‌های نمونه‌وار بین آهنگ کرنش تنش برشی برای شارۀ نانویونی.

### پلاستیکهای بینگهام

پلاستیکهای بینگهام در آهنگ برشی صفر از خود تنش تسلیم نشان می‌دهند، و به دنبال آن، رابطه خطی مستقیم بین تنش برشی و آهنگ برشی به وجود می‌آید. مشخصه‌های این شاره‌ها با دو کمیت ثابت تعریف می‌شوند: تنش تسلیم  $\tau_y$ ، که برای شروع جریان به تنشی بیشتر از آن نیاز است، و گران روی پلاستیکی  $\mu_p$ ، که شیب قسمت خطی منحنی (الف) در شکل ۱-۱۲ است. معادله پلاستیک بینگهام به صورت زیر است

$$\tau = \tau_y + \mu_p \dot{\gamma} \quad (۴-۱۲)$$

مفهوم پلاستیک بینگهام با تقریب خوبی شبیه رفتار بسیاری از شاره‌های واقعی همچون دوغابها، پلاستیکها، امولسیونها مثل رنگ و ذرات ریز معلق در مایع هستند. مثال مهمی برای این نوع اخیر گل حفاری است که عمدتاً حاوی خاک رس معلق در آب است. به علت رابطه خطی ساده بین تنش برشی و آهنگ برشی مفهوم پلاستیک بینگهام ابزار بسیار مناسبی برای تحلیل این نوع شاره است.

### شاره‌های شبه پلاستیک

شاره‌های شبه پلاستیک [منحنی (ب) در شکل ۱-۱۲] و همچنین شاره‌های اتساعی [منحنی (ج)] تنش تسلیم ندارند. شارۀ شبه پلاستیک را نیز می‌توان با شیب مستمراً کاهنده منحنی تنش برشی برحسب آهنگ برش مشخص کرد. این شیب به صورت گران روی ظاهری تعریف می‌شود.

$$\mu_a = \tau / \dot{\gamma} \quad (۵-۱۲)$$

برای آهنگهای برشی خیلی بالا در شاره‌های واقعی، گران روی ظاهری ثابت و برابر  $\mu_\infty$  می‌شود و نمودار تنش برشی برحسب آهنگ برش خطی خواهد شد.

از رابطه‌های تجربی زیادی برای بیان شاره‌های شبه پلاستیک استفاده شده است. ساده‌ترین آنها قانون توانی اسوالد است، که به صورت زیر نوشته می‌شود

$$\tau = k \dot{\gamma}^n, \quad n < 1 \quad (۶-۱۲)$$

$k$  و  $n$  کمیت‌های ثابت برای هر شارۀ خاص‌اند.  $k$  معیار غلظت شاره است و نمای  $n$  معیار میزان انحراف شاره از شارۀ نیوتونی است. یادآور می‌شویم که برای شارۀ نیوتونی  $n = 1$  و  $k = \mu$  (گران روی شاره).

با تعریف گران روی ظاهری به صورت زیر

$$\mu_a = \tau / \dot{\gamma} \quad (7-12)$$

معادله (۶-۱۲) به شکل زیر در می‌آید

$$\mu_a = k \dot{\gamma}^{(n-1)} \quad (8-12)$$

توجه کنید که وقتی آهنگ برش صفر است، گران روی ظاهری بی‌نهایت می‌شود. این یکی از چندین اعتراض صورت گرفته بر علیه کار برد مدل قانون توانی است. اعتراض دیگر این است که در شماره‌های واقعی در گستره کلی جریان  $n$  ثابت نیست و مشکل دیگر مدل آن است که ثابت  $k$  ابعادی دارد که به  $n$  بستگی دارند. همان‌گونه که اشاره شد، در آهنگهای خیلی زیاد برشی  $n$  به سوی ۱ می‌گراید (یعنی، شماره نیوتونی). با وجود این، مدل قانون توانی، به علت سادگی و کفایت آن برای تحلیل جریانهایی چون جریان کوئت و جریان درون لوله‌ها و مجراها، کاملاً مناسب است.

معادلات تجربی دیگر که پیشنهاد شده‌اند و جوابگوی بعضی از اعتراضهای مدل قانون توانی هستند، عبارت‌اند از

$$\tau = A \sin^{-1}(\dot{\gamma}/C) \quad \text{پرنتل} \quad (9-12)$$

$$\tau = \dot{\gamma}/B + C \sin(\tau/A) \quad \text{آیرینگ} \quad (10-12)$$

$$\tau = A \dot{\gamma} + B \sin h^{-1} C \dot{\gamma} \quad \text{پاول-آیرینگ} \quad (11-12)$$

$$\tau = A \dot{\gamma}/(B + \dot{\gamma}) + \mu_{\infty} \dot{\gamma} \quad \text{ویلیامسون} \quad (12-12)$$

که  $A$ ،  $B$  و  $C$  بیانگر عددهای ثابت هستند (برای مدل‌های مختلف متفاوت‌اند).

چون تحلیل چهار معادله اخیر بسیار پیچیده‌تر از مدل قانون توانی با قابلیت کاربرد فراوان در مسائل مهندسی است، بررسی بیشتر شماره‌های شبه‌پلاستیک به مدل قانون توانی محدود می‌شود. برای حالتی که از مدل قانون توانی برای نمایش شماره کاملاً نمی‌توان استفاده کرد، کاربرد برنامه رایانه‌ای منبعت از خواص واقعی اندازه‌گیری شده شماره، بسیار مؤثرتر از توسل به رابطه‌های تجربی دیگر خواهد بود.

شماره‌های اتساعی

شماره‌های اتساعی به علت نداشتن تنش تسلیم شبیه شماره‌های شبه‌پلاستیک‌اند. تفاوت آنها با شماره‌های شبه‌پلاستیک این است که گران روی ظاهری آنها با افزایش آهنگ برش افزایش می‌یابد. این نوع شماره‌ها بسیار نامتداول‌تر از شماره‌های شبه‌پلاستیک‌اند. در مقایسه با شماره‌های شبه‌پلاستیک، آنها را می‌توان با مدل قانون توانی نشان داد، با این تفاوت که نمای  $n$  بزرگتر از یک است.

شماره‌های قانون توانی را می‌توان به سادگی با نمودار لگاریتم تنش برشی بر حسب لگاریتم آهنگ برش، مطابق شکل ۱۲-۲، نشان داد. با لگاریتم گرفتن از هر دو طرف معادله (۶-۱۲)، داریم

$$\log \tau = \log k + n \log \dot{\gamma} \quad (13-12)$$

که معادله خط مستقیمی است که شیب آن  $n$  و محل تقاطع آن تا محور  $x$ ها  $\log \dot{\gamma} = 0$  یا  $\dot{\gamma} = 1$  مقدار ثابت سازگاری  $\log k$  را به دست می‌دهد. شماره نیوتونی،  $n = 1$ ، حالت خاص شماره قانون توانی است.

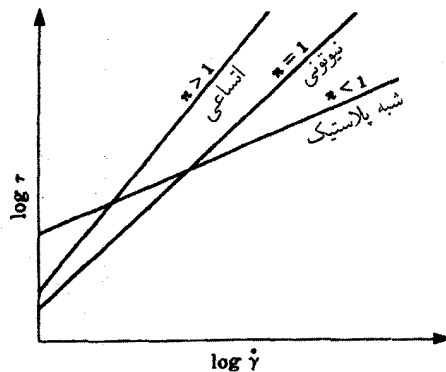
### ۱۲-۲-۳ شماره‌های تابع زمان

بعضی از شماره‌ها بسیار پیچیده‌تر از شماره‌های بالا هستند و گران روی ظاهری آنها نه تنها به آهنگ برش، بلکه به زمان اعمال نیروی برش بستگی دارد. این شماره‌ها به دو گروه کلی تقسیم می‌شوند:

۱. شماره‌های روانش‌گرا

۲. شماره‌های چالش‌گرا





شکل ۱۲-۲ نمودار لگاریتمی شاردهای قانون توانی.

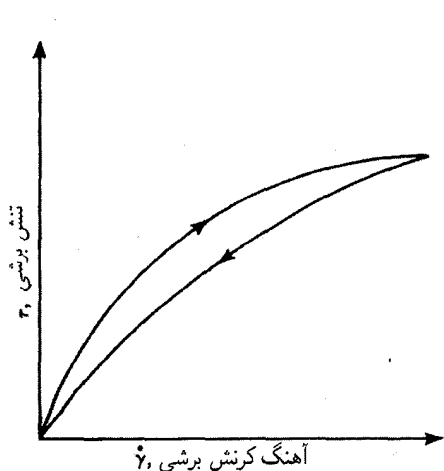
با اعمال نیروی برشی به شار، تنش برشی برحسب زمان در شاردهای روانش‌گرا کاهش، و در شاردهای چگالش‌گرا افزایش می‌یابد. مثال معمولی شارۀ روانش‌گرا جوهر چاپ است که قبل از اینکه روی صفحه اصلی به‌کار رود می‌توان روی چندصفحه نمونه آن را امتحان کرد.

شاردهای روانش‌گرا

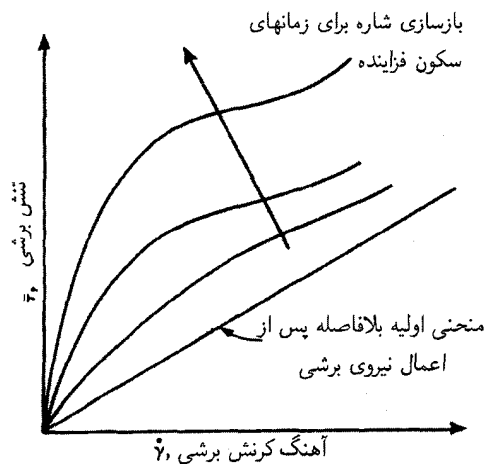
غلظت یا گران‌روی ظاهری شاردهای روانش‌گرا به‌طول زمان اعمال نیروی برشی و همچنین آهنگ نیروی برشی بستگی دارد. با اعمال نیروی برشی به شارۀ ساکن، شارۀ (در مقیاس مولکولی) فرو می‌ریزد، اما سپس بازسازی ساختاری آن برحسب زمان افزایش می‌یابد. شارۀ، سرانجام، زمانی به حالت تعادلی خود می‌رسد که آهنگ فروریزش برابر آهنگ بازسازی بشود. اگر شارۀ به‌حال خود رها شود، شارۀ به آهستگی حالت قبلی خود را باز می‌یابد و سرانجام غلظت اولیه خود را به‌دست خواهد آورد. بنابراین، روانش‌گرایی فرایندی برگشت‌پذیر است.

شکل ۱۲-۳ نمودار تنش برحسب آهنگ کرنش را برای شاردهای روانش‌گرا بلافاصله پس از اعمال نیروی برشی و پس از ساکن شدن شارۀ در زمانهای گوناگون نشان می‌دهد. منحنی اولیه را در شکل ۱۲-۳ به‌صورت نیوتونی نشان داده‌ایم، اما می‌تواند کاملاً نانیوتونی باشد.

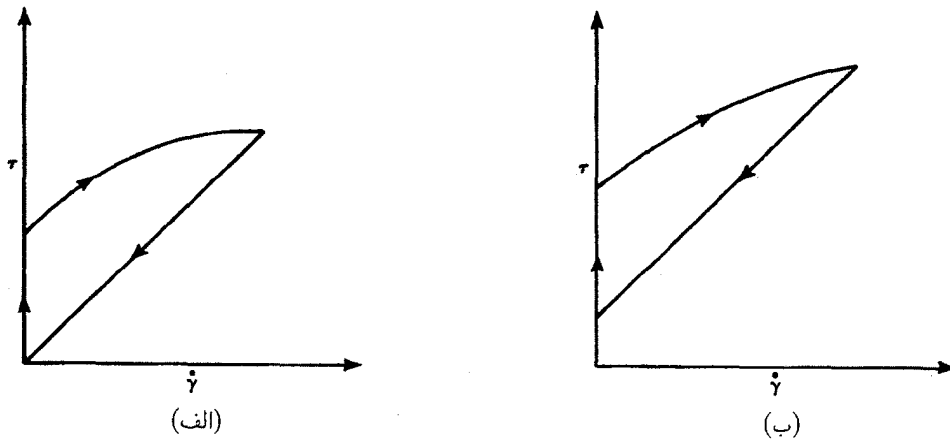
اگر شارۀ روانش‌گرایی را با آهنگی دائماً فزاینده و سپس با آهنگی دائماً کاهنده تحت نیروی برشی قرار دهیم، منحنی‌ای شبیه حلقه پسماند به‌وجود می‌آید. شکل ۱۲-۴ چنین منحنی‌ای را برای نوعی شبه‌پلاستیک شارۀ روانش‌گرا نشان می‌دهد. با کاهش نیروی برشی، گران‌روی ظاهری کمتر از حالت افزایش نیروی برشی می‌شود.



شکل ۱۲-۴ حلقه‌های پسماند برای شارۀ روانش‌گرا.



شکل ۱۲-۳ شارۀ روانش‌گرا که در زمانهای متفاوت تحت نیروی برشی قرار گرفته است.



شکل ۵-۱۲ (الف) پلاستیک. بینگهام روانش‌گرایی واقعی، (ب) رفتار جسم کاذب.

بعضی از مواد پلاستیکی بینگهام رفتار روانش‌گرا دارند، اما اگر تنش کاملاً زیاد باشد، فرو می‌ریزند، و قبل از بازیابی ساختار خود، شبیه مایعات واقعی رفتار خواهند کرد. این رفتار را در شکل ۵-۱۲ (الف) نشان داده‌ایم. اما، بعضی از مواد معروف به جسمهای کاذب حتی پس از اعمال نیروی برشی از خود تنش تسلیم نشان می‌دهند، هرچند مقدار تنش تسلیم مطابق شکل ۵-۱۲ (ب) کم باشد. معمولاً به زمانی طولانی برای دستیابی دوباره جسم کاذب به استحکام تسلیم اولیه خود نیاز است.

#### شماره‌های چگالش‌گرا

ساختار مولکولی شماره‌های چگالش‌گرا با نیروی برشی تشکیل می‌شود و رفتار آنها مخالف رفتار شماره‌های روانش‌گراست. مثال ساده تشکیل ساختار از طریق نیروی برشی، به هم زدن و سفت شدن سفیده تخم مرغ است. هرچند سفیده تخم مرغ احتمالاً شماره چگالش‌گرای واقعی ای نیست. بسیاری از مواد خاصیت چگالش‌گرایی خود را با آهنگهای برشی فوق‌العاده زیاد از دست می‌دهند و ممکن است حتی رفتار شماره روانش‌گرا را پیدا کنند.

#### ۴-۲-۱۲ شماره‌های کشسان گران‌رو

ماده کشسان گران‌رو دارای هر دو خاصیت کشسانی و گران‌روی است. ساده‌ترین نوع چنین ماده‌ای دارای گران‌روی نیوتونی و کشسانی قانون هوک است. می‌توان نوشت،

$$\dot{\gamma} = \tau / \mu_0 + \dot{\tau} / \lambda \quad (14-12)$$

که  $\lambda$  ضریب سخت‌یابی است. در شرایط پایا،  $\dot{\gamma} = \frac{\tau}{\mu_0}$  و شماره شبیه شماره نیوتونی ساده‌ای رفتار می‌کند. اما، اگر تنش برشی تغییر کند، اثر کشسانی ظاهر می‌شود.

ماکسول اولین بار معادله (۱۴-۱۲) را به صورت زیر بیان کرد

$$\tau + (\mu_0 / \lambda) \dot{\tau} = \mu_0 \dot{\gamma} \quad (15-12)$$

مایعاتی را که در این قانون صدق می‌کنند، مایعات ماکسول می‌گویند. ثابت  $(\mu_0 / \lambda)^{-1}$  را زمان واهش می‌نامند و به بیان فیزیکی ثابت زمانی برای فروافت نمایی تنش در کرنش ثابت است. اگر حرکت متوقف شود، تنش به صورت  $e^{-t\lambda/\mu_0}$  واهلیده می‌شود.

مدلهای نسبتاً پیچیده‌تر مواد کشسان گران‌رو به وجود آمده‌اند که دارای مشتقهای زمانی مرتبه بالاتر  $\tau$  و  $\gamma$  هستند. برای فرایندهای متغیر زمانی، ممکن است تابعهای مختلط بسامد باشند. و یلکینسون [۱۰] مقدمه‌ای بسیار خواندنی درباره این مدلها ارائه کرده است.

## ۳-۱۲ جریان لایه‌ای درون لوله‌ها

### ۱۲-۳-۱ شماره‌های قانون توانی

برای بیان کامل کاربرد مدل قانون توانی، معادلات نیمرخ سرعت و افت فشار را برحسب آهنگ جریان برای جریان لایه‌ای کاملاً توسعه‌یافته، که تابع مدل قانون توانی است، در لوله به‌دست می‌آوریم.

معادله تنش برشی برای جریان یک‌بعدی پایا در مختصات استوانه‌ای (که صرفاً معادله حرکت پایا برای جریان کاملاً توسعه‌یافته است)

عبارت است از

$$\frac{d}{dr}(r\tau) = r \left( \frac{dp}{dz} \right) \quad (۱۶-۱۲)$$

که پس از انتگرال‌گیری در لوله به‌صورت زیر درمی‌آید

$$\tau = \frac{r}{2} \left( \frac{dp}{dz} \right) \quad (۱۷-۱۲)$$

که تنش برشی  $\tau$  وقتی مثبت تعریف می‌شود که در جهت پایین‌دست جریان بر روی سطح جزء استوانه‌ای عمل کند و  $\frac{dp}{dz}$  همچون شکل ۶-۱۲، گرادیان فشار پایین‌دست جریان است.

برای هر شماره قانون توانی، معادله چگالش‌گرا به‌صورت زیر است.

$$\tau = -k \left( -\frac{du}{dr} \right)^n \quad (۱۲-۱۸ الف)$$

معادله (۱۲-۱۸ الف) قدری ناجور است و به‌طور کلی  $\tau$  را می‌توان برای شماره قانون توانی (با نیمرخ سرعت یک‌بعدی) به‌صورت زیر بیان کرد

$$\tau = k\epsilon \left| \frac{du}{dy} \right|^n$$

که  $\epsilon$  ضریب علامت است و از رابطه زیر به‌دست می‌آید

$$\epsilon = \frac{du/dy}{|du/dy|}$$

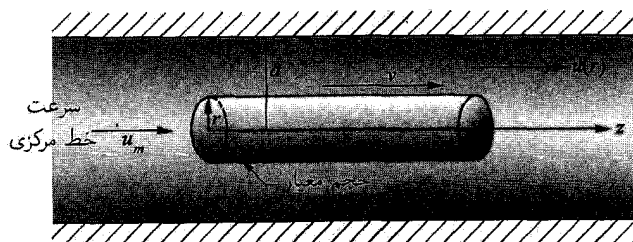
بنابراین

$$\tau = k \left| \frac{du}{dy} \right|^{(n-1)} \frac{du}{dy} \quad (۱۲-۱۸ ب)$$

در نتیجه، جمله  $k \left| \frac{du}{dy} \right|^{(n-1)}$  نقش گران‌روی ظاهری را بازی می‌کند. اکنون، معادله (۱۲-۱۷) را می‌توان به‌طور صریح به شکل زیر نوشت (اگر

فرض کنیم که  $\frac{du}{dy}$  منفی است، متناظر با بودن جریان در جهت مثبت  $z$  خواهد بود).

$$k \left( -\frac{du}{dr} \right)^n = -\frac{r}{2} \left( \frac{dp}{dz} \right) \quad (۱۲-۱۹)$$



شکل ۶-۱۲ جریان یک‌بعدی درون لوله.

یا با استفاده از نماد  $G = -\frac{dp}{dz}$  و ترانس معادله (۱۲-۱۹)، داریم

$$-\frac{du}{dr} = \left(\frac{G}{2k}\right)^{1/n} r^{1/n} \quad (12-20)$$

پس از انتگرال‌گیری از معادله (۱۲-۲۰)، داریم

$$\int_u^0 -du = \int_r^a \left(\frac{G}{2k}\right)^{1/n} r^{1/n} dr \quad (12-21)$$

و

$$u = \frac{n}{n+1} \left(\frac{G}{2k}\right)^{1/n} (a^{(n+1)/n} - r^{(n+1)/n}) \quad (12-22)$$

جریان کلی عبارت است از

$$Q = \int_0^a 2\pi ur dr \quad (12-23)$$

با نشان دادن معادله (۱۲-۲۲) در معادله (۱۲-۲۳) و انتگرال‌گیری، خواهیم داشت

$$Q = \frac{n\pi}{(3n+1)} \left(\frac{G}{2k}\right)^{1/n} a^{(3n+1)/n} \quad (12-24)$$

سرعت میانگین عبارت است از  $V = \frac{Q}{\pi a^2}$  که نتیجه می‌دهد

$$V = \frac{n}{(3n+1)} \left(\frac{G}{2k}\right)^{1/n} a^{(n+1)/n} \quad (12-25)$$

با شرط  $G = \frac{(\Delta p)}{L}$  برای جریان لوله  $L$  طول لوله،  $\Delta p$  افت فشار و  $D = 2a$  قطر لوله است) معادله (۱۲-۲۵) را می‌توان به صورت زیر نوشت

$$\frac{2(3n+1)V}{nD} = k^{-1} \left(\frac{D\Delta p}{4L}\right)^{1/n} \quad (12-26)$$

در شماره نیوتونی ( $k = \mu, n = 1$ )، معادله (۱۲-۲۶) به معادله آشنای جریان پوازی تبدیل می‌شود

$$\frac{8V}{D} = \frac{D\Delta p}{4\mu L} \quad (12-27)$$

با نشان دادن  $(G/2k)^{1/n}$  از معادله (۱۲-۲۵) در معادله (۱۲-۲۶)، نیمرخ سرعت برحسب سرعت میانگین زیر به دست می‌آید

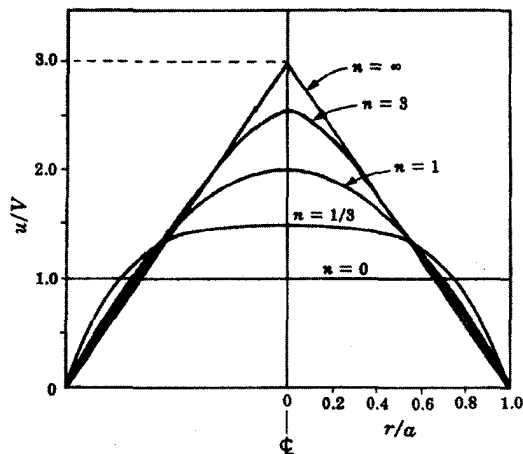
$$\frac{u}{V} = \left(\frac{3n+1}{n+1}\right) \left[1 - \left(\frac{r}{a}\right)^{(n+1)/n}\right] \quad (12-28)$$

شکل ۱۲-۷ نیمرخهای سرعت به دست آمده از معادله (۱۲-۲۸) را برای مقدارهای مختلف  $n$  نشان می‌دهد.

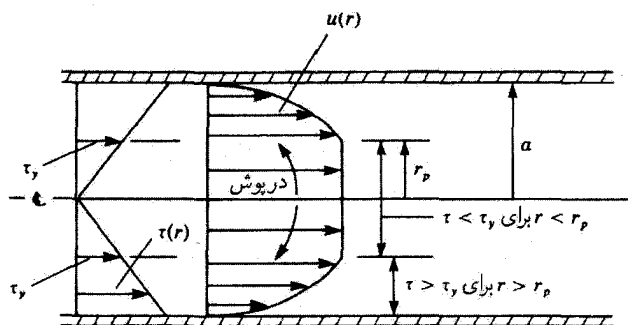
هر چه مقدار  $n$  کمتر باشد، نیمرخ سرعت پهن‌تر می‌شود و سرانجام جریان در مقدارهای بسیار کم  $n$  به شکل درپوش در می‌آید و فقط شماره مجاور دیواره‌های لوله تحت برش قرار می‌گیرد، به گونه‌ای که نیمرخ سرعت تقریباً غیرقابل تمایز از نیمرخ پلاستیک بینگهام خواهد شد (شکل ۱۲-۸ را ببینید).

در بعضی از حالتها شماره را می‌توان به صورت پلاستیک بینگهام یا شماره قانون توانی تلقی کرد. این حالت درباره گلهای حفاری خاص صدق می‌کند.

۱.  $G$  را در زیر عددی مثبت در نظر می‌گیرند. جریان در جهت مثبت  $z$  مثبت، و مقدار  $\frac{dp}{dz}$  در جهت جریان مثبت منفی (و  $G$  مثبت) خواهد بود.



شکل ۱۲-۷ نیمرخهای سرعت در لوله گرد برای شارۀ قانون توانی و مقادیرهای مختلف  $n$ .



شکل ۱۲-۸ جریان شارۀ بینگهام در لوله گرد.

### ۱۲-۳-۲ پلاستیکهای بینگهام

برای جریان لایه‌ای پلاستیک بینگهام باید، معادله تنش برشی را در معادله (۱۲-۷) نشانند

$$\tau = \tau_y + \mu_p \dot{\gamma} \quad (۱۲-۲۹)$$

که  $\tau > \tau_y$ . اگر کمتر از  $\tau_y$  باشد، آن‌گاه  $\dot{\gamma} = 0$  و شارۀ مطابق شکل ۱۲-۸ مانند درپوشی به شعاع  $r_p$  حرکت می‌کند. برای جریان درون لوله‌ای به شعاع  $a$ ، برای  $r_p < r < a$  داریم

$$\tau = \frac{1}{2} r G = \tau_y - \mu_p \frac{du}{dr} \quad (۱۲-۳۰)$$

و برای  $r < r_p$   $\frac{du}{dr} = 0$  در  $r = r_p$  و خواهیم داشت

$$r_p = 2\tau_y / G \quad (۱۲-۳۱)$$

با انتگرال‌گیری از معادله (۱۲-۳۰) برای سرعت، رابطه زیر به دست می‌آید

$$\int_0^u du = \frac{1}{\mu_p} \int_a^r (\tau_y - \frac{1}{2} r G) dr \quad (۱۲-۳۲)$$

برای  $r_p < r < a$  داریم

$$u = \frac{G}{4\mu_p}(a^2 - r^2) - \frac{\tau_y}{\mu_p}(a - r) \quad (۳۳-۱۲)$$

با فرض  $r = r_p = \frac{\tau_y}{G}$  معادله (۳۳-۱۲) به معادله زیر تبدیل می‌شود

$$u_p = \frac{\tau_y^2}{\mu_p G}(a/r_p - 1)^2, \quad r_p > r > 0 \quad (۳۴-۱۲)$$

آهنگ جریان حاصل از انتگرال‌گیری سرعت در سطح مقطع کل لوله عبارت است از

$$Q = \frac{\pi a^4 G}{8\mu_p} \left[ 1 - \frac{4}{3} \left( \frac{\tau_y}{aG} \right) + \frac{1}{3} \left( \frac{\tau_y}{aG} \right)^4 \right] \quad (۳۵-۱۲)$$

که با  $\tau_y = 0$  به رابطه ساده پوازوی تبدیل می‌شود. معادله بالا مشهور به معادله بوکینگهام است، که گرادیان فشار  $G = \left( \frac{\Delta p}{L} \right)$  را به صورت تابع ضمنی به دست می‌دهد.

## ۴-۱۲ روش تعمیم‌یافته برای جریان درون لوله

### ۱-۴-۱۲ عدد رینولدز و ضریب اصطکاک تعمیم‌یافته برای شاره‌های شبه‌پلاستیک

متزنر و رید [۵] روشی را پیشنهاد کرده‌اند که عدد رینولدز تعمیم‌یافته‌ای را تعریف می‌کند. به کمک این عدد رینولدز تعمیم‌یافته می‌توان ضریبهای اصطکاک را برای هر دو جریان لایه‌ای و متلاطم مستقل از زمان به دست آورد. همچون حالت شماره نیوتونی، عدد رینولدز تعمیم‌یافته را می‌توان به صورت زیر تعریف کرد

$$Re' = \frac{\lambda \rho V^2}{\tau_{0L}} \quad (۳۶-۱۲)$$

که  $\tau_{0L}$  تنش برشی دیواره متناظر با جریان لایه‌ای، و  $V$  سرعت میانگین است. با تعریف ضریب اصطکاک فنینگ<sup>۱</sup> در جریان لایه‌ای به صورت زیر

$$f = \frac{2\tau_0}{\rho V^2} \quad (۳۷-۱۲)$$

رابطه زیر به دست می‌آید

$$f = \frac{16}{Re'} \quad (۳۸-۱۲)$$

که رابطه‌ای بین ضریب اصطکاک و عدد رینولدز در شاره‌های نیوتونی است.

گام بعدی در این روش، استفاده از اندازه‌گیریهی انجام شده در لوله‌های موئین یا وسایل دیگر برای تعیین ثابتهای چگالش‌گرایی است که می‌توان از آنها در محاسبه عدد رینولدز تعمیم‌یافته استفاده کرد.

پس از اندازه‌گیری افت فشار  $\Delta p$  و سرعت میانگین  $V$ ، دو ثابت را برای شاره با رابطه زیر تعریف می‌کنند

$$\frac{\Delta p}{4L} = \tau_0 = K'(\lambda V/D)^{n'} \quad (۳۹-۱۲)$$

۱. ضریب اصطکاک فنینگ با ضریب اصطکاک داریسی (در فصلهای ۴ و ۵) که قبلاً به کار رفت، در ضریب ۴ تفاوت دارد.  $f$  (فنینگ)  $\times 4 = f$  (داریسی).

که  $k'$  شاخص غلظت و  $n'$  شاخص رفتار جریان است.  $\Delta V/D$  آهنگ برش دیواره برای جریان پوازوی شماره نیوتونی است.  $n'$  را می توان از روی شیب تانژانت منحنی  $\log \tau_0$  نسبت به  $\log \left( \frac{\Delta V}{D} \right)$  به صورت زیر به دست آورد

$$n' = \frac{d(\log \tau_0)}{d(\log \Delta V/D)} \quad (40-12)$$

معادله (۳۹-۱۲) بر پایه رابطه مونی برای آهنگ برش دیواره در دیواره لوله استوار است

$$-\left( \frac{du}{dr} \right)_w = \left( \frac{3n'+1}{2n'} \right) \left( \frac{\Delta V}{D} \right) \quad (41-12)$$

معادلات (۳۹-۱۲)، (۴۰-۱۲) و (۴۱-۱۲) را می توان در شماره های دیگر، افزون بر شماره های قانون توانی استفاده کرد (یعنی،  $n'$  و  $k'$  الزاماً ثابت نیستند). برای حالت خاص شماره های قانون توانی،  $n = n'$  داریم

$$K' = k \left( \frac{3n+1}{n} \right)^n \quad (42-12)$$

با نشان دادن  $\tau_0$  از معادله (۳۹-۱۲) در معادله (۳۶-۱۲) رابطه زیر برای محاسبه عدد رینولدز تعمیم یافته به دست می آید

$$Re' = \frac{D^{n'} V^{(2-n')}\rho}{K'(\Delta)^{(n'-1)}} \quad (43-12)$$

در شماره نیوتونی  $n' = 1$  و  $Re' = \rho V D / K'$ ، بنابراین  $K' = \mu$  گران روی است.

### ۱۲-۴-۲ جریان متلاطم

دوج و متزنر [۲] رابطه ای مبتنی بر فرمول مقاومت لگاریتمی فون کارمن برای شماره های نیوتونی به وجود آوردند که ضریب اصطکاک را به عدد رینولدز تعمیم یافته  $Re'$  مرتبط می کرد. دوج و متزنر معادله ای شبیه این معادله برای شماره قانون توانی که در لوله های صاف جریان دارد، به صورت زیر ارائه کردند.

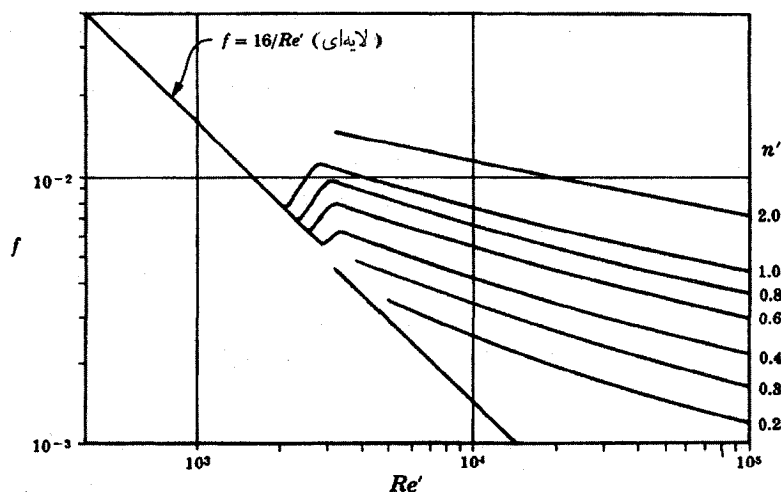
$$\frac{1}{f} = \frac{f_0}{(n')^{0.75}} \log_{10} [Re' f^{1-n'/2}] - \frac{f_0}{(n')^{0.75}} \quad (44-12)$$

شکل ۹-۱۲ نمودار این معادله است که مقدار ضریب اصطکاک  $f$  را به طور صریح به دست نمی دهد.

داده های دوج و متزنر نشان می دهد که عدد رینولدز تعمیم یافته بحرانی متناظر با شروع تلاطم با کاهش مقدار شاخصهای رفتار جریان  $n'$  افزایش می یابد و عدد رینولدز تعمیم یافته بحرانی  $Re'$  از  $2100$  در  $n' = 1$  به  $3100$  در  $n' = 0.38$  افزایش خواهد یافت اما، هیچ معیار دقیقی برای عدد رینولدز بحرانی تعریف نشده است.

### ۱۲-۴-۳ جریان بی هنجار (متلاطم) شماره های نانیوتونی

هر چند تعداد زیادی از شماره های نانیوتونی وجود دارند که ملاکهای شماره متلاطم تعمیم یافته متزنر در آنها صدق می کند، اما محلولهای حاوی ترکیبات آلی خاص با وزن مولکولی بالا یافت می شوند که ضریب اصطکاک آنها بسیار کمتر از مقدار پیش بینی شده توسط معادله (۴۴-۱۲) برای جریان متلاطم است. به جای افقی شدن ضریب اصطکاک پس از رسیدن به عدد رینولدز تعمیم یافته بحرانی، ضریب اصطکاک تقریباً با همان شدت منحنی جریان لایه ای به کاهش خود ادامه می دهد و بیانگر این نکته است که یا تلاطم فرو نشسته است یا شروع تلاطم به تأخیر افتاده است. این روند برای شماره های خاص تا آنجا ادامه می یابد که ضریبهای اصطکاک به مقداری می رسند که از مرتبه بزرگی کمتری نسبت به آب خالص برخوردارند.



شکل ۹-۱۲ ضریب اصطکاک فنینگ  $f$  بر حسب عدد رینولدز  $Re'$ ، معادله (۱۲-۴۴).

شیره گیاه مجرای و پلیمرهای (خاصی) که برای کاهش اصطکاک در شاره‌های پمپ‌کننده به‌کار می‌روند، دارای این مشخصه‌هایند. یکی از کاربردهای این شاره‌ها در عملیات چاههای نفت است که مقدار بسیار زیادی شاره در مدت زمان خیلی کوتاهی به درون چاه پمپ می‌شود. متأسفانه، یکی از عیبهای این ترکیبات با وزن مولکولی بالا، پذیرفتاری آنها نسبت به افت انرژی فیزیکی است (یعنی شکستن مولکولهای خیلی بزرگ به علت آهنگهای برشی زیاد شاره)، به‌گونه‌ای که وقتی دوباره از شاره استفاده می‌کنیم، خواص کاهشدهنده اصطکاک مطلوب آنها از بین می‌رود. دوغاب جامدات در آب نیز، که فاز جامد آنها به خوبی در آب پخش نمی‌شود، ضریب اصطکاک کمتری در جریان متلاطم در مقایسه با ضریب اصطکاک آب درون لوله‌ها ایجاد می‌کنند. در دیواره لوله‌ها، آب یا فاز مایع از فاز جامد جدا می‌شود و لایه‌ای با گرانروی پایین به وجود می‌آورد. هسته صلب‌تر دوغاب به شکل درپوش در لوله حرکت می‌کند. به علت کاهش نکانه متلاطم از لایه مرزی به این هسته، لایه مرزی لایه‌ای در حقیقت ضخیم‌تر است و ضریب اصطکاک آن کمتر از ضریب اصطکاک آب خالص است. ضریب اصطکاک دوغاب بسیار غلیظ زغال‌سنگ بسیار کمتر از آب است، ضریب اصطکاک جریان متلاطم خمیر کاغذ در آب نیز، با افزایش غلظت خمیر، کمتر از ضریب اصطکاک آب می‌شود.

## مراجع

1. Coleman, B. D., Markovitz, H., and Noll, W., *Viscometric Flow of Non-Newtonian Fluids*, Springer-Verlag, 1966.
2. Dodge, D. W., and Metzner, A. B., "Turbulent Flow of Non-Newtonian Systems," *A.I.Ch.E. Journal*, 5, pp. 189-204, 1959.
3. Fredricson, A. G., and Bird, R. Byron, "Non-Newtonian Flow in Annuli," *Industrial and Engineering Chemistry*, 50, No. 3, pp. 347-352, March 1958.
4. Larson, R. G., *Constitutive Equations for Polymer Melts and Solutions*, Butterworth, 1987.
5. Metzner, A. B., and Reed, J. C., "Flow of Non-Newtonian Fluids—Correlation of the Laminar Transition and Turbulent-flow Regions," *A.I.Ch.E. Journal*, 1, pp. 434-440, 1955.
6. Savins, J. G., "Generalized Newtonian (Pseudoplastic) Flow in Stationary Pipes and Annuli," *Petroleum Transactions, A.I.M.E.*, 213, pp. 325-332, 1958.
7. Showalter, W. R., *Mechanics of Non-Newtonian Fluids*, Pergamon Press, 1978.
8. Streeter, V. L. (Editor), *Handbook of Fluid Dynamics*, Chapter 7, by A. B. Metzner, McGraw-Hill, 1961.
9. Vaughn, R. D., and Bergman, D., "Laminar Flow of Non-Newtonian Fluids in Concentric Annuli," *Industrial and Engineering Chemistry—Process Design and Development*, 5, No. 1, pp. 44-47, 1966.
10. Wilkinson, W. L., *Non-Newtonian Fluids*, Pergamon Press, 1960.



۱-۱۲ دوغاب گیل با  $K' = ۱,۶۹۳$  (یکاهای  $K'$  عبارت اند از  $ft, lb, s$ ، توان به  $n'$  بستگی دارد) و  $n' = ۵۸۱$  باید به آهنگ  $۱۱۵^\circ$  گالن در دقیقه از درون لوله  $۳,۸۲۶$  اینچی پمپ شود. افت فشار را در لوله به دست آورید.

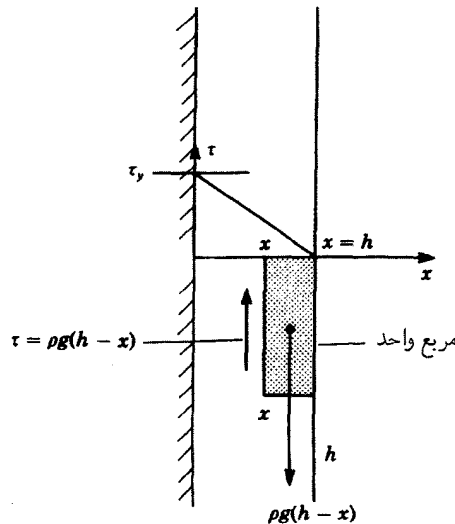
$۱۱۵^\circ$  گالن در دقیقه معادل  $۲,۵۶ft^3/s$  است. سطح لوله  $۰,۷۹۸ ft^2$  است و در نتیجه سرعت شارها  $۳۲ft/s$  می شود. از معادله (۴۳-۱۲) عدد رینولدز اصلاح شده برابر  $R'_e = ۱۹۹۰۰$  است که در ناحیه متلاطم قرار دارد. از معادله (۴۴-۱۲) ضریب اصطکاک فنینگ برابر  $۰,۰۴۴۲$  به دست می آید. این مقدار  $f$  را نمی توان به طور مستقیم از معادله (۴۴-۱۲) به دست آورد اما آن را می توان به آسانی با فرض مقدار آزمونی برای  $f$  در جمله  $\log_{10}(R'_e f^{1-n'/2})$  یافت. سپس معادله (۴۴-۱۲) را برای مقدار جدید  $f$  حل می کنیم و همین مقدار را دوباره در معادله (۴۴-۱۲) قرار می دهیم. این کار را آن قدر ادامه می دهیم تا اختلاف دو  $f$  متوالی در حد قابل قبول بشود.  $f$  را از شکل ۹-۱۲ نیز می توان یافت. گرادیان فشار  $\Delta p/L$  را از رابطه زیر به دست می آوریم

$$\tau_o = \frac{D\Delta p}{4L} = \frac{f\rho V^2}{2}$$

که نتیجه عبارت است از  $(\Delta p)/L = ۰,۳۹۶ \text{ psi/ft}$ .

۲-۱۲ رنگ را می توان با پلاستیک بینگهام تقریب زد. رنگی را با تنش تسلیم  $\tau_y$  و گرانروی پلاستیکی  $\mu_p$  برای دیواره به کار می بریم. ضخامت بیشینه  $h$  رنگ چقدر باید باشد تا رنگ به دیواره لوله بچسبد و جاری نشود؟

با توجه به شکل ۱۰-۱۲، لایه های رنگ آن قدر روی هم قرار می گیرند که وزن آنها تنش برشی ای بیشتر از  $\tau_o$  در دیواره به وجود آورد. این نقطه ای است که رنگ، با گذشتن از ضخامت بحرانی خود، شروع به جاری شدن می کند. با در نظر گرفتن تعادل مربع واحد ضخامت رنگ  $(h-x)$ ، وزن با نیروی برشی خنثی می شود. در نتیجه  $\tau$  به طور خطی از صفر در روی سطح تا  $\rho gh$  در دیواره تغییر می کند. ضخامت بیشینه از رابطه زیر به دست می آید  $(\rho gh_{\max}) = \tau_y$  و در نتیجه  $h_{\max} = \tau_y/\rho g$ .



شکل ۱۰-۱۲

## مسائل تکمیلی

۳-۱۲ اندازه‌گیریهای شماره با لوله موئین رثومتر نشان داده است که تغییرات  $\log \tau$  بر حسب  $\log \left( \frac{\Delta V}{D} \right)$  بین  $88 \text{ s}^{-1}$  و  $5400 \text{ s}^{-1}$  متناظر با تغییر  $\tau$  از  $1.2$  تا  $2.5$  به صورت خط مستقیم است. افت فشار جریان برای شماره جاری از میان لوله‌ای  $3.82^\circ$  اینچی با آهنگ جریان حجمی  $40^\circ \text{ gal/min}$  چقدر است؟ جریان لایه‌ای است یا متلاطم؟

۴-۱۲ نشان دهید که نیمخ سرعت شماره قانون توانی که بین دو صفحه موازی جریان دارد، از رابطه زیر به دست می‌آید

$$u = \frac{n}{1+n} \left( \frac{G}{k} \right)^{1/n} [h^{(n+1)/n} - y^{(n+1)/n}]$$

که  $h$  نیم پهنای کانال و  $y$  فاصله مختصاتی از خط مرکزی است.

۵-۱۲ نیمخ سرعت جریان پلاستیک بینگهام را بین دو صفحه موازی ساکن به دست آورید.

۶-۱۲ از یاتاقان کشویی پله‌ای (مسئله ۵-۱۱ را ببینید) همراه با پلاستیک بینگهام استفاده می‌شود. حرکت شماره را، هنگامی که سرعت یاتاقان افزایش می‌یابد، بیان کنید.

۷-۱۲ در یاتاقان محوری هیدروستاتیکی مسئله ۵-۱۳ از پلاستیک بینگهام به عنوان روان‌ساز استفاده می‌شود. جریان درون یاتاقان از مخزنی سرچشمه می‌گیرد که فشار آن از صفر تا حد بالایی افزایش می‌یابد. فرایند جریان را تشریح کنید.

## نمادگذاری فصل ۱۲

$a$  = شعاع لوله

$A, B, C$  = ثابتهای به‌کار رفته در رابطه‌های آهنگ تنش-کرنش مختلف

$D$  = قطر

$f$  = ضریب اصطکاک (فنینگ)

$G$  =  $-dp/dz$ ، گرادیان فشار در لوله

$k$  = ثابت تناسب برای شماره قانون توانی

$K'$  = شاخص غلظت

$L$  = طول

$n$  = نمای شماره قانون توانی

$n'$  = شاخص رفتار جریان

$p$  = فشار

$Q$  = آهنگ جریان حجمی

$R'e$  = عدد رینولدز تعمیم‌یافته  $8\rho V^2/\tau_0$

$r$  = مختصه شعاعی

$r_p$  = شعاع درپوش مرکزی درون لوله

$u$  = سرعت

$u_m$  = سرعت بیشینه

سرعت درپوش مرکزی درون لوله	$= u_p$
سرعت متوسط	$= V$
کرنش برشی	$= \gamma$
آهنگ کرنش برشی	$= \dot{\gamma}$
ضریب سخت‌پایی	$= \lambda$
گران‌روی	$= \mu$
گران‌روی ظاهری	$= \mu_a$
گران‌روی در آهنگ برش صفر	$= \mu_0$
گران‌روی پلاستیکی	$= \mu_p$
مقدار مجانبی گران‌روی ظاهری برای آهنگهای برشی بالا	$= \mu_\infty$
تنش برشی	$= \tau$
آهنگ تنش برشی	$= \dot{\tau}$
تنش برشی دیواره متناظر با جریان لایه‌ای	$= \tau_{0L}$
تنش تسلیم	$= \tau_y$

## موجها و پایداری

### ۱-۱۳ مقدمه

مطالعه حرکت موج برای بسیاری از جنبه‌های مکانیک شاره‌ها مهم است. حرکت موج زیربنای صوت‌شناسی، رفتار موجها روی سطح مایعات و درک پایداری شاره است. موجها منتشر می‌شوند و رفتاری نوسانی دارند؛ این رفتار به علت نیروهای بازگرداننده‌ای است که وقتی شاره آشفته می‌شود برانگیخته می‌شوند و می‌کوشند که شاره را به حالت ناآشفته خود برگردانند. موج ممکن است به انتشار ادامه دهد تا اینکه به علت اثرهای اتلافی، میرا شود. موجها ممکن است ضعیف (که گاهی آنها را بینهایت کوچک می‌گویند) یا قوی باشند، موج صوتی معمولی نمونه‌ای از موجهای ضعیف است که تغییرات خواص شاره مربوط به موج در آنها، در مقایسه با مقدارهای حالت زمینه پایا بسیار جزئی است. موج ضربه‌ای و جهش هیدرولیکی مثالهایی از موجهای قوی‌اند. رفتار موجهای ضعیف و قوی، مانند روشهای ریاضی به‌کار رفته در توصیف آنها، کاملاً متفاوت است. به‌طور کلی، معادلات توصیف‌کننده موجهای ضعیف را، با نادیده گرفتن جمله‌های مرتبه دوم مربوط به برخی از کمیت‌های کوچک، می‌توان «خطی شده» در نظر گرفت. این ساده‌سازی باعث حل معادله با روش ساده‌ای خواهد شد. در این فصل، بررسی خود را به موجهای خطی محدود می‌کنیم. این محدودیت خیلی جدی نیست، زیرا موجهای صوتی را، همچون بیشتر مسئله‌های نظریه پایداری می‌توان به دقت با این روش حل کرد. درحقیقت، بعضی از موجهای قوی، همچون جهش هیدرولیکی را می‌توان با روش خطی حل کرد.

مطالعه پایداری چیست؟ اگر شاره ساکن یا دارای حرکت پایای خاص، حتی توسط آشفتگیهای بینهایت کوچک مختل شود، ممکن است ناپایدار شود. به‌طور کلی، هر شاره پایدار با گستره‌ای از پارامترها مشخص می‌شود، اما اگر پارامترهای خاصی وجود داشته باشند یا باعث شوند که از مقدار بحرانی خود تجاوز کنند شاره ناپایدار می‌شود. اگر مقدار پارامترهای بحرانی، به علت آشفتگیهای بینهایت کوچکی که همیشه وجود دارند،

از حد مجاز تجاوز کند ناپایداری همیشه رخ خواهد داد. به عنوان مثال، جریان لایه‌ای به علت افزایش عدد رینولدز و تجاوز از مقداری بحرانی که به پیکربندی جریان بستگی دارد، ممکن است ناپایدار، و متلاطم شود. اگر سرعت باد از حد بحرانی تجاوز کند، موجهای سیدونوک روی اقیانوس تشکیل می‌شود. بعضی از پیکربندیهای جریان، صرف نظر از مقدار پارامترهای مرتبط، ذاتاً ناپایدارند. نمونه آن، جت لایه‌ای نازک آب است، که همیشه در پایین دست جریان از هم پاشیده می‌شود و به صورت قطره درمی‌آید.

وقتی ناپایداری ایجاد می‌شود، همیشه بدان معنی نیست که تغییر شدیدی همچون تبدیل جریان از لایه‌ای به متلاطم یا شکستن موجهای سطحی رخ می‌دهد. جریان شاره از پیکربندی خاصی به پیکربندی دیگر تغییر خواهد کرد. دو مایع اختلاط ناپذیر که به صورت لایه لایه بر روی هم قرار گرفته‌اند و مایع چگالتز در بالا قرار دارد، ناپایدارند و این دو مایع به درون یکدیگر نفوذ می‌کنند و لایه‌بندی عکس می‌شود، به گونه‌ای که مایع چگالتز در زیر قرار خواهد گرفت.

ناپایداری را چگونه می‌توان پیش‌بینی کرد؟ آشنفگی‌ای به شکل موج به یک یا چند پارامتر در شاره وارد می‌کنیم، پاسخ شاره معیار پایداری را تعیین می‌کند. اگر موج میرا شود، شاره پایدار است. اگر موج رشد کند، شاره ناپایدار است. معمولاً به کمک آشفنگیهای بینهایت کوچک می‌توان معیارهای پایداری را پیش‌بینی کرد. اما، در بعضی از حالتها، هرچند در پاسخ به آشفنگیهای جزئی ممکن است شاره پایدار به نظر آید، لیکن آشفنگیهای خیلی قوی به ناپایداری منجر می‌شوند. معمولاً آشفنگیهای قوی اثرهای غیرخطی دارند، که خارج از این بحث است. بیشتر مسئله‌های فیزیکی را می‌توان با تحلیل خطی حل کرد، اما باید به خاطر داشت که ناپایداریهای بعضی از جریانها را فقط با استفاده از تحلیل غیرخطی می‌توان پیش‌بینی کرد. گذار به جریان متلاطم در بعضی از پیکربندیهای ساده از این نوع است.

موجها را به دو دسته طولی و عرضی تقسیم می‌کنند. موج طولی موجی است که هر کمیت برداری وابسته به آن، همچون سرعت، همراستا با جهت انتشار موج است. موجهای صوتی از نوع موجهای طولی هستند. موج عرضی موجی است که هر کمیت برداری وابسته به آن عمود بر جهت انتشار موج است. موجهای برشی گران رو، مانند بیشتر موجهای سطحی، از این نوع‌اند. در فضای بی‌کران، این نوع موجها جفت نشده هستند و می‌توانند مستقل از هم انتشار یابند، اما با وجود مرز یا سطح آزاد این دو به هم جفت می‌شوند.

طبقه‌بندی دیگر مربوط به شکل جبهه موج است. موج تخت موجی است که جبهه آن تخت است و تمام پارامترهای موجود بر روی صفحه عمود بر جهت انتشار آن یکنواخت است. موجهای استوانه‌ای یا موجهای کروی به ترتیب پارامترهای یکنواخت بر روی سطح استوانه‌ای یا کروی دارند و در جهت شعاعی منتشر می‌شوند. در این فصل، فقط درباره موجهای تخت به تفصیل بحث خواهیم کرد. اما رفتار آنها مشخصه موجهای عمومی است و موجهای استوانه‌ای و کروی را می‌توان با روشی مشابه بررسی کرد.

## ۱۳-۲ نمایش موجهای رونده و فازور

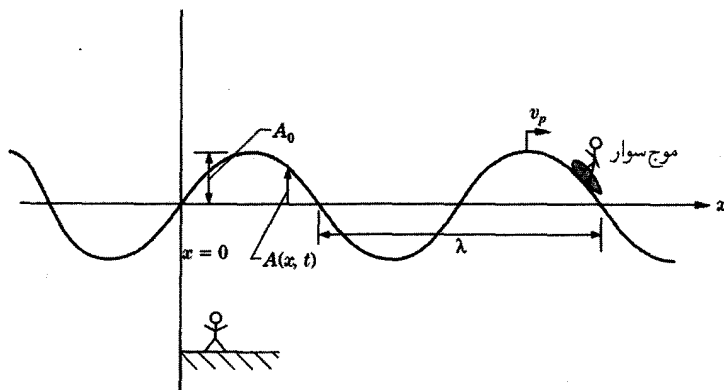
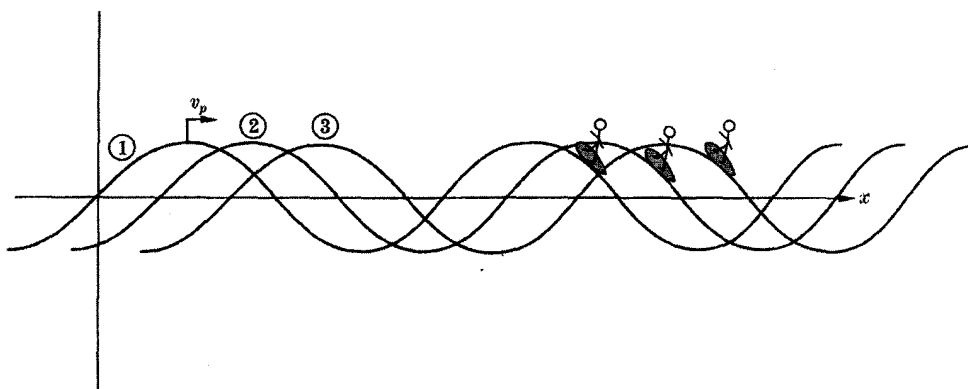
درباره موجهای رونده تک بسامد (تکفام) به تفصیل بحث خواهیم کرد. شکل موجهای پیچیده‌تر را با برهم‌نهم موجهای تکفام می‌توان ایجاد کرد. هر شکل موجهای تناوبی را با سری فوریه و موجهای غیرتناوبی را با انتگرال فوریه می‌توان نشان داد.

موج رونده تکفام را با تابع سینوسی نمایش می‌دهند. در سرتاسر این فصل از نمادگذاری فازور استفاده خواهیم کرد. این نمادگذاری برای بیان جابه‌جاییهای فاز و رشد یا تضعیف موج مناسب است. شکل ۱۳-۱ موج رونده‌ای را در جهت  $x$  نشان می‌دهد.

بزرگی موج را در هر  $x$  و  $t$  با  $A(x, t)$  نشان می‌دهند که بیانگر هر تغییری همچون فشار، چگالی، مؤلفه سرعت و خواص دیگر است. دامنه موج  $A$  است و موج می‌تواند در جهت مثبت  $x$  (موج پیش‌رونده) یا در جهت منفی  $x$  (موج پس‌رونده) حرکت کند. شکل ۱۳-۱ موج پیش‌رونده‌ای را نشان می‌دهد. شکل ۱۳-۲ گامهای زمانی ترتیبی موج را نشان می‌دهد.

از دید ناظر ساکن مستقر در چارچوب مرجع (در مقدار مشخص  $x$ ) موج نسبت به زمان تغییر می‌کند و عکس لحظه‌ای موج در هر زمان مفروض نشان می‌دهد که موج برحسب  $x$  تغییر می‌کند فرض می‌شود که موج در هر دو جهت  $+x$  و  $-x$  تا فاصله‌های دور امتداد دارد. اما، مبدأ ( $x = 0$ ) را می‌توان به صورت مولد یا مبدا تصور کرد و بدین ترتیب موج فقط در جهت  $+x$  امتداد خواهد داشت.

موج پیش‌رونده شکل ۱۳-۱ با سرعت  $v_p$  در جهت  $+x$  حرکت می‌کند.  $v_p$  سرعت فاز یا سرعت موج است. موج‌سوار موجود در شکل

شکل ۱-۱۳ موج رونده در جهت  $x$ .شکل ۲-۱۳ گامهایی زمانی ترتیبی موج پیش‌رونده در مکانهای ۱، ۲، و ۳. موج‌سوار با سرعت  $v_p$  به طرف جلو حرکت می‌کند.

روی جبهه موج سوار شده است و با سرعت  $v_p$  پیش می‌رود. این موج‌سوار قدرت موج  $A$  را در حین حرکت همیشه یکسان می‌بیند. باید تأکید کرد که سرعت موج  $v_p$  برابر سرعت شاره نیست. ذرات شاره در حین عبور موج تکان‌تکان می‌خورند، اما شاره همراه با جبهه موج حرکت نمی‌کند. معمولاً موجهایی مورد نظر ماست که از میان شاره ساکن حرکت می‌کنند (نسبت به محور  $x$  دستگاه مختصات). حرکت موج بیانگر آشفتگی‌ای است که در میان شاره انتشار می‌یابد و درحقیقت شاره ممکن است در حین عبور موج تکان‌تکان بخورد، که فقط حرکتی نوسانی است و شاره هیچ حرکت خالصی نخواهد داشت. ستیغ موج و موج‌سوار، هر دو همراه با موج، و نه همراه با شاره، حرکت می‌کنند.

موج تخت، را به بیان ریاضی به صورت زیر می‌نویسیم

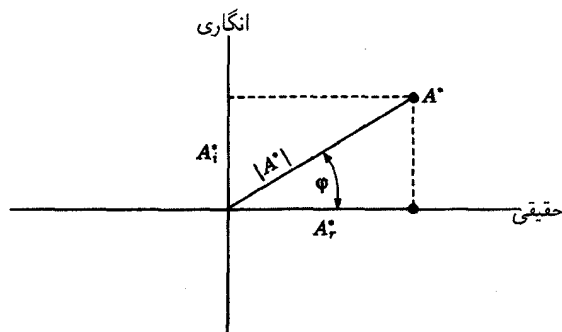
$$A(x, t) = \Re \{ A^* e^{i(\omega t - kx)} \} \quad (۱-۱۳)$$

که  $A^*$  عددی مختلط است و فازور نامیده می‌شود.  $A^*$  را می‌توان به صورت زیر نوشت

$$A^* = |A^*| e^{i\varphi} = A_0 e^{i\varphi} = A_r^* + iA_i^* \quad (۲-۱۳)$$

که  $|A^*|$  بزرگی  $A^*$  و برابر  $A_0$  است (شکل ۱-۱۳)، و  $A_r^*$  و  $A_i^*$  به ترتیب جزء حقیقی و انکاری‌اند. دامنه را می‌توان به صورت  $|A^*| = \sqrt{A_r^{*2} + A_i^{*2}}$  نوشت. همچنین،  $|A^*| = A^* \bar{A}^*$  که  $\bar{A}^*$  مزدوج مختلط  $A^*$  است.

نماد  $\Re$  جزء حقیقی این رابطه را نشان می‌دهد. بعداً آبروها را حذف می‌کنیم و چنین برداشت می‌شود که جزء حقیقی همیشه به کل رابطه برمی‌گردد. جزء حقیقی هر حاصلضرب همیشه با حاصلضرب جزءهای حقیقی یکسان نیست. بنابراین، تمام عملیات جبری را باید قبل از محاسبه



شکل ۱۳-۳ صفحه مختلط نمایانگر  $A^*$ .

جزء حقیقی انجام داد؛ در غیر این صورت، جمله‌هایی که شامل حاصلضرب جزءهای انگاری (و در نتیجه، حقیقی) است، از دست می‌روند. نوشتن نماد  $\mathcal{R}$  ضرورتی ندارد، زیرا همیشه برداشت می‌شود که جزء حقیقی و فقط جزء حقیقی هر رابطه‌ی نهایی برای  $A(x, t)$  دارای ارزش فیزیکی است، اما باید تأکید کرد که تمام تحلیل‌های میانی را باید برحسب متغیرهای مختلط کامل انجام داد.

$\omega$  بسامد زاویه‌ای (برحسب رادیان بر ثانیه) است و در اینجا به‌عنوان عدد مثبت حقیقی در نظر گرفته می‌شود.  $k$  ثابت انتشار، و به‌طور کلی عددی مختلط با جزء حقیقی  $k_r$  و جزء انگاری  $k_i$  است. غالباً جزء حقیقی  $k_r$  را عدد موج و  $k_i$  را ثابت تضعیف می‌نامند. بسامد  $f$  (دور در ثانیه) را برحسب هرتز اندازه می‌گیرند، و از رابطه‌ی زیر به‌دست می‌آید

$$\omega = 2\pi f$$

رابطه‌ی طول موج  $\lambda$  با عدد موج  $k_r$  عبارت است از  $k_r = 2\pi/\lambda$ . با توجه به اینکه  $e^{\pm i\theta} = \cos \theta \pm i \sin \theta$ ، معادله (۱۳-۱) را می‌توان به‌صورت زیر نوشت

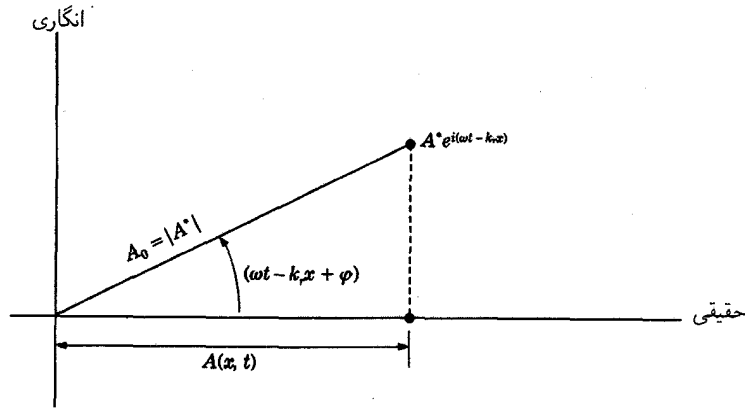
$$A(x, t) = \mathcal{R}\{|A^*|e^{i\varphi}e^{i(\omega t - k_r x)} \cdot e^{k_i x}\} = |A^*|e^{k_i x} \cos(\omega t - k_r x + \varphi) \quad (3-13)$$

جمله‌ی کسینوسی بیانگر موج رونده با جابه‌جایی فاز  $\varphi$  از مبدأ  $x = 0$  و  $t = 0$  است. اگر جزء انگاری  $k_i$ ، یعنی  $k_i$  مثبت باشد، موج پیش‌رونده در حین انتشار در جهت  $+x$  رشد می‌کند و اگر  $k_i$  منفی باشد، این موج در حین انتشار تضعیف می‌شود (فرو می‌باشد). برای موجی که در جهت  $-x$  حرکت می‌کند، عکس آن صادق است.  $k_r$  برای موج پیش‌رونده مثبت، و برای موج پس‌رونده منفی است.

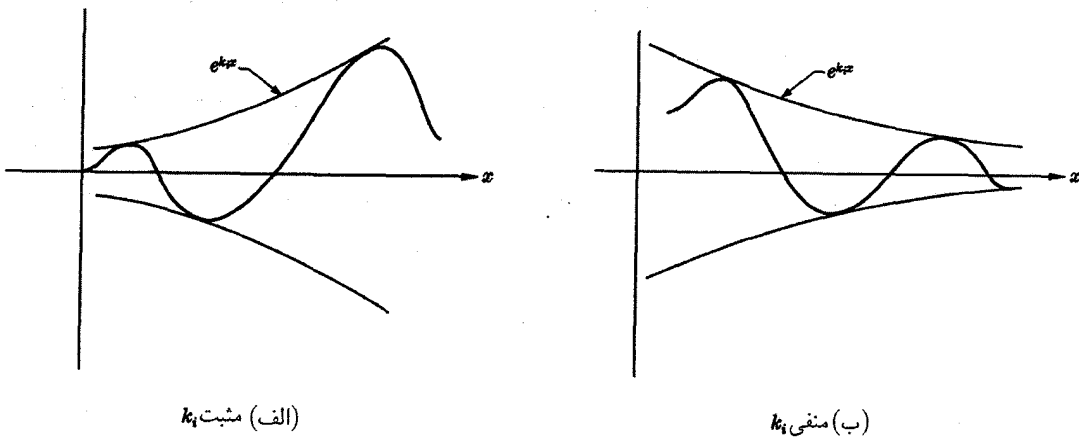
بنابراین می‌بینیم که معادله (۱۳-۱) شامل اطلاعات فراوانی درباره‌ی موج است. اکنون این پرسش مطرح می‌شود که برای هر  $\omega$  مفروض (ناشی از مبدل)، چگونه می‌توان مقدار عدد مختلط  $k$  را یافت؟ گاهی ممکن است دامنه‌ی  $|A^*|$  اعمال شود، اما اگر چندین پارامتر در موج به هم جفت شوند، به‌طور هم‌زمان برانگیخته خواهند شد و سپس دامنه‌های فازور، که دامنه‌های نسبی و فازهای نسبی پارامترهای مختلف را به‌دست می‌دهند، از معادلات حاکم شماره به‌دست می‌آیند. معمولاً فقط امکان تعیین دامنه‌ی یک متغیر در مبدل وجود دارد، که معمولاً با زاویه‌ی فاز صفر تعیین می‌شود و فاز متغیرهای دیگر نسبت به آن سنجیده خواهد شد.

پس مسئله‌ی اصلی در حرکت موج یافتن  $k$  (با  $\omega$  مفروض) و تعیین مقدار دامنه‌های فازور برای هر یک از پارامترها برای هر سیگنال ورودی مفروض است. معادله‌ی ارتباط‌دهنده‌ی  $k$  و  $\omega$  را به‌عنوان معادله‌ی پاشندگی  $k = k(\omega)$  می‌شناسند.

قبل از محاسبه معادله‌ی پاشندگی مفهوم فازور را به‌طور کامل‌تر بررسی می‌کنیم. معادله (۱۳-۳) را می‌توان در صفحه‌ی مختلط نشان داد. رابطه‌ی مختلط موج را می‌توان به‌صورت برداری چرخان در صفحه‌ی مختلط تصور کرد و  $A(x, t)$  را به‌صورت جزء حقیقی این بردار چرخان، همچون شکل ۱۳-۴، می‌توان در نظر گرفت.



شکل ۱۳-۴ به عنوان جزء حقیقی بردار چرخان.  $A(x, t)$



شکل ۱۳-۵ رشد یا تضعیف موج حاصل از پوش  $e^{k_i x}$ : (الف) رشد موج پیش رونده که می توان آن را به صورت تضعیف موج پس رونده تعبیر کرد و عکس آن برای (ب) صادق است.

اکنون، موج رونده حاصل از معادله (۱۳-۳) را می توان با پوش حاصل از  $e^{k_i x}$  نشان داد. در شکل ۱۳-۵ پوش موج پیش رونده را برای هر دو مقدار مثبت و منفی  $k_i$  نشان داده ایم.

### ۱۳-۳ سرعت فاز و سرعت گروه

اکنون این پرسش مطرح می شود که سرعت موج سوار یا ستیغ موج چقدر است؟ این سرعت را سرعت فاز یا سرعت موج می گویند. موج سوار طوری حرکت می کند که موج را همیشه، بجز در موقع رشد یا تضعیف، به یک اندازه می بیند. او همیشه در نقطه یکسانی نسبت به ستیغ موج، موج سواری می کند. بنابراین، جمله متغیر مستقل کسینوس در محل موج سوار باید ثابت باشد، در نتیجه

$$(\omega t - k_r x + \varphi) = \text{const.} \quad (۴-۱۳)$$

این رابطه  $x$  و  $t$  را برای موج سوار به هم مرتبط می کند. سرعت او باید  $dx/dt$  باشد که همان  $\omega/k_r$  است.

$$v_p = \omega/k_r \quad (۵-۱۳)$$



همیشه  $\omega$  را عدد حقیقی مثبت در نظر می‌گیرند، به‌گونه‌ای که  $k_r$  مثبت یا منفی به ترتیب  $v_p$  مثبت یا منفی را به دست می‌دهند که نمایانگر موج پیش‌رونده یا پس‌رونده است. بسته به رابطه تابعی  $k$  بر حسب  $\omega$ ، مقدار  $v_p$  ممکن است ثابت باشد یا بر حسب  $\omega$  تغییر کند، اگر  $v_p$  بر حسب  $\omega$  تغییر کند، موج را پاشنده می‌گویند. موج تکفام نمی‌تواند پاشنده باشد، اما اگر چندین موج با  $\omega$ های متفاوت برهم نهاده شده باشند (به صورت موجی تناوبی با شکلی اختیاری یا به صورت تپ) و اگر  $v_p$  به بسامد بستگی داشته باشد، آنگاه این شکل موج در حین انتشار گرایش به محوشدن (پاشیدگی) دارد. رابطه تابعی بین  $\omega$  و ثابت انتشار مختلط  $k$  را به عنوان معادله پاشندگی می‌شناسند.

از این رابطه تابعی مشتق  $\partial\omega/\partial k_r$  را می‌توان یافت که مفهوم فیزیکی مهمی دارد و به عنوان سرعت گروه موج‌رونده شناخته می‌شود. اگر و تنها اگر موج از مؤلفه بسامدهای متمرکز در نزدیکی بسامد میانگین  $\omega$  تشکیل شده باشد، این سرعت را به آسانی می‌توان تفسیر کرد. سرعت گروه  $v_g$  را به صورت زیر می‌توان بیان کرد

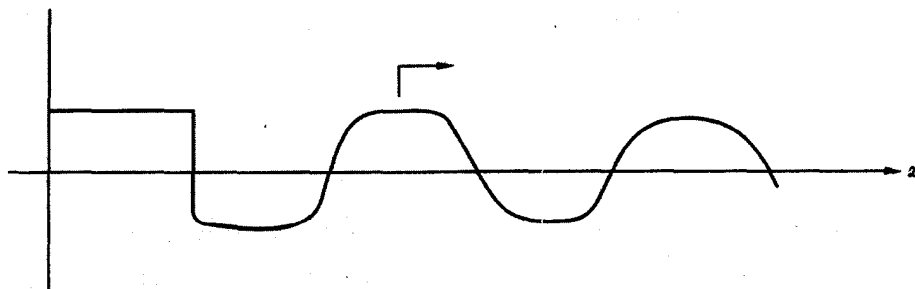
$$v_g = \left. \frac{\partial\omega}{\partial k_r} \right|_{\omega} \quad (۶-۱۳)$$

به بیان فیزیکی،  $v_g$  بیانگر سرعت انتشار اطلاعات یا انرژی به وسیله موج است. اگر موج اصلی متمرکز در  $\omega$  (موج حامل) در بسامد بسیار پایین‌تری مدوله شده باشد، این سیگنال مدوله‌سازی با سرعت گروه حرکت می‌کند. پوشی به وسیله این مدوله‌سازی به وجود می‌آید که خود موجی با طول موج بسیار بلند در مقایسه با طول موج حامل است. سرعت پوش همان سرعت گروه و سرعت حامل همان سرعت فاز است. اگر پاشندگی وجود نداشته باشد، سرعت گروه و سرعت فاز یکسان می‌شوند. برای بحث کامل‌تر، مسئله ۱۳-۱ را ببینید.

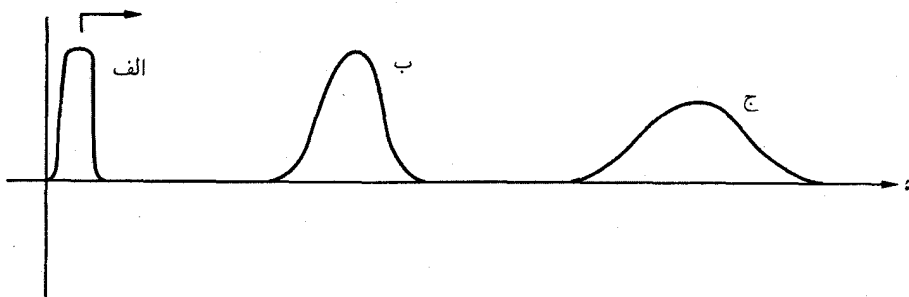
### ۱۳-۴ پاشندگی و تضعیف

پاشندگی را به صورت پراکنده شدن یا (پهن‌شدگی) محو شدن ساختار موج در فضا به علت تغییر سرعت فاز بر حسب بسامد تعریف کرده‌اند. پاشندگی می‌تواند بدون توجه به مقدار  $k_i$  رخ دهد و حتی می‌تواند وقتی  $k$  عدد حقیقی محض و  $k_i$  صفر است، بدون رشد یا تضعیف موج، رخ دهد. اتلاف یا اخذ انرژی در موج به علت پاشندگی وجود ندارد. اتلاف یا اخذ انرژی در حین تضعیف و رشد صورت می‌گیرد و  $k_i$  نمایانگر این اثر است. پاشندگی فقط به  $k_r$  بستگی دارد. شکل ۱۳-۶ انتشار موج مربعی را در جهت  $+x$  نشان می‌دهد. اکنون فرض می‌کنیم که  $k$  عدد حقیقی محض است و  $v_p$  بر حسب بسامد تغییر می‌کند که به پاشندگی منجر می‌شود. با انتشار موج شکل مربعی آن تغییر می‌کند. زیرا مؤلفه‌های بسامد بالاتر سریعتر از مؤلفه‌های بسامد پایین‌تر حرکت می‌کنند. در آن سوی پایین دست جریان، موج به شکل سینوسی می‌گراید و فقط به صورت بسامد اصلی باقی می‌ماند.

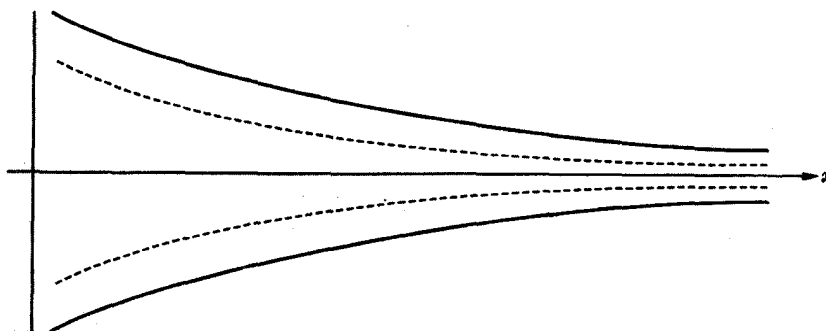
یک مربعی (که با انتگرال فوریه) بیان می‌شود، مثال صحیح‌تری برای پاشندگی است. شکل ۱۳-۷ این تپ را در نقطه‌های پیاپی (الف)، (ب) و (ج) نشان می‌دهد. اگر  $k$  عدد حقیقی محض باشد، تپ در حین انتشار پراکنده می‌شود، اما انرژی کل آن ثابت می‌ماند. موج ممکن است همزمان با پاشندگی رشد کند یا تضعیف شود، که در این صورت انرژی را در حین انتشار از میان شاره به دست می‌آورد و



شکل ۱۳-۶ موج مربعی پاشنده.



شکل ۷-۱۳ تپ پاشنده.



شکل ۸-۱۳ موج ناپایدار غیرانتشاری فراسوی «قطع». نوسان در بین خطهای پر رخ می‌دهد. خطهای نقطه‌چین حالت‌های میانی را نشان می‌دهند.

یا از طریق فرایندهای اتلافی همچون نیروی برشی گران‌رو یا انتقال گرما از دست می‌دهد. در چنین حالتی موجهای پاشنده موجود در شکلهای ۷-۱۳ و ۶-۱۳ شبیه به هم می‌شوند، اما دامنه آنها در پایین دست جریان تغییر خواهد کرد.

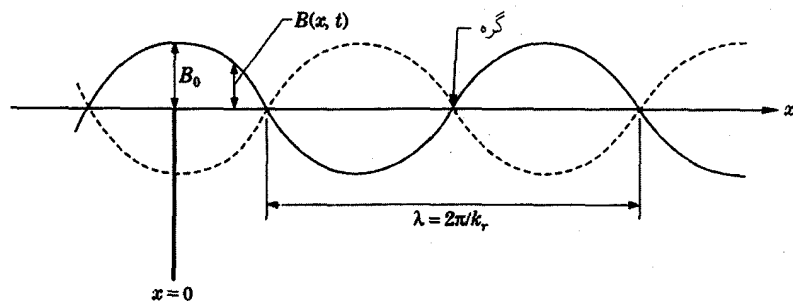
بدین ترتیب، تعیین  $k$  برای  $\omega$  مفروض کار اصلی در فرایند تعیین رفتار موج است. برای خلاصه کردن و ادامه بحث خود، انواع موجهای متمایز را برحسب  $k$  معرفی می‌کنیم.

۱. اگر  $k$  مختلط باشد، آنگاه میرایی (تضعیف) یا رشد، بدون توجه به فرایند پاشندگی، رخ می‌دهد.
۲. اگر  $k^2$  انگاری منفی محض باشد ( $k$  مختلط خواهد بود)، موجهایی خواهیم داشت که همچون موج انتقال گرما و موجهای برشی گران‌رو در معادله پخش صدق می‌کنند.

۳. اگر  $k$  انگاری محض باشد، هرگز انتشار موج وجود نخواهد داشت و  $v_p \rightarrow \infty$ ، زیرا  $k_r$  صفر است، که متناظر با طول موج بینهایت خواهد بود. اگر این اتفاق در بسامد بحرانی رخ دهد ( $k$  انگاری محض می‌شود) بسامد را بسامد قطع می‌گویند. در این حالت، شکل موج همان تابع نمایی‌ای است که تا  $x \rightarrow \infty$  ادامه می‌یابد و نسبت به زمان نوسان می‌کند. موج کلی به طور فازی حرکت می‌کند و شبیه نی لرزان است. چنین موجهایی را موجهای ناپایدار می‌گویند (شکل ۸-۱۳ را ببینید).

### ۵-۱۳ موجهای ساکن

موجی سینوسی را در نظر بگیرید که هیچگونه پاشندگی و تضعیف یا رشد ندارد. در این صورت،  $k$  حقیقی و  $v_p$  ثابت است، بنابراین  $(k_r = \pm(\omega/|v_p|))$  و  $k_i = 0$ . اگر موج پیش‌رونده‌ای با  $(k_r = +(\omega/|v_p|))$  با موج پس‌رونده‌ای با  $(k_r = -(\omega/|v_p|))$  برهم نهاده شده باشند و هر دو هم‌دامنه باشند، نتیجه آن موجی ساکن است. موج ساکن در فضا حرکت نمی‌کند. گره‌ها (مکانهایی که دامنه آنها همیشه صفر است)، همچون موج موجود در شکل ۹-۱۳ با دامنه  $BO$ ، در فضا ثابت می‌مانند. این موج بین خطهای پر و نقطه‌چین برحسب زمان نوسان می‌کند.



شکل ۱۳-۹ موج ساکن. گره‌ها نقطه‌های ثابتی هستند و موج بین خطهای پر و نقطه‌چین نوسان می‌کند.

موج ساکن را می‌توان به صورت حاصل جمع دو موج رونده به شکل  $|A| \cos(\omega t - k_r x)$  نوشت، که برای موجی که در جهت مثبت  $x$  حرکت می‌کند، مثبت و برای موجی که در جهت منفی  $x$  حرکت می‌کند، منفی است.

$$B(x, t) = |A| \cos\left(\omega t - \frac{\omega x}{|v_p|}\right) + |A| \cos\left(\omega t + \frac{\omega x}{|v_p|}\right) \quad (۷-۱۳)$$

به خاطر داریم که

$$2 \cos \alpha \cdot \cos \beta = \cos(\alpha - \beta) + \cos(\alpha + \beta)$$

با استفاده از آن در معادله (۷-۱۳)، داریم

$$B(x, t) = 2|A| \cos \omega t \cdot \cos \frac{\omega x}{|v_p|} = B_0 \cdot \cos \omega t \cdot \cos \frac{\omega x}{|v_p|} \quad (۸-۱۳)$$

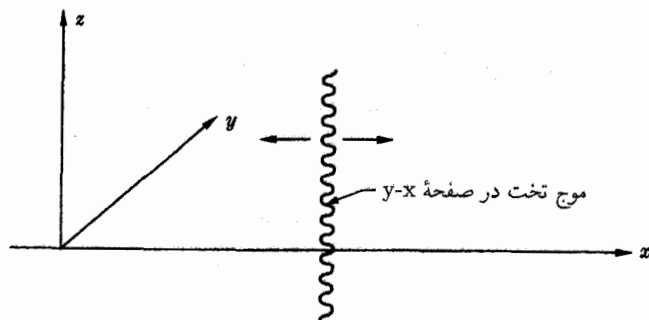
می‌بینیم که  $B_0 = 2|A|$  و معادله (۸-۱۳) دقیقاً رابطه موج ساکن در شکل ۱۳-۹ است. چنین موجی را می‌توان با لمس کردن نقطه‌های گره‌ی بر روی سیم گیتار ایجاد کرد.

### ۱۳-۶ محاسبه معادله پاشندگی برای موج صوتی

به عنوان مثالی ساده و روشن‌کننده درباره محاسبات پاشندگی، موجی صوتی را در نظر بگیرید که در میان هوای ساکن منتشر می‌شود. این روش نسبتاً کلی است و ممکن است برای انواع دیگر موجها به کار رود. تحلیل خود را به موجهای خطی محدود می‌کنیم. این روش آن قدر که به نظر می‌رسد محدودکننده نیست، زیرا موجهای صوتی خطی هستند و معمولاً تحلیل خطی برای بررسیهای پایداری کفایت می‌کند.

روشی را که به کار می‌بریم، عبارت است از: معادلات بیان‌کننده سیستم را، با این فرض که اختلالهای خارج از شرایط زمینه پایا در مقایسه با این پارامترهای زمینه پایا کوچک‌اند، خطی می‌کنیم. فرض می‌کنیم که جوابهای به صورت سینوسی فazor هستند، که در این صورت معادلات دیفرانسیل توصیفی به صورت ساده دستگاه معادلات جبری برای ضریبهای فazor پارامترهای مختلف وابسته به موج درمی‌آید. اما، این معادلات مستقل نیستند و قاعده کرامر را می‌توان برای به دست آوردن معادله پاشندگی به کار برد.

نخستین مثال، موج صوتی تخت معمولی در هوای ساکن است. این موج در جهت مثبت یا منفی  $x$ ، همچون شکل ۱۳-۱۰، حرکت می‌کند. این موج طولی و تخت، بدون هیچگونه تغییراتی در جهت  $y$  و  $z$ ، است. از تمام اثرهای اتلاف، نیروی برشی گران‌رو و رسانش گرمایی، که به پاشندگی و میرایی منجر می‌شود، چشم‌پوشی می‌کنیم. این اثرها کاملاً کوچک‌اند و می‌توان آنها را با دقت خیلی زیادی نادیده گرفت. بنابراین، تمام تغییرات

شکل ۱۳-۱۰ موج صوتی تخت در جهت مثبت یا منفی  $x$ .

خواص در موج تک‌آنترپی هستند. معادلات حاکم عبارت‌اند از

معادله حرکت:

$$\rho \left( \frac{\partial u}{\partial t} + u \frac{\partial u}{\partial x} \right) = - \frac{\partial p}{\partial x} \quad (۹-۱۳)$$

معادله پیوستگی:

$$\frac{\partial \rho}{\partial t} + \frac{\partial}{\partial x}(\rho u) = 0 \quad (۱۰-۱۳)$$

رابطه‌های تک‌آنترپی:

$$p \left( \frac{1}{\rho} \right)^\gamma = p_0 \left( \frac{1}{\rho_0} \right)^\gamma \quad (۱۱-۱۳)$$

که  $\gamma$  نسبت گرماهای ویژه  $c_p/c_v$  است. پارامترهای حالت پایا را با  $p_0$ ،  $\rho_0$  و  $u_0 = 0$  نشان می‌دهیم. با انتشار موج، آشفتگیهای کوچک یا اختلالهای ایجاد شده را با  $p'$ ،  $\rho'$  و  $u'$  مشخص می‌کنیم، بنابراین مقدار واقعی پارامترها در هر لحظه عبارت‌اند از  $(p_0 + p')$ ،  $(\rho_0 + \rho')$  و  $u'$ ، و فرض می‌شود که  $p' \ll p_0$  و  $\rho' \ll \rho_0$  و  $u' \ll u_0$ . وانگهی، از توانهای درجه دو یا بالاتر همه کمیت‌های پریم‌دار یا حاصلضرب دو یا چند کمیت پریم‌دار، در مقایسه با خود کمیت‌های پریم‌دار، صرف‌نظر می‌کنیم.  $u'$  را کمیت اختلالی در نظر می‌گیریم، هرچند در اینجا سرعت پایا وجود ندارد. برای نمایش کوچکی  $u'$  به بهنجارکردن معادلات نیاز است، که در اینجا این‌کار را نمی‌کنیم. با وارد کردن متغیرها برحسب کمیت‌های پایا به علاوه پریم‌دار، معادلات (۹-۱۳) تا (۱۱-۱۳) به صورت زیر در می‌آیند

$$\begin{aligned} (\rho_0 + \rho') \left\{ \frac{\partial u'}{\partial t} + u' \frac{\partial u'}{\partial x} \right\} &= - \frac{\partial (p_0 + p')}{\partial x} \\ \frac{\partial (\rho_0 + \rho')}{\partial t} &= \frac{\partial}{\partial x} \{ (\rho_0 + \rho') u' \} = 0 \\ (\rho_0 + p') (\rho_0 + \rho')^{-\gamma} &= p_0 \rho_0^{-\gamma} \end{aligned}$$

با بسط و حفظ فقط جمله‌های مرتبه اول در کمیت‌های پریم‌دار (و استفاده از قضیه دوجمله‌ای برای رابطه تک‌آنترپی) معادلات خطی شده زیر

به دست می‌آیند. تمام مشتق‌های مربوط به جمله‌های حالت پایا صفرند

$$\rho_0 \frac{\partial u'}{\partial t} = -\frac{\partial p'}{\partial x} \quad (12-13)$$

$$\frac{\partial \rho'}{\partial t} + \rho_0 \frac{\partial u'}{\partial x} = 0 \quad (13-13)$$

$$p' = \frac{\gamma p_0 \rho'}{\rho_0} \quad (14-13)$$

اکنون، جوابهای فازور برای همه کمیت‌های اختلالی عبارت‌اند از

$$p' = p^* e^{i(\omega t - kx)}$$

$$\rho' = \rho^* e^{i(\omega t - kx)} \quad (15-13)$$

$$u' = u^* e^{i(\omega t - kx)}$$

که درمی‌یابیم وقتی فازورهای مختلط در نماها ضرب می‌شوند، جزء حقیقی رابطه کلی را باید در نظر گرفت. اگر جزءهای انگاری را خیلی زود حذف کنیم، بخشی از جواب از دست می‌رود. باید به خاطر داشت که حاصلضرب دو عدد انگاری عددی حقیقی است. از کمیت‌های پریم‌دار بالا می‌توان نسبت به  $x$  یا  $t$  مشتق گرفت. مثلاً

$$\frac{\partial p'}{\partial t} = i\omega p^* e^{i(\omega t - kx)}$$

$$\frac{\partial p'}{\partial x} = -ik p^* e^{i(\omega t - kx)}$$

با نشان دادن این جوابها در معادلات (۱۲-۱۳) تا (۱۴-۱۳) معادلات جبری زیر به دست می‌آیند

$$i\omega \rho_0 u^* - ik p^* = 0$$

$$i\omega \rho^* - ik \rho_0 u^* = 0 \quad (16-13)$$

$$\rho_0 p^* - \gamma p_0 \rho^* = 0$$

با معلوم بودن  $\omega$  و  $k$ ، فکر می‌کنیم که می‌توانیم  $p^*$ ،  $\rho^*$  و  $u^*$  را به‌طور مستقیم به دست آوریم؛ ولی چنین نیست. این معادلات مستقل نیستند. این موضوع از نظر فیزیکی کاملاً روشن است، زیرا قدرت موج باید توسط چشمه‌ای اعمال شود که آن موج را تولید می‌کند. اگر کمیتی همچون متغیر  $u^*$  را (بر روی مبدل یا بلندگو) اعمال کنیم، آنگاه پارامترهای دیگر از مجموعه معادلات قبلی پیروی می‌کنند. چون  $p^*$ ،  $\rho^*$  و  $u^*$  به‌طور کلی کمیت‌های مختلط هستند، آنها دامنه و فاز را نسبت به متغیر اعمال شده (در این حالت،  $u^*$ ) به دست می‌دهند (اما می‌تواند هر یک از آنها باشد). معمولاً متغیر اعمال شده را در فاز صفر در نظر می‌گیرند، بنابراین فازور آن عددی حقیقی است.

اکنون گام بسیار مهم درک این نکته است که برای هر مجموعه معادلات خطی غیرمستقل، درمیان ضریب متغیرها (در این حالت  $p^*$ ،  $\rho^*$  و  $u^*$ ) باید صفر شود. این قاعده کرامر است و معادله حاصل معادله پاشندگی است که  $k$  را برحسب  $\omega$  به دست می‌دهد.

کمیت‌های فازور در معادله پاشندگی ظاهر نمی‌شوند. درمیان را می‌توان مستقیماً از معادله (۱۶-۱۳) تشکیل داد

$$\begin{vmatrix} u^* & p^* & \rho^* \\ i\omega \rho_0 & -ik & 0 \\ -ik \rho_0 & 0 & i\omega \\ 0 & \rho_0 & -\gamma p_0 \end{vmatrix} = 0$$

فازورها را در بالای ستونها نوشته‌ایم تا نشان دهیم که ضریبها متعلق به کدام فازور است. بسط دترمینان به صورت زیر است

$$k^2 \gamma p_0 = \omega^2 \rho_0 \quad (۱۷-۱۳)$$

$k$  کمیت حقیقی محض است و از رابطه زیر به دست می‌آید

$$k = \pm \sqrt{\frac{\omega^2 \rho_0}{\gamma p_0}}$$

بنابراین، سرعت فاز  $v_p$ ، یعنی سرعت صوت عبارت است از

$$v_p = \frac{\omega}{k} = \pm \sqrt{\frac{\gamma p_0}{\rho_0}} = \pm a \quad (۱۸-۱۳)$$

برای سادگی، سرعت معمولی صوت  $\sqrt{\gamma p_0 / \rho_0}$  را با  $a$  نشان می‌دهیم. علامتهای  $+$  و  $-$  به ترتیب بیانگر موجهای پیش‌رونده و پس‌رونده هستند. پاشندگی وجود ندارد، زیرا  $v_p$  ثابت است؛ و چون  $k$  کمیتی حقیقی است، تضعیف یا رشد موج نیز وجود ندارد. با استفاده از قانون گازهای کامل

$$p_0 = \rho_0 RT.$$

را می‌توان به صورت زیر بیان کرد

$$v_p = \pm \sqrt{\gamma RT}.$$

با توجه به معادله (۱۳-۱۶) می‌توان فازور پارامترهای دیگر موج را برحسب بسامد  $\omega$  (به وسیلهٔ مبدل یا چشمه موج تعیین می‌شود)، مثلاً برای فازور  $u^*$  به دست آورد. اگر به طور دلخواه  $u^*$  را عددی حقیقی در نظر بگیریم، آن‌گاه برای  $u_0$  (زاویهٔ فاز صفر) داریم

$$p^* = \left(\frac{\omega}{k}\right) \rho_0 u_0 = \pm a \rho_0 u_0 \quad (۱۹-۱۳)$$

$$\rho^* = \pm \frac{\rho_0 u_0}{a}$$

یادآور می‌شویم که دستگاه معادلات (۱۳-۱۶) برای فازور اضافی است و می‌توان آن را با معلوم شدن معادلهٔ پاشندگی از دو کمیت دیگر به دست آورد. در مسئلهٔ فعلی  $p^*$  و  $\rho^*$  در حقیقت عددهای واقعی‌اند، به گونه‌ای که نوسانهای فشار و چگالی در موج یا با سرعت همفاز و یا  $۱۸۰^\circ$  خارج از فاز هستند، اما، اگر اثرهای گران‌روی و رسانش گرمایی در به دست آوردن معادلات وارد می‌شدند،  $k$  عددی مختلط می‌شد. رابطه‌های نهایی  $u'$ ،  $p'$  و  $\rho'$  [از معادله (۱۳-۱۵)] عبارت‌اند از

$$u' = \Re u_0 e^{i[\omega t \mp (\frac{\omega x}{a})]} = u_0 \cos \omega(t \mp x/a)$$

$$p' = \Re a \rho_0 u_0 e^{i[\omega t \mp (\omega x/a)]} = \pm a \rho_0 u_0 \cos \omega(t \mp x/a) \quad (۲۰-۱۳)$$

$$\rho' = \Re \frac{\rho_0 u_0}{a} e^{i[\omega t \mp (\omega x/a)]} = \pm \frac{\rho_0 u_0}{a} \cos \omega(t \mp x/a)$$

علامت بالا (-) در متغیر مستقل کسینوس و  $+$  در جلوی رابطه‌ها) برای موج پیش‌رونده است.  $u'$  را در جهت  $+x$  مثبت در نظر می‌گیرند. علامت پایین موج پس‌رونده را نشان می‌دهد. برای پی‌بردن به اهمیت این موضوع بلندگویی را در نظر بگیرید که در  $x = 0$  قرار دارد و جلو و عقب آن آزاد است. جلوی آن (در طرف  $+x$ ) موجهایی تولید می‌کند که در جهت  $+x$  انتشار می‌یابند. در این طرف، سرعت مثبت باعث فشردگی هوا و افزایش فشار آن می‌شود، و  $u'$  همفاز با  $p'$  خواهد بود. در پشت، موجی تولید می‌شود که در جهت  $-x$  حرکت می‌کند، و  $u'$  مثبت در پشت

بلندگو موجی انبساطی تولید می‌کند که فشار را کاهش می‌دهد، به گونه‌ای  $u'$  و  $p'$  در پشت بلندگو دارای  $180^\circ$  اختلاف فاز خواهند بود. همین استدلال درباره  $p'$  نیز صادق است.

راهکار دیگر (ولی مشکلتر) برای امواج صوتی ترکیب معادلات دیفرانسیل حاکم و ایجاد تک معادله‌ای برای هریک از متغیرهاست. نتیجه همان معادله موج آشناست،

$$\frac{\partial^2}{\partial t^2} \begin{Bmatrix} u' \\ p' \\ \rho' \end{Bmatrix} = \frac{\gamma p_0}{\rho_0} \cdot \frac{\partial^2}{\partial x^2} \begin{Bmatrix} u' \\ p' \\ \rho' \end{Bmatrix} \quad (13-21)$$

و  $\gamma p_0 / \rho_0$  مربع سرعت صوتی است. اما، این راهکار برای وضعیتهای پیچیده‌تر، که حل معادلات موج خسته‌کننده می‌شود، خیلی راحت نیست. هر دو موج پیش‌رونده و پس‌رونده جوابهای معادله باشندگی هستند. هریک از این دو موج یا هر دو موج، بسته به وضعیت فیزیکی، ممکن است وجود داشته باشند. اگر گستره شاره در جهت  $+x$  نامتناهی باشد، فقط موجی پیش‌رونده در شرایط حالت پایا، که مثلاً در  $x = 0$  تولید شده است، وجود دارد. اما، اگر شاره در مکانی در پایین دست جریان واقع شده باشد، موج بازتابیده و جذب می‌شود؛ البته بسته به جنس دیواره، ممکن است بخشی از موج بازتابیده شود. این شرط مرزی همراه با شرایط موجود در مولد ( $x = 0$ ) بیانگر ترکیب دو موج متحرک در جهت‌های  $+x$  و  $-x$  است. وانگهی، اگر دیواره مرزی بازتابنده باشد و در جهت  $x$  حرکت کند، آن‌گاه بسامد موج بازتابیده متفاوت از موج ورودی خواهد بود (اندازه‌گیری در چارچوب مرجع ناظر ساکن نسبت به محور  $x$  دستگاه مختصات و مبدل انجام می‌گیرد). بسامد موج ورودی و بازتابیده نسبت به نظر ناظر واقع روی دیواره متحرک یکسان است، اما با بسامد مبدل تفاوت خواهد داشت. این پدیده را جابه‌جایی دوپلر می‌گویند.

### ۷-۱۳ موج صوتی بازتابیده از دیواره ساکن

بازتاب و حضور همزمان دو موج پیش‌رونده و پس‌رونده را می‌توان در شکل ۱۱-۱۳ مشاهده کرد.

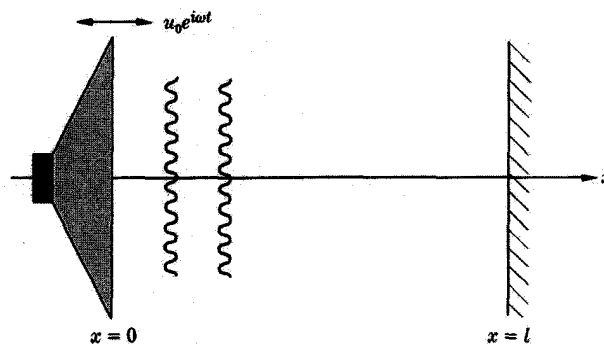
بلندگویی بزرگ با سطح تخت موجهایی صوتی با بسامد  $\omega$  تولید می‌کند.  $l$  را در مقایسه با قطر بلندگو کوچک فرض می‌کنیم، بنابراین موجهای تولیدشده تخت‌اند. دیواره در  $x = l$  صلب و بازتابنده کامل است. حرکت بلندگو در  $x = 0$  از رابطه زیر به دست می‌آید

$$u|_{x=0} = \Re u_0 e^{i\omega t} = u_0 \cos \omega t$$

می‌دانیم که

$$k_r = \pm \omega \sqrt{\frac{\rho_0}{\gamma p_0}} = \pm \frac{\omega}{a}$$

$$k_i = 0$$



شکل ۱۱-۱۳ بلندگویی در  $x = 0$  موجهایی صوتی تولید می‌کند که از دیواره صلب واقع در  $x = l$  باز می‌تابد. موجها را تخت فرض می‌کنیم.

بنابراین موج سرعتی را در سرتاسر شاره می‌توان حاصل جمع موجهای پیش‌رونده و پس‌رونده دانست.

$$u(x, t) = \mathcal{R}\{u_1^* e^{i\omega(t-x/a)} + u_2^* e^{i\omega(t+x/a)}\} \quad (۲۲-۱۳)$$

که  $u_1^*$  و  $u_2^*$  به ترتیب دامنه‌های فازور موجهای پیش‌روند و پس‌رونده هستند. در  $x = l$  دیواره صلب قرار دارد، در نتیجه شرایط مرزی عبارت‌اند از

$$u(l, t) = 0$$

$$u(0, t) = u_0 e^{i\omega t}$$

$u_1^*$ ،  $u_2^*$  را با استفاده از این شرایط در معادله (۲۲-۱۳) می‌توان تعیین کرد و سپس  $u(x, t)$  را به دست آورد. باید تأکید کرد که به طور کلی بخش حقیقی رابطه‌ها را در موقع اعمال شرایط مرزی در نظر نمی‌گیرند. شکلهای مختلط باید حفظ شود تا اینکه شکل نهایی  $u(x, t)$  به دست آید. برای این مسئله با توجه به اعمال شرایط مرزی، داریم

$$u_1^* e^{-i\omega/a} + u_2^* e^{+i\omega/a} = 0 \quad (۲۳-۱۳)$$

$$u_1^* + u_2^* = u_0$$

جزئیات محاسبه مقدار اختیاری  $l$  را به عنوان مسئله در انتهای این فصل آورده‌ایم. اما، در حالت خاص  $l = (2n+1)(\lambda/4)$  (که  $n$  عددی صحیح و  $l$  مضرب فردی از یک چهارم طول موج است)، مرز دیواره متناظر با گره طبیعی است و به آسانی می‌توان نشان داد که بزرگی این دو موج (پیش‌رونده و پس‌رونده) مساوی است و موج ساکنی را تشکیل می‌دهند. شرایط مرزی به صورت زیرند

$$u_1^* e^{-i(2n+1)\pi/2} + u_2^* e^{+i(2n+1)\pi/2} = 0$$

$$u_1^* + u_2^* = u_0$$

در نتیجه

$$u_1^* = u_2^* = u_0/2 \quad (۲۴-۱۳)$$

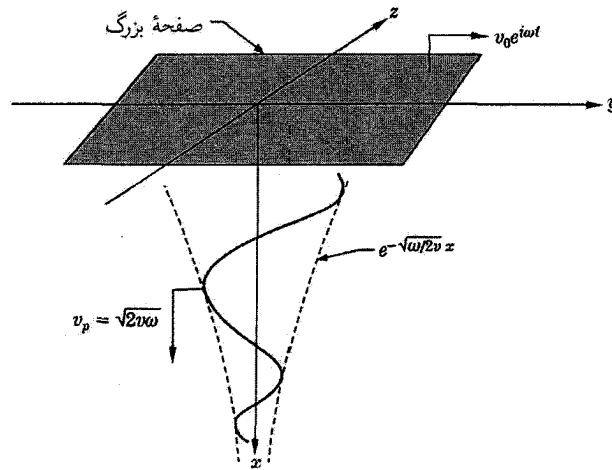
بزرگی موجهای پیش‌رونده و پس‌رونده مساوی است و وقتی با هم جمع می‌شوند موجی ساکن به وجود می‌آورند. در لوله شیشه‌ای که یک انتهای آن بسته است و در انتهای دیگر با موجی صوتی برانگیخته می‌شود، در حالت تشدید با بسامدهای بحرانی که طول لوله مضرب فردی از یک چهارم طول موج صوتی است، موجهای ساکن به وجود می‌آید. اگر کمی ماسه در ته لوله بریزیم، موقع ایجاد تشدید، ماسه‌ها در محل گره‌ها انباشته می‌شوند. اثر دیواره را برای طول موجهای بسیار بلندتر از قطر لوله می‌توان نادیده گرفت.

### ۱۳-۸ موجهای برشی در شاره گران‌رو

مثالی دیگر درباره رفتار موج عرضی، انتشار موجهای تخت برشی در شاره گران‌رو است. جوابهای موج‌گونه برای سرعت، به این معنا که نیروهای بازگرداننده وجود ندارد، بیانگر موجهای واقعی نیست. نیروهای برشی گران‌رو همیشه با حرکت شاره فاقد نیروهای بازگرداننده مخالفت می‌کنند، به گونه‌ای که شاره باید مرتباً به وسیله نوسان به حرکت درآید. همه انرژی ورودی توسط اثرهای گران‌روی تلف می‌شود و موج در حین انتشار میرا خواهد شد.

شاره‌ای گران‌رو به وسعت دریایی بزرگ را در نظر بگیرید که از سطح  $x = 0$  در جهت  $x$  به طرف پایین امتداد دارد (شکل ۱۳-۱۲). این شاره با صفحه تخت بزرگی پوشیده شده است که در جهت  $y$  در امتداد سطح با بسامد  $\omega$  و سرعت  $v_0 e^{i\omega t}$  نوسان می‌کند. به خاطر داشته باشید که





شکل ۱۲-۱۳ دریای نامتناهی شاره گران رو که سطح آن با صفحه نوسانگری برانگیخته شده است.

جزء حقیقی همان حرکت واقعی  $v_0 \cos \omega t$  است. فاز را به طور اختیاری صفر در نظر گرفته ایم. جابه جایی صفحه را به صورت  $y_p = y^* e^{i\omega t}$  بیان می کنیم. سرعت از مشتق جابه جایی  $i\omega y^* e^{i\omega t}$  نسبت به زمان به دست می آید، بنابراین حرکت صفحه عبارت است از

$$y_p = \mathcal{R} \left\{ -\frac{iv_0}{\omega} e^{i\omega t} \right\} = \frac{v_0}{\omega} \sin \omega t$$

جابه جایی و سرعت  $90^\circ$  اختلاف فاز دارند.

وقتی موج برشی ایجاد شده به وسیله این صفحه به طرف پایین در جهت  $x$  انتشار می یابد، شاره در جهت  $y$  نوسان می کند. این موجی عرضی است و همراه هیچ موج صوتی طولی نخواهد بود. موجهای برشی فقط به علت اینکه شاره گران رو است، انتشار می یابند. موجی برشی به خاطر ماهیتش پاشنده است و در حین انتشار میرا می شود.

معادله حرکت در جهت  $y$  به صورت ساده زیر درمی آید

$$\rho \frac{\partial v}{\partial t} = \mu \frac{\partial^2 v}{\partial x^2} \quad (25-13)$$

هیچ تغییری در جهت های  $y$  یا  $z$  مشاهده نمی شود و فقط یک مؤلفه سرعت در جهت  $y$  وجود دارد. این تنها معادله ای است که در اینجا نیاز داریم و به عنوان معادله پخش استاندارد شناخته می شود. (این معادله را می توان از معادله انتقال گردشاری فصل ۳ به دست آورد.) چون ورودی ای نوسانگر وجود دارد، به دنبال جوابهایی به شکل زیر هستیم

$$v(x, t) = \mathcal{R} \{ v^* e^{i(\omega t - kx)} \} \quad (26-13)$$

که وقتی در معادله (۲۵-۱۳) نشانده می شود، معادله پاشندگی زیر به دست می آید

$$i\omega \rho v^* = -\mu v^* k^2 \quad (27-13)$$

به گونه ای که

$$k^2 = i\rho\omega/\mu = -i\omega/\nu \quad (28-13)$$

که  $\nu = \mu/\rho$  گران روی سینماتیکی است و نقش ثابت پخش را بازی می‌کند. عدد انگاری منفی  $k_i^2$  که همیشه به معنی آن است که موج در فرایند پخش، تضعیف و پاشیده می‌شود. با حل معادله و جداسازی آن به اجزای حقیقی و انگاری، داریم

$$\begin{aligned} k_r &= \pm \sqrt{\frac{\omega}{2\nu}} \\ k_i &= \mp \sqrt{\frac{\omega}{2\nu}} \end{aligned} \quad (۲۹-۱۳)$$

علامت + برای  $k_r$  به معنی حرکت رو به پایین موج در جهت  $+x$  است، که متناظر با  $k_i$  منفی به معنی تضعیف در جهت انتشار خواهد بود. مجموعه علامتهای دیگر نشان می‌دهد که موج ضمن حرکت (رو به بالا) در جهت  $-x$  تضعیف می‌شود. سرعت فاز برابر است با

$$v_p = \frac{\omega}{k_r} = \pm \sqrt{2\nu\omega}$$

یادآور می‌شویم که  $k_i$  بر حسب بسامد افزایش می‌یابد، به گونه‌ای که موجهای پرسامدتر زودتر از موجهای کم‌سامدتر میرا می‌شوند. در ساختار موج نموده‌شده به وسیله انتگرال سری فوریه، مؤلفه‌های پرسامد زودتر میرا می‌شوند. نتیجه، تغییر شکل موج خواهد بود، اما نباید با اثرهای پاشندگی که همیشه به تغییر شکل موج منجر می‌شود اشتباه گرفت.

در صفحه، که  $x = 0$ ، شاره و صفحه با هم حرکت می‌کنند، بنابراین

$$v(0, t) = \Re v_0 e^{i\omega t} = \Re v^* e^{i\omega t}$$

و  $v^*$  مساوی  $v_0$  است. با این فرض که فقط موجهای پیش‌رونده وجود دارند و (بدون بازتاب از کف دریا) رابطه  $v(x, t)$  به صورت زیر است

$$\begin{aligned} v(x, t) &= \Re v_0 e^{i(\omega t - \sqrt{\omega/2\nu}x + i\sqrt{\omega/2\nu}x)} \\ &= v_0 e^{-\sqrt{\omega/2\nu}x} \cos(\omega t - \sqrt{\omega/2\nu} \cdot x) \end{aligned} \quad (۳۰-۱۳)$$

جمله  $e^{-\sqrt{\omega/2\nu}x}$  منحنی پوش موج میراست.  $k_i$  ثابت تضعیف یا میرایی است.

فاصله‌ای را که موج در شاره نفوذ می‌کند تا دامنه آن  $v_0/e$  شود، عمق پوسته  $\delta$  می‌گویند. عمق پوسته از رابطه زیر به دست می‌آید

$$\delta = \sqrt{\frac{2\nu}{\omega}}$$

که معیار مشخصه پخش موج به عنوان تابع بسامد است. دیده می‌شود که موجهای پرسامد کمتر از موجهای کم‌سامد در شاره نفوذ می‌کنند. اگر کف دریای شاره، مثلاً در عمق  $x = l$  قرار گیرد، آن‌گاه هر دو موج پیش‌رونده و پس‌رونده در وضعیت پایا خواهند بود و شرایط مرزی، دامنه‌های فازور این دو موج را یا همان‌گونه که در بخش قبل در خصوص موجهای صوتی بحث شد، تعیین می‌کنند.

### ۹-۱۳ موجهای سطحی روی آب

مطالعه موجهای سطحی شاخه مهم و جالب نظریه موج را تشکیل می‌دهد. موجهای سطحی را به آسانی می‌توان به صورت موجهای اقیانوس و چینهای روی دریاچه‌ها و رودخانه‌ها مشاهده کرد. معمولاً اثرهای اتلاف جزئی است و تأثیری در ساختار موج در فاصله‌های کوتاه ندارد. اما، موجهای سطحی ماهیتاً پاشنده هستند و هرچه عمق آب زیادتر باشد، این اثر مهمتر می‌شود.

روش مطالعه رفتار موجهای سطحی به روشهای ریاضی نیاز دارد که فراتر از سطح این کتاب است. اما، بعضی از انواع موجهای سطحی را مرور می‌کنیم و درباره معادلات پاشندگی آنها به عنوان مقدمه‌ای کلی بر این موضوع بحث خواهیم کرد. خوانندگان می‌توانند بحث بسیار خوبی درباره موجهای سطحی را در کتابی از سرجیمز لایت‌هیل، که در فهرست مرجعها موجود است، مشاهده کنند.

معمولاً موجهای سطحی ترکیب موجهای طولی و عرضی اند. اثرهای تراکمی آنها ناچیز است. ذرات مایع درون موج حرکت بیضوی دارند (محور اصلی عمودی است). جریان خالص شاره در جهت انتشار وجود ندارد، اما ذرات در حین یک دوره تناوب یک دور کامل بیضی را می چرخند. موج سوار موجود بر روی سیئه موج با سرعت موج حرکت می کند، اما باید تأکید کرد که این سرعت با سرعت خود آب یکسان نیست. به طور کلی دو نوع موج سطحی وجود دارد که بر پایه ماهیت نیروهای طبقه بندی شده اند که گرایش دارند سطح شاره را پس از آشفتگی به حالت تخت برگردانند. یک نوع، موج گرانشی است که نیروی بازگرداننده غالب نیروی گرانشی است و دیگری موج موئینگی است که نیروی بازگرداننده غالب کشش سطحی خواهد بود. هر دو نیرو همیشه حضور دارند، اما نیروی غالب به طول موج بستگی دارد. موجهای گرانشی موجهایی هستند که طول موج آنها در مقایسه با مقیاس طول، در حالتی که کشش سطحی مهم است (اما نه الزاماً در مقایسه با عمق آب)، بزرگ است. کشش سطحی فقط زمانی مهم است که خمیدگی سطح شعاع بسیار کوچکی داشته باشد (یعنی موجهای با طول موج کوچک). در عمل، به طور سرانگشتی موجهای با طول موج  $10\text{ cm} > \lambda$  از نوع گرانشی، و موجهای با طول موج  $5\text{ cm} < \lambda$  از نوع کشش سطحی اند. روشن است که موجهای اقیانوس از نوع موجهای گرانشی هستند و فقط در شرایطی که سطح اقیانوس آرام و تخت است، موجهای موئینگی را می توان مشاهده کرد. موجهای موئینگی را گاهی چین می گویند. در ادامه بحث فرض می کنیم که موجها سینوسی و تکفام هستند.

### ۱۳-۹-۱ موجهای گرانشی

شکل معادلات پاشندگی برای موجهای گرانشی به اندازه نسبی طول موج در مقایسه با عمق  $h$  بستگی دارد و برای آبهای عمیق  $h \ll \lambda$  و آبهای کم عمق  $\lambda \ll h$  به شکل ساده تری درمی آیند. در آبهای عمیق که  $h \ll \lambda$ ، طول موج  $\lambda$  ممکن است کاملاً بزرگ باشد و اگر عمق آب به اندازه کافی زیاد باشد، ممکن است به  $1000$  متر یا بیشتر هم برسد. معادله پاشندگی به صورت ساده زیر است

$$\omega^2 = gk \quad (13-31)$$

به گونه ای که  $k$  عددی حقیقی و مستقل از عمق  $h$  است. سرعت موج برابر است با

$$v_p = \frac{\omega}{k} = \frac{g}{\omega} = \sqrt{g/k} \quad (13-32)$$

موج پاشنده، و سرعت آن مستقل از  $h$  است. در واقع، سرعت فاز می تواند + یا - باشد. اما در اینجا نباید نگران جهت انتشار آن بود و فقط باید مقدار آن را تعیین کرد. طول موج برحسب بسامد از رابطه زیر به دست می آید

$$\lambda = \frac{2\pi}{h} = \frac{2\pi g}{\omega^2} \quad (13-33)$$

در آبهای کم عمق،  $h \gg \lambda$ ، داریم

$$\omega^2 = \delta h k^2 \quad (13-34)$$

و سرعت موج عبارت است از

$$v_p = \sqrt{gh} \quad (13-35)$$

که ناپاشنده است ولی به  $h$  بستگی دارد. شیب ساحل اثر مهمی بر روی موج آبهای کم عمق دارد. با نزدیک شدن موج به ساحل اقیانوس و کم عمق شدن آب، سرعت موج کاهش می یابد. در نتیجه، موجهای نزدیک ساحل موازی و همراستا با جبهه ساحل می شوند، زیرا سرعت جبهه موجی که به طور مایل به ساحل نزدیک می شود در مقایسه با قسمتهای دورتر که بر روی آبهای عمیق تر قرار دارد، دارای سرعت کمتری است و این باعث همراستا شدن موج با ساحل خواهد شد. طول موج برحسب  $\omega$  عبارت است از

$$\lambda = \frac{2\pi\sqrt{gh}}{\omega}$$

معادله پاشندگی کلی برای آب با عمق اختیاری عبارت است از

$$\omega^2 = gk \tanh(kh) \quad (۱۳-۳۶)$$

و سرعت موج برابر است با

$$v_p = \left[ \left( \frac{g}{k} \right) \tanh(kh) \right]^{1/2} \quad (۱۳-۳۷)$$

که در محدوده آبهای عمیق ( $kh \gg 1$ ) به صورت  $\omega^2 = g/k$ ، و برای آبهای کم عمق  $kh \ll 1$  به صورت ساده  $\omega^2 = gh$  درمی آید.

### ۱۳-۹-۲ موجهای موئینگی یا چینها

موجهای موئینگی یا چینها موجهایی با طول موج بسیار کوچک و کمتر از ۵ سانتیمتر هستند، که نیروهای کشش سطحی بر آنها غالب اند. از نیروهای گرانشی می توان چشم پوشی کرد. معادله پاشندگی و سرعت موج برای موجهای موئینگی عبارتند از

$$\omega^2 = \frac{Tk^3}{\rho} = \frac{T}{\rho} \left( \frac{2\pi}{\lambda} \right)^3 \quad (۱۳-۳۸)$$

$$v_p = \frac{\omega}{k} = \sqrt{\frac{Tk}{\rho}} \quad (۱۳-۳۹)$$

که  $T$  کشش سطحی است. چینها پاشنده اند، اما رفتار آنها مستقل از عمق است. با پرتاب سنگی کوچک به درون حجم آب آرام چینهایی تولید می شود که در حین حرکت پراکنده یا پاشیده خواهد شد.

موجهای سطحی با ایجاد نیروی برشی توسط باد یا جسم جامد متحرک در آب برانگیخته می شوند. موجهای اقیانوس توسط نیروهای بادی به وجود می آیند که انرژی لازم برای بقای آنها را تأمین می کنند. کشتیهای متحرک طرح موج پیچیده ای را ایجاد می کنند. عبور جریان آب از اطراف جسم ساکن طرح موج به وجود می آورد. چینها با پرتاب جسمی کوچک به سطح آب آرام، یا جاری شدن آب در کف یا اطراف بستر رودخانه یا کانالهای کم عمقی که دارای برآمدگیهای کوچک هستند، تشکیل می شوند. مطالعه موجهای موئینگی از نقطه نظر دیگری نیز مهم اند. با توجه به شباهتهای موجود بین موجهای موئینگی روی آب و موجهای تراکمی-انبساطی در جریان گاز تراکم پذیر، از موجهای آب می توان برای مدل سازی و تجسم بعضی از ویژگیهای جریان تراکم پذیر استفاده کرد.

در اینجا، فقط به نتیجه محاسبات معادله پاشندگی موجهای سطحی اشاره کردیم. در بحث کامل تر، برهم کشش موجها برای تولید پراش، طرحهای ایجاد شده به وسیله کشتیها، اثر عمق و تغییرات کف را نیز بررسی می کنند. چنین بحثهایی خارج از حوزه این کتاب است.

در اقیانوس، افزون بر موجهای سطحی، موجهای دیگری وجود دارند که باعث آشفتگی آب در سرتاسر عمق آن می شوند. جهش هیدرولیکی آب یا مد (که در فصل ۳ بحث شد) نمونه چنین موجی است که موج جزر و مدی یا سونامی نامیده می شود و به علت بالا آمدگی کف اقیانوس، معمولاً در نتیجه کش آتشفشانی، ایجاد می شود. تحلیل پاشندگی به کاررفته در اینجا برای تحلیل موجهای «در عمق» نامناسب است و خواننده بهتر است به مرجعها مراجعه کند.

### ۱۳-۱۰ چند نکته نهایی درباره موجها

موجهای خطی بیان شده در این فصل می توانند با مرزهای جامد یا جسمها برهم کشش، و یا با موجهای مشابه دیگر تداخل کنند، که به اثرهای پراش و تداخل خواهد انجامید. این پدیده ها را می توان با برهم نهش شکلهای پیچیده جوابهای فازور-سینوسی و برآورده کردن شرایط مرزی تحلیل کرد. موجهای تخت را که در جهت های مختلف حرکت می کنند، می توان بر هم نهاد. باید به خاطر داشت که شکلهای پیچیده کامل را در محاسباتی که به برهم نهش نیاز دارند، باید حفظ کرد.

برای موجی که در جهتی عمومی پخش می‌شود، بردار  $k$  را جایگزین  $k$  می‌کنیم و مختصات مکان را توسط بردار  $r$  به دست می‌آوریم. بنابراین، رابطه فازور عبارت است از

$$A^* e^{i(\omega t - k \cdot r)}$$

پس از بررسی موجهای تختی که به شکل رابطه بالا هستند، اکنون به بررسی موجهای استوانه‌ای که جبهه موج استوانه‌ای دارند، می‌پردازیم؛ این موجها را باید برحسب تابعهای بسل بازای تغییرات فضایی، به جای سینوسی، بیان کرد. موجهای استوانه‌ای طول موج مشخصی که در حین انتشار برحسب مکان تغییر کنند، ندارند. اما، تابعهای بسل برای فاصله‌های دور رفتاری سینوسی با طول موج مشخصی پیدا می‌کنند. موجهای کروی را می‌توان با همان شکل فازور-سینوسی مانند موجهای تخت، ولی با تغییر دامنه  $1/r$ ، بیان کرد.

$$A^* \left( \frac{1}{r} \right) e^{i(\omega t - kr)}$$

این شکل موج را می‌توان با قرار دادن در معادلات متناظر در مختصات کروی اثبات کرد. این تمرین را به صورت یکی از مسئله‌های حل شده ارائه خواهیم کرد.

### ۱۱-۱۳ نظریه پایداری

شاره جاری یا شاره ساکن ممکن است ناپایدار شود و تغییرات شدیدی در مشخصه‌های جریان یا پیکربندی هندسی آن رخ دهد. یکی از مسائل اولیه تحلیل پایداری تعیین گستره یا مقدارهای بحرانی پارامترهای مرتبطی است که به ناپایداری جریان می‌انجامد. پایداری شاره متحرک یا پیکربندیهای ساکن را می‌توان با ایجاد اختلال در شاره توسط آشفتگی سینوسی جزئی در همه یا برخی از پارامترهای شاره آزمایش کرد. سرعت را می‌توان با تغییر یک یا چند مؤلفه آن مختل کرد. در واقع، همیشه اختلالهای جزئی ناشی از علتهای محیطی در شاره وجود دارد.

برخی از مثالهای معمولی اثرهای ناپایداری عبارت‌اند از گذار از جریان لایه‌ای به تلاطم، فروپاشی جت آب، واژگون کردن دو مایع در حالتی که مایع سنگینتر در بالا قرار دارد، تشکیل موجهای سپید نوک بر روی اقیانوس و شکسته شدن موجها در موقع برخورد به ساحل. همان‌گونه که اشاره شد، ناپایداری ممکن است به فروپاشی مایع یا گذار از جریان لایه‌ای به تلاطمی یا گذار از یک پیکربندی به پیکربندی دیگر، حتی اگر هر دو لایه‌ای باشند منجر شود. مثالهای این نوع ناپایداری عبارت‌اند از

۱. ساختار سلولهای شش‌وجهی جریان چنبره‌ای که روی صفحه گرم افقی تخت تشکیل می‌شود. این سلولها به یکدیگر جفت می‌شوند و طرحی سنگ‌فرشی به نام سلولهای بنارد تشکیل می‌دهند.

۲. از چرخش دو استوانه دایره‌ای هم‌مرکز حاوی جریان گران‌رو موجود در فضای بین آنها با سرعتهای مختلف حول محور مشترکشان، نیمرخ سرعت لایه‌ای ایجاد می‌شود. گستره‌ای از حرکت نسبی وجود دارد که جریان آن ناپایدار می‌شود و به ساختار سلولی جریان چنبره‌ای می‌انجامد که روی جریان چرخان برهم نهیده شده است.

به‌طور کلی در تحلیل پایداری، برای خطی شدن معادلات و امکان پیش‌بینی شروع ناپایداری با تعقیب رفتار بعدی موج، می‌توان آشفتگیهای سینوسی وارد شده به شاره را به‌طور دلخواه کوچک گرفت. اگر ناپایداری را پیش‌بینی کنیم، آنگاه نمی‌توان پیکربندی نهایی جریان را با روند شکل‌گیری معادلات خطی بیان کرد. بنابراین باید معادلات کاملاً غیرخطی را در نظر گرفت. در بعضی از حالتها، نظریه خطی با اختلالهای کوچک می‌تواند جریان پایدار را، در موقعی که آشفتگی زیاد به ناپایداری منجر می‌شود، پیش‌بینی کند. خوشبختانه این نوع رفتار به‌ندرت رخ می‌دهد و معمولاً نظریه خطی کفایت می‌کند.

آزمون ناپایداری با بررسی معادله پاشندگی برای موجهای حاصل از آشفتگی انجام می‌شود. موجها می‌توانند در میان شاره منتشر شوند و مقدار جزء انگاری ثابت انتشار  $k_i$  بیانگر رشد یا میرایی آشفتگی خواهد بود. رشد مشخص شده با  $k_i$  را ناپایداری فضایی می‌گویند. ناظر مستقر در مکانی ثابت نسبت به دستگاه مختصات وضعیت پایایی را در نظر دارد، اما مشاهده می‌کند که جریان در پایین دست ناپایدار می‌شود. فروپاشی

جت مایع و قطره‌ای شدن آن، و همچنین متلاطم شدن لایه مرزی لایه‌ای در پایین دست جریان موجود بر روی هوا بر مثالهایی از این نوع اند. روشن است که آزمون ناپایداری فضایی آزمون مناسبی در این نوع مثالهاست.

اما، اگر ناظر با سرعت موج  $v_p$  حرکت می‌کند (در این صورت، ناظر باید موج سوار باشد)، رشد یا تضعیف موج را نسبت به زمان در این مکان می‌توانست ببیند. برای بیان رفتار جریان در پایین دست به بررسیهای فضایی نیاز نیست. با گذشت زمان، موج سوار پیش می‌رود و سرانجام تمام مکانهای فضایی را مشاهده می‌کند، اما او فقط باید تغییرات زمانی را در نظر بگیرد. بیان ناپایداری‌ای که فقط تغییرات زمانی را در نظر می‌گیرد، به عنوان تحلیل ناپایداری زمانی شناخته می‌شود. در این تحلیل  $\omega$  می‌تواند مختلط باشد، اما  $k$  را حقیقی فرض می‌کنند. جزء انگاری  $\omega$  رشد با فروافت را نشان می‌دهد.

از نظر فیزیکی، ناپایداری فضایی و ناپایداری زمانی بیانگر پدیده‌های یکسان اند، و اگر تحلیل به دقت انجام شود نتیجه‌ها یکسان خواهد بود. اما، برای شاره متحرک، می‌توان مطمئن بود که تحلیل زمانی، فقط در صورتی که دستگاه مختصات با سرعت موج حرکت کند (که ممکن است از قبل معلوم باشد یا نباشد)، نتیجه‌های درستی به دست می‌دهد.

در کلی‌ترین حالت تحلیل پایداری، هر دو پارامتر  $\omega$  و  $k$ ، با امکان رشد در زمان و مکان (نسبت به هر چارچوب مرجع) می‌توانند مختلط باشند.  $\omega$  می‌تواند مختلط باشد که نمایانگر نوسانهای رشدیابنده یا میراست، یا ممکن است کاملاً انگاری باشد، که نمایانگر رشد یا فروافت انفجاری خواهد بود. وانگهی، آشفتگیها می‌توانند در تمام پارامترهای مربوط و مؤلفه‌های سرعت رخ دهند و موجها می‌توانند در هر جهت دلخواهی منتشر شوند. معمولاً در موقعیتهای فیزیکی ساده‌سازی فراوانی در این ارتباط انجام می‌شود، اما باید در بررسی نتیجه‌ها دقت کافی به کار برد.

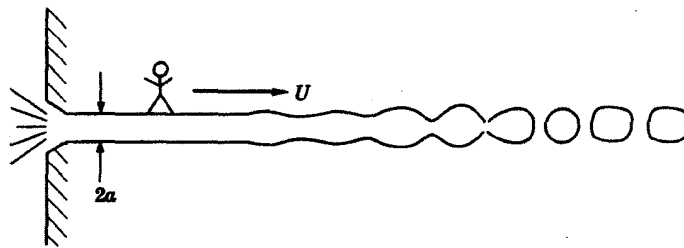
دو نوع ناپایداری وجود دارد: همرفت و مطلق. این دو نوع ناپایداری به رفتار فیزیکی، و نه روش تحلیل، مربوط می‌شوند. ناپایداری همرفت وقتی رخ می‌دهد که آشفتگی‌ای وارد شاره می‌شود و با انتشار موج در پایین دست جریان، افزایش می‌یابد. تصویر کلی نسبت به زمان ثابت می‌ماند. فروپاشی جت مایع از این نوع است. ناپایداری مطلق وقتی رخ می‌دهد که حوزه کلی شاره سرانجام ناپایدار می‌شود و با گذشت زمان میدان کلی شاره دستخوش تغییر خواهد شد. مسئله استوانه چرخان که قبلاً اشاره شد، از این نوع است. اگر هر دو پارامتر  $\omega$  و  $k$  را مختلط فرض کنیم، هر دو نوع ناپایداری را، بدون پیش فرض حضور هر یک، می‌توان پیش‌بینی کرد. وانگهی، در آشفتگیهای جزئی، با اختیاری بودن  $\omega$ ، هر نوع تپ یا ورودی تناوبی را می‌توان در نظر گرفت.

استفاده از تحلیل زمانی به جای تحلیل فضایی صرفاً در مقوله پایداری توصیه می‌شود، زیرا معمولاً به معادله پاشندگی بسیار ساده‌تری منجر می‌شود. دستگاه مختصات را می‌توان طوری انتخاب کرد که تحلیل زمانی دست کم نتیجه‌های تقریبی به بار آورد، اما اگر و تنها اگر دستگاه مختصات با سرعت موج حرکت کند، نتیجه‌ها کاملاً دقیق خواهد بود. به عنوان مثال، تحلیل کلاسیکی جت مایع با اتصال دستگاه مختصات به جت متحرک انجام می‌شود. روشن نیست که سرعت موج با سرعت جت مایع یکسان است؛ موجها نسبت به سرعت میانگین جت در امتداد سطح مایع منتشر می‌شوند. در تحلیل کلاسیکی ریلی در بخش بعد از تحلیل زمانی صرف استفاده شده است و موجهای سطح را به صورت موجهای ساکن موجود بر روی جت فرض کرده‌اند. خطاهای ناشی از این فرض کوچک‌اند، زیرا پیش‌بینیهای نظریه تطبیق شگفت‌آوری با نتیجه‌های تجربی دارند.

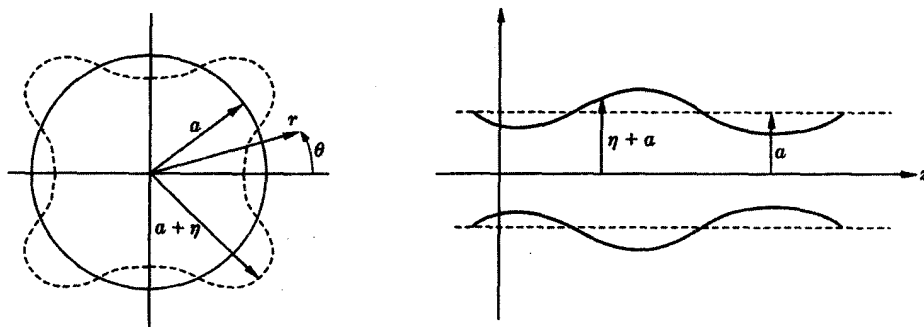
## ۱۲-۱۳ پایداری جت مایع

جت نازک مایع به شعاع  $a$  و سرعت  $U$  را در شکل ۱۳-۱۳ نشان داده‌ایم. نیروی بازگرداننده وارد بر موجهای سطحی ناشی از کشش سطحی است. هر جت مایعی به صورت قطره قطره فرومی‌باشد. آشفتگیهای موجود روی سطح، که همیشه وجود دارند، رشد می‌کنند و سرانجام از جت جدا می‌شوند و به شکل قطره درمی‌آیند. اندازه این قطره‌ها توزیعی دارد که متوسط آن با نظریه پیش‌بینی می‌شود.

با پیروی از تحلیل اولیه ریلی، چارچوب مرجع را متصل به مایع متحرک انتخاب، و فرض می‌کنیم که آشفتگیها موجهایی ساکن با عدد موج  $k$  و بسامد  $\omega$  هستند. معیار ناپایداری این است که جزء انگاری  $\omega$  منفی است (با فرض اینکه تابع موج به شکل  $e^{i\omega t}$  است).  $\omega$  را انگاری و منفی برای  $k$ های کمتر از مقدار بحرانی در نظر می‌گیریم (که نمایانگر رشد زمانی موج است)، یعنی طول موج بزرگتر از مقدار بحرانی است که محیط جت  $2\pi a$  را نتیجه می‌دهد. گران روی اثر ناچیزی روی مقدار بحرانی دارد و منظور نمی‌شود.



شکل ۱۳-۱۳ فروپاشی جت مایع. ناظر با سرعت  $U$  همراه با جت حرکت می‌کند.



شکل ۱۴-۱۳ جت اختلال یافته. دستگاه مختصات متصل به جت متحرک است.

این جریان غیرچرخشی است و می‌توان تابع پتانسیل سرعت  $\phi$  را در نظر گرفت. از دستگاه مختصات  $r, \theta$  و  $z$  همچون شکل ۱۳-۱۴ استفاده می‌شود. سطح جت را در  $r = a + \eta$  در نظر می‌گیرند و فرض می‌کنند که  $\eta$  برای ایجاد آشفتگیهای سه بعدی، به  $\theta$  و  $z$  بستگی دارد. همان انحراف سطح از استوانه دایره‌ای به شعاع  $a$  است، که در مقایسه با  $a$  کوچک فرض می‌شود ( $\eta \ll a$ ) و  $\eta = \eta(\theta, z)$ . جمله  $n$ ام مؤلفه فوریه را برحسب  $\theta$  در نظر نمی‌گیریم.  $k$  حقیقی است و موجی ساکن در  $z$  داریم

$$\eta = \eta^* e^{i\omega t} \cos(n\theta) \cos(kz) \quad (۴۰-۱۳)$$

$$\eta^* = \eta_0$$

در اینجا، پتانسیل سرعت  $\phi$  را برای سرعت اختلال نسبت به جت متحرک وارد می‌کنیم. از فصل ۶ می‌دانیم که پتانسیل سرعت در معادله لاپلاس صدق می‌کند (هرچند حرکت مایع زمان-ورداست).

$$\nabla^2 \phi = 0 = \frac{\partial^2 \phi}{\partial r^2} + \frac{1}{r} \frac{\partial \phi}{\partial r} + \frac{1}{r^2} \frac{\partial^2 \phi}{\partial \theta^2} + \frac{\partial^2 \phi}{\partial z^2} \quad (۴۱-۱۳)$$

با شرط مرزی

$$-\frac{\partial \phi}{\partial r} \Big|_{r=a} = \frac{\partial \eta}{\partial t} \Big|_{r=a} = v_r \Big|_{r=a} \quad (۴۲-۱۳)$$

این شرط تا مرتبه یک در  $r = a$  در جای  $r = a + \eta$ ، محاسبه شده است. جواب معادله (۴۱-۱۳) به صورت زیر است

$$\phi = \Phi(r) \cos(r\theta) \cos(kz)$$

در نتیجه، داریم

$$\frac{d^2 \Phi}{dr^2} + \frac{1}{r} \frac{d\Phi}{dr} - \left( \frac{n^2}{r^2} + k^2 \right) \Phi = 0 \quad (۴۳-۱۳)$$

جواب معادله (۴۳-۱۳) عبارت است از  $I_n(kr)$ ، که تابع اصلاح شده بسل از مرتبه  $n$  است

$$\Phi(r) = \text{const.} I_n(kr)$$

با استفاده از شرط مرزی (۴۲-۱۳) مقدار ثابت تعیین می شود، بنابراین،

$$\phi = -i\eta_0 \omega e^{i\omega t} \cdot \frac{I_n(kr)}{kI'_n(ka)} \cos(n\theta) \cos(kz) \quad (44-13)$$

اکنون،  $k$  و  $\omega$  را باید با معادله پاشندگی به هم مرتبط ساخت. نیروهای کشش سطحی باید با اختلاف فشار موجود در عرض سطح مایع خشتی شود. این اختلاف فشار  $\Delta p$  از رابطه زیر به دست می آید

$$\Delta p = T \left( \frac{1}{R_1} + \frac{1}{R_2} \right)$$

که  $T$  کشش سطحی و  $R_1$  و  $R_2$  به ترتیب شعاعهای خمیدگی درونی در صفحه  $r-\theta$  و صفحه  $r-z$  هستند. برای انحراف کوچک از شکل استوانه دایره ای شعاعهای خمیدگی عبارت اند از

$$\begin{aligned} \frac{1}{R_2} &= -\frac{\partial^2 \eta}{\partial z^2} \\ \frac{1}{R_1} &= \frac{1}{a+\eta} \left( 1 - \frac{\partial^2 \eta}{\partial \theta^2} \right) \approx \frac{1}{a} - \frac{1}{a^2} \left( \eta + \frac{\partial^2 \eta}{\partial \theta^2} \right) \end{aligned} \quad (45-13)$$

معادله ناپایای برنولی (۶-۹)، با نادیده گرفتن جمله سرعت که از مرتبه دو است، عبارت است از

$$-\frac{\partial \phi}{\partial t} + \frac{p}{\rho} = \text{const.} \quad (46-13)$$

فشار درونی سطح جت اختلال نیافته بیش از فشار جو است و این اختلاف از  $T/a$  به دست می آید. وقتی در جت اختلال ایجاد می شود، تغییر فشار نسبت به مقدار حالت پایا عبارت است از

$$\Delta p = T \left[ -\frac{1}{a^2} \left( \eta + \frac{\partial^2 \eta}{\partial \theta^2} \right) - \frac{\partial^2 \eta}{\partial z^2} \right] = \rho \frac{\partial \phi}{\partial t} \Big|_{r=a} \quad (47-13)$$

با نشان دادن  $(\partial \phi / \partial t)|_{r=a}$  از معادله (۴۴-۱۳) و  $\eta$  از معادله (۴۰-۱۳) رابطه زیر نتیجه می شود

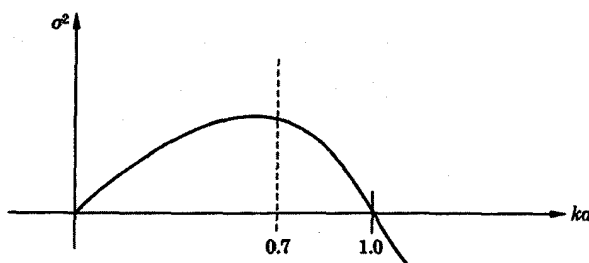
$$\omega^2 = -\frac{T}{\rho a^2} (1 - n^2 - k^2 a^2) \frac{KI'_n(ka)}{I_n(ka)} \quad (48-13)$$

که  $I_n$  تابع اصلاح شده بسل از مرتبه  $n$  مشتق آن نسبت به متغیر مستقل است.  $I'_n$  و  $I_n$  برای متغیرهای مستقل حقیقی همیشه مثبت اند. برای تمام مقادیر  $n \geq 1$  (مدهای نامتقارن محوری)،  $\omega^2 > 0$  به گونه ای که  $\omega$  حقیقی است و رفتار آن نوسانی، و برای تمام  $k$ ها (تمام عددهای موج یا طول موجها) پایدار است. در نتیجه، فقط مد  $n=0$  (دایره ای کامل) و بنابراین فقط برای  $ka < 1$ ، به ناپایداری منجر می شود. برای  $ka < 1$  (یعنی طول موج بزرگتر از محیط جت)  $\omega^2$  منفی و  $\omega$  انگاری است و موجها به طور نمایی رشد می کنند. فقط ریشه انگاری منفی  $\omega$  را در نظر می گیرند، زیرا سازوکار میرایی وجود ندارد و موج فقط می تواند رشد کند. مد ناپایدار ( $n=0$ ) برای  $ka < 1$  با آهنگ  $e^{\sigma t} = e^{i\omega t}$  رشد می کند، که  $\sigma$  عدد مثبت حقیقی است

$$\sigma = \left[ \frac{T}{\rho a^3} (1 - k^2 a^2) \frac{kaI'_0(ka)}{I_0(ka)} \right]^{1/2} \quad (49-13)$$

که نمایانگر تقویت انتخابی است و به  $(ka)$  با آهنگ رشد بیشینه در  $\omega^2 = (ka)$  بستگی دارد. شکل ۱۳-۱۵ نمودار تغییرات  $\sigma^2$  بر حسب  $(ka)$  را نشان می دهد تقویت جت آب برای قطر یک سانتی متر با ضریب  $1000$  در  $8$  رانه، و برای قطر یک میلی متر در  $2500$  رانه ثانیه رخ می دهد.





شکل ۱۳-۱۵ تقویت انتخابی آشفتگی دایره‌ای روی جت.

### ۱۳-۱۳ پایداری جریان بین استوانه‌های چرخان

جریان لایه‌ای پایای موجود بین دو استوانه دایره‌ای هم‌محور با دوران نسبی در شرایط خاصی ناپایدار می‌شود. این ناپایداری به جریان لایه‌ای جدید و پیچیده‌تری منجر می‌شود.

جریان لایه‌ای پایای موجود بین دو استوانه دایره‌ای بلند هم‌محور را به شعاع‌های داخلی و خارجی  $R_1$  و  $R_2$ ، که با سرعت‌های زاویه‌ای، به ترتیب،  $\omega_1$  و  $\omega_2$  همچون شکل ۱۳-۱۶ می‌چرخند، در نظر می‌گیریم.  $\omega_1$  و  $\omega_2$  ممکن است مثبت یا منفی باشند.

معادله حرکت برای جریان لایه‌ای بین استوانه‌ها عبارت است از

$$\frac{d^2 v_\theta}{dr^2} + \frac{1}{r} \frac{dv_\theta}{dr} - \frac{v_\theta}{r^2} = 0 \quad (۱۳-۵۰)$$

با شرایط مرزی

$$v_\theta = R_1 \omega_1; \quad r = R_1$$

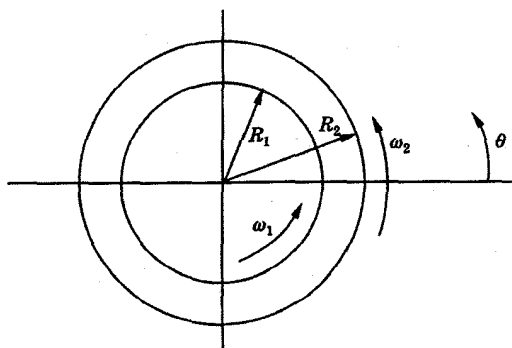
$$v_\theta = R_2 \omega_2; \quad r = R_2$$

حل معادله برای جریان پایا (از مسئله ۵-۵۶) عبارت است از

$$v_\theta = Ar + \frac{B}{r}$$

$$A = \frac{\omega_2 R_2^2 - \omega_1 R_1^2}{R_2^2 - R_1^2} \quad (۱۳-۵۱)$$

$$B = (\omega_1 - \omega_2) \frac{R_1^2 R_2^2}{R_2^2 - R_1^2}$$



شکل ۱۳-۱۶ دو استوانه دایره‌ای هم‌محور چرخان حاوی شاره گران‌رو.

برای لحظه‌ای شارۀ چرخانی را، نه الزاماً در بین استوانه‌های چرخان، در نظر بگیرید. تصور کنید که تبادل دو مقدار جزئی از شارۀ بین شعاع  $r_1$  و شعاع  $r_2$  ( $r_2 > r_1$ ) با حفظ پایداری تکانه انجام می‌گیرد. سرعت مقدار جزئی واقع در فاصله  $r_1$ ، اکنون دارای سرعت  $r_1 v_{\theta_1} / r_2$  است. گرادیان فشار موضعی در  $r_2$  از رابطه زیر به دست می‌آید

$$\left(\frac{dp}{dr}\right)_{r_2} = \frac{\rho v_{\theta_2}^2}{r_2}$$

این مقدار جزئی که اکنون در مکان  $r_2$  قرار دارد، اگر گرادیان فشار بیشتر از مقدار لازم برای خنثی کردن نیروی مرکزگرا باشد، به مکان قبلی خود در  $r_1$  برمی‌گردد (و شارۀ پایدار است). یعنی اگر،

$$\left(\frac{dp}{dr}\right)_{r_2} > \frac{\rho}{r_2} \left(\frac{r_1 v_{\theta_1}}{r_2}\right)^2 \quad (52-13)$$

اما

$$\frac{v_{\theta_2}^2}{r_2} > \frac{1}{r_2} \left(\frac{r_1 v_{\theta_1}}{r_2}\right)^2$$

در نتیجه، معیار پایداری در شارۀ چرخان عبارت است از

$$(r_2 v_{\theta_2})^2 > (r_1 v_{\theta_1})^2 \quad (53-13)$$

بهتر است که گردش واحدی را به صورت  $C = v_{\theta} r$  برای شارۀ تعریف کنیم، و بنابراین بر حسب  $C$  شارۀ چرخان ناپایدار خواهد بود اگر

$$\frac{d|C|}{dr} < 0 \quad (54-13)$$

با استفاده از این معیار برای استوانه‌های چرخان، داریم

$$\begin{aligned} C &= Ar^2 + B \\ \frac{dC}{dr} &= 2Ar \end{aligned} \quad (55-13)$$

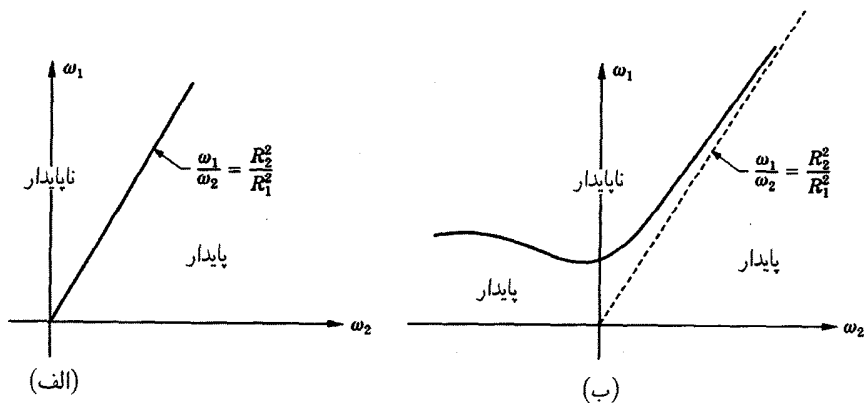
به طور اختیاری فرض می‌کنیم که در  $R_1$ ،  $\omega_1 > 0$  و  $C > 0$ ، اکنون  $\omega_2$  ممکن است مثبت یا منفی باشد (استوانه‌ها ممکن است هم جهت یا در خلاف جهت هم بچرخند). معیار پایداری عبارت است از

$$\begin{aligned} \text{پایدار: } \frac{dC}{dr} &> 0; & \omega_2 R_2^2 &> \omega_1 R_1^2 \\ \text{ناپایدار: } \frac{dC}{dr} &< 0; & \omega_2 R_1^2 &< \omega_1 R_1^2 \end{aligned} \quad (56-13)$$

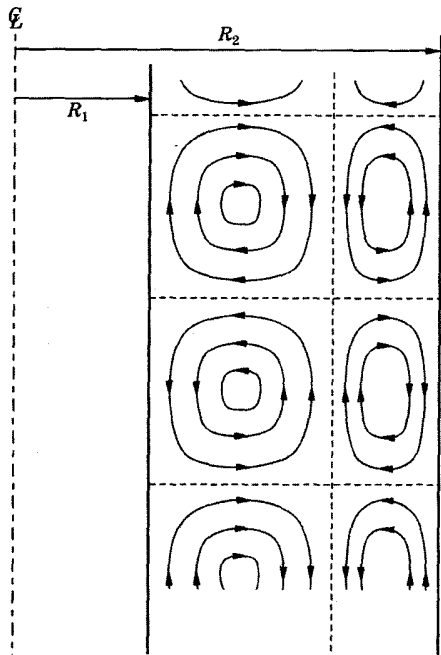
این نتیجه را، که نخست توسط ریلی به دست آمد، در شکل ۱۳-۱۷ (الف) به صورت نموداری نشان داده‌ایم.  $\omega_2$  منفی نشان می‌دهد که استوانه‌ها در خلاف جهت هم می‌چرخند.

محاسبات پایداری دقیقتر را جی. آی. تاپلور (۱۹۲۳) انجام داد. او فرض کرد که آشفتگیهای موج‌گونه متقارن محوری در تمام مؤلفه‌های سرعت وجود دارند. نتیجه‌های او را در شکل ۱۳-۱۷ (ب) نشان داده‌ایم و می‌بینیم که ناحیه پایداری برای  $\omega_2 < 0$  در  $\omega_1$ های کم وجود دارد. پس از آغاز ناپایداری، جریان پیکربندی پایای دیگری پیدا می‌کند که به مقدار  $\omega_1 / \omega_2$  بستگی دارد. اگر  $\omega_1 / \omega_2 > 0$  (یعنی استوانه‌ها در جهت یکسان بچرخند) جریان به مجموعه سلولهای چنبره‌ای با گردش در صفحه  $r-z$  تبدیل می‌شود که با سرعت دورانی  $v_{\theta}$  برهم نهاده شده است. (شکل ۱۳-۱۸).

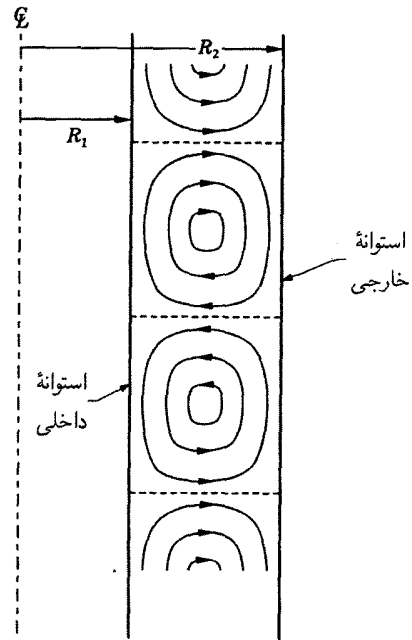
اگر  $\omega_1 / \omega_2 < 0$ ، طرح جریان پس از برقرار شدن پیچیده‌تر می‌شود و سلولهای چنبره‌ای دوتایی به وجود می‌آید. چنین طرحی را برای  $\omega_1 / \omega_2 = -1.5$  در شکل ۱۳-۱۹ نشان داده‌ایم.



شکل ۱۳-۱۷ نمودار پایداری جریان لایه‌ای بین دو استوانه. (الف) حل ریلی، (ب) تحلیل دقیقتر تیلور.



شکل ۱۳-۱۹ سلولهای چنبره‌ای برای  $\omega_1/\omega_2 = -1.5$  پس از بروز ناپایداری ° استوانه‌ها در خلاف جهت هم می‌چرخند.

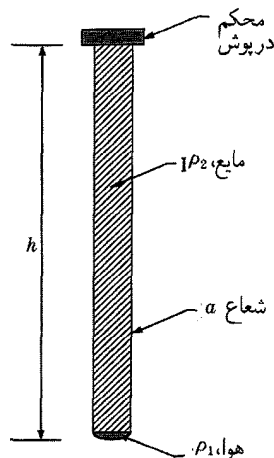


شکل ۱۳-۱۸ مقطع عمودی استوانه که نمایانگر سلولهای چنبره‌ای برای  $\omega_1/\omega_2 > 0$  پس از بروز ناپایداری است. این طرح روی چرخش برهم نهاده شده است.

### ۱۳-۱۴ پایداری فصل مشترک بین شاره‌ها

مرزهای فصل مشترکی بین شاره‌های مختلف ممکن است در شرایط مختلف ناپایدار شوند، که به کاربردهای مهمی منجر می‌شود. اگر شاره‌ها ساکن باشند و شاره سنگین‌تر روی شاره سبک‌تر قرار گیرد؛ ناپایداری به وجود می‌آید. سپس، پیکربندی شاره‌ها، با قرار گرفتن شاره سنگین‌تر در زیر، پایدار می‌شود. شاره‌ها ممکن است به صورت مایعات اختلاط‌ناپذیر یا گازهایی با چگالیهای متفاوت باشند که همزمان دگرگون و پخش می‌شوند. وقتی دو شاره، که به وسیله فصل مشترک از هم جدا شده‌اند، حرکت نسبی دارند و یا خود فصل مشترک حرکت می‌کند، دو نوع ناپایداری کلی ایجاد می‌شود: (۱) ناپایداری کلین-هلمهولتز و (۲) ناپایداری ریلی-تیلور.

ناپایداری کلین-هلمهولتز وقتی رخ می‌دهد که دو مایع متفاوت یا گاز و مایع دارای حرکت نسبی موازی با فصل مشترک دو شاره باشند. در بیشتر مسائل موردنظر، فصل مشترک افقی است، اما لازم نیست این‌طور باشد. موجهای ناشی از نیروهای برشی در فصل مشترک به وجود می‌آیند



شکل ۱۳-۲۰ لوله حاوی مایع با چگالی  $\rho_2$  در تعادل استاتیکی. فصل مشترک سطح خمیده‌ای را تشکیل می‌دهد که با کشش سطحی تعیین می‌شود.

و، اگر سرعت نسبی از مقدار بحرانی بیشتر شود، ناپایدار خواهند شد. موجهای سپید نوک اقیانوس نمونه‌ای از ناپایداری موجهای گرانشی سطحی ناشی از وزش باد است.

وقتی نیروهای برشی وجود نداشته یا اهمیت چندانی نداشته باشند، آشفتگیهای فصل مشترک و متعامد به ناپایداری ریلی-تیلور منجر می‌شود. فروپاشی جت مایع از همین نوع ناپایداری است. مثال دیگر، ناپایداری شتاب فصل مشترک است. اگر سیستم مایعات لایه‌ای را عمود بر فصل مشترک در جهت مایع سنگین‌تر شتاب دهیم، به ناپایداری می‌انجامد. اگر فصل مشترک افقی و مایع سنگین‌تر در زیر قرار داشته باشد، با شتاب‌دهی رو به پایین به مقداری بیشتر از شتاب سقوط آزاد  $g$ ، ناپایداری رخ می‌دهد.

مثال دیگر ناپایداری ریلی-تیلور، فروپاشی سطح آزاد در قسمت زیرین استوانه دایره‌ای صلب قائمی است که با مایع پر شده و قسمت بالای آن مسدود است. نی نوشابه‌ای را به شعاع  $a$  که سر آن بسته شده است، یا بطری واژگون شده‌ای را که دارای گردن بلندی به شعاع  $a$  است، در نظر بگیرید. اگر نی یا بطری با مایعی به چگالی  $\rho_2$  پر شده باشد و ارتفاع قائم آن کمتر از ارتفاع هم‌ارز فشار جو باشد (یعنی،  $\rho_2 g h < p_{atm}$ )، شاره در تعادل استاتیکی خواهد بود و فشار جو بیشتر از فشار هیدروستاتیکی مایع در فصل مشترک می‌شود (شکل ۱۳-۲۰). اما، اگر قطر دهانه لوله بیشتر از مقدار بحرانی‌ای شود که به کشش سطحی مایع بستگی دارد، این فصل مشترک ناپایدار خواهد بود. اگر سطح شاره ناپایدار شود، مایع به بیرون می‌پاشد و یا غلغل می‌کند، زیرا جای آن را هوا می‌گیرد.

کشش سطحی نیروی بازگرداننده در مقابل آشفتگیهایی جزئی در سطح آزاد است که برای طول موجهای کاملاً کوچک میرا می‌شوند. اگر دهانه لوله آن قدر بزرگ باشد که طول موجها بتوانند بیشتر از مقدار بحرانی شوند، ناپایداری رخ می‌دهد و فصل مشترک گسیخته خواهد شد. در اینجا فقط نتیجه تحلیل را ارائه می‌دهیم. بیکریبندی پایدار است، اگر

$$\sigma^2 g (\rho_2 - \rho_1) < T (j'_{1,1})^2 \quad (13-57)$$

که  $a$  شعاع دهانه لوله،  $\rho_2$  چگالی مایع،  $\rho_1$  چگالی هوا یا گاز دیگر موجود در زیر فصل مشترک و  $T$  کشش سطحی فصل مشترکی است. اما  $j'_{1,1}$  اولین صفر مثبت مشتق تابع بسل  $J_1$  از مرتبه یک است. مقدار عددی این اولین صفر مثبت تقریباً  $2.4$  است. برای لوله آبی که در معرض هوا قرار گرفته است، مقدار  $T$  تقریباً  $70 \text{ dyn/cm}$  ( $70 \text{ N/m}$ )، و مقدار بحرانی  $a$  تقریباً  $5 \text{ cm}$  است.

فصل مشترک بین مایع و هوا (یا گاز دیگر) حتماً نباید در لوله باشد، بلکه در هر نقطه‌ای در بالای کف لوله یا استوانه می‌تواند قرار گیرد. شکل فصل مشترک به خیس‌کننده یا غیرخیس‌کننده بودن مایع، و همچنین به مقدار کشش سطحی بستگی دارد. اگر لوله درست تا لبه تیز خود با مایع پر شده باشد، زاویه تماس را می‌توان فقط با مقدار دقیق شاره درون لوله تعیین کرد، و هر مقداری بیشتر از حد بحرانی به آسانی بیرون می‌ریزد.

### ۱۳-۱۵ نکته‌های پایانی

در اینجا فقط به چند مثال درباره پایداری اشاره، عمدتاً مثالهایی که به تجربه روزمره مربوط می‌شود، پرداخته‌ایم. موضوع کلی از نظر ریاضی پیچیده، و یکی از جالبترین و چالش‌انگیزترین زمینه‌های پژوهشی اخیر است. نتیجه تحلیل‌های پایداری کاربردهای مهمی در بسیاری از مسائل مهندسی دارند، که دارای گستره‌ای از جریانهای ساده درون لوله تا طراحی کشتی، طراحی فضاپیما، اثرهای گرمایی و مبادله‌کنهای گرما، تحلیل و پیش‌بینی هوا، بسیاری از مسائل دیگر است.

خوانندگان علاقمند به بررسی بیشتر در این موضوع می‌توانند به مرجعهایی مراجعه کنند که توسط مؤلفان متخصص نوشته شده‌اند و کاملاً خواندنی‌اند.

### مراجع

1. Chandrasekhar, S., *Hydrodynamic and Hydromagnetic Stability*, Oxford, 1961.
2. Drazin, P. G., and Reid, W. H., *Hydrodynamic Stability*, Cambridge, 1981.
3. Lighthill, James, *Waves in Fluids*, Cambridge, 1978.
4. Lin, C. C., *The Theory of Hydrodynamic Stability*, Cambridge, 1955.
5. Morse, P. M., *Vibration and Sound*, 2nd edition, McGraw-Hill, 1948.
6. Raleigh, Lord, "On the Instability of Jets," *Proc. London Math. Soc.*, 10, p. 4, 1879.
7. Raleigh, Lord, *Theory of Sound*, (2 vols.), 2nd edition, London, Macmillan, 1896 (also Dover, 1945).
8. Sherman, F. S., *Viscous Flow*, McGraw-Hill, 1990.
9. Taylor, G. I., "Stability of a Viscous Liquid Contained Between Two Rotating Cylinders," *Phil. Trans. Roy. Soc.*, A223, p. 289, 1923.

### مسائل حل شده

۱۳-۱ نشان دهید که سرعت گروه برای موج رونده  $\partial\omega/\partial k_r$  است.

دو موج با دامنه مساوی و بسامدهای  $\omega_1$  و  $\omega_2$  را که بسیار نزدیک هم‌اند، در نظر بگیرید. می‌توان نوشت که  $\omega_0 = (\omega_1 + \omega_2)/2$ . اکنون فرض می‌کنیم که  $k$  عددی حقیقی است. جمع موجها به صورت زیر است

$$e^{i(\omega_1 t - k_1 x)} + e^{i(\omega_2 t - k_2 x)}$$

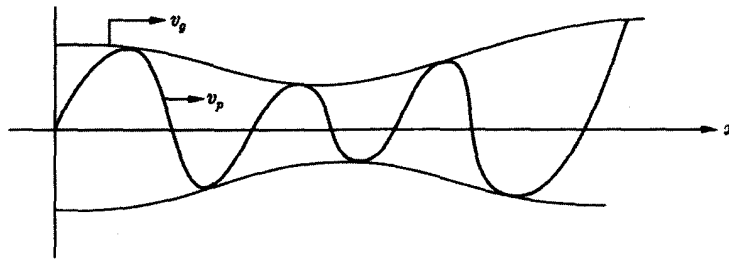
با استفاده از رابطه‌های مثلثاتی زیر

$$\begin{aligned} \cos A + \cos B &= 2 \cos \frac{A+B}{2} \cdot \cos \frac{A-B}{2} \\ \sin A + \sin B &= 2 \sin \frac{A+B}{2} \cdot \cos \frac{A-B}{2} \end{aligned}$$

جمع این دو موج را می‌توان به صورت زیر بیان کرد

$$2 e^{i\{[(\omega_1 + \omega_2)/2]t - [(k_1 + k_2)/2]x\}} \cdot \cos \left[ \frac{(\omega_1 - \omega_2)t}{2} - \frac{(k_1 - k_2)x}{2} \right]$$

این رابطه، موجی با بسامد  $\omega_0$  و سرعت فاز  $\omega_0/k_0$  را نشان می‌دهد که از میان موجی پوشی با بسامد  $(\omega_1 - \omega_2)/2$  حرکت می‌کند و با سرعت گروه  $\Delta\omega/\Delta k$  منتشر می‌شود. در حالت حدی،  $\Delta\omega$  و بنابراین  $\Delta\omega/\Delta k$  کوچک به صورت  $\partial\omega/\partial k|_{\omega_0}$  درمی‌آید که سرعت گروه  $v_g$  است. اگر



شکل ۱۳-۲۱ پوش ایجاد شده توسط موج حامل در بسامد  $\omega_0 = (\omega_1 + \omega_2)/2$  با مدوله‌سازی سیگنال در بسامد  $(\omega_1 - \omega_2)/2$ . اگر پاشندگی رخ دهد،  $v_g$  معمولاً کمتر از  $v_p$  است اگر پاشندگی وجود نداشته باشد،  $v_g$  و  $v_p$  مساوی‌اند.

$\Delta\omega$  در مقایسه با  $\omega$  کوچک نباشد، در آن صورت مفهوم سرعت گروه بی‌معنی است. منحنی پوش را می‌توان به صورت مدوله‌سازی زندهای آهسته‌ای پنداشت که باعث لرزش دامنه موج حامل بسامد  $\omega_0$  می‌شود (شکل ۱۳-۲۱ را ببینید). برای طنین موسیقی  $1000\text{ Hz}$  که با طنین  $100\text{ Hz}$  دیگری برهم نهاده شده است، زنش (یا لرزش دامنه) با بسامد  $5\text{ Hz}$  ایجاد می‌شود (با تناوب ۲ ثانیه)، گام طنین در  $5\text{ Hz}$  رخ می‌دهد. این پدیده را کوک‌کننده‌های پیانو به‌کار می‌برند تا همه‌سیمهای مربوط به یک نت را تنظیم کنند.

۱۳-۲ معادله پاشندگی را برای موج صوتی تخت متحرک در هوا به‌دست آورید. هوا با سرعت  $U$  نسبت به ناظر ثابت حرکت می‌کند. هوا در جهت  $+x$  حرکت می‌کند.

معادله حرکت عبارت است از

$$\rho \frac{\partial u}{\partial t} + \rho u \frac{\partial u}{\partial x} = -\frac{\partial p}{\partial x}$$

معادله پیوستگی عبارت است از

$$\frac{\partial \rho}{\partial t} + \frac{\partial}{\partial x}(\rho u) = 0$$

و رابطه تک‌آنتروپی عبارت است از

$$P^{-\gamma} = p_0 \rho_0^{-\gamma}$$

با خطی کردن، رابطه زیر به‌دست می‌آید

$$\begin{aligned} \rho_0 \frac{\partial u'}{\partial t} + \rho_0 U_0 \frac{\partial u'}{\partial x} &= -\frac{\partial p'}{\partial x} \\ \frac{\partial \rho'}{\partial t} + \rho_0 \frac{\partial u'}{\partial x} + U_0 \frac{\partial \rho'}{\partial x} &= 0 \\ p' &= \frac{\gamma p_0 \rho'}{\rho_0} \end{aligned}$$

جوابهای موج تخت را به صورت زیر فرض می‌کنیم

$$\rho' = \rho^* e^{i(\omega t - kx)}$$

خواهیم داشت

$$i\omega \rho_0 u^* - ik\rho_0 u^* - ikp^* = 0$$

$$i\omega \rho^* - ik\rho_0 u^* - ikU_0 \rho^* = 0$$

$$p^* \rho_0 - \gamma p_0 \rho^* = 0$$

با بسط دترمینان ضریبها، معادله پاشندگی به دست می آید

$$(\omega - kU_0)^2 = \frac{k^2 \gamma p_0}{\rho_0}$$

و سرعت فاز برابر است با

$$v_p = \frac{\omega}{k} = U_0 \pm \sqrt{\frac{\gamma p_0}{\rho_0}}$$

که نشان می دهد این موج با سرعت معمولی صوت نسبت به هوای متحرک انتشار می یابد.

۱۳-۳ نشان دهید که موج صوتی کروی متقارن جواب فازور سینوسی به شکل زیر دارد

$$\frac{1}{r} e^{i(\omega t - kr)}$$

موجهای صوتی را در هوا در نظر بگیرید. معادلات حاکم عبارت اند از

$$\rho \left[ \frac{\partial v_r}{\partial t} + v_r \frac{\partial v_r}{\partial r} \right] = - \frac{\partial p}{\partial r}$$

$$\frac{\partial \rho}{\partial t} + \frac{1}{r^2} \frac{\partial}{\partial r} (\rho r^2 v_r) = 0$$

$$p \rho^{-\gamma} = p_0 \rho_0^{-\gamma}$$

پس از خطی کردن، داریم

$$\rho_0 \frac{\partial v_r'}{\partial t} = - \frac{\partial p'}{\partial r}$$

$$\frac{\partial p'}{\partial t} + \frac{p_0}{r^2} \frac{\partial}{\partial r} (r^2 v_r') = 0$$

$$p' \rho_0 = \gamma p_0 \rho'$$

با نشان دادن جوابهای فازور به شکل بالا، معادله پاشندگی به دست می آید

$$\omega^2 = - \frac{\gamma p_0}{\rho_0} \left( \frac{1}{r} - ik \right)^2$$

که  $k$  و  $v_p$  را به دست می دهد

$$k = \pm \omega \sqrt{\frac{\rho_0}{\gamma p_0}} \mp \frac{i}{r}$$

$$v_p = \frac{\omega}{k_r} = \pm \sqrt{\frac{\gamma p_0}{\rho_0}}$$

در نتیجه،  $k_i = \mp \frac{1}{r}$  بنابراین جواب به شکل زیر است

$$\frac{1}{r} e^{i(\omega t - k_r r - ik_i r)} = \frac{\text{const.}}{r} e^{i(\omega t - k_r r)}$$

زیرا  $k_i^2$  مقدار ثابتی دارد. این جواب را می‌توان با نشان دادن در معادله موج در دستگاه مختصات کروی برای هر پارامتر  $A$  اثبات کرد:

$$\nabla^2 A = \frac{1}{a^2} \frac{\partial^2 A}{\partial t^2}, \quad a = \sqrt{\frac{\gamma p_0}{\rho_0}}$$

۴-۱۳ معادله پاشندگی را برای موج صوتی تخت در هوا با در نظر گرفتن گرانروی و رسانش گرما به دست آورید. معادلات حاکم عبارت‌اند از: معادله حرکت، معادله پیوستگی، معادله حالت و معادله انرژی. رابطه تک‌آنتروپی در اینجا صادق نیست.

$$\rho \left( \frac{\partial u}{\partial t} + u \frac{\partial u}{\partial x} \right) = - \frac{\partial p}{\partial x} + \left( \zeta + \frac{4}{3} \mu \right) \frac{\partial^2 u}{\partial x^2}$$

$$\frac{\partial \rho}{\partial t} + \frac{\partial}{\partial x} (\rho u) = 0$$

$$p = \rho RT$$

$$\rho c_p \left( \frac{\partial T}{\partial t} + u \frac{\partial T}{\partial x} \right) = \frac{\partial p}{\partial t} + u \frac{\partial p}{\partial x} + \kappa \frac{\partial^2 T}{\partial x^2} + \Phi$$

در اینجا  $\zeta$  ضریب دوم گرانروی است که در بخش ۳-۴ تعریف شد،  $\kappa$  رسانندگی گرمایی و  $\Phi$  تابع اتلاف است که وقتی تابع را خطی می‌کنیم از مرتبه دو می‌شود و آن را می‌توان نادیده گرفت. با قرار دادن

$$p = p_0 + p', \rho = \rho_0 + \rho', T = T_0 + T', u = u'$$

معادلات خطی شده به صورت زیر درمی‌آیند

$$\rho_0 \frac{\partial u'}{\partial t} = - \frac{\partial p'}{\partial x} + \left( \zeta' + \frac{4}{3} \mu \right) \frac{\partial^2 u'}{\partial x^2}$$

$$\rho_0 c_p \frac{\partial T'}{\partial t} = \frac{\partial p'}{\partial t} + \kappa \frac{\partial^2 T'}{\partial x^2}$$

$$\frac{\partial \rho'}{\partial t} + \rho_0 \frac{\partial u'}{\partial x} = 0$$

$$\frac{p'}{p_0} = \frac{T'}{T_0} + \frac{\rho'}{\rho_0}$$

با فرض جوابهای فازور سینوسی، داریم

$$i \rho_0 \omega u^* - i k p^* + k^2 \left( \zeta + \frac{4}{3} \mu \right) u^* = 0$$

$$i \omega \rho^* - i k \rho_0 u^* = 0$$

$$\frac{p^*}{p_0} - \frac{T^*}{T_0} - \frac{\rho^*}{\rho_0} = 0$$

$$i \omega \rho_0 c_p T^* - i \omega p^* + k^2 \kappa T^* = 0$$

با تساوی درمیان ضریب فازورها با صفر معادله پاشندگی زیر به دست می‌آید

$$\left[ \frac{\kappa}{\rho_0 c_p} + \frac{i \omega \kappa}{p_0 \rho_0 c_p} \left( \frac{4}{3} \mu + \zeta \right) \right] k^2 - \left[ \frac{\omega^2 \kappa}{p_0 c_p} - i \omega + \frac{\omega^2}{a^2 \rho_0} \left( \frac{4}{3} \mu + \zeta \right) \right] k^2 - \frac{i \omega^2}{a^2} = 0$$



که برحسب  $k^2$ ، معادله درجه دو است.  $k$  عددی مختلط است و به تضعیف و پاشندگی منجر می شود.  $a$  سرعت معمولی صوت  $\sqrt{\gamma p_0 / \rho_0}$  است. حل صریح معادله را به عنوان تمرین به خوانندگان واگذار می کنیم.

۱۳-۵ بلندگویی را در نظر بگیرید که با موجهایی سینوسی با دامنه  $x_0 = 10^\circ \text{ mm}$  کار می کند. فرض می کنیم که سطح بلندگو تخت است. سرعت موج و دامنه فشار هوا را در صفحه بلندگو محاسبه کنید.

سرعت صفحه  $u$  یا جابجایی  $x$  را در فاز صفر در نظر می گیریم. فرض می کنیم که  $u$  در فاز صفر است و بنابراین

$$u = \Re u_0 e^{i\omega t} = u_0 \cos(\omega t)$$

و

$$x = x^* e^{i\omega t}$$

چون

$$u = \frac{dx}{dt}$$

نتیجه می شود که

$$u_0 = i\omega x^*$$

و

$$x = \frac{u_0}{\omega} \sin(\omega t) = x_0 \sin(\omega t)$$

از معادله (۱۳-۱۹) نتیجه می شود

$$p^* = a\rho_0 u_0$$

فرض می کنیم که شرایط محیط استاندارد است و  $p_0 = 101000 \text{ Pa} = 101 \text{ kPa}$ ،  $T_0 = 300 \text{ K}$ ، ثابت گازها را  $R = 287 \text{ kJ/kg.K}$  فرض می کنیم، بنابراین

$$\rho_0 = p_0 / RT_0 = \frac{101 \times 10^5}{287 \times 300} = 117 \text{ kg/m}^3$$

بدین ترتیب، سرعت صوت  $a = \sqrt{\gamma p_0 / \rho_0} = 348 \text{ m/s}$  خواهد بود.

آنگاه دامنه فشار برابر است با

$$p^* = (348) \cdot (117) \cdot (x_0 \omega) = 348 \times 117 (2\pi f x_0)$$

نتیجه را برای بسامدهای مختلف  $\omega = 2\pi f$  برحسب فشار kPa و psi در جدول زیر آورده ایم

$f(\text{Hz})$	۵۰	۱۰۰	۱۰۰۰	۱۰۰۰۰
$p^*(\text{kPa})$	۰.۱۲۸	۰.۲۵۶	۲.۵۶	۲۵.۶
$p^*(\text{psi})$	۰.۰۱۸۶	۰.۰۳۷	۰.۳۷	۳.۷

می بینیم که تغییر فشار برای این دامنه مفروض، مگر در حالتی که بسامد بزرگ می شود، ناچیز است. این تغییر فشارهای زیاد غیرواقعی هستند، زیرا تأمین توان لازم برای بلندگو عملی نیست. در بسامدهای بالا دامنه بلندگو در عمل بسیار کوچکتر از مقدار مفروض در بالاست.

۱۳-۶ در مسئله قبل، توان متوسط لازم برای کارکرد بلندگو با دامنه  $1 \text{ mm}$  را به دست آورید. آیا دامنه واقعی بلندگو در بسامدهای بالا در عمل خیلی کمتر است؟ مساحت سطح بلندگو را  $0.1 \text{ m}^2$  متر مربع بگیرید.

توان متوسط از متوسط انتگرال حاصلضرب نیروی وارد بر صفحه در سرعت روی بازه زمانی موردنظر به دست می آید. نیرو دو برابر فشار اختلال ضرب در مساحت سطح بلندگوست، زیرا قسمت عقب بلندگو در معرض رقت یا مکش است، در حالی که قسمت جلو در معرض تراکم خواهد بود، و برعکس. مقدار فشار پایای جو در جلو و عقب یکدیگر را خنثی می کنند

$$P = \frac{1}{T} \int_0^T p^*(\cos \omega t) \cdot (u_0 \cos \omega t) A dt = \text{توان متوسط}$$

که  $T$  دوره تناوب نوسان است و از رابطه  $\omega = 2\pi/T$  به دست می آید. مقدار  $P$  با توجه به  $p^* = a\rho_0 u_0$  از رابطه زیر محاسبه می شود

$$P = a\rho_0 u_0^2 A = a\rho_0 A x_0^2 \omega^2$$

نتیجه های عددی عبارت اند از

$f(z)$	۵۰	۱۰۰	۱۰۰۰
$P(W)$	۳٫۵	۱۴	۱۴۰۰

می بینیم که توان متناسب با مربع بسامد افزایش می یابد و هر بلندگوی واقعی با توان چندواتی، دامنه در بسامدهای بالا باید بسیار کم باشد. مشکل بتوان حرکت بلندگوی زیر را با چشم غیرمسلح دید، اما ارتعاش صدای بم به آسانی قابل مشاهده است.

۷-۱۳ شعاع احتمالی قطره آب پس از فروپاشی جت آبی به شعاع  $a$  چقدر است؟

با توجه به تحلیل پایداری جت مایع، طول موج آشفتگی ای که بیشترین سرعت رشد را دارد، از رابطه  $ka = 0.7$  (یعنی  $\lambda = 2\pi a / 0.7$ ) به دست می آید. حجم جت موجود در یک طول موج همزمان با رشد موج معادل مقداری است که برای تشکیل قطره از جت جدا می شود. با تساوی این حجم با حجم قطره کروی به شعاع  $r$  داریم

$$\pi a^2 \left( \frac{2\pi a}{0.7} \right) = \frac{4}{3} \pi r^3$$

که  $r = 1.9a$  را به دست می دهد. بنابراین، شعاع قطره تقریباً دو برابر شعاع جت است. این نتیجه را می توان به آسانی با مشاهده فروپاشی جت اثبات کرد. مسئله ۱۳-۱۲ را ببینید.

۸-۱۳ معادله پاشندگی را برای موجهای تخت صوتی با نادیده گرفتن اثر ضریبهای مرتبه دوم گرانروی، در شارهای گرانروی به دست آورید.

معادله ساختمندی مناسبی که فشار و چگالی را در مایع به یکدیگر مرتبط می سازد، عبارت است از

$$\frac{dp}{d\rho} = \frac{\beta}{\rho}$$

که  $\beta$  مدول حجمی است. با تقریب خوبی تغییرات دما و اثر آنها بر روی چگالی ناچیز است؛ زیرا اتلاف از مرتبه دو، و در تحلیل خطی قابل چشم پوشی است (برعکس گاز، که تراکم تک آنتروپی دما را تغییر می دهد). افزون بر معادله ساختمندی، معادله حرکت و معادله پیوستگی را می نویسیم

$$\rho \left( \frac{\partial u}{\partial t} + u \frac{\partial u}{\partial x} \right) = -\frac{\partial p}{\partial x} + \mu \frac{\partial^2 u}{\partial x^2}$$

$$\frac{\partial \rho}{\partial t} + \frac{\partial}{\partial x}(\rho u) = 0$$

پس از خطی کردن و نشان دادن جوابهای فازور، داریم

$$p^* - \frac{\beta}{\rho_0} \rho^* = 0$$

$$i\omega \rho^* - ik\rho_0 u^* = 0$$

$$i\omega \rho_0 u^* - ikp^* + k^2 \mu u^* = 0$$

با تساوی دترمینان ضریبهای فازور با صفر از طریق قاعده کرامر، معادله پاشندگی به صورت زیر به دست می آید

$$\omega(k^2 \mu + i\omega \rho_0) - i\beta k^2 = 0$$

که در حالت حدی گران روی صفر، به صورت زیر درمی آید

$$k^2 = \frac{\omega^2 \rho_0}{\beta}$$

و

$$v_p = \pm \sqrt{\beta/\rho_0}$$

که  $\sqrt{\beta/\rho_0}$  سرعت موج صوتی در مایع است.

حل معادله برای  $k^2$  عبارت است از

$$k^2 = \frac{\omega^2 \rho_0}{[\beta + i\omega \mu]}$$

که  $k$  از رابطه زیر به دست می آید

$$k = \pm \sqrt{\frac{\omega^2 \rho_0}{\beta^2 + \omega^2 \mu^2}} \cdot \sqrt{\beta - i\omega \mu}$$

و می توان آن را به دو جزء حقیقی و انگاری تقسیم کرد

$$k_r = \pm \frac{\sqrt{\omega^2 \rho_0}}{[\beta^2 + \omega^2 \mu^2]^{1/4}} \cdot \cos\left(\frac{\theta}{2}\right)$$

$$k_i = \mp \frac{\sqrt{\omega^2 \rho_0}}{[\beta^2 + \omega^2 \mu^2]^{1/4}} \cdot \sin\left(\frac{\theta}{2}\right)$$

$$\theta = \tan^{-1}\left(\frac{\omega \mu}{\beta}\right)$$

با استفاده از فرمول نیم زاویه،  $k_r$  و  $k_i$  را به صورت زیر می توان بیان کرد

$$k_r = \pm \sqrt{\frac{\omega^2 \rho_0}{2}} \left[ \frac{\sqrt{\beta^2 + \omega^2 \mu^2} + \beta}{\beta^2 + \omega^2 \mu^2} \right]^{1/2}$$

$$k_i = \mp \sqrt{\frac{\omega^2 \rho_0}{2}} \left[ \frac{\sqrt{\beta^2 + \omega^2 \mu^2} - \beta}{\beta^2 + \omega^2 \mu^2} \right]^{1/2}$$

علامت مثبت  $k_r$  و علامت منفی متناظر برای  $k_i$  بیانگر موج تضعیف شونده‌ای است که در جهت مثبت  $x$  حرکت می‌کند. در حد، وقتی  $\mu = 0$ ، سرعت معمولی صوت  $\sqrt{\beta/\rho_0}$  به دست می‌آید. با در نظر گرفتن گرانروی درمی‌یابیم که  $\omega/k_r$  تابع  $\omega$  است. برای بحث بیشتر درباره تأثیر گرانروی بر روی سرعت صوت مسئله ۱۳-۱۵ را ببینید.

مقدارهای  $\beta$  و  $\mu$  برای آب به گونه‌ای است که اثرهای تضعیف را، بجز در فاصله‌های دور، می‌توان نادیده گرفت. اما، اگر ضریب دوم گرانروی تحلیل منظور شود، می‌توان دید که در واقع میزان تضعیف قدری بیشتر از مقدار پیش‌بینی شده به وسیله معادلات قبلی است. ضریب دوم گرانروی به بسامد بستگی دارد و به سادگی نمی‌توان نتیجه‌های قبل را برای بیان تأثیر آن اصلاح کرد.

## مسائل تکمیلی

۱۳-۹ رابطه‌های مستقیم  $k_r$  و  $k_i$  را برای موجهای صوتی در گاز گرانرو به دست آورید. چگونه تضعیف بر حسب بسامد تغییر می‌کند؟ آیا این نتیجه علت استفاده از صدای کم بسامد را در شیور احتیاط (بوق مه) توضیح می‌دهد؟

۱۳-۱۰ نمودار دامنه جهش صدای بلندگو را برای بلندگوی مسئله‌های ۱۳-۵ و ۱۳-۶ بر حسب بسامد برای توان ورودی ثابت رسم کنید. این کار را برای توان ۱ وات و  $5^\circ$  وات انجام دهید. فرض کنید که این بلندگو مخروطی به قطر ۶ اینچ است. بلندگویی واقعی را مشاهده کنید. آیا می‌توان دید که مخروط بلندگو حرکت می‌کند؟ در خصوص بلندگوی بم در بسامد خیلی پایین چگونه؟

۱۳-۱۱ مسئله فروپاشی جت مایع را با استفاده از معیار پایداری فضایی و مختلط بودن  $k$  و حقیقی بودن  $\omega$  در چارچوب مرجع متصل به شیوره نشان دهید (ولی حل نکنید).

۱۳-۱۲ آزمایشهای ساده زیر را انجام دهید.

(الف) آب بطری را به آهستگی خالی کنید، یا شیر آب را طوری باز کنید که جریان آب لایه‌ای باشد. تشکیل موجک را بر روی سطح در پایین دست جریان و فروپاشی جت آب و قطره‌ای شدن آن را مشاهده کنید. (ب) بطری‌ای را تا نیمه با آب پر کنید، سپس بقیه بطری را با روغن آشپزی یا روغن موتور پر کنید. صبر کنید تا مایع به حالت سکون برسد. در بطری را ببندید و بلافاصله آن را وارونه کنید. با عبور ذرات روغن از درون آب، پس از مدتی دوباره آب در زیر و روغن در بالا قرار می‌گیرد. (ج) سنگ ریزه‌ای را به درون استخر آب ساکنی پرتاب کنید. به چینه‌های دایره‌ای تشکیل شده توجه کنید. آیا می‌توانید آثار پاشندگی را ببینید؟ (د) اگر فرصت بازدید از ساحل دریا را یافتید، توجه کنید که موجهای دریا می‌خواهند خود را با لبه ساحل همراستا کنند. وقتی باد شدید است، موجهای سپید نوک روی دریا را مشاهده کنید.

۱۳-۱۳ با استفاده از نتیجه‌های مسئله ۱۳-۸ اثرهای گرانروی را روی سرعت صوت، پاشندگی و تضعیف تعیین کنید. سعی کنید با قرار دادن چند عدد حقیقی اهمیت اثرهای گرانروی را بررسی کنید. سرعت صوت و ضریب تضعیف  $k_i$  را برای آب در بسامد کم  $10^4$  هرتز و بسامد زیاد  $10^4$  هرتز به دست آورید. نتیجه محاسبات را بیان کنید. چه فاصله‌هایی لازم است تا اثرهای تضعیف مشاهده شود؟ آیا این نتیجه‌ها اطلاعاتی درباره اطلاع‌رسانی نهنگها در فاصله‌های دور به شما می‌دهد؟

البته در دنیا واقعی، موجهای تولید شده توسط مبدل در آب به صورت استوانه‌ای، کروی یا به شکلی پیچیده‌تر است، بنابراین چگالی انرژی حتی بدون عامل تضعیف کاهش می‌یابد. موجهای کروی در فضا به صورت سینوسی ظاهر می‌شوند و دامنه آنها بر حسب  $1/r$  کاهش می‌یابد. موجهای استوانه‌ای در تغییرات فضایی تابع بسل هستند، اما در دوردست رفتار سینوسی دارند. وانگهی، ضریب دوم گرانروی بر حسب اثرهای گرانروی افزایش می‌یابد.

۱۳-۱۴ مثال بارز ناپایداری شدید ریلی-تایلور را می‌توانید به صورت زیر مشاهده کنید. فنجان پلی‌استیرنی قهوه را تقریباً با قهوه یا آب پر کنید (البته نه کاملاً پر). (قهوه با شیر نتیجه بهتری دارد). فنجان پلی‌استیرنی را روی سطح تخت سختی، ترجیحاً میز فورمیکا یا پیش‌خوان قرار دهید.

در حالی که فنجان بی حرکت روی میز قرار دارد، وسط آن را بین انگشتان شست و اشاره نگه دارید. سعی کنید هیچ‌گونه نیروی عمودی به فنجان وارد نشود. فنجان را به آرامی و نرمی روی میز بلغزانید. در سرعتی خاص، چینهایی روی سطح قهوه ظاهر می‌شوند که رشد می‌کنند و به شکل میخ در می‌آیند و سرانجام از سطح قهوه جدا می‌شوند و به صورت قطره به هوا می‌روند. فنجان در حین حرکت بر روی میز تق‌تق می‌کند. اگر توانستید موجها را برانگیخته کنید، سرعت را تغییر دهید و سعی کنید فنجان را به آرامی نگه‌دارید. همچنین، باید از فنجان پلی‌استیرنی استفاده کنید، نه فنجان کاغذی یا پلاستیکی. آیا می‌توانید توضیح دهید چه مشاهده کرده‌اید؟

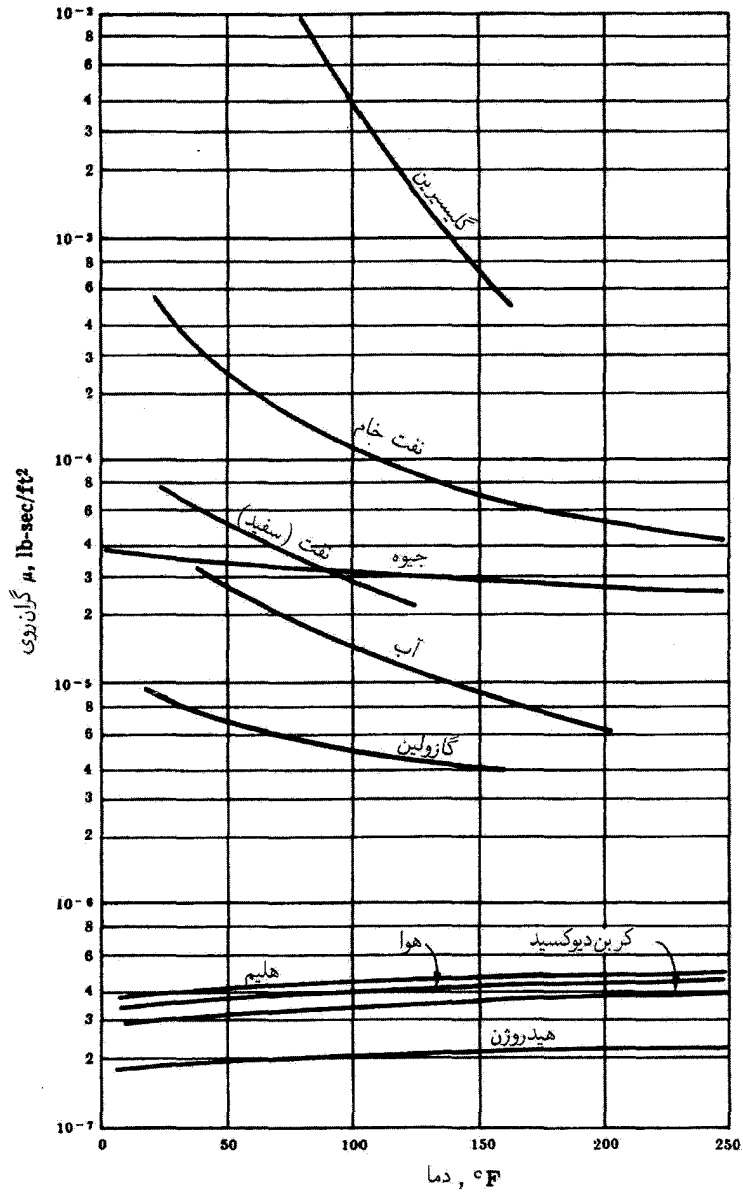
### نمادگذاریهای فصل ۱۳

$a$	=	سرعت صوت، شعاع
$c_p$	=	گرمای ویژه در فشار ثابت
$c_v$	=	گرمای ویژه در حجم ثابت
$f$	=	بسامد در دور بر ثانیه، هرتز (Hz)
$g$	=	شتاب ناشی از گرانش
$h$	=	ارتفاع شاره
$i$	=	$\sqrt{-1}$
$k$	=	ثابت انتشار، عدد موج
$k_r$	=	جزء حقیقی ثابت انتشار (عدد موج)
$k_i$	=	جزء انگاری ثابت انتشار (ثابت تضعیف)
$p$	=	فشار
$P$	=	توان
$r$	=	مختصه شعاعی، شعاع
$R$	=	ثابت گاز، شعاع
$\mathcal{R}$	=	جزء حقیقی
$T$	=	دوره تناوب، دما، کشش سطحی
$t$	=	زمان
$u$	=	سرعت در جهت $x$
$v_r$	=	سرعت در جهت $r$ در مختصات استوانه‌ای و کروی
$v_\theta$	=	سرعت در جهت افقی در مختصات استوانه‌ای و کروی
$v_p$	=	سرعت فاز
$v_g$	=	سرعت گروه
$\beta$	=	مدول کپه‌ای
$\gamma$	=	نسبت گرماهای ویژه
$\zeta$	=	ضریب گران روی دوم
$\eta$	=	انحراف از شکل دایره‌ای
$\kappa$	=	رسانندگی گرمایی
$\lambda$	=	طول موج
$\mu$	=	گران روی
$\nu$	=	گران روی جنبشی
$\rho$	=	چگالی

$\sigma$	=	ثابت رشد
$\phi$	=	پتانسیل سرعت
$\varphi$	=	زاویه فاز
$\Phi$	=	تابع اتلاف، تابع $r$ در معادله دیفرانسیلی جزئی
$\omega$	=	بسامد زاویه‌ای، شعاع در ثانیه
$( )_0$	=	خاصیت پایا یا محیط، دامنه
$( )^*$	=	دامنه فازور
$( )_r$	=	جزء حقیقی
$( )_i$	=	جزء انگاری
$( )'$	=	کمیت اختلافی
$( )_{at}$	=	مقدار جوی

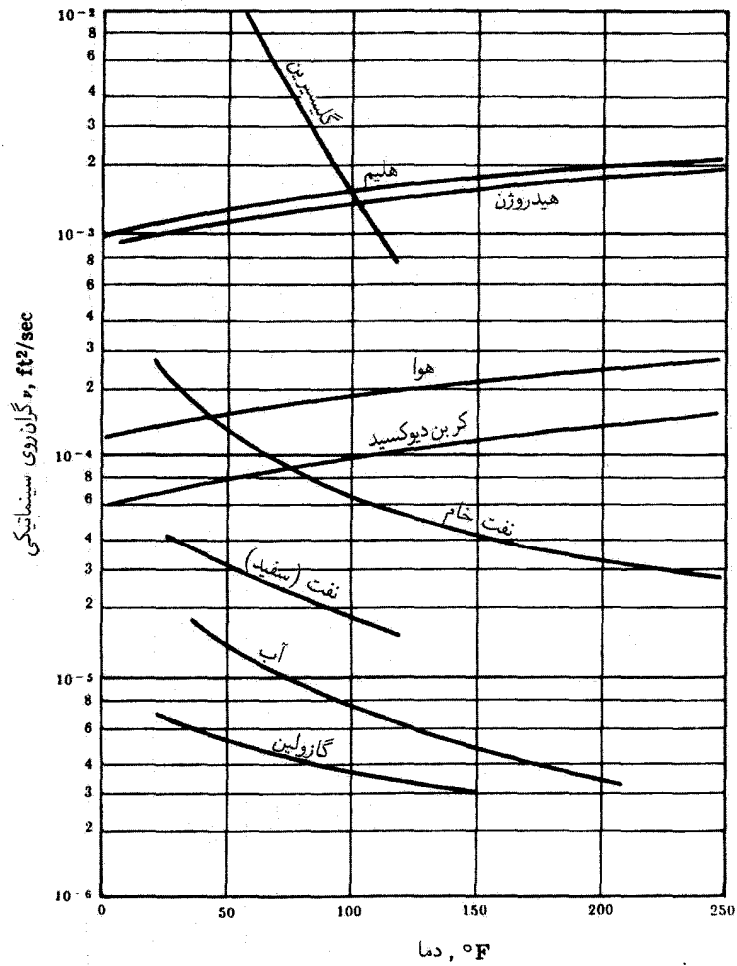
پیوست الف

بعضی از خواص شماره‌ها



شکل الف-۱ گرانروی مطلق چند شماره.





شکل الف-۲ گران روی سینماتیکی چندشاره.

جدول الفس۱ خواص آب در فشار جو

دما		چگالی				گرانروی				گرانروی سینماتیکی		
°C	°F	g/cm <sup>3</sup>	kg/m <sup>3</sup>	slugs/ft <sup>3</sup>	dyn·s/cm <sup>2</sup> (poise)	Pa·s (N·s/m <sup>2</sup> )	lb <sub>f</sub> ·s/ft <sup>2</sup>	cm <sup>2</sup> /s (stoke)	m <sup>2</sup> /s	ft <sup>2</sup> /s		
0	32	0.99987	999.87	1.940	$1.794 \times 10^{-2}$	$1.794 \times 10^{-3}$	$3.746 \times 10^{-5}$	$1.794 \times 10^{-2}$	$1.794 \times 10^{-6}$	$1.930 \times 10^{-5}$		
4	39	1.00000	1000.00	1.941	1.568	1.568	3.274	1.568	1.568	1.687		
5	41	0.99999	999.99	1.941	1.519	1.519	3.172	1.519	1.519	1.634		
10	50	0.99973	999.73	1.940	1.310	1.310	2.735	1.310	1.310	1.407		
15	59	0.99913	999.13	1.940	1.145	1.145	2.391	1.146	1.146	1.233		
20	68	0.998	998.00	1.937	1.009	1.009	2.107	1.011	1.011	1.088		
30	86	0.996	996.00	1.932	0.800	0.800	1.670	0.803	0.803	0.864		
40	104	0.992	992.00	1.925	0.654	0.654	1.366	0.659	0.659	0.709		
50	122	0.988	988.00	1.917	0.549	0.549	1.146	0.556	0.556	0.598		
60	140	0.983	983.00	1.907	0.470	0.470	0.981	0.478	0.478	0.514		
70	158	0.978	978.00	1.897	0.407	0.407	0.850	0.416	0.416	0.448		
80	176	0.972	972.00	1.885	0.357	0.357	0.745	0.367	0.367	0.395		
90	194	0.965	965.00	1.872	0.317	0.317	0.662	0.328	0.328	0.353		
100	212	0.958	958.00	1.858	0.284	0.284	0.593	0.296	0.296	0.318		

جدول الف-۲ خواص هوا در فشار جو

دما		چگالی				گرانروی				گرانروی سینماتیکی		
°C	°F	g/cm <sup>3</sup>	kg/m <sup>3</sup>	slugs/ft <sup>3</sup>	dyn · s/cm <sup>2</sup> (poise)	Pa · s (N · s/m <sup>2</sup> )	lb <sub>r</sub> · s/ft <sup>2</sup>	cm <sup>2</sup> /s (stoke)	m <sup>2</sup> /s	ft <sup>2</sup> /s		
0	32	1.293 × 10 <sup>-3</sup>	1.293	2.510 × 10 <sup>-3</sup>	1.709 × 10 <sup>-4</sup>	1.709 × 10 <sup>-5</sup>	3.568 × 10 <sup>-7</sup>	0.1322	1.322 × 10 <sup>-5</sup>	1.427 × 10 <sup>-4</sup>		
50	122	1.093	1.093	2.122	1.951	1.951	4.074	0.1785	1.785	1.921		
100	212	0.946	0.946	1.836	2.175	2.175	4.541	0.2299	2.299	2.474		
150	302	0.834	0.834	1.619	2.385	2.385	4.980	0.2860	2.860	3.077		
200	392	0.746	0.746	1.448	2.582	2.582	5.391	0.3461	3.461	3.724		
250	482	0.675	0.675	1.310	2.770	2.770	5.784	0.4104	4.104	4.416		
300	572	0.616	0.616	1.196	2.946	2.946	6.151	0.4782	4.782	5.145		
350	662	0.567	0.567	1.101	3.113	3.113	6.500	0.5490	5.490	5.907		
400	752	0.525	0.525	1.019	3.277	3.277	6.842	0.6246	6.246	6.721		
450	842	0.488	0.488	0.947	3.433	3.433	7.168	0.7035	7.035	7.570		
500	932	0.457	0.457	0.887	3.583	3.583	7.481	0.7840	7.840	8.436		

جدول الف-۳ خواص هوا در شرایط متعارف<sup>۱</sup>

$k$	$c_v$	$c_p$	$R$	وزن مولکولی
۱٫۴	$۰٫۱۷۱ \frac{\text{Btu}}{\text{lb}_m^\circ\text{R}}$	$۰٫۲۴۰ \frac{\text{Btu}}{\text{lb}_m^\circ\text{R}}$	$۵۳٫۳۴ \frac{\text{ft}\cdot\text{lb}_f}{\text{lb}_m^\circ\text{R}}$	۲۸٫۹۷
	$۰٫۵۵ \frac{\text{Btu}}{\text{slug}^\circ\text{R}}$	$۰٫۷۷۲ \frac{\text{Btu}}{\text{slug}^\circ\text{R}}$	$۱۷۱۶ \frac{\text{ft}\cdot\text{lb}_f}{\text{slug}^\circ\text{R}}$	
	$۰٫۷۱۶۵ \frac{\text{kJ}}{\text{kgK}}$	$۱٫۰۰۳۵ \frac{\text{kJ}}{\text{kgK}}$	$۰٫۲۸۷ \frac{\text{kJ}}{\text{kgK}}$	

۱. مقدار یکاهای SI در دمای  $۳۰۰\text{K}$  داده شده‌اند.

جدول الف-۴ خواص آب در شرایط متعارف

مدول کپه‌ای $\beta$	کشش سطحی $T$
$۲٫۰۶ \times ۱۰^{-۶} \text{kPa}$	$۷۰ \times ۱۰^{-۳} \frac{\text{N}}{\text{m}}$
$۳ \times ۱۰^{-۵} \text{psi}$	$۳٫۹۸ \times ۱۰^{-۴} \frac{\text{lb}_f}{\text{in.}}$

# پیوست ب

## یکاهای و بُعدها

در مکانیک شاره‌ها، با کمیتهای قابل اندازه‌گیری همچون فشار، سرعت، چگالی و گرانروی سروکار داریم. این کمیتهای را از طریق معادلات به دست‌آمده از تعریف قانونها به هم مرتبط می‌کنند. هر یک از این معادلات شامل چند یا همه بُعدهای اصلی نیرو (F)، جرم (M)، طول (L)، زمان (t)، و دما ( $\theta$ ) هستند. برای هدفهای کمی باید مجموعه یکاهایی را برای این بُعدهای اصلی تعریف کرد. [در نظریه الکترومغناطیس یک بُعد اصلی دیگری وجود دارد (که اختیاری است)]. برای سادگی، غالباً این بُعد را بار الکتریکی در نظر می‌گیرند که در سیستم یکاهای mks برحسب کولن اندازه‌گیری می‌شود. بنابراین در مغناطوهیدرودینامیک پنج بُعد اصلی وجود دارد.

معادلات بیان‌کننده رابطه‌های بین کمیتهای فیزیکی از نظر ابعادی باید همگن باشند. یعنی هر یک از جمله‌های معادله باید بُعدهای یکسانی داشته باشند.

مشکل وقتی به وجود می‌آید که یکاهای جرم و نیرو به طور مستقل تعریف می‌شوند. شیوه‌های متفاوت مرتبط با مکانیک شاره‌ها، همچون آئرودینامیک، ترمودینامیک، و انتقال گرما هر کدام سیستم یکاهای خاص خود را در برخورد با این مسئله دارند. بهترین سیستمی که متناسب با کار آنهاست.

با توجه به قانون نیوتون، نیرو و جرم بُعدهای مستقلی نیستند. نیرو متناسب با حاصل ضرب جرم در شتاب است، یعنی

$$F \propto ma$$

و با توجه به لزوم همگنی ابعادی، داریم

$$(M) = \left( \frac{FT^2}{L} \right) \quad \text{یا} \quad (F) = \left( \frac{ML}{T^2} \right)$$

انتخاب واقعی بعدهای اصلی قدری اختیاری است. ممکن است از سیستم  $F, L, T, \theta$  یا سیستم  $M, L, T, \theta$  استفاده کرد. سپس می‌توان تمام بعدهای دیگر را برحسب بعدهای اصلی مستقل انتخاب شده توسط قانونها و تعریفها بیان کرد. اکنون می‌توان با استفاده از قانون نیوتن یکای جرم را برحسب نیرو و شتاب تعریف کرد. آنگاه

$$m = \frac{F}{a} \quad \text{یا} \quad \mathbf{F} = ma$$

اگر یکای نیرو  $\text{lb}_f$  و یکای شتاب  $\text{ft/s}^2$  باشد، آنگاه یکای جرم عبارت است از

$$\frac{\text{lb}_f \text{s}^2}{\text{ft}}$$

این مقدار جرمی است که وقتی نیروی  $1 \text{ lb}_f$  به آن وارد شود شتابی برابر  $1 \text{ ft/s}^2$  پیدا می‌کند. این یکای جرم را اسلاگ می‌گویند. در سیستم بکاهای SI (سیستم یکای جهانی) یکای نیرو را نیوتون (N) و شتاب را  $\text{m/s}^2$  می‌گیرند. یکای جرم عبارت است از

$$\frac{\text{Ns}^2}{\text{m}}$$

این مقدار جرمی است که اگر نیروی  $1 \text{ N}$  به آن وارد شود، شتاب  $1 \text{ m/s}^2$  پیدا می‌کند. یکای جرم را کیلوگرم (kg) می‌گویند. یکای دیگری برای جرم مستقل از قانون نیوتون تعریف شده است. جرم پوند ( $\text{lb}_m$ ) مقدار جرمی است که (در نقطه‌ای خاص) با نیروی  $1 \text{ lb}_f$  به سوی سطح زمین کشیده می‌شود. وقتی یکاهای نیرو و جرم مستقل از قانون نیوتون تعریف می‌شوند، باید این معادله را برای همگن کردن ابعادی با ضریب تبدیل  $k$  به کار برد. در این صورت، داریم

$$\mathbf{F} = \frac{1}{g_c} ma \quad \text{یا} \quad \mathbf{F} = kma$$

و

$$g_c = \frac{ma}{F}$$

کمیت  $g_c$  مقداری عددی و یکاهایی دارد که به یکاهای خاص انتخاب شده برای نیرو، جرم و شتاب بستگی خواهد داشت. برخی از مجموعه مقادیرهای خاص عبارت‌اند از

$$g_c = \frac{1(\text{slug})(\text{ft/s}^2)}{\text{lb}_f} \quad g_c = \frac{1(\text{g})(\text{cm/s}^2)}{\text{dyn}}$$

$$g_c = \frac{32.2(\text{lb}_m)(\text{ft/s}^2)}{\text{lb}_f} \quad g_c = \frac{1(\text{kg})(\text{m/s}^2)}{\text{N}}$$

$$g_c = \frac{9.8(\text{kg}_m)(\text{k/s}^2)}{\text{kg}_f}$$

که

$$1 \text{ slug} = 32.2 \text{ lb}_m$$

و متذکر می‌شویم که وقتی نیروی  $1 \text{ lb}_f$  به آن اعمال شود شتاب  $32.2 \text{ ft/s}^2$  پیدا می‌کند. اسلاگ یا کیلوگرم یکاهای جرم به کار رفته در این کتاب هستند و بنابراین  $g_c$  در معادلات ظاهر نمی‌شود.

چند کمیت فیزیکی و بعدهای آنها را در جدول ب-۱ و برخی از ضریبهای تبدیل را در جدول ب-۲ آورده‌ایم.

روش صحیح تبدیل یکاهای را در مثال زیر نشان داده‌ایم. حل عددی  $h_o$  را برحسب  $\text{ft}\cdot\text{lb}_f/\text{lb}_m$  به دست آورید؛ مقدار عددی هر یک از کمیت‌های طرف راست را برحسب یکاهای زیر بیان کرده‌ایم.

$$h_o = u + pv + \frac{V^2}{2}$$

$$u = A \frac{\text{Btu}}{\text{lb}_m} \quad p = B \frac{\text{lb}_f}{\text{in}^2} \quad v = C \frac{\text{ft}^3}{\text{lb}_m} \quad V = D \frac{\text{ft}}{\text{s}}$$

با نشان دادن مقدارهای عددی در این معادله، همراه با یکاهای و تبدیلهای، داریم

$$h_o = A \frac{\text{Btu}}{\text{lb}_m} \times \frac{778 \text{ft}\cdot\text{lb}_f}{\text{Btu}} + B \frac{\text{lb}_f}{\text{in}^2} C \frac{\text{ft}^3}{\text{lb}_m} \times \frac{144 \text{in}^2}{\text{ft}^2} + \frac{D^2 \text{ft}^2}{2 \text{s}^2} \times \frac{\text{s}^2 \text{lb}_f}{32.2 \text{lb}_m \text{ft}}$$

$$= \left( 778A + 144BC + \frac{D^2}{2(32.2)} \right) \frac{\text{ft}\cdot\text{lb}_f}{\text{lb}_m}$$

بنابراین می‌بینیم که  $g_c$  به عنوان ضریب تبدیل عمل می‌کند.

به طور خلاصه، نوشتن معادله  $F = ma$  در سیستم یکاهای مختلف سودمند است. معادلات زیر رابطه بین بدها و یکاهای را (در حالتی که از  $g_c$  استفاده نمی‌شود) نشان می‌دهند.

$$\text{CGS} \Rightarrow F(\text{dyn}) = m(\text{g}) \times a(\text{cm}/\text{s}^2)$$

$$\text{SI} \Rightarrow F(\text{N}) = m(\text{kg}) \times a(\text{m}/\text{s}^2)$$

$$\text{FPS} \Rightarrow F(\text{pdl}) = m(\text{lb}_m) \times a(\text{ft}/\text{s}^2)$$

$$\text{FSS} \Rightarrow F(\text{lb}_f) = m(\text{slug}) \times a(\text{ft}/\text{s}^2)$$

جدول ب-۱ بعدها و یکاها

یکاها				بعدها		کمیت فیزیکی
انگلیسی		متریک		سیستم <i>FLT</i>	سیستم <i>MLT</i>	
سیستم مهندسی	سیستم <i>FPS</i>	سیستم <i>SI</i>	سیستم <i>CGS</i>			
ft	ft	m	cm	<i>L</i>	<i>L</i>	طول
slug	lb <sub>m</sub>	kg	gm	$FL^{-1}T^2$	<i>M</i>	جرم
s	s	s	s	<i>T</i>	<i>T</i>	زمان
ft/s	ft/s	m/s	cm/s	$LT^{-1}$	$LT^{-1}$	سرعت
ft/s <sup>2</sup>	ft/s <sup>2</sup>	m/s <sup>2</sup>	cm/s <sup>2</sup>	$LT^{-2}$	$LT^{-2}$	شتاب
slug ft/s <sup>2</sup> = lb <sub>f</sub>	lb <sub>m</sub> ft/s <sup>2</sup> = poundal	kg m/s <sup>2</sup> = N	gm cm/s <sup>2</sup> = dyn	<i>F</i>	$MLT^{-2}$	نیرو
slug ft/s = lb <sub>f</sub> s	lb <sub>m</sub> ft/s = pdl s	kg m/s = N s	gm cm/s = dyn/s	<i>FT</i>	$MLT^{-1}$	تکانه، ضربه
slug ft <sup>2</sup> /s <sup>2</sup> = ft lb <sub>f</sub>	lb <sub>m</sub> ft <sup>2</sup> /s <sup>2</sup> = ft pdl	kg m <sup>2</sup> /s <sup>2</sup> = N m = J	gm cm <sup>2</sup> /s <sup>2</sup> = dyn cm = erg	<i>FL</i>	$ML^2T^{-2}$	انرژی، کار
slug ft <sup>2</sup> /s <sup>2</sup> = ft lb <sub>f</sub> /s	lb <sub>m</sub> ft <sup>2</sup> /s <sup>2</sup> = ft pbl/s	kg m <sup>2</sup> /s <sup>2</sup> = J/s = watt	gm cm <sup>2</sup> /s <sup>2</sup> = dyn cm/s = erg/s	$FLT^{-1}$	$ML^2T^{-2}$	توان
slug/ft <sup>2</sup>	lb <sub>m</sub> /ft <sup>2</sup>	kg/m <sup>2</sup>	gm/cm <sup>2</sup>	$FL^{-2}T^2$	$ML^{-2}$	چگالی
rad/s	rad/s	rad/s	rad/s	$T^{-1}$	$T^{-1}$	سرعت زاویه‌ای
rad/s <sup>2</sup>	rad/s <sup>2</sup>	rad/s <sup>2</sup>	rad/s <sup>2</sup>	$T^{-2}$	$T^{-2}$	شتاب زاویه‌ای
slug ft <sup>2</sup> /s = ft lb <sub>f</sub>	lb <sub>m</sub> ft <sup>2</sup> /s <sup>2</sup> = ft pdl	kgm <sup>2</sup> /s <sup>2</sup> = Nm	gm cm <sup>2</sup> /s <sup>2</sup> = dyn cm	<i>FL</i>	$ML^2T^{-2}$	گشتاور
slug ft <sup>2</sup> /s	lb <sub>m</sub> ft <sup>2</sup> /s	kg m <sup>2</sup> /s	gm cm <sup>2</sup> /s	<i>FLT</i>	$ML^2T^{-1}$	تکانه زاویه‌ای
slug ft <sup>2</sup>	lb <sub>m</sub> ft <sup>2</sup>	kg m <sup>2</sup>	gm cm <sup>2</sup>	$FLT^2$	$ML^2$	گشتاور لختی
lb <sub>f</sub> /ft <sup>2</sup>	pdl/ft <sup>2</sup>	kg/(ms <sup>2</sup> ) = N/m <sup>2</sup>	gm/(cm s <sup>2</sup> ) = dyn/cm <sup>2</sup>	$FL^{-2}$	$ML^{-1}T^{-2}$	فشار، تنش
slug/(ft s) = lb <sub>f</sub> s/ft <sup>2</sup>	lb <sub>m</sub> /(ft s) = pdl s/ft <sup>2</sup>	kg/(ms) = Ns/m <sup>2</sup>	gm/(cm s) = dyn s/cm <sup>2</sup>	$FL^{-2}T$	$ML^{-1}T^{-1}$	گران‌روی ( $\mu$ )
ft <sup>2</sup> /s	ft <sup>2</sup> /s	m <sup>2</sup> /s	cm <sup>2</sup> /s	$L^2T^{-1}$	$L^2T^{-1}$	گران‌روی سینماتیکی ( $\nu$ )
slug/s <sup>2</sup> = lb <sub>f</sub> /ft	lb <sub>m</sub> /s <sup>2</sup> = pdl/ft	kg/s <sup>2</sup> = N/m	gm/s = dyn/cm	$FL^{-1}$	$MT^{-2}$	کشش سطحی



جدول ب-۲ تبدیل یگاهها

طول	1 kilometer (km) = 1000 meters	1 inch (in.) = 2.540 cm
	1 meter (m) = 100 centimeters	1 foot (ft) = 30.48 cm
	1 centimeter (cm) = 10 <sup>-2</sup> m	1 mile (mi) = 1.609 km
	1 millimeter (mm) = 10 <sup>-3</sup> m	1 mil = 10 <sup>-3</sup> in.
	1 micron (μ) = 10 <sup>-6</sup> m	1 centimeter = 0.3937 in.
	1 millimicron (mμ) = 10 <sup>-9</sup> m	1 meter = 39.37 in.
	1 angstrom (A) = 10 <sup>-10</sup> m	1 kilometer = 0.6214 mile
مساحت	1 square meter (m <sup>2</sup> ) = 10.76 ft <sup>2</sup>	
	1 square foot (ft <sup>2</sup> ) = 929 cm <sup>2</sup>	
حجم	1 liter (l) = 1000 cm <sup>3</sup> = 1.057 quart (qt) = 61.02 in <sup>3</sup> = 0.03532 ft <sup>3</sup>	
	1 cubic meter (m <sup>3</sup> ) = 1000 l = 35.32 ft <sup>3</sup>	
	1 cubic foot (ft <sup>3</sup> ) = 7.481 U.S. gal = 0.02832 m <sup>3</sup> = 28.32 l	
	1 U.S. gallon (gal) = 231 in <sup>3</sup> = 3.785 l; 1 British gallon = 1.201 U.S. gallon = 277.4 in <sup>3</sup>	
جرم	1 kilogram (kg) = 2.2046 lb <sub>m</sub> = 0.06852 slug; 1 lb <sub>m</sub> = 453.6 gm = 0.03108 slug	
	1 slug = 32.174 lb <sub>m</sub> = 14.59 kg	
سرعت	1 km/h = 0.2778 m/s = 0.6214 mi/h = 0.9113 ft/s	
	1 mi/h = 1.467 ft/s = 1.609 km/h = 0.4470 m/s	
چگالی	1 gm/cm <sup>3</sup> = 10 <sup>3</sup> kg/m <sup>3</sup> = 62.43 lb <sub>m</sub> /ft <sup>3</sup> = 1.940 slug/ft <sup>3</sup>	
	1 lb <sub>m</sub> /ft <sup>3</sup> = 0.01602 gm/cm <sup>3</sup> ; 1 slug/ft <sup>3</sup> = 0.5154 gm/cm <sup>3</sup>	
نیرو	1 newton (N) = 10 <sup>5</sup> dyn = 0.1020 kg <sub>f</sub> = 0.2248 lb <sub>f</sub>	
	1 pound force (lb <sub>f</sub> ) = 4.448 N = 0.4536 kg <sub>f</sub> = 32.17 poundals	
	1 kilogram force (kg <sub>f</sub> ) = 2.205 lb <sub>f</sub> = 9.807 N	
	1 U.S. short ton = 2000 lb <sub>f</sub> ; 1 long ton = 2240 lb <sub>f</sub> ; 1 metric ton = 2205 lb <sub>f</sub>	
انرژی	1 joule (J) = 1 N m = 10 <sup>7</sup> ergs = 0.7376 ft lb <sub>f</sub> = 0.2389 cal = 9.481 × 10 <sup>-4</sup> Btu	
	1 ft lb <sub>f</sub> = 1.356 joules (J) = 0.3239 cal = 1.285 × 10 <sup>-3</sup> Btu	
	1 calorie (cal) = 4.186 joules (J) = 3.087 ft lb <sub>f</sub> = 3.968 × 10 <sup>-3</sup> Btu	
	1 Btu = 778 ft lb <sub>f</sub> = 1055 joules (J) = 0.293 watt hr	
	1 kilowatt hour (kw hr) = 3.60 × 10 <sup>6</sup> joules (J) = 860.0 kcal = 3413 Btu	
1 electron volt (ev) = 1.602 × 10 <sup>-19</sup> joule (J)		
توان	1 watt = 1 joule (J)/s = 10 <sup>7</sup> ergs/s = 0.2389 cal/s	
	1 horsepower (hp) = 550 ft lb <sub>f</sub> /s = 33,000 ft lb <sub>f</sub> /min = 745.7 watts	
	1 kilowatt (kw) = 1.341 hp = 737.6 ft lb <sub>f</sub> /s = 0.9483 Btu/s	
فشار	1 N/m <sup>2</sup> = 10 dyn/cm <sup>2</sup> = 9.869 × 10 <sup>-6</sup> atmosphere = 2.089 × 10 <sup>-2</sup> lb <sub>f</sub> /ft <sup>2</sup> = 1 Pascal (Pa)	
	1 lb <sub>f</sub> /in <sup>2</sup> = 6895 N/m <sup>2</sup> = 5.171 cm mercury = 27.68 in. water	
	1 atmosphere (atm) = 1.013 × 10 <sup>5</sup> N/m <sup>2</sup> (Pa) = 1.013 × 10 <sup>6</sup> dyn/cm <sup>2</sup> = 14.70 lb <sub>f</sub> /in <sup>2</sup>	
	= 76 cm mercury = 406.8 in. water	
زاویه	1 radian (rad) = 57.296°; 1° = 0.017453 rad	

## پیوست ج

### تعدادی از معادلات اصلی در دستگاههای مختصات متفاوت

ج-۱ معادلات حرکت ناویه-استوکس برای شماره تراکم ناپذیر با گران روی ثابت

این معادلات را در حالتی که گرادیان گران روی خیلی زیاد نیست، می توان با دقت بسیار بالا برای مسئله هایی که گران روی متغیر دارند به کار برد. این فرض در بیشتر مسئله های فیزیکی کفایت می کند و معادلات ناویه-استوکس را می توان برای بیشتر مسئله های جریان تراکم ناپذیر به کار برد. از نمادهای زیر استفاده می شود:

$$p = \text{فشار}$$

$$\mathbf{F} = \text{چگالی نیروی حجمی}$$

$$\mu = \text{گران روی}$$

$$\frac{D}{Dt} = \text{مشتق مادی}$$

بردار

$\mathbf{V}$  بردار سرعت است

$$\rho \frac{D\mathbf{V}}{Dt} = \rho \left[ \frac{\partial \mathbf{V}}{\partial t} + (\mathbf{V} \cdot \nabla) \mathbf{V} \right] = -\nabla p + \mathbf{F} + \mu \nabla^2 \mathbf{V} \quad (\text{ج-۱})$$

جمله  $(\mathbf{V} \cdot \nabla) \mathbf{V}$  رابطه ای شبه برداری است و باید در بسط آن، بجز در دستگاه دکارتی، دقت کافی کرد. بهتر است این جمله شتاب را به شکل بردار واقعی بیان کرد و معادله حرکت را به شکل زیر نوشت:

$$\rho \left[ \frac{\partial \mathbf{V}}{\partial t} + \nabla \left( \frac{V^2}{2} \right) - \mathbf{V} \times (\nabla \times \mathbf{V}) \right] = -\nabla p + \mathbf{F} + \mu \nabla^2 \mathbf{V} \quad (\text{ج-۲})$$

در بسط  $\nabla^2 \mathbf{V}$  و  $D\mathbf{V}/Dt$  باید کاملاً دقت کرد، زیرا عملیات روی بردار با عملیات روی کمیت اسکالر تفاوت می‌کند. استفاده از بردار زیر در عملیات بسیار سودمند است.

$$\nabla^2 \mathbf{V} = \nabla(\nabla \cdot \mathbf{V}) - \nabla \times (\nabla \times \mathbf{V})$$

### تانسور دکارتی

$w_i$  سرعت در جهت  $x_i$  است.

$$\rho \left[ \frac{\partial w_i}{\partial t} + w_j \frac{\partial w_i}{\partial x_j} \right] = -\frac{\partial p}{\partial x_i} + F_i + \mu \frac{\partial^2 w_i}{\partial x_j \partial x_j} \quad (۳-ج)$$

### دکارتی

$u, v$  و  $w$  به ترتیب سرعت در جهت‌های  $x, y, z$  هستند. در قسمتهای زیر، داریم

$$\begin{aligned} \frac{D}{Dt} &= \frac{\partial}{\partial t} + u \frac{\partial}{\partial x} + v \frac{\partial}{\partial y} + w \frac{\partial}{\partial z}, & \nabla^2 &= \frac{\partial^2}{\partial x^2} + \frac{\partial^2}{\partial y^2} + \frac{\partial^2}{\partial z^2} \\ \rho \frac{Du}{Dt} &= F_x - \frac{\partial p}{\partial x} + \mu \nabla^2 u \\ \rho \frac{Dv}{Dt} &= F_y - \frac{\partial p}{\partial y} + \mu \nabla^2 v \\ \rho \frac{Dw}{Dt} &= F_z - \frac{\partial p}{\partial z} + \mu \nabla^2 w \end{aligned} \quad (۴-ج)$$

با نوشتن آنها به طور کامل، خواهیم داشت

$$\begin{aligned} \rho \left( \frac{\partial u}{\partial t} + u \frac{\partial u}{\partial x} + v \frac{\partial u}{\partial y} + w \frac{\partial u}{\partial z} \right) &= -\frac{\partial p}{\partial x} + F_x + \mu \left( \frac{\partial^2 u}{\partial x^2} + \frac{\partial^2 u}{\partial y^2} + \frac{\partial^2 u}{\partial z^2} \right) \\ \rho \left( \frac{\partial v}{\partial t} + u \frac{\partial v}{\partial x} + v \frac{\partial v}{\partial y} + w \frac{\partial v}{\partial z} \right) &= -\frac{\partial p}{\partial y} + F_y + \mu \left( \frac{\partial^2 v}{\partial x^2} + \frac{\partial^2 v}{\partial y^2} + \frac{\partial^2 v}{\partial z^2} \right) \\ \rho \left( \frac{\partial w}{\partial t} + u \frac{\partial w}{\partial x} + v \frac{\partial w}{\partial y} + w \frac{\partial w}{\partial z} \right) &= -\frac{\partial p}{\partial z} + F_z + \mu \left( \frac{\partial^2 w}{\partial x^2} + \frac{\partial^2 w}{\partial y^2} + \frac{\partial^2 w}{\partial z^2} \right) \end{aligned} \quad (۵-ج)$$

### استوانه‌ای

$v_r, v_\theta$  و  $v_z$  به ترتیب سرعت در جهت‌های  $r, \theta, z$  هستند. در قسمتهای زیر، داریم

$$\begin{aligned} \frac{D}{Dt} &= \frac{\partial}{\partial t} + v_r \frac{\partial}{\partial r} + \frac{v_\theta}{r} \frac{\partial}{\partial \theta} + v_z \frac{\partial}{\partial z} \\ \nabla^2 &= \frac{\partial^2}{\partial r^2} + \frac{1}{r} \frac{\partial}{\partial r} + \frac{1}{r^2} \frac{\partial^2}{\partial \theta^2} + \frac{\partial^2}{\partial z^2} \\ \rho \left[ \frac{Dv_r}{Dt} - \frac{v_\theta^2}{r} \right] &= F_r - \frac{\partial p}{\partial r} + \mu \left[ \nabla^2 v_r - \frac{v_r}{r^2} - \frac{2}{r^2} \frac{\partial v_\theta}{\partial \theta} \right] \\ \rho \left[ \frac{Dv_\theta}{Dt} + \frac{v_r v_\theta}{r} \right] &= F_\theta - \frac{1}{r} \frac{\partial p}{\partial \theta} + \mu \left[ \nabla^2 v_\theta + \frac{2}{r^2} \frac{\partial v_r}{\partial \theta} - \frac{v_\theta}{r^2} \right] \\ \rho \frac{Dv_z}{Dt} &= F_z - \frac{\partial p}{\partial z} + \mu \nabla^2 v_z \end{aligned} \quad (۶-ج)$$

با نوشتن آنها به طور کامل، خواهیم داشت

$$\begin{aligned} & \rho \left[ \frac{\partial v_r}{\partial t} + v_r \frac{\partial v_r}{\partial r} + \frac{v_\theta}{r} \frac{\partial v_r}{\partial \theta} + v_z \frac{\partial v_r}{\partial z} - \frac{v_\theta^2}{r} \right] \\ & = F_r - \frac{\partial p}{\partial r} + \mu \left[ \frac{\partial^2 v_r}{\partial r^2} + \frac{1}{r} \frac{\partial v_r}{\partial r} + \frac{1}{r^2} \frac{\partial^2 v_r}{\partial \theta^2} + \frac{\partial^2 v_r}{\partial z^2} - \frac{v_r}{r^2} - \frac{2}{r^2} \frac{\partial v_\theta}{\partial \theta} \right] \\ & \rho \left[ \frac{\partial v_\theta}{\partial t} + v_r \frac{\partial v_\theta}{\partial r} + \frac{v_\theta}{r} \frac{\partial v_\theta}{\partial \theta} + v_z \frac{\partial v_\theta}{\partial z} + \frac{v_r v_\theta}{r} \right] \\ & = F_\theta - \frac{1}{r} \frac{\partial p}{\partial \theta} + \mu \left[ \frac{\partial^2 v_\theta}{\partial r^2} + \frac{1}{r} \frac{\partial v_\theta}{\partial r} + \frac{1}{r^2} \frac{\partial^2 v_\theta}{\partial \theta^2} + \frac{\partial^2 v_\theta}{\partial z^2} + \frac{2}{r^2} \frac{\partial v_r}{\partial \theta} - \frac{v_\theta}{r^2} \right] \\ & \rho \left[ \frac{\partial v_z}{\partial t} + v_r \frac{\partial v_z}{\partial r} + \frac{v_\theta}{r} \frac{\partial v_z}{\partial \theta} + v_z \frac{\partial v_z}{\partial z} \right] \\ & = F_z - \frac{\partial p}{\partial z} + \mu \left[ \frac{\partial^2 v_z}{\partial r^2} + \frac{1}{r} \frac{\partial v_z}{\partial r} + \frac{1}{r^2} \frac{\partial^2 v_z}{\partial \theta^2} + \frac{\partial^2 v_z}{\partial z^2} \right] \end{aligned} \quad (7-ج)$$

کروی

$v_r, v_\theta$  و  $v_\phi$  به ترتیب سرعت در جهتهای  $r$  و  $\theta$  و  $\phi$  هستند. در قسمتهای زیر، داریم

$$\begin{aligned} \frac{D}{Dt} &= \frac{\partial}{\partial t} + v_r \frac{\partial}{\partial r} + \frac{v_\theta}{r} \frac{\partial}{\partial \theta} + \frac{v_\phi}{r \sin \theta} \frac{\partial}{\partial \phi} \\ \nabla^2 &= \frac{1}{r^2} \frac{\partial}{\partial r} \left( r^2 \frac{\partial}{\partial r} \right) + \frac{1}{r^2 \sin \theta} \frac{\partial}{\partial \theta} \left( \sin \theta \frac{\partial}{\partial \theta} \right) + \frac{1}{r^2 \sin^2 \theta} \frac{\partial^2}{\partial \phi^2} \end{aligned}$$

$$\begin{aligned} & \rho \left[ \frac{Dv_r}{Dt} - \frac{v_\theta^2 + v_\phi^2}{r} \right] \\ & = F_r - \frac{\partial p}{\partial r} + \mu \left[ \nabla^2 v_r - \frac{2v_r}{r^2} - \frac{2}{r^2} \frac{\partial v_\theta}{\partial \theta} - \frac{2v_\theta \cot \theta}{r^2} - \frac{2}{r^2 \sin \theta} \frac{\partial v_\phi}{\partial \phi} \right] \\ & \rho \left[ \frac{Dv_\theta}{Dt} + \frac{v_r v_\theta - v_\phi^2 \cot \theta}{r} \right] \\ & = F_\theta - \frac{1}{r} \frac{\partial p}{\partial \theta} + \mu \left[ \nabla^2 v_\theta + \frac{2}{r^2} \frac{\partial v_r}{\partial \theta} - \frac{v_\theta}{r^2 \sin^2 \theta} - \frac{2 \cot \theta}{r^2 \sin^2 \theta} \frac{\partial v_\phi}{\partial \phi} \right] \\ & \rho \left[ \frac{Dv_\phi}{Dt} + \frac{v_\phi v_r}{r} + \frac{v_\theta v_\phi \cot \theta}{r} \right] \\ & = F_\phi - \frac{1}{r \sin \theta} \frac{\partial p}{\partial \phi} + \mu \left[ \nabla^2 v_\phi - \frac{v_\phi}{r^2 \sin^2 \theta} + \frac{2}{r^2 \sin^2 \theta} \frac{\partial v_r}{\partial \phi} + \frac{2 \cos \theta}{r^2 \sin^2 \theta} \frac{\partial v_\theta}{\partial \phi} \right] \end{aligned} \quad (8-ج)$$

با نوشتن آنها به طور کامل، خواهیم داشت

$$\begin{aligned}
 & \rho \left[ \frac{\partial v_r}{\partial t} + v_r \frac{\partial v_r}{\partial r} + \frac{v_\theta}{r} \frac{\partial v_r}{\partial \theta} + \frac{v_\phi}{r \sin \theta} \frac{\partial v_r}{\partial \phi} - \frac{v_\theta^2 + v_\phi^2}{r} \right] \\
 & = F_r - \frac{\partial p}{\partial r} + \mu \left[ \frac{1}{r^2} \frac{\partial}{\partial r} \left( r^2 \frac{\partial v_r}{\partial r} \right) + \frac{1}{r^2 \sin \theta} \frac{\partial}{\partial \theta} \left( \sin \theta \frac{\partial v_r}{\partial \theta} \right) \right. \\
 & \quad \left. + \frac{1}{r^2 \sin^2 \theta} \frac{\partial^2 v_r}{\partial \phi^2} - \frac{2v_r}{r^2} - \frac{2}{r^2} \frac{\partial v_\theta}{\partial \theta} - \frac{2v_\theta \cot \theta}{r^2} - \frac{2}{r^2 \sin \theta} \frac{\partial v_\phi}{\partial \phi} \right] \\
 & \rho \left[ \frac{\partial v_\theta}{\partial t} + v_r \frac{\partial v_\theta}{\partial r} + \frac{v_\theta}{r} \frac{\partial v_\theta}{\partial \theta} + \frac{v_\phi}{r \sin \theta} \frac{\partial v_\theta}{\partial \phi} + \frac{v_r v_\theta}{r} - \frac{v_\phi^2 \cot \theta}{r} \right] \\
 & = F_\theta - \frac{1}{r} \frac{\partial p}{\partial \theta} + \mu \left[ \frac{1}{r^2} \frac{\partial}{\partial r} \left( r^2 \frac{\partial v_\theta}{\partial r} \right) + \frac{1}{r^2 \sin \theta} \frac{\partial}{\partial \theta} \left( \sin \theta \frac{\partial v_\theta}{\partial \theta} \right) \right. \\
 & \quad \left. + \frac{1}{r^2 \sin^2 \theta} \frac{\partial^2 v_\theta}{\partial \phi^2} + \frac{2}{r^2} \frac{\partial v_r}{\partial \theta} - \frac{v_\theta}{r^2 \sin \theta} - \frac{2 \cos \theta}{r^2 \sin^2 \theta} \frac{\partial v_\phi}{\partial \phi} \right] \\
 & \rho \left[ \frac{\partial v_\phi}{\partial t} + v_r \frac{\partial v_\phi}{\partial r} + \frac{v_\theta}{r} \frac{\partial v_\phi}{\partial \theta} + \frac{v_\phi}{r \sin \theta} \frac{\partial v_\phi}{\partial \phi} + \frac{v_\phi v_r}{r} + \frac{v_\theta v_\phi \cot \theta}{r} \right] \\
 & = F_\phi - \frac{1}{r \sin \theta} \frac{\partial p}{\partial \phi} + \mu \left[ \frac{1}{r^2} \frac{\partial}{\partial r} \left( r^2 \frac{\partial v_\phi}{\partial r} \right) + \frac{1}{r^2 \sin \theta} \frac{\partial}{\partial \theta} \left( \sin \theta \frac{\partial v_\phi}{\partial \theta} \right) \right. \\
 & \quad \left. + \frac{1}{r^2 \sin^2 \theta} \frac{\partial^2 v_\phi}{\partial \phi^2} - \frac{v_\phi}{r^2 \sin^2 \theta} + \frac{2}{r^2 \sin^2 \theta} \frac{\partial v_r}{\partial \phi} + \frac{2 \cos \theta}{r^2 \sin^2 \theta} \frac{\partial v_\theta}{\partial \phi} \right]
 \end{aligned} \tag{۹-ج}$$

ج-۲ رابطه بین آهنگ تنش-کرنش

تانسور دکارتی

$w_i$  سرعت در جهت  $x_i$  است.  $\phi$  اتساع است،  $\nabla \cdot \mathbf{V}$ .

$$\begin{aligned}
 \sigma_{ij} & = -P\delta_{ij} + \sigma'_{ij} = -P\delta_{ij} + 2\mu e_{ij} + \delta_{ij} \lambda \phi \\
 & = -P\delta_{ij} + \mu \left( \frac{\partial w_i}{\partial x_j} + \frac{\partial w_j}{\partial x_i} \right) + \lambda \delta_{ij} \frac{w_k}{\partial x_k} \\
 & = -P\delta_{ij} + \mu \left( \frac{\partial w_i}{\partial x_j} + \frac{\partial w_j}{\partial x_i} - \frac{2}{3} \delta_{ij} \frac{\partial w_k}{\partial x_k} \right) + \zeta \delta_{ij} \frac{\partial w_k}{\partial x_k}
 \end{aligned} \tag{۱۰-ج}$$

## دکارتی

$u$ ،  $v$  و  $w$  به ترتیب سرعت در جهتهای  $x$ ،  $y$  و  $z$  هستند.

$$\begin{aligned}
 \sigma_{xx} &= -P + \sigma'_{xx} = -P + 2\mu e_{xx} + \lambda \nabla \cdot \mathbf{V} \\
 &= -P + 2\mu \frac{\partial u}{\partial x} + \lambda \left( \frac{\partial u}{\partial x} + \frac{\partial v}{\partial y} + \frac{\partial w}{\partial z} \right) \\
 \sigma_{yy} &= -P + \sigma'_{yy} = -P + 2\mu e_{yy} + \lambda \nabla \cdot \mathbf{V} \\
 &= -P + 2\mu \frac{\partial v}{\partial y} + \lambda \left( \frac{\partial u}{\partial x} + \frac{\partial v}{\partial y} + \frac{\partial w}{\partial z} \right) \\
 \sigma_{zz} &= -P + \sigma'_{zz} = -P + 2\mu e_{zz} + \lambda \nabla \cdot \mathbf{V} \\
 &= -P + 2\mu \frac{\partial w}{\partial z} + \lambda \left( \frac{\partial u}{\partial x} + \frac{\partial v}{\partial y} + \frac{\partial w}{\partial z} \right) \\
 \sigma_{xy} = \sigma_{yx} &= 2\mu e_{xy} = \mu \left( \frac{\partial u}{\partial y} + \frac{\partial v}{\partial x} \right) \\
 \sigma_{xz} = \sigma_{zx} &= 2\mu e_{xz} = \mu \left( \frac{\partial w}{\partial x} + \frac{\partial u}{\partial z} \right) \\
 \sigma_{yz} = \sigma_{zy} &= 2\mu e_{yz} = \mu \left( \frac{\partial v}{\partial z} + \frac{\partial w}{\partial y} \right)
 \end{aligned} \tag{۱۱-ج}$$

## استوانه‌ای

$v_\theta$ ،  $v_r$  و  $v_z$  به ترتیب سرعت در جهتهای  $r$ ،  $\theta$  و  $z$  هستند.

$$\begin{aligned}
 \sigma_{rr} &= -P + \sigma'_{rr} = -P + 2\mu e_{rr} + \lambda \nabla \cdot \mathbf{V} \\
 &= -P + 2\mu \frac{\partial v_r}{\partial r} + \lambda \left\{ \frac{1}{r} \frac{\partial}{\partial r} (r v_r) + \frac{1}{r} \frac{\partial v_\theta}{\partial \theta} + \frac{\partial v_z}{\partial z} \right\} \\
 \sigma_{\theta\theta} &= -P + \sigma'_{\theta\theta} = -P + 2\mu e_{\theta\theta} + \lambda \nabla \cdot \mathbf{V} \\
 &= -P + 2\mu \left( \frac{1}{r} \frac{\partial v_\theta}{\partial \theta} + \frac{v_r}{r} \right) + \lambda \left\{ \frac{1}{r} \frac{\partial}{\partial r} (r v_r) + \frac{1}{r} \frac{\partial v_\theta}{\partial \theta} + \frac{\partial v_z}{\partial z} \right\} \\
 \sigma_{zz} &= -P + \sigma'_{zz} = -P + 2\mu e_{zz} + \lambda \nabla \cdot \mathbf{V} \\
 &= -P + 2\mu \frac{\partial v_z}{\partial z} + \lambda \left\{ \frac{1}{r} \frac{\partial}{\partial r} (r v_r) + \frac{1}{r} \frac{\partial v_\theta}{\partial \theta} + \frac{\partial v_z}{\partial z} \right\} \\
 \sigma_{r\theta} = \sigma_{\theta r} &= 2\mu e_{r\theta} = \mu \left( \frac{1}{r} \frac{\partial v_r}{\partial \theta} + \frac{\partial v_\theta}{\partial r} - \frac{v_\theta}{r} \right) \\
 \sigma_{rz} = \sigma_{zr} &= 2\mu e_{rz} = \mu \left( \frac{\partial v_r}{\partial z} + \frac{\partial v_z}{\partial r} \right) \\
 \sigma_{\theta z} = \sigma_{z\theta} &= 2\mu e_{\theta z} = \mu \left( \frac{1}{r} \frac{\partial v_z}{\partial \theta} + \frac{\partial v_\theta}{\partial z} \right)
 \end{aligned} \tag{۱۲-ج}$$

$v_r$ ،  $v_\theta$  و  $v_\phi$  به ترتیب سرعت در جهت‌های  $r$ ،  $\theta$  و  $\phi$  هستند.

$$\begin{aligned}\sigma_{rr} &= -P + \sigma'_{rr} = -P + 2\mu e_{rr} + \lambda \nabla \cdot \mathbf{V} \\ &= -P + 2\mu \frac{\partial v_r}{\partial r} + \lambda \left\{ \frac{1}{r^2} \frac{\partial}{\partial r} (r^2 v_r) + \frac{1}{r \sin \theta} \frac{\partial}{\partial \theta} (v_\theta \sin \theta) + \frac{1}{r \sin \theta} \frac{\partial v_\phi}{\partial \phi} \right\} \\ \sigma_{\theta\theta} &= -P + \sigma'_{\theta\theta} = -P + 2\mu e_{\theta\theta} + \lambda \nabla \cdot \mathbf{V} \\ &= -P + 2\mu \left( \frac{1}{r} \frac{\partial v_\theta}{\partial \theta} + \frac{v_r}{r} \right) + \lambda \left\{ \frac{1}{r^2} \frac{\partial}{\partial r} (r^2 v_r) + \frac{1}{r \sin \theta} \frac{\partial}{\partial \theta} (v_\theta \sin \theta) + \frac{1}{r \sin \theta} \frac{\partial v_\phi}{\partial \phi} \right\} \\ \sigma_{\phi\phi} &= -P + \sigma'_{\phi\phi} = -P + 2\mu e_{\phi\phi} + \lambda \nabla \cdot \mathbf{V} \tag{۱۳-ج} \\ &= -P + 2\mu \left( \frac{1}{r \sin \theta} \frac{\partial v_\phi}{\partial \phi} + \frac{v_r}{r} + \frac{v_\theta \cot \theta}{r} \right) \\ &\quad + \lambda \left\{ \frac{1}{r^2} \frac{\partial}{\partial r} (r^2 v_r) + \frac{1}{r \sin \theta} \frac{\partial}{\partial \theta} (v_\theta \sin \theta) + \frac{1}{r \sin \theta} \frac{\partial v_\phi}{\partial \phi} \right\} \\ \sigma_{r\theta} &= \sigma_{\theta r} = 2\mu e_{r\theta} = \mu \left\{ r \frac{\partial}{\partial r} \left( \frac{v_\theta}{r} \right) + \frac{1}{r} \frac{\partial v_r}{\partial \theta} \right\} \\ \sigma_{r\phi} &= \sigma_{\phi r} = 2\mu e_{r\phi} = \mu \left\{ \frac{1}{r \sin \theta} \frac{\partial v_r}{\partial \phi} + r \frac{\partial}{\partial r} \left( \frac{v_\phi}{r} \right) \right\} \\ \sigma_{\theta\phi} &= \sigma_{\phi\theta} = 2\mu e_{\theta\phi} = \mu \left\{ \frac{\sin \theta}{r} \frac{\partial}{\partial \theta} \left( \frac{v_\phi}{\sin \theta} \right) + \frac{1}{r \sin \theta} \frac{\partial v_\theta}{\partial \phi} \right\}\end{aligned}$$

### ج-۳ چند معادله اصلی در دستگاه‌های مختصات مختلف

عملیات  $D/Dt$  و  $\nabla^2$  مشروحه زیر برای عملیات روی اسکالر است. آنها، بجز در مختصات دکارتی، مشابه عملیات روی بردار نیستند.

#### دکارتی

$$\begin{aligned}\frac{D}{Dt} &= \frac{\partial}{\partial t} + u \frac{\partial}{\partial x} + v \frac{\partial}{\partial y} + w \frac{\partial}{\partial z} \\ \nabla \cdot \mathbf{V} &= \frac{\partial u}{\partial x} + \frac{\partial v}{\partial y} + \frac{\partial w}{\partial z} \tag{۱۴-ج} \\ \nabla^2 &= \frac{\partial^2}{\partial x^2} + \frac{\partial^2}{\partial y^2} + \frac{\partial^2}{\partial z^2}\end{aligned}$$

#### استوانه‌ای

$$\begin{aligned}\frac{D}{Dt} &= \frac{\partial}{\partial t} + v_r \frac{\partial}{\partial r} + \frac{v_\theta}{r} \frac{\partial}{\partial \theta} + v_z \frac{\partial}{\partial z} \\ \nabla \cdot \mathbf{V} &= \frac{1}{r} \frac{\partial}{\partial r} (r v_r) + \frac{1}{r} \frac{\partial v_\theta}{\partial \theta} + \frac{\partial v_z}{\partial z} \tag{۱۵-ج} \\ \nabla^2 &= \frac{\partial^2}{\partial r^2} + \frac{1}{r} \frac{\partial}{\partial r} + \frac{1}{r^2} \frac{\partial^2}{\partial \theta^2} + \frac{\partial^2}{\partial z^2}\end{aligned}$$

کروی

$$\begin{aligned} \frac{D}{Dt} &= \frac{\partial}{\partial t} + v_r \frac{\partial}{\partial r} + \frac{v_\theta}{r} \frac{\partial}{\partial \theta} + \frac{v_\phi}{r \sin \theta} \frac{\partial}{\partial \phi} \\ \nabla \cdot \mathbf{V} &= \frac{1}{r^2} \frac{\partial}{\partial r} (r^2 v_r) + \frac{1}{r \sin \theta} \frac{\partial}{\partial \theta} (v_\theta \sin \theta) + \frac{1}{r \sin \theta} \frac{\partial v_\phi}{\partial \phi} \quad (۱۶-ج) \\ \nabla^2 &= \frac{1}{r^2} \frac{\partial}{\partial r} \left( r^2 \frac{\partial}{\partial r} \right) + \frac{1}{r^2 \sin \theta} \frac{\partial}{\partial \theta} \left( \sin \theta \frac{\partial}{\partial \theta} \right) + \frac{1}{r^2 \sin^2 \theta} \frac{\partial^2}{\partial \phi^2} \end{aligned}$$

عملیات  $\nabla^2$  و  $D/Dt$  که روی بردار انجام می‌شود، در زیر آمده است. علامت  $(\hat{\quad})$  نمایانگر بردار یکه است.

دکارتی

$$\mathbf{V} = \hat{x}u + \hat{y}v + \hat{z}w$$

$$\begin{aligned} (\nabla^2 \mathbf{V})_x &= \frac{\partial^2 u}{\partial x^2} + \frac{\partial^2 u}{\partial y^2} + \frac{\partial^2 u}{\partial z^2} \\ (\nabla^2 \mathbf{V})_y &= \frac{\partial^2 v}{\partial x^2} + \frac{\partial^2 v}{\partial y^2} + \frac{\partial^2 v}{\partial z^2} \\ (\nabla^2 \mathbf{V})_z &= \frac{\partial^2 w}{\partial x^2} + \frac{\partial^2 w}{\partial y^2} + \frac{\partial^2 w}{\partial z^2} \quad (۱۷-ج) \\ \left( \frac{D\mathbf{V}}{Dt} \right)_x &= \frac{\partial u}{\partial t} + u \frac{\partial u}{\partial x} + v \frac{\partial u}{\partial y} + w \frac{\partial u}{\partial z} \\ \left( \frac{D\mathbf{V}}{Dt} \right)_y &= \frac{\partial v}{\partial t} + u \frac{\partial v}{\partial x} + v \frac{\partial v}{\partial y} + w \frac{\partial v}{\partial z} \\ \left( \frac{D\mathbf{V}}{Dt} \right)_z &= \frac{\partial w}{\partial t} + u \frac{\partial w}{\partial x} + v \frac{\partial w}{\partial y} + w \frac{\partial w}{\partial z} \end{aligned}$$

استوانه‌ای

$$\mathbf{V} = \hat{r}v_r + \hat{\theta}v_\theta + \hat{z}v_z$$

$$\begin{aligned} (\nabla^2 \mathbf{V})_r &= \nabla^2 v_r - \frac{v_r}{r^2} - \frac{2}{r^2} \frac{\partial v_\theta}{\partial \theta} = \left[ \frac{\partial^2 v_r}{\partial r^2} + \frac{1}{r} \frac{\partial v_r}{\partial r} + \frac{1}{r^2} \frac{\partial^2 v_r}{\partial \theta^2} + \frac{\partial^2 v_r}{\partial z^2} - \frac{v_r}{r^2} - \frac{2}{r^2} \frac{\partial v_\theta}{\partial \theta} \right] \\ (\nabla^2 \mathbf{V})_\theta &= \nabla^2 v_\theta + \frac{2}{r^2} \frac{\partial v_r}{\partial \theta} - \frac{v_\theta}{r^2} = \left[ \frac{\partial^2 v_\theta}{\partial r^2} + \frac{1}{r} \frac{\partial v_\theta}{\partial r} + \frac{\partial^2 v_\theta}{\partial z^2} + \frac{2}{r^2} \frac{\partial v_r}{\partial \theta} - \frac{v_\theta}{r^2} \right] \\ (\nabla^2 \mathbf{V})_z &= \nabla^2 v_z = \frac{\partial^2 v_z}{\partial r^2} + \frac{1}{r} \frac{\partial v_z}{\partial r} + \frac{1}{r^2} \frac{\partial^2 v_z}{\partial \theta^2} + \frac{\partial^2 v_z}{\partial z^2} \quad (۱۸-ج) \\ \left( \frac{D\mathbf{V}}{Dt} \right)_r &= \frac{Dv_r}{Dt} - \frac{v_\theta^2}{r} = \frac{\partial v_r}{\partial t} + v_r \frac{\partial v_r}{\partial r} + \frac{v_\theta}{r} \frac{\partial v_r}{\partial \theta} + v_z \frac{\partial v_r}{\partial z} - \frac{v_\theta^2}{r} \\ \left( \frac{D\mathbf{V}}{Dt} \right)_\theta &= \frac{Dv_\theta}{Dt} + \frac{v_r v_\theta}{r} = \frac{\partial v_\theta}{\partial t} + v_r \frac{\partial v_\theta}{\partial r} + \frac{v_\theta}{r} \frac{\partial v_\theta}{\partial \theta} + v_z \frac{\partial v_\theta}{\partial z} + \frac{v_r v_\theta}{r} \\ \left( \frac{D\mathbf{V}}{Dt} \right)_z &= \frac{Dv_z}{Dt} = \frac{\partial v_z}{\partial t} + v_r \frac{\partial v_z}{\partial r} + \frac{v_\theta}{r} \frac{\partial v_z}{\partial \theta} + v_z \frac{\partial v_z}{\partial z} \end{aligned}$$



$$\mathbf{V} = \hat{r}v_r + \hat{\theta}v_\theta + \hat{\phi}v_\phi$$

$$(\nabla^2 \mathbf{V})_r = \nabla^2 v_r - \frac{v_r}{r^2} - \frac{2}{r^2} \frac{\partial v_\theta}{\partial \theta} - \frac{2v_\theta \cot \theta}{r^2} - \frac{2}{r^2 \sin \theta} \frac{\partial v_\phi}{\partial \phi}$$

$$(\nabla^2 \mathbf{V})_\theta = \nabla^2 v_\theta + \frac{2}{r^2} \frac{\partial v_r}{\partial \theta} - \frac{v_\theta}{r^2 \sin^2 \theta} - \frac{2}{r^2 \sin \theta} \frac{\partial v_\phi}{\partial \phi}$$

$$(\nabla^2 \mathbf{V})_\phi = \nabla^2 v_\phi - \frac{v_\phi}{r^2 \sin^2 \theta} + \frac{2}{r^2 \sin^2 \theta} \frac{\partial v_r}{\partial \phi} + \frac{2 \cos \theta}{r^2 \sin^2 \theta} \frac{\partial v_\theta}{\partial \phi}$$

$$\left(\frac{D\mathbf{V}}{Dt}\right)_r = \frac{Dv_r}{Dt} - \frac{v_\theta^2 + v_\phi^2}{r} = \frac{\partial v_r}{\partial t} + v_r \frac{\partial v_r}{\partial r} + \frac{v_\theta}{r} \frac{\partial v_r}{\partial \theta} + \frac{v_\phi}{r \sin \theta} \frac{\partial v_r}{\partial \phi} - \frac{v_\theta^2 + v_\phi^2}{r} \quad (۱۹-ج)$$

$$\left(\frac{D\mathbf{V}}{Dt}\right)_\theta = \frac{Dv_\theta}{Dt} + \frac{v_r v_\theta - v_\phi^2 \cot \theta}{r}$$

$$= \frac{\partial v_\theta}{\partial t} + v_r \frac{\partial v_\theta}{\partial r} + \frac{v_\theta}{r} \frac{\partial v_\theta}{\partial \theta} + \frac{v_\phi}{r \sin \theta} \frac{\partial v_\theta}{\partial \phi} + \frac{v_r v_\theta - v_\phi^2 \cot \theta}{r}$$

$$\left(\frac{D\mathbf{V}}{Dt}\right)_\phi = \frac{Dv_\phi}{Dt} + \frac{v_\phi v_r + v_\theta v_\phi \cot \theta}{r}$$

$$= \frac{\partial v_\phi}{\partial t} + v_r \frac{\partial v_\phi}{\partial r} + \frac{v_\theta}{r} \frac{\partial v_\phi}{\partial \theta} + \frac{v_\phi}{r \sin \theta} \frac{\partial v_\phi}{\partial \phi} + \frac{v_\phi v_r + v_\theta v_\phi \cot \theta}{r}$$

جمله‌های  $\nabla^2 v_r$ ،  $\nabla^2 v_\theta$  و  $\nabla^2 v_\phi$  در دستگاهاهی مختصات مختلف با کاربرد عملگر  $\nabla^2$  روی اسکالر از معادلات (ج-۱۴)، (ج-۱۵) و (ج-۱۶) به دست می‌آیند.

### ج-۴ تابع اتلاف

تابع اتلاف گران‌رو یا مکانیکی  $\Phi$  در مختصات عمودی تعمیم یافته (برحسب تانسور آهنگ کرنش  $e_{ij}$ ) به صورت زیر است

$$\Phi = \mu [2(e_{11}^2 + e_{22}^2 + e_{33}^2) + (2e_{rr})^2 + (2e_{r1})^2 + (2e_{1r})^2] + \lambda (e_{11} + e_{22} + e_{33})^2 \quad (۲۰-ج)$$

در بعضی از کتابها، تعریف  $\Phi$  با آنچه که در اینجا تعریف شد، در ضریب  $\psi$  فرق می‌کند.  $\lambda$  ضریب دوم گران‌روی است که در فصل ۳ تعریف شده است.

تانسور دکارتی برحسب تانسور تنش

$$\Phi = \sigma'_{ij} \frac{\partial w_i}{\partial x_j} \quad (۲۱-ج)$$

دکارتی

$$\Phi = 2\mu \left[ \left(\frac{\partial u}{\partial x}\right)^2 + \left(\frac{\partial v}{\partial y}\right)^2 + \left(\frac{\partial w}{\partial z}\right)^2 + \frac{1}{2} \left(\frac{\partial u}{\partial y} + \frac{\partial v}{\partial x}\right)^2 + \frac{1}{2} \left(\frac{\partial v}{\partial z} + \frac{\partial w}{\partial y}\right)^2 + \frac{1}{2} \left(\frac{\partial w}{\partial x} + \frac{\partial u}{\partial z}\right)^2 \right]$$

$$+ \lambda \left[ \frac{\partial u}{\partial x} + \frac{\partial v}{\partial y} + \frac{\partial w}{\partial z} \right]^2 \quad (۲۲-ج)$$

$$\begin{aligned} \Phi = \mu & \left[ \left\{ \left( \frac{\partial v_r}{\partial r} \right)^2 + \left( \frac{1}{r} \frac{\partial v_\theta}{\partial \theta} + \frac{v_r}{r} \right)^2 + \left( \frac{\partial v_z}{\partial z} \right)^2 \right\} + \left( \frac{1}{r} \frac{\partial v_z}{\partial \theta} + \frac{\partial v_\theta}{\partial z} \right)^2 \right. \\ & + \left. \left( \frac{\partial v_r}{\partial z} + \frac{\partial v_z}{\partial r} \right)^2 + \left( \frac{1}{r} \frac{\partial v_r}{\partial \theta} + \frac{\partial v_\theta}{\partial r} - \frac{v_\theta}{r} \right)^2 \right] \\ & + \lambda \left[ \frac{\partial v_r}{\partial r} + \frac{1}{r} \frac{\partial v_\theta}{\partial \theta} + \frac{v_r}{r} + \frac{\partial v_z}{\partial z} \right]^2 \end{aligned} \quad (۲۳-ج)$$

کروی

$$\begin{aligned} \Phi = \mu & \left[ \left\{ \left( \frac{\partial v_r}{\partial r} \right)^2 + \left( \frac{1}{r} \frac{\partial v_\theta}{\partial \theta} + \frac{v_r}{r} \right)^2 + \left( \frac{1}{r \sin \theta} \frac{\partial v_\phi}{\partial \phi} + \frac{v_r}{r} + \frac{v_\theta \cot \theta}{r} \right)^2 \right\} \right. \\ & + \left\{ \frac{1}{r \sin \theta} \frac{\partial v_\theta}{\partial \phi} + \frac{\sin \theta}{r} \frac{\partial}{\partial \theta} \left( \frac{v_\phi}{\sin \theta} \right) \right\}^2 \\ & + \left\{ \frac{1}{r \sin \theta} \frac{\partial v_r}{\partial \phi} + r \frac{\partial}{\partial r} \left( \frac{v_\phi}{r} \right) \right\}^2 + \left\{ r \frac{\partial}{\partial r} \left( \frac{v_\theta}{r} \right) + \frac{1}{r} \frac{\partial v_r}{\partial \theta} \right\}^2 \Bigg] \\ & + \lambda \left[ \frac{\partial v_r}{\partial r} + \frac{1}{r} \frac{\partial v_\theta}{\partial \theta} + \frac{v_r}{r} + \frac{1}{r \sin \theta} \frac{\partial v_\phi}{\partial \phi} + \frac{v_\theta \cot \theta}{r} \right]^2 \end{aligned} \quad (۲۴-ج)$$

# پیوست د

## جداول پارامترها برای جریان تراکم‌پذیر

جدول د-۱ پارامترهای جریان برحسب  $M$  برای جریان تک‌آنتروپی (گاز کامل  $k = ۱.۴$ )

$M$	$p/p_0$	$\rho/\rho_0$	$T/T_0$	$a/a_0$	$A^*/A$
0.00	1.0000	1.0000	1.0000	1.0000	0.00000
0.10	0.9930	0.9950	0.9980	0.9990	0.1718
0.20	0.9725	0.9803	0.9921	0.9960	0.3374
0.30	0.9395	0.9564	0.9823	0.9911	0.4914
0.40	0.8956	0.9243	0.9690	0.9844	0.6289
0.50	0.8430	0.8852	0.9524	0.9759	0.7464
0.60	0.7840	0.8405	0.9328	0.9658	0.8416
0.70	0.7209	0.7916	0.9107	0.9543	0.9138
0.80	0.6560	0.7400	0.8865	0.9416	0.9632
0.90	0.5913	0.6870	0.8606	0.9277	0.9912
1.00	0.5283	0.6339	0.8333	0.9129	1.0000
1.10	0.4684	0.5817	0.8052	0.8973	0.9921
1.20	0.4124	0.5311	0.7764	0.8811	0.9705
1.30	0.3609	0.4829	0.7474	0.8645	0.9378
1.40	0.3142	0.4374	0.7184	0.8476	0.8969
1.50	0.2724	0.3950	0.6897	0.8305	0.8502
1.60	0.2353	0.3557	0.6614	0.8133	0.7998
1.70	0.2026	0.3197	0.6337	0.7961	0.7476
1.80	0.1740	0.2868	0.6068	0.7790	0.6949
1.90	0.1492	0.2570	0.5807	0.7620	0.6430
2.00	0.1278	0.2300	0.5556	0.7454	0.5926
2.10	0.1094	0.2058	0.5313	0.7289	0.5444

جدول ۱-۶ (ادامه)

$M$	$p/p_0$	$\rho/\rho_0$	$T/T_0$	$a/a_0$	$A^*/A$
2.20	0.09352	0.1841	0.5081	0.7128	0.4988
2.30	0.07997	0.1646	0.4859	0.6971	0.4560
2.40	0.06840	0.1472	0.4647	0.6817	0.4161
2.50	0.05853	0.1317	0.4444	0.6667	0.3793
2.60	0.05012	0.1179	0.4252	0.6521	0.3453
2.70	0.04295	0.1056	0.4068	0.6378	0.3142
2.80	0.03685	0.09463	0.3894	0.6240	0.2857
2.90	0.03165	0.08489	0.3729	0.6106	0.2598
3.00	0.02722	0.07623	0.3571	0.5976	0.2362
3.10	0.02345	0.06852	0.3422	0.5850	0.2147
3.20	0.02023	0.06165	0.3281	0.5728	0.1953
3.30	0.01748	0.05554	0.3147	0.5609	0.1777
3.40	0.01513	0.05009	0.3019	0.5495	0.1617
3.50	0.01311	0.04523	0.2899	0.5384	0.1473
3.60	0.01138	0.04089	0.2784	0.5276	0.1342
3.70	9.903 $\times 10^{-3}$	0.03702	0.2675	0.5172	0.1224
3.80	8.629 $\times 10^{-3}$	0.03355	0.2572	0.5072	0.1117
3.90	7.532 $\times 10^{-3}$	0.03044	0.2474	0.4974	0.1021
4.00	6.586 $\times 10^{-3}$	0.02766	0.2381	0.4880	0.09329
4.10	5.769 $\times 10^{-3}$	0.02516	0.2293	0.4788	0.08536
4.20	5.062 $\times 10^{-3}$	0.02292	0.2208	0.4699	0.07818
4.30	4.449 $\times 10^{-3}$	0.02090	0.2129	0.4614	0.07166
4.40	3.918 $\times 10^{-3}$	0.01909	0.2053	0.4531	0.06575
4.50	3.455 $\times 10^{-3}$	0.01745	0.1980	0.4450	0.06038
4.60	3.053 $\times 10^{-3}$	0.01597	0.1911	0.4372	0.05550
4.70	2.701 $\times 10^{-3}$	0.01464	0.1846	0.4296	0.05107
4.80	2.394 $\times 10^{-3}$	0.01344	0.1783	0.4223	0.04703
4.90	2.126 $\times 10^{-3}$	0.01233	0.1724	0.4152	0.04335
5.00	1.890 $\times 10^{-3}$	0.01134	0.1667	0.4082	0.04000

جدول د-۱ (ادامه)

$M$	$p/p_0$	$\rho/\rho_0$	$T/T_0$	$a/a_0$	$A^*/A$
6.00	6.334 $\times 10^{-4}$	5.194 $\times 10^{-3}$	0.1220	0.3492	0.01880
7.00	2.416 $\times 10^{-4}$	2.609 $\times 10^{-3}$	0.09259	0.3043	9.602 $\times 10^{-3}$
8.00	1.024 $\times 10^{-4}$	1.414 $\times 10^{-3}$	0.07246	0.2692	5.260 $\times 10^{-3}$
9.00	4.739 $\times 10^{-5}$	8.150 $\times 10^{-4}$	0.05814	0.2411	3.056 $\times 10^{-3}$
10.00	2.356 $\times 10^{-5}$	4.948 $\times 10^{-4}$	0.04762	0.2182	1.866 $\times 10^{-3}$
100.00	2.790 $\times 10^{-12}$	5.583 $\times 10^{-9}$	4.998 $\times 10^{-4}$	0.02236	2.157 $\times 10^{-8}$
$\infty$	0	0	0	0	0

جدول د-۲ عدد ماخ و زاویه ماخ برحسب تابع پرنتل-مایر

$\nu$ (deg)	$M$	$\mu$ (deg)	$\nu$ (deg)	$M$	$\mu$ (deg)	$\nu$ (deg)	$M$	$\mu$ (deg)
0.0	1.000	90.000	10.0	1.435	44.177	20.0	1.775	34.290
0.5	1.051	72.099	10.5	1.452	43.523	20.5	1.792	33.915
1.0	1.082	67.574	11.0	1.469	42.894	21.0	1.810	33.548
1.5	1.108	64.451	11.5	1.486	42.287	21.5	1.827	33.188
2.0	1.133	61.997	12.0	1.503	41.701	22.0	1.844	32.834
2.5	1.155	59.950	12.5	1.520	41.134	22.5	1.862	32.488
3.0	1.177	58.180	13.0	1.537	40.585	23.0	1.879	32.148
3.5	1.198	56.614	13.5	1.554	40.053	23.5	1.897	31.814
4.0	1.218	55.205	14.0	1.571	39.537	24.0	1.915	31.486
4.5	1.237	53.920	14.5	1.588	39.035	24.5	1.932	31.164
5.0	1.256	52.738	15.0	1.605	38.547	25.0	1.950	30.847
5.5	1.275	51.642	15.5	1.622	38.073	25.5	1.968	30.536
6.0	1.294	50.619	16.0	1.639	37.611	26.0	1.986	30.229
6.5	1.312	49.658	16.5	1.655	37.160	26.5	2.004	29.928
7.0	1.330	48.753	17.0	1.672	36.721	27.0	2.023	29.632
7.5	1.348	47.896	17.5	1.689	36.293	27.5	2.041	29.340
8.0	1.366	47.082	18.0	1.706	35.874	28.0	2.059	29.052
8.5	1.383	46.306	18.5	1.724	35.465	28.5	2.078	28.769
9.0	1.400	45.566	19.0	1.741	35.065	29.0	2.096	28.491
9.5	1.418	44.857	19.5	1.758	34.673	29.5	2.115	28.216

جدول د-۲ (ادامه)

$\nu$ (deg)	$M$	$\mu$ (deg)	$\nu$ (deg)	$M$	$\mu$ (deg)	$\nu$ (deg)	$M$	$\mu$ (deg)
30.0	2.134	27.945	50.0	3.013	19.386	70.0	4.339	13.325
30.5	2.153	27.678	50.5	3.309	19.213	70.5	4.382	13.191
31.0	2.172	27.415	51.0	3.065	19.041	71.0	4.426	13.059
31.5	2.191	27.155	51.5	3.092	18.870	71.5	4.470	12.927
32.0	2.210	26.889	52.0	3.119	18.701	72.0	4.515	12.795
32.5	2.230	26.646	52.5	3.146	18.532	72.5	4.561	12.665
33.0	2.249	26.397	53.0	3.174	18.366	73.0	4.608	12.535
33.5	2.269	26.151	53.5	3.202	18.200	73.5	4.655	12.406
34.0	2.289	25.908	54.0	3.230	18.036	74.0	4.703	12.277
34.5	2.309	25.778	54.5	3.258	17.873	74.5	4.752	12.149
35.0	2.329	25.430	55.0	3.287	17.711	75.0	4.801	12.021
35.5	2.349	25.196	55.5	3.316	17.551	75.5	4.852	11.894
36.0	2.369	24.965	56.0	3.346	17.391	76.0	4.903	11.768
36.5	2.390	24.736	56.5	3.375	17.233	76.5	4.955	11.642
37.0	2.410	24.510	57.0	3.406	17.076	77.0	5.009	11.517
37.5	2.431	24.287	57.5	3.436	16.920	77.5	5.063	11.392
38.0	2.452	24.066	58.0	3.467	16.765	78.0	5.118	11.268
38.5	2.473	23.847	58.5	3.498	16.611	78.5	5.174	11.145
39.0	2.495	23.631	59.0	3.530	16.458	79.0	5.231	11.022
39.5	2.516	23.418	59.5	3.562	16.306	79.5	5.289	10.899
40.0	2.538	23.206	60.0	3.594	16.155	80.0	5.348	10.777
40.5	2.560	22.997	60.5	3.627	16.005	80.5	5.408	10.656
41.0	2.582	22.790	61.0	3.660	15.856	81.0	5.470	10.535
41.5	2.604	22.585	61.5	3.694	15.708	81.5	5.532	10.414
42.0	2.626	22.382	62.0	3.728	15.561	82.0	5.596	10.294
42.5	2.649	22.182	62.5	3.762	15.415	82.5	5.661	10.175
43.0	2.671	21.983	63.0	3.797	15.270	83.0	5.727	10.056
43.5	2.694	21.786	63.5	3.832	15.126	83.5	5.795	9.937
44.0	2.718	21.591	64.0	3.868	14.983	84.0	5.864	9.819
44.5	2.741	21.398	64.5	3.904	14.840	84.5	5.935	9.701
45.0	2.764	21.207	65.0	3.941	14.698	85.0	6.006	9.584
45.5	2.788	21.017	65.5	3.979	14.557	85.5	6.080	9.467
46.0	2.812	20.830	66.0	4.016	14.417	86.0	6.155	9.350
46.5	2.836	20.644	66.5	4.055	14.278	86.5	6.232	9.234
47.0	2.861	20.459	67.0	4.094	14.140	87.0	6.310	9.119
47.5	2.886	20.277	67.5	4.133	14.002	87.5	6.390	9.003
48.0	2.910	20.096	68.0	4.173	13.865	88.0	6.472	8.888
48.5	2.936	19.916	68.5	4.214	13.729	88.5	6.556	8.774
49.0	2.961	19.738	69.0	4.255	13.593	89.0	6.642	8.660
49.5	2.987	19.561	69.5	4.297	13.459	89.5	6.729	8.546

جدول د-۲ (ادامه)

$\nu$ (deg)	$M$	$\mu$ (deg)	$\nu$ (deg)	$M$	$\mu$ (deg)	$\nu$ (deg)	$M$	$\mu$ (deg)
90.0	6.819	8.433	95.0	7.851	7.318	100.0	9.210	6.233
90.5	6.911	8.320	95.5	7.970	7.208	100.5	9.371	6.126
91.0	7.005	8.207	96.0	8.092	7.099	101.0	9.536	6.019
91.5	7.102	8.095	96.5	8.218	6.989	101.5	9.708	5.913
92.0	7.201	7.983	97.0	8.347	6.881	102.0	9.885	5.806
92.5	7.302	7.871	97.5	8.480	6.772			
93.0	7.406	7.760	98.0	8.618	6.664			
93.5	7.513	7.649	98.5	8.759	6.556			
94.0	7.623	7.538	99.0	8.905	6.448			
94.5	7.735	7.428	99.5	9.055	6.340			

جدول د-۳ پارامترهای جریان موج ضربه‌ای (گاز کامل  $k=1.4$ )

$M_{1n}$	$P_2/P_1$	$\rho_2/\rho_1$	$T_2/T_1$	$a_2/a_1$	$P_2^0/P_1^0$	$M_2$ فقط برای موجهای ضربه‌ای قائم
1.00	1.000	1.000	1.000	1.000	1.0000	1.0000
1.10	1.245	1.169	1.065	1.032	0.9989	0.9118
1.20	1.513	1.342	1.128	1.062	0.9928	0.8422
1.30	1.805	1.516	1.191	1.091	0.9794	0.7860
1.40	2.120	1.690	1.255	1.120	0.9582	0.7397
1.50	2.458	1.862	1.320	1.149	0.9298	0.7011
1.60	2.820	2.032	1.388	1.178	0.8952	0.6684
1.70	3.205	2.198	1.458	1.208	0.8557	0.6405
1.80	3.613	2.359	1.532	1.238	0.8127	0.6165
1.90	4.045	2.516	1.608	1.268	0.7674	0.5956
2.00	4.500	2.667	1.688	1.299	0.7209	0.5773
2.10	4.978	2.812	1.770	1.331	0.6742	0.5613
2.20	5.480	2.951	1.857	1.361	0.6281	0.5471
2.30	6.005	3.085	1.947	1.395	0.5833	0.5344
2.40	6.553	3.212	2.040	1.428	0.5401	0.5231
2.50	7.125	3.333	2.138	1.462	0.4990	0.5130
2.60	7.720	3.449	2.238	1.496	0.4601	0.5039
2.70	8.338	3.559	2.343	1.531	0.4236	0.4956
2.80	8.980	3.664	2.451	1.566	0.3895	0.4882
2.90	9.645	3.763	2.563	1.601	0.3577	0.4814
3.00	10.33	3.857	2.679	1.637	0.3283	0.4752
4.00	18.50	4.571	4.047	2.012	0.1388	0.4350
5.00	29.00	5.000	5.800	2.408	0.06172	0.4152
6.00	41.83	5.268	7.941	2.818	0.02965	0.4042
7.00	57.00	5.444	10.47	3.236	0.01535	0.3974
8.00	74.50	5.565	13.39	3.659	$8.488 \times 10^{-3}$	0.3929
9.00	94.33	5.651	16.69	4.086	$4.964 \times 10^{-3}$	0.3898
10.00	116.5	5.714	20.39	4.515	$3.045 \times 10^{-3}$	0.3876
100.00	11,666.5	5.997	1945.4	44.11	$3.593 \times 10^{-8}$	0.3781
$\infty$	$\infty$	6	$\infty$	$\infty$	0	0.3780

جدول د-۴ جریان اصطکاکی، بی دررو، مساحت ثابت (خط فانو) گاز کامل  $k = ۱.۴$

$M$	$T/T^*$	$p/p^*$	$p_0/p_0^*$	$V/V^*$ and $\rho^*/\rho$	$4fL_{max}/D$
0.00	1.200	$\infty$	$\infty$	0.00000	$\infty$
0.20	1.1905	5.4555	2.9635	0.21822	14.533
0.40	1.1628	2.6958	1.5901	0.43133	2.3085
0.60	1.1194	1.7634	1.1882	0.63481	0.49081
0.80	1.06383	1.2892	1.03823	0.82514	0.07229
1.00	1.00000	1.00000	1.00000	1.00000	0
1.20	0.93168	0.80436	1.03044	1.1583	0.03364
1.40	0.86207	0.66320	1.1149	1.2999	0.09974
1.60	0.79365	0.55679	1.2502	1.4254	0.17236
1.80	0.72816	0.47407	1.4390	1.5360	0.24189
2.00	0.66667	0.40825	1.6875	1.6330	0.30499
2.50	0.53333	0.29212	2.6367	1.8257	0.43197
3.00	0.42857	0.21822	4.2346	1.9640	0.52216
3.50	0.34783	0.16850	6.7896	2.0642	0.58643
4.00	0.28571	0.13363	10.719	2.1381	0.63306
4.50	0.23762	0.10833	16.562	2.1936	0.66764
5.00	0.20000	0.08944	25.000	2.2361	0.69381
6.00	0.14634	0.06376	53.180	2.2953	0.72987
7.00	0.11111	0.04762	104.14	2.3333	0.75281
8.00	0.08696	0.03686	190.11	2.3591	0.76820
9.00	0.06977	0.02935	327.19	2.3772	0.77898
10.00	0.05714	0.02390	535.94	2.3905	0.78683
$\infty$	0	0	$\infty$	2.4495	0.82153



# پیوست ه

## تانسورهای دکارتی

نمادگذاری تانسور دکارتی روشی اختصاری برای نوشتن معادلات در دستگاه مختصات دکارتی است. باید تأکید کرد که این نمادگذاری در واقع نمادگذاری تانسور نیست و، بجز دستگاه دکارتی، در هیچ دستگاه مختصات دیگری کاربرد ندارد. از معادله تانسور دکارتی نمی‌توان شکل درست معادله‌ای را در هر دستگاه مختصات اختیاری، مشابه شکل تانسوری یا برداری تعمیم‌یافته، به دست آورد.

برداری همچون سرعت  $\mathbf{V}$  را با مؤلفه‌های دکارتی  $w_1 = V_x$ ،  $w_2 = V_y$ ،  $w_3 = V_z$  در نظر بگیرید. مؤلفه‌های این بردار را با شاخصهای پایین  $i$ ،  $j$ ،  $k$  یا هر شاخص دیگری مشخص می‌کنیم که مقدار ۱، ۲ یا ۳ را اختیار کند. ۱، ۲ و ۳ به ترتیب مؤلفه‌های  $x$ ،  $y$ ، و  $z$  را نشان می‌دهند. مؤلفه‌های سرعت را می‌توان با  $w_i$  نشان داد، که  $i$  مقدار ۱، ۲ یا ۳ متناظر با  $x$ ،  $y$  و  $z$  را اختیار می‌کند.

اسکالر را بدون شاخص، مثلاً پتانسیل سرعت  $\phi$ ، نشان می‌دهند.

مختصات دکارتی  $x$ ،  $y$  و  $z$  را به صورت  $x_i$  (یا مثلاً  $x_j$ ) نشان می‌دهند.

وقتی دو شاخص در جمله‌ای ظاهر می‌شوند، معمولاً به معنی حاصل جمع است (بر روی ۳ بعد). به عنوان مثال، عبارت زیر

$$\frac{\partial w_i}{\partial x_j}$$

آرایه‌ای ۹ جمله‌ای است که هر دو شاخص  $i$  و  $j$  می‌توانند مقدارهای ۱، ۲، ۳ را اختیار کنند. عبارت

$$\frac{\partial w_i}{\partial x_i}$$

اسکالر است که (با قرارداد عمل جمع) بیانگر رابطه زیر است

$$\frac{\partial w_i}{\partial x_i} = \frac{\partial w_1}{\partial x_1} + \frac{\partial w_2}{\partial x_2} + \frac{\partial w_3}{\partial x_3} = \nabla \cdot \mathbf{V}$$

همین گونه، عبارت  $\sigma_{ij}$  است از ۹ مؤلفه تانسور تنش (ماتریس  $3 \times 3$ ). شرط تقارن را به صورت  $\sigma_{ij} = \sigma_{ji}$  بیان می‌کنند. گاهی از کاما برای نشان دادن مشتق‌گیری نسبت به مختصه فضایی استفاده می‌شود.

$$\frac{\partial w_i}{\partial x_j} = w_{i,j}$$

$$w_{i,i} = \nabla \cdot \mathbf{V}$$

دلتای کرونکر  $\delta_{ij}$  عملگری است که مقدارهای زیر را دارد:

$$\delta_{ij} = 0, \quad i \neq j$$

$$\delta_{ij} = 1, \quad i = j$$

به عنوان مثال،

$$\sigma_{ij} \delta_{ij}$$

نمایانگر جمله‌های قطری تانسور تنش  $\sigma_{11}, \sigma_{22}, \sigma_{33}$  است. معمولاً کاربرد دلتای کرونکر به معنی حاصل جمع نیست. بعضی از عملیات برداری برحسب نماد تانسور دکارتی ( $\phi$  اسکالر و  $\mathbf{V}$  برداری با مؤلفه‌های  $w_i$  است) به صورت زیرند. این رابطه‌ها فقط در مختصات دکارتی معتبر هستند.

$$\begin{aligned} \nabla \phi &= \frac{\partial \phi}{\partial x_i} \\ \nabla \cdot \mathbf{V} &= \frac{\partial w_i}{\partial x_i} = \frac{\partial w_1}{\partial x_1} + \frac{\partial w_2}{\partial x_2} + \frac{\partial w_3}{\partial x_3} \\ \nabla^2 \phi &= \frac{\partial^2 \phi}{\partial x_i \partial x_i} = \frac{\partial^2 \phi}{\partial x_1^2} + \frac{\partial^2 \phi}{\partial x_2^2} + \frac{\partial^2 \phi}{\partial x_3^2} \\ \nabla^2 \mathbf{V} &= \frac{\partial^2 w_j}{\partial x_i \partial x_i} = \frac{\partial^2 w_j}{\partial x_1^2} + \frac{\partial^2 w_j}{\partial x_2^2} + \frac{\partial^2 w_j}{\partial x_3^2} \end{aligned}$$

(این برداری است با مؤلفه‌های مشخص شده با  $j$ ، که عمل جمع روی  $i$  انجام گرفته است.)

برای اطلاعات بیشتر درباره مفهوم کلی نماد تانسور به مرجعهای زیر مراجعه کنید:

1. Borg, S. F., *Matrix-Tensor Methods in Continuum Mechanics*, van Nostrand, 1963.
2. Myklestad, N. O., *Cartesian Tensors*, Van Nostrand, 1967.
3. Synge, J. L and Schild, A., *Tensor Calculus*, University of Toronto. Press, 1949.

# پیوست و

## اتحادهای برداری

A، B و C بردار هستند؛  $\phi$  اسکالر است

$$\mathbf{A} \cdot \mathbf{B} = \mathbf{B} \cdot \mathbf{A}$$

$$\mathbf{A} \cdot (\mathbf{B} + \mathbf{C}) = \mathbf{A} \cdot \mathbf{B} + \mathbf{A} \cdot \mathbf{C}$$

$$\mathbf{A} \times \mathbf{B} = -\mathbf{B} \times \mathbf{A} = \begin{vmatrix} \mathbf{e}_1 & \mathbf{e}_2 & \mathbf{e}_3 \\ A_1 & A_2 & A_3 \\ B_1 & B_2 & B_3 \end{vmatrix}$$

$$(\mathbf{A} + \mathbf{B}) \times \mathbf{C} = (\mathbf{A} \times \mathbf{C}) + (\mathbf{B} \times \mathbf{C})$$

$$\mathbf{A} \times (\mathbf{B} + \mathbf{C}) = (\mathbf{A} \times \mathbf{B}) + (\mathbf{A} \times \mathbf{C})$$

$$\mathbf{A} \times (\mathbf{B} \times \mathbf{C}) = \mathbf{B}(\mathbf{A} \cdot \mathbf{C}) - \mathbf{C}(\mathbf{A} \cdot \mathbf{B})$$

$$\mathbf{A} \cdot (\mathbf{B} \times \mathbf{C}) = (\mathbf{A} \times \mathbf{B}) \cdot \mathbf{C} = \mathbf{B} \cdot (\mathbf{C} \times \mathbf{A}) = \begin{vmatrix} A_1 & A_2 & A_3 \\ B_1 & B_2 & B_3 \\ C_1 & C_2 & C_3 \end{vmatrix}$$

$$(\mathbf{A} \times \mathbf{B}) \cdot (\mathbf{C} \times \mathbf{D}) = \mathbf{A} \cdot \mathbf{C}(\mathbf{B} \cdot \mathbf{D}) - (\mathbf{A} \cdot \mathbf{D})(\mathbf{B} \cdot \mathbf{C})$$

$$(\mathbf{A} \times \mathbf{B}) \times (\mathbf{C} \times \mathbf{D}) = \mathbf{B}[\mathbf{A} \cdot (\mathbf{C} \times \mathbf{D})] - \mathbf{A}[\mathbf{B} \cdot (\mathbf{C} \times \mathbf{D})]$$

$$= \mathbf{C}[\mathbf{A} \cdot (\mathbf{B} \times \mathbf{D})] - \mathbf{D}[\mathbf{A} \cdot (\mathbf{B} \times \mathbf{C})]$$

$$\nabla^2 \phi = \nabla \cdot \nabla \phi$$

$$\nabla^2 \mathbf{A} = (\nabla \cdot \nabla) \mathbf{A}$$

$$\nabla \cdot \nabla \times \mathbf{A} = 0$$

$$\nabla \times \nabla \phi = 0$$

$$\nabla \times (\nabla \times \mathbf{A}) = \nabla(\nabla \cdot \mathbf{A}) - \nabla^2 \mathbf{A}$$

$$(\mathbf{A} \cdot \nabla) \mathbf{A} = \nabla \left( \frac{|\mathbf{A}|^2}{2} \right) - \mathbf{A} \times (\nabla \times \mathbf{A})$$

$$\nabla \times (\mathbf{A} \times \mathbf{B}) = (\mathbf{B} \cdot \nabla) \mathbf{A} - \mathbf{B}(\nabla \cdot \mathbf{A}) - (\mathbf{A} \cdot \nabla) \mathbf{B} + \mathbf{A}(\nabla \cdot \mathbf{B})$$

$$\nabla \cdot (\mathbf{A} \times \mathbf{B}) = \mathbf{B} \cdot \nabla \times \mathbf{A} - \mathbf{A} \cdot \nabla \times \mathbf{B}$$

$$\nabla(\mathbf{A} \cdot \mathbf{B}) = (\mathbf{B} \cdot \nabla) \mathbf{A} + (\mathbf{A} \cdot \nabla) \mathbf{B} + \mathbf{B} \times (\nabla \times \mathbf{A}) + \mathbf{A} \times (\nabla \times \mathbf{B})$$

# پیوست ز

## روشهای اندازه‌گیری جریان

از چندین وسیله ساده در اندازه‌گیری آهنگ جریان لوله‌ها و مجراها به طور گسترده استفاده می‌شود. استفاده از معادله تعمیم‌یافته برنولی رابطه ساده‌ای بین افت فشار اندازه‌گیری شده و آهنگ جریان برقرار می‌کند. چند وسیله کاربردی را برای اندازه‌گیری جریان در زیر معرفی می‌کنیم.

### جریان درون مدخل (اریفیس) لبه-تیز

نخست، جریان مایع تراکم‌ناپذیری را در نظر می‌گیریم که از سوراخ لبه-تیز مخزن موجود در شکل ز-۱ می‌گذرد. اگر سطح مقطع مخزن در مقایسه با سطح مقطع مدخل بزرگ باشد، به گونه‌ای که از سرعت سطح آب در مخزن بتوان چشم پوشید، آن گاه با نوشتن معادله برنولی بین نقطه‌های ۱ و ۲ (با فشار نسبی  $p_1 = p_2 = 0$ )، یا داریم

$$V = \sqrt{2gh}$$

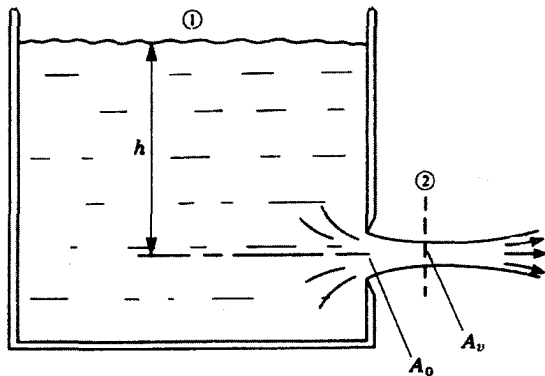
در این حالت، سطح مقطع جت خروجی به علت خمیدگی خطهای جریان باریک می‌شود و عملاً در نقطه ۲ که خطهای جریان موازی می‌شوند، به مقدار کمینه خود می‌رسد.

این مقطع کمینه را انقباض وریدی می‌گویند. آهنگ جریان  $Q$  از میان مدخل را می‌توان به صورت زیر نوشت

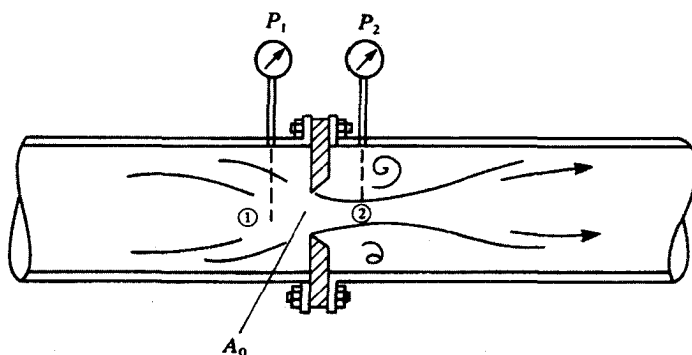
$$Q = C_v V_c A_o \sqrt{2gh} = C_d A_o \sqrt{2gh}$$

که  $C_c$  ضریب تصحیح مساحت بین  $A_o$  و  $A_v^v$  است.

$$A_v = V_c A_o$$



شکل ۱-



شکل ۲- مدخل صفحه تخت.

و  $C_v$  ضریب تصحیح افتهای اصطکاکی در معادله برنولی است

$$V = C_v \sqrt{2gh}$$

حاصل ضرب  $C_v C_c$  معروف به ضریب تخلیه ( $C_d$ ) است که معمولاً برای هر مدخل مفروض به طور تجربی تعیین می‌شود. مقدار  $C_c$  بین ۰٫۶ تا ۱ تغییر می‌کند و به میزان گرد بودن مدخل بستگی دارد.  $C_v$  معمولاً بین ۰٫۸ تا ۰٫۹۹ تغییر می‌کند. در عمل، غالباً مدخل لبه‌تیزی را در درون لوله قرار می‌دهند و افت فشار دو طرف آن را با فشارسنج یا وسیله دیگری، همچون شکل ۲-، اندازه می‌گیرند. با نوشتن معادله برنولی بین نقطه ۱ (بالادست جریان) و ۲ و با فرض تراکم‌ناپذیر بودن شاره، داریم

$$\frac{p_1}{\rho} + \frac{V_1^2}{2} = \frac{p_2}{\rho} + \frac{V_2^2}{2}$$

و معادله پیوستگی عبارت است از

$$Q = A_1 V_1 = A_2 V_2 = A_o V_o$$

که  $A_2$  سطح مقطع جت جریان پایین‌دست است (که ممکن است در وضعیت انقباض وریدی باشد یا نباشد). در این صورت، می‌توان نوشت

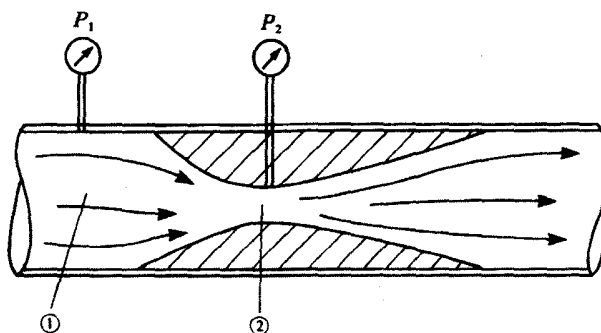
$$Q = \frac{C_v A_2 \sqrt{(2/\rho)(p_1 - p_2)}}{\sqrt{1 - (A_2/A_1)^2}} = \frac{C_d A_o \sqrt{(2/\rho)(p_1 - p_2)}}{\sqrt{1 - (A_o/A_1)^2}}$$

ضریب تخلیه کلی  $C_d$  به شکل دقیق مدخل و محل‌های دقیق فشارسنج در نقطه‌های ۱ و ۲ بستگی دارد و شامل تصحیح‌های مربوط به اختلاف سطح مقطع بین  $A_2$  و  $A_0$  و دیگر اتلاف‌هاست. مقدارهای نمونه‌وار  $C_d$  دارای گستره‌ای از ۰٫۶ تا ۰٫۸ است. آنها را برای هر یک از مدخل‌های صفحه تخت به طور تجربی تعیین می‌کنند. اگر افت فشار  $(p_1 - p_2)$  در مقایسه با  $p_1$  کوچک، و بنابراین  $\rho$  تقریباً ثابت باشد، معادله بالا برای جریان تراکم‌پذیر نیز صادق است. در خط لوله‌های گاز مقدار  $\Delta p = p_1 - p_2$  ممکن است معادل چند اینچ (۱۰-۱۲ سانتیمتر) آب و  $p_1$  صدها psi باشد. اگر اثرهای تراکم‌پذیری مهم باشند. برای دستیابی به نتیجه‌های دقیق‌تر، از شکل تراکم‌پذیر معادله برنولی باید استفاده کرد.

### جریان درون سنج و نتوری

نصب مدخل صفحه تخت بحث شده در بالا در فلانچ لوله آسان است و به طور گسترده به کار می‌رود. ونتوری (شکل ز-۳) سنج دیگری است که افت فشار کمی دارد ولی نصب آن دشوارتر است. انقباض جریان که با شکل و ضریب اتلاف کلی  $C_d$  تعریف می‌شود، معمولاً بین ۰٫۹۸ تا ۰٫۹۹ است.

رابطه آهنگ جریان درست مثل مدخل صفحه تخت است که  $A_0$  مساحت کمینه‌ای است که فشار در  $p_2$  اندازه‌گیری می‌شود.



شکل ز-۳ سنج و نتوری.

پاسخ مسائل انتخابی  
فصل ۲

۱۵-۲ ۱۱۱ in (الف)؛ ۸۱۴ in (ب)

۱۶-۲ ۳٫۷۸ psi

۱۷-۲ ۰٫۷۴۷ psi

۱۸-۲ ۰٫۰۲۰۵ psi

۱۹-۲ ۰٫۰۰۴۱۹ psi

۲۰-۲ ۵۸۵ lbf

۲۲-۲  $F_N = ۰٫۸۴۷(۱۰)^۴$  lbf

۲۳-۲ درست مثل حالتی است که محفظه در حالت سکون باشد

۲۴-۲ ۶٫۹۴ ft

۲۵-۲  $p_C - p_A = ۰٫۶۱۷$  psf؛  $p_D - p_A = ۱٫۶۱۷$  psf؛  $p_B - p_A = \gamma$  psf

۲۶-۲  $\frac{\Delta a}{\Delta p} = \frac{D}{4t\gamma}$  که D قطر میانگین فنجان و t ضخامت دیواره فنجان است.

۳۰-۲ سطح آب موازی با صفحه مایل است.

۳۱-۲ عین حالت دوران محفظه باز با عمق کمینه برابر با ارتفاع محفظه درپوش دار

$$۳۲-۲ \quad p = \frac{1}{2} \rho r^2 \omega^2 \quad \text{مستقل از موقعیت عمودی}$$

$$۳۳-۲ \quad p_{\text{top}} + \rho a(H - h)$$

$$۳۴-۲ \quad z_{0.1} > z - \frac{\omega^2 r^2}{2g} > z_{0.2} \quad \text{برای } p - p_0 = \frac{1}{2} \rho_1 \omega^2 r^2 + \rho_1 g(z_{0.1} - z)$$

$$p - p_0 = \frac{1}{2} \rho_1 \omega^2 r^2 + \rho_2 g(z_{0.1} - z) + \rho_1 g(z_{0.1} - z_{0.2}), \quad z_{0.2} > z - \frac{\omega^2 r^2}{2g}$$

$$\text{سطح آزاد: } z = z_{0.1} + \frac{1}{2} \rho \omega^2 r^2$$

$$\text{فصل مشترک: } z = z_{0.2} + \frac{1}{2} \rho \omega^2 r^2$$

۳۵-۲ شکل بی‌اهمیت است.  $L$  و  $h$  پارامترهای مرتبط هستند.

$$۳۸-۲ \quad \sigma \frac{\pi D^2}{4NA} (p_c + \rho \omega^2 D^2 / 16) \quad \text{که } \rho = \text{چگالی روغن, } \sigma = \text{تنش کششی, } N = \text{تعداد پیچ‌ها, } A = \text{سطح مقطع پیچ, } p_c = \text{فشار}$$

پیچ، و  $\omega =$  برحسب رادیان بر ثانیه است.

### فصل ۳

$$۱۷-۳ \quad 119 \text{ ft}^2/\text{s}$$

$$۱۸-۳ \quad F = \frac{1}{2} \pi \rho a^2 V_0^2 + \pi a^2 (\rho_2 - \rho_1)$$

$$۳-۱۹ \quad p_1 = p_2 + 2\tau \cdot L/a + \rho V_0^2 / 2$$

$$۲۱-۳ \quad 10.6 \text{ fps}$$

$$۲۲-۳ \quad 16.21 \text{ psi}$$

$$۲۳-۳ \quad \text{الف) } Q = \pi a^2 V_c / 2, \text{ ب) } \frac{1}{4} \pi \rho a^2 V_c^2, \text{ ج) } \frac{1}{8} \pi \rho a^2 V_c^3$$

$$۲۴-۳ \quad 47.0 \text{ اسب بخار}$$

$$۲۵-۳ \quad 4760 \text{ lbf, } 18.0 \text{ ft}^2/\text{s}$$

$$۲۶-۳ \quad 437 \text{ ft/s}$$

$$۲۷-۳ \quad 8.66 \text{ s}$$

$$۲۹-۳ \quad 27.4 \text{ psi/ft}$$

$$۳۲-۳ \quad 2.32 \text{ ft/s}^2$$

$$۳۴-۳ \quad h_2 < \frac{P_{\text{atm}}}{\rho g} \text{ و } A_2 \ll A_1, \quad Q = A_2 \sqrt{2gh_1}$$

$$۳۵-۳ \quad -\rho U_2 h / 6$$

$$۳۶-۳ \quad D = -0.63 \rho U^2 D$$



$$۳۷-۳ \quad ۷۶,۵ \text{rpm}$$

$$۳۸-۳ \quad \omega = \sqrt{p_0/x_0 \rho H} \text{ که } p_0 \text{ فشار جو است.}$$

## فصل ۴

$$۱۱-۴ \quad \text{نیروی برآ } ۲۱۵۰ \text{ lb است.}$$

$$۱۲-۴ \quad f = ۰.۲۸ \text{ ر: افت فشار در هر مایل برابر } ۱۶۸ \text{ psi} = ۴۸۴ \text{ فوت روغن} = ۳۸۷ \text{ فوت آب, با فرض اینکه چگالی جرمی آب } ۰.۸ \text{ g/cm}^۳ \text{ باشد}$$

$$۱۴-۴ \quad D = ۲.۰ \text{ lb}, C_D = ۰.۱۸ \text{ درست برای حالت مدل آزمون.}$$

$$۱۸-۴ \quad \pi \text{ ها برابر } \omega D/V, \rho DV/\mu \text{ هستند.}$$

$$۱۹-۴ \quad \omega D/V \text{ را می‌توان مدل‌سازی کرد اما } \rho DV/\mu \text{ را که کم‌اهمیت‌تر است، نمی‌توان مدل‌سازی کرد.}$$

$$۲۰-۴ \quad \text{مدل فرود نیاز به سرعت } V_m = \sqrt{۲۰} \text{ مایل در ساعت دارد و مستقل از گران روی است. در اینجا مدل‌سازی عدد رینولدز غیر عملی است زیرا برای چنین شاره‌ای با سرعت } V_m = ۵ \text{ mph و } \nu = ۱.۳۶ \times ۱۰^{-۷} \text{ در دسترس نداریم.}$$

$$۲۲-۴ \quad \text{کارایی } ۰.۵۷\%, Q = ۱۳۵ \text{ ft}^۳/\text{s}, H = ۹۰ \text{ ft}, \text{ توان } ۶۰۷۵ \text{ اسب بخار.}$$

## فصل ۵

$$۱۵-۵ \quad ۰.۳۰۵ \text{ in}$$

$$۱۶-۵ \quad ۰.۰۰۱۵ \text{ lbf/ft}^۲$$

$$۱۷-۵ \quad ۰.۰۰۰۷۰۵; ۰.۱۲۵ \text{ lbf}$$

$$۲۱-۵ \quad ۱.۲۹(UL/\nu)^{-۱/۲}$$

$$۲۴-۵ \quad ۳۲.۵ \text{ ft/s}^۲; \frac{۰.۰۷۵ h^۲ V_1^۲}{[h - ۰.۷ \sqrt{x/\lambda}]^۲ \sqrt{x}}$$

$$۲۵-۵ \quad \rho U^۲/۱۲$$

$$۲۶-۵ \quad p - p_{\text{دردی}} = -۱.۰۳(۱۰)^{-۳} \text{ psi}$$

$$۲۸-۵ \quad ۰.۳۳۸ \text{ lbf/ft}$$

$$۲۹-۵ \quad p - p_{\text{دردی}} = -۶.۶۷(۱۰)^{-۳} \text{ psi}$$

$$۳۰-۵ \quad ۳.۴۳ \text{ lbf}$$

$$۳۳-۵ \quad ۰.۴۶۰ \text{ lbf}$$

۳۴-۵ ۰٫۷۳۵ اسب بخار

۳۵-۵  $\mu = ۱٫۱۶(۱۰)^{-۴} \text{lbfs/in}^۲$

۳۶-۵ ۷۲۷ rpm

۳۷-۵  $\pi\mu(\omega_۱ - \omega_۲)(R_۲^۴ - R_۱^۴)/۲T_{in}$

۳۸-۵ ۱٫۱۲ft/s

۳۹-۵ ۲۳٫۰ft/s

۴۰-۵ ۲۳٫۶ft/s

۴۲-۵ ۱۲٫۶ft/s

۴۳-۵ ۰٫۹۲۳psi

۴۴-۵ ۰٫۲۱۶psi

۴۵-۵  $T = \frac{A}{a} \sqrt{\frac{r}{g}} [\sqrt{h_۰ + h_۱} - \sqrt{h_۰}]$

۴۷-۵  $h = \frac{D_c - D}{۲} \quad \mathcal{L}, F = \frac{\pi DL\mu V}{h} \left[ ۱ + \frac{۳}{h^۲} \left( \frac{d^۲}{۴} - h_۲ \right) \right] \approx \frac{۳}{۴} (d/h)^۳ \pi L\mu V$

## فصل ۶

۱۳-۶ ۲۶٫۶lb<sub>f</sub>/ft

نیرو =  $۲m^۲\rho \int_0^\infty \frac{(x^۲-a^۲)^۲}{(x^۲+a^۲)^۲} dx = \frac{۳\pi m^۲\rho}{۱۶a^۲}$  ۱۶-۶

نیرو =  $\frac{m^۲\rho}{a^۲} \left( \frac{۳\pi}{۱۶} \cos^۲\alpha + \frac{\pi}{۴} \sin^۲\alpha - \frac{۱}{۴} \sin ۲\alpha \right)$  ۱۷-۶

۱۸-۶ بدون اختلاف، زیرا  $F$  به  $m^۲$  بستگی دارد.

۲۰-۶  $F = -m \ln(\sinh \pi z / ۲d)$

۲۱-۶  $\psi = (A)(۲xy), \phi = A(x^۲ - y^۲)$

۲۳-۶  $F = -\frac{Q}{۲\pi} \ln(\sinh \pi z / d) - U_0 z$

۲۴-۶  $F = \frac{i\Gamma}{۲\pi} \ln \left( \frac{z-id}{z+id} \right)$  خطهای جریان دایره‌های تودرتو هستند.

۳۱-۶  $u - iv = -\frac{Q}{۲\pi} \left[ \frac{z-(b+ia)}{z-(b-ia)} + \frac{z+(b-ia)}{z-(b+ia)} + \frac{z+(b+ia)}{z+(b-ia)} + \frac{z+(b-ia)}{z+(b+ia)} \right]$

$$F = -\frac{Q}{4\pi} \ln \left\{ \prod_{n=0}^{\infty} [z - ae^{i(\pi/4)(1/2+n)}] \right\} \quad ۳۲-۶$$

۳۴-۶  $\Gamma^2/4\pi^2g$  که  $ry = \Gamma^2/4\pi^2g$  از سطح آزاد بی نهایت تا سطح آزاد در  $r$  اندازه‌گیری می‌شود.

### فصل ۷

۴۸۸۰ ft/s ۲۸-۷

۱۱۱؛ ۳۱۳؛ ۲۹-۷

۰٫۱۸۲ ۳۰-۷

۱۶٫۱ psi ۳۱-۷

۸۲۲°R ، ۱۷۹٫۲ Btu/lb ، ۷۲٫۵ psi ۳۲-۷

۰٫۰۰۲۵۶ ft<sup>۲</sup> ۳۳-۷

۱۸٫۱ lb<sub>m</sub>/s ۳۴-۷

۲٫۰۱ (ب) ۰٫۱۳۵ ft<sup>۲</sup>؛ ۰٫۰۰۸۰۶ ft<sup>۲</sup> (الف) ۳۵-۷

۱۵۹۰ ft/s ، ۰٫۲۲۲ lb/s ۳۶-۷

۱٫۴۰ ۳۷-۷

۱۱۹۸ ft/s ۳۸-۷

### فصل ۸

$p_2 = ۵٫۵ \text{ psia} ; T_2 = ۳۸۱^\circ\text{R} ; M_2 = ۲٫۶$  ۸-۸

$p_2 = ۳۱ \text{ psia} ; T_2 = ۶۳۸^\circ\text{R} ; M_2 = ۱٫۴۵$  ۹-۸

$\beta$  (پایین) = ۱۵° ؛  $\beta$  (بالا) = ۱۹٫۵° ۱۰-۸

$p_2 = ۳٫۹۳ \text{ psia} ; T_2 = ۴۳۷^\circ\text{R} ; M_2 = ۲٫۶$  ۱۱-۸

$D_2 = ۰٫۶۸ D_1$  ۱۲-۸

$D_2 = ۱٫۷۵ D_1$  ۱۳-۸

۱۵-۸ برای  $n$  امین طول موج  $\frac{\Delta p}{p_1} = \frac{(-1)^n \epsilon}{\lambda \sqrt{M_1^2 - 1}}$

۱۶-۸  $L = ۱٫۰۳ cp_1$  در واحد طول (نظریه انبساط موج ضربه‌ای)

۴۱۴ پاسخ مسائل انتخابی

$$G = \frac{c}{2\sqrt{M_1^2 - 1}} \quad ۱۷-۸$$

$$C_D = \frac{4}{\sqrt{M_1^2 - 1}} \left[ \frac{\pi^2}{2} \left(\frac{H}{c}\right)^2 + \bar{\alpha}^2 + 2\pi^2 \left(\frac{Y}{c}\right)^2 \right], C_L = \frac{4\bar{\alpha}}{\sqrt{M_1^2 - 1}} \quad ۱۹-۸$$

$$|\theta| = 53^\circ \quad ۲۲-۸$$

۲۴-۸ سرعت موج ضربه‌ای قبل از بازتاب  $1160 \text{ ft/s}$  است.

## واژه‌نامه

Dilatant fluids	شاره‌های اتساعی	chocking effects	اثرهای خفه‌شدگی
Rheopetic fluids	شاره‌های چگالش‌گرا	nead loss	افت هد
thixotropic fluids	شاره‌های روانش‌گرا	lift	برآ (بالابر)
nuzzle	شیپوره	oval shape	بیضی‌گون
mixing lenght	طول آمیختگی	viscous diffusivity	پخشندگی گران‌رو
ultra sonic	فراصوتی	drag	پسا (پس‌کشی)
subsonic	فروصوتی	recoil	پس‌زنی
downwash	فرووزش	continum	پیوستار
viscosity	گران‌روی (چسبندگی)	vortex filament	تار گردابه
vortex	گردابه	pinch	تنگش
vorticity	گردشاری	lubricant flow	جریان روان‌ساز
leading edge	لبه حمله	fully developed flow	جریان کاملاً توسعه‌یافته
trailing edge	لبه فرار	vortex line	خط گردابه
orifice	مدخل (اریفیس)	wake	دنباله
conformal mapping	نگاشت هم‌دیس	tornado	دیوباد
velocity profile	نیمرخ سرعت	lubricant	روان‌ساز
conformal	هم‌دیس	weir	سرریز
air foil	هواپر	venturi meter	سنجۀ ونتوری

## نمایه

- آب پاش چمن ۸۴، ۱۹۵  
 آب، خواص ۳۸۰، ۳۸۲  
 آشوب ۲۸۰  
 آهنگ کرنش برشی ۵۸، ۵۹  
 اتحادهای برداری ۴۰۵  
 اتساع ۵۸-۵۹  
 اتلافهای جزئی ۱۳۴  
 اثر تغییر سطح مقطع ۲۰۰  
 اجسام غوطه‌ور، نیروهای وارد ۲۰  
 اختلال صوتی ۱۹۸  
 اختلالها در امواج ۳۱۰  
 استاتیک شماره‌ها ۱۶  
 استوانه، دایره‌ای، جریان بر روی ۱۱۴، ۱۲۹  
 جریان پتانسیل از روی استوانه دایره‌ای ۱۷۶  
 استوانه‌های دوار، جریان بین ۱۵۶  
 اصطکاک ۵  
 اصل ارشمیدس ۲۲  
 الکترودینامیک ۲۹۸  
 امواج برشی ۳۵۴  
 امواج ضربه‌ای:  
 بازتاب ۲۳۷  
 تلافی ۲۳۸  
 در MHD ۳۱۵  
 قائم ۲۰۵  
 مایل ۲۳۳  
 امواج گرانشی ۳۱۹  
 انبساط، ابرصوتی ۲۱۴، ۲۳۷  
 انتقال ۵۶  
 انتقال سرعت گردشاری ۶۲  
 انتقال مغناطیسی ۳۰۶  
 اندازه‌گیری جریان ۴۰۶  
 برهم‌نهی در جریان پتانسیل ۱۶۹  
 بعدها ۳۸۳  
 جدول ۳۸۶  
 بلندگو ۳۵۳، ۳۷۱  
 بوقلمون، زمان پخت ۱۰۸  
 بیضی، جریان پتانسیل روی ۱۸۸  
 پارامتر برهم‌کنش ۳۰۵  
 پاشندگی در امواج ۳۴۷، ۳۴۹  
 پایداری ۲۶۷، ۳۴۲  
 جابه‌جایی ۳۶۰  
 ریلی-تیلور ۳۶۵  
 زمانی ۳۶۰  
 فصل مشترک ۳۶۵  
 فضای ۳۵۹  
 کلون-هلمهولتز ۳۶۵  
 مطلق ۳۶۰  
 بایستگی جرم ۴۰  
 شکل انتگرالی ۴۱  
 شکل دیفرانسیلی ۵۱  
 پتانسیل سرعت ۱۶۰، ۱۶۵  
 پتانسیل مختلط ۱۷۱، ۱۷۴  
 پخش ۲۸۵  
 گران‌رو ۶۲  
 مغناطیسی ۳۰۵  
 پخش دوتایی ۲۸۵  
 پخش‌کننده:  
 در لایه مرزی ۱۱۲  
 پخش گران‌رو ۶۲  
 پخش مغناطیسی ۳۰۵، ۳۱۳  
 پرتل، مدل شماره نانیوتونی ۳۲۹  
 پسا ۱۰۲، ۱۲۶  
 ضربه‌ها ۱۲۸  
 پسگرایی بالها ۲۴۰، ۲۵۴  
 پلاستیک بینگهام ۳۲۸، ۳۳۵  
 پمپ، مدل ۱۰۵  
 پیوستار ۴  
 تابع اتلاف:  
 در دستگاههای مختصات مختلف ۳۹۵  
 تابع پرتل-مایر ۲۳۸  
 جدول ۳۹۹  
 تابع جریان (شارش) ۶۳، ۱۶۵  
 تانسور آهنگ کرنش ۵۹  
 تانسور تنش ۵۲، ۲۷۱  
 الکترومغناطیسی ۳۰۳  
 تانسور تنش انحرافی ۶۱  
 تانسور دوران ۵۹  
 تانسور گرادیان سرعت ۵۹  
 تانسورهای دکارتی ۴۰۳  
 تبدیلهای لورنتس ۳۰۱  
 تحلیل ابعادی ۹۴  
 تراکم، فراصوتی ۲۳۷، ۲۴۲  
 تراوایی مغناطیسی ۳۰۰  
 ترکاندن چاههای نفت ۳۲۷  
 تشابه ۹۴  
 تقریب شماره تراکم‌ناپذیر برای شماره با عدد ماخ  
 پائین ۲۱۴  
 تلاطم ۱۱۳، ۱۱۸، ۱۳۳، ۲۶۸-۲۶۶  
 تلاطم آماری ۲۶۸-۲۶۷  
 تلاطم همسانگرد ۲۷۳  
 تلسکوپ مونت پالومار ۱۵۴  
 تندی صدا (تندی صوتی)  
 تنش برشی دیواره ۱۱۵، ۱۱۸، ۱۳۱، ۱۳۴  
 تنش رینولدز ۲۷۰  
 تولید آنتروپی ۶۶  
 ثابت انتشار ۳۴۵

جریان هم‌آنتروپی ۲۳۲	جدول ۴۰۱	جریان:
جریان یکنواخت، پتانسیل ۱۶۷، ۱۷۴-۱۷۳	جریان غیرچرخشی (غیردورانی) ۵۸، ۱۶۰	ایده‌آل ۵-۷
جواب مسائل ۴۱۴-۴۰۹	در گردش‌ها ۵۸	بیرونی ۹
جوهر چاپگر ۳۳۱	جریان فراصوتی	پایا ۸
جهش هیدرولیکی ۸۵	در شیوره‌ها ۲۰۱، ۲۰۲، ۲۵۲، ۲۶۳	پتانسیل ۱۶۰
چاهها در جریان پتانسیل ۱۶۹، ۱۷۴	در مجراها ۲۱۱-۲۱۲	تراکم‌پذیر ۸
چاههای گاز ۳۲۷	جریان فراصوتی، تعریف ۸	تراکم‌ناپذیر ۸
چاههای نفت ۳۲۷	جریان فروصوتی، تعریف ۸	درونی ۱۰
چشمه‌های در جریان پتانسیل ۱۶۸، ۱۷۴	جریان کوتاه ۱۳۲، ۱۳۶	طبقه‌بندی ۹
حجم کنترل ۴۰	جریان گذار ۱۳۰	فراصوتی ۸، ۱۹۹، ۲۰۲، ۲۳۱
حل بلاسیوس ۱۱۸	جریان گردابه نعل‌اسبی ۱۸۳	فروصوتی ۸
خط ریلی ۲۰۶	جریان لایه‌ای	متلاطم ۱۱۸، ۱۲۱، ۲۶۶
خط فانو ۲۰۶	بین دیوارها ۱۳۱	جریان ابرصوتی ۲۸۴
خطهای ماخ ۲۳۶	پوازوی ۱۳۱	جریان اصطکاکی در شکافها ۲۰۸، ۲۱۲
خمیدگی ۲۴۲	تعریف ۷	جریان بی‌دررو، سطح مقطع ثابت ۲۰۷
خواص هوا ۳۸۱، ۳۸۲	در لوله ۱۳۲	جریان بیرونی ۹
دستگاه مختصات اویلری ۱۲، ۵۱	کوته ۱۳۲	جریان پایا ۸
دستگاه مختصات لاگرانژی ۵۱	معادلات برای ۶۱	جریان پایدار، ناپایدار ۳۶۰
دمای دیواره بی‌دررو ۱۳۷، ۲۸۹	جریان لغزشی ۲۳۹، ۲۵۶	جریان پتانسیل ۱۶۰، ۱۶۵
دمای سکون ۲۰۳	جریان متلاطم:	جریان پوازوی ۱۳۱
دوران (چرخش) در شاره ۵۶	بی‌هنجار ۳۳۷	جریان تراکم‌پذیر:
دوغاب زغال‌سنگ ۳۲۷، ۳۳۸	پیوستگی ۲۶۹	پارامترهای بدون بعد ۹۷
دوغابها ۳۲۷، ۳۳۸	تعریف در ۷	تعریف ۷
دوقطبی ۱۷۴	تنشها در ۲۷۰، ۲۷۱	دوبعدی ۲۳۱
دووجهی ۲۵۴	جت ۲۷۹	یک‌بعدی ۱۹۷
دهانه بیضی رانکین ۱۶۹	دنباله ۲۷۷، ۲۸۵	جریان تراکم‌ناپذیر، تعریف ۸
دینامیک ذره ۳	دیواره ۲۷۳	جریان تک‌آنتروپی ۲۰۰
دیوار بی‌دررو ۱۳۷، ۲۸۹	راهکار آماری ۲۶۸	جدول ۳۹۷
رابطه رانکین-هوگونیو ۲۰۶	شاره‌های نانیوتونی ۳۳۷	جریان تکدما در مجراها ۲۱۳
رنگ، جریان ۳۳۹	قانون دیواره ۱۲۲	جریان جت، متلاطم ۲۷۹
روابط آهنگ کشش-تنش	گران‌روی در ۲۷۱	جریان جهشی:
در دستگاه مختصات مختلف ۳۹۳	لوله ۲۷۵	همگرا ۲۰۱
روش انتگرالی در لایه‌های مرزی ۱۱۶-۱۱۵	معادله انرژی ۲۷۰	همگراسواگرا ۲۰۲
روش تصاویر ۱۷۰	نظریه‌های پدیده‌شناسی ۲۷۱	جریان خط فانو ۲۰۶
روغنکاری ۱۴۷، ۱۵۴، ۱۵۵	همبستگی در ۲۷۲	جداول ۴۰۲
زاویه حمله ۱۸۲، ۲۴۱-۲۴۲	جریان مجرا:	جریان داخلی ۱۰
زاویه ماخ ۲۳۶	MHD تراکم‌پذیر ۳۱۶	جریان در لوله ۱۳۴-۱۳۰
جدول ۳۹۹	شماره گران‌رو تراکم‌ناپذیر در MHD ۳۰۷	جریان دنباله ۲۷۸
سرریز ۱۰۶	جریان ورودی ۱۲۹	جریان ضربه:
سرعت اصطکاک ۱۲۳	جریان هارتمن ۳۰۷	

عملیات بردار ۴۰۵	انتقال جریان در ۱۱۵	سرعت زاویه‌ای ۵۶-۵۷
فرایند تک‌آنتروپی ۱۹۸	ضخامت تکانه ۱۲۱	سرعت صوتی ۱۹۸، ۹۸
فرووزش ۱۸۴	ضخامت جابه‌جایی ۱۲۱	در MHD ۳۱۳
فشار، تعریف ۵، ۱۶	ضرایب تبدیل ۳۸۷	سرعت فاز ۳۴۶
فشارسنج دوشاره ۲۰، ۳۳	ضربه (حاصل از) پیستون ۲۱۴	سرعت گردشاری ۵۷، ۱۶۱
فشارسنج U شکل ۲۰-۱۹	ضربه کمائی ۲۳۶	سرعت گروهی ۳۴۶، ۳۶۷
دوشاره ۳۲	ضربه موج ۹۱	سرعت مختلط ۱۷۲
فشارسنجی ۱۹	ضریب اصطکاک ۱۰۳، ۱۱۸، ۱۳۳	سلولهای بنارد ۳۵۹
فن، مدل‌سازی ۱۰۵	ارتباط با نیروی برشی ۱۳۴	سنجۀ ونتوری ۴۰۸
فون کارمن، روش انتگرالی ۱۱۵	شاره شبه پلاستیک ۳۲۹	سینماتیک شاره‌ها ۵۶
قاعدهٔ مساحت ۲۵۴	ضریب اصطکاک پوستی ۱۱۸	شاره اتساعی ۶، ۳۲۸
قانون استوکس ۲۸۵	ضریب اصطکاک دارسی ۱۳۴	شاره، تعریف ۳
قانون اهم ۳۰۴، ۳۰۰	ضریب اصطکاک فانیگ ۲۰۹	شاره چالش‌گرا ۳۳۰
قانون دوم ترمودینامیک ۵۰، ۶۶	ضریب پخش ۲۸۵	شاره روانش‌گرا ۳۳۰
قانون دیواره ۱۲۲	ضریب تراکم حجمی ۸	شاره شبه پلاستیک ۳۲۹، ۳۳۰، ۳۳۶
قانون فاراده ۲۹۹	ضریب دمای انبساط ۹۹	شاره شتابدار ۲۲
قانون فوریه ۶۵	ضریب فشار ۲۴۱، ۲۴۶	در سطح مایل ۲۲، ۳۱
قانون فیک ۲۸۵	طرح لوله جهشی ۲۰۳	دورانی ۲۲-۲۳
قانون نقص سرعت ۱۲۲	دوبعدی با موج ضعیف ۲۵۳، ۲۶۳	شارهٔ کشسان گران‌رو ۳۳۲
قرص فاراده ۳۲۰	طول آمیختگی ۲۷۲	شاره مومسان ۶
قضیهٔ بلاسیوس ۱۷۸	طول توسعه‌یافته ۱۳۰	شارهٔ نانیوتونی ۶، ۳۲۷
قضیه Pi بوکینگهام ۹۶	عدد اکرت ۹۸، ۱۳۷	شارهٔ نیوتونی ۶، ۶۱
قضیهٔ یونین ۳۰۹	عدد انجماد در میدانها ۳۰۶	شاره‌های روانش‌گرا ۳۳۱
قضیه جوکفسکی ۱۷۷	عدد انجماد سرعت گردشاری ۶۲	شاره‌های قانون توان ۳۲۹، ۳۳۰، ۳۳۳
قضیه کروکو ۲۳۲	عدد پرتل ۹۸، ۱۳۷، ۲۸۷، ۳۰۵	شتاب‌سنج (U شکل) ۳۰
قضیهٔ کوتا-جوکفسکی ۱۷۸	عدد پرتل مغناطیسی ۳۰۵	شتاب همرفت ۵۳
قضیهٔ گردابه (گردشاری) کلونین ۱۶۴	عدد رینولدز ۹۶	شرایط کوشی-ریمن ۱۷۲
کار ۴۶	تعمیم‌یافته ۳۳۶	شرایط مرزی در MHD ۳۰۱
در اثر اصطکاک ۶۷	مغناطیسی ۳۰۵	شناوری ۲۲
محور ۴۸	عدد رینولدز مغناطیسی ۳۰۵	شیبوره:
کار پمپ ۶۸-۶۷	عدد فرود ۹۶	تویی‌وار ۲۴۳
کارتوربین ۶۸-۶۷	عدد گرافش ۹۹	فراانبساطی ۲۰۲
کار جریان ۴۷	عدد لوتیس ۲۸۷	فروانبساطی ۲۰۲
کار محور ۴۸	عدد ماخ ۹۸، ۱۹۹	لایه مرزی ۱۱۲
کسر جرمی ۲۸۶	مغناطیسی ۳۰۵	همگرا ۲۰۱
کشش سطحی ۲۴، ۳۷، ۱۰۰	عدد ماخ مغناطیسی ۳۰۵	همگرا/واگرا ۲۰۲، ۲۵۲
گاز، تعریف ۳	عدد موج ۳۴۵	شیبوره تویی‌وار ۲۴۳
گاز کامل ۱۹۸	عدد هارتمن ۳۰۵	شیبوره فروانبساطی ۲۰۲
گذردهی ۳۰۰	افت هد ۴۹، ۶۸، ۱۳۳	صفحه پرنده سیاه ۲۴۳
گران‌روی، تعریف ۵	ضرایب اتصالات ۱۳۵	صفحهٔ تخت، جریان موجود بر روی ۱۱۴



- موج آلفن ۳۰۶، ۳۱۳  
 موج انبساطی مرکزی ۲۱۵  
 موج صوتی ۱۹۸، ۳۴۹  
 موج ضربه‌ای ۲۳۶  
 موج ضربه‌ای مایل ۲۳۳  
 موج طولی، MHD ۳۱۲  
 موجها ۳۴۲  
 اثرات گران‌رو ۳۵۴، ۳۷۲  
 برشی ۳۵۵  
 پاشندگی ۳۴۷، ۳۴۹  
 تضعیف ۳۴۷  
 در MHD ۳۱۰  
 رشد ۳۴۷  
 رونده ۳۴۳  
 ساکن ۳۴۸  
 سرعت ۳۴۶  
 سطح ۳۵۶  
 صوتی ۳۴۹  
 گرانش ۳۵۷  
 مایع ۳۷۲  
 ناپایدار ۳۴۸  
 موجهای آکوستیکی مغناطیسی ۳۱۳  
 موجهای انبساطی، مرکزی ۲۱۵  
 موجهای ساکن ۳۴۸  
 موجهای سطحی ۳۵۶  
 موجهای ضربه‌ای ۲۰۵  
 موجهای ضعیف، روش ۲۵۱  
 موجهای طولی ۳۴۳  
 موجهای عرضی، MHD ۳۱۳  
 موجهای موئینگی ۳۵۸  
 موجهای ناپایدار ۳۴۸  
 موشک ۸۰  
 مولد MHD ۳۱۶، ۳۲۰  
 گرداب ۳۲۲  
 مولد گردابه تراکم‌پذیر ۳۲۲  
 ناپایداری ریلی-تیلر ۳۶۶  
 ناپایداری کلین-هلمهولتز ۳۶۵  
 ناحیه به ناحیه، روش ۲۵۱  
 نسبت فشار بحرانی ۲۰۲  
 نظریه اختلال ۲۴۴  
 مدل آیرینگ ۳۳۰  
 مدل اسوالد ۳۲۹  
 مدل پاول-آیرینگ ۳۳۰  
 مدل ویلیامسون ۳۳۰  
 مربعهای خمیده خط ۱۶۷  
 مشتق کامل ۵۳  
 مشخصه‌ها ۲۳۶، ۲۴۱  
 خفه‌شدگی در مجراها ۲۱۰  
 روش ۲۴۷  
 شیوره ۲۰۲  
 معادلات بیضوی ۲۴۷  
 معادلات دیفرانسیل استاتیک ۱۹-۱۸  
 دینامیک ۵۱-۵۰  
 معادلات ماکسول ۲۹۹، ۳۰۵  
 معادلات هذلولوی ۲۴۷  
 معادله انرژی ۴۶، ۶۴-۶۳  
 در MHD ۳۰۴  
 در جریان گران‌رو ۱۳۶  
 شکل انتگرالی ۴۸  
 شکل دیفرانسیلی ۶۵  
 مرتبط با معادله برنولی ۶۵  
 معادله اویلر ۵۵  
 معادله برنولی ۴۹-۵۰، ۵۵، ۶۹-۶۵، ۱۶۳  
 در معادله انرژی ۶۹-۶۸  
 معادله برنولی در  
 MHD ۳۰۷  
 معادله پاشندگی در MHD ۳۱۱  
 معادله پرنتل ۱۱۸  
 معادله پیوستگی ۵۱  
 معادله تکانه ۴۲  
 جریان بی‌اصطکاک ۵۴  
 زاویه‌ای ۴۳  
 شکل انتگرالی ۴۱  
 شکل دیفرانسیلی ۶۳  
 معادله ناویهماستوکس ۶۱  
 بی‌بعد ۹۵  
 در دستگاههای مختصات مختلف ۳۴۴  
 مغناطو هیدرو دینامیک ۲۹۸  
 مقدار میانگین ۲۶۸  
 مکانیک شاره‌ها ۳  
 گران‌روی تلاطمی ۲۷۱  
 گران‌روی سینماتیکی، منحنی‌ها ۳۷۹  
 گران‌روی منحنی ۳۷۸  
 گردابه ۵۷، ۱۶۲  
 تار ۱۶۴  
 خط ۱۶۴  
 لوله ۱۶۴  
 ورقه ۱۸۳  
 گردابه پتانسیل ۱۶۲، ۱۶۳، ۱۶۹، ۱۷۴  
 گردش ۱۶۱، ۱۷۷  
 گرمای تشکیل ۲۸۷  
 گرمایش آئرو دینامیک ۲۹۳  
 گرمایش و سرمایش در مجراها ۲۱۲  
 گوه، جریان فراصوتی روی ۲۳۵  
 لایه مرزی ۱۱۰، ۱۱۳  
 ابرصوتی ۲۸۵، ۲۸۹، ۲۹۱  
 جدایش ۱۱۲، ۱۲۴  
 حل بلاسیوس ۱۱۸  
 روشهای تقریبی ۱۱۷  
 روی صفحه تخت ۱۱۴  
 ضخامت تکانه ۱۲۱  
 ضخامت جابه‌جایی ۱۲۱  
 گردادیان فشار در ۱۲۴  
 متلاطم ۱۱۸، ۱۲۱، ۲۶۹، ۲۹۱  
 معادلات انتگرال ۱۱۵، ۱۲۱  
 معادله پرنتل ۱۱۸  
 نقطه سکون ۱۲۵  
 لوله ضربه ۲۱۴، ۲۱۶  
 مایع، تعریف ۳  
 مایع چرخان ۲۳  
 متغیرهای مختلط ۱۷۱  
 متوسط زمانی ۲۶۸  
 متوسط‌گیری سرعت‌ها ۲۷۰  
 مخروط ماخ ۱۹۹، ۲۳۶  
 مدار هم‌ارز ۳۰۸  
 مدخل  
 صفحه تخت ۴۰۸  
 لبه تیز ۴۰۶  
 مدخل شبیدار موتور ۲۶۴  
 مدل  $K-\epsilon$  ۲۸۱

- نظریهٔ بدنه هوایمای فراصوتی ۲۴۴، ۲۴۰  
 نظریه خطی شده بدنه فراصوتی ۲۴۴-۲۴۵  
 نظریه ضربه‌ای-انبساط ۲۳۳  
 نگاشت همدیس ۱۷۳  
 نمایش فازور ۳۴۳  
 نمودار فردریکس ۳۱۴  
 نوسان در جریان متلاطم ۲۶۷-۲۶۸  
 نیروهای اجسام غوطه‌ور ۲۴، ۲۰  
 نیروی برآ ۱۰۱، ۱۲۶، ۱۷۸  
 نیروی پسای القایی ۱۸۴  
 نیروی حجمی الکترومغناطیسی ۳۰۳  
 نیروی گرانی ۱۸
- نیروی گرانی ۱۸  
 نیروی محرکه الکتریکی (EMF) القایی ۳۰۲  
 نیمرخ دما در جریان کوتاه ۱۳۶  
 واحدها در مکانیک شماره ۱۱  
 ورودیهای موتور جت ۲۴۳  
 ولتاژ نهایی ۳۰۲  
 همبستگی‌های تلاطمی ۲۷۲  
 همسانگرد ۲۷۳  
 هوابر با بال نازک ۲۴۱، ۲۴۷  
 هوابر در پتانسیل هوا ۱۸۰، ۱۸۱  
 خطی شده ۲۴۴  
 نازک ۲۴۱، ۲۴۷
- هوایمای دوباله بوزمن ۲۶۰  
 هوایمای فراصوتی ۲۴۰، ۲۵۴  
 یاتاقان، پله ۱۴۷  
 یاتاقان پله‌ای ۱۴۷  
 یاتاقان هیدرواستاتیک ۱۴۸، ۱۵۴  
 یکاها ۳۸۳  
 تبدیل از ۳۸۵-۳۸۴، ۳۸۷  
 جدول ۳۸۶، ۳۸۷  
 یکاهای SI ۱۲  
 MHD ۲۹۸